

COMMITTENTE:



PROGETTAZIONE:



U.O. INFRASTRUTTURE SUD

PROGETTO DEFINITIVO

**LINEA SALERNO - PONTECAGNANO AEROPORTO
COMPLETAMENTO METROPOLITANA DI SALERNO
TRATTA ARECHI - PONTECAGNANO AEROPORTO**

FABBRICATI VIAGGIATORI

Fermata Pontecagnano Aeroporto - Pensilina di banchina

Relazione di calcolo: tipo A1a

SCALA:

-

COMMESSA LOTTO FASE ENTE TIPO DOC. OPERA/DISCIPLINA Progr. REV.

NN1X 00 D 78 CL FV050C 001 B

Rev.	Descrizione	Redatto	Data	Verificato	Data	Approvato	Data	Autorizzato Data
A	Emissione Esecutiva	F.Durastanti	Ott-2020	G.Romano	Ott-2020	M.D'Avino	Ott-2020	D.Tiberti Gen-2021
B	Emissione Esecutiva	F.Durastanti	Gen-2021	G.Romano	Gen-2021	M.D'Avino	Gen-2021	ITALEFERR S.p.A. Gruppo Ferrovie dello Stato Direzione Generale UO Infrastrutture Sud Prof. Ing. David Tiberti Ordine degli Ingegneri Prov. di Napoli n. 10876

NN1X.0.0.D.78.CL.FV.05.0.C.001.B

n. Elab.:

1. PREMESSA	3
2. NORMATIVA DI RIFERIMENTO	4
3. CARATTERISTICHE DEI MATERIALI.....	5
4. PARAMETRI GEOTECNICI DEL SITO	7
5. CARATTERIZZAZIONE SISMICA DEL SITO.....	8
6. ANALISI DEI CARICHI.....	10
6.1 PESO PROPRIO DELLA STRUTTURA.....	10
6.2 CARICHI PERMANENTI NON STRUTTURALI	10
6.3 CARICO VARIABILE SULLA COPERTURA	10
6.4 CARICO DELLA NEVE SULLE COPERTURE	11
6.5 AZIONE DEL VENTO	12
6.6 PRESSIONE AERODINAMICA DOVUTA AL PASSAGGIO DEI TRENI.....	19
6.7 AZIONI TERMICHE	22
6.8 URTI DA TRAFFICO FERROVIARIO	22
6.9 AZIONE SISMICA.....	23
7. COMBINAZIONI DI CARICO	25
8. MODELLAZIONE STRUTTURALE.....	27
8.1 CODICE DI CALCOLO	27
8.2 DESCRIZIONE DEL MODELLO DI CALCOLO	27
8.3 INTERAZIONE TERRENO-STRUTTURA	29
8.4 AFFIDABILITÀ DEI CODICI DI CALCOLO	30
8.5 MODALITÀ DI PRESENTAZIONE DEI RISULTATI	30
8.6 INFORMAZIONI GENERALI SULL'ELABORAZIONE	30
8.7 GIUDIZIO MOTIVATO DI ACCETTABILITÀ DEI RISULTATI	30
9. RISULTATI DELLE ANALISI E SOLLECITAZIONI.....	32
9.1 RISULTATI DELL'ANALISI MODALE	32
9.2 DIAGRAMMI DELLE CARATTERISTICHE DI SOLLECITAZIONE	35

10. VERIFICHE DI RESISTENZA.....	40
11. VERIFICHE DI RESISTENZA ELEMENTI IN ACCIAIO	43
11.1 VERIFICA CORRENTE SUPERIORE TRAVE RETICOLARE DI COPERTURA	43
11.2 VERIFICA TRAVE SECONDARIA A SBALZO	46
11.3 VERIFICA COLONNE.....	50
12. VERIFICHE DI RESISTENZA COLLEGAMENTI ELEMENTI IN ACCIAIO.....	55
12.1 VERIFICA PIASTRA DI BASE COLONNA HEB 320	55
13. VERIFICA CAMPATIBILITA' SPOSTAMENTI.....	58
13.1 ABBASSAMENTO MASSIMO DA CARICO NEVE	58
13.2 ABBASSAMENTO MASSIMO DA PASSAGGIO CONVOGLI FERROVIARI	58

ALLEGATI:

- 1 – DEFINIZIONE STRUTTURA
- 2 – DEFINIZIONE MODELLO
- 3 – RISULTATI MODELLO
- 4 – VERIFICHE STRUTTURALI CA

1. PREMESSA

Le strutture oggetto della presente Relazione sono relative alla pensilina di tipo A1a a copertura della banchina lungo la stazione ferroviaria Aeroporto della linea metropolitana di Salerno.

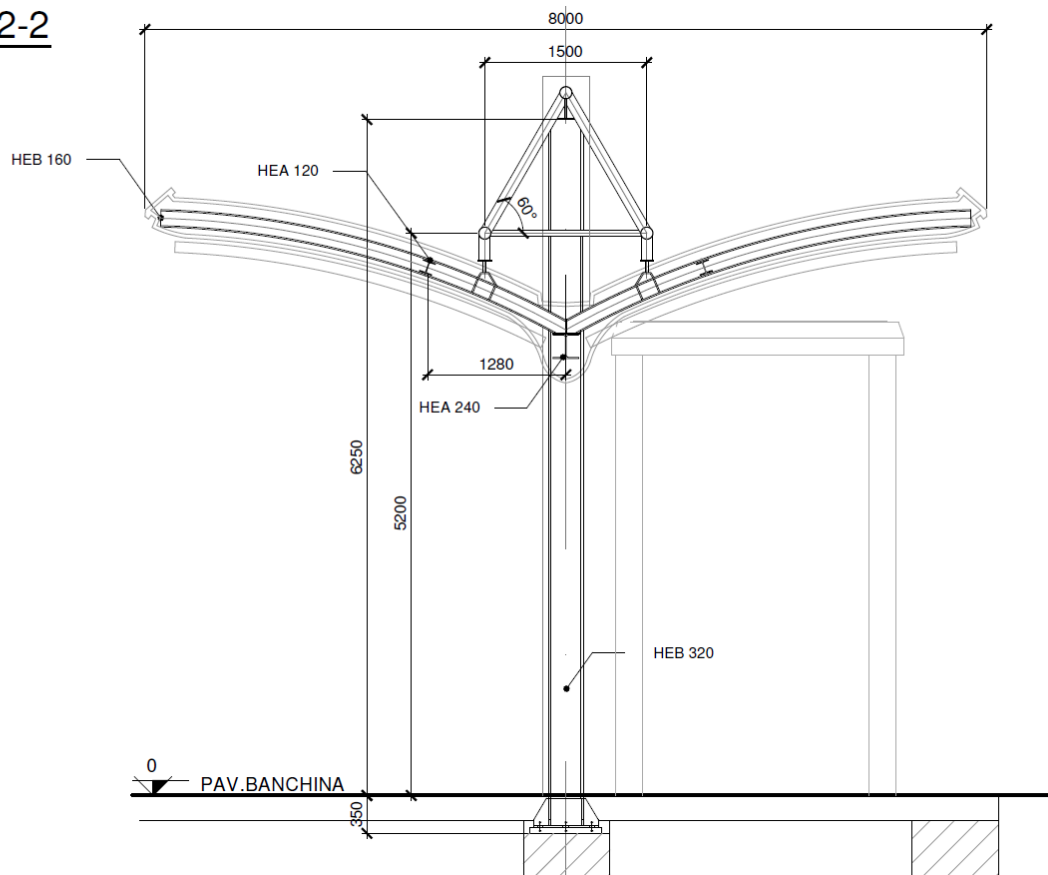
La pensilina avrà lunghezza complessiva di circa 34.5 m mentre la sua larghezza sarà di circa 7.5 m. Le strutture di sostegno saranno realizzate per mezzo di profili HEB 320 disposti su di un unico allineamento con interasse di 12.0 m centrato rispetto all'ingombro planimetrico della stessa pensilina. Su tali colonne verrà appoggiata una struttura reticolare in tubi di diverso diametro e spessore che a sua volta sorreggerà delle travi secondarie in profilati HEB 160 che andranno a sbalzo per circa 2.5 m verso i binari. Tali profili saranno calandratati con una distanza dal piano banchina compresa tra 4.3 e 5.3 m.

L'intera pensilina sarà fondata sulle strutture interrato in c.a. del sottopasso, strutture che esulano dalla finalità di questo progetto.

Una sezione trasversale della pensilina è rappresentata nella figura seguente:

SEZIONE 2-2

Scala 1:50



Sezione trasversale pensilina tipo A1a.

2. NORMATIVA DI RIFERIMENTO

La progettazione è conforme alle normative vigenti nonché alle istruzioni dell'Ente FF.SS.

I calcoli e le disposizioni esecutive sono conformi alle norme attualmente in vigore e nel seguito elencate:

[N.1]. Norme Tecniche per le Costruzioni - D.M. 17-01-18 (NTC-2018);

[N.2]. Circolare n. 7 del 21 gennaio 2019 - Istruzioni per l'Applicazione dell'aggiornamento delle Norme Tecniche per le Costruzioni di cui al Decreto Ministeriale 17 gennaio 2018;

[N.3]. Regolamento (UE) N. 1299/2014 della Commissione del 18 novembre 2014 relativo alle specifiche tecniche di interoperabilità per il sottosistema «infrastruttura» del sistema ferroviario dell'Unione europea, modificato dal Regolamento di esecuzione (UE) N° 2019/776 della Commissione del 16 maggio 2019

[N.4]. Eurocodici EN 1991-2: 2003/AC:2010 – Eurocodice 1 – Parte 2

[N.5]. RFI DTC SI MA IFS 001 D del 20 dicembre 2019 - Manuale di Progettazione delle Opere Civili

3. CARATTERISTICHE DEI MATERIALI

- ACCIAIO PER CARPENTERIA METALLICA: S355J0**

Tab. 4.2.I – Laminati a caldo con profili a sezione aperta piani e lunghi

Norme e qualità degli acciai	Spessore nominale "t" dell'elemento			
	t ≤ 40 mm		40 mm < t ≤ 80 mm	
	f _{yk} [N/mm ²]	f _{tk} [N/mm ²]	f _{yk} [N/mm ²]	f _{tk} [N/mm ²]
UNI EN 10025-2				
S 235	235	360	215	360
S 275	275	430	255	410
S 355	355	510	335	470
S 450	440	550	420	550
UNI EN 10025-3				
S 275 N/NL	275	390	255	370
S 355 N/NL	355	490	335	470
S 420 N/NL	420	520	390	520
S 460 N/NL	460	540	430	540
UNI EN 10025-4				
S 275 M/ML	275	370	255	360
S 355 M/ML	355	470	335	450
S 420 M/ML	420	520	390	500
S 460 M/ML	460	540	430	530
S460 Q/QL/QL1	460	570	440	580
UNI EN 10025-5				
S 235 W	235	360	215	340
S 355 W	355	510	335	490

- ACCIAIO PER BULLONI E DADI**

Bulloni del tipo "ad alta resistenza" ai sensi del DM 2018

Viti secondo EN 14399-4

Dadi secondo EN 14399-4

Rondelle (Rosette) EN 14399-6

Piastrine secondo UNI 5715 - 5716

La classe del bullone sarà selezionata in funzione del tipo di giunto da realizzare. In particolare, per giunti con bulloni a taglio:

Viti di classe 8.8 UNI EN ISO 898 - 1

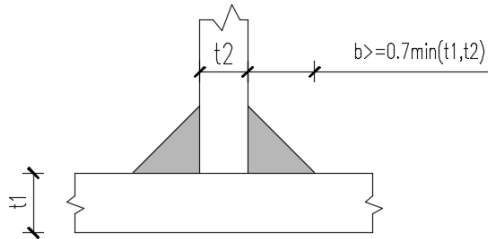
Dadi di classe 8 UNI EN 20898 -2

- SALDATURE**

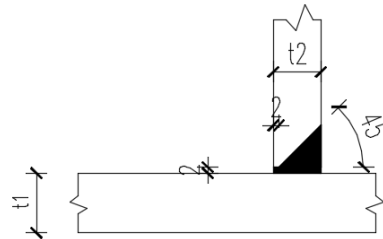
Procedimenti di saldatura omologati e qualificati (tipo automatico ad arco sommerso o altri che verranno concordati e accettati dall'Ente Appaltante) conformi a DM 2018 e al capitolato RFI DTC SI PS SP IFS 001 A.

Tutti gli elementi lavorati dovranno essere controllati ed accettati in accordo alla istruzione UNI EN 1090-2 (classe di esecuzione EXC3).

Saldature cordone d'angolo



Saldature a piena penetrazione



Saldature tipiche

• STRUTTURE DI FONDAZIONE (PLINTI DI FONDAZIONE)

CALCESTRUZZO

C25/30

$f_{ck} =$	24.9 MPa	= classe di resistenza
$\alpha_{cc} =$	0.85	= resistenza cilindrica caratteristica a compressione
$\gamma_c =$	1.5	= coefficiente riduttivo per le resistenze di lunga durata
$f_{cd} = \alpha_{cc} f_{ck} / \gamma_c =$	14.11 MPa	= coefficiente parziale di sicurezza
$f_{cm} = f_{ck} + 8 =$	32.9 MPa	= resistenza cilindrica di calcolo a compressione
$f_{ctm} = 0,30 f_{ck}^{2/3}$ per classi \leq C50/60	2.56 MPa	= resistenza cilindrica media a compressione
$f_{ctm} = 2,12 \ln[1+f_{cm}/10]$ per classi $>$ C50/60	2.56 MPa	= resistenza media a trazione
$f_{ctk} = 0,7 f_{ctm} =$	1.79 MPa	= resistenza caratteristica a trazione
$f_{ctd} = f_{ctk} / \gamma_c =$	1.19 MPa	= resistenza di calcolo a trazione
$E_c = 22000 [(f_{ck}+8)/10]^{0.3} =$	31447 MPa	= modulo elastico
$a/c_{max} =$	0.60	XC2 = classe di esposizione
$c_{min} =$	40 mm	= rapporto acqua/cemento massimo
		= valore minimo del copriferro

ACCIAIO PER ARMATURE

B450C

$f_{tk} \geq$	540 MPa	= tensione caratteristica di rottura
$f_{yk} \geq$	450 MPa	= tensione caratteristica di snervamento
$\gamma_s =$	1.15	= coefficiente parziale di sicurezza
$f_{yd} = f_{yk} / \gamma_s =$	391.3 MPa	= resistenza di calcolo
$E_s =$	200000 MPa	= modulo elastico

ADERENZA ACCIAIO-CLS

$\emptyset =$	26 mm	= diametro barra
$\eta = 1$ per barre di diametro \leq 32mm	1	
$\eta = (132-\emptyset)/100$ per $\emptyset >$ 32mm		
$f_{bk} = 2,25 \eta f_{ctk} =$	4.03 MPa	= resistenza tangenziale di aderenza caratteristica
$\gamma_b =$	1	
$f_{bd} = f_{bk} / (\gamma_c \gamma_b) =$	2.69 MPa	= resistenza tangenziale di aderenza di calcolo

4. PARAMETRI GEOTECNICI DEL SITO

Le strutture di fondazione delle pensiline verranno realizzate su rilevato aventi le seguenti caratteristiche meccaniche:

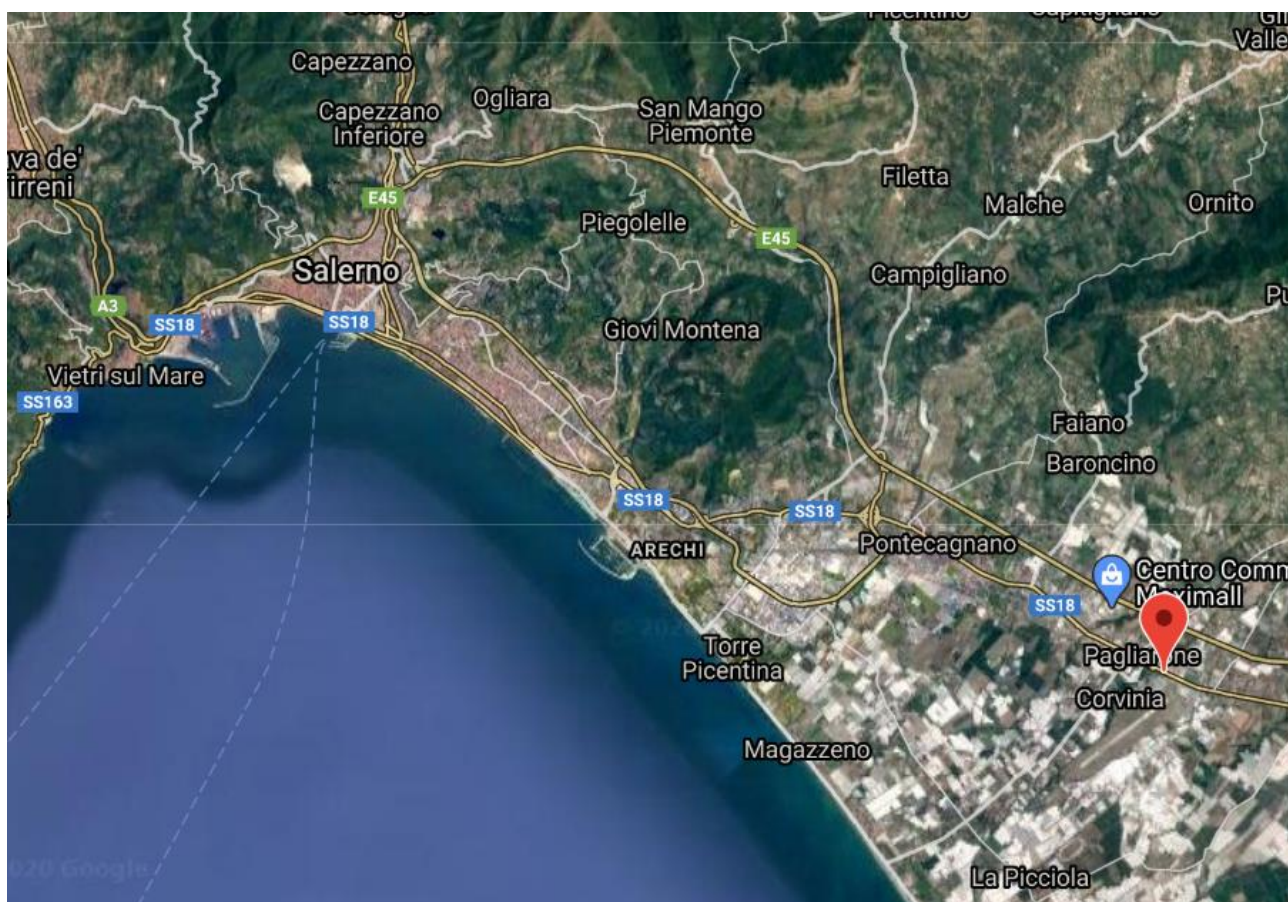
STRATIGRAFIA - profondità da p.c. [m]		γ [kN/m ³]	c' [kPa]	ϕ' [°]	c_u [kPa]
0 – 1.0	R	19.0	-	32.0	-
1.0 – 10.0	L2	18.0	12.5	23.5	67.5
10.0 – 35.0	L3	18.0	22.5	23.5	135-

Il livello della falda è posto a 5.5 m dal piano campagna.

La categoria del sottosuolo assunta ai fini sismici è C.

5. CARATTERIZZAZIONE SISMICA DEL SITO

L'opera di cui alla presente Relazione è sita presso la Stazione Aeroporto, a sud-est della città di Salerno.



Ubicazione dell'opera

I parametri utilizzati per la caratterizzazione sismica del sito sono rappresentati nella immagine seguente:

Tipo di costruzione: 2 - Costruzioni con livelli di prestazioni ordinari

Vn: 75

Classe d'uso: III

Località: Salerno, Montecorvino Pugliano, Pagliarone
 Latitudine ED50 40.6278° (40° 37' 40")
 Longitudine ED50 14.9182° (14° 55' 5")
 Altitudine s.l.m. 40.7 m

Vr: Default (113)

[Dettagli...](#)

Stato limite	Pvr(%)	Tr(anni)	Ag/g	Fo	Tc*(s)
SLO	Default (81)	68	Default (0.0531)	Default (2.455)	Default (0.344)
SLD	Default (63)	113	Default (0.0643)	Default (2.518)	Default (0.371)
SLV	Default (10)	1068	Default (0.135)	Default (2.689)	Default (0.477)
SLC	Default (5)	2193	Default (0.1635)	Default (2.764)	Default (0.519)

Altri parametri utilizzati per definire le azioni sismiche sono:

- categoria di sottosuolo: C;
- categoria topografica: T1.

Ulteriori dettagli sono riportati nell'Allegato 1 – Definizione struttura.

6. ANALISI DEI CARICHI

Si riportano di seguito i carichi utilizzati per il calcolo delle sollecitazioni e degli spostamenti della struttura in esame.

6.1 Peso proprio della struttura

Il peso proprio dei differenti elementi strutturali viene calcolato automaticamente dal programma di calcolo utilizzato con i seguenti pesi specifici:

- Calcestruzzo armato: 25.0 kN/mc
- Acciaio: 77.0 kN/mc

6.2 Carichi permanenti non strutturali

Di seguito si riportano i carichi permanenti non strutturali considerati nelle analisi.

Pensiline

- Pannelli di copertura 0.20 kN/mq
- Impermeabilizzazione e finitura 0.10 kN/mq
- Impianti 0.50 kN/mq
- Predisposizione Controsoffitto 0.50 kN/mq
- Predisposizione Pannelli fotovoltaici 0.20 kN/mq

Il totale dei permanenti in copertura è pari a 1.50 kN/mq.

6.3 Carico variabile sulla copertura

Trattandosi di copertura accessibile per sola manutenzione e riparazione (categoria H), si considera un sovraccarico di **0.5 kN/mq**.

Cat.	Ambienti	q_k [kN/m ²]	Q_k [kN]	H_k [kN/m]
	Coperture			
H-I-K	Cat. H Coperture accessibili per sola manutenzione e riparazione	0,50	1,20	1,00
	Cat. I Coperture praticabili di ambienti di categoria d'uso compresa fra A e D	secondo categorie di appartenenza		
	Cat. K Coperture per usi speciali, quali impianti, eliporti.	da valutarsi caso per caso		

6.4 Carico della neve sulle coperture

Le azioni della neve sono definite al capitolo 3.4 delle NTC2018.

Il carico provocato dalla neve sulle coperture sarà valutato mediante la seguente espressione:

$$q_s = q_{sk} \cdot \mu_i \cdot C_E \cdot C_t$$

dove:

- q_{sk} è il valore di riferimento del carico della neve al suolo;
- μ_i è il coefficiente di forma della copertura;
- C_E è il coefficiente di esposizione;
- C_t è il coefficiente termico ($C_t = 1$).

Valore di riferimento del carico neve al suolo

Ubicazione dell'opera:

- Zona III (Salerno)
- $a_s \approx 28.85$ m
- $q_{sk} = 0.60$ kN/m²

Coefficiente di forma

La copertura della pensilina è del tipo a una falda con giacitura orizzontale ($\alpha \approx 0^\circ$).

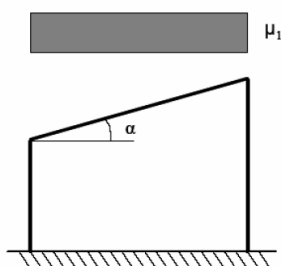


Fig. 3.4.2 - Condizioni di carico per coperture ad una falda

Tab. 3.4.II – Valori del coefficiente di forma

Coefficiente di forma	$0^\circ \leq \alpha \leq 30^\circ$	$30^\circ < \alpha < 60^\circ$	$\alpha \geq 60^\circ$
μ_1	0,8	$0,8 \cdot \frac{(60 - \alpha)}{30}$	0,0

Coefficiente di esposizione

Tab. 3.4.I – Valori di C_E per diverse classi di esposizione

Topografia	Descrizione	C_E
Battuta dai venti	Aree pianeggianti non ostruite esposte su tutti i lati, senza costruzioni o alberi più alti	0,9
Normale	Aree in cui non è presente una significativa rimozione di neve sulla costruzione prodotta dal vento, a causa del terreno, altre costruzioni o alberi	1,0
Riparata	Aree in cui la costruzione considerata è sensibilmente più bassa del circostante terreno o circondata da costruzioni o alberi più alti	1,1

In definitiva si ha:

$$q_s = 0.60 \cdot 0.8 \cdot 1.00 \cdot 1.00 = \mathbf{0.48 \text{ kN/m}^2}$$

6.5 Azione del vento

Il vento, la cui direzione si considera generalmente orizzontale, esercita sulle costruzioni azioni che variano nel tempo e nello spazio provocando, in generale, effetti dinamici.

Per le costruzioni usuali tali azioni sono convenzionalmente ricondotte ad azioni statiche equivalenti, costituite da pressioni e depressioni agenti normalmente alle superfici, sia esterne che interne, degli elementi che compongono le costruzioni stesse.

La pressione del vento è data dall'espressione:

$$p = q_r \cdot C_e \cdot C_p \cdot C_d$$

dove:

- q_r è la pressione cinetica di riferimento;
- C_e è il coefficiente di esposizione;
- C_p è il coefficiente di pressione;
- C_d è il coefficiente dinamico ($C_d = 1$).

Pressione cinetica di riferimento

$$q_r = \frac{1}{2} \cdot \rho \cdot v_r^2$$

dove:

- ρ è la densità dell'aria assunta convenzionalmente costante e pari a 1.25 kg/m^3 ;
- v_r è la velocità di riferimento del vento:

$$V_r = V_b \cdot C_r$$

con:

- v_b = la velocità base di riferimento (valore medio della velocità del vento su 10 minuti, a 10 m di altezza sul suolo su un terreno pianeggiante e omogeneo di categoria di esposizione II, riferito a un periodo di ritorno $T_R = 50$ anni);
- c_r = coefficiente di ritorno, funzione del periodo di ritorno di progetto T_R ($T_R = 50$ anni $\rightarrow c_r = 1 \rightarrow \rightarrow v_r = v_b$).

Velocità base di riferimento

$$V_b = V_{b,0} \cdot C_a$$

- $v_{b,0}$ è la velocità base di riferimento al livello del mare;
- c_a è il coefficiente di altitudine fornito dalla relazione:

$$C_a = 1 \quad \text{per} \quad a_s \leq a_0$$

$$C_a = 1 + k_s \cdot (a_s / a_0 - 1) \quad \text{per} \quad a_0 < a_s \leq 1500 \text{ m}$$

dove:

- a_0, k_s sono parametri forniti in funzione della zona in cui sorge la costruzione;
- a_s è l'altitudine sul livello del mare del sito ove sorge la costruzione ($a_s \approx 28.85$ m s.l.m.).

Tab. 3.3.I - Valori dei parametri $v_{b,0}$, a_0 , k_s

Zona	Descrizione	$v_{b,0}$ [m/s]	a_0 [m]	k_s
1	Valle d'Aosta, Piemonte, Lombardia, Trentino Alto Adige, Veneto, Friuli Venezia Giulia (con l'eccezione della provincia di Trieste)	25	1000	0,40
2	Emilia Romagna	25	750	0,45
3	Toscana, Marche, Umbria, Lazio, Abruzzo, Molise, Puglia, Campania, Basilicata, Calabria (esclusa la provincia di Reggio Calabria)	27	500	0,37
4	Sicilia e provincia di Reggio Calabria	28	500	0,36
5	Sardegna (zona a oriente della retta congiungente Capo Teulada con l'Isola di Maddalena)	28	750	0,40
6	Sardegna (zona a occidente della retta congiungente Capo Teulada con l'Isola di Maddalena)	28	500	0,36
7	Liguria	28	1000	0,54
8	Provincia di Trieste	30	1500	0,50
9	Isole (con l'eccezione di Sicilia e Sardegna) e mare aperto	31	500	0,32

$$\rightarrow v_b = 27 \cdot 1 = 27 \text{ m/s} \quad \rightarrow q_r = \frac{1}{2} \cdot 1.25 \cdot 27^2 = 456 \text{ N/m}^2$$

Coefficiente di esposizione

Il coefficiente di esposizione dipende dall'altezza "z" sul suolo del punto considerato, dalla topografia del terreno e dalla categoria di esposizione del sito ove sorge la costruzione.

Per altezze sul suolo non maggiori di $z = 200$ m esso è dato dalla formula:

$$c_e(z) = k_r^2 \cdot c_t \cdot \ln(z/z_0) \cdot [7 + c_t \cdot \ln(z/z_0)] \quad \text{per} \quad z \geq z_{\min}$$

$$c_e(z) = c_e(z_{\min}) \quad \text{per} \quad z < z_{\min}$$

dove:

- k_r , z_0 , z_{\min} sono assegnati in funzione della categoria di esposizione del sito ove sorge la costruzione;

- c_t è il coefficiente di topografia ($c_t = 1$).

L'altezza della pensilina sul suolo è di circa 4.85 m, quindi si ha:

$$c_e(z=4.85 \text{ m}) = 0.19^2 \cdot 1 \cdot \ln(4.85/0.05) \cdot [7 + 1 \cdot \ln(4.85/0.05)] \approx 1.91$$

Tab. 3.3.III - Classi di rugosità del terreno

Classe di rugosità del terreno	Descrizione
A	Aree urbane in cui almeno il 15% della superficie sia coperto da edifici la cui altezza media superi i 15 m
B	Aree urbane (non di classe A), suburbane, industriali e boschive
C	Aree con ostacoli diffusi (alberi, case, muri, recinzioni,...); aree con rugosità non riconducibile alle classi A, B, D
D	a) Mare e relativa fascia costiera (entro 2 km dalla costa); b) Lago (con larghezza massima pari ad almeno 1 km) e relativa fascia costiera (entro 1 km dalla costa) c) Aree prive di ostacoli o con al più rari ostacoli isolati (aperta campagna, aeroporti, aree agricole, pascoli, zone paludose o sabbiose, superfici innevate o ghiacciate,)

L'assegnazione della classe di rugosità non dipende dalla conformazione orografica e topografica del terreno. Si può assumere che il sito appartenga alla Classe A o B, purché la costruzione si trovi nell'area relativa per non meno di 1 km e comunque per non meno di 20 volte l'altezza della costruzione, per tutti i settori di provenienza del vento ampi almeno 30°. Si deve assumere che il sito appartenga alla Classe D, qualora la costruzione sorga nelle aree indicate con le lettere a) o b), oppure entro un raggio di 1 km da essa vi sia un settore ampio 30°, dove il 90% del terreno sia del tipo indicato con la lettera c). Laddove sussistano dubbi sulla scelta della classe di rugosità, si deve assegnare la classe più sfavorevole (l'azione del vento è in genere minima in Classe A e massima in Classe D).

ZONE 1,2,3,4,5						
	costa		500m		750m	
	mare					
	2 km	10 km	30 km			
A	--	IV	IV	V	V	V
B	--	III	III	IV	IV	IV
C	--	*	III	III	IV	IV
D	I	II	II	III	III	**
* Categoria II in zona 1,2,3,4 Categoria III in zona 5						
** Categoria III in zona 2,3,4,5 Categoria IV in zona 1						

Tab. 3.3.II - Parametri per la definizione del coefficiente di esposizione

Categoria di esposizione del sito	K_r	z_0 [m]	z_{min} [m]
I	0,17	0,01	2
II	0,19	0,05	4
III	0,20	0,10	5
IV	0,22	0,30	8
V	0,23	0,70	12

Coefficiente di pressione (o aerodinamico)

Il coefficiente di pressione dipende dalla tipologia della costruzione e dal suo orientamento rispetto alla direzione del vento.

Colonne

Per determinare l'azione del vento sulle colonne si fa riferimento alle indicazioni di cui al § 3.3.4 del CNR-DT 207/2008.

Le azioni aerodinamiche di picco esercitate dal vento su costruzioni ed elementi snelli possono essere espresse mediante una coppia di forze ortogonali f_x e f_y e un momento torcente m_z , per unità di lunghezza, applicati lungo l'asse Z di riferimento della costruzione o dell'elemento, secondo lo schema mostrato nella figura seguente.

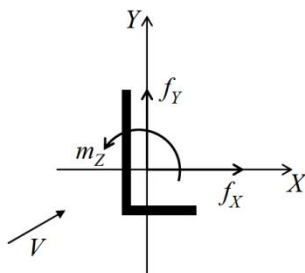


Figura 3.16 – Azioni per unità di lunghezza su costruzioni ed elementi snelli.

$$f_x(z) = q_p(z) \cdot \ell \cdot c_{fx}$$

$$f_y(z) = q_p(z) \cdot \ell \cdot c_{fy}$$

$$m_z(z) = q_p(z) \cdot \ell^2 \cdot c_{mz}$$

dove:

- z è la quota sul suolo;
- c_{fx} , c_{fy} sono i coefficienti di forza;
- c_{mz} è il coefficiente di momento;
- ℓ è la dimensione di riferimento associata ai coefficienti c_{fx} , c_{fy} , c_{mz} ;
- q_p è la pressione cinetica di picco del vento:

$$q_p(z) = \frac{1}{2} \cdot \rho \cdot v_r^2 \cdot c_e(z)$$

I coefficienti di forza e di momento per unità di lunghezza sono forniti dalle relazioni (CNR-DT 207/2008, § G.10):

- $c_{fx} = c_{fx0} \cdot \psi_\lambda$;
- $c_{fy} = c_{fy0} \cdot \psi_\lambda$;
- $c_{mz} = c_{mz0} \cdot \psi_\lambda$;

dove:

- c_{fx0} , c_{fy0} , c_{mz0} sono i coefficienti di forza e di momento per unità di lunghezza relativi a strutture ed elementi di lunghezza ideale infinita;
- ψ_λ è il coefficiente di snellezza, che tiene in conto gli effetti riduttivi di bordo.

In via cautelativa si assume $\psi_\lambda = 1$.

Per la determinazione dei coefficienti c_{fx0} , c_{fy0} , c_{mz0} si applica il § G.10.2 del CNR-DT 207/2008:

Per le singole colonne, con rivestimento di larghezza 0.99 m in direzione X e 0.44 m in direzione Y, si hanno i seguenti carichi:

- $f_x(z) = \text{cost.} = 456 \cdot 1.91 \cdot 2.1 \cdot 0.44 \cdot 10^{-3} = \mathbf{0.80 \text{ kN/m}}$;
- $f_y(z) = \text{cost.} = 456 \cdot 1.91 \cdot 2.1 \cdot 0.99 \cdot 10^{-3} = \mathbf{1.81 \text{ kN/m}}$.

Copertura

La copertura della pensilina è costituita da una tettoia a doppia falda con la parte centrale a quota inferiore. Per essa si applicano le indicazioni di cui ai §§ C3.3.8.2 e C3.3.8.2.2 della CIRC. n. 7/2019 (le stesse indicazioni si trovano nel CNR-DT 207/2008 ai §§ G.6 e G.6.2).

Le suddette istruzioni sono volte a schematizzare l'azione del vento sulle tettoie attraverso forze F ortogonali al piano di ciascuna falda della tettoia. Tali forze sono quantificate mediante coefficienti di forza, c_F , e dalla posizione del loro punto di applicazione.

In primo luogo occorre definire il grado di bloccaggio φ , cioè il rapporto tra l'area esposta al vento di un'eventuale ostruzione presente al di sotto della tettoia e l'area totale della superficie ortogonale alla direzione del vento al di sotto della tettoia.

Si identificano due situazioni limite:

- $\varphi=0$ corrisponde all'assenza di ostruzioni al di sotto della tettoia (tettoia libera);
- $\varphi=1$ corrisponde alla situazione in cui lo spazio al di sotto della tettoia risulti completamente ostruito.

La condizione $\varphi=1$ è sostanzialmente diversa da quella prevista per gli edifici in quanto l'eventuale ostruzione può essere offerta anche da elementi che non delimitano completamente e permanentemente lo spazio al di sotto della tettoia.

A valle della massima ostruzione si adotta $\varphi=0$.

Le azioni aerodinamiche esercitate dal vento sulle tettoie dipendono fortemente dal grado di bloccaggio in quanto la presenza di un'ostruzione, anche soltanto sul lato sottovento, impedisce il passaggio dell'aria al di sotto della tettoia.

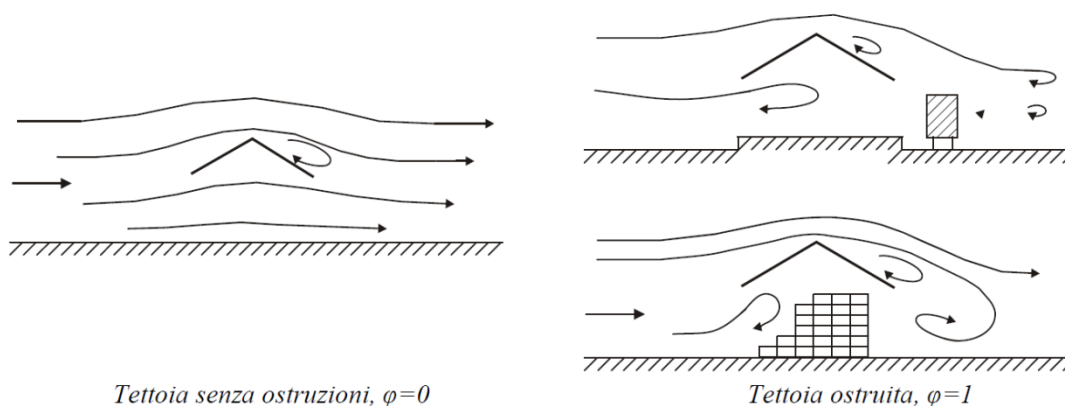


Figura G.25 – Differenze nel flusso dell'aria per tettoie con $\varphi=0$ e $\varphi=1$.

La pensilina oggetto della presente relazione presenta un grado di bloccaggio φ pari a 0 o prossimo all'unità rispettivamente in assenza o in presenza di convogli fermi in stazione. Pertanto, nel prosieguo si farà riferimento al grado di bloccaggio che dà luogo alla situazione più gravosa.

Tabella G.XIII – Coefficienti di forza per tettoie a doppia falda (α in $^\circ$).

Valori positivi	Tutti i valori di φ	$c_F = + 0,2 + 0,7 \cdot \alpha /30$	
Valori negativi	$\varphi = 0$	$\alpha \leq 0^\circ$	$c_F = - 0,5 + 0,1 \cdot \alpha/10$
		$\alpha \geq 0^\circ$	$c_F = - 0,5 - 0,2 \cdot \alpha/10$
	$\varphi = 1$	tutti i valori di α	$c_F = - 1,4$

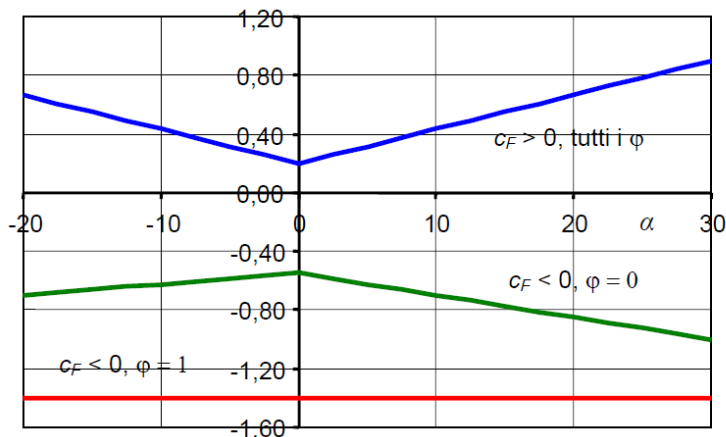
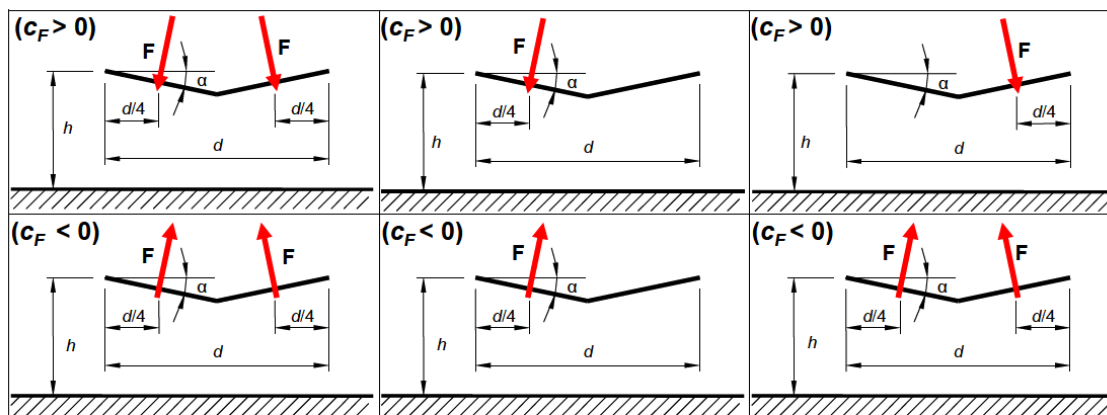


Figura G.28 – Coefficienti di forza per tettoie a doppia falda.

Per il calcolo delle forze negative, cioè in depressione, si fa riferimento alla condizione $\varphi = 1 \rightarrow c_F = -1.40$. Le forze positive, invece, sono indipendenti dal grado di bloccaggio; poiché le falde risultano inclinate di $\alpha \approx -27^\circ$ risulta:

$$c_F = +0.2 + 0.7 \cdot |\alpha|/10 = +0.2 + 0.7 \cdot 27/10 = +2.09$$


 Figura G.29b – Tettoie a doppia falda: posizione del punto di applicazione delle forze risultanti in funzione della direzione della forza – schema per $\alpha < 0^\circ$.

Per il calcolo della tettoia si considerano le condizioni di carico più gravose tra quelle indicate nella Figura G.29b, dove la forza risultante F è data dall'espressione:

$$F = q_p(z=h) \cdot L^2 \cdot c_F$$

con:

- $q_p(z=h) = 456 \cdot 1.91 \cdot 10^{-3} = 0.87 \text{ kN/m}^2$ (pressione cinetica di picco);
- L^2 è l'area di ciascuna falda della tettoia;
- c_F è il coefficiente di forza.

Poiché la risultante è centrata su ciascuna falda si può utilizzare una pressione o depressione uniformemente distribuita in luogo della risultante. Tali pressione o depressione hanno intensità:

$$f^{(+)} = +0.87 \cdot 2.09 = \mathbf{+1.82 \text{ kN/m}^2};$$

$$f^{(-)} = -0.87 \cdot 1.40 = \mathbf{-1.22 \text{ kN/m}^2}.$$

La suddetta pressione f è applicata alternativamente nelle condizioni Vento X e Vento Y anche per la parte di copertura orizzontale.

Infine, si determina l'azione tangente in copertura per unità di superficie parallela alla direzione del vento, data dall'espressione:

$$p_f = q_r \cdot C_e \cdot C_f$$

Tabella C3.3.XIX - Valori del coefficiente d'attrito

Superficie	Coefficiente d'attrito c_f
Liscia (acciaio, cemento a faccia liscia..)	0,01
Scabra (cemento a faccia scabra, catrame..)	0,02
Molto scabra (ondulata, costolata, piegata..)	0,04

L'azione tangente interessa sia l'intradosso che l'estradosso, quindi si ha:

$$p_f = 2 \cdot 456 \cdot 1.91 \cdot 0.04 \cdot 10^{-3} = \mathbf{0.07 \text{ kN/m}^2}$$

Tale carico viene applicato come carico lineari alle travi secondarie disposte ad interasse di 3.0 m:

$$P_f = p_f \cdot 3.0 = \mathbf{0.21 \text{ kN/m}}$$

6.6 Pressione aerodinamica dovuta al passaggio dei treni

Il passaggio dei convogli ferroviari induce sulle superfici situate in prossimità della linea ferroviaria onde di pressione e depressione secondo gli schemi riportati nel seguito.

Tali azioni possono essere schematizzate mediante carichi equivalenti agenti nelle zone prossime alla testa ed alla coda del treno.

I carichi equivalenti sono considerati valori caratteristici delle azioni.

In ogni caso, i valori delle azioni aerodinamiche dovranno essere cumulati con l'azione del vento, secondo le regole riportate nei capitoli della normativa di riferimento relativi alle combinazioni delle azioni.

Pressione orizzontale sulle colonne (§ 5.2.2.6.1 NTC2018)

La distanza minima a_g delle facce delle colonne dagli assi dei binari adiacenti è di circa 3.67 m. Con $V=180 \text{ km/h}$ può assumersi un valore cautelativo di q_{1k} pari a 0.31 kN/m^2 .

Inoltre, poiché la larghezza delle colonne è minore di 2.50 m, l'azione q_{1k} deve essere incrementata del fattore $k_2=1.3 \rightarrow 0.31 \cdot 1.3 = 0.40 \text{ kN/m}^2$.

Essendo la larghezza della colonna pari a 0.99 m si avrà un carico lineare pari a $0.40 \cdot 0.99 = 0.399 \text{ kN/m}$.

Valori caratteristici delle azioni q_{1k} per superfici semplici verticali parallele al binario

Legenda

X a_g [m]

Y q_{1k} [kN/m²]

1 Sezione

2 Superficie della struttura

3 Pianta

4 Superficie della struttura

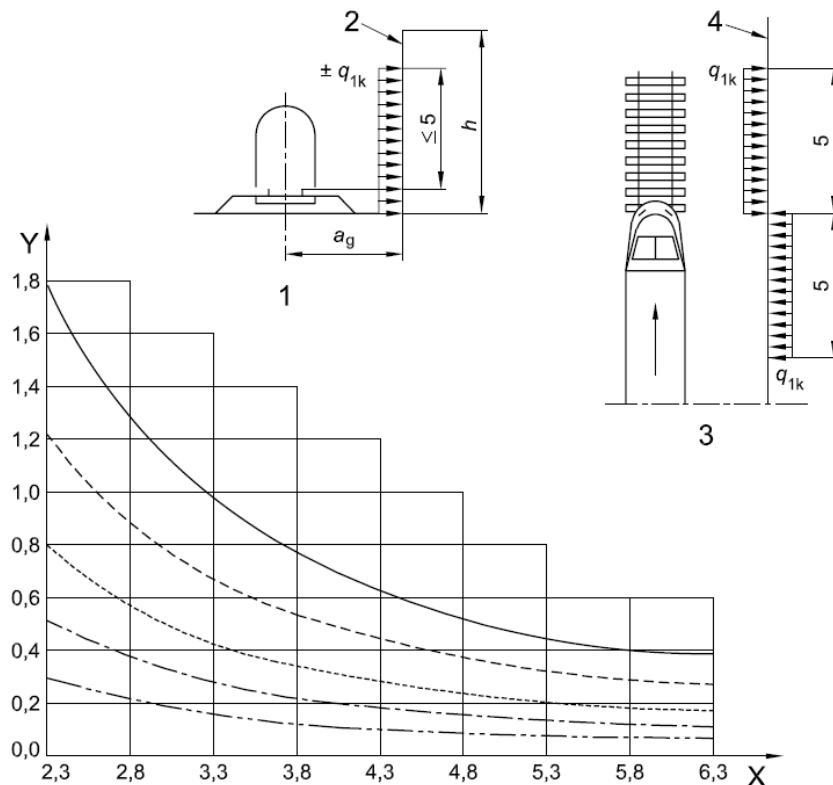
————— V = 300 km/h

----- V = 250 km/h

----- V = 200 km/h

----- V = 160 km/h

----- V = 120 km/h



Pressione verticale sulla copertura

La distanza minima della superficie inferiore della copertura dal p.f. è pari a ~4.95 m.

La distanza minima in pianta dall'asse dei binari è inferiore a 2.0 m, pertanto si considera, a favore di sicurezza, il caso di superfici orizzontali al di sopra dei binari (§ 5.2.2.6.2 NTC2018).

$V=180$ km/h, quindi si assume, in via cautelativa, $q_{2k} = 0.85$ KN/m².

La larghezza di applicazione del carico per gli elementi strutturali da considerare si estende sino a 10 m da ciascun lato a partire dalla mezzeria del binario.

Valori caratteristici delle azioni q_{2k} per superfici orizzontali semplici sopra il binario

Legenda

X h_g [m]

Y q_{2k} [kN/m²]

1 Sezione

2 Profilo

3 Intradosso della struttura

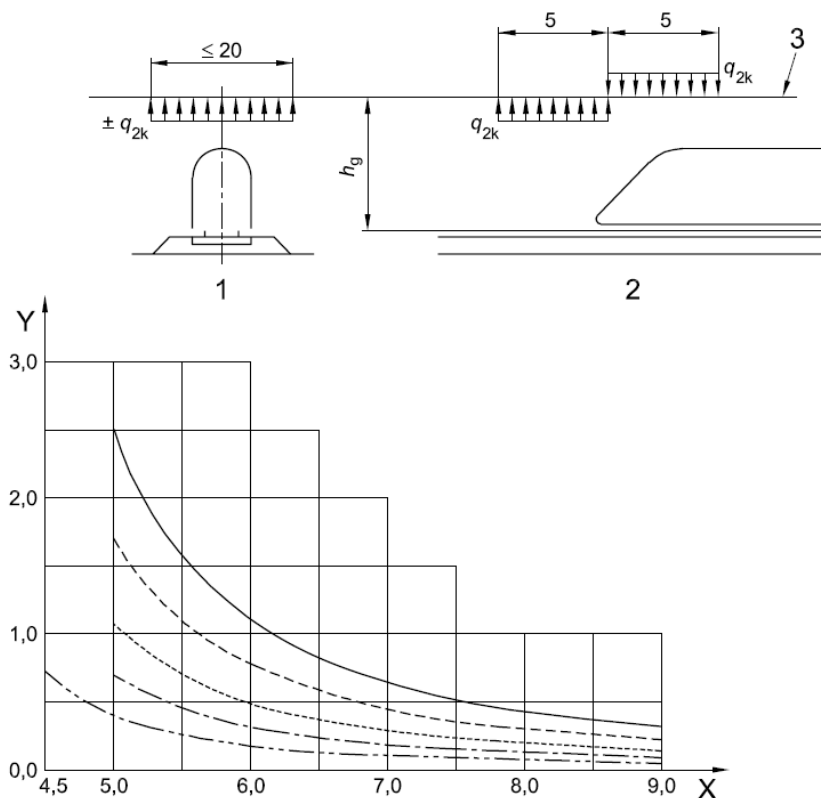
————— $V = 300$ km/h

----- $V = 250$ km/h

----- $V = 200$ km/h

----- $V = 160$ km/h

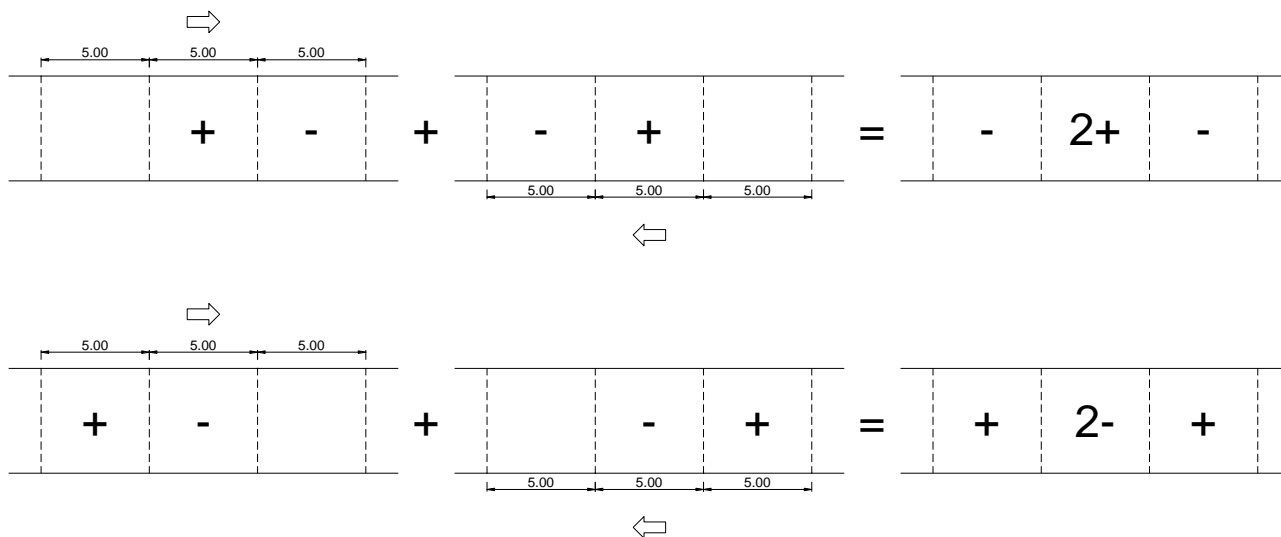
----- $V = 120$ km/h



Per convogli transittanti in due direzioni opposte, le azioni si sommano.

Nel caso di presenza di più binari, vanno considerati solo due binari.

Nel caso in esame, quindi, si considera il transito in direzioni opposte di due convogli, i cui effetti vengono sommati nel modo più sfavorevole, come rappresentato nella figura seguente.



6.7 Azioni termiche

Si considera una variazione di temperatura uniforme sulle strutture metalliche pari a $\pm 25\text{ }^{\circ}\text{C}$ con un coefficiente di dilatazione termica α pari a 0.00001.

Tab. 3.5.II – Valori di ΔT_u per gli edifici

Tipo di struttura	ΔT_u
Strutture in c.a. e c.a.p. esposte	$\pm 15\text{ }^{\circ}\text{C}$
Strutture in c.a. e c.a.p. protette	$\pm 10\text{ }^{\circ}\text{C}$
Strutture in acciaio esposte	$\pm 25\text{ }^{\circ}\text{C}$
Strutture in acciaio protette	$\pm 15\text{ }^{\circ}\text{C}$

6.8 Urti da traffico ferroviario

Secondo le indicazioni del par. 3.6.3.4 delle NTC 2018 le azioni derivanti dall'urto da traffico ferroviario non si applicano sui sostegni di tettoie o di pensiline di impianti ferroviari.

6.9 Azione sismica

Per la caratterizzazione sismica del sito si faccia riferimento al relativo § 3 della presente relazione.

Il calcolo è condotto mediante analisi dinamica lineare con spettro di risposta.

Si riportano di seguito gli spettri di progetto per lo SLD e per lo SLV.

Metodo di analisi	D.M. 17-01-18 (N.T.C.)
Tipo di costruzione	2 - Costruzioni con livelli di prestazioni ordinari
Vn	75
Classe d'uso	III
Vr	113
Tipo di analisi	Lineare dinamica
Località	Salerno, Montecorvino Pugliano, Pagliarone; Latitudine ED50 40.6285° (40° 37' 42"); Longitudine ED50 14.9165° (14° 54' 59"); Altitudine s.l.m. 39.12 m.
Categoria del suolo	C - Depositi di terreni a grana grossa mediamente addensati o terreni a grana fina mediamente consistenti
Categoria topografica	T1 - Superficie pianeggiante, pendii e rilievi isolati con inclinazione media $i \leq 15^\circ$
Ss orizzontale SLO	1.5
Tb orizzontale SLO	0.171 [s]
Tc orizzontale SLO	0.513 [s]
Td orizzontale SLO	1.812 [s]
Ss orizzontale SLD	1.5
Tb orizzontale SLD	0.18 [s]
Tc orizzontale SLD	0.541 [s]
Td orizzontale SLD	1.857 [s]
Ss orizzontale SLV	1.4822
Tb orizzontale SLV	0.213 [s]
Tc orizzontale SLV	0.64 [s]
Td orizzontale SLV	2.14 [s]
St	1
PVr SLO (%)	81
Tr SLO	67.74
Ag/g SLO	0.0531
Fo SLO	2.455
Tc* SLO	0.343 [s]
PVr SLD (%)	63
Tr SLD	113.15
Ag/g SLD	0.0644
Fo SLD	2.518
Tc* SLD	0.371 [s]
PVr SLV (%)	10
Tr SLV	1067.76
Ag/g SLV	0.135
Fo SLV	2.689
Tc* SLV	0.477 [s]
Smorzamento viscoso (%)	5
Classe di duttilità	Non dissipativa
Rotazione del sisma	0 [deg]
Quota dello '0' sismico	0 [m]
Regolarità in pianta	No
Regolarità in elevazione	No
Edificio acciaio	Si
Edificio esistente	No
T1,x	0.73805 [s]

STAZIONE PONTECAGNANO AEROPORTO
Pensilina di banchina: Relazione di calcolo tipo A1a

COMMESSA	LOTTO	CODIFICA	DOCUMENTO	REV.	FOGLIO
NN1X	00	D 78	CL FV050C 001	B	24 di 58

T1,y	0.99788 [s]
λ SLO,x	0.85
λ SLO,y	0.85
λ SLD,x	0.85
λ SLD,y	0.85
λ SLV,x	0.85
λ SLV,y	0.85
Numero modi	10
Metodo di Ritz	applicato
Limite spostamenti interpiano SLD	0.005
Fattore di comportamento per sisma SLD X	1.07
Fattore di comportamento per sisma SLD Y	1.07
Fattore di comportamento per sisma SLV X	1.07
Fattore di comportamento per sisma SLV Y	1.07
Coefficiente di sicurezza per carico limite (fondazioni superficiali)	2.3
Coefficiente di sicurezza per scorrimento (fondazioni superficiali)	1.1
Coefficiente di sicurezza portanza verticale pali infissi, punta	1.15
Coefficiente di sicurezza portanza verticale pali infissi, laterale compressione	1.15
Coefficiente di sicurezza portanza verticale pali infissi, laterale trazione	1.25
Coefficiente di sicurezza portanza verticale pali trivellati, punta	1.35
Coefficiente di sicurezza portanza verticale pali trivellati, laterale compressione	1.15
Coefficiente di sicurezza portanza verticale pali trivellati, laterale trazione	1.25
Coefficiente di sicurezza portanza verticale micropali, punta	1.35
Coefficiente di sicurezza portanza verticale micropali, laterale compressione	1.15
Coefficiente di sicurezza portanza verticale micropali, laterale trazione	1.25
Coefficiente di sicurezza portanza trasversale pali	1.3
Fattore di correlazione resistenza caratteristica dei pali in base alle verticali indagate	1.7
Coefficiente di sicurezza per ribaltamento (plinti superficiali)	1.15

7. COMBINAZIONI DI CARICO

Le combinazioni di carico usate per l'analisi della struttura sono state ottenute secondo le indicazioni del § 2.5.3 delle NTC2018:

- Combinazione fondamentale, generalmente impiegata per gli stati limite ultimi (SLU):

$$\gamma_{G1} \cdot G_1 + \gamma_{G2} \cdot G_2 + \gamma_P \cdot P + \gamma_{Q1} \cdot Q_{k1} + \gamma_{Q2} \cdot \psi_{02} \cdot Q_{k2} + \gamma_{Q3} \cdot \psi_{03} \cdot Q_{k3} + \dots$$
 [2.5.1]
- Combinazione caratteristica, cosiddetta rara, generalmente impiegata per gli stati limite di esercizio (SLE) irreversibili:

$$G_1 + G_2 + P + Q_{k1} + \psi_{02} \cdot Q_{k2} + \psi_{03} \cdot Q_{k3} + \dots$$
 [2.5.2]
- Combinazione frequente, generalmente impiegata per gli stati limite di esercizio (SLE) reversibili:

$$G_1 + G_2 + P + \psi_{11} \cdot Q_{k1} + \psi_{22} \cdot Q_{k2} + \psi_{23} \cdot Q_{k3} + \dots$$
 [2.5.3]
- Combinazione quasi permanente (SLE), generalmente impiegata per gli effetti a lungo termine:

$$G_1 + G_2 + P + \psi_{21} \cdot Q_{k1} + \psi_{22} \cdot Q_{k2} + \psi_{23} \cdot Q_{k3} + \dots$$
 [2.5.4]
- Combinazione sismica, impiegata per gli stati limite ultimi e di esercizio connessi all'azione sismica E:

$$E + G_1 + G_2 + P + \psi_{21} \cdot Q_{k1} + \psi_{22} \cdot Q_{k2} + \dots$$
 [2.5.5]
- Combinazione eccezionale, impiegata per gli stati limite ultimi connessi alle azioni eccezionali A:

$$G_1 + G_2 + P + A_d + \psi_{21} \cdot Q_{k1} + \psi_{22} \cdot Q_{k2} + \dots$$
 [2.5.6]

Gli effetti dell'azione sismica saranno valutati tenendo conto delle masse associate ai seguenti carichi gravitazionali:

$$G_1 + G_2 + \sum_j \psi_{2j} Q_{kj} \quad [2.5.7]$$

I coefficienti parziali sulle azioni (γ_F) e i coefficienti di combinazione (ψ_0, ψ_1, ψ_2) sono quelli definiti nel 5.2.3.2 delle NTC2018:

Tab. 5.2.V - Coefficienti parziali di sicurezza per le combinazioni di carico agli SLU

Coefficiente			EQU ⁽¹⁾	A1	A2
Azioni permanenti	favorevoli	γ_{G1}	0,90	1,00	1,00
	sfavorevoli		1,10	1,35	1,00
Azioni permanenti non strutturali ⁽²⁾	favorevoli	γ_{G2}	0,00	0,00	0,00
	sfavorevoli		1,50	1,50	1,30
Ballast ⁽³⁾	favorevoli	γ_B	0,90	1,00	1,00
	sfavorevoli		1,50	1,50	1,30
Azioni variabili da traffico ⁽⁴⁾	favorevoli	γ_Q	0,00	0,00	0,00
	sfavorevoli		1,45	1,45	1,25
Azioni variabili	favorevoli	γ_{Qi}	0,00	0,00	0,00
	sfavorevoli		1,50	1,50	1,30
Precompressione	favorevole	γ_P	0,90	1,00	1,00
	sfavorevole		1,00 ⁽⁵⁾	1,00 ⁽⁶⁾	1,00
Ritiro, viscosità e cedimenti non imposti appositamente	favorevole	γ_{Ced}	0,00	0,00	0,00
	sfavorevole		1,20	1,20	1,00

⁽¹⁾ Equilibrio che non coinvolga i parametri di deformabilità e resistenza del terreno; altrimenti si applicano i valori della colonna A2.

⁽²⁾ Nel caso in cui l'intensità dei carichi permanenti non strutturali, o di una parte di essi (ad esempio carichi permanenti portati), sia ben definita in fase di progetto, per detti carichi o per la parte di essi nota si potranno adottare gli stessi coefficienti validi per le azioni permanenti.

⁽³⁾ Quando si prevedano variazioni significative del carico dovuto al ballast, se ne dovrà tener conto esplicitamente nelle verifiche.

⁽⁴⁾ Le componenti delle azioni da traffico sono introdotte in combinazione considerando uno dei gruppi di carico gr della Tab. 5.2.IV.

⁽⁵⁾ 1,30 per instabilità in strutture con precompressione esterna

⁽⁶⁾ 1,20 per effetti locali

Tab. 5.2.VI - Coefficienti di combinazione Ψ delle azioni

Azioni		Ψ_0	Ψ_1	Ψ_2
Azioni singole	Carico sul rilevato a tergo delle spalle	0,80	0,50	0,0
da traffico	Azioni aerodinamiche generate dal transito dei convogli	0,80	0,50	0,0
	g_{r1}	0,80 ⁽²⁾	0,80 ⁽¹⁾	0,0
Gruppi di	g_{r2}	0,80 ⁽²⁾	0,80 ⁽¹⁾	-
carico	g_{r3}	0,80 ⁽²⁾	0,80 ⁽¹⁾	0,0
	g_{r4}	1,00	1,00 ⁽¹⁾	0,0
Azioni del vento	F_{Wk}	0,60	0,50	0,0
Azioni da	in fase di esecuzione	0,80	0,0	0,0
neve	SLU e SLE	0,0	0,0	0,0
Azioni termiche	T_k	0,60	0,60	0,50

⁽¹⁾ 0,80 se è carico solo un binario, 0,60 se sono carichi due binari e 0,40 se sono carichi tre o più binari.

⁽²⁾ Quando come azione di base venga assunta quella del vento, i coefficienti ψ_0 relativi ai gruppi di carico delle azioni da traffico vanno assunti pari a 0,0.

Definizione delle condizioni di carico

- **G1:** pesi degli elementi strutturali
- **G2:** carichi permanenti portati (non strutturali)
- **Qi:** sovraccarichi variabili
 - **Q1:** carico neve sulle coperture
 - **Q2a:** azioni dovute al vento in direzione X
 - **Q2b:** azioni dovute al vento in direzione Y
 - **Q3:** azione termica ($\Delta T = \pm 25^\circ$)
 - **Q4:** pressioni aerodinamiche associate al transito dei convogli
- **E:** azioni sismiche
 - **Ex:** azione sismica in direzione $\pm X$
 - **Ey:** azione sismica in direzione $\pm Y$
 - **Ez:** azione sismica in direzione $\pm Z$

La componente verticale del sisma viene trascurata, giusto quanto previsto al § 3.2.3.1 delle NTC 2018 essendo il sito nel quale sorge la costruzione caratterizzato da un'accelerazione al suolo a_g inferiore a 0,15 g.

L'applicazione delle modalità di combinazione dei carichi prevista dalle NTC 2018 ha prodotto:

- 468 combinazioni di carico allo SLU;
- 117 combinazioni di carico allo SLE combinazione rara;
- 14 combinazioni di carico allo SLE combinazione frequente;
- 2 combinazioni di carico allo SLE combinazione quasi permanente;
- 32 combinazioni di carico allo SLO;
- 32 combinazioni di carico allo SLD;
- 32 combinazioni di carico allo SLV.

L'elenco completo delle combinazioni è riportato nell'Allegato 1 – Definizione struttura.

8. MODELLAZIONE STRUTTURALE

8.1 Codice di calcolo

L'analisi della struttura è stata condotta con il seguente codice di calcolo agli elementi finiti:

Titolo	SISMICAD
Versione	12.3
Produttore	Concrete S.r.l.

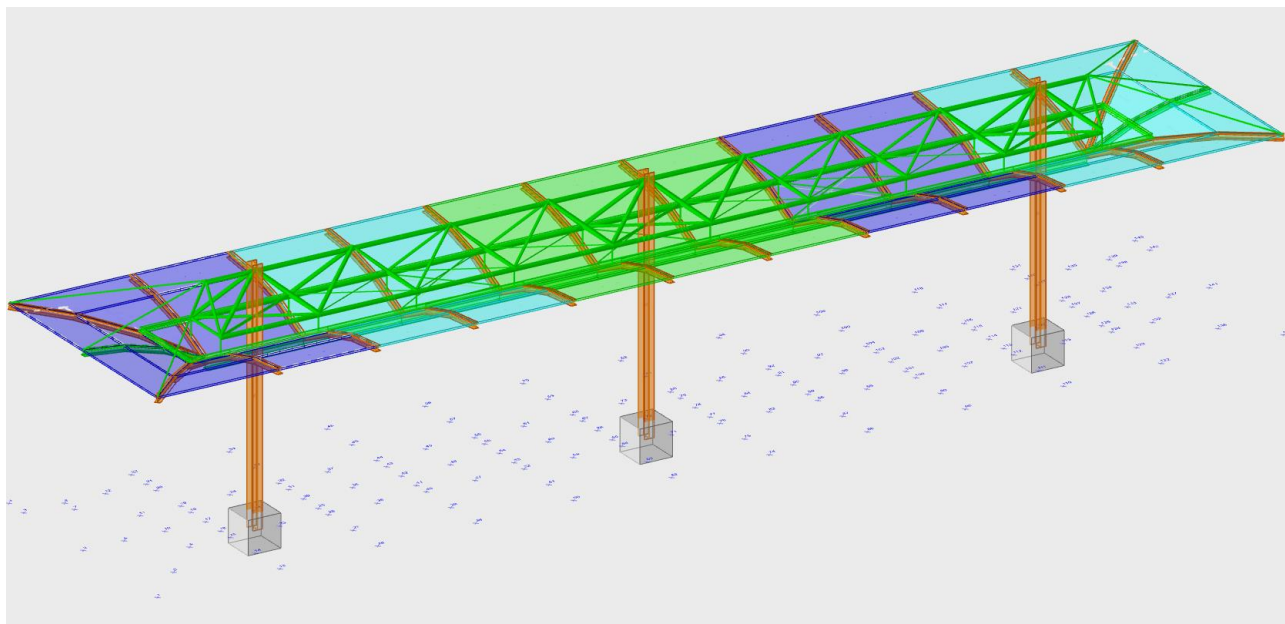
8.2 Descrizione del modello di calcolo

Per l'analisi della struttura, è stato sviluppato un modello di calcolo tridimensionale avente dimensioni in pianta di 34.5 m x 7.5 m ed altezza complessiva al di sopra della quota banchina (pavimento finito) pari a 6.18 m.

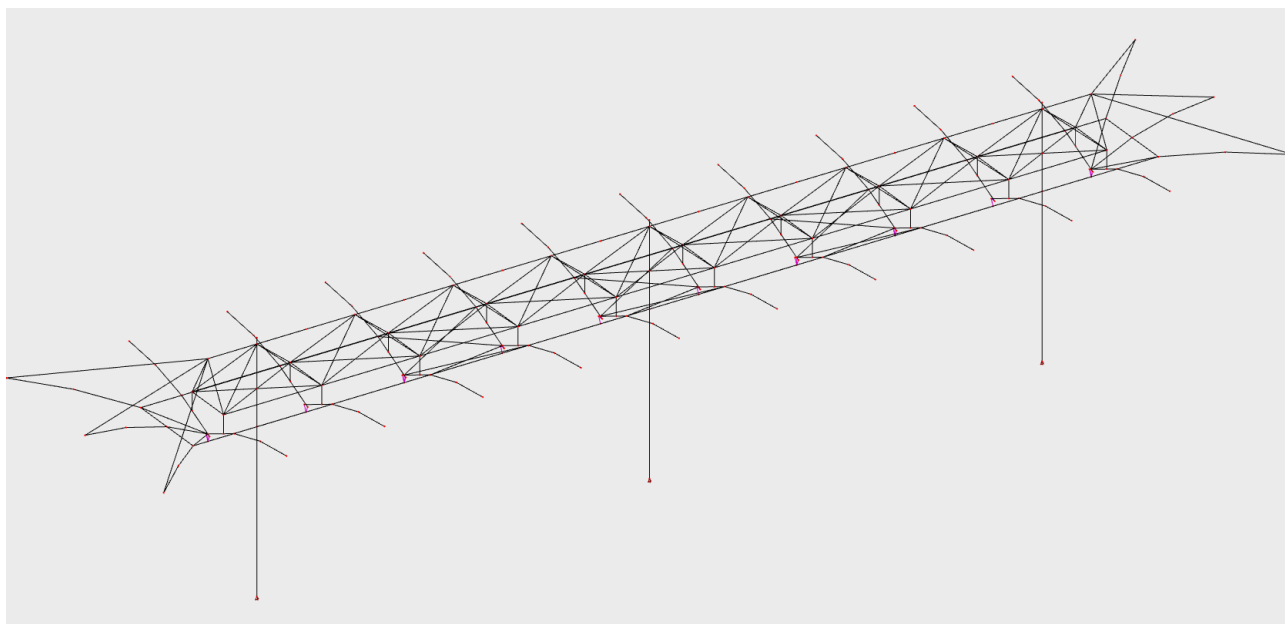
Il modello contiene:

- elementi di tipo "frame" (elementi monodimensionali lineari a due nodi) per la modellazione di colonne e travi in c.a. e di profili in acciaio;
- elementi in c.a. delle strutture di fondazione;
- elementi fittizi in c.a. per simulare la presenza delle strutture di fondazione del sottopasso;

Qualora necessario sono stati inseriti rilasci rotazionali (cerniere) alle estremità degli elementi per simulare il grado di vincolo di semplice appoggio.



Modello F.E.M. – Vista 3D con elementi estrusi.



Modello F.E.M. – Vista 3D con elementi lineari.

I pesi degli elementi che formano il modello sono calcolati direttamente dal software, tramite le sezioni e i materiali ad essi assegnati, congruenti con quelli di progetto.

Le azioni dovute ai sovraccarichi permanenti e variabili, alla neve, al vento e alle pressioni aerodinamiche associate al transito dei convogli sono state inserite sotto forma di carichi lineari o superficiali applicati agli elementi “shell” o “frame” tenendo conto, per questi ultimi, delle aree d’influenza.

Nei confronti delle azioni sismiche, è stata svolta un’analisi modale con spettri di risposta; è stato considerato un numero di modi di vibrare sufficiente a mobilitare almeno l’85% della massa complessiva (G1+G2) in ciascuna delle tre direzioni principali (X, Y, Z).

La presente Relazione di calcolo ha illustrato i dati salienti assunti a base delle analisi. I dati di input completi con cui è stato definito il modello di calcolo sono illustrati in forma estesa negli Allegati 1 – Definizione struttura e 2 – Definizione modello.

8.3 Interazione terreno-struttura

L’interazione tra terreno e fondazioni superficiali è stata valutata, qualora necessario, assumendo un comportamento del terreno di tipo elastico.

Le travi di fondazione sono risolte tramite uno specifico elemento finito che gestisce il suolo elastoplastico alla Winkler.

Le fondazioni a plinto superficiale sono modellate con un numero elevato di molle verticali, eventualmente elastoplastiche, agenti su nodi collegati rigidamente al nodo centrale.

Le fondazioni a platea sono modellate con l’inserimento di molle verticali elastoplastiche agenti nei nodi delle meshes.

La rigidità delle molle viene ricavata da formulazioni di letteratura geotecnica.

Con la formulazione di Vesic la rigidità k_s è direttamente proporzionale ad E ed inversamente al lato della fondazione.

Per le travi viene calcolata usando la forma semplificata, valida per travi di lunghezza infinita:

$$k_s = E_s / [B \cdot (1 - \nu^2)]$$

Il valore calcolato viene corretto con un fattore di forma alla Terzaghi, ottenendo:

$$k = k_s \cdot (m + 0.5) / (1.5 \text{ m})$$

dove $m = l/b$ è il rapporto tra i lati dell’impronta.

Per le piastre la rigidità viene calcolata con la formulazione intera per le due direzioni, usando come base B ciascuna delle due lunghezze L_1 ed L_2 e fatta una media:

$$k_s = 0.65 \cdot [(E_s \cdot B^4) / (E_f \cdot I_f)]^{0.833} \cdot E_s / B / (1 - \nu^2)$$

in cui:

k_s = costante di sottofondo alla Winkler

E_s = modulo elastico del suolo

ν = modulo di Poisson del suolo

B = dimensione della base di fondazione

E_f = modulo elastico del materiale della fondazione

I_f = modulo di inerzia della fondazione (nel senso longitudinale)

In entrambe i casi E_s e ν sono i valori medi pesati sullo spessore degli strati interessati dal bulbo efficace.

8.4 Affidabilità dei codici di calcolo

Un attento esame preliminare della documentazione a corredo del software ha consentito di valutarne l'affidabilità. La documentazione fornita dal produttore del software contiene un'esauriente descrizione delle basi teoriche, degli algoritmi impiegati e l'individuazione dei campi d'impiego. La società produttrice ha verificato l'affidabilità e la robustezza del codice di calcolo attraverso un numero significativo di casi prova in cui i risultati dell'analisi numerica sono stati confrontati con soluzioni teoriche.

8.5 Modalità di presentazione dei risultati

I risultati delle elaborazioni sono riportati in forma estesa nell'Allegato 3 – Risultati modello. Stante la complessità del modello si è scelto di riportare solo i dati di output maggiormente significativi (massimi spostamenti, caratteristiche di sollecitazioni più gravose, ecc.). Nella presente Relazione vengono riportati in forma grafica gli involuipi di alcune caratteristiche di sollecitazione al fine di verificare il comportamento di insieme della struttura. Tali dati sono, inoltre, tali da garantirne la leggibilità, la corretta interpretazione e la riproducibilità dei risultati delle analisi.

8.6 Informazioni generali sull'elaborazione

Il software prevede una serie di controlli automatici che consentono l'individuazione di errori di modellazione, di non rispetto di limitazioni geometriche e di armatura e di presenza di elementi non verificati. Il codice di calcolo consente, inoltre, di visualizzare e controllare, sia in forma grafica che tabellare, i dati del modello strutturale, in modo da avere una visione consapevole del comportamento corretto del modello strutturale.

8.7 Giudizio motivato di accettabilità dei risultati

I risultati delle elaborazioni sono stati sottoposti a controlli. Tale valutazione ha compreso il confronto con i risultati di semplici calcoli, eseguiti con analisi semplificate. Inoltre, sulla base di considerazioni riguardanti gli stati tensionali e deformativi determinati, si è valutata la validità delle scelte operate in sede di schematizzazione e di modellazione della struttura e delle azioni.



**LINEA SALERNO - PONTECAGNANO AEROPORTO
COMPLETAMENTO METROPOLITANA DI SALERNO
TRATTA ARECHI - PONTECAGNANO AEROPORTO
PROGETTO DEFINITIVO – FABBRICATI VIAGGIATORI**

STAZIONE PONTECAGNANO AEROPORTO
Pensilina di banchina: Relazione di calcolo tipo A1a

COMMESSA	LOTTO	CODIFICA	DOCUMENTO	REV.	FOGLIO
NN1X	00	D 78	CL FV050C 001	B	31 di 58

9. RISULTATI DELLE ANALISI E SOLLECITAZIONI

9.1 Risultati dell'analisi modale

L'analisi modale è stata effettuata tenendo conto dei primi 10 modi di vibrazione. La massa partecipante totale risulta essere pari a circa il 100% per entrambe le direzioni orizzontali. Nella seguente tabella si riportano i dati relativi a ciascun singolo modo. I modi principali sono evidenziati con testo in grassetto.

Modo: identificativo del modo di vibrare.

Periodo: periodo. [s]

Massa X: massa partecipante in direzione globale X. Il valore è adimensionale.

Massa Y: massa partecipante in direzione globale Y. Il valore è adimensionale.

Massa Z: massa partecipante in direzione globale Z. Il valore è adimensionale.

Massa rot. X: massa rotazionale partecipante attorno la direzione globale X. Il valore è adimensionale.

Massa rot. Y: massa rotazionale partecipante attorno la direzione globale Y. Il valore è adimensionale.

Massa rot. Z: massa rotazionale partecipante attorno la direzione globale Z. Il valore è adimensionale.

Massa sX: massa partecipante in direzione Sisma X. Il valore è adimensionale.

Massa sY: massa partecipante in direzione Sisma Y. Il valore è adimensionale.

Totale masse partecipanti:

Traslazione X: 0.999333

Traslazione Y: 0.992905

Traslazione Z: 0

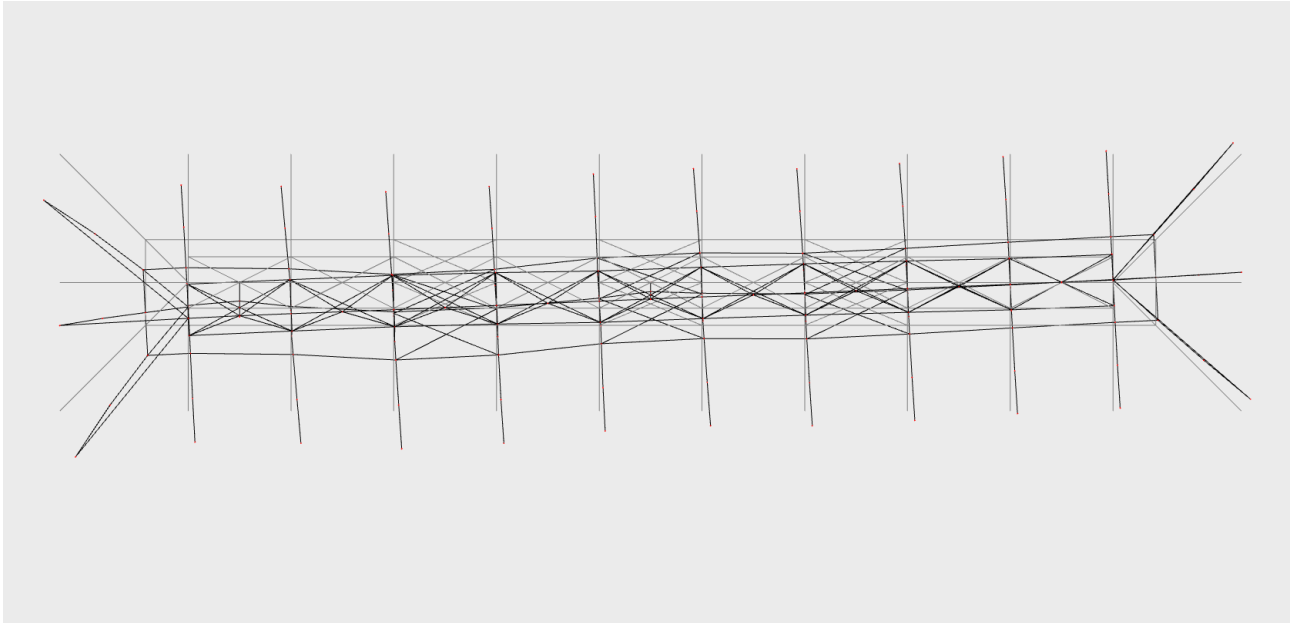
Rotazione X: 0.998539

Rotazione Y: 0.996927

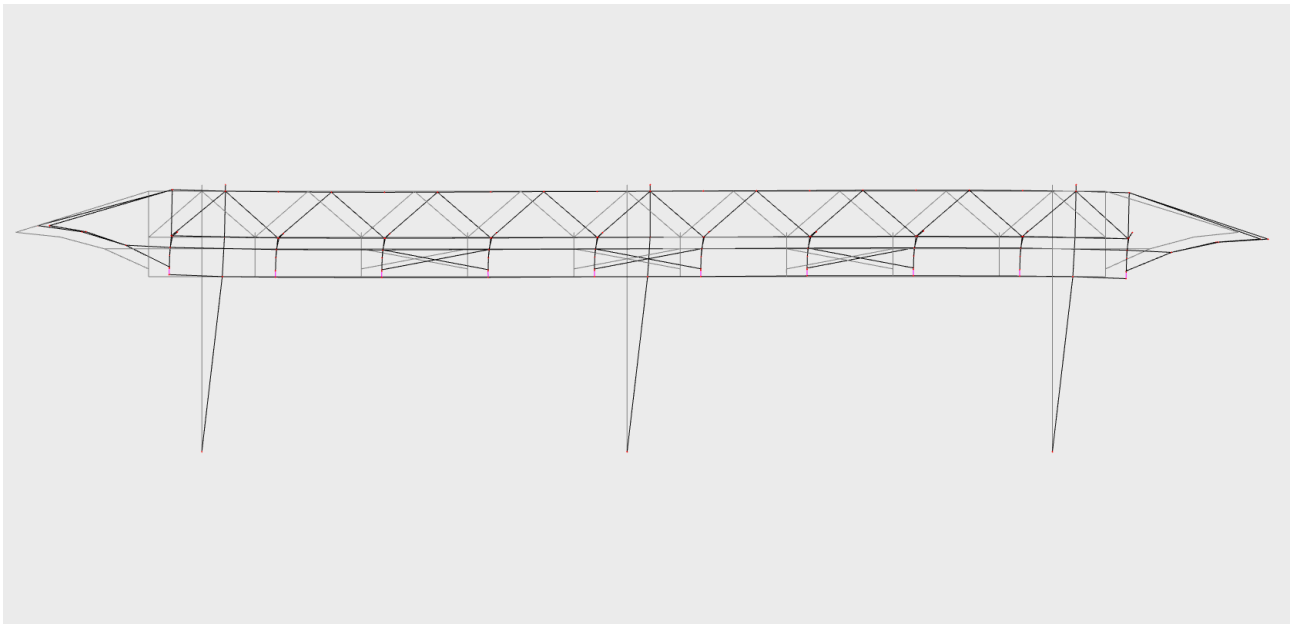
Rotazione Z: 0.974793

Modo	Periodo	Massa X	Massa Y	Massa Z	Massa rot. X	Massa rot. Y	Massa rot. Z	Massa sX	Massa sY
1	1.0687E00	3.4112E-07	0.57509815	0	5.7847E-01	2.8283E-07	2.6262E-02	3.4112E-07	0.57509815
2	1.0662E00	0.00000006	3.6016E-01	0	3.5910E-01	4.3605E-08	9.0309E-01	0.00000006	3.6016E-01
3	8.2269E-01	9.7715E-01	1.0131E-07	0	1.0465E-07	9.8371E-01	4.2782E-09	9.7715E-01	1.0131E-07
4	6.0603E-01	2.4533E-06	1.8209E-02	0	2.2890E-02	2.7041E-06	1.8838E-02	2.4533E-06	1.8209E-02
5	5.5194E-01	7.4348E-03	0.00028799	0	3.0323E-04	6.3672E-03	1.3641E-04	7.4348E-03	0.00028799
6	5.0243E-01	1.0758E-03	1.2387E-02	0	1.2853E-02	8.3324E-04	6.2082E-03	1.0758E-03	1.2387E-02
7	4.5625E-01	1.5383E-03	8.9969E-03	0	9.7717E-03	1.1905E-03	6.1635E-03	1.5383E-03	8.9969E-03
8	0.36489176	7.0949E-04	0.00945102	0	1.0414E-02	4.9786E-04	9.5792E-03	7.0949E-04	0.00945102
9	2.8227E-01	1.1237E-02	5.0487E-04	0	4.2452E-04	4.3022E-03	0.00042112	1.1237E-02	5.0487E-04
10	2.2429E-01	1.8135E-04	7.8091E-03	0	4.3216E-03	2.1572E-05	4.0900E-03	1.8135E-04	7.8091E-03

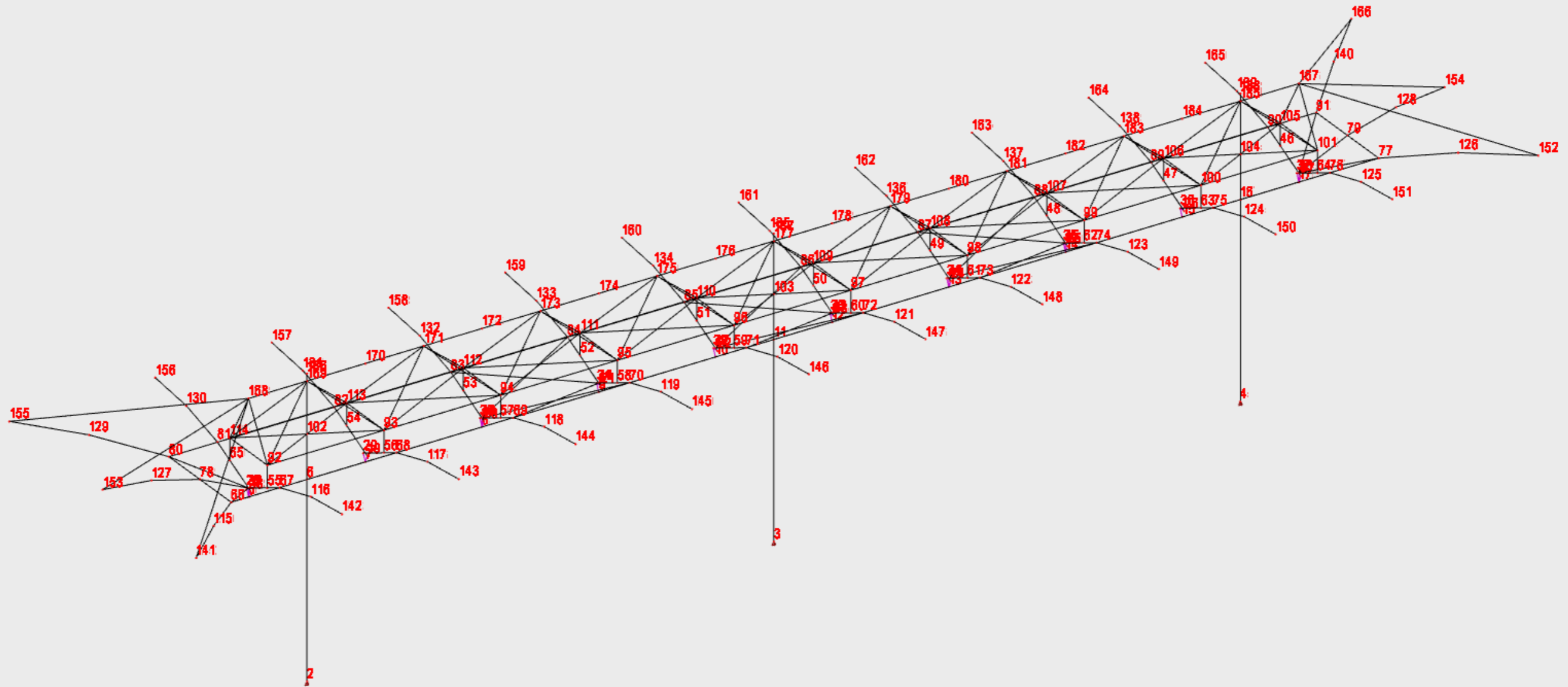
Seguono le deformate dei modi principali.



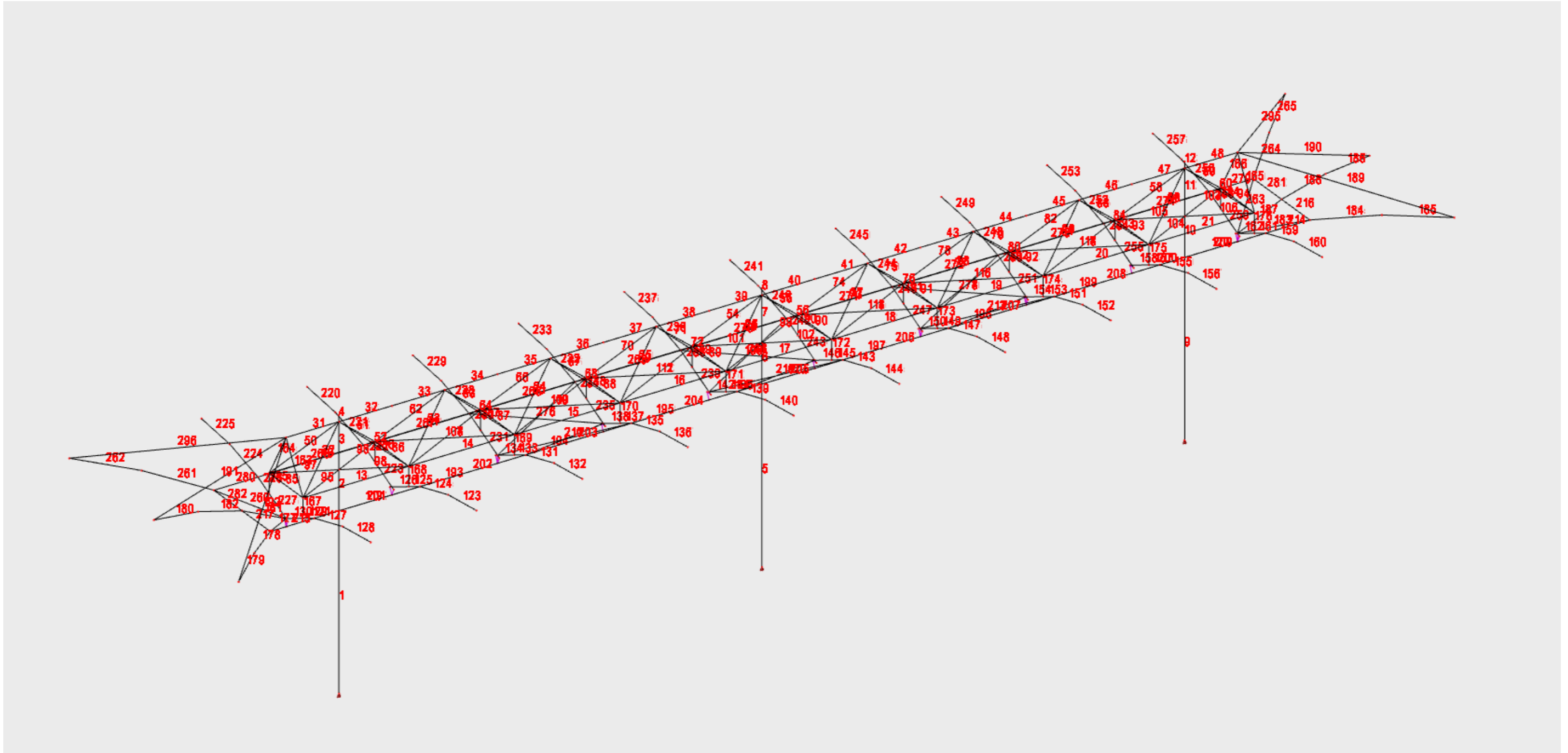
Modo 1 (traslazionale dir. Y) – $T=1.068$ s – Massa partecipante 57.5%.



Modo 3 (traslazionale dir. X) – $T=0.822$ s – Massa partecipante 97.7%.

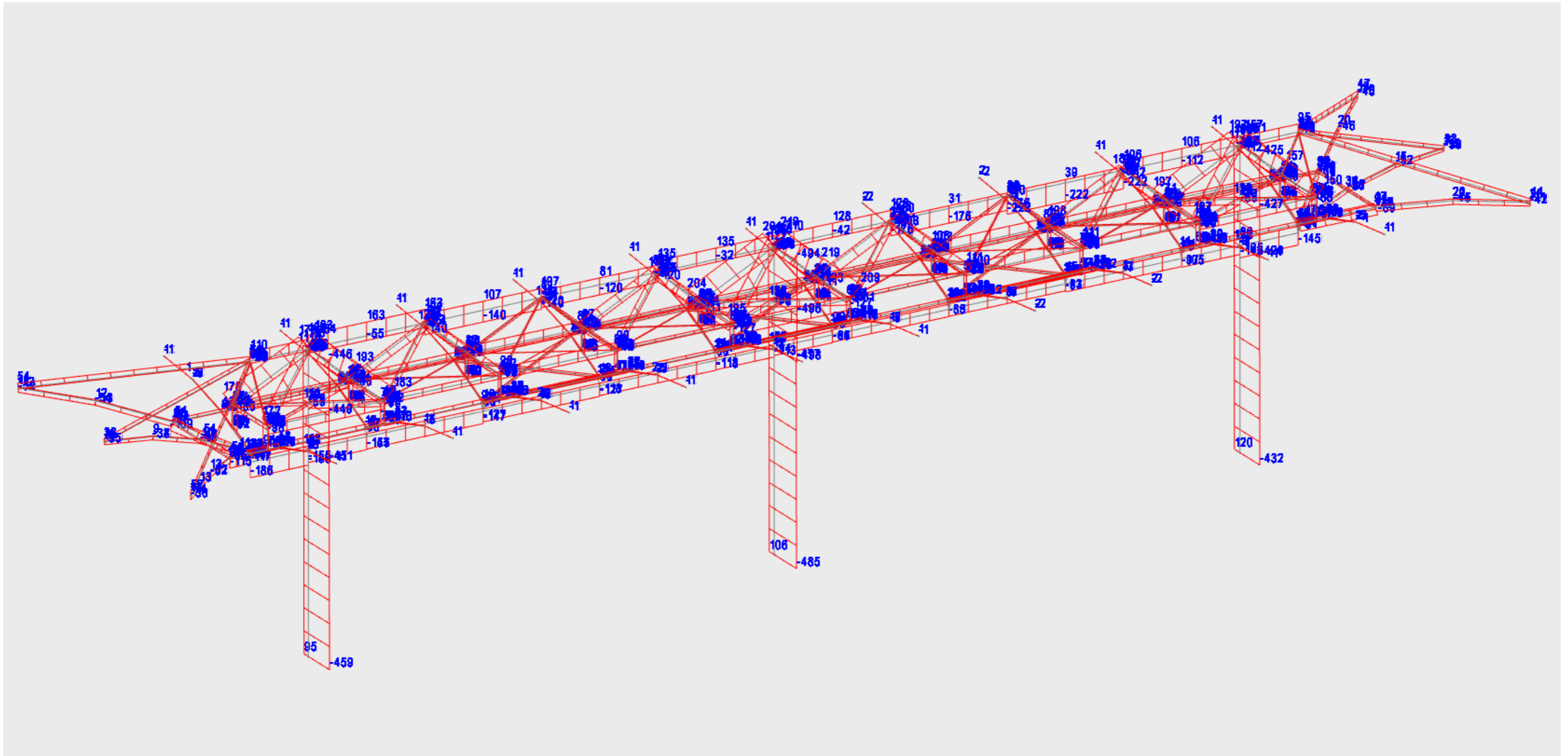


Numerazione nodi.

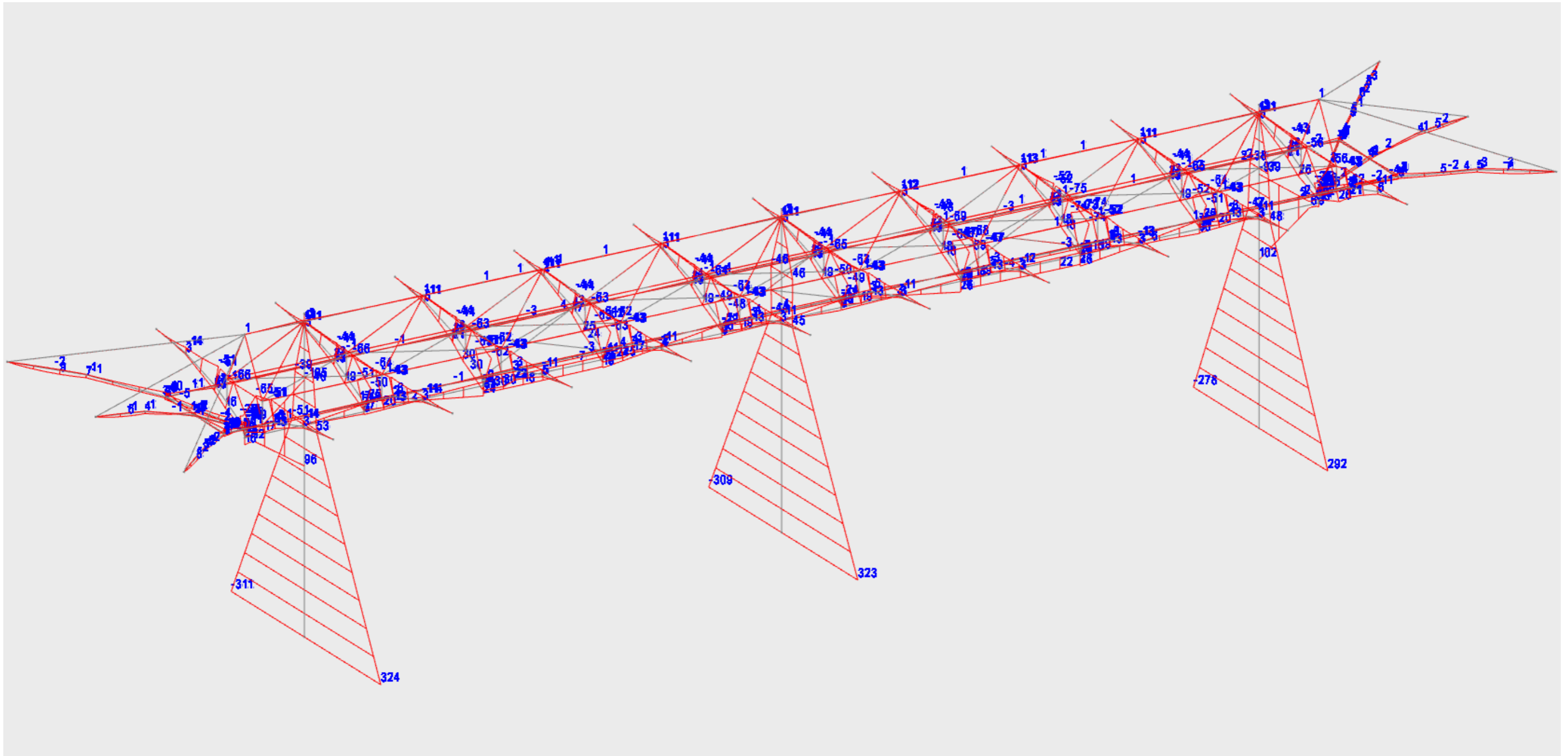


Numerazione aste.

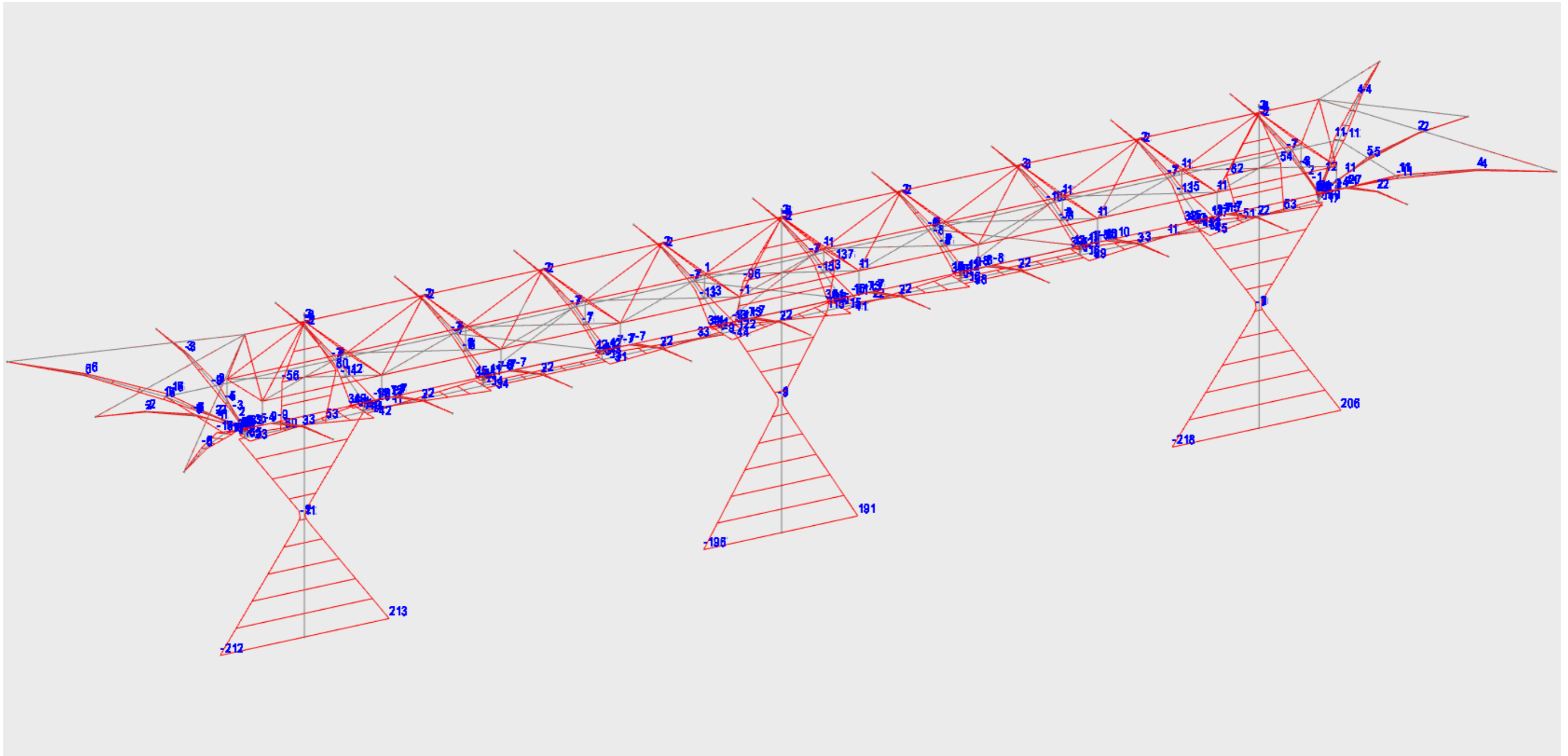
9.2 Diagrammi delle caratteristiche di sollecitazione



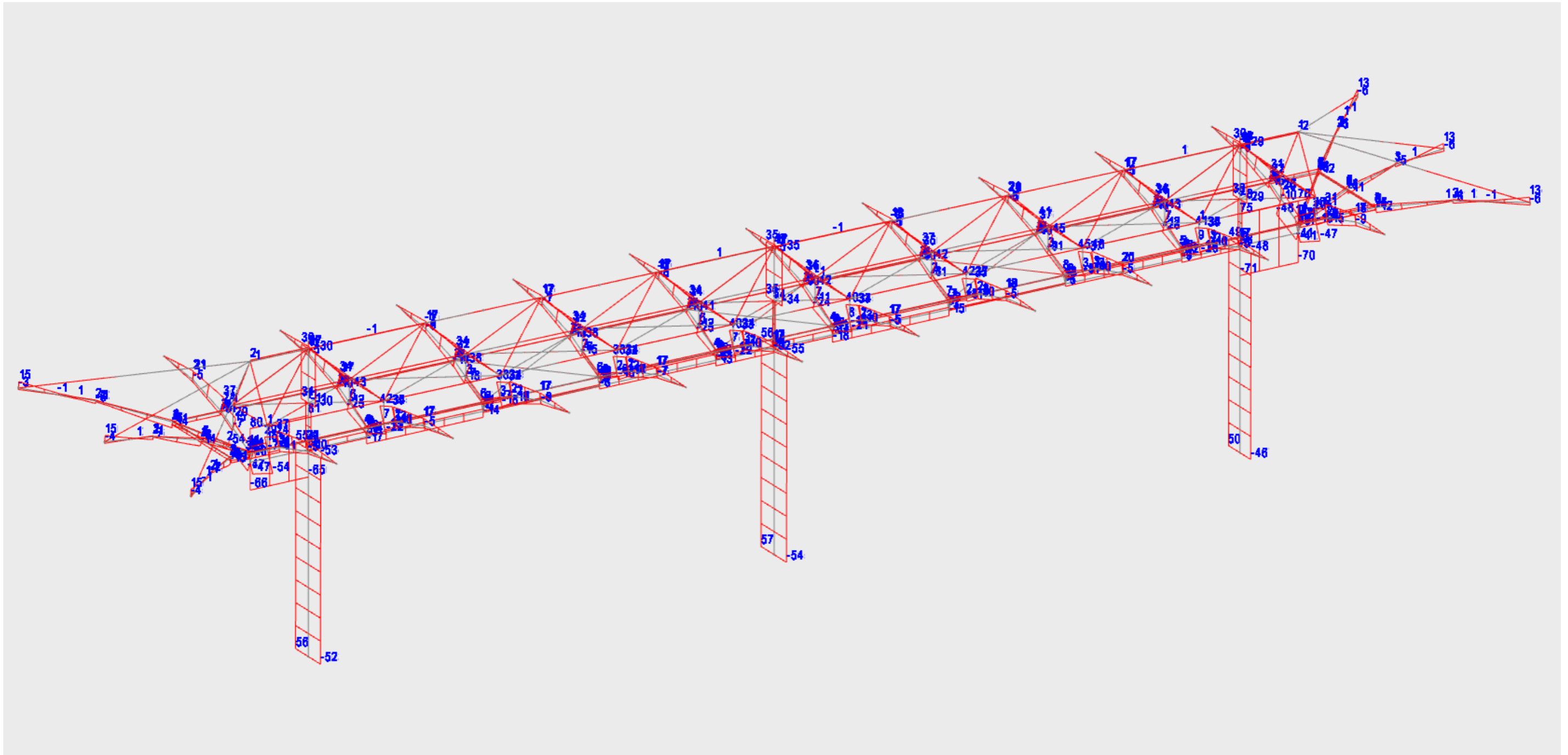
Involuppo degli sforzi assiali nelle aste – Combinazioni SLU e SLV (kN).



Inviluppo dei momenti flettenti M3 nelle aste – Combinazioni SLU e SLV (kNm).




Inviluppo dei momenti flettenti M2 nelle aste – Combinazioni SLU e SLV (kNm).



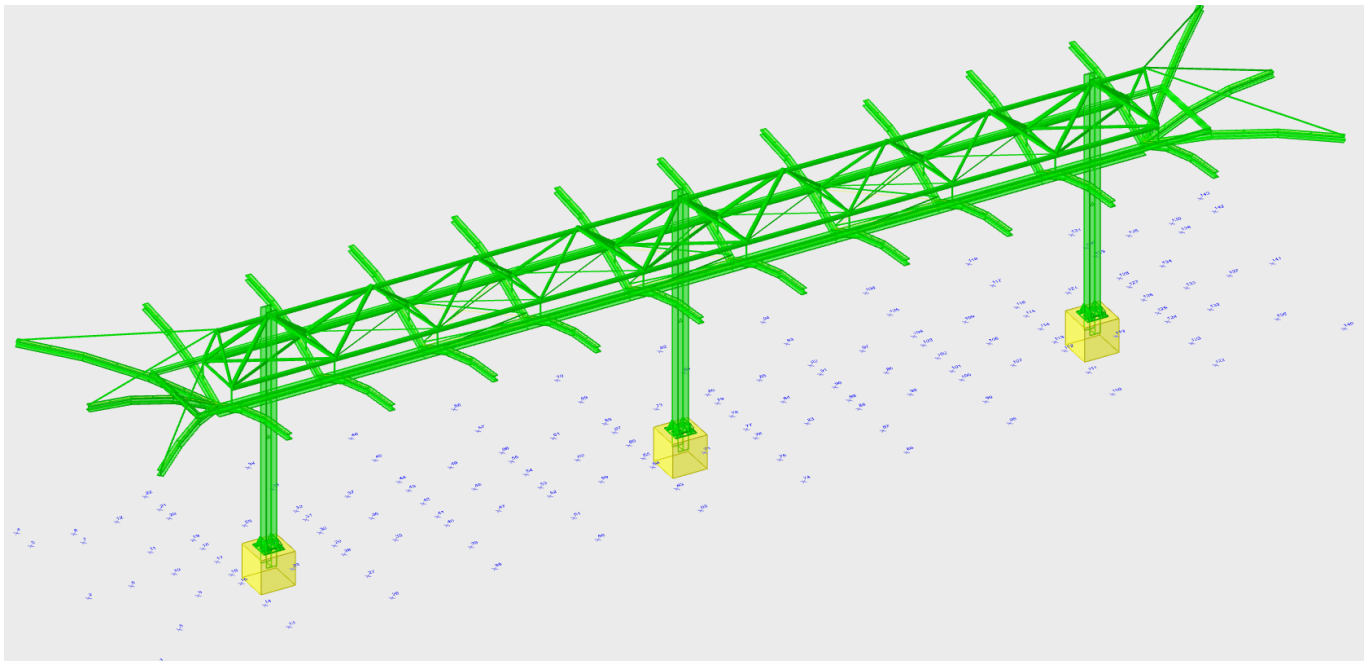
Inviluppo dei tagli V2 nelle aste – Combinazioni SLU e SLV (kN).

I diagrammi delle caratteristiche di sollecitazione riportati nelle precedenti immagini sono congruenti con quelli attesi.

 ITALFERR GRUPPO FERROVIE DELLO STATO ITALIANE STAZIONE AEROPORTO				
	PENSILINA A1a RELAZIONE DI CALCOLO	COMMESSA ...	COMMESSA ...	COMMESSA ...	COMMESSA ...

10. VERIFICHE DI RESISTENZA

Nei capitoli seguenti si riportano le verifiche di resistenza dei principali elementi strutturali. Per le verifiche di resistenza di tutti gli altri elementi strutturali si rimanda all'Allegato 4 – Verifiche strutture. L'esito di tali verifiche può essere dedotto dall'immagine seguente in cui con colore verde sono rappresentati gli elementi strutturali con verifiche soddisfatte e con colore rosso gli elementi strutturali con verifiche non soddisfatte.



Esito delle verifiche di resistenza: elementi verificati (color verde), elementi non verificati (color rosso).

Le ulteriori seguenti immagini illustrano lo stato di sfruttamento degli elementi strutturali indicando con mappatura di colore l'esito delle verifiche di sicurezza in termini di sicurezza minima, sicurezza a flessione e sicurezza a taglio.

PENSILINA A1a

RELAZIONE DI CALCOLO

COMMESSA

...

COMMESSA

...

COMMESSA

...

COMMESSA

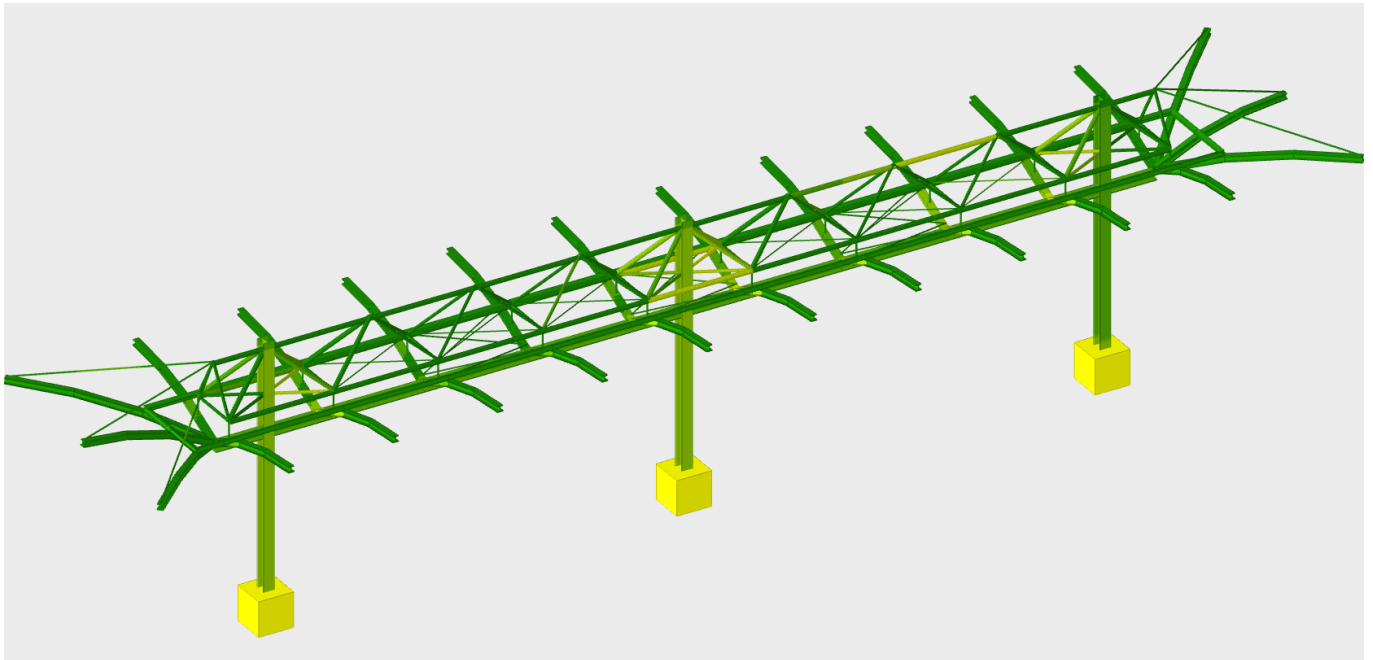
...

COMMESSA

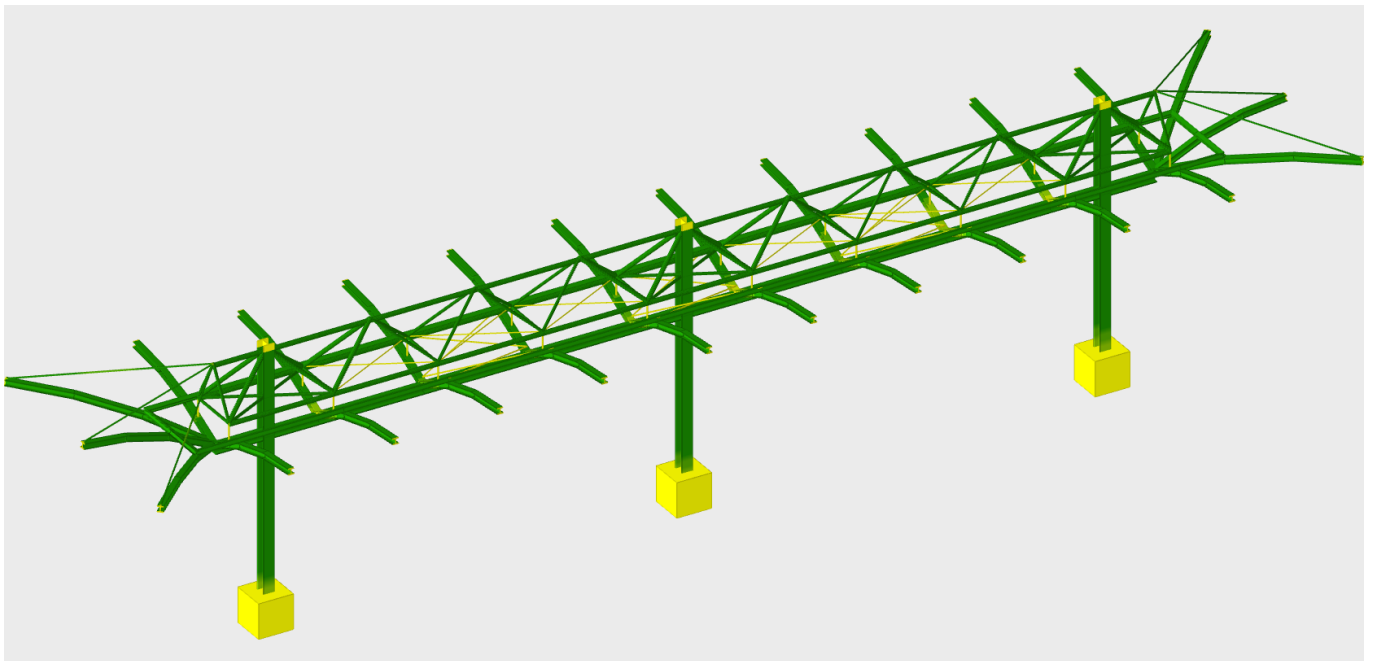
...

COMMESSA


...

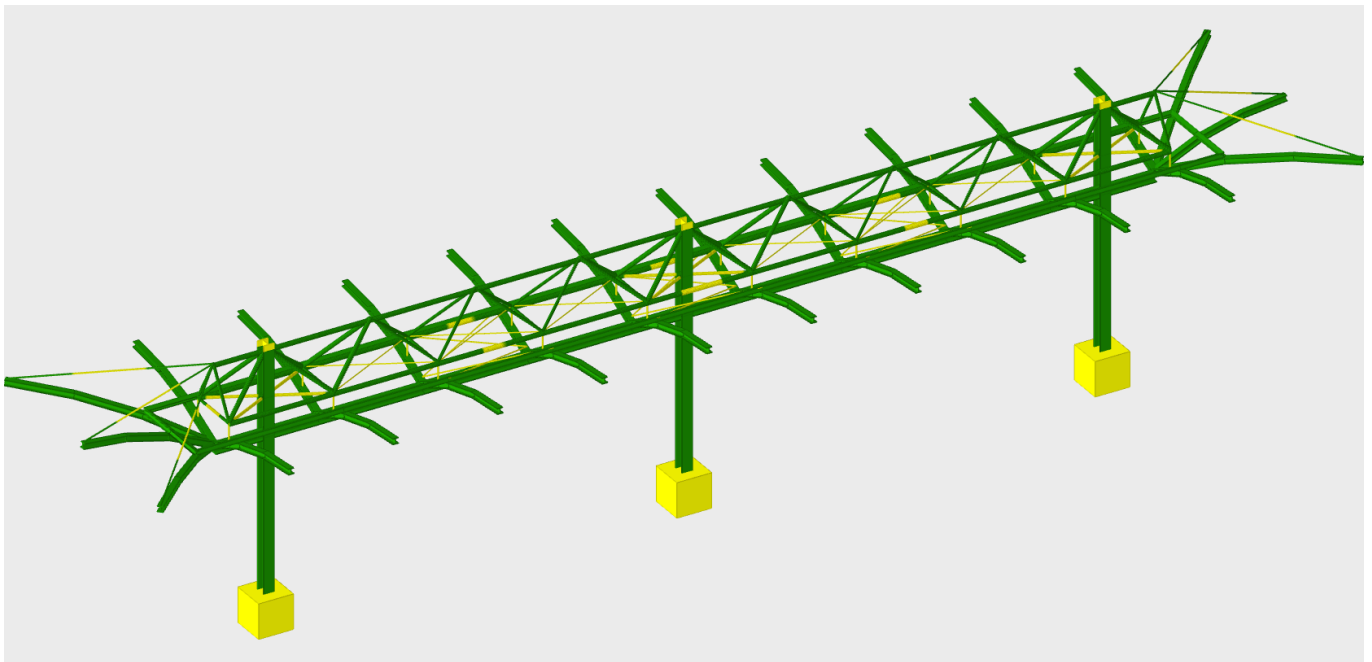


Esito delle verifiche di resistenza: Sicurezza minima.



Esito delle verifiche di resistenza: Sicurezza a flessione.


 ITALFERR GRUPPO FERROVIE DELLO STATO ITALIANE STAZIONE AEROPORTO					
	PENSILINA A1a RELAZIONE DI CALCOLO	COMMESSA ...	COMMESSA ...	COMMESSA ...	COMMESSA ...	COMMESSA ...



Esito delle verifiche di resistenza: Sicurezza a taglio.

■	da 1.8 a 2
■	da 1.4 a 1.6
■	da 1.2 a 1.4
■	da 0.8 a 1
■	da 0.6 a 0.8
■	da 0.2 a 0.4
■	da 0 a 0.2

Esito delle verifiche di resistenza: Mappatura colori.

 ITALFERR GRUPPO FERROVIE DELLO STATO ITALIANE	STAZIONE AEROPORTO		
	PENSILINA A1a RELAZIONE DI CALCOLO	COMMESSA ...	COMMESSA ...	COMMESSA ...	COMMESSA ...	COMMESSA ...

X	Comb.	Sfruttamento torsione	TEd	TRd	Riduzione taglio resistente	Sfruttamento taglio-torsione	rEd,totale	rRd	Verifica
3	SLD 16	0.007	0.13407	18.31507	Considerata				Si

Verifica a flessione semplice X §§ 4.2.4.1.2.3 - 4.2.4.1.2.6 - 4.2.4.1.2.7 - 4.2.4.1.2.8 NTC18

X	Comb.	Sfruttamento	Classe	Mx,Ed	Mx,Rd	Rid. Mx,Rd da VEd	px	py	Verifica
1.5	SLU 393	0.006	1	0.13077	20.20934	1	0	0	Si

Verifica a presso/tenso flessione retta X §§ 4.2.4.1.2.3 - 4.2.4.1.2.6 - 4.2.4.1.2.7 - 4.2.4.1.2.8 NTC18

X	Comb.	Sfruttamento	Classe	NEd	NRd	Rid. NRd da VEd	Mx,Ed	Mx,Rd	Rid. Mx,Rd da VEd	Rid. Mx,Rd da NEd	px	py	Verifica
2	SLU 410	0.051	1	-211.717	580.469	1	-0.8532	16.5709	1	0.82	0	0	Si

Verifica a presso/tenso flessione retta X SLD §§ 4.2.4.1.2.3 - 4.2.4.1.2.6 - 4.2.4.1.2.7 - 4.2.4.1.2.8 NTC18

X	Comb.	Sfruttamento	Classe	NEd	NRd	Rid. NRd da VEd	Mx,Ed	Mx,Rd	Rid. Mx,Rd da VEd	Rid. Mx,Rd da NEd	px	py	Verifica
2.65	SLD 1	0.022	1	-114.26	580.469	1	-0.4088	18.9342	1	0.94	0	0	Si

Verifica a presso/tenso flessione retta Y §§ 4.2.4.1.2.3 - 4.2.4.1.2.6 - 4.2.4.1.2.7 - 4.2.4.1.2.8 NTC18

X	Comb.	Sfruttamento	Classe	NEd	NRd	Rid. NRd da VEd	My,Ed	My,Rd	Rid. My,Rd da VEd	Rid. My,Rd da NEd	px	py	Verifica
1.4	SLU 78	0	1	-34.931	580.469	1	0.0086	20.0393	1	0.99	0	0	Si

Verifica a presso/tenso flessione deviata §§ 4.2.4.1.2.3 - 4.2.4.1.2.6 - 4.2.4.1.2.7 - 4.2.4.1.2.8 NTC18

X	Comb.	Sfruttamento	Classe	NEd	NRd	Rid. NRd da VEd	Mx,Ed	Mx,Rd	My,Ed	My,Rd	Rid. Mx,Rd da VEd	Rid. Mx,Rd da NEd	Rid. My,Rd da VEd	Rid. My,Rd da NEd	α	β	px	py	Verifica
1.9	SLU 410	0.052	1	-211.717	580.469	1	0.8519	16.5709	0.0046	16.5709	1	0.82	1	0.82	1	1	0	0	Si

Verifica a presso/tenso flessione deviata SLD §§ 4.2.4.1.2.3 - 4.2.4.1.2.6 - 4.2.4.1.2.7 - 4.2.4.1.2.8 NTC18

X	Comb.	Sfruttamento	Classe	NEd	NRd	Rid. NRd da VEd	Mx,Ed	Mx,Rd	My,Ed	My,Rd	Rid. Mx,Rd da VEd	Rid. Mx,Rd da NEd	Rid. My,Rd da VEd	Rid. My,Rd da NEd	α	β	px	py	Verifica
2.6	SLD 7	0.022	1	-113.953	580.469	1	0.4092	18.94	0.0098	18.94	1	0.94	1	0.94	1	1	0	0	Si

Verifiche ad instabilità

Caratteristiche iniziali

Membratura principale per controllo snellezza; Calcolo di snellezze ed N critici condotti secondo gli assi principali;
 Curva X: c; Curva Y: c;
 Svergolamento: Nessuno; la verifica a instabilità flesso-torsionale (svergolamento) non verrà eseguita.

Dati per instabilità attorno a x

Numero rit.	Presente	Ascissa	Campata	βx/m	Vincolo a entrambi estremi	λx/m	λVer
1	Si	0					
2	Si	3	1-2		Si	77.6	Si, (<200)

Dati per instabilità attorno a y

Numero rit.	Presente	Ascissa	Campata	βy/n	Vincolo a entrambi estremi	λy/n	λVer
1	Si	0					
2	Si	3	1-2		Si	77.6	Si, (<200)

Verifica di stabilità per pressoflessione §C.4.2.4.1.3.3.2 NTC08

X	Comb.	Sfruttamento	Classe	NEd	NRk	Mx,Ed max	Mx,Rk	My,Ed max	My,Rk	χ,x	χ,y	kxx	kxy	kyx	kyy	χ,LT	Verifica
2.95	SLU 416	0.787	1	-222.285	609.493	0.84482	21.21981	0.00676	21.21981	0.531	0.531	1.568	0.889	0.941	1.482		Si

Verifica di stabilità per pressoflessione SLD §C.4.2.4.1.3.3.2 NTC08

X	Comb.	Sfruttamento	Classe	NEd	NRk	Mx,Ed max	Mx,Rk	My,Ed max	My,Rk	χ,x	χ,y	kxx	kxy	kyx	kyy	χ,LT	Verifica
3	SLD 3	0.395	1	-114.26	609.493	0.40881	21.21981	0.01338	21.21981	0.531	0.531	1.205	0.76	0.723	1.267		Si

Verifiche a deformabilità

Mensola X: No; Mensola Y: No.

Frecce lungo X

PENSILINA A1a

RELAZIONE DI CALCOLO

COMMESSA

...

COMMESSA

...

COMMESSA

...

COMMESSA

...

COMMESSA

...

COMMESSA

...

Ascissa freccia	Combinazione	Freccia	Luce	L/f	L/f,min	Tipo	Verifica
1.55	SLE RA 1	0	3	10000	250	Totale	Si
1.6	SLE RA 85	0	3	10000	250	Totale	Si
1.6	SLE RA 84	0	3	10000	250	Totale	Si
1.6	SLE RA 83	0	3	10000	250	Totale	Si
1.55	SLE RA 82	0	3	10000	250	Totale	Si
1.75	SLE RA 1	0	3	10000	350	Variabile	Si
1.6	SLE RA 86	0	3	10000	350	Variabile	Si
1.6	SLE RA 85	0	3	10000	350	Variabile	Si
1.7	SLE RA 84	0	3	10000	350	Variabile	Si
1.65	SLE RA 83	0	3	10000	350	Variabile	Si

Frece lungo Y

Ascissa freccia	Combinazione	Freccia	Luce	L/f	L/f,min	Tipo	Verifica
1.5	SLE RA 59	-0.00117	3	2564.7	250	Totale	Si
1.5	SLE RA 60	-0.00117	3	2571.8	250	Totale	Si
1.5	SLE RA 61	-0.00116	3	2579	250	Totale	Si
1.5	SLE RA 65	-0.00113	3	2647.2	250	Totale	Si
1.5	SLE RA 66	-0.00113	3	2654.8	250	Totale	Si
1.5	SLE RA 59	-0.00068	3	4425.6	350	Variabile	Si
1.5	SLE RA 60	-0.00067	3	4446.7	350	Variabile	Si
1.5	SLE RA 61	-0.00067	3	4468.1	350	Variabile	Si
1.5	SLE RA 65	-0.00064	3	4677	350	Variabile	Si
1.5	SLE RA 66	-0.00064	3	4700.6	350	Variabile	Si

Significato dei simboli utilizzati:

Sezione: sezione in acciaio

Rotazione: rotazione della sezione [deg]

Area: area inerziale nel sistema geometrico centrato nel baricentro. [m²]

Jx: momento d'inerzia attorno all'asse orizzontale baricentrico di definizione della sezione. [m⁴]

Jy: momento d'inerzia attorno all'asse verticale baricentrico di definizione della sezione. [m⁴]

ix: raggio di inerzia relativo all'asse x. [m]

iy: raggio di inerzia relativo all'asse y. [m]

Wx: modulo di resistenza elastico minimo relativo all'asse x. [m³]

Wy: modulo di resistenza elastico minimo relativo all'asse y. [m³]

Wplx: modulo di resistenza plastico relativo all'asse x. [m³]

Wply: modulo di resistenza plastico relativo all'asse y. [m³]

X: distanza dal nodo iniziale. [m]

Comb.: combinazione di verifica.

Sfruttamento: rapporto di sfruttamento per la verifica in esame, inverso del coefficiente di sicurezza. Verificato se minore o uguale di 1.

Classe: classe della sezione.

NEd: sollecitazione assiale. [kN]

Nc,Rd: resistenza assiale a compressione ridotta per taglio. [kN]

Nt,Rd: resistenza assiale a trazione ridotta per taglio. [kN]

Riduzione da taglio: rapporto tra la resistenza assiale ridotta per taglio e la resistenza assiale.

px: coefficiente di riduzione della resistenza di snervamento per taglio in direzione x.

py: coefficiente di riduzione della resistenza di snervamento per taglio in direzione y.

Verifica: stato di verifica

VEd: sollecitazione di taglio. [kN]

Vc,Rd: resistenza a taglio. [kN]

Av: area resistenza a taglio. [m²]

Interazione taglio-torsione: indica se è possibile ridurre il taglio resistente per presenza di torsione

Riduzione torsione: coefficiente riduttivo della resistenza a taglio per presenza di torsione.

Sfruttamento torsione: rapporto tra TEd e TRd.

TEd: sollecitazione torcente. [kN*m]

TRd: resistenza a torsione. [kN*m]

Riduzione taglio resistente: indica se è possibile ridurre il taglio resistente per presenza di torsione

Sfruttamento taglio-torsione: $\tau Ed, totale / (0.5 * \tau Rd)$. Non verificato se maggiore di 1.

$\tau Ed, totale$: somma delle tensioni tangenziali totale derivanti da taglio e torsione. [kN/m²]

τRd : tensione tangenziale resistente. [kN/m²]

Mx,Ed: sollecitazione flettente attorno x-x. [kN*m]

Mx,Rd: resistenza a flessione attorno x-x ridotta per taglio. [kN*m]

Rid. Mx,Rd da VEd: rapporto tra la resistenza flettente ridotta per taglio e la resistenza flettente attorno x-x.

NRd: resistenza assiale ridotta per taglio. [kN]

Rid. NRd da VEd: rapporto tra la resistenza assiale ridotta per taglio e la resistenza assiale.

Mx,Rd: resistenza a flessione attorno x-x ridotta [kN*m]


Rid. Mx,Rd da NEd: rapporto tra la resistenza flettente ridotta per sforzo normale e taglio e la resistenza flettente ridotta per taglio attorno x-x.

My,Ed: sollecitazione flettente attorno y-y. [kN*m]

My,Rd: resistenza a flessione attorno y-y ridotta [kN*m]

Rid. My,Rd da VEd: rapporto tra la resistenza flettente ridotta per taglio e la resistenza flettente attorno y-y.

Rid. My,Rd da NEd: rapporto tra la resistenza flettente ridotta per sforzo normale e taglio e la resistenza flettente ridotta per taglio attorno y-y.

 ITALFERR GRUPPO FERROVIE DELLO STATO ITALIANE STAZIONE AEROPORTO					
	PENSILINA A1a RELAZIONE DI CALCOLO	COMMESSA ...	COMMESSA ...	COMMESSA ...	COMMESSA ...	COMMESSA ...

α : esponente α per flessione deviata.
 β : esponente β per flessione deviata.
Numero rit.: numero del ritegno
Presente: indica se il ritegno è presente o meno
Ascissa: ascissa del ritegno rispetto al nodo iniziale del superelemento o ascissa iniziale e finale della campata [m]
Campata: campata tra i ritegni
 $\beta x/m$: coefficiente di lunghezza efficace per rotazione attorno a x/m
Vincolo a entrambi estremi: indica se il tratto è vincolato a entrambi gli estremi
 $\lambda x/m$: snellezza attorno a x/m del tratto tra i due ritegni
 λVer : snellezza accettabile
 $\beta y/n$: coefficiente di lunghezza efficace per rotazione attorno a y/n
 $\lambda y/n$: snellezza attorno a y/n del tratto tra i due ritegni
NRk: resistenza caratteristica assiale. [kN]
Mx,Ed max: momento sollecitante massimo attorno l'asse x-x tra due ritegni all'inflessione attorno x-x. [kN*m]
Mx,Rk: resistenza caratteristica a flessione attorno l'asse x-x. [kN*m]
My,Ed max: momento sollecitante massimo attorno l'asse y-y tra due ritegni all'inflessione attorno y-y. [kN*m]
My,Rk: resistenza caratteristica a flessione attorno l'asse y-y. [kN*m]
 χ_x : coefficiente di riduzione per inflessione attorno l'asse x-x.
 χ_y : coefficiente di riduzione per inflessione attorno l'asse y-y.
kxx: valore di kxx.
kxy: valore di kxy.
kyy: valore di kyy.
 χ_{LT} : coefficiente di riduzione per instabilità flessio-torsionale.
Ascissa freccia: ascissa della massima freccia. [m]
Combinazione: combinazione di verifica in cui è ricavata la freccia.
Freccia: massima freccia. [m]
Luce: luce di verifica. [m]
L/f: rapporto luce su freccia.
L/f,min: minimo rapporto luce su freccia consentito.
Tipo: freccia calcolata considerando le sole condizioni variabili o tutte le condizioni (totale) all'interno della combinazione di verifica.

11.2 Verifica trave secondaria a sbalzo

Si riportano qui di seguito le verifiche delle travi HEB 160 che realizzano lo sbalzo della copertura su entrambi i lati della pensilina:

Superelemento in acciaio composto da 2 aste: 242, 243

Caratteristiche del materiale

Acciaio: S355, $f_yk = 355000$

Caratteristiche geometriche

Lunghezza: 1.462
 Nodo iniziale: 86 Nodo finale: 23
 Cerniera iniziale: No Cerniera finale: No
 Sovreresistenza: 0% Sisma Z: No

Caratteristiche della sezione

Sezione	Rotazione	Area	Jx	Jy	ix	iy	Wx	Wy	Wplx	Wply
HEB160	0	0.00543	0.000024937 3	0.000008892 9	0.0678	0.0405	0.00031172	0.00011116	0.00035424	0.00017001

Verifiche di resistenza

Verifiche a forza assiale §4.2.4.1.2.1 - §4.2.4.1.2.2 NTC18

X	Comb.	Sfruttamento	Classe	NEd	Nc,Rd	Nt,Rd	Riduzione da taglio	px	py	Verifica
---	-------	--------------	--------	-----	-------	-------	---------------------	----	----	----------

PENSILINA A1a

RELAZIONE DI CALCOLO

COMMESSA

COMMESSA

COMMESSA

COMMESSA

COMMESSA

COMMESSA

X	Comb.	Sfruttamento	Classe	NEd	Nc,Rd	Nt,Rd	Riduzione da taglio	px	py	Verifica
0.551	SLU 403	0.01	1	-17.704	1835.747		1	0	0	Si

Verifiche a forza assiale SLD §4.2.4.1.2.1 - §4.2.4.1.2.2 NTC18

X	Comb.	Sfruttamento	Classe	NEd	Nc,Rd	Nt,Rd	Riduzione da taglio	px	py	Verifica
0.551	SLD 13	0.005		8.635		1835.747	1	0	0	Si

Verifica a taglio X §4.2.4.1.2.4 NTC18

X	Comb.	Sfruttamento	VEd	Vc,Rd	Av	Interazione taglio-torsione	Riduzione torsione	Verifica
0.404	SLV 18	0.029	24.555	849.774	0.004358	Considerata	1	Si

Verifica a taglio X SLD §4.2.4.1.2.4 NTC18

X	Comb.	Sfruttamento	VEd	Vc,Rd	Av	Interazione taglio-torsione	Riduzione torsione	Verifica
0.478	SLD 18	0.012	10.436	849.922	0.004358	Considerata	1	Si

Verifica a taglio Y §4.2.4.1.2.4 NTC18

X	Comb.	Sfruttamento	VEd	Vc,Rd	Av	Interazione taglio-torsione	Riduzione torsione	Verifica
0.551	SLU 412	0.121	-41.501	343.665	0.001764	Considerata	1	Si

Verifica a taglio Y SLD §4.2.4.1.2.4 NTC18

X	Comb.	Sfruttamento	VEd	Vc,Rd	Av	Interazione taglio-torsione	Riduzione torsione	Verifica
0.551	SLD 13	0.048	-16.619	344.093	0.001764	Considerata	1	Si

Verifica a torsione §4.2.4.1.2.5 NTC18

X	Comb.	Sfruttamento torsione	TEd	TRd	Riduzione taglio resistente	Sfruttamento taglio-torsione	rEd,totale	rRd	Verifica
0.551	SLU 178	0.004	0.01696	3.86218	Considerata				Si

Verifica a torsione SLD §4.2.4.1.2.5 NTC18

X	Comb.	Sfruttamento torsione	TEd	TRd	Riduzione taglio resistente	Sfruttamento taglio-torsione	rEd,totale	rRd	Verifica
0	SLD 1	0.002	0.00919	3.86218	Considerata				Si

Verifica a flessione semplice X §§ 4.2.4.1.2.3 - 4.2.4.1.2.6 - 4.2.4.1.2.7 - 4.2.4.1.2.8 NTC18

X	Comb.	Sfruttamento	Classe	Mx,Ed	Mx,Rd	Rid. Mx,Rd da VEd	px	py	Verifica
0.037	SLU 376	0.066	1	7.91312	119.76833	1	0	0	Si

Verifica a flessione semplice Y §§ 4.2.4.1.2.3 - 4.2.4.1.2.6 - 4.2.4.1.2.7 - 4.2.4.1.2.8 NTC18

X	Comb.	Sfruttamento	Classe	My,Ed	My,Rd	Rid. My,Rd da VEd	px	py	Verifica
1.341	SLU 205	0.002	1	0.13963	57.47843	1	0	0	Si

Verifica a flessione deviata §§ 4.2.4.1.2.3 - 4.2.4.1.2.6 - 4.2.4.1.2.7 - 4.2.4.1.2.8 NTC18

X	Comb.	Sfruttamento	Classe	Mx,Ed	Mx,Rd	My,Ed	My,Rd	Rid. Mx,Rd da VEd	Rid. My,Rd da VEd	α	β	px	py	Verifica
0.551	SLV 2	0.359	1	22.157	119.7683	9.9883	57.4784	1	1	1	1	0	0	Si

Verifica a flessione deviata SLD §§ 4.2.4.1.2.3 - 4.2.4.1.2.6 - 4.2.4.1.2.7 - 4.2.4.1.2.8 NTC18

X	Comb.	Sfruttamento	Classe	Mx,Ed	Mx,Rd	My,Ed	My,Rd	Rid. Mx,Rd da VEd	Rid. My,Rd da VEd	α	β	px	py	Verifica
1.462	SLD 9	0.42	1	18.2484	119.7683	15.3617	57.4784	1	1	1	1	0	0	Si

Verifica a presso/tenso flessione retta X §§ 4.2.4.1.2.3 - 4.2.4.1.2.6 - 4.2.4.1.2.7 - 4.2.4.1.2.8 NTC18

X	Comb.	Sfruttamento	Classe	NEd	NRd	Rid. NRd da VEd	Mx,Ed	Mx,Rd	Rid. Mx,Rd da VEd	Rid. Mx,Rd da NEd	px	py	Verifica
0.331	SLU 410	0.466	1	-14.458	1835.747	1	55.8113	119.7683	1	1	0	0	Si

Verifica a presso/tenso flessione retta Y §§ 4.2.4.1.2.3 - 4.2.4.1.2.6 - 4.2.4.1.2.7 - 4.2.4.1.2.8 NTC18

X	Comb.	Sfruttamento	Classe	NEd	NRd	Rid. NRd da VEd	My,Ed	My,Rd	Rid. My,Rd da VEd	Rid. My,Rd da NEd	px	py	Verifica
1.371	SLU 426	0.08	1	2.452	1835.747	1	-4.5846	57.4784	1	1	0	0	Si

Verifica a presso/tenso flessione deviata §§ 4.2.4.1.2.3 - 4.2.4.1.2.6 - 4.2.4.1.2.7 - 4.2.4.1.2.8 NTC18

X	Comb.	Sfruttamento	Classe	NEd	NRd	Rid. NRd da VEd	Mx,Ed	Mx,Rd	My,Ed	My,Rd	Rid. Mx,Rd da VEd	Rid. Mx,Rd da NEd	Rid. My,Rd da VEd	Rid. My,Rd da NEd	α	β	px	py	Verifica
1.462	SLV 9	0.792	1	-3.548	1835.747	1	19.4565	119.7683	36.1863	57.4784	1	1	1	1	1	1	0	0	Si

Verifica a presso/tenso flessione deviata SLD §§ 4.2.4.1.2.3 - 4.2.4.1.2.6 - 4.2.4.1.2.7 - 4.2.4.1.2.8 NTC18

PENSILINA A1a

RELAZIONE DI CALCOLO

COMMESSA

COMMESSA

COMMESSA

COMMESSA

COMMESSA

COMMESSA

X	Comb.	Sfruttamento	Classe	NEd	NRd	Rid. NRd da VEd	Mx,Ed	Mx,Rd	My,Ed	My,Rd	Rid. Mx,Rd da VEd	Rid. Mx,Rd da NEd	Rid. My,Rd da VEd	Rid. My,Rd da NEd	α	β	ρ_x	ρ_y	Verifica
1.371	SLD 12	0.405	1	0.565	1835.747	1	18.4354	119.7683	14.4553	57.4784	1	1	1	1	1	1	0	0	Si

Verifiche ad instabilità

Caratteristiche iniziali

Membratura principale per controllo snellezza; Calcolo di snellezze ed N critici condotti secondo gli assi principali; Curva X: b; Curva Y: c; Svergolamento: Carico all'estradosso; Curva svergolamento: b;

Dati per instabilità attorno a x

Numero rit.	Presente	Ascissa	Campata	β_x/m	Vincolo a entrambi estremi	λ_x/m	λ_{Ver}
1	Si	0					
2	Si	1.462	1-2	1	Si	21.6	Si, (<200)

Dati per instabilità attorno a y

Numero rit.	Presente	Ascissa	Campata	β_y/n	k_{LT}	$k_{w,LT}$	Vincolo a entrambi estremi	λ_y/n	λ_{Ver}
1	Si	0							
2	Si	1.462	1-2	1	1	1	Si	36.1	Si, (<200)

Verifica a svergolamento §4.2.4.1.3.2 NTC18

X	Comb.	Sfruttamento	Classe	Obblig.	Mx,Ed	Mb,Rd,x	χ_{LT}	$\lambda_{adim. LT}$	L,LT	M,critico	Verifica
0.551	SLU 207	0.005	1	Si	0.5555	116.58036	0.973	0.468	1.462	575.17425	Si

Verifica a svergolamento con trazione §4.2.4.1.3.2 NTC18 - §5.5.3 ENV 1993-1-1:1994

X	Comb.	Sfruttamento	Classe	Obblig.	NEd	Mx,Ed	Mx,Eff,Ed	Mb,Rd,x	χ_{LT}	$\lambda_{adim. LT}$	L,LT	M,critico	Verifica
0.551	SLU 228	0.173	1	Si	6.297	20.96742	20.71436	119.76833	1	0.397	1.462	796.34861	Si

Verifica di stabilità per tenso-flessione deviata §5.5.3 - §5.5.4 ENV 1993-1-1:1994

X	Comb.	Sfruttamento	Classe	NEd	Mx,Ed	Mx,Eff,Ed	My,Ed	χ_{LT}	kLT	ky	M,critico	Wx	Wy	Verifica
1.462	SLV 24	0.67	1	9.631	15.53241	15.14536	-31.23784	0.999	1	1	780.62149	0.0003542	0.00017	Si

Verifica di stabilità per tenso-flessione deviata SLD §5.5.3 - §5.5.4 ENV 1993-1-1:1994

X	Comb.	Sfruttamento	Classe	NEd	Mx,Ed	Mx,Eff,Ed	My,Ed	χ_{LT}	kLT	ky	M,critico	Wx	Wy	Verifica
1.371	SLD 10	0.405	1	0.565	18.43543	18.41274	14.45528	1	1	1	822.54044	0.0003542	0.00017	Si

Verifica di stabilità per pressoflessione §C.4.2.4.1.3.3.2 NTC08

X	Comb.	Sfruttamento	Classe	NEd	NRk	Mx,Ed max	Mx,Rk	My,Ed max	My,Rk	χ_x	χ_y	kxx	kxy	kyy	χ_{LT}	Verifica	
0.551	SLU 405	0.573	1	-17.68	1927.535	64.47393	125.75675	2.31011	60.35235	0.971	0.858	0.991	0.361	0.999	0.602	1	Si

Verifica di stabilità per pressoflessione SLD §C.4.2.4.1.3.3.2 NTC08

X	Comb.	Sfruttamento	Classe	NEd	NRk	Mx,Ed max	Mx,Rk	My,Ed max	My,Rk	χ_x	χ_y	kxx	kxy	kyy	χ_{LT}	Verifica	
0.551	SLD 12	0.351	1	-6.019	1927.535	21.66263	125.75675	15.36168	60.35235	0.971	0.858	0.994	0.374	1	0.623	1	Si

Verifica di stabilità a taglio anima Y §4.2.4.1.2.4 [4.2.27] NTC18

η	hw	tw	hw/tw max	Verifica
1.2	0.134	0.008	48.82	Si

Verifica di stabilità a taglio anima Y SLD §4.2.4.1.2.4 [4.2.27] NTC18

η	hw	tw	hw/tw max	Verifica
1.2	0.134	0.008	48.82	Si

Verifiche a deformabilità

Mensola X: No; Mensola Y: No.

Frecce lungo X

Ascissa freccia	Combinazione	Freccia	Luce	L/f	L/f,min	Tipo	Verifica
0.855	SLE RA 62	-0.00025	1.462	5743.1	250	Totale	Si
0.855	SLE RA 31	0.00025	1.462	5752	250	Totale	Si
0.855	SLE RA 63	-0.00025	1.462	5822.8	250	Totale	Si
0.855	SLE RA 30	0.00025	1.462	5832	250	Totale	Si
0.855	SLE RA 64	-0.00025	1.462	5904.7	250	Totale	Si
0.855	SLE RA 31	0.00035	1.462	4222.3	350	Variabile	Si

PENSILINA A1a

RELAZIONE DI CALCOLO

COMMESSA

COMMESSA

COMMESSA

COMMESSA

COMMESSA

COMMESSA

Ascissa freccia	Combinazione	Freccia	Luce	L/f	L/f,min	Tipo	Verifica
0.855	SLE RA 30	0.00034	1.462	4265.2	350	Variabile	Si
0.855	SLE RA 29	0.00034	1.462	4309	350	Variabile	Si
0.855	SLE RA 77	0.00034	1.462	4348.8	350	Variabile	Si
0.855	SLE RA 76	0.00033	1.462	4394.3	350	Variabile	Si

Freccie lungo Y

Ascissa freccia	Combinazione	Freccia	Luce	L/f	L/f,min	Tipo	Verifica
0.703	SLE RA 59	0.00209	1.462	699.8	250	Totale	Si
0.703	SLE RA 60	0.00209	1.462	700	250	Totale	Si
0.703	SLE RA 61	0.00209	1.462	700.2	250	Totale	Si
0.703	SLE RA 52	0.00208	1.462	703.2	250	Totale	Si
0.703	SLE RA 53	0.00208	1.462	703.4	250	Totale	Si
0.703	SLE RA 44	-0.00121	1.462	1211.7	350	Variabile	Si
0.703	SLE RA 43	-0.00121	1.462	1212.3	350	Variabile	Si
0.703	SLE RA 42	-0.00121	1.462	1212.9	350	Variabile	Si
0.703	SLE RA 47	-0.0012	1.462	1222.1	350	Variabile	Si
0.703	SLE RA 46	-0.0012	1.462	1222.7	350	Variabile	Si

Significato dei simboli utilizzati:

Sezione: sezione in acciaio

Rotazione: rotazione della sezione [deg]

Area: area inerziale nel sistema geometrico centrato nel baricentro. [m²]

Jx: momento d'inerzia attorno all'asse orizzontale baricentrico di definizione della sezione. [m⁴]

Jy: momento d'inerzia attorno all'asse verticale baricentrico di definizione della sezione. [m⁴]

ix: raggio di inerzia relativo all'asse x. [m]

iy: raggio di inerzia relativo all'asse y. [m]

Wx: modulo di resistenza elastico minimo relativo all'asse x. [m³]

Wy: modulo di resistenza elastico minimo relativo all'asse y. [m³]

Wplx: modulo di resistenza plastico relativo all'asse x. [m³]

Wply: modulo di resistenza plastico relativo all'asse y. [m³]

X: distanza dal nodo iniziale. [m]

Comb.: combinazione di verifica.

Sfruttamento: rapporto di sfruttamento per la verifica in esame, inverso del coefficiente di sicurezza. Verificato se minore o uguale di 1.

Classe: classe della sezione.

NEd: sollecitazione assiale. [kN]

Nc,Rd: resistenza assiale a compressione ridotta per taglio. [kN]

Nt,Rd: resistenza assiale a trazione ridotta per taglio. [kN]

Riduzione da taglio: rapporto tra la resistenza assiale ridotta per taglio e la resistenza assiale.

px: coefficiente di riduzione della resistenza di snervamento per taglio in direzione x.

py: coefficiente di riduzione della resistenza di snervamento per taglio in direzione y.

Verifica: stato di verifica

VEd: sollecitazione di taglio. [kN]

Vc,Rd: resistenza a taglio. [kN]

Av: area resistenza a taglio. [m²]

Interazione taglio-torsione: indica se è possibile ridurre il taglio resistente per presenza di torsione

Riduzione torsione: coefficiente riduttivo della resistenza a taglio per presenza di torsione.

Sfruttamento torsione: rapporto tra TEd e TRd.

TEd: sollecitazione torcente. [kN*m]

TRd: resistenza a torsione. [kN*m]

Riduzione taglio resistente: indica se è possibile ridurre il taglio resistente per presenza di torsione

Sfruttamento taglio-torsione: $\tau_{Ed,totale} / (0.5 * \tau_{Rd})$. Non verificato se maggiore di 1.

$\tau_{Ed,totale}$: somma delle tensioni tangenziali totale derivanti da taglio e torsione. [kN/m²]

τ_{Rd} : tensione tangenziale resistente. [kN/m²]

Mx,Ed: sollecitazione flettente attorno x-x. [kN*m]

Mx,Rd: resistenza a flessione attorno x-x ridotta per taglio. [kN*m]

Rid. Mx,Rd da VEd: rapporto tra la resistenza flettente ridotta per taglio e la resistenza flettente attorno x-x.

My,Ed: sollecitazione flettente attorno y-y. [kN*m]

My,Rd: resistenza a flessione attorno y-y ridotta per taglio. [kN*m]

Rid. My,Rd da VEd: rapporto tra la resistenza flettente ridotta per taglio e la resistenza flettente attorno y-y.

α : esponente α per flessione deviata.

β : esponente β per flessione deviata.

NRd: resistenza assiale ridotta per taglio. [kN]

Rid. NRd da VEd: rapporto tra la resistenza assiale ridotta per taglio e la resistenza assiale.

Mx,Rd: resistenza a flessione attorno x-x ridotta [kN*m]


Rid. Mx,Rd da NEd: rapporto tra la resistenza flettente ridotta per sforzo normale e taglio e la resistenza flettente ridotta per taglio attorno x-x.

My,Rd: resistenza a flessione attorno y-y ridotta [kN*m]

Rid. My,Rd da NEd: rapporto tra la resistenza flettente ridotta per sforzo normale e taglio e la resistenza flettente ridotta per taglio attorno y-y.

Numero rit.: numero del ritegno

Presente: indica se il ritegno è presente o meno

 ITALFERR GRUPPO FERROVIE DELLO STATO ITALIANE STAZIONE AEROPORTO					
	PENSILINA A1a RELAZIONE DI CALCOLO	COMMESSA ...	COMMESSA ...	COMMESSA ...	COMMESSA ...	COMMESSA ...

Ascissa: ascissa del ritegno rispetto al nodo iniziale del superelemento o ascissa iniziale e finale della campata [m]

Campata: campata tra i ritegni

$\beta x/m$: coefficiente di lunghezza efficace per rotazione attorno a x/m

Vincolo a entrambi estremi: indica se il tratto è vincolato a entrambi gli estremi

$\lambda x/m$: snellezza attorno a x/m del tratto tra i due ritegni

λVer : snellezza accettabile

$\beta y/n$: coefficiente di lunghezza efficace per rotazione attorno a y/n

k,LT: coefficiente di lunghezza efficace per rotazione nel calcolo del momento critico ENV1993-1-1 F 1.2(3)

kw,LT: coefficiente di lunghezza efficace per ingobbamento nel calcolo del momento critico ENV1993-1-1 F 1.2(4)

$\lambda y/n$: snellezza attorno a y/n del tratto tra i due ritegni

Obblig.: indica se la verifica è obbligatoria da norma.

Mb,Rd,x: momento resistente di progetto per l'instabilità per sollecitazione flettente attorno l'asse x-x. [kN*m]

χ_x,LT : coefficiente di riduzione per instabilità flesso-torsionale.

$\lambda_{adim. LT}$: snellezza adimensionale per instabilità flesso-torsionale.

L,LT: distanza tra due ritegni torsionali. [m]

M,critico: momento critico. [kN*m]

Mx,Ed,Ed: momento interno efficace di verifica attorno x-x secondo ENV1993-1-1 §5.5.3. [kN*m]

kLT: valore di kLT.

ky: valore di ky.

Wx: modulo resistente della sezione per inflessione attorno all'asse x-x. [m³]

Wy: modulo resistente della sezione per inflessione attorno all'asse y-y. [m³]

NRk: resistenza caratteristica assiale. [kN]

Mx,Ed max: momento sollecitante massimo attorno l'asse x-x tra due ritegni all'inflessione attorno x-x. [kN*m]

Mx,Rk: resistenza caratteristica a flessione attorno l'asse x-x. [kN*m]

My,Ed max: momento sollecitante massimo attorno l'asse y-y tra due ritegni all'inflessione attorno y-y. [kN*m]

My,Rk: resistenza caratteristica a flessione attorno l'asse y-y. [kN*m]

χ_x : coefficiente di riduzione per inflessione attorno l'asse x-x.

χ_y : coefficiente di riduzione per inflessione attorno l'asse y-y.

kxx: valore di kxx.

kxy: valore di kxy.

kyx: valore di kyx.

kyy: valore di kyy.

η : valore di η .

hw: altezza dell'anima. [m]

tw: spessore dell'anima. [m]

hw/tw max: rapporto tra hw e tw massimo.

Ascissa freccia: ascissa della massima freccia. [m]

Combinazione: combinazione di verifica in cui è ricavata la freccia.

Freccia: massima freccia. [m]

Luce: luce di verifica. [m]

L/f: rapporto luce su freccia.

L/f,min: minimo rapporto luce su freccia consentito.

Tipo: freccia calcolata considerando le sole condizioni variabili o tutte le condizioni (totale) all'interno della combinazione di verifica.

11.3 Verifica colonne

Si riportano qui di seguito le verifiche della colonna in HEB 320 posta all'estremità destra della pensilina che è risultata quella maggiormente sollecitata:

Superelemento in acciaio composto da 4 aste: 9, 10, 11, 12


Caratteristiche del materiale

Acciaio: S355, fyk = 355000

Caratteristiche geometriche

Lunghezza: 7.53

Nodo iniziale: 4 Nodo finale: 188

 ITALFERR GRUPPO FERROVIE DELLO STATO ITALIANE	STAZIONE AEROPORTO		
	PENSILINA A1a RELAZIONE DI CALCOLO	COMMESSA	COMMESSA	COMMESSA	COMMESSA	COMMESSA

Cerniera iniziale: No Cerniera finale: No
 Sovvaresistenza: 0% Sisma Z: No

Caratteristiche della sezione

Sezione	Rotazione	Area	Jx	Jy	ix	iy	Wx	Wy	Wplx	Wply
HEB320	0	0.016149	0.000308483 3	0.000092392 8	0.1382	0.0756	0.00192802	0.00061595	0.00215114	0.00093933

Verifiche di resistenza

Verifiche a forza assiale §4.2.4.1.2.1 - §4.2.4.1.2.2 NTC18

X	Comb.	Sfruttamento	Classe	NEd	Nc,Rd	Nt,Rd	Riduzione da taglio	px	py	Verifica
0	SLU 405	0.079	1	-431.818	5459.888		1	0	0	Si

Verifiche a forza assiale SLD §4.2.4.1.2.1 - §4.2.4.1.2.2 NTC18

X	Comb.	Sfruttamento	Classe	NEd	Nc,Rd	Nt,Rd	Riduzione da taglio	px	py	Verifica
4.94	SLD 27	0.034	1	-188.11	5459.888		1	0	0	Si

Verifica a taglio X §4.2.4.1.2.4 NTC18

X	Comb.	Sfruttamento	VEd	Vc,Rd	Av	Interazione taglio-torsione	Riduzione torsione	Verifica
0.165	SLV 1	0.03	-76.539	2524.135	0.01294	Considerata	1	Si

Verifica a taglio X SLD §4.2.4.1.2.4 NTC18

X	Comb.	Sfruttamento	VEd	Vc,Rd	Av	Interazione taglio-torsione	Riduzione torsione	Verifica
6.18	SLD 25	0.012	-31.421	2524.596	0.01294	Considerata	1	Si

Verifica a taglio Y §4.2.4.1.2.4 NTC18

X	Comb.	Sfruttamento	VEd	Vc,Rd	Av	Interazione taglio-torsione	Riduzione torsione	Verifica
0	SLV 23	0.05	50.071	1011.382	0.005192	Considerata	1	Si

Verifica a taglio Y SLD §4.2.4.1.2.4 NTC18

X	Comb.	Sfruttamento	VEd	Vc,Rd	Av	Interazione taglio-torsione	Riduzione torsione	Verifica
0	SLD 21	0.02	20.281	1012.599	0.005192	Considerata	1	Si

Verifica a torsione §4.2.4.1.2.5 NTC18

X	Comb.	Sfruttamento torsione	TEd	TRd	Riduzione taglio resistente	Sfruttamento taglio-torsione	τEd,totale	τRd	Verifica
7.349	SLV 20	0.01	0.17536	17.7533	Considerata				Si

Verifica a torsione SLD §4.2.4.1.2.5 NTC18

X	Comb.	Sfruttamento torsione	TEd	TRd	Riduzione taglio resistente	Sfruttamento taglio-torsione	τEd,totale	τRd	Verifica
4.977	SLD 17	0.004	0.06861	17.7533	Considerata				Si

Verifica a flessione semplice X §§ 4.2.4.1.2.3 - 4.2.4.1.2.6 - 4.2.4.1.2.7 - 4.2.4.1.2.8 NTC18

X	Comb.	Sfruttamento	Classe	Mx,Ed	Mx,Rd	Rid. Mx,Rd da VEd	px	py	Verifica
4.611	SLU 381	0.034	1	-24.47961	727.29162	1	0	0	Si

Verifica a flessione semplice Y §§ 4.2.4.1.2.3 - 4.2.4.1.2.6 - 4.2.4.1.2.7 - 4.2.4.1.2.8 NTC18

X	Comb.	Sfruttamento	Classe	My,Ed	My,Rd	Rid. My,Rd da VEd	px	py	Verifica
0	SLU 161	0.106	1	33.62921	317.58146	1	0	0	Si

Verifica a flessione deviata §§ 4.2.4.1.2.3 - 4.2.4.1.2.6 - 4.2.4.1.2.7 - 4.2.4.1.2.8 NTC18

X	Comb.	Sfruttamento	Classe	Mx,Ed	Mx,Rd	My,Ed	My,Rd	Rid. Mx,Rd da VEd	Rid. My,Rd da VEd	α	β	px	py	Verifica
0	SLU 195	0.267	1	-152.1237	727.2916	-18.2104	317.5815	1	1	1	1	0	0	Si

Verifica a presso/tenso flessione retta X §§ 4.2.4.1.2.3 - 4.2.4.1.2.6 - 4.2.4.1.2.7 - 4.2.4.1.2.8 NTC18

X	Comb.	Sfruttamento	Classe	NEd	NRd	Rid. NRd da VEd	Mx,Ed	Mx,Rd	Rid. Mx,Rd da VEd	Rid. Mx,Rd da NEd	px	py	Verifica
0	SLU 381	0.193	1	-9.019	5459.888	1	-140.2189	727.2916	1	1	0	0	Si

Verifica a presso/tenso flessione retta Y §§ 4.2.4.1.2.3 - 4.2.4.1.2.6 - 4.2.4.1.2.7 - 4.2.4.1.2.8 NTC18

X	Comb.	Sfruttamento	Classe	NEd	NRd	Rid. NRd da VEd	My,Ed	My,Rd	Rid. My,Rd da VEd	Rid. My,Rd da NEd	px	py	Verifica
0	SLU 44	0.112	1	90.517	5459.888	1	35.5764	317.5815	1	1	0	0	Si

Verifica a presso/tenso flessione retta Y SLD §§ 4.2.4.1.2.3 - 4.2.4.1.2.6 - 4.2.4.1.2.7 - 4.2.4.1.2.8 NTC18

PENSILINA A1a

RELAZIONE DI CALCOLO

COMMESSA

COMMESSA

COMMESSA

COMMESSA

COMMESSA

COMMESSA

X	Comb.	Sfruttamento	Classe	NEd	NRd	Rid. NRd da VEd	My,Ed	My,Rd	Rid. My,Rd da VEd	Rid. My,Rd da NEd	px	py	Verifica
7.349	SLD 25	0.003	1	-184.914	5459.888	1	1.0073	317.5815	1	1	0	0	Si

Verifica a presso/tenso flessione deviata §§ 4.2.4.1.2.3 - 4.2.4.1.2.6 - 4.2.4.1.2.7 - 4.2.4.1.2.8 NTC18

X	Comb.	Sfruttamento	Classe	NEd	NRd	Rid. NRd da VEd	Mx,Ed	Mx,Rd	My,Ed	My,Rd	Rid. Mx,Rd da VEd	Rid. Mx,Rd da NEd	Rid. My,Rd da VEd	Rid. My,Rd da NEd	α	β	px	py	Verifica
0	SLV 7	0.815	1	-125.945	5459.888	1	-95.2586	727.2916	-217.3367	-317.5815	1	1	1	1	1	1	0	0	Si

Verifica a presso/tenso flessione deviata SLD §§ 4.2.4.1.2.3 - 4.2.4.1.2.6 - 4.2.4.1.2.7 - 4.2.4.1.2.8 NTC18

X	Comb.	Sfruttamento	Classe	NEd	NRd	Rid. NRd da VEd	Mx,Ed	Mx,Rd	My,Ed	My,Rd	Rid. Mx,Rd da VEd	Rid. Mx,Rd da NEd	Rid. My,Rd da VEd	Rid. My,Rd da NEd	α	β	px	py	Verifica
0	SLD 8	0.329	1	-142.018	5459.888	1	-40.8531	727.2916	-86.7451	-317.5815	1	1	1	1	1	1	0	0	Si

Verifiche ad instabilità

Caratteristiche iniziali

Membratura principale per controllo snellezza; Calcolo di snellezze ed N critici condotti secondo gli assi principali; Curva X: b; Curva Y: c; Svergolamento: Carico all'estradosso; Curva svergolamento: b;

Dati per instabilità attorno a x

Numero rit.	Presente	Ascissa	Campata	βx/m	Vincolo a entrambi estremi	λx/m	λVer
1	Si	0					
2	Si	7.53	1-2		1	54.5	Si, (<200)

Dati per instabilità attorno a y

Numero rit.	Presente	Ascissa	Campata	βy/n	k,LT	kw,LT	Vincolo a entrambi estremi	λy/n	λVer
1	Si	0							
2	Si	7.53	1-2		1	1	1	99.6	Si, (<200)

Verifica a svergolamento con trazione §4.2.4.1.3.2 NTC18 - §5.5.3 ENV 1993-1-1:1994

X	Comb.	Sfruttamento	Classe	Obblig.	NEd	Mx,Ed	Mx,Eff,Ed	Mb,Rd,x	χ,LT	λ adim. LT	L,LT	M,critico	Verifica
1.647	SLU 147	0.144	1	Si	4.66	-92.25871	-91.86926	639.05916	0.879	0.682	7.53	1643.227	Si

Verifica di stabilità per tenso-flessione deviata §5.5.3 - §5.5.4 ENV 1993-1-1:1994

X	Comb.	Sfruttamento	Classe	NEd	Mx,Ed	Mx,Eff,Ed	My,Ed	χ,LT	kLT	ky	M,critico	Wx	Wy	Verifica
0	SLU 383	0.291	1	18.459	-152.11923	-150.57652	-17.72624	0.879	1	1	1643.227	0.0021511	0.0009393	Si

Verifica di stabilità per pressoflessione §C.4.2.4.1.3.3.2 NTC08

X	Comb.	Sfruttamento	Classe	NEd	NRk	Mx,Ed max	Mx,Rk	My,Ed max	My,Rk	χ,x	χ,y	kxx	kxy	kyx	kyy	χ,LT	Verifica
0	SLV 15	0.606	1	-143.344	5732.882	291.97014	763.6562	68.14208	333.46053	0.776	0.388	0.498	0.263	0.972	0.438	0.879	Si

Verifica di stabilità per pressoflessione SLD §C.4.2.4.1.3.3.2 NTC08

X	Comb.	Sfruttamento	Classe	NEd	NRk	Mx,Ed max	Mx,Rk	My,Ed max	My,Rk	χ,x	χ,y	kxx	kxy	kyx	kyy	χ,LT	Verifica
0	SLD 13	0.287	1	-148.617	5732.882	115.91837	763.6562	29.70953	333.46053	0.776	0.388	0.495	0.264	0.97	0.439	0.879	Si

Verifica di stabilità a taglio anima Y §4.2.4.1.2.4 [4.2.27] NTC18

η	hw	tw	hw/tw max	Verifica
1.2	0.279	0.011	48.82	Si


Verifica di stabilità a taglio anima Y SLD §4.2.4.1.2.4 [4.2.27] NTC18

η	hw	tw	hw/tw max	Verifica
1.2	0.279	0.011	48.82	Si

Verifiche a deformabilità

Mensola X: No; Mensola Y: No.

Verifiche non eseguite in quanto il superelemento è verticale.

 ITALFERR GRUPPO FERROVIE DELLO STATO ITALIANE STAZIONE AEROPORTO					
	PENSILINA A1a RELAZIONE DI CALCOLO	COMMESSA ...	COMMESSA ...	COMMESSA ...	COMMESSA ...	COMMESSA ...

Significato dei simboli utilizzati:

Sezione: sezione in acciaio

Rotazione: rotazione della sezione [deg]

Area: area inerziale nel sistema geometrico centrato nel baricentro. [m²]

Jx: momento d'inerzia attorno all'asse orizzontale baricentrico di definizione della sezione. [m⁴]

Jy: momento d'inerzia attorno all'asse verticale baricentrico di definizione della sezione. [m⁴]

ix: raggio di inerzia relativo all'asse x. [m]

iy: raggio di inerzia relativo all'asse y. [m]

Wx: modulo di resistenza elastico minimo relativo all'asse x. [m³]

Wy: modulo di resistenza elastico minimo relativo all'asse y. [m³]

Wplx: modulo di resistenza plastico relativo all'asse x. [m³]

Wply: modulo di resistenza plastico relativo all'asse y. [m³]

X: distanza dal nodo iniziale. [m]

Comb.: combinazione di verifica.

Sfruttamento: rapporto di sfruttamento per la verifica in esame, inverso del coefficiente di sicurezza. Verificato se minore o uguale di 1.

Classe: classe della sezione.

NEd: sollecitazione assiale. [kN]

Nc,Rd: resistenza assiale a compressione ridotta per taglio. [kN]

Nt,Rd: resistenza assiale a trazione ridotta per taglio. [kN]

Riduzione da taglio: rapporto tra la resistenza assiale ridotta per taglio e la resistenza assiale.

px: coefficiente di riduzione della resistenza di snervamento per taglio in direzione x.

py: coefficiente di riduzione della resistenza di snervamento per taglio in direzione y.

Verifica: stato di verifica

VEd: sollecitazione di taglio. [kN]

Vc,Rd: resistenza a taglio. [kN]

Av: area resistenza a taglio. [m²]

Interazione taglio-torsione: indica se è possibile ridurre il taglio resistente per presenza di torsione

Riduzione torsione: coefficiente riduttivo della resistenza a taglio per presenza di torsione.

Sfruttamento torsione: rapporto tra TEd e TRd.

TEd: sollecitazione torcente. [kN*m]

TRd: resistenza a torsione. [kN*m]

Riduzione taglio resistente: indica se è possibile ridurre il taglio resistente per presenza di torsione

Sfruttamento taglio-torsione: $\tau_{Ed,totale} / (0.5 * \tau_{Rd})$. Non verificato se maggiore di 1.

$\tau_{Ed,totale}$: somma delle tensioni tangenziali totale derivanti da taglio e torsione. [kN/m²]

τ_{Rd} : tensione tangenziale resistente. [kN/m²]

Mx,Ed: sollecitazione flettente attorno x-x. [kN*m]

Mx,Rd: resistenza a flessione attorno x-x ridotta per taglio. [kN*m]

Rid. Mx,Rd da VEd: rapporto tra la resistenza flettente ridotta per taglio e la resistenza flettente attorno x-x.

My,Ed: sollecitazione flettente attorno y-y. [kN*m]

My,Rd: resistenza a flessione attorno y-y ridotta per taglio. [kN*m]

Rid. My,Rd da VEd: rapporto tra la resistenza flettente ridotta per taglio e la resistenza flettente attorno y-y.

α : esponente α per flessione deviata.

β : esponente β per flessione deviata.

NRd: resistenza assiale ridotta per taglio. [kN]

Rid. NRd da VEd: rapporto tra la resistenza assiale ridotta per taglio e la resistenza assiale.

Mx,Rd: resistenza a flessione attorno x-x ridotta [kN*m]

Rid. Mx,Rd da NEd: rapporto tra la resistenza flettente ridotta per sforzo normale e taglio e la resistenza flettente ridotta per taglio attorno x-x.

My,Rd: resistenza a flessione attorno y-y ridotta [kN*m]

Rid. My,Rd da NEd: rapporto tra la resistenza flettente ridotta per sforzo normale e taglio e la resistenza flettente ridotta per taglio attorno y-y.

Numero rit.: numero del ritegno

Presente: indica se il ritegno è presente o meno

Ascissa: ascissa del ritegno rispetto al nodo iniziale del superelemento o ascissa iniziale e finale della campata [m]

Campata: campata tra i ritegni

β_x/m : coefficiente di lunghezza efficace per rotazione attorno a x/m

Vincolo a entrambi estremi: indica se il tratto è vincolato a entrambi gli estremi

λ_x/m : snellezza attorno a x/m del tratto tra i due ritegni

λ_{Ver} : snellezza accettabile

β_y/n : coefficiente di lunghezza efficace per rotazione attorno a y/n

k_{LT} : coefficiente di lunghezza efficace per rotazione nel calcolo del momento critico ENV1993-1-1 F.1.2(3)

$k_{w,LT}$: coefficiente di lunghezza efficace per ingobbamento nel calcolo del momento critico ENV1993-1-1 F.1.2(4)

λ_y/n : snellezza attorno a y/n del tratto tra i due ritegni

Obblig.: indica se la verifica è obbligatoria da norma.


Mx,Eff,Ed: momento interno efficace di verifica attorno x-x secondo ENV1993-1-1 §5.5.3. [kN*m]

Mb,Rd,x: momento resistente di progetto per l'instabilità per sollecitazione flettente attorno l'asse x-x. [kN*m]

χ_{LT} : coefficiente di riduzione per instabilità flesso-torsionale.

λ_{adim} , LT: snellezza adimensionale per instabilità flesso-torsionale.

L,LT: distanza tra due ritegni torsionali. [m]

 <p>ITALFERR GRUPPO FERROVIE DELLO STATO ITALIANE</p>	<p>...</p> <p>...</p> <p>...</p> <p>STAZIONE AEROPORTO</p>					
<p>PENSILINA A1a</p> <p>RELAZIONE DI CALCOLO</p>	<p>COMMESSA</p> <p>...</p>	<p>COMMESSA</p> <p>...</p>	<p>COMMESSA</p> <p>...</p>	<p>COMMESSA</p> <p>...</p>	<p>COMMESSA</p> <p>...</p>	<p>COMMESSA</p> <p>...</p>

M,critico: momento critico. [kN*m]

kLT: valore di kLT.

ky: valore di ky.

Wx: modulo resistente della sezione per inflessione attorno all'asse x-x. [m³]

Wy: modulo resistente della sezione per inflessione attorno all'asse y-y. [m³]

NRk: resistenza caratteristica assiale. [kN]

Mx,Ed max: momento sollecitante massimo attorno l'asse x-x tra due ritegni all'inflessione attorno x-x. [kN*m]

Mx,Rk: resistenza caratteristica a flessione attorno l'asse x-x. [kN*m]

My,Ed max: momento sollecitante massimo attorno l'asse y-y tra due ritegni all'inflessione attorno y-y. [kN*m]

My,Rk: resistenza caratteristica a flessione attorno l'asse y-y. [kN*m]

χ,x: coefficiente di riduzione per inflessione attorno l'asse x-x.

χ,y: coefficiente di riduzione per inflessione attorno l'asse y-y.

kxx: valore di kxx.

kxy: valore di kxy.


kyy: valore di kyy.

η: valore di η.

hw: altezza dell'anima. [m]

tw: spessore dell'anima. [m]

hw/tw max: rapporto tra hw e tw massimo.

 ITALFERR GRUPPO FERROVIE DELLO STATO ITALIANE STAZIONE AEROPORTO					
	PENSILINA A1a RELAZIONE DI CALCOLO	COMMESSA ...	COMMESSA ...	COMMESSA ...	COMMESSA ...	COMMESSA ...

12. VERIFICHE DI RESISTENZA COLLEGAMENTI ELEMENTI IN ACCIAIO

Si riportano qui di seguito alcune verifiche dei collegamenti delle strutture in acciaio. Ulteriori verifiche possono essere reperite nell' Allegato 4 – Verifiche strutture acciaio.

12.1 Verifica piastra di base colonna HEB 320

Verifiche:

3 piastre di base gruppo 1


Normativa di calcolo: D.M. 17-01-18 (NTC)

Elemento in calcestruzzo: Rck = 300
 Colonna: HEB320 materiale S355

Collegamenti:
 Collegamento 1
 Elemento in cls: Asta 0 (Plinto superficiale livello Fondazione filo 24)
 Colonna: Asta 1 (Colonna in acciaio tronco Fondazione - Sommita colonne filo 24)
 Collegamento 2
 Elemento in cls: 0 (Plinto superficiale livello Fondazione filo 72)
 Colonna: Asta 5 (Colonna in acciaio tronco Fondazione - Sommita colonne filo 72)
 Collegamento 3
 Elemento in cls: 0 (Plinto superficiale livello Fondazione filo 120)
 Colonna: Asta 9 (Colonna in acciaio tronco Fondazione - Sommita colonne filo 120)

Materiale piastra S355
 Tirafondi sollecitati nelle sezioni filettate
 Numero di tirafondi di spigolo: 4
 Numero di tirafondi di anima: 2
 Numero di tirafondi di ala: 4
 Tirafondi diametro nominale 27 mm materiale S355; resistenti a compressione
 Lunghezza dei tirafondi 800 mm
 Diametro dei fori sulla piastra 50.0 mm
 Cordoni di saldatura sulle ali della colonna lato 15.0 mm
 Cordoni di saldatura sull'anima della colonna lato 10.0 mm
 Cordoni di saldatura per gli irrigidimenti superiori lato 15.0 mm
 Tipo di ancoraggio: aderenza e rosette
 Materiale rosette S355
 Cordoni di saldatura delle rosette lato 20.0 mm
 Tirafondi resistenti a compressione
 Spessore piastra 2.5 cm

Legenda dei simboli utilizzati:
 Asse X asse locale baricentrico dell'asta portata parallelo alle ali del profilo
 Asse Y asse locale baricentrico dell'asta portata parallelo all'anima del profilo
 N sforzo normale
 Tx taglio secondo l'asse X
 Ty taglio secondo l'asse Y
 Mx momento flettente attorno all'asse X
 My momento flettente attorno all'asse Y
 Mt momento torcente
 FvEd taglio massimo per i tirafondi
 FvRd resistenza di calcolo di taglio per i tirafondi
 FtEd trazione massima per i tirafondi
 FtRd resistenza di calcolo a trazione per i tirafondi
 MjEd momento flettente agente
 NjEd sforzo normale agente
 MjRd momento resistente del giunto
 NjRd sforzo normale resistente del giunto
 fad.max tansione di aderenza massima
 fbd tensione ultima di aderenza
 sc.max tensione massima sul calcestruzzo
 fcd resistenza a compressione del calcestruzzo
 R rapporto di verifica tra azione agente e azione resistente
 VEd taglio massimo sui profili
 VcRd resistenza a taglio dei profili
 MEd momento massimo sui profili
 McRd resistenza flessionale dei profili
 FwEd forza di progetto per unita di lunghezza della saldatura
 FwRd resistenza di progetto per unita di lunghezza della saldatura
 fris resistenza di progetto per unita di lunghezza della saldatura

 ITALFERR GRUPPO FERROVIE DELLO STATO ITALIANE STAZIONE AEROPORTO					
	PENSILINA A1a RELAZIONE DI CALCOLO	COMMESSA ...	COMMESSA ...	COMMESSA ...	COMMESSA ...	COMMESSA ...

sigma ort tensione agente sulla saldatura
 ftk resistenza a rottura per trazione della saldatura
 beta coefficiente di correlazione
 gammaM2 coefficiente parziale di sicurezza per collegamenti saldati

Verifica dei tirafondini

trazione:
 FtEd = 15998.2 daN < FtRd = 16854.5 daN
 SLV 21 Collegamento 1 N -1.743E+04 daN Tx 2.4810E+03 daN Ty -5.537E+03 daN Mx 3.2429E+06 daN*cm My -6.578E+05 daN*cm Mt 1.2950E+03 daN*cm
 trazione + taglio:
 (Fvzd/Fvrd)+(Ftsd/(1.4*Ftrd)) = 0.171 < 1 Ftsd = 3453.3 Ftrd = 16854.5 Fvzd = 155.2 Fvrd = 6245.5
 SLU 47 Collegamento 3 N 1.1756E+04 daN Tx 1.5190E+03 daN Ty -3.160E+02 daN Mx 1.1880E+05 daN*cm My -3.082E+05 daN*cm Mt -1.000E+00 daN*cm

Verifica di resistenza della piastra

taglio:
 Rapporto = 0.768 < 1
 SLV 21 Collegamento 1 N -1.743E+04 daN Tx 2.4810E+03 daN Ty -5.537E+03 daN Mx 3.2429E+06 daN*cm My -6.578E+05 daN*cm Mt 1.2950E+03 daN*cm
 flessione:
 R = 0.380 < 1
 SLV 21 Collegamento 1 N -1.743E+04 daN Tx 2.4810E+03 daN Ty -5.537E+03 daN Mx 3.2429E+06 daN*cm My -6.578E+05 daN*cm Mt 1.2950E+03 daN*cm

Verifica del giunto (p. 6.2 EN 1993-1-8:2005)

coeff = 0.82 < 1 MjRdx = 3952013.0 daN*cm MEdx = 3242929.0 daN*cm
 Resistenza di progetto delle componenti di base:
 FcplRd (calcestruzzo compresso) = 272220 daN
 FcfcRd (flangia ed anima della colonna soggette a compressione) = 185010 daN
 FtplRd (piastra inflessa) = 67418 daN
 FtwbRd (anima della colonna soggetta a trazione) = 100771 daN
 SLV 21 Collegamento 1 N -1.743E+04 daN Tx 2.4810E+03 daN Ty -5.537E+03 daN Mx 3.2429E+06 daN*cm My -6.578E+05 daN*cm Mt 1.2950E+03 daN*cm

Verifica dell'ancoraggio: aderenza e rosette

aderenza:
 fad.max = 0.00 daN/cm < fbd = 11.98 daN/cm
 SLU 1 Collegamento 1 N -1.409E+04 daN Tx 9.6900E+02 daN Ty 0.0000E+00 daN Mx -3.900E+01 daN*cm My -2.458E+05 daN*cm Mt 0.0000E+00 daN*cm
 Verifica locale del calcestruzzo:
 FtEd = 15998.19 daN < FtRd = 19510.53 daN
 SLV 21 Collegamento 1 N -1.743E+04 daN Tx 2.4810E+03 daN Ty -5.537E+03 daN Mx 3.2429E+06 daN*cm My -6.578E+05 daN*cm Mt 1.2950E+03 daN*cm
 Verifica di resistenza delle rosette
 taglio:
 R = 0.178 < 1 VEd = 8330.3 daN VcRd = 46847.9 daN
 SLV 21 Collegamento 1 N -1.743E+04 daN Tx 2.4810E+03 daN Ty -5.537E+03 daN Mx 3.2429E+06 daN*cm My -6.578E+05 daN*cm Mt 1.2950E+03 daN*cm
 flessione:
 R = 0.795 < 1 MEd = 24991.0 daN*cm McRd = 31442.9 daN*cm
 SLV 21 Collegamento 1 N -1.743E+04 daN Tx 2.4810E+03 daN Ty -5.537E+03 daN Mx 3.2429E+06 daN*cm My -6.578E+05 daN*cm Mt 1.2950E+03 daN*cm
 Verifica di resistenza delle saldature delle rosette
 a cordoni d'angolo:
 Fw.sd = 943.0 daN/cm < Fw.Rd = 3701.5 daN/cm
 SLV 21 Collegamento 1 N -1.743E+04 daN Tx 2.4810E+03 daN Ty -5.537E+03 daN Mx 3.2429E+06 daN*cm My -6.578E+05 daN*cm Mt 1.2950E+03 daN*cm

Verifica della pressione di contatto fra piastra e calcestruzzo:

sc.max compressione = 124.48 daN/cm < fcd = 141.10 daN/cm
 SLV 21 Collegamento 1 N -1.743E+04 daN Tx 2.4810E+03 daN Ty -5.537E+03 daN Mx 3.2429E+06 daN*cm My -6.578E+05 daN*cm Mt 1.2950E+03 daN*cm

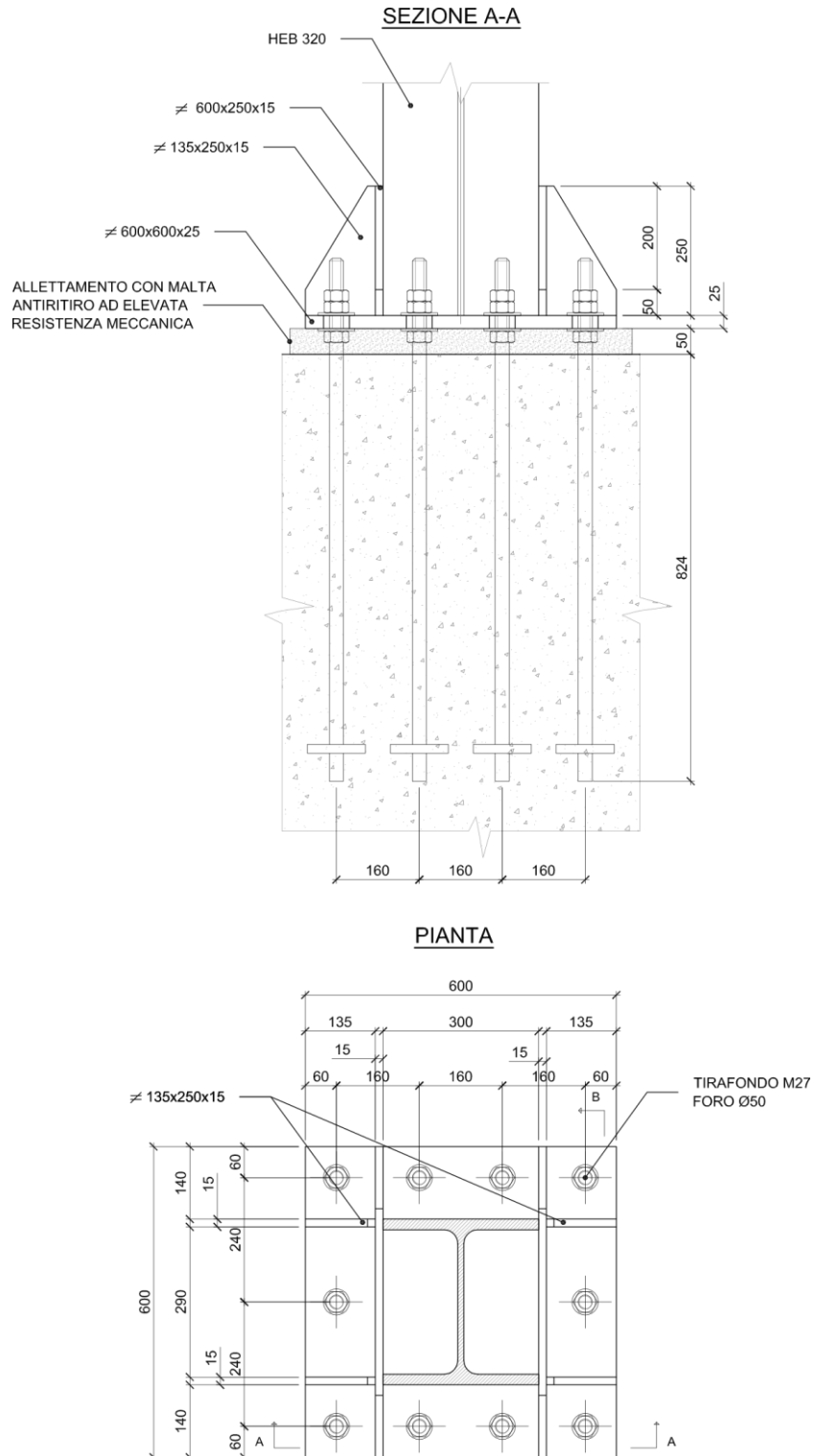
Verifica di resistenza delle saldature sulla piastra


a cordoni d'angolo:
 Fw.sd = 975.2 daN/cm < Fw.Rd = 2776.1 daN/cm
 SLV 21 Collegamento 1 N -1.743E+04 daN Tx 2.4810E+03 daN Ty -5.537E+03 daN Mx 3.2429E+06 daN*cm My -6.578E+05 daN*cm Mt 1.2950E+03 daN*cm
 Verifica di resistenza delle saldature degli irrigidimenti sulla colonna
 a cordoni d'angolo:
 Fw.sd = 2392.8 daN/cm < Fw.Rd = 2776.1 daN/cm
 SLV 21 Collegamento 1 N -1.743E+04 daN Tx 2.4810E+03 daN Ty -5.537E+03 daN Mx 3.2429E+06 daN*cm My -6.578E+05 daN*cm Mt 1.2950E+03 daN*cm

PENSILINA A1a
RELAZIONE DI CALCOLO

COMMESSA	COMMESSA	COMMESSA	COMMESSA	COMMESSA	COMMESSA
...

Schema collegamento:



 <p>ITAFERR GRUPPO FERROVIE DELLO STATO ITALIANE</p>	<p>... STAZIONE AEROPORTO</p>					
<p>PENSILINA A1a RELAZIONE DI CALCOLO</p>	<p>COMMESSA ...</p>	<p>COMMESSA ...</p>	<p>COMMESSA ...</p>	<p>COMMESSA ...</p>	<p>COMMESSA ...</p>	<p>COMMESSA ...</p>

13. VERIFICA COMPATIBILITA' SPOSTAMENTI

Nel presente capitolo vengono individuati i valori massimi degli abbassamenti delle strutture di copertura al fine di verificarne la compatibilità con l'esercizio del traffico ferroviario. Tali valori vengono individuati con le seguenti modalità:

- 1) Massimo abbassamento prodotto dal carico variabile neve;
- 2) Massimo abbassamento prodotto dal passaggio dei convogli ferroviari.

13.1 Abbassamento massimo da carico neve

Il massimo abbassamento prodotto dal carico neve si verifica in corrispondenza dello sbalzo all'estremità destra nel nodo 144:

Abbassamento: $d = 7.8 \text{ mm}$ Rapporto $d / L = 7.8 / (2 \cdot 3750) = 1 / 961$

Tale abbassamento non interferisce con la sagoma dei convogli in transito.

13.2 Abbassamento massimo da passaggio convogli ferroviari

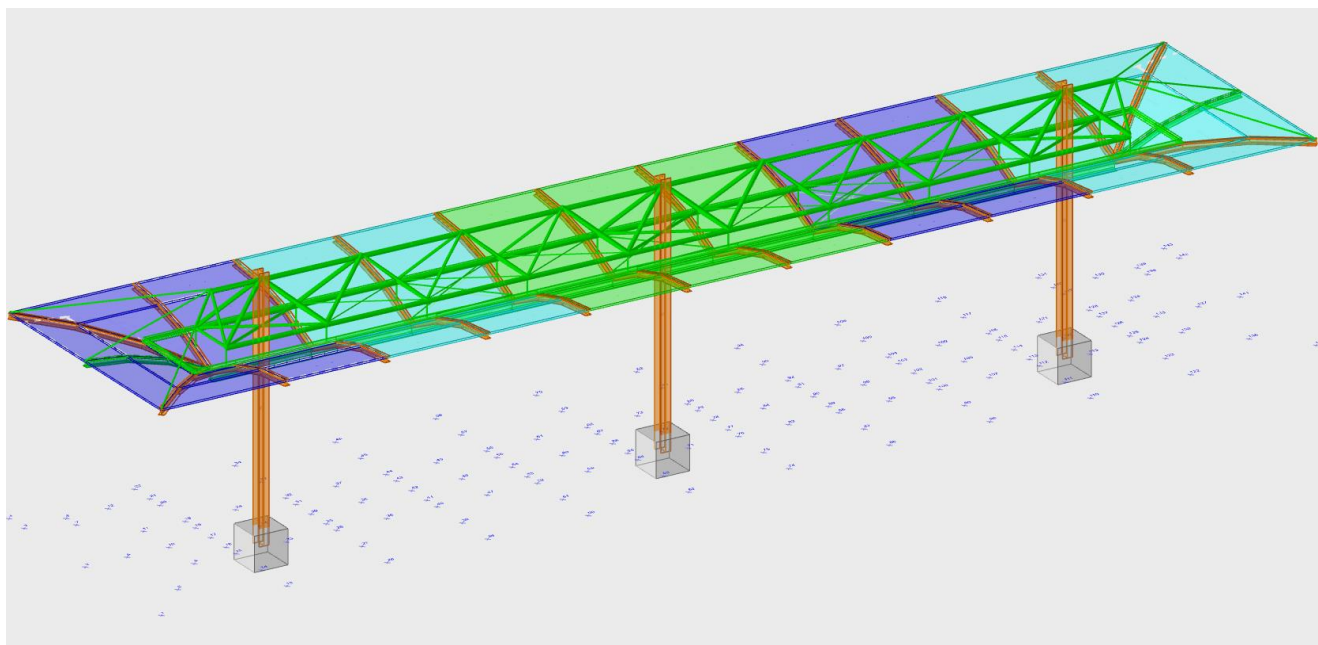
Il massimo abbassamento prodotto dal passaggio dei convogli ferroviari si verifica in corrispondenza dello sbalzo all'estremità sinistra nel nodo 163:

Abbassamento: $d = 16.6 \text{ mm}$ Rapporto $d / L = 16.6 / (2 \cdot 3750) = 1 / 452$

Tale abbassamento non interferisce con la sagoma dei convogli in transito.

ALL 1 - Definizione struttura

1 Rappresentazione generale dell'edificio



Vista assometrica dell'edificio nella sua interezza

2 Normative

D.M. LL. PP. 11-03-88

Norme Tecniche riguardanti le indagini sui terreni e sulle rocce, la stabilità dei pendii naturali e delle scarpate, i criteri generali e le prescrizioni per la progettazione, l'esecuzione ed il collaudo delle opere di sostegno delle terre e delle opere di fondazione.

Circolare Ministeriale del 24-07-88, n. 30483/STC.

Legge 02-02-74 n. 64, art. 1 - D.M. 11-03-88

Norme Tecniche riguardanti le indagini sui terreni e sulle rocce, la stabilità dei pendii naturali e delle scarpate, i criteri generali e le prescrizioni per la progettazione, l'esecuzione ed il collaudo delle opere di sostegno delle terre e delle opere di fondazione.

Norme Tecniche per le Costruzioni - D.M. 17-01-18

Sicurezza e prestazioni attese (cap.2), Azioni sulle costruzioni (cap.3), Costruzioni in calcestruzzo (par.4.1), Costruzioni in legno (par.4.4), Costruzioni in muratura (par.4.5), Progettazione geotecnica (cap.6), Progettazione per azioni sismiche (cap.7), Costruzioni esistenti (cap.8), Riferimenti tecnici (cap.12), EC3.

Eurocodice 3 UNI ENV 1993-1-1:1994, Eurocodice 3 UNI EN 1993-1-1:2014 Luglio 2014, Eurocodice 3 UNI ENV 1993-1-3:2000, Eurocodice 3 UNI EN 1993-1-3:2007 Gennaio 2007, Eurocodice 3 EN 1993-1-8:2005

3 Dati generali

3.1 Materiali

3.1.1 Materiali c.a.

Descrizione: descrizione o nome assegnato all'elemento.

Rck: resistenza caratteristica cubica; valore medio nel caso di edificio esistente. [kN/m²]

E: modulo di elasticità longitudinale del materiale per edifici o materiali nuovi. [kN/m²]

G: modulo di elasticità tangenziale del materiale, viene impiegato nella modellazione di aste e di elementi guscio a comportamento ortotropo. [kN/m²]

v: coefficiente di Poisson. Il valore è adimensionale.

γ: peso specifico del materiale. [kN/m³]

α: coefficiente longitudinale di dilatazione termica. [°C⁻¹]

Descrizione	Rck	E	G	v	γ	α
C25/30	30000	31447161	Default (14294164)	0.1	25	0.00001
Magrone	100	20639276	Default (9381489)	0.1	25	0.00001

3.1.2 Curve di materiali c.a.

Descrizione: descrizione o nome assegnato all'elemento.

Curva: curva caratteristica.

Reaz.traz.: reagisce a trazione.

Comp.frag.: ha comportamento fragile.

E.compr.: modulo di elasticità a compressione. [kN/m²]

Incr.compr.: incrudimento di compressione. Il valore è adimensionale.

EpsEc: ε elastico a compressione. Il valore è adimensionale.

EpsUc: ε ultimo a compressione. Il valore è adimensionale.

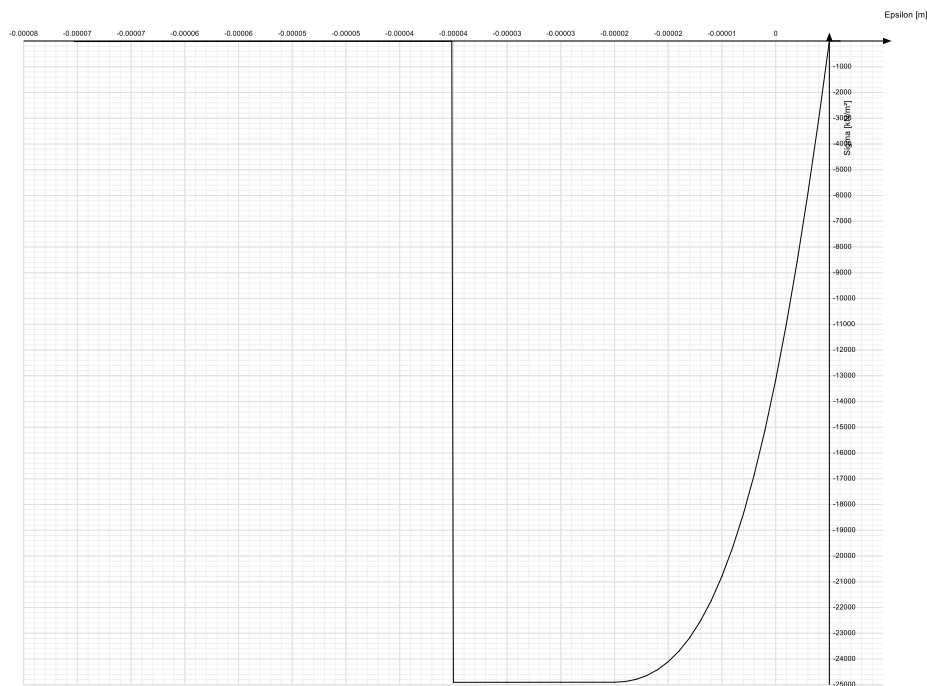
E.traz.: modulo di elasticità a trazione. [kN/m²]

Incr.traz.: incrudimento di trazione. Il valore è adimensionale.

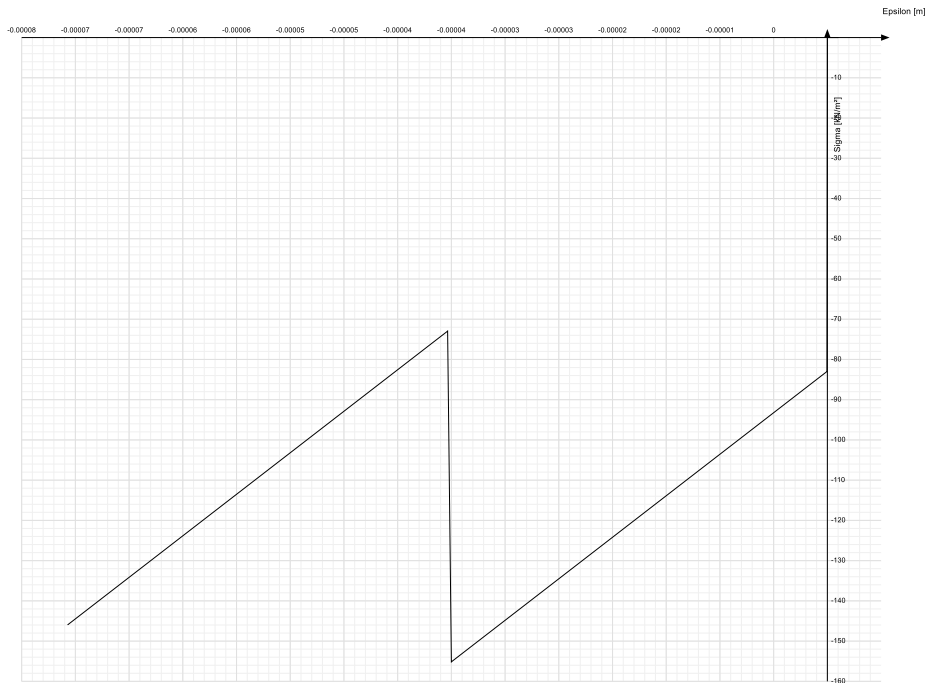
EpsEt: ε elastico a trazione. Il valore è adimensionale.

EpsUt: ε ultimo a trazione. Il valore è adimensionale.

Descrizione	Curva									
	Reaz.traz.	Comp.frag.	E.compr.	Incr.compr.	EpsEc	EpsUc	E.traz.	Incr.traz.	EpsEt	EpsUt
C25/30	No	Si	31447161	0.0001	-0.002	-0.0035	31447161	0.0001	0.0000569	0.0000626



Descrizione	Curva									
	Reaz.traz.	Comp.frag.	E.compr.	Incr.compr.	EpsEc	EpsUc	E.traz.	Incr.traz.	EpsEt	EpsUt
Magrone	No	Si	20639276	0.001	-0.000004	-0.0035	20639276	0.001	0.0000019	0.0000021



3.1.3 Armature

Descrizione: descrizione o nome assegnato all'elemento.

fyk: resistenza caratteristica. [kN/m²]

σamm.: tensione ammissibile. [kN/m²]

Tipo: tipo di barra.

E: modulo di elasticità longitudinale del materiale per edifici o materiali nuovi. [kN/m²]

γ: peso specifico del materiale. [kN/m³]

v: coefficiente di Poisson. Il valore è adimensionale.

α: coefficiente longitudinale di dilatazione termica. [°C⁻¹]

Livello di conoscenza: indica se il materiale è nuovo o esistente, e in tal caso il livello di conoscenza secondo Circ.617 02/02/09 §C8A. Informazione impiegata solo in analisi D.M. 14-01-08 (N.T.C.) e D.M. 17-01-18 (N.T.C.).

Descrizione	fyk	σamm.	Tipo	E	γ	v	α	Livello di conoscenza
B450C_1	450000	255000	Aderenza migliorata	206000000	78.5	0.3	0.000012	Nuovo

3.1.4 Acciai

3.1.4.1 Proprietà acciai base

Descrizione: descrizione o nome assegnato all'elemento.

E: modulo di elasticità longitudinale del materiale per edifici o materiali nuovi. [kN/m²]

G: modulo di elasticità tangenziale del materiale, viene impiegato nella modellazione di aste e di elementi guscio a comportamento ortotropo. [kN/m²]

v: coefficiente di Poisson. Il valore è adimensionale.

γ: peso specifico del materiale. [kN/m³]

α: coefficiente longitudinale di dilatazione termica. [°C⁻¹]

Descrizione	E	G	v	γ	α
S355	210000000	Default (80769231)	0.3	78.5	0.000012
Classe 8.8	210000000	Default (80769231)	0.3	78.5	0.000012
S355 E/2 Senza peso	105000000	Default (40384615)	0.3	0	0.000012

3.1.4.2 Proprietà acciai EC3

Descrizione: descrizione o nome assegnato all'elemento.

Tipo: descrizione per norma.

fy(s<=40 mm): resistenza di snervamento fy per spessori <=40 mm. [kN/m²]

fy(s>40 mm): resistenza di snervamento fy per spessori >40 mm. [kN/m²]

fu(s<=40 mm): resistenza di rottura per trazione fu per spessori <=40 mm. [kN/m²]

fu(s>40 mm): resistenza di rottura per trazione fu per spessori >40 mm. [kN/m²]

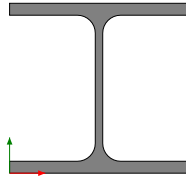
Descrizione	Tipo	fy(s<=40 mm)	fy(s>40 mm)	fu(s<=40 mm)	fu(s>40 mm)
S355	S355	355000	335000	510000	470000
Classe 8.8	S235	640000	640000	800000	800000
S355 E/2 Senza peso	S355	177500	167500	255000	235000

3.2 Sezioni

3.2.1 Sezioni in acciaio

3.2.1.1 Profili singoli in acciaio

3.2.1.1.1 HEA - HEM - HEB - IPE



Descrizione: descrizione o nome assegnato all'elemento.

Sup.: superficie bagnata per unità di lunghezza. [mm]

Area Tx FEM: area di taglio in direzione X per l'analisi FEM. [mm²]

Area Ty FEM: area di taglio in direzione Y per l'analisi FEM. [mm²]

JxFEM: momento di inerzia attorno all'asse X per l'analisi FEM. [mm⁴]

JyFEM: momento di inerzia attorno all'asse Y per l'analisi FEM. [mm⁴]

JtFEM: momento d'inerzia torsionale corretto con il fattore di forma per l'analisi FEM. [mm⁴]

b: larghezza dell'ala. [mm]

h: altezza del profilo. [mm]

s: spessore dell'anima. [mm]

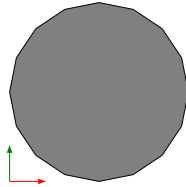
t: spessore delle ali. [mm]

r: raggio del raccordo ala-anima. [mm]

f: truschino. [mm]

Descrizione	Sup.	Area Tx FEM	Area Ty FEM	JxFEM	JyFEM	JtFEM	b	h	s	t	r	f
HEA120	677.3	1600	530	6067335	2309141	45043	120	114	5	8	12	66
HEA240	1368.7	4800	1635	7.77E7	2.77E7	305449	240	230	7.5	12	21	150
HEB160	918.1	3467	1176	2.49E7	8892850	257216	160	160	8	13	15	88
HEB320	1770.4	10250	3444	3.08E8	9.24E7	1864466	300	320	11.5	20.5	27	210

3.2.1.1.2 Tondi



Descrizione: descrizione o nome assegnato all'elemento.

Sup.: superficie bagnata per unità di lunghezza. [mm]

Area Tx FEM: area di taglio in direzione X per l'analisi FEM. [mm²]

Area Ty FEM: area di taglio in direzione Y per l'analisi FEM. [mm²]

JxFEM: momento di inerzia attorno all'asse X per l'analisi FEM. [mm⁴]

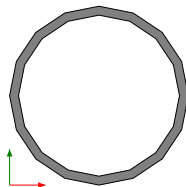
JyFEM: momento di inerzia attorno all'asse Y per l'analisi FEM. [mm⁴]

JtFEM: momento d'inerzia torsionale corretto con il fattore di forma per l'analisi FEM. [mm⁴]

d: diametro del tondo. [mm]

Descrizione	Sup.	Area Tx FEM	Area Ty FEM	JxFEM	JyFEM	JtFEM	d
Tondo 16	50.3	181	181	3217	3217	6434	16
TONDO 10	31.4	71	71	491	491	982	10
TONDO 24	75.4	407	407	16286	16286	32572	24
TONDO 26	81.7	478	478	22432	22432	44864	26

3.2.1.1.3 Tubi tondi



Descrizione: descrizione o nome assegnato all'elemento.

Sup.: superficie bagnata per unità di lunghezza. [mm]

Area Tx FEM: area di taglio in direzione X per l'analisi FEM. [mm²]

Area Ty FEM: area di taglio in direzione Y per l'analisi FEM. [mm²]

JxFEM: momento di inerzia attorno all'asse X per l'analisi FEM. [mm⁴]

JyFEM: momento di inerzia attorno all'asse Y per l'analisi FEM. [mm⁴]

JtFEM: momento d'inerzia torsionale corretto con il fattore di forma per l'analisi FEM. [mm⁴]

d: diametro del tondo. [mm]

s: spessore. [mm]

Categoria: categoria, basata sulla tecnologia costruttiva.

Formatura: tipo di formatura a freddo del sagomato.

Descrizione	Sup.	Area Tx FEM	Area Ty FEM	JxFEM	JyFEM	JtFEM	d	s	3	Categoria	Formatura
EN10219 60.3x3	189.4	256	256	222246	222246	444492	60.3			Sagomato a freddo conforme UNI 10219	A rullo
EN10219 101.6x3	319.2	451	451	1130352	1130352	2260704	101.6			Sagomato a freddo conforme UNI 10219	A rullo
EN10219 114.3x3	359.1	510	510	1625482	1625482	3250963	114.3			Sagomato a freddo conforme UNI 10219	A rullo
EN10219 114.3x5	359.1	819	819	2569202	2569202	5138404	114.3			Sagomato a freddo conforme UNI 10219	A rullo

3.2.1.2 Caratteristiche inerziali sezioni in acciaio

3.2.1.2.1 Caratteristiche inerziali principali sezioni in acciaio

Descrizione: descrizione o nome assegnato all'elemento.

Xg: coordinata X del baricentro. [m]

Yg: coordinata Y del baricentro. [m]

Area: area inerziale nel sistema geometrico centrato nel baricentro. [m²]

Jx: momento d'inerzia attorno all'asse orizzontale baricentrico di definizione della sezione. [m⁴]

Jy: momento d'inerzia attorno all'asse verticale baricentrico di definizione della sezione. [m⁴]

Jxy: momento centrifugo rispetto al sistema di riferimento baricentrico di definizione della sezione. [m⁴]

Jm: momento d'inerzia attorno all'asse baricentrico principale M. [m⁴]

Jn: momento d'inerzia attorno all'asse baricentrico principale N. [m⁴]

α X su M: angolo tra gli assi del sistema di riferimento geometrico di definizione e quelli del sistema di riferimento principale. [deg]

Jt: momento d'inerzia torsionale corretto con il fattore di forma. [m⁴]

Descrizione	Xg	Yg	Area	Jx	Jy	Jxy	Jm	Jn	α X su M	Jt
Tondo 16	0.008	0.008	0.000201	3.22E-09	3.22E-09	0	3.22E-09	3.22E-09	0	6.43E-09
HEA120	0.06	0.057	0.002537	6.07E-06	2.31E-06	0	6.07E-06	2.31E-06	0	4.50E-08
HEA240	0.12	0.115	0.007692	7.77E-05	2.77E-05	0	7.77E-05	2.77E-05	0	3.05E-07
HEB160	0.08	0.08	0.00543	2.49E-05	8.89E-06	0	2.49E-05	8.89E-06	0	2.57E-07
HEB320	0.15	0.16	0.016149	3.08E-04	9.24E-05	0	3.08E-04	9.24E-05	0	1.86E-06
EN10219 60.3x3	0.0301	0.0301	0.00054	2.22E-07	2.22E-07	0	2.22E-07	2.22E-07	0	4.44E-07
EN10219 101.6x3	0.0508	0.0508	0.000929	1.13E-06	1.13E-06	0	1.13E-06	1.13E-06	0	2.26E-06
EN10219 114.3x3	0.0572	0.0572	0.001049	1.63E-06	1.63E-06	0	1.63E-06	1.63E-06	0	3.25E-06
EN10219 114.3x5	0.0572	0.0572	0.001717	2.57E-06	2.57E-06	0	2.57E-06	2.57E-06	0	5.14E-06
TONDO 10	0.005	0.005	0.000079	4.91E-010	4.91E-010	0	4.91E-010	4.91E-010	0	9.82E-010
TONDO 24	0.012	0.012	0.000452	1.63E-08	1.63E-08	0	1.63E-08	1.63E-08	0	3.26E-08
TONDO 26	0.013	0.013	0.000531	2.24E-08	2.24E-08	0	2.24E-08	2.24E-08	0	4.49E-08

3.2.1.2.2 Caratteristiche inerziali momenti sezioni in acciaio

Descrizione: descrizione o nome assegnato all'elemento.

ix: raggio di inerzia relativo all'asse x. [m]

iy: raggio di inerzia relativo all'asse y. [m]

im: raggio di inerzia relativo all'asse principale m. [m]

in: raggio di inerzia relativo all'asse principale n. [m]

Sx: momento statico relativo all'asse x. [m³]

Sy: momento statico relativo all'asse y. [m³]

Wx: modulo di resistenza elastico minimo relativo all'asse x. [m³]

Wy: modulo di resistenza elastico minimo relativo all'asse y. [m³]

Wm: modulo di resistenza elastico minimo relativo all'asse principale m. [m³]

Wn: modulo di resistenza elastico minimo relativo all'asse principale n. [m³]

Wplx: modulo di resistenza plastico relativo all'asse x. [m³]

Wply: modulo di resistenza plastico relativo all'asse y. [m³]

Descrizione	ix	iy	im	in	Sx	Sy	Wx	Wy	Wm	Wn	Wplx	Wply
Tondo 16	0.004	0.004	0.004	0.004	3.28E-7	3.28E-7	4.02E-7	4.02E-7	4.02E-7	4.02E-7	6.57E-7	6.57E-7
HEA120	0.0489	0.0302	0.0489	0.0302	5.98E-5	2.94E-5	1.06E-4	3.85E-5	1.06E-4	3.85E-5	1.20E-4	5.89E-5
HEA240	0.1005	0.06	0.1005	0.06	3.73E-4	1.76E-4	6.76E-4	2.31E-4	6.76E-4	2.31E-4	7.45E-4	3.52E-4
HEB160	0.0678	0.0405	0.0678	0.0405	1.77E-4	8.50E-5	3.12E-4	1.11E-4	3.12E-4	1.11E-4	3.54E-4	1.70E-4
HEB320	0.1382	0.0756	0.1382	0.0756	1.08E-3	4.70E-4	1.93E-3	6.16E-4	1.93E-3	6.16E-4	2.15E-3	9.39E-4
EN10219 60.3x3	0.0203	0.0203	0.0203	0.0203	4.74E-6	4.74E-6	7.37E-6	7.37E-6	7.37E-6	7.37E-6	9.86E-6	9.86E-6
EN10219 101.6x3	0.0349	0.0349	0.0349	0.0349	1.40E-5	1.40E-5	2.23E-5	2.23E-5	2.23E-5	2.23E-5	2.92E-5	2.92E-5
EN10219 114.3x3	0.0394	0.0394	0.0394	0.0394	1.79E-5	1.79E-5	2.84E-5	2.84E-5	2.84E-5	2.84E-5	3.72E-5	3.72E-5
EN10219 114.3x5	0.0387	0.0387	0.0387	0.0387	2.87E-5	2.87E-5	4.50E-5	4.50E-5	4.50E-5	4.50E-5	5.98E-5	5.98E-5
TONDO 10	0.0025	0.0025	0.0025	0.0025	8.02E-8	8.02E-8	9.82E-8	9.82E-8	9.82E-8	9.82E-8	1.60E-7	1.60E-7
TONDO 24	0.006	0.006	0.006	0.006	1.11E-6	1.11E-6	1.36E-6	1.36E-6	1.36E-6	1.36E-6	2.22E-6	2.22E-6
TONDO 26	0.0065	0.0065	0.0065	0.0065	1.41E-6	1.41E-6	1.73E-6	1.73E-6	1.73E-6	1.73E-6	2.82E-6	2.82E-6

3.2.1.2.3 Caratteristiche inerziali taglio sezioni in acciaio

Descrizione: descrizione o nome assegnato all'elemento.

Atx: area a taglio lungo x. [m²]

Aty: area a taglio lungo y. [m²]

Descrizione	Atx	Aty
Tondo 16	0.000201	0.000201
HEA120	0.00192	0.00057
HEA240	0.00576	0.001725
HEB160	0.00416	0.00128
HEB320	0.0123	0.00368
EN10219 60.3x3	0.00054	0.00054
EN10219 101.6x3	0.000929	0.000929
EN10219 114.3x3	0.001049	0.001049
EN10219 114.3x5	0.001717	0.001717
TONDO 10	0.000079	0.000079
TONDO 24	0.000452	0.000452
TONDO 26	0.000531	0.000531

3.3 Fondazioni

3.3.1 Plinti superficiali rettangolari

Descrizione: descrizione o nome assegnato all'elemento.

H: spessore dello zatterone. [m]

Bx: dimensione del lato dello zatterone parallelo all'asse X. [m]

By: dimensione del lato dello zatterone parallelo all'asse Y. [m]

Ecc. x: eccentricità del centro del pilastro rispetto al centro della suola, in direzione x. [m]

Ecc. y: eccentricità del centro del pilastro rispetto al centro della suola, in direzione y. [m]

Bicchiere: bicchiere incassato nella sommità del plinto.

Descrizione	H	Bx	By	Ecc. x	Ecc. y	Bicchiere
Rettangolare 100x100x100	1	1	1	0	0	

3.4 Terreni

Descrizione: descrizione o nome assegnato all'elemento.

Coesione: coesione efficace del terreno. [kN/m²]

Coesione non drenata: coesione non drenata (Cu) del terreno, per terreni eminentemente coesivi. [kN/m²]

Attrito interno: angolo di attrito interno del terreno. [deg]

δ: angolo di attrito all'interfaccia terreno-cls. [deg]

Coeff. α di adesione: coeff. di adesione della coesione all'interfaccia terreno-cls, compreso tra 0 ed 1. Il valore è adimensionale.

Coeff. di spinta K0: coefficiente di spinta a riposo del terreno. Il valore è adimensionale.

γ naturale: peso specifico naturale del terreno in sito, assegnato alle zone non immerse. [kN/m³]

γ saturo: peso specifico saturo del terreno in sito, assegnato alle zone immerse. [kN/m³]

E: modulo elastico longitudinale del terreno. [kN/m²]

v: coefficiente di Poisson del terreno. Il valore è adimensionale.

Rqd: rock quality degree. Per roccia assume valori nell'intervallo (0;1]. Il valore convenzionale 0 indica che si tratta di un terreno sciolto. Il valore è adimensionale.

Permeabilità Kh: permeabilità orizzontale. Permeabilità orizzontale del terreno. [m/s]

Permeabilità Kv: permeabilità verticale. Permeabilità verticale del terreno. [m/s]

Descrizione	Coesione	Coesione non drenata	Attrito interno	δ	Coeff. α di adesione	Coeff. di spinta K0	γ naturale	γ saturo	E	v	Rqd	Permeabilità Kh	Permeabilità Kv
Piedicolle - Frantoio - Liv 1	0	30	20	14	1	0.66	17.5	18.5	9000	0.3	0	1.00E-7	1.00E-8
Metro Salerno R	0	0	32	22	1	0.47	19	21	25000	0.3	0	0.001	0.0001
Metro Salerno L2	12.5	67.5	24	16	1	0.6	18	19	55000	0.3	0	0.001	0.0001
Metro Salerno L3	22.5	135	24	16	1	0.6	18	19	87000	0.3	0	0.001	0.0001

4 Dati di definizione

4.1 Preferenze commessa

4.1.1 Preferenze di analisi

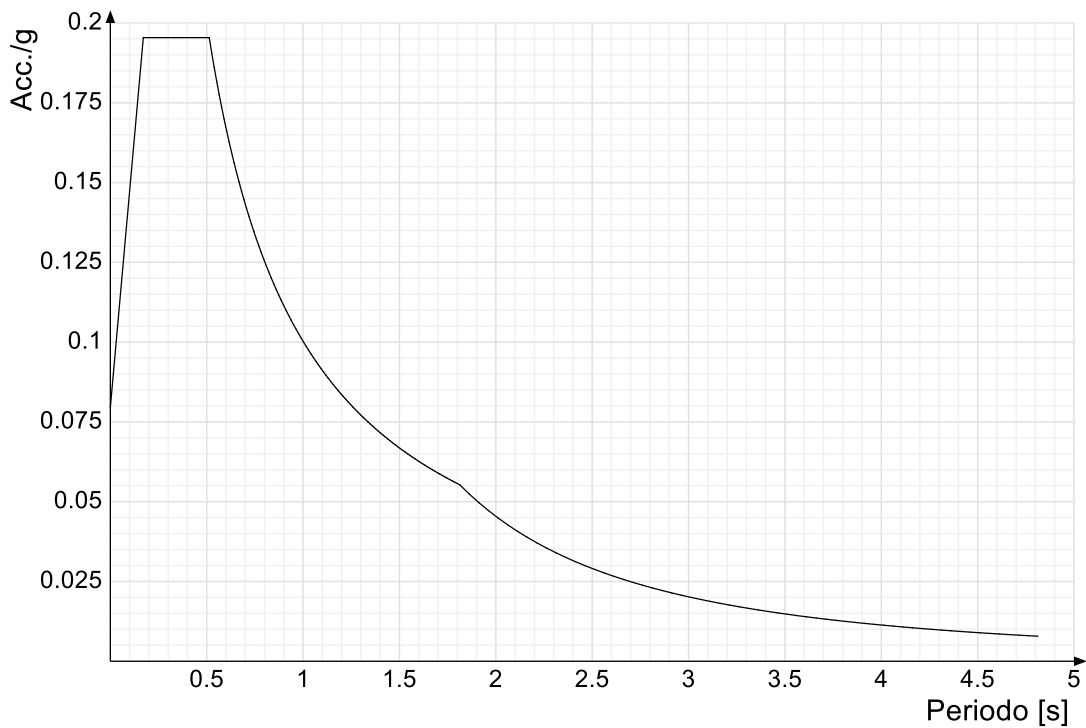
Metodo di analisi	D.M. 17-01-18 (N.T.C.)
Tipo di costruzione	2 - Costruzioni con livelli di prestazioni ordinari
Vn	75
Classe d'uso	III
Vr	113
Tipo di analisi	Lineare dinamica
Località	Salerno, Montecorvino Pugliano, Pagliarone; Latitudine ED50 40.6285° (40° 37' 42''); Longitudine ED50 14.9165° (14° 54' 59''); Altitudine s.l.m. 39.12 m.
Categoria del suolo	C - Depositi di terreni a grana grossa mediamente addensati o terreni a grana fina mediamente consistenti
Categoria topografica	T1 - Superficie pianeggiante, pendii e rilievi isolati con inclinazione media $i \leq 15^\circ$
Ss orizzontale SLO	1.5
Tb orizzontale SLO	0.171 [s]
Tc orizzontale SLO	0.513 [s]
Td orizzontale SLO	1.812 [s]
Ss orizzontale SLD	1.5
Tb orizzontale SLD	0.18 [s]
Tc orizzontale SLD	0.541 [s]
Td orizzontale SLD	1.857 [s]
Ss orizzontale SLV	1.4822
Tb orizzontale SLV	0.213 [s]
Tc orizzontale SLV	0.64 [s]
Td orizzontale SLV	2.14 [s]
St	1
PVr SLO (%)	81
Tr SLO	67.74
Ag/g SLO	0.0531
Fo SLO	2.455
Tc* SLO	0.343 [s]
PVr SLD (%)	63
Tr SLD	113.15
Ag/g SLD	0.0644
Fo SLD	2.518
Tc* SLD	0.371 [s]
PVr SLV (%)	10
Tr SLV	1067.76
Ag/g SLV	0.135
Fo SLV	2.689
Tc* SLV	0.477 [s]
Smorzamento viscoso (%)	5
Classe di duttilità	Non dissipativa
Rotazione del sisma	0 [deg]
Quota dello '0' sismico	0 [m]
Regolarità in pianta	No
Regolarità in elevazione	No
Edificio acciaio	Si
Edificio esistente	No
T1,x	0.82269 [s]
T1,y	1.06869 [s]
λ SLO,x	0.85
λ SLO,y	1
λ SLD,x	0.85
λ SLD,y	0.85
λ SLV,x	0.85
λ SLV,y	0.85
Numero modi	10
Metodo di Ritz	applicato
Limite spostamenti interpiano SLD	0.005
Fattore di comportamento per sisma SLD X	1.07
Fattore di comportamento per sisma SLD Y	1.07
Fattore di comportamento per sisma SLV X	1.07
Fattore di comportamento per sisma SLV Y	1.07
Coefficiente di sicurezza per carico limite (fondazioni superficiali)	2.3
Coefficiente di sicurezza per scorrimento (fondazioni superficiali)	1.1
Coefficiente di sicurezza portanza verticale pali infissi, punta	1.15
Coefficiente di sicurezza portanza verticale pali infissi, laterale compressione	1.15
Coefficiente di sicurezza portanza verticale pali infissi, laterale trazione	1.25
Coefficiente di sicurezza portanza verticale pali trivellati, punta	1.35
Coefficiente di sicurezza portanza verticale pali trivellati, laterale compressione	1.15
Coefficiente di sicurezza portanza verticale pali trivellati, laterale trazione	1.25
Coefficiente di sicurezza portanza verticale micropali, punta	1.35
Coefficiente di sicurezza portanza verticale micropali, laterale compressione	1.15
Coefficiente di sicurezza portanza verticale micropali, laterale trazione	1.25
Coefficiente di sicurezza portanza trasversale pali	1.3
Fattore di correlazione resistenza caratteristica dei pali in base alle verticali indagate	1.7
Coefficiente di sicurezza per ribaltamento (plinti superficiali)	1.15

4.1.2 Spettri D.M. 17-01-18

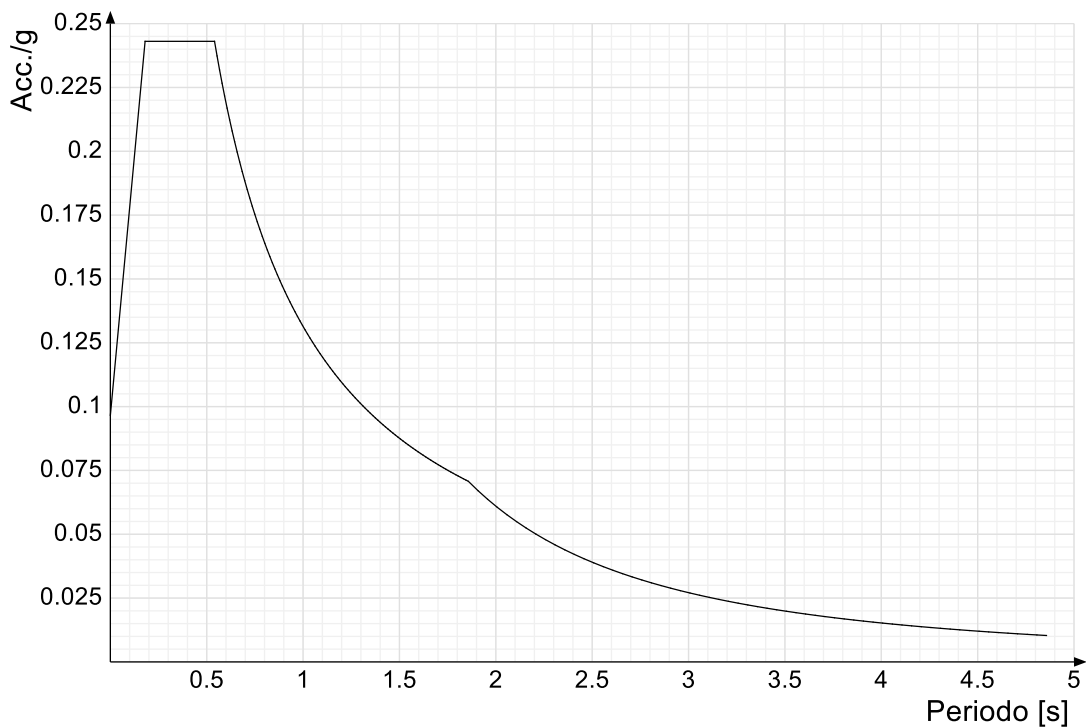
Acc./g: Accelerazione spettrale normalizzata ottenuta dividendo l'accelerazione spettrale per l'accelerazione di gravità.

Periodo: Periodo di vibrazione.

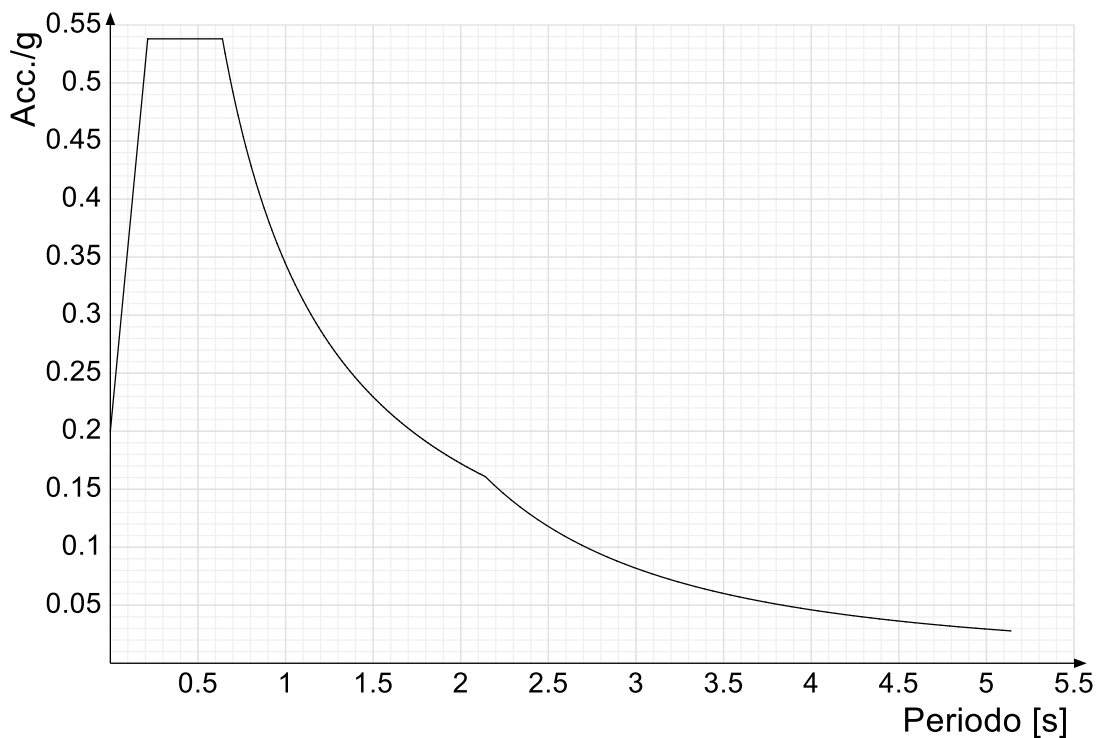
Spettro di risposta elastico in accelerazione delle componenti orizzontali SLO § 3.2.3.2.1 [3.2.2]



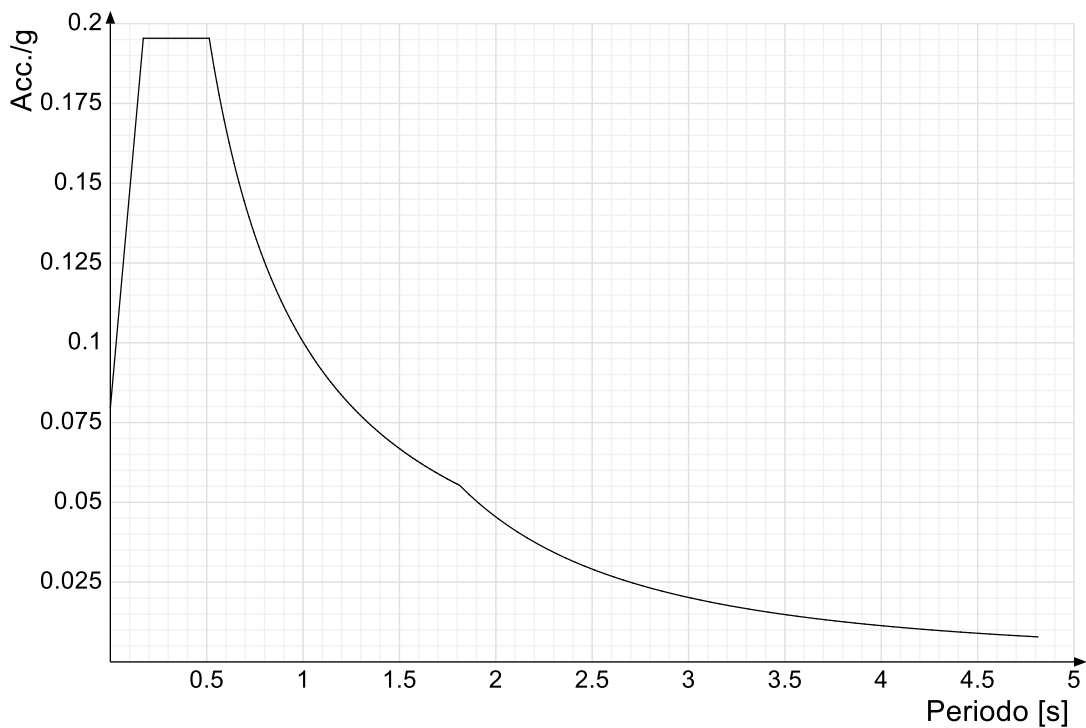
Spettro di risposta elastico in accelerazione delle componenti orizzontali SLD § 3.2.3.2.1 [3.2.2]



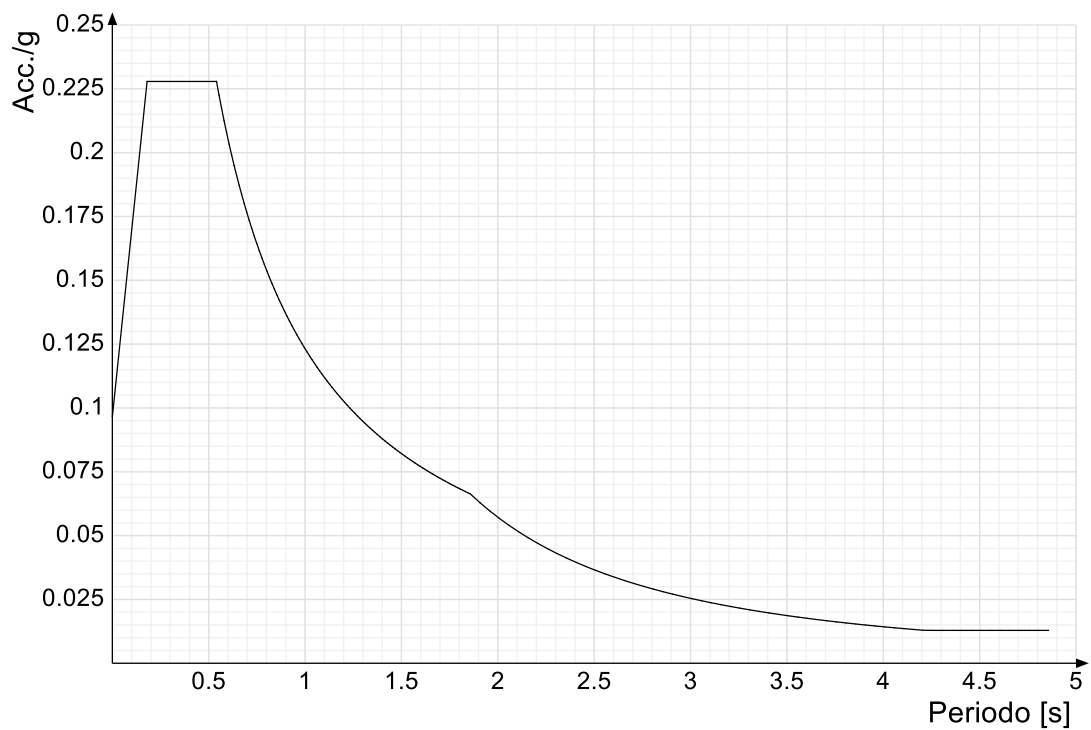
Spettro di risposta elastico in accelerazione delle componenti orizzontali SLV § 3.2.3.2.1 [3.2.2]



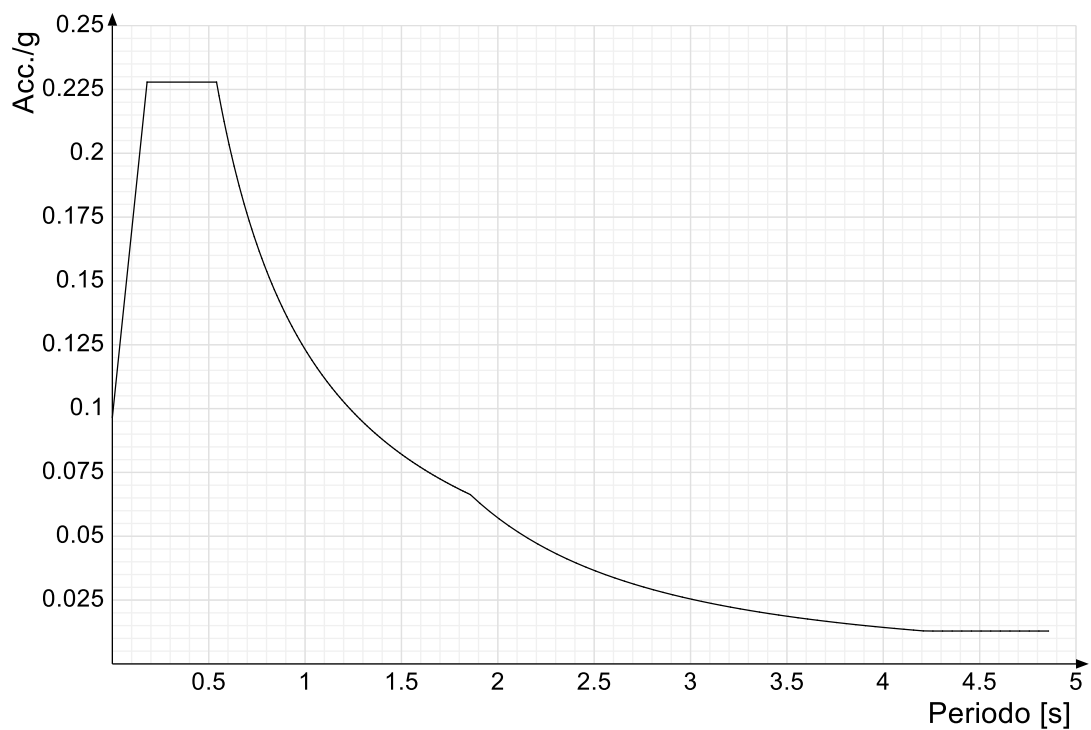
Spettro di risposta di progetto in accelerazione delle componenti orizzontali SLO § 3.2.3.4



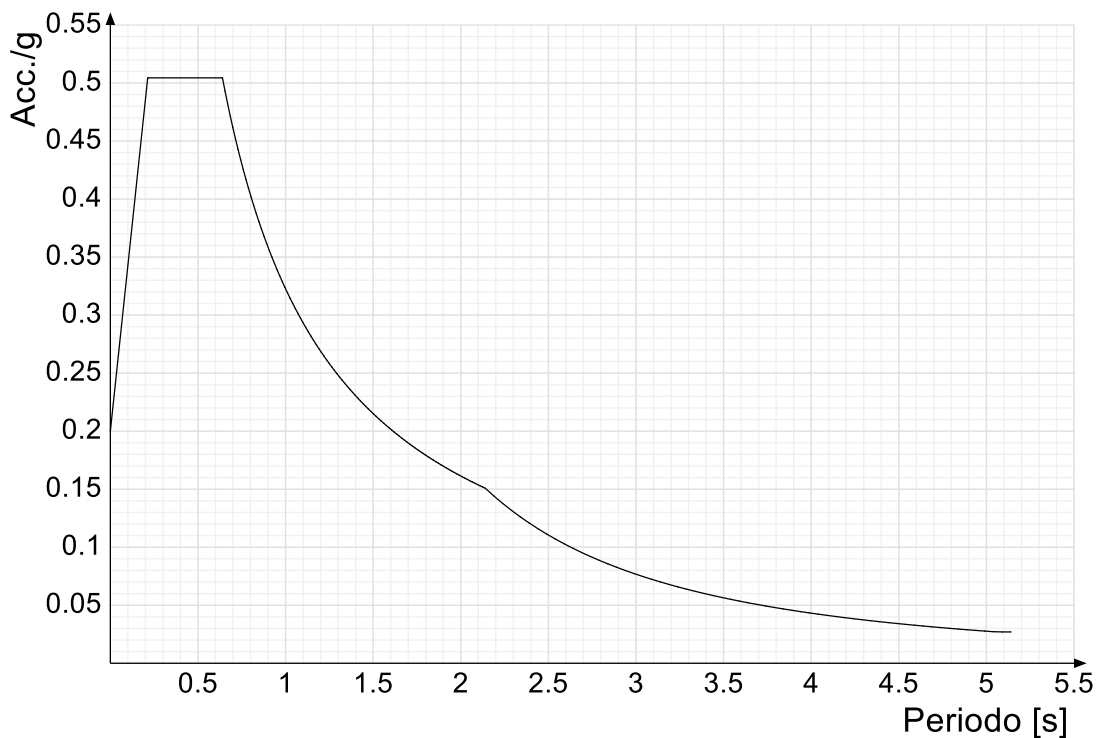
Spettro di risposta di progetto in accelerazione della componente X SLD § 3.2.3.5



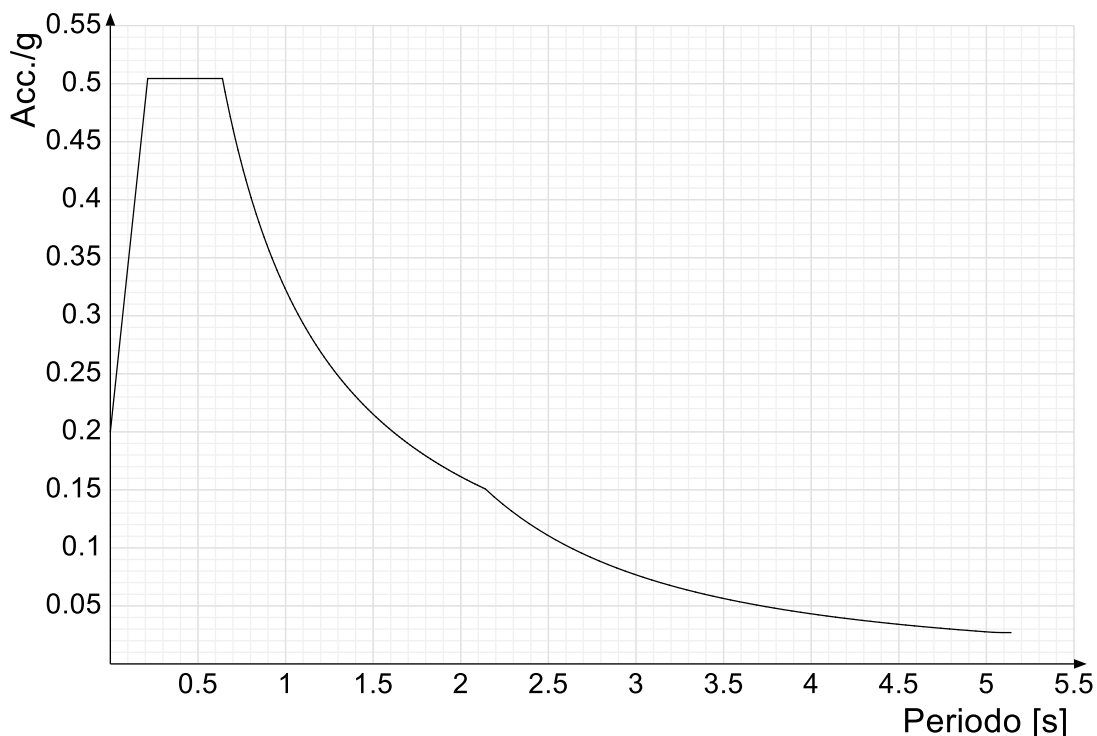
Spettro di risposta di progetto in accelerazione della componente Y SLD § 3.2.3.5



Spettro di risposta di progetto in accelerazione della componente X SLV § 3.2.3.5

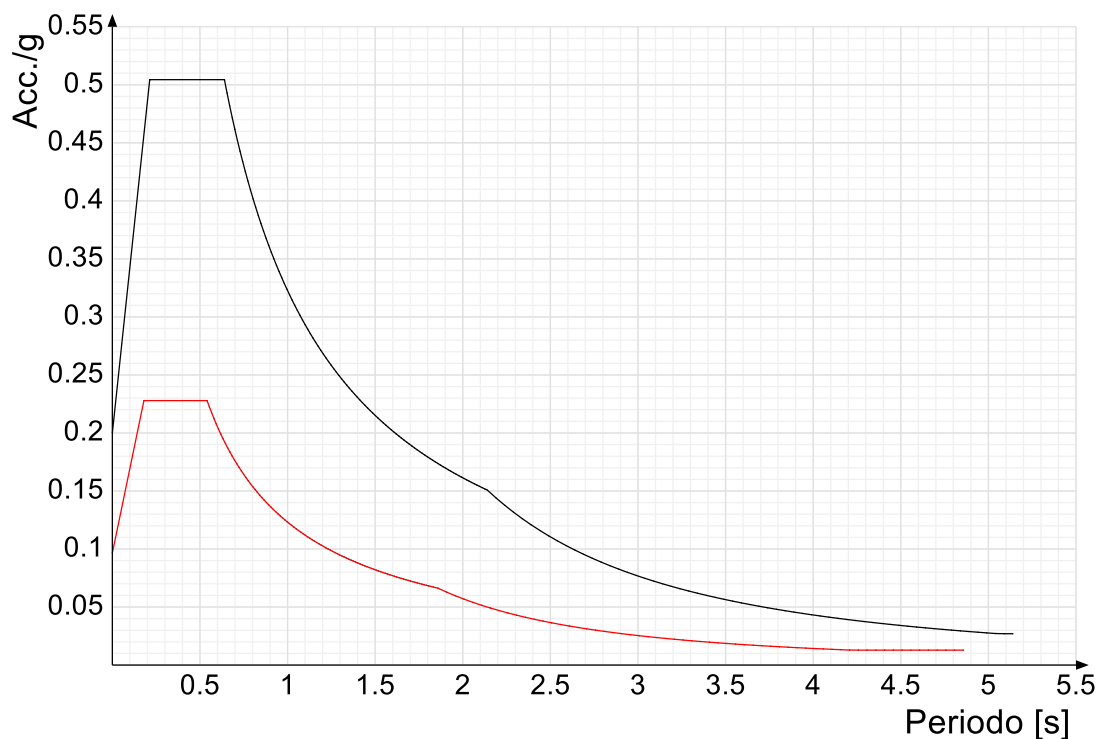


Spettro di risposta di progetto in accelerazione della componente Y SLV § 3.2.3.5

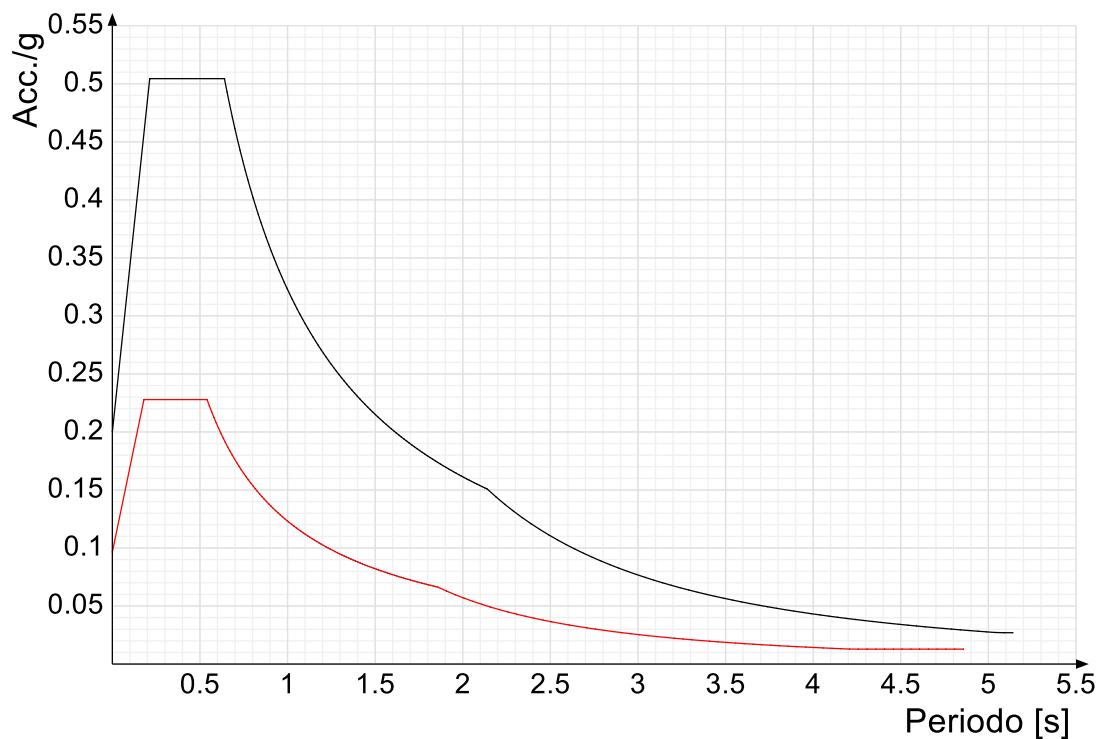


Confronti spettri SLV-SLD

Vengono confrontati lo spettro Spettro di risposta di progetto in accelerazione della componente X SLD § 3.2.3.5 (di colore rosso) e Spettro di risposta di progetto in accelerazione della componente X SLV § 3.2.3.5 (di colore nero).



Vengono confrontati lo spettro Spettro di risposta di progetto in accelerazione della componente Y SLD § 3.2.3.5 (di colore rosso) e Spettro di risposta di progetto in accelerazione della componente Y SLV § 3.2.3.5 (di colore nero).



4.1.3 Preferenze di verifica

4.1.3.1 Normativa di verifica in uso

Norma di verifica	D.M. 17-01-18 (N.T.C.)
Cemento armato	Preferenze analisi di verifica in stato limite
Legno	Preferenze di verifica legno D.M. 17-01-18 (N.T.C.)
Acciaio	Preferenze di verifica acciaio D.M. 17-01-18 (N.T.C.)
Alluminio	Preferenze di verifica alluminio EC9
Pannelli in gessofibra	Preferenze di verifica pannelli gessofibra D.M. 17-01-18 (N.T.C.)

4.1.3.2 Normativa di verifica C.A.

Coefficiente di omogeneizzazione	15
γ_s (fattore di sicurezza parziale per l'acciaio)	1.15
γ_c (fattore di sicurezza parziale per il calcestruzzo)	1.5
Limite σ_c/f_{ck} in combinazione rara	0.6
Limite σ_c/f_{ck} in combinazione quasi permanente	0.45
Limite σ_s/f_{yk} in combinazione rara	0.8

Coefficiente di riduzione della τ per cattiva aderenza	0.7	
Dimensione limite fessure w1 §4.1.2.2.4	0.0002	[m]
Dimensione limite fessure w2 §4.1.2.2.4	0.0003	[m]
Dimensione limite fessure w3 §4.1.2.2.4	0.0004	[m]
Fattori parziali di sicurezza unitari per meccanismi duttili di strutture esistenti con fattore q	No	
Copriferro secondo EC2	No	

4.1.3.3 Normativa di verifica legno

γ combinazioni fondamentali massiccio	1.5
γ combinazioni fondamentali lamellare	1.45
γ combinazioni fondamentali unioni	1.5
γ combinazioni eccezionali	1
γ combinazioni esercizio	1
Kmod durata istantaneo, classe 1	1.1
Kmod durata istantaneo, classe 2	1.1
Kmod durata istantaneo, classe 3	0.9
Kmod durata breve, classe 1	0.9
Kmod durata breve, classe 2	0.9
Kmod durata breve, classe 3	0.7
Kmod durata media, classe 1	0.8
Kmod durata media, classe 2	0.8
Kmod durata media, classe 3	0.65
Kmod durata lunga, classe 1	0.7
Kmod durata lunga, classe 2	0.7
Kmod durata lunga, classe 3	0.55
Kmod durata permanente, classe 1	0.6
Kmod durata permanente, classe 2	0.6
Kmod durata permanente, classe 3	0.5
Kdef classe 1	0.6
Kdef classe 2	0.8
Kdef classe 3	2

4.1.3.4 Normativa di verifica acciaio

ym0	1.05
ym1	1.05
ym2	1.25
Coefficiente riduttivo per effetto vettoriale	0.7
Calcolo coefficienti C1, C2, C3 per Mcr	automatico
Coefficienti α , β per flessione deviata	unitari
Verifica semplificata conservativa	no
Le0 iniziale per profili accoppiati compressi	500
Metodo semplificato formula (4.2.82)	si
Escludi 6.2.6.7 e 6.2.6.8 in 7.5.4.3 e 7.5.4.5	si
Applica Nota 1 del prospetto 6.2	si
Riduzione fy per tubi tondi di classe 4	no
Effettua la verifica secondo 6.2.8 con irrigidimenti superiori (piastra di base)	si
Limite spostamento relativo interpiano e monopiano colonne	0.00333
Limite spostamento relativo complessivo multipiano colonne	0.002
Considera taglio resistente estremità sagomati	no
Fattori parziali di sicurezza unitari per meccanismi duttili di strutture esistenti con fattore q	no

4.1.4 Preferenze FEM

Dimensione massima ottimale mesh pareti (default)	0.8	[m]
Dimensione massima ottimale mesh piastre (default)	0.8	[m]
Tipo di mesh dei gusci (default)	Quadrilateri o triangoli	
Tipo di mesh imposta ai gusci	Specifico dell'elemento	
Metodo P-Delta	non utilizzato	
Analisi buckling	non utilizzata	
Rapporto spessore flessionale/membranale gusci muratura verticali	0.2	
Spessori membranale e flessionale pareti XLAM da sole tavole verticali	No	
Moltiplicatore rigidezza connettori pannelli pareti legno a diaframma	1	
Tolleranza di parallelismo	4.99	[deg]
Tolleranza di unicità punti	0.1	[m]
Tolleranza generazione nodi di aste	0.01	[m]
Tolleranza di parallelismo in suddivisione aste	4.99	[deg]
Tolleranza generazione nodi di gusci	0.04	[m]
Tolleranza eccentricità carichi concentrati	1	[m]
Considera deformabilità a taglio negli elementi guscio	No	
Modello elastico pareti in muratura	Gusci	
Concentra masse pareti nei vertici	No	
Segno risultati analisi spettrale	Analisi statica	
Memoria utilizzabile dal solutore	8000000	
Metodo di risoluzione della matrice	Intel MKL PARDISO	
Scrivi commenti nel file di input	No	
Scrivi file di output in formato testo	No	
Solidi colle e corpi ruvidi (default)	Solidi reali	
Moltiplicatore rigidezza molla torsionale applicata ad aste di fondazione	1	
Modello trave su suolo alla Winkler nel caso di modellazione lineare	Equilibrio elastico	

4.1.5 Moltiplicatori inerziali

Tipologia: tipo di entità a cui si riferiscono i moltiplicatori inerziali.

J2: moltiplicatore inerziale di J2. Il valore è adimensionale.

J3: moltiplicatore inerziale di J3. Il valore è adimensionale.

Jt: moltiplicatore inerziale di Jt. Il valore è adimensionale.

A: moltiplicatore dell'area della sezione. Il valore è adimensionale.

A2: moltiplicatore dell'area a taglio in direzione 2. Il valore è adimensionale.

A3: moltiplicatore dell'area a taglio in direzione 3. Il valore è adimensionale.

Conci rigidi: fattore di riduzione dei tronchi rigidi. Il valore è adimensionale.

Tipologia	J2	J3	Jt	A	A2	A3	Conci rigidi
Trave C.A.	1	1	0.01	1	1	1	0.5
Pilastro C.A.	1	1	0.01	1	1	1	0.5
Trave di fondazione	1	1	0.01	1	1	1	0.5

Tipologia	J2	J3	Jt	A	A2	A3	Conci rigidi
Palo	1	1	0.01	1	1	1	0
Trave in legno	1	1	1	1	1	1	1
Colonna in legno	1	1	1	1	1	1	1
Trave in acciaio	1	1	1	1	1	1	1
Colonna in acciaio	1	1	1	1	1	1	1
Trave di reticolare in acciaio	1	1	1	1	1	1	1
Maschio in muratura	0	1	0	1	1	1	1
Trave di accoppiamento in muratura	0	1	0	1	1	1	1
Trave di scala C.A. nervata	1	1	1	1	1	1	0.5
Trave tralicciata	1	1	0.01	1	1	1	0.5

4.1.6 Preferenze di analisi non lineare FEM

Metodo iterativo	Secante
Tolleranza iterazione	0.00001
Numero massimo iterazioni	50

4.1.7 Preferenze di analisi carichi superficiali

Detrazione peso proprio solai nelle zone di sovrapposizione	non applicata
Metodo di ripartizione	a zone d'influenza
Percentuale carico calcolato a trave continua	0
Esegui smoothing diagrammi di carico	applicata
Tolleranza smoothing altezza trapezi	0.001 [kN/m]
Tolleranza smoothing altezza media trapezi	0.001 [kN/m]

4.1.8 Preferenze del suolo

Fondazioni non modellate e struttura bloccata alla base	si
Fondazioni bloccate orizzontalmente	si
Considera peso sismico delle fondazioni	no
Fondazioni superficiali e profonde su suolo elastoplastico	no
Coefficiente di sottofondo verticale per fondazioni superficiali (default)	30000 [kN/m³]
Rapporto di coefficiente sottofondo orizzontale/verticale	0.5
Pressione verticale limite sul terreno per abbassamento (default)	1000 [kN/m²]
Pressione verticale limite sul terreno per innalzamento (default)	0.1 [kN/m²]
Metodo di calcolo della K verticale	Vesic
Metodo di calcolo della portanza e della pressione limite	Vesic
Terreno laterale di riporto da piano posa fondazioni (default)	Piedicolle - Frantoio - Liv 1
Dimensione massima della discretizzazione del palo (default)	2 [m]
Moltiplicatore coesione per pressione orizzontale limite nei pali	1
Moltiplicatore spinta passiva per pressione orizzontale pali	1
K punta palo (default)	40000 [kN/m³]
Pressione limite punta palo (default)	1000 [kN/m²]
Pressione per verifica schiacciamento fondazioni superficiali	600 [kN/m²]
Calcola cedimenti fondazioni superficiali	no
Spessore massimo strato	1 [m]
Profondità massima	30 [m]
Cedimento assoluto ammissibile	0.05 [m]
Cedimento differenziale ammissibile	0.05 [m]
Cedimento relativo ammissibile	0.05 [m]
Rapporto di inflessione F/L ammissibile	0.003333
Rotazione rigida ammissibile	0.191 [deg]
Rotazione assoluta ammissibile	0.191 [deg]
Distorsione positiva ammissibile	0.191 [deg]
Distorsione negativa ammissibile	0.095 [deg]
Considera fondazioni compensate	no
Coefficiente di riduzione della a Max attesa	0.3
Condizione per la valutazione della spinta su pareti	Lungo termine
Considera l'azione sismica del terreno anche su pareti sotto lo zero sismico	no
Calcola cedimenti teorici pali	no
Considera accorciamento del palo	si
Distanza influenza cedimento palo	10 [m]
Distribuzione attrito laterale	Attrito laterale uniforme
Ripartizione del carico	Ripartizione come da modello FEM
Scelta terreno laterale	Media pesata degli strati coinvolti
Scelta terreno punta	Media pesata degli strati coinvolti
Cedimento assoluto ammissibile	0.05 [m]
Cedimento medio ammissibile	0.05 [m]
Cedimento differenziale ammissibile	0.05 [m]
Rotazione rigida ammissibile	0.191 [deg]
Trascura la coesione efficace in verifica allo scorrimento	si
Considera inclinazione spinta del terreno contro pareti	no
Esegui verifica a liquefazione	no
Metodo di verifica liquefazione	Seed-Idriss (1982)
Coeff. di sicurezza minimo a liquefazione	1.3
Magnitudo scaling factor per liquefazione	1

4.2 Azioni e carichi

4.2.1 Condizioni elementari di carico

Descrizione: nome assegnato alla condizione elementare.

Nome breve: nome breve assegnato alla condizione elementare.

Durata: descrive la durata della condizione (necessario per strutture in legno).

ψ_0 : coefficiente moltiplicatore ψ_0 . Il valore è adimensionale.

ψ_1 : coefficiente moltiplicatore ψ_1 . Il valore è adimensionale.

ψ_2 : coefficiente moltiplicatore ψ_2 . Il valore è adimensionale.

Con segno: descrive se la condizione elementare ha la possibilità di variare di segno.

Descrizione	Nome breve	Durata	ψ_0	ψ_1	ψ_2	Con segno
Pesi strutturali	Pesi	Permanente				
Permanenti portati	Port.	Permanente				

Descrizione	Nome breve	Durata	ψ_0	ψ_1	ψ_2	Con segno
Neve	Neve	Media	0.5	0.2	0	
Vento X (+Z)	Vento X (+Z)	Media	0.6	0.2	0	
Vento Y (+Z)	Vento Y (+Z)	Media	0.6	0.2	0	
Passaggio convogli	Passaggio convogli	Media	0.7	0.7	0.6	
Vento Y (-Z)	Vento Y (-Z)	Media	0.6	0.2	0	
ΔT	ΔT	Media	0.6	0.5	0	Si
Sisma X SLV	X SLV					
Sisma Y SLV	Y SLV					
Sisma Z SLV	Z SLV					
Eccentricità Y per sisma X SLV	EY SLV					
Eccentricità X per sisma Y SLV	EX SLV					
Sisma X SLD	X SLD					
Sisma Y SLD	Y SLD					
Sisma Z SLD	Z SLD					
Eccentricità Y per sisma X SLD	EY SLD					
Eccentricità X per sisma Y SLD	EX SLD					
Sisma X SLO	X SLO					
Sisma Y SLO	Y SLO					
Sisma Z SLO	Z SLO					
Eccentricità Y per sisma X SLO	EY SLO					
Eccentricità X per sisma Y SLO	EX SLO					
Terreno sisma X SLV	Tr x SLV					
Terreno sisma Y SLV	Tr y SLV					
Terreno sisma Z SLV	Tr z SLV					
Terreno sisma X SLD	Tr x SLD					
Terreno sisma Y SLD	Tr y SLD					
Terreno sisma Z SLD	Tr z SLD					
Terreno sisma X SLO	Tr x SLO					
Terreno sisma Y SLO	Tr y SLO					
Terreno sisma Z SLO	Tr z SLO					
Rig. Ux	R Ux					
Rig. Uy	R Uy					
Rig. Rz	R Rz					

4.2.2 Combinazioni di carico

Nome: E' il nome esteso che contraddistingue la condizione elementare di carico.

Nome breve: E' il nome compatto della condizione elementare di carico, che viene utilizzato altrove nella relazione.

Pesi: Pesi strutturali

Port.: Permanenti portati

Neve: Neve

Vento X (+Z): Vento X (+Z)

Vento Y (+Z): Vento Y (+Z)

Passaggio convogli: Passaggio convogli

Vento Y (-Z): Vento Y (-Z)

ΔT : ΔT

X SLO: Sisma X SLO

Y SLO: Sisma Y SLO

Z SLO: Sisma Z SLO

EY SLO: Eccentricità Y per sisma X SLO

EX SLO: Eccentricità X per sisma Y SLO

Tr x SLO: Terreno sisma X SLO

Tr y SLO: Terreno sisma Y SLO

Tr z SLO: Terreno sisma Z SLO

X SLD: Sisma X SLD

Y SLD: Sisma Y SLD

Z SLD: Sisma Z SLD

EY SLD: Eccentricità Y per sisma X SLD

EX SLD: Eccentricità X per sisma Y SLD

Tr x SLD: Terreno sisma X SLD

Tr y SLD: Terreno sisma Y SLD

Tr z SLD: Terreno sisma Z SLD

X SLV: Sisma X SLV

Y SLV: Sisma Y SLV

Z SLV: Sisma Z SLV

EY SLV: Eccentricità Y per sisma X SLV

EX SLV: Eccentricità X per sisma Y SLV

Tr x SLV: Terreno sisma X SLV

Tr y SLV: Terreno sisma Y SLV

Tr z SLV: Terreno sisma Z SLV

R Ux: Rig. Ux

R Uy: Rig. Uy

R Rz: Rig. Rz

Tutte le combinazioni di carico vengono raggruppate per famiglia di appartenenza. Le celle di una riga contengono i coefficienti moltiplicatori della i-esima combinazione, dove il valore della prima cella è da intendersi come moltiplicatore associato alla prima condizione elementare,

la seconda cella si riferisce alla seconda condizione elementare e così via.

Famiglia SLU

Il nome compatto della famiglia è SLU.

Nome	Nome breve	Pesi	Port.	Neve	Vento X (+Z)	Vento Y (+Z)	Passaggio convogli	Vento Y (-Z)	ΔT
1	SLU 1	1	0.8	0	0	0	0	0	-1.5
2	SLU 2	1	0.8	0	0	0	0	0	0
3	SLU 3	1	0.8	0	0	0	0	0	1.5
4	SLU 4	1	0.8	0	0	0	0	0.9	-1.5
5	SLU 5	1	0.8	0	0	0	0	0.9	1.5
6	SLU 6	1	0.8	0	0	0	0	1.5	-0.9
7	SLU 7	1	0.8	0	0	0	0	1.5	0
8	SLU 8	1	0.8	0	0	0	0	1.5	0.9
9	SLU 9	1	0.8	0	0	0	1.05	0	-1.5
10	SLU 10	1	0.8	0	0	0	1.05	0	1.5
11	SLU 11	1	0.8	0	0	0	1.05	0.9	-1.5
12	SLU 12	1	0.8	0	0	0	1.05	0.9	1.5
13	SLU 13	1	0.8	0	0	0	1.05	1.5	-0.9
14	SLU 14	1	0.8	0	0	0	1.05	1.5	0
15	SLU 15	1	0.8	0	0	0	1.05	1.5	0.9
16	SLU 16	1	0.8	0	0	0	1.5	0	-0.9
17	SLU 17	1	0.8	0	0	0	1.5	0	0
18	SLU 18	1	0.8	0	0	0	1.5	0	0.9
19	SLU 19	1	0.8	0	0	0	1.5	0.9	-0.9
20	SLU 20	1	0.8	0	0	0	1.5	0.9	0
21	SLU 21	1	0.8	0	0	0	1.5	0.9	0.9
22	SLU 22	1	0.8	0	0	0.9	0	0	-1.5
23	SLU 23	1	0.8	0	0	0.9	0	0	1.5
24	SLU 24	1	0.8	0	0	0.9	1.05	0	-1.5
25	SLU 25	1	0.8	0	0	0.9	1.05	0	1.5
26	SLU 26	1	0.8	0	0	0.9	1.5	0	-0.9
27	SLU 27	1	0.8	0	0	0.9	1.5	0	0
28	SLU 28	1	0.8	0	0	0.9	1.5	0	0.9
29	SLU 29	1	0.8	0	0	1.5	0	0	-0.9
30	SLU 30	1	0.8	0	0	1.5	0	0	0
31	SLU 31	1	0.8	0	0	1.5	0	0	0.9
32	SLU 32	1	0.8	0	0	1.5	1.05	0	-0.9
33	SLU 33	1	0.8	0	0	1.5	1.05	0	0
34	SLU 34	1	0.8	0	0	1.5	1.05	0	0.9
35	SLU 35	1	0.8	0	0.9	0	0	0	-1.5
36	SLU 36	1	0.8	0	0.9	0	0	0	1.5
37	SLU 37	1	0.8	0	0.9	0	1.05	0	-1.5
38	SLU 38	1	0.8	0	0.9	0	1.05	0	1.5
39	SLU 39	1	0.8	0	0.9	0	1.5	0	-0.9
40	SLU 40	1	0.8	0	0.9	0	1.5	0	0
41	SLU 41	1	0.8	0	0.9	0	1.5	0	0.9
42	SLU 42	1	0.8	0	1.5	0	0	0	-0.9
43	SLU 43	1	0.8	0	1.5	0	0	0	0
44	SLU 44	1	0.8	0	1.5	0	0	0	0.9
45	SLU 45	1	0.8	0	1.5	0	1.05	0	-0.9
46	SLU 46	1	0.8	0	1.5	0	1.05	0	0
47	SLU 47	1	0.8	0	1.5	0	1.05	0	0.9
48	SLU 48	1	0.8	0.75	0	0	0	0	-1.5
49	SLU 49	1	0.8	0.75	0	0	0	0	1.5
50	SLU 50	1	0.8	0.75	0	0	0	0.9	-1.5
51	SLU 51	1	0.8	0.75	0	0	0	0.9	1.5
52	SLU 52	1	0.8	0.75	0	0	0	1.5	-0.9
53	SLU 53	1	0.8	0.75	0	0	0	1.5	0
54	SLU 54	1	0.8	0.75	0	0	0	1.5	0.9
55	SLU 55	1	0.8	0.75	0	0	1.05	0	-1.5
56	SLU 56	1	0.8	0.75	0	0	1.05	0	1.5
57	SLU 57	1	0.8	0.75	0	0	1.05	0.9	-1.5
58	SLU 58	1	0.8	0.75	0	0	1.05	0.9	1.5
59	SLU 59	1	0.8	0.75	0	0	1.05	1.5	-0.9
60	SLU 60	1	0.8	0.75	0	0	1.05	1.5	0
61	SLU 61	1	0.8	0.75	0	0	1.05	1.5	0.9
62	SLU 62	1	0.8	0.75	0	0	1.5	0	-0.9
63	SLU 63	1	0.8	0.75	0	0	1.5	0	0
64	SLU 64	1	0.8	0.75	0	0	1.5	0	0.9
65	SLU 65	1	0.8	0.75	0	0	1.5	0.9	-0.9
66	SLU 66	1	0.8	0.75	0	0	1.5	0.9	0
67	SLU 67	1	0.8	0.75	0	0	1.5	0.9	0.9
68	SLU 68	1	0.8	0.75	0	0.9	0	0	-1.5
69	SLU 69	1	0.8	0.75	0	0.9	0	0	1.5
70	SLU 70	1	0.8	0.75	0	0.9	1.05	0	-1.5
71	SLU 71	1	0.8	0.75	0	0.9	1.05	0	1.5
72	SLU 72	1	0.8	0.75	0	0.9	1.5	0	-0.9
73	SLU 73	1	0.8	0.75	0	0.9	1.5	0	0
74	SLU 74	1	0.8	0.75	0	0.9	1.5	0	0.9
75	SLU 75	1	0.8	0.75	0	1.5	0	0	-0.9
76	SLU 76	1	0.8	0.75	0	1.5	0	0	0
77	SLU 77	1	0.8	0.75	0	1.5	0	0	0.9
78	SLU 78	1	0.8	0.75	0	1.5	1.05	0	-0.9
79	SLU 79	1	0.8	0.75	0	1.5	1.05	0	0
80	SLU 80	1	0.8	0.75	0	1.5	1.05	0	0.9
81	SLU 81	1	0.8	0.75	0.9	0	0	0	-1.5
82	SLU 82	1	0.8	0.75	0.9	0	0	0	1.5
83	SLU 83	1	0.8	0.75	0.9	0	1.05	0	-1.5
84	SLU 84	1	0.8	0.75	0.9	0	1.05	0	1.5
85	SLU 85	1	0.8	0.75	0.9	0	1.5	0	-0.9
86	SLU 86	1	0.8	0.75	0.9	0	1.5	0	0
87	SLU 87	1	0.8	0.75	0.9	0	1.5	0	0.9
88	SLU 88	1	0.8	0.75	1.5	0	0	0	-0.9
89	SLU 89	1	0.8	0.75	1.5	0	0	0	0
90	SLU 90	1	0.8	0.75	1.5	0	0	0	0.9
91	SLU 91	1	0.8	0.75	1.5	0	1.05	0	-0.9
92	SLU 92	1	0.8	0.75	1.5	0	1.05	0	0
93	SLU 93	1	0.8	0.75	1.5	0	1.05	0	0.9
94	SLU 94	1	0.8	1.5	0	0	0	0	-0.9

Nome	Nome breve	Pesi	Port.	Neve	Vento X (+Z)	Vento Y (+Z)	Passaggio convogli	Vento Y (-Z)	ΔT
95	SLU 95	1	0.8	1.5	0	0	0	0	0
96	SLU 96	1	0.8	1.5	0	0	0	0	0.9
97	SLU 97	1	0.8	1.5	0	0	0	0.9	-0.9
98	SLU 98	1	0.8	1.5	0	0	0	0.9	0
99	SLU 99	1	0.8	1.5	0	0	0	0.9	0.9
100	SLU 100	1	0.8	1.5	0	0	1.05	0	-0.9
101	SLU 101	1	0.8	1.5	0	0	1.05	0	0
102	SLU 102	1	0.8	1.5	0	0	1.05	0	0.9
103	SLU 103	1	0.8	1.5	0	0	1.05	0.9	-0.9
104	SLU 104	1	0.8	1.5	0	0	1.05	0.9	0
105	SLU 105	1	0.8	1.5	0	0	1.05	0.9	0.9
106	SLU 106	1	0.8	1.5	0	0.9	0	0	-0.9
107	SLU 107	1	0.8	1.5	0	0.9	0	0	0
108	SLU 108	1	0.8	1.5	0	0.9	0	0	0.9
109	SLU 109	1	0.8	1.5	0	0.9	1.05	0	-0.9
110	SLU 110	1	0.8	1.5	0	0.9	1.05	0	0
111	SLU 111	1	0.8	1.5	0	0.9	1.05	0	0.9
112	SLU 112	1	0.8	1.5	0.9	0	0	0	-0.9
113	SLU 113	1	0.8	1.5	0.9	0	0	0	0
114	SLU 114	1	0.8	1.5	0.9	0	0	0	0.9
115	SLU 115	1	0.8	1.5	0.9	0	1.05	0	-0.9
116	SLU 116	1	0.8	1.5	0.9	0	1.05	0	0
117	SLU 117	1	0.8	1.5	0.9	0	1.05	0	0.9
118	SLU 118	1	1.5	0	0	0	0	0	-1.5
119	SLU 119	1	1.5	0	0	0	0	0	0
120	SLU 120	1	1.5	0	0	0	0	0	1.5
121	SLU 121	1	1.5	0	0	0	0	0.9	-1.5
122	SLU 122	1	1.5	0	0	0	0	0.9	1.5
123	SLU 123	1	1.5	0	0	0	0	1.5	-0.9
124	SLU 124	1	1.5	0	0	0	0	1.5	0
125	SLU 125	1	1.5	0	0	0	0	1.5	0.9
126	SLU 126	1	1.5	0	0	0	1.05	0	-1.5
127	SLU 127	1	1.5	0	0	0	1.05	0	1.5
128	SLU 128	1	1.5	0	0	0	1.05	0.9	-1.5
129	SLU 129	1	1.5	0	0	0	1.05	0.9	1.5
130	SLU 130	1	1.5	0	0	0	1.05	1.5	-0.9
131	SLU 131	1	1.5	0	0	0	1.05	1.5	0
132	SLU 132	1	1.5	0	0	0	1.05	1.5	0.9
133	SLU 133	1	1.5	0	0	0	1.5	0	-0.9
134	SLU 134	1	1.5	0	0	0	1.5	0	0
135	SLU 135	1	1.5	0	0	0	1.5	0	0.9
136	SLU 136	1	1.5	0	0	0	1.5	0.9	-0.9
137	SLU 137	1	1.5	0	0	0	1.5	0.9	0
138	SLU 138	1	1.5	0	0	0	1.5	0.9	0.9
139	SLU 139	1	1.5	0	0	0.9	0	0	-1.5
140	SLU 140	1	1.5	0	0	0.9	0	0	1.5
141	SLU 141	1	1.5	0	0	0.9	1.05	0	-1.5
142	SLU 142	1	1.5	0	0	0.9	1.05	0	1.5
143	SLU 143	1	1.5	0	0	0.9	1.5	0	-0.9
144	SLU 144	1	1.5	0	0	0.9	1.5	0	0
145	SLU 145	1	1.5	0	0	0.9	1.5	0	0.9
146	SLU 146	1	1.5	0	0	1.5	0	0	-0.9
147	SLU 147	1	1.5	0	0	1.5	0	0	0
148	SLU 148	1	1.5	0	0	1.5	0	0	0.9
149	SLU 149	1	1.5	0	0	1.5	1.05	0	-0.9
150	SLU 150	1	1.5	0	0	1.5	1.05	0	0
151	SLU 151	1	1.5	0	0	1.5	1.05	0	0.9
152	SLU 152	1	1.5	0	0.9	0	0	0	-1.5
153	SLU 153	1	1.5	0	0.9	0	0	0	1.5
154	SLU 154	1	1.5	0	0.9	0	1.05	0	-1.5
155	SLU 155	1	1.5	0	0.9	0	1.05	0	1.5
156	SLU 156	1	1.5	0	0.9	0	1.5	0	-0.9
157	SLU 157	1	1.5	0	0.9	0	1.5	0	0
158	SLU 158	1	1.5	0	0.9	0	1.5	0	0.9
159	SLU 159	1	1.5	0	1.5	0	0	0	-0.9
160	SLU 160	1	1.5	0	1.5	0	0	0	0
161	SLU 161	1	1.5	0	1.5	0	0	0	0.9
162	SLU 162	1	1.5	0	1.5	0	1.05	0	-0.9
163	SLU 163	1	1.5	0	1.5	0	1.05	0	0
164	SLU 164	1	1.5	0	1.5	0	1.05	0	0.9
165	SLU 165	1	1.5	0.75	0	0	0	0	-1.5
166	SLU 166	1	1.5	0.75	0	0	0	0	1.5
167	SLU 167	1	1.5	0.75	0	0	0	0.9	-1.5
168	SLU 168	1	1.5	0.75	0	0	0	0.9	1.5
169	SLU 169	1	1.5	0.75	0	0	0	1.5	-0.9
170	SLU 170	1	1.5	0.75	0	0	0	1.5	0
171	SLU 171	1	1.5	0.75	0	0	0	1.5	0.9
172	SLU 172	1	1.5	0.75	0	0	1.05	0	-1.5
173	SLU 173	1	1.5	0.75	0	0	1.05	0	1.5
174	SLU 174	1	1.5	0.75	0	0	1.05	0.9	-1.5
175	SLU 175	1	1.5	0.75	0	0	1.05	0.9	1.5
176	SLU 176	1	1.5	0.75	0	0	1.05	1.5	-0.9
177	SLU 177	1	1.5	0.75	0	0	1.05	1.5	0
178	SLU 178	1	1.5	0.75	0	0	1.05	1.5	0.9
179	SLU 179	1	1.5	0.75	0	0	1.5	0	-0.9
180	SLU 180	1	1.5	0.75	0	0	1.5	0	0
181	SLU 181	1	1.5	0.75	0	0	1.5	0	0.9
182	SLU 182	1	1.5	0.75	0	0	1.5	0.9	-0.9
183	SLU 183	1	1.5	0.75	0	0	1.5	0.9	0
184	SLU 184	1	1.5	0.75	0	0	1.5	0.9	0.9
185	SLU 185	1	1.5	0.75	0	0.9	0	0	-1.5
186	SLU 186	1	1.5	0.75	0	0.9	0	0	1.5
187	SLU 187	1	1.5	0.75	0	0.9	1.05	0	-1.5
188	SLU 188	1	1.5	0.75	0	0.9	1.05	0	1.5
189	SLU 189	1	1.5	0.75	0	0.9	1.5	0	-0.9
190	SLU 190	1	1.5	0.75	0	0.9	1.5	0	0
191	SLU 191	1	1.5	0.75	0	0.9	1.5	0	0.9
192	SLU 192	1	1.5	0.75	0	1.5	0	0	-0.9
193	SLU 193	1	1.5	0.75	0	1.5	0	0	0

Nome	Nome breve	Pesi	Port.	Neve	Vento X (+Z)	Vento Y (+Z)	Passaggio convogli	Vento Y (-Z)	ΔT
194	SLU 194	1	1.5	0.75	0	1.5	0	0	0.9
195	SLU 195	1	1.5	0.75	0	1.5	1.05	0	-0.9
196	SLU 196	1	1.5	0.75	0	1.5	1.05	0	0
197	SLU 197	1	1.5	0.75	0	1.5	1.05	0	0.9
198	SLU 198	1	1.5	0.75	0.9	0	0	0	-1.5
199	SLU 199	1	1.5	0.75	0.9	0	0	0	1.5
200	SLU 200	1	1.5	0.75	0.9	0	1.05	0	-1.5
201	SLU 201	1	1.5	0.75	0.9	0	1.05	0	1.5
202	SLU 202	1	1.5	0.75	0.9	0	1.5	0	-0.9
203	SLU 203	1	1.5	0.75	0.9	0	1.5	0	0
204	SLU 204	1	1.5	0.75	0.9	0	1.5	0	0.9
205	SLU 205	1	1.5	0.75	1.5	0	0	0	-0.9
206	SLU 206	1	1.5	0.75	1.5	0	0	0	0
207	SLU 207	1	1.5	0.75	1.5	0	0	0	0.9
208	SLU 208	1	1.5	0.75	1.5	0	1.05	0	-0.9
209	SLU 209	1	1.5	0.75	1.5	0	1.05	0	0
210	SLU 210	1	1.5	0.75	1.5	0	1.05	0	0.9
211	SLU 211	1	1.5	1.5	0	0	0	0	-0.9
212	SLU 212	1	1.5	1.5	0	0	0	0	0
213	SLU 213	1	1.5	1.5	0	0	0	0	0.9
214	SLU 214	1	1.5	1.5	0	0	0	0.9	-0.9
215	SLU 215	1	1.5	1.5	0	0	0	0.9	0
216	SLU 216	1	1.5	1.5	0	0	0	0.9	0.9
217	SLU 217	1	1.5	1.5	0	0	1.05	0	-0.9
218	SLU 218	1	1.5	1.5	0	0	1.05	0	0
219	SLU 219	1	1.5	1.5	0	0	1.05	0	0.9
220	SLU 220	1	1.5	1.5	0	0	1.05	0.9	-0.9
221	SLU 221	1	1.5	1.5	0	0	1.05	0.9	0
222	SLU 222	1	1.5	1.5	0	0	1.05	0.9	0.9
223	SLU 223	1	1.5	1.5	0	0.9	0	0	-0.9
224	SLU 224	1	1.5	1.5	0	0.9	0	0	0
225	SLU 225	1	1.5	1.5	0	0.9	0	0	0.9
226	SLU 226	1	1.5	1.5	0	0.9	1.05	0	-0.9
227	SLU 227	1	1.5	1.5	0	0.9	1.05	0	0
228	SLU 228	1	1.5	1.5	0	0.9	1.05	0	0.9
229	SLU 229	1	1.5	1.5	0.9	0	0	0	-0.9
230	SLU 230	1	1.5	1.5	0.9	0	0	0	0
231	SLU 231	1	1.5	1.5	0.9	0	0	0	0.9
232	SLU 232	1	1.5	1.5	0.9	0	1.05	0	-0.9
233	SLU 233	1	1.5	1.5	0.9	0	1.05	0	0
234	SLU 234	1	1.5	1.5	0.9	0	1.05	0	0.9
235	SLU 235	1.3	0.8	0	0	0	0	0	-1.5
236	SLU 236	1.3	0.8	0	0	0	0	0	0
237	SLU 237	1.3	0.8	0	0	0	0	0	1.5
238	SLU 238	1.3	0.8	0	0	0	0	0.9	-1.5
239	SLU 239	1.3	0.8	0	0	0	0	0.9	1.5
240	SLU 240	1.3	0.8	0	0	0	0	1.5	-0.9
241	SLU 241	1.3	0.8	0	0	0	0	1.5	0
242	SLU 242	1.3	0.8	0	0	0	0	1.5	0.9
243	SLU 243	1.3	0.8	0	0	0	1.05	0	-1.5
244	SLU 244	1.3	0.8	0	0	0	1.05	0	1.5
245	SLU 245	1.3	0.8	0	0	0	1.05	0.9	-1.5
246	SLU 246	1.3	0.8	0	0	0	1.05	0.9	1.5
247	SLU 247	1.3	0.8	0	0	0	1.05	1.5	-0.9
248	SLU 248	1.3	0.8	0	0	0	1.05	1.5	0
249	SLU 249	1.3	0.8	0	0	0	1.05	1.5	0.9
250	SLU 250	1.3	0.8	0	0	0	1.5	0	-0.9
251	SLU 251	1.3	0.8	0	0	0	1.5	0	0
252	SLU 252	1.3	0.8	0	0	0	1.5	0	0.9
253	SLU 253	1.3	0.8	0	0	0	1.5	0.9	-0.9
254	SLU 254	1.3	0.8	0	0	0	1.5	0.9	0
255	SLU 255	1.3	0.8	0	0	0	1.5	0.9	0.9
256	SLU 256	1.3	0.8	0	0	0.9	0	0	-1.5
257	SLU 257	1.3	0.8	0	0	0.9	0	0	1.5
258	SLU 258	1.3	0.8	0	0	0.9	1.05	0	-1.5
259	SLU 259	1.3	0.8	0	0	0.9	1.05	0	1.5
260	SLU 260	1.3	0.8	0	0	0.9	1.5	0	-0.9
261	SLU 261	1.3	0.8	0	0	0.9	1.5	0	0
262	SLU 262	1.3	0.8	0	0	0.9	1.5	0	0.9
263	SLU 263	1.3	0.8	0	0	1.5	0	0	-0.9
264	SLU 264	1.3	0.8	0	0	1.5	0	0	0
265	SLU 265	1.3	0.8	0	0	1.5	0	0	0.9
266	SLU 266	1.3	0.8	0	0	1.5	1.05	0	-0.9
267	SLU 267	1.3	0.8	0	0	1.5	1.05	0	0
268	SLU 268	1.3	0.8	0	0	1.5	1.05	0	0.9
269	SLU 269	1.3	0.8	0	0.9	0	0	0	-1.5
270	SLU 270	1.3	0.8	0	0.9	0	0	0	1.5
271	SLU 271	1.3	0.8	0	0.9	0	1.05	0	-1.5
272	SLU 272	1.3	0.8	0	0.9	0	1.05	0	1.5
273	SLU 273	1.3	0.8	0	0.9	0	1.5	0	-0.9
274	SLU 274	1.3	0.8	0	0.9	0	1.5	0	0
275	SLU 275	1.3	0.8	0	0.9	0	1.5	0	0.9
276	SLU 276	1.3	0.8	0	1.5	0	0	0	-0.9
277	SLU 277	1.3	0.8	0	1.5	0	0	0	0
278	SLU 278	1.3	0.8	0	1.5	0	0	0	0.9
279	SLU 279	1.3	0.8	0	1.5	0	1.05	0	-0.9
280	SLU 280	1.3	0.8	0	1.5	0	1.05	0	0
281	SLU 281	1.3	0.8	0	1.5	0	1.05	0	0.9
282	SLU 282	1.3	0.8	0.75	0	0	0	0	-1.5
283	SLU 283	1.3	0.8	0.75	0	0	0	0	1.5
284	SLU 284	1.3	0.8	0.75	0	0	0	0.9	-1.5
285	SLU 285	1.3	0.8	0.75	0	0	0	0.9	1.5
286	SLU 286	1.3	0.8	0.75	0	0	0	1.5	-0.9
287	SLU 287	1.3	0.8	0.75	0	0	0	1.5	0
288	SLU 288	1.3	0.8	0.75	0	0	0	1.5	0.9
289	SLU 289	1.3	0.8	0.75	0	0	1.05	0	-1.5
290	SLU 290	1.3	0.8	0.75	0	0	1.05	0	1.5
291	SLU 291	1.3	0.8	0.75	0	0	1.05	0.9	-1.5
292	SLU 292	1.3	0.8	0.75	0	0	1.05	0.9	1.5

Nome	Nome breve	Pesi	Port.	Neve	Vento X (+Z)	Vento Y (+Z)	Passaggio convogli	Vento Y (-Z)	ΔT
293	SLU 293	1.3	0.8	0.75	0	0	1.05	1.5	-0.9
294	SLU 294	1.3	0.8	0.75	0	0	1.05	1.5	0
295	SLU 295	1.3	0.8	0.75	0	0	1.05	1.5	0.9
296	SLU 296	1.3	0.8	0.75	0	0	1.5	0	-0.9
297	SLU 297	1.3	0.8	0.75	0	0	1.5	0	0
298	SLU 298	1.3	0.8	0.75	0	0	1.5	0	0.9
299	SLU 299	1.3	0.8	0.75	0	0	1.5	0.9	-0.9
300	SLU 300	1.3	0.8	0.75	0	0	1.5	0.9	0
301	SLU 301	1.3	0.8	0.75	0	0	1.5	0.9	0.9
302	SLU 302	1.3	0.8	0.75	0	0.9	0	0	-1.5
303	SLU 303	1.3	0.8	0.75	0	0.9	0	0	1.5
304	SLU 304	1.3	0.8	0.75	0	0.9	1.05	0	-1.5
305	SLU 305	1.3	0.8	0.75	0	0.9	1.05	0	1.5
306	SLU 306	1.3	0.8	0.75	0	0.9	1.5	0	-0.9
307	SLU 307	1.3	0.8	0.75	0	0.9	1.5	0	0
308	SLU 308	1.3	0.8	0.75	0	0.9	1.5	0	0.9
309	SLU 309	1.3	0.8	0.75	0	1.5	0	0	-0.9
310	SLU 310	1.3	0.8	0.75	0	1.5	0	0	0
311	SLU 311	1.3	0.8	0.75	0	1.5	0	0	0.9
312	SLU 312	1.3	0.8	0.75	0	1.5	1.05	0	-0.9
313	SLU 313	1.3	0.8	0.75	0	1.5	1.05	0	0
314	SLU 314	1.3	0.8	0.75	0	1.5	1.05	0	0.9
315	SLU 315	1.3	0.8	0.75	0.9	0	0	0	-1.5
316	SLU 316	1.3	0.8	0.75	0.9	0	0	0	1.5
317	SLU 317	1.3	0.8	0.75	0.9	0	1.05	0	-1.5
318	SLU 318	1.3	0.8	0.75	0.9	0	1.05	0	1.5
319	SLU 319	1.3	0.8	0.75	0.9	0	1.5	0	-0.9
320	SLU 320	1.3	0.8	0.75	0.9	0	1.5	0	0
321	SLU 321	1.3	0.8	0.75	0.9	0	1.5	0	0.9
322	SLU 322	1.3	0.8	0.75	1.5	0	0	0	-0.9
323	SLU 323	1.3	0.8	0.75	1.5	0	0	0	0
324	SLU 324	1.3	0.8	0.75	1.5	0	0	0	0.9
325	SLU 325	1.3	0.8	0.75	1.5	0	1.05	0	-0.9
326	SLU 326	1.3	0.8	0.75	1.5	0	1.05	0	0
327	SLU 327	1.3	0.8	0.75	1.5	0	1.05	0	0.9
328	SLU 328	1.3	0.8	1.5	0	0	0	0	-0.9
329	SLU 329	1.3	0.8	1.5	0	0	0	0	0
330	SLU 330	1.3	0.8	1.5	0	0	0	0	0.9
331	SLU 331	1.3	0.8	1.5	0	0	0	0.9	-0.9
332	SLU 332	1.3	0.8	1.5	0	0	0	0.9	0
333	SLU 333	1.3	0.8	1.5	0	0	0	0.9	0.9
334	SLU 334	1.3	0.8	1.5	0	0	1.05	0	-0.9
335	SLU 335	1.3	0.8	1.5	0	0	1.05	0	0
336	SLU 336	1.3	0.8	1.5	0	0	1.05	0	0.9
337	SLU 337	1.3	0.8	1.5	0	0	1.05	0.9	-0.9
338	SLU 338	1.3	0.8	1.5	0	0	1.05	0.9	0
339	SLU 339	1.3	0.8	1.5	0	0	1.05	0.9	0.9
340	SLU 340	1.3	0.8	1.5	0	0.9	0	0	-0.9
341	SLU 341	1.3	0.8	1.5	0	0.9	0	0	0
342	SLU 342	1.3	0.8	1.5	0	0.9	0	0	0.9
343	SLU 343	1.3	0.8	1.5	0	0.9	1.05	0	-0.9
344	SLU 344	1.3	0.8	1.5	0	0.9	1.05	0	0
345	SLU 345	1.3	0.8	1.5	0	0.9	1.05	0	0.9
346	SLU 346	1.3	0.8	1.5	0.9	0	0	0	-0.9
347	SLU 347	1.3	0.8	1.5	0.9	0	0	0	0
348	SLU 348	1.3	0.8	1.5	0.9	0	0	0	0.9
349	SLU 349	1.3	0.8	1.5	0.9	0	1.05	0	-0.9
350	SLU 350	1.3	0.8	1.5	0.9	0	1.05	0	0
351	SLU 351	1.3	0.8	1.5	0.9	0	1.05	0	0.9
352	SLU 352	1.3	1.5	0	0	0	0	0	-1.5
353	SLU 353	1.3	1.5	0	0	0	0	0	0
354	SLU 354	1.3	1.5	0	0	0	0	0	1.5
355	SLU 355	1.3	1.5	0	0	0	0	0.9	-1.5
356	SLU 356	1.3	1.5	0	0	0	0	0.9	1.5
357	SLU 357	1.3	1.5	0	0	0	0	1.5	-0.9
358	SLU 358	1.3	1.5	0	0	0	0	1.5	0
359	SLU 359	1.3	1.5	0	0	0	0	1.5	0.9
360	SLU 360	1.3	1.5	0	0	0	1.05	0	-1.5
361	SLU 361	1.3	1.5	0	0	0	1.05	0	1.5
362	SLU 362	1.3	1.5	0	0	0	1.05	0.9	-1.5
363	SLU 363	1.3	1.5	0	0	0	1.05	0.9	1.5
364	SLU 364	1.3	1.5	0	0	0	1.05	1.5	-0.9
365	SLU 365	1.3	1.5	0	0	0	1.05	1.5	0
366	SLU 366	1.3	1.5	0	0	0	1.05	1.5	0.9
367	SLU 367	1.3	1.5	0	0	0	1.5	0	-0.9
368	SLU 368	1.3	1.5	0	0	0	1.5	0	0
369	SLU 369	1.3	1.5	0	0	0	1.5	0	0.9
370	SLU 370	1.3	1.5	0	0	0	1.5	0.9	-0.9
371	SLU 371	1.3	1.5	0	0	0	1.5	0.9	0
372	SLU 372	1.3	1.5	0	0	0	1.5	0.9	0.9
373	SLU 373	1.3	1.5	0	0	0.9	0	0	-1.5
374	SLU 374	1.3	1.5	0	0	0.9	0	0	1.5
375	SLU 375	1.3	1.5	0	0	0.9	1.05	0	-1.5
376	SLU 376	1.3	1.5	0	0	0.9	1.05	0	1.5
377	SLU 377	1.3	1.5	0	0	0.9	1.5	0	-0.9
378	SLU 378	1.3	1.5	0	0	0.9	1.5	0	0
379	SLU 379	1.3	1.5	0	0	0.9	1.5	0	0.9
380	SLU 380	1.3	1.5	0	0	1.5	0	0	-0.9
381	SLU 381	1.3	1.5	0	0	1.5	0	0	0
382	SLU 382	1.3	1.5	0	0	1.5	0	0	0.9
383	SLU 383	1.3	1.5	0	0	1.5	1.05	0	-0.9
384	SLU 384	1.3	1.5	0	0	1.5	1.05	0	0
385	SLU 385	1.3	1.5	0	0	1.5	1.05	0	0.9
386	SLU 386	1.3	1.5	0	0.9	0	0	0	-1.5
387	SLU 387	1.3	1.5	0	0.9	0	0	0	1.5
388	SLU 388	1.3	1.5	0	0.9	0	1.05	0	-1.5
389	SLU 389	1.3	1.5	0	0.9	0	1.05	0	1.5
390	SLU 390	1.3	1.5	0	0.9	0	1.5	0	-0.9
391	SLU 391	1.3	1.5	0	0.9	0	1.5	0	0

Nome	Nome breve	Pesi	Port.	Neve	Vento X (+z)	Vento Y (+z)	Passaggio convogli	Vento Y (-z)	ΔT
392	SLU 392	1.3	1.5	0	0.9	0	1.5	0	0.9
393	SLU 393	1.3	1.5	0	1.5	0	0	0	-0.9
394	SLU 394	1.3	1.5	0	1.5	0	0	0	0
395	SLU 395	1.3	1.5	0	1.5	0	0	0	0.9
396	SLU 396	1.3	1.5	0	1.5	0	1.05	0	-0.9
397	SLU 397	1.3	1.5	0	1.5	0	1.05	0	0
398	SLU 398	1.3	1.5	0	1.5	0	1.05	0	0.9
399	SLU 399	1.3	1.5	0.75	0	0	0	0	-1.5
400	SLU 400	1.3	1.5	0.75	0	0	0	0	1.5
401	SLU 401	1.3	1.5	0.75	0	0	0	0.9	-1.5
402	SLU 402	1.3	1.5	0.75	0	0	0	0.9	1.5
403	SLU 403	1.3	1.5	0.75	0	0	0	1.5	-0.9
404	SLU 404	1.3	1.5	0.75	0	0	0	1.5	0
405	SLU 405	1.3	1.5	0.75	0	0	0	1.5	0.9
406	SLU 406	1.3	1.5	0.75	0	0	1.05	0	-1.5
407	SLU 407	1.3	1.5	0.75	0	0	1.05	0	1.5
408	SLU 408	1.3	1.5	0.75	0	0	1.05	0.9	-1.5
409	SLU 409	1.3	1.5	0.75	0	0	1.05	0.9	1.5
410	SLU 410	1.3	1.5	0.75	0	0	1.05	1.5	-0.9
411	SLU 411	1.3	1.5	0.75	0	0	1.05	1.5	0
412	SLU 412	1.3	1.5	0.75	0	0	1.05	1.5	0.9
413	SLU 413	1.3	1.5	0.75	0	0	1.5	0	-0.9
414	SLU 414	1.3	1.5	0.75	0	0	1.5	0	0
415	SLU 415	1.3	1.5	0.75	0	0	1.5	0	0.9
416	SLU 416	1.3	1.5	0.75	0	0	1.5	0.9	-0.9
417	SLU 417	1.3	1.5	0.75	0	0	1.5	0.9	0
418	SLU 418	1.3	1.5	0.75	0	0	1.5	0.9	0.9
419	SLU 419	1.3	1.5	0.75	0	0.9	0	0	-1.5
420	SLU 420	1.3	1.5	0.75	0	0.9	0	0	1.5
421	SLU 421	1.3	1.5	0.75	0	0.9	1.05	0	-1.5
422	SLU 422	1.3	1.5	0.75	0	0.9	1.05	0	1.5
423	SLU 423	1.3	1.5	0.75	0	0.9	1.5	0	-0.9
424	SLU 424	1.3	1.5	0.75	0	0.9	1.5	0	0
425	SLU 425	1.3	1.5	0.75	0	0.9	1.5	0	0.9
426	SLU 426	1.3	1.5	0.75	0	1.5	0	0	-0.9
427	SLU 427	1.3	1.5	0.75	0	1.5	0	0	0
428	SLU 428	1.3	1.5	0.75	0	1.5	0	0	0.9
429	SLU 429	1.3	1.5	0.75	0	1.5	1.05	0	-0.9
430	SLU 430	1.3	1.5	0.75	0	1.5	1.05	0	0
431	SLU 431	1.3	1.5	0.75	0	1.5	1.05	0	0.9
432	SLU 432	1.3	1.5	0.75	0.9	0	0	0	-1.5
433	SLU 433	1.3	1.5	0.75	0.9	0	0	0	1.5
434	SLU 434	1.3	1.5	0.75	0.9	0	1.05	0	-1.5
435	SLU 435	1.3	1.5	0.75	0.9	0	1.05	0	1.5
436	SLU 436	1.3	1.5	0.75	0.9	0	1.5	0	-0.9
437	SLU 437	1.3	1.5	0.75	0.9	0	1.5	0	0
438	SLU 438	1.3	1.5	0.75	0.9	0	1.5	0	0.9
439	SLU 439	1.3	1.5	0.75	1.5	0	0	0	-0.9
440	SLU 440	1.3	1.5	0.75	1.5	0	0	0	0
441	SLU 441	1.3	1.5	0.75	1.5	0	0	0	0.9
442	SLU 442	1.3	1.5	0.75	1.5	0	1.05	0	-0.9
443	SLU 443	1.3	1.5	0.75	1.5	0	1.05	0	0
444	SLU 444	1.3	1.5	0.75	1.5	0	1.05	0	0.9
445	SLU 445	1.3	1.5	1.5	0	0	0	0	-0.9
446	SLU 446	1.3	1.5	1.5	0	0	0	0	0
447	SLU 447	1.3	1.5	1.5	0	0	0	0	0.9
448	SLU 448	1.3	1.5	1.5	0	0	0	0.9	-0.9
449	SLU 449	1.3	1.5	1.5	0	0	0	0.9	0
450	SLU 450	1.3	1.5	1.5	0	0	0	0.9	0.9
451	SLU 451	1.3	1.5	1.5	0	0	1.05	0	-0.9
452	SLU 452	1.3	1.5	1.5	0	0	1.05	0	0
453	SLU 453	1.3	1.5	1.5	0	0	1.05	0	0.9
454	SLU 454	1.3	1.5	1.5	0	0	1.05	0.9	-0.9
455	SLU 455	1.3	1.5	1.5	0	0	1.05	0.9	0
456	SLU 456	1.3	1.5	1.5	0	0	1.05	0.9	0.9
457	SLU 457	1.3	1.5	1.5	0	0.9	0	0	-0.9
458	SLU 458	1.3	1.5	1.5	0	0.9	0	0	0
459	SLU 459	1.3	1.5	1.5	0	0.9	0	0	0.9
460	SLU 460	1.3	1.5	1.5	0	0.9	1.05	0	-0.9
461	SLU 461	1.3	1.5	1.5	0	0.9	1.05	0	0
462	SLU 462	1.3	1.5	1.5	0	0.9	1.05	0	0.9
463	SLU 463	1.3	1.5	1.5	0.9	0	0	0	-0.9
464	SLU 464	1.3	1.5	1.5	0.9	0	0	0	0
465	SLU 465	1.3	1.5	1.5	0.9	0	0	0	0.9
466	SLU 466	1.3	1.5	1.5	0.9	0	1.05	0	-0.9
467	SLU 467	1.3	1.5	1.5	0.9	0	1.05	0	0
468	SLU 468	1.3	1.5	1.5	0.9	0	1.05	0	0.9

Famiglia SLE rara

Il nome compatto della famiglia è SLE RA.

Nome	Nome breve	Pesi	Port.	Neve	Vento X (+z)	Vento Y (+z)	Passaggio convogli	Vento Y (-z)	ΔT
1	SLE RA 1	1	1	0	0	0	0	0	-1
2	SLE RA 2	1	1	0	0	0	0	0	0
3	SLE RA 3	1	1	0	0	0	0	0	1
4	SLE RA 4	1	1	0	0	0	0	0.6	-1
5	SLE RA 5	1	1	0	0	0	0	0.6	1
6	SLE RA 6	1	1	0	0	0	0	1	-0.6
7	SLE RA 7	1	1	0	0	0	0	1	0
8	SLE RA 8	1	1	0	0	0	0	1	0.6
9	SLE RA 9	1	1	0	0	0	0.7	0	-1
10	SLE RA 10	1	1	0	0	0	0.7	0	1
11	SLE RA 11	1	1	0	0	0	0.7	0.6	-1
12	SLE RA 12	1	1	0	0	0	0.7	0.6	1
13	SLE RA 13	1	1	0	0	0	0.7	1	-0.6
14	SLE RA 14	1	1	0	0	0	0.7	1	0
15	SLE RA 15	1	1	0	0	0	0.7	1	0.6
16	SLE RA 16	1	1	0	0	0	1	0	-0.6

Nome	Nome breve	Pesi	Port.	Neve	Vento X (+z)	Vento Y (+z)	Passaggio convogli	Vento Y (-z)	ΔT
17	SLE RA 17	1	1	0	0	0	1	0	0
18	SLE RA 18	1	1	0	0	0	1	0	0.6
19	SLE RA 19	1	1	0	0	0	1	0.6	-0.6
20	SLE RA 20	1	1	0	0	0	1	0.6	0
21	SLE RA 21	1	1	0	0	0	1	0.6	0.6
22	SLE RA 22	1	1	0	0	0.6	0	0	-1
23	SLE RA 23	1	1	0	0	0.6	0	0	1
24	SLE RA 24	1	1	0	0	0.6	0.7	0	-1
25	SLE RA 25	1	1	0	0	0.6	0.7	0	1
26	SLE RA 26	1	1	0	0	0.6	1	0	-0.6
27	SLE RA 27	1	1	0	0	0.6	1	0	0
28	SLE RA 28	1	1	0	0	0.6	1	0	0.6
29	SLE RA 29	1	1	0	0	1	0	0	-0.6
30	SLE RA 30	1	1	0	0	1	0	0	0
31	SLE RA 31	1	1	0	0	1	0	0	0.6
32	SLE RA 32	1	1	0	0	1	0.7	0	-0.6
33	SLE RA 33	1	1	0	0	1	0.7	0	0
34	SLE RA 34	1	1	0	0	1	0.7	0	0.6
35	SLE RA 35	1	1	0	0.6	0	0	0	-1
36	SLE RA 36	1	1	0	0.6	0	0	0	1
37	SLE RA 37	1	1	0	0.6	0	0.7	0	-1
38	SLE RA 38	1	1	0	0.6	0	0.7	0	1
39	SLE RA 39	1	1	0	0.6	0	1	0	-0.6
40	SLE RA 40	1	1	0	0.6	0	1	0	0
41	SLE RA 41	1	1	0	0.6	0	1	0	0.6
42	SLE RA 42	1	1	0	1	0	0	0	-0.6
43	SLE RA 43	1	1	0	1	0	0	0	0
44	SLE RA 44	1	1	0	1	0	0	0	0.6
45	SLE RA 45	1	1	0	1	0	0.7	0	-0.6
46	SLE RA 46	1	1	0	1	0	0.7	0	0
47	SLE RA 47	1	1	0	1	0	0.7	0	0.6
48	SLE RA 48	1	1	0.5	0	0	0	0	-1
49	SLE RA 49	1	1	0.5	0	0	0	0	1
50	SLE RA 50	1	1	0.5	0	0	0	0.6	-1
51	SLE RA 51	1	1	0.5	0	0	0	0.6	1
52	SLE RA 52	1	1	0.5	0	0	0	1	-0.6
53	SLE RA 53	1	1	0.5	0	0	0	1	0
54	SLE RA 54	1	1	0.5	0	0	0	1	0.6
55	SLE RA 55	1	1	0.5	0	0	0.7	0	-1
56	SLE RA 56	1	1	0.5	0	0	0.7	0	1
57	SLE RA 57	1	1	0.5	0	0	0.7	0.6	-1
58	SLE RA 58	1	1	0.5	0	0	0.7	0.6	1
59	SLE RA 59	1	1	0.5	0	0	0.7	1	-0.6
60	SLE RA 60	1	1	0.5	0	0	0.7	1	0
61	SLE RA 61	1	1	0.5	0	0	0.7	1	0.6
62	SLE RA 62	1	1	0.5	0	0	1	0	-0.6
63	SLE RA 63	1	1	0.5	0	0	1	0	0
64	SLE RA 64	1	1	0.5	0	0	1	0	0.6
65	SLE RA 65	1	1	0.5	0	0	1	0.6	-0.6
66	SLE RA 66	1	1	0.5	0	0	1	0.6	0
67	SLE RA 67	1	1	0.5	0	0	1	0.6	0.6
68	SLE RA 68	1	1	0.5	0	0.6	0	0	-1
69	SLE RA 69	1	1	0.5	0	0.6	0	0	1
70	SLE RA 70	1	1	0.5	0	0.6	0.7	0	-1
71	SLE RA 71	1	1	0.5	0	0.6	0.7	0	1
72	SLE RA 72	1	1	0.5	0	0.6	1	0	-0.6
73	SLE RA 73	1	1	0.5	0	0.6	1	0	0
74	SLE RA 74	1	1	0.5	0	0.6	1	0	0.6
75	SLE RA 75	1	1	0.5	0	1	0	0	-0.6
76	SLE RA 76	1	1	0.5	0	1	0	0	0
77	SLE RA 77	1	1	0.5	0	1	0	0	0.6
78	SLE RA 78	1	1	0.5	0	1	0.7	0	-0.6
79	SLE RA 79	1	1	0.5	0	1	0.7	0	0
80	SLE RA 80	1	1	0.5	0	1	0.7	0	0.6
81	SLE RA 81	1	1	0.5	0.6	0	0	0	-1
82	SLE RA 82	1	1	0.5	0.6	0	0	0	1
83	SLE RA 83	1	1	0.5	0.6	0	0.7	0	-1
84	SLE RA 84	1	1	0.5	0.6	0	0.7	0	1
85	SLE RA 85	1	1	0.5	0.6	0	1	0	-0.6
86	SLE RA 86	1	1	0.5	0.6	0	1	0	0
87	SLE RA 87	1	1	0.5	0.6	0	1	0	0.6
88	SLE RA 88	1	1	0.5	1	0	0	0	-0.6
89	SLE RA 89	1	1	0.5	1	0	0	0	0
90	SLE RA 90	1	1	0.5	1	0	0	0	0.6
91	SLE RA 91	1	1	0.5	1	0	0.7	0	-0.6
92	SLE RA 92	1	1	0.5	1	0	0.7	0	0
93	SLE RA 93	1	1	0.5	1	0	0.7	0	0.6
94	SLE RA 94	1	1	1	0	0	0	0	-0.6
95	SLE RA 95	1	1	1	0	0	0	0	0
96	SLE RA 96	1	1	1	0	0	0	0	0.6
97	SLE RA 97	1	1	1	0	0	0	0.6	-0.6
98	SLE RA 98	1	1	1	0	0	0	0.6	0
99	SLE RA 99	1	1	1	0	0	0	0.6	0.6
100	SLE RA 100	1	1	1	0	0	0.7	0	-0.6
101	SLE RA 101	1	1	1	0	0	0.7	0	0
102	SLE RA 102	1	1	1	0	0	0.7	0	0.6
103	SLE RA 103	1	1	1	0	0	0.7	0.6	-0.6
104	SLE RA 104	1	1	1	0	0	0.7	0.6	0
105	SLE RA 105	1	1	1	0	0	0.7	0.6	0.6
106	SLE RA 106	1	1	1	0	0.6	0	0	-0.6
107	SLE RA 107	1	1	1	0	0.6	0	0	0
108	SLE RA 108	1	1	1	0	0.6	0	0	0.6
109	SLE RA 109	1	1	1	0	0.6	0.7	0	-0.6
110	SLE RA 110	1	1	1	0	0.6	0.7	0	0
111	SLE RA 111	1	1	1	0	0.6	0.7	0	0.6
112	SLE RA 112	1	1	1	0.6	0	0	0	-0.6
113	SLE RA 113	1	1	1	0.6	0	0	0	0
114	SLE RA 114	1	1	1	0.6	0	0	0	0.6
115	SLE RA 115	1	1	1	0.6	0	0.7	0	-0.6

Nome	Nome breve	Pesi	Port.	Neve	Vento X (+Z)	Vento Y (+Z)	Passaggio convogli	Vento Y (-Z)	ΔT
116	SLE RA 116	1	1	1	0.6	0	0.7	0	0
117	SLE RA 117	1	1	1	0.6	0	0.7	0	0.6

Famiglia SLE frequente

Il nome compatto della famiglia è SLE FR.

Nome	Nome breve	Pesi	Port.	Neve	Vento X (+Z)	Vento Y (+Z)	Passaggio convogli	Vento Y (-Z)	ΔT
1	SLE FR 1	1	1	0	0	0	0	0	-0.5
2	SLE FR 2	1	1	0	0	0	0	0	0
3	SLE FR 3	1	1	0	0	0	0	0	0.5
4	SLE FR 4	1	1	0	0	0	0	0.2	0
5	SLE FR 5	1	1	0	0	0	0.6	0	-0.5
6	SLE FR 6	1	1	0	0	0	0.6	0	0.5
7	SLE FR 7	1	1	0	0	0	0.6	0.2	0
8	SLE FR 8	1	1	0	0	0	0.7	0	0
9	SLE FR 9	1	1	0	0	0.2	0	0	0
10	SLE FR 10	1	1	0	0	0.2	0.6	0	0
11	SLE FR 11	1	1	0	0.2	0	0	0	0
12	SLE FR 12	1	1	0	0.2	0	0.6	0	0
13	SLE FR 13	1	1	0.2	0	0	0	0	0
14	SLE FR 14	1	1	0.2	0	0	0.6	0	0

Famiglia SLE quasi permanente

Il nome compatto della famiglia è SLE QP.

Nome	Nome breve	Pesi	Port.	Neve	Vento X (+Z)	Vento Y (+Z)	Passaggio convogli	Vento Y (-Z)	ΔT
1	SLE QP 1	1	1	0	0	0	0	0	0
2	SLE QP 2	1	1	0	0	0	0.6	0	0

Famiglia SLU eccezionale

Il nome compatto della famiglia è SLU EX.

Nome	Nome breve	Pesi	Port.	Neve	Vento X (+Z)	Vento Y (+Z)	Passaggio convogli	Vento Y (-Z)	ΔT
------	------------	------	-------	------	--------------	--------------	--------------------	--------------	----

Famiglia SLO

Il nome compatto della famiglia è SLO.

Poiché il numero di condizioni elementari previste per le combinazioni di questa famiglia è cospicuo, la tabella verrà spezzata in più parti.

Nome	Nome breve	Pesi	Port.	Neve	Vento X (+Z)	Vento Y (+Z)	Passaggio convogli	Vento Y (-Z)	ΔT
1	SLO 1	1	1	0	0	0	0.6	0	0
2	SLO 2	1	1	0	0	0	0.6	0	0
3	SLO 3	1	1	0	0	0	0.6	0	0
4	SLO 4	1	1	0	0	0	0.6	0	0
5	SLO 5	1	1	0	0	0	0.6	0	0
6	SLO 6	1	1	0	0	0	0.6	0	0
7	SLO 7	1	1	0	0	0	0.6	0	0
8	SLO 8	1	1	0	0	0	0.6	0	0
9	SLO 9	1	1	0	0	0	0.6	0	0
10	SLO 10	1	1	0	0	0	0.6	0	0
11	SLO 11	1	1	0	0	0	0.6	0	0
12	SLO 12	1	1	0	0	0	0.6	0	0
13	SLO 13	1	1	0	0	0	0.6	0	0
14	SLO 14	1	1	0	0	0	0.6	0	0
15	SLO 15	1	1	0	0	0	0.6	0	0
16	SLO 16	1	1	0	0	0	0.6	0	0
17	SLO 17	1	1	0	0	0	0.6	0	0
18	SLO 18	1	1	0	0	0	0.6	0	0
19	SLO 19	1	1	0	0	0	0.6	0	0
20	SLO 20	1	1	0	0	0	0.6	0	0
21	SLO 21	1	1	0	0	0	0.6	0	0
22	SLO 22	1	1	0	0	0	0.6	0	0
23	SLO 23	1	1	0	0	0	0.6	0	0
24	SLO 24	1	1	0	0	0	0.6	0	0
25	SLO 25	1	1	0	0	0	0.6	0	0
26	SLO 26	1	1	0	0	0	0.6	0	0
27	SLO 27	1	1	0	0	0	0.6	0	0
28	SLO 28	1	1	0	0	0	0.6	0	0
29	SLO 29	1	1	0	0	0	0.6	0	0
30	SLO 30	1	1	0	0	0	0.6	0	0
31	SLO 31	1	1	0	0	0	0.6	0	0
32	SLO 32	1	1	0	0	0	0.6	0	0

Nome	Nome breve	X SLO	Y SLO	Z SLO	EY SLO	EX SLO	Tr x SLO	Tr y SLO	Tr z SLO
1	SLO 1	-1	-0.3	0	-1	-0.3	-1	-0.3	0
2	SLO 2	-1	-0.3	0	-1	0.3	-1	-0.3	0
3	SLO 3	-1	-0.3	0	1	-0.3	-1	-0.3	0
4	SLO 4	-1	-0.3	0	1	0.3	-1	-0.3	0
5	SLO 5	-1	0.3	0	-1	-0.3	-1	0.3	0
6	SLO 6	-1	0.3	0	-1	0.3	-1	0.3	0
7	SLO 7	-1	0.3	0	1	-0.3	-1	0.3	0
8	SLO 8	-1	0.3	0	1	0.3	-1	0.3	0
9	SLO 9	-0.3	-1	0	-0.3	-1	-0.3	-1	0
10	SLO 10	-0.3	-1	0	-0.3	1	-0.3	-1	0
11	SLO 11	-0.3	-1	0	0.3	-1	-0.3	-1	0
12	SLO 12	-0.3	-1	0	0.3	1	-0.3	-1	0
13	SLO 13	-0.3	1	0	-0.3	-1	-0.3	1	0
14	SLO 14	-0.3	1	0	-0.3	1	-0.3	1	0
15	SLO 15	-0.3	1	0	0.3	-1	-0.3	1	0
16	SLO 16	-0.3	1	0	0.3	1	-0.3	1	0
17	SLO 17	0.3	-1	0	-0.3	-1	0.3	-1	0
18	SLO 18	0.3	-1	0	-0.3	1	0.3	-1	0
19	SLO 19	0.3	-1	0	0.3	-1	0.3	-1	0
20	SLO 20	0.3	-1	0	0.3	1	0.3	-1	0
21	SLO 21	0.3	1	0	-0.3	-1	0.3	1	0
22	SLO 22	0.3	1	0	-0.3	1	0.3	1	0

Nome	Nome breve	X SLO	Y SLO	Z SLO	EY SLO	EX SLO	Tr x SLO	Tr y SLO	Tr z SLO
23	SLO 23	0.3	1	0	0.3	-1	0.3	1	0
24	SLO 24	0.3	1	0	0.3	1	0.3	1	0
25	SLO 25	1	-0.3	0	-1	-0.3	1	-0.3	0
26	SLO 26	1	-0.3	0	-1	0.3	1	-0.3	0
27	SLO 27	1	-0.3	0	1	-0.3	1	-0.3	0
28	SLO 28	1	-0.3	0	1	0.3	1	-0.3	0
29	SLO 29	1	0.3	0	-1	-0.3	1	0.3	0
30	SLO 30	1	0.3	0	-1	0.3	1	0.3	0
31	SLO 31	1	0.3	0	1	-0.3	1	0.3	0
32	SLO 32	1	0.3	0	1	0.3	1	0.3	0

Famiglia SLD

Il nome compatto della famiglia è SLD.

Poiché il numero di condizioni elementari previste per le combinazioni di questa famiglia è cospicuo, la tabella verrà spezzata in più parti.

Nome	Nome breve	Pesi	Port.	Neve	Vento X (+Z)	Vento Y (+Z)	Passaggio convogli	Vento Y (-Z)	ΔT
1	SLD 1	1	1	0	0	0	0.6	0	0
2	SLD 2	1	1	0	0	0	0.6	0	0
3	SLD 3	1	1	0	0	0	0.6	0	0
4	SLD 4	1	1	0	0	0	0.6	0	0
5	SLD 5	1	1	0	0	0	0.6	0	0
6	SLD 6	1	1	0	0	0	0.6	0	0
7	SLD 7	1	1	0	0	0	0.6	0	0
8	SLD 8	1	1	0	0	0	0.6	0	0
9	SLD 9	1	1	0	0	0	0.6	0	0
10	SLD 10	1	1	0	0	0	0.6	0	0
11	SLD 11	1	1	0	0	0	0.6	0	0
12	SLD 12	1	1	0	0	0	0.6	0	0
13	SLD 13	1	1	0	0	0	0.6	0	0
14	SLD 14	1	1	0	0	0	0.6	0	0
15	SLD 15	1	1	0	0	0	0.6	0	0
16	SLD 16	1	1	0	0	0	0.6	0	0
17	SLD 17	1	1	0	0	0	0.6	0	0
18	SLD 18	1	1	0	0	0	0.6	0	0
19	SLD 19	1	1	0	0	0	0.6	0	0
20	SLD 20	1	1	0	0	0	0.6	0	0
21	SLD 21	1	1	0	0	0	0.6	0	0
22	SLD 22	1	1	0	0	0	0.6	0	0
23	SLD 23	1	1	0	0	0	0.6	0	0
24	SLD 24	1	1	0	0	0	0.6	0	0
25	SLD 25	1	1	0	0	0	0.6	0	0
26	SLD 26	1	1	0	0	0	0.6	0	0
27	SLD 27	1	1	0	0	0	0.6	0	0
28	SLD 28	1	1	0	0	0	0.6	0	0
29	SLD 29	1	1	0	0	0	0.6	0	0
30	SLD 30	1	1	0	0	0	0.6	0	0
31	SLD 31	1	1	0	0	0	0.6	0	0
32	SLD 32	1	1	0	0	0	0.6	0	0

Nome	Nome breve	X SLD	Y SLD	Z SLD	EY SLD	EX SLD	Tr x SLD	Tr y SLD	Tr z SLD
1	SLD 1	-1	-0.3	0	-1	-0.3	-1	-0.3	0
2	SLD 2	-1	-0.3	0	-1	0.3	-1	-0.3	0
3	SLD 3	-1	-0.3	0	1	-0.3	-1	-0.3	0
4	SLD 4	-1	-0.3	0	1	0.3	-1	-0.3	0
5	SLD 5	-1	0.3	0	-1	-0.3	-1	0.3	0
6	SLD 6	-1	0.3	0	-1	0.3	-1	0.3	0
7	SLD 7	-1	0.3	0	1	-0.3	-1	0.3	0
8	SLD 8	-1	0.3	0	1	0.3	-1	0.3	0
9	SLD 9	-0.3	-1	0	-0.3	-1	-0.3	-1	0
10	SLD 10	-0.3	-1	0	-0.3	1	-0.3	-1	0
11	SLD 11	-0.3	-1	0	0.3	-1	-0.3	-1	0
12	SLD 12	-0.3	-1	0	0.3	1	-0.3	-1	0
13	SLD 13	-0.3	1	0	-0.3	-1	-0.3	1	0
14	SLD 14	-0.3	1	0	-0.3	1	-0.3	1	0
15	SLD 15	-0.3	1	0	0.3	-1	-0.3	1	0
16	SLD 16	-0.3	1	0	0.3	1	-0.3	1	0
17	SLD 17	0.3	-1	0	-0.3	-1	0.3	-1	0
18	SLD 18	0.3	-1	0	-0.3	1	0.3	-1	0
19	SLD 19	0.3	-1	0	0.3	-1	0.3	-1	0
20	SLD 20	0.3	-1	0	0.3	1	0.3	-1	0
21	SLD 21	0.3	1	0	-0.3	-1	0.3	1	0
22	SLD 22	0.3	1	0	-0.3	1	0.3	1	0
23	SLD 23	0.3	1	0	0.3	-1	0.3	1	0
24	SLD 24	0.3	1	0	0.3	1	0.3	1	0
25	SLD 25	1	-0.3	0	-1	-0.3	1	-0.3	0
26	SLD 26	1	-0.3	0	-1	0.3	1	-0.3	0
27	SLD 27	1	-0.3	0	1	-0.3	1	-0.3	0
28	SLD 28	1	-0.3	0	1	0.3	1	-0.3	0
29	SLD 29	1	0.3	0	-1	-0.3	1	0.3	0
30	SLD 30	1	0.3	0	-1	0.3	1	0.3	0
31	SLD 31	1	0.3	0	1	-0.3	1	0.3	0
32	SLD 32	1	0.3	0	1	0.3	1	0.3	0

Famiglia SLV

Il nome compatto della famiglia è SLV.

Poiché il numero di condizioni elementari previste per le combinazioni di questa famiglia è cospicuo, la tabella verrà spezzata in più parti.

Nome	Nome breve	Pesi	Port.	Neve	Vento X (+Z)	Vento Y (+Z)	Passaggio convogli	Vento Y (-Z)	ΔT
1	SLV 1	1	1	0	0	0	0.6	0	0
2	SLV 2	1	1	0	0	0	0.6	0	0
3	SLV 3	1	1	0	0	0	0.6	0	0
4	SLV 4	1	1	0	0	0	0.6	0	0
5	SLV 5	1	1	0	0	0	0.6	0	0
6	SLV 6	1	1	0	0	0	0.6	0	0
7	SLV 7	1	1	0	0	0	0.6	0	0
8	SLV 8	1	1	0	0	0	0.6	0	0
9	SLV 9	1	1	0	0	0	0.6	0	0

Nome	Nome breve	Pesi	Port.	Neve	Vento X (+Z)	Vento Y (+Z)	Passaggio convogli	Vento Y (-Z)	ΔT
10	SLV 10	1	1	0	0	0	0.6	0	0
11	SLV 11	1	1	0	0	0	0.6	0	0
12	SLV 12	1	1	0	0	0	0.6	0	0
13	SLV 13	1	1	0	0	0	0.6	0	0
14	SLV 14	1	1	0	0	0	0.6	0	0
15	SLV 15	1	1	0	0	0	0.6	0	0
16	SLV 16	1	1	0	0	0	0.6	0	0
17	SLV 17	1	1	0	0	0	0.6	0	0
18	SLV 18	1	1	0	0	0	0.6	0	0
19	SLV 19	1	1	0	0	0	0.6	0	0
20	SLV 20	1	1	0	0	0	0.6	0	0
21	SLV 21	1	1	0	0	0	0.6	0	0
22	SLV 22	1	1	0	0	0	0.6	0	0
23	SLV 23	1	1	0	0	0	0.6	0	0
24	SLV 24	1	1	0	0	0	0.6	0	0
25	SLV 25	1	1	0	0	0	0.6	0	0
26	SLV 26	1	1	0	0	0	0.6	0	0
27	SLV 27	1	1	0	0	0	0.6	0	0
28	SLV 28	1	1	0	0	0	0.6	0	0
29	SLV 29	1	1	0	0	0	0.6	0	0
30	SLV 30	1	1	0	0	0	0.6	0	0
31	SLV 31	1	1	0	0	0	0.6	0	0
32	SLV 32	1	1	0	0	0	0.6	0	0

Nome	Nome breve	X SLV	Y SLV	Z SLV	EY SLV	EX SLV	Tr x SLV	Tr y SLV	Tr z SLV
1	SLV 1	-1	-0.3	0	-1	-0.3	-1	-0.3	0
2	SLV 2	-1	-0.3	0	-1	0.3	-1	-0.3	0
3	SLV 3	-1	-0.3	0	1	-0.3	-1	-0.3	0
4	SLV 4	-1	-0.3	0	1	0.3	-1	-0.3	0
5	SLV 5	-1	0.3	0	-1	-0.3	-1	0.3	0
6	SLV 6	-1	0.3	0	-1	0.3	-1	0.3	0
7	SLV 7	-1	0.3	0	1	-0.3	-1	0.3	0
8	SLV 8	-1	0.3	0	1	0.3	-1	0.3	0
9	SLV 9	-0.3	-1	0	-0.3	-1	-0.3	-1	0
10	SLV 10	-0.3	-1	0	-0.3	1	-0.3	-1	0
11	SLV 11	-0.3	-1	0	0.3	-1	-0.3	-1	0
12	SLV 12	-0.3	-1	0	0.3	1	-0.3	-1	0
13	SLV 13	-0.3	1	0	-0.3	-1	-0.3	1	0
14	SLV 14	-0.3	1	0	-0.3	1	-0.3	1	0
15	SLV 15	-0.3	1	0	0.3	-1	-0.3	1	0
16	SLV 16	-0.3	1	0	0.3	1	-0.3	1	0
17	SLV 17	0.3	-1	0	-0.3	-1	0.3	-1	0
18	SLV 18	0.3	-1	0	-0.3	1	0.3	-1	0
19	SLV 19	0.3	-1	0	0.3	-1	0.3	-1	0
20	SLV 20	0.3	-1	0	0.3	1	0.3	-1	0
21	SLV 21	0.3	1	0	-0.3	-1	0.3	1	0
22	SLV 22	0.3	1	0	-0.3	1	0.3	1	0
23	SLV 23	0.3	1	0	0.3	-1	0.3	1	0
24	SLV 24	0.3	1	0	0.3	1	0.3	1	0
25	SLV 25	1	-0.3	0	-1	-0.3	1	-0.3	0
26	SLV 26	1	-0.3	0	-1	0.3	1	-0.3	0
27	SLV 27	1	-0.3	0	1	-0.3	1	-0.3	0
28	SLV 28	1	-0.3	0	1	0.3	1	-0.3	0
29	SLV 29	1	0.3	0	-1	-0.3	1	0.3	0
30	SLV 30	1	0.3	0	-1	0.3	1	0.3	0
31	SLV 31	1	0.3	0	1	-0.3	1	0.3	0
32	SLV 32	1	0.3	0	1	0.3	1	0.3	0

Famiglia Calcolo rigidità torsionale/flessionale di piano

Il nome compatto della famiglia è CRTFP.

Nome	Nome breve	R Ux	R Uy	R Rz
Rig. Ux+	CRTFP Ux+	1	0	0
Rig. Ux-	CRTFP Ux-	-1	0	0
Rig. Uy+	CRTFP Uy+	0	1	0
Rig. Uy-	CRTFP Uy-	0	-1	0
Rig. Rz+	CRTFP Rz+	0	0	1
Rig. Rz-	CRTFP Rz-	0	0	-1

4.2.3 Definizioni di carichi lineari

Nome: nome identificativo della definizione di carico.

Valori: valori associati alle condizioni di carico.

Condizione: condizione di carico a cui sono associati i valori.

Descrizione: nome assegnato alla condizione elementare.

Fx i.: valore iniziale della forza, per unità di lunghezza, agente in direzione X. [kN/m]

Fx f.: valore finale della forza, per unità di lunghezza, agente in direzione X. [kN/m]

Fy i.: valore iniziale della forza, per unità di lunghezza, agente in direzione Y. [kN/m]

Fy f.: valore finale della forza, per unità di lunghezza, agente in direzione Y. [kN/m]

Fz i.: valore iniziale della forza, per unità di lunghezza, agente in direzione Z. [kN/m]

Fz f.: valore finale della forza, per unità di lunghezza, agente in direzione Z. [kN/m]

Mx i.: valore iniziale della coppia, per unità di lunghezza, agente attorno l'asse X. [kN]

Mx f.: valore finale della coppia, per unità di lunghezza, agente attorno l'asse X. [kN]

My i.: valore iniziale della coppia, per unità di lunghezza, agente attorno l'asse Y. [kN]

My f.: valore finale della coppia, per unità di lunghezza, agente attorno l'asse Y. [kN]

Mz i.: valore iniziale della coppia, per unità di lunghezza, agente attorno l'asse Z. [kN]

Mz f.: valore finale della coppia, per unità di lunghezza, agente attorno l'asse Z. [kN]

Nome	Condizione	Valori											
		Fx i.	Fx f.	Fy i.	Fy f.	Fz i.	Fz f.	Mx i.	Mx f.	My i.	My f.	Mz i.	Mz f.
colonne	Pesi strutturali	0	0	0	0	0	0	0	0	0	0	0	0
	Permanenti portati	0	0	0	0	0	0	0	0	0	0	0	0

Nome	Condizione	Valori											
		Fx i.	Fx f.	Fy i.	Fy f.	Fz i.	Fz f.	Mx i.	Mx f.	My i.	My f.	Mz i.	Mz f.
	Descrizione												
	Neve	0	0	0	0	0	0	0	0	0	0	0	0
	Vento X (+Z)	0.8	0.8	0	0	0	0	0	0	0	0	0	0
	Vento Y (+Z)	0	0	1.8	1.8	0	0	0	0	0	0	0	0
	Passaggio convogli	0	0	0.4	0.4	0	0	0	0	0	0	0	0
	Vento Y (-Z)	0	0	0	0	0	0	0	0	0	0	0	0
travi secondarie sbalzo	Pesi strutturali	0	0	0	0	0	0	0	0	0	0	0	0
	Permanenti portati	0	0	0	0	0	0	0	0	0	0	0	0
	Neve	0	0	0	0	0	0	0	0	0	0	0	0
	Vento X (+Z)	0	0	0	0	0	0	0	0	0	0	0	0
	Vento Y (+Z)	0	0	0.2	0.2	0	0	0	0	0	0	0	0
	Passaggio convogli	0	0	0	0	0	0	0	0	0	0	0	0
	Vento Y (-Z)	0	0	0.2	0.2	0	0	0	0	0	0	0	0

4.2.4 Definizioni di carichi superficiali

Nome: nome identificativo della definizione di carico.

Valori: valori associati alle condizioni di carico.

Condizione: condizione di carico a cui sono associati i valori.

Descrizione: nome assegnato alla condizione elementare.

Valore: modulo del carico superficiale applicato alla superficie. [kN/m²]

Applicazione: modalità con cui il carico è applicato alla superficie.

Nome	Condizione	Valori		Applicazione
		Descrizione	Valore	
Copertura	Pesi strutturali		0	Verticale
	Permanenti portati		1.5	Verticale
	Neve		0.48	Verticale in proiezione
	Vento X (+Z)		-1.82	Verticale
	Vento Y (+Z)		-1.82	Verticale
	Passaggio convogli		0	Verticale
Copertura + convogli	Vento Y (-Z)		1.22	Verticale
	Pesi strutturali		0	Verticale
	Permanenti portati		1.5	Verticale
	Neve		0.48	Verticale
	Vento X (+Z)		-1.82	Verticale
	Vento Y (+Z)		-1.82	Verticale
Copertura - convogli	Passaggio convogli		-0.85	Verticale
	Vento Y (-Z)		1.22	Verticale
	Pesi strutturali		0	Verticale
	Permanenti portati		1.5	Verticale
	Neve		0.48	Verticale
	Vento X (+Z)		-1.82	Verticale
	Vento Y (+Z)		-1.82	Verticale
	Passaggio convogli		0.85	Verticale
	Vento Y (-Z)		1.22	Verticale

4.2.5 Definizioni di carichi termici

Nome: nome identificativo della definizione di carico.

ΔT faccia interna: variazione di temperatura della faccia interna dell'elemento rispetto alla temperatura di costruzione. [°C]

ΔT faccia esterna: variazione di temperatura della faccia esterna dell'elemento rispetto alla temperatura di costruzione. [°C]

Nome	ΔT faccia interna	ΔT faccia esterna
DT pos	25	25

4.3 Quote

4.3.1 Livelli

Descrizione breve: nome sintetico assegnato al livello.

Descrizione: nome assegnato al livello.

Quota: quota superiore espressa nel sistema di riferimento assoluto. [m]

Spessore: spessore del livello. [m]

Descrizione breve	Descrizione	Quota	Spessore
L1	Fondazione	-0.35	1
L2	Travi longitudinali	4.21	0.24
L3	Reticolare correnti inferiori	5.2	0
L4	Reticolare correnti superiori	6.499	0
L5	Sommità colonne	6.68	0

4.3.2 Falde

Descrizione breve: nome sintetico assegnato alla falda.

Descrizione: nome assegnato alla falda.

Sp.: spessore del piano della falda. [m]

Primo punto: primo punto di definizione del piano dell'estradosso della falda.

X: coordinata X. [m]

Y: coordinata Y. [m]

Quota: quota, esprimibile come livello, falda, piano orizzontale alla Z specificata. [m]

Secondo punto: secondo punto di definizione del piano dell'estradosso della falda.

X: coordinata X. [m]

Y: coordinata Y. [m]

Quota: quota. esprimibile come livello, falda, piano orizzontale alla Z specificata. [m]

Terzo punto: terzo punto di definizione del piano dell'estradosso della falda.

X: coordinata X. [m]

Y: coordinata Y. [m]

Quota: quota. esprimibile come livello, falda, piano orizzontale alla Z specificata. [m]

Descrizione breve	Descrizione	Sp.	Primo punto			Secondo punto			Terzo punto		
			X	Y	Quota	X	Y	Quota	X	Y	Quota
F1	Falda 1	0	-1.5	-3.75	5.339	1.5	-3.75	5.339	1.5	-2.5	5.208
F2	Falda 2	0	-1.5	-2.5	5.208	1.5	-2.5	5.208	1.5	-1.25	4.874
F3	Falda 3	0	-1.5	-1.25	4.874	1.5	-1.25	4.874	1.5	0	4.308
F4	Falda 8	0	-1.5	0	4.308	-1.5	3	4.308	-2.75	3	4.874
F5	Falda 9	0	-2.75	0	4.874	-2.75	3	4.874	-4	3	5.208
F6	Falda 10	0	-4	0	5.208	-4	3	5.208	-5.25	3	5.339
F7	Falda 11	0	25.5	3	4.308	25.5	0	4.308	26.75	0	4.874
F8	Falda 12	0	28	3	5.208	26.75	3	4.874	26.75	0	4.874
F9	Falda 13	0	28	3	5.208	28	0	5.208	29.25	0	5.339
F10	Falda 6	0	-1.5	3.75	5.339	1.5	3.75	5.339	1.5	2.5	5.208
F11	Falda 5	0	-1.5	2.5	5.208	1.5	2.5	5.208	1.5	1.25	4.874
F12	Falda 4	0	-1.5	1.25	4.874	1.5	1.25	4.874	1.5	0	4.308

4.3.3 Tronchi

Descrizione breve: nome sintetico assegnato al tronco.

Descrizione: nome assegnato al tronco.

Quota 1: riferimento della prima quota di definizione del tronco. esprimibile come livello, falda, piano orizzontale alla Z specificata. [m]

Quota 2: riferimento della seconda quota di definizione del tronco. esprimibile come livello, falda, piano orizzontale alla Z specificata. [m]

Descrizione breve	Descrizione	Quota 1	Quota 2
T1	Fondazione - Sommità colonne	Fondazione	Sommità colonne
T2	q 4.318 - Reticolare correnti inferiori	4.318	Reticolare correnti inferiori
T3	q 3.776 - Reticolare correnti inferiori	3.776	Reticolare correnti inferiori
T4	Falda 3 - Reticolare correnti inferiori	Falda 3	Reticolare correnti inferiori
T5	Falda 4 - Reticolare correnti inferiori	Falda 4	Reticolare correnti inferiori

4.4 Sondaggi del sito

Vengono elencati in modo sintetico tutti i sondaggi risultanti dalle verticali di indagine condotte in sito, con l'indicazione dei terreni incontrati, degli spessori e dell'eventuale falda acquifera.

Nome attribuito al sondaggio: Sondaggio

Coordinate planimetriche del sondaggio nel sistema globale scelto: 0, 0

Quota della sommità del sondaggio (P.C.) nel sistema globale scelto: 0

I valori sono espressi in m

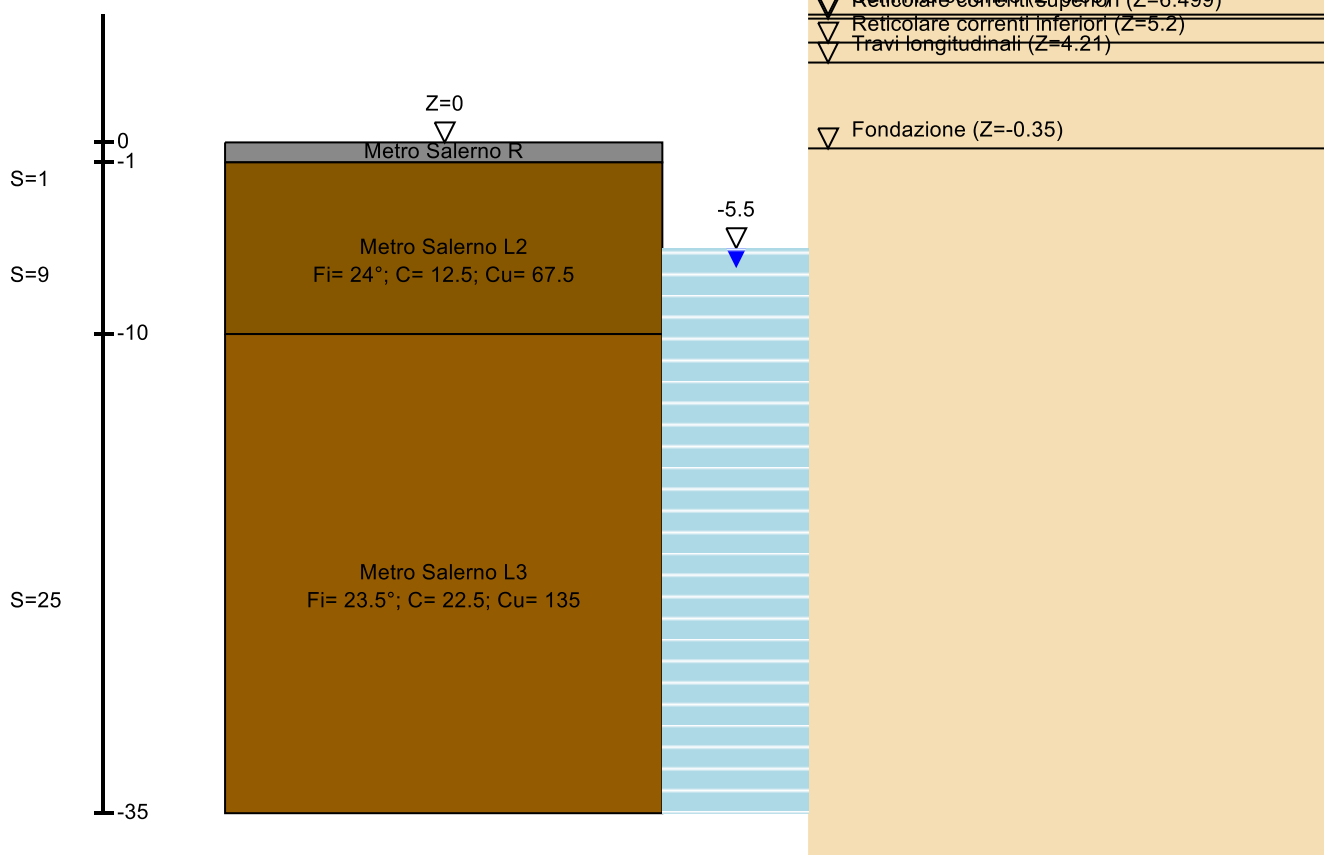


Immagine: Sondaggio

Stratigrafie

Terreno: terreno mediamente uniforme presente nello strato.

Sp.: spessore dello strato. [m]

Liqf: indica se considerare lo strato come liquefacibile nelle combinazioni sismiche. Con 'Da verifica' viene considerato quanto risulta dalla verifica condotta a fine calcolo solutore.

Kor,i: coefficiente K orizzontale al livello inferiore dello strato per modellazione palo. [kN/m³]

Kor,s: coefficiente K orizzontale al livello superiore dello strato per modellazione palo. [kN/m³]

Kve,i: coefficiente K verticale al livello inferiore dello strato per modellazione palo. [kN/m³]

Kve,s: coefficiente K verticale al livello superiore dello strato per modellazione palo. [kN/m³]

Eel,s: modulo elastico al livello superiore dello strato per calcolo cedimenti istantanei; 0 per non calcolarli. [kN/m²]

Eel,i: modulo elastico al livello inferiore dello strato per calcolo cedimenti istantanei; 0 per non calcolarli. [kN/m²]

Eed,s: modulo edometrico al livello superiore per calcolo cedimenti complessivi; 0 per non calcolarli. [kN/m²]

Eed,i: modulo edometrico al livello inferiore per calcolo cedimenti complessivi; 0 per non calcolarli. [kN/m²]

CC,s: coefficiente di compressione vergine CC al livello superiore per calcolo cedimenti di consolidazione; 0 per non calcolarli. Il valore è adimensionale.

CC,i: coefficiente di compressione vergine CC al livello inferiore per calcolo cedimenti di consolidazione; 0 per non calcolarli. Il valore è adimensionale.

CR,s: coefficiente di ricomprensione CR al livello superiore per calcolo cedimenti di consolidazione; 0 per non calcolarli. Il valore è adimensionale.

CR,i: coefficiente di ricomprensione CR al livello inferiore per calcolo cedimenti di consolidazione; 0 per non calcolarli. Il valore è adimensionale.

E0,s: indice dei vuoti E0 al livello superiore per calcolo cedimenti di consolidazione. Il valore è adimensionale.

E0,i: indice dei vuoti E0 al livello inferiore per calcolo cedimenti di consolidazione. Il valore è adimensionale.

OCR,s: indice di sovraconsolidazione OCR al livello superiore per calcolo cedimenti di consolidazione; 1 per terreno NC. Il valore è adimensionale.

OCR,i: indice di sovraconsolidazione OCR al livello inferiore per calcolo cedimenti di consolidazione; 1 per terreno NC. Il valore è adimensionale.

Terreno	Sp.	Liqf	Kor,i	Kor,s	Kve,i	Kve,s	Eel,s	Eel,i	Eed,s	Eed,i	CC,s	CC,i	CR,s	CR,i	E0,s	E0,i	OCR,s	OCR,i
Metro Salerno R	1	No	15000	10000	10000	10000	25000	25000	0	0	0	0	0	0	0	0	1	1
Metro Salerno L2	9	No	15000	10000	10000	10000	55000	55000	0	0	0	0	0	0	0	0	1	1
Metro Salerno L3	25	No	15000	10000	10000	10000	87000	87000	0	0	0	0	0	0	0	0	1	1

Falde acquifere

Profondità: profondità della superficie superiore della falda dalla quota del punto di riferimento. [m]

Carico piezometrico: carico piezometrico rispetto alla superficie superiore, 0 per falde freatiche. [m]
Spessore: spessore dell'acquifero.

Profondità	Carico piezometrico	Spessore
5.5	0	Fino in fondo

4.5 Elementi di input

4.5.1 Fili fissi

4.5.1.1 Fili fissi di piano

Livello: quota di inserimento espressa con notazione breve esprimibile come livello, falda, piano orizzontale alla Z specificata. [m]

Punto: punto di inserimento.

X: coordinata X. [m]

Y: coordinata Y. [m]

Estradosso: distanza dalla quota di inserimento misurata in direzione Y ortogonale al piano della quota e con verso positivo verso l'alto. [m]

Angolo: angolo misurato dal semiasse positivo delle ascisse in verso antiorario. [deg]

Tipo: tipo di simbolo.

T.c.: testo completo visualizzato accanto al filo fisso, costituito dalla concatenazione del prefisso e del testo.

Livello	Punto		Estradosso	Angolo	Tipo	T.c.	Livello	Punto		Estradosso	Angolo	Tipo	T.c.
	X	Y						X	Y				
L1	0	0	0	0	Croce	24	L1	-1.5	3.75	0	270	Croce	22
L1	-1.5	2.5	0	270	Croce	20	L1	4.5	3.75	0	270	Croce	46
L1	4.5	2.5	0	270	Croce	45	L1	7.5	3.75	0	270	Croce	58
L1	7.5	2.5	0	270	Croce	57	L1	1.5	3.75	0	0	Croce	34
L1	10.5	3.75	0	270	Croce	70	L1	13.5	3.75	0	270	Croce	82
L1	13.5	2.5	0	270	Croce	81	L1	16.5	3.75	0	270	Croce	94
L1	16.5	2.5	0	270	Croce	93	L1	19.5	3.75	0	270	Croce	106
L1	19.5	2.5	0	270	Croce	105	L1	10.5	2.5	0	270	Croce	69
L1	22.5	3.75	0	270	Croce	118	L1	1.5	2.5	0	0	Croce	33
L1	25.5	1.25	0	0	Croce	128	L1	4.5	1.25	0	0	Croce	44
L1	6	1.25	0	0	Croce	49	L1	7.5	1.25	0	0	Croce	56
L1	9	1.25	0	0	Croce	61	L1	10.5	1.25	0	0	Croce	68
L1	12	1.25	0	0	Croce	73	L1	-1.5	1.25	0	0	Croce	19
L1	13.5	1.25	0	0	Croce	80	L1	16.5	1.25	0	0	Croce	92
L1	18	1.25	0	0	Croce	97	L1	19.5	1.25	0	0	Croce	104
L1	21	1.25	0	0	Croce	109	L1	22.5	1.25	0	0	Croce	116
L1	24	1.25	0	0	Croce	121	L1	15	1.25	0	0	Croce	85
L1	3	1.25	0	0	Croce	37	L1	22.5	2.5	0	270	Croce	117
L1	25.5	2.5	0	270	Croce	129	L1	4.5	-0.75	0	0	Croce	41
L1	4.5	0.75	0	180	Croce	43	L1	7.5	-0.75	0	0	Croce	53
L1	7.5	0.749	0	180	Croce	55	L1	10.5	-0.75	0	0	Croce	65
L1	10.5	0.749	0	180	Croce	67	L1	1.5	0.75	0	180	Croce	31
L1	13.5	-0.75	0	0	Croce	77	L1	16.5	-0.75	0	0	Croce	89
L1	16.5	0.748	0	180	Croce	91	L1	19.5	-0.75	0	0	Croce	101
L1	19.5	0.747	0	180	Croce	103	L1	22.5	-0.75	0	0	Croce	113
L1	22.5	0.747	0	180	Croce	115	L1	13.5	0.748	0	180	Croce	79
L1	25.5	3.75	0	270	Croce	131	L1	1.5	-0.75	0	0	Croce	29
L1	-1.5	-0.75	0	0	Croce	16	L1	-2.75	1.25	0	90	Croce	11
L1	-4	2.5	0	180	Croce	7	L1	-5.25	3.75	0	180	Croce	4
L1	26.75	1.25	0	90	Croce	134	L1	28	2.5	0	0	Croce	138
L1	29.25	3.75	0	0	Croce	143	L1	-1.5	0.75	0	180	Croce	18
L1	-4	3	0	180	Croce	8	L1	-1.5	3	0	180	Croce	21
L1	-5.25	3	0	180	Croce	3	L1	29.25	3	0	0	Croce	142
L1	26.75	3	0	270	Croce	135	L1	28	3	0	0	Croce	139
L1	25.5	3	0	270	Croce	130	L1	-2.75	3	0	180	Croce	12
L1	25.5	-0.75	0	0	Croce	125	L1	1.5	1.25	0	0	Croce	32
L1	29.25	-3.75	0	0	Croce	140	L1	24	-1.25	0	0	Croce	119
L1	25.5	-1.25	0	0	Croce	124	L1	-1.5	-1.25	0	0	Croce	15
L1	3	0	0	0	Croce	36	L1	4.5	0	0	0	Croce	42
L1	6	0	0	0	Croce	48	L1	22.5	-1.25	0	0	Croce	112
L1	7.5	0	0	0	Croce	54	L1	10.5	0	0	0	Croce	66
L1	13.5	0	0	0	Croce	78	L1	15	0	0	0	Croce	84
L1	16.5	0	0	0	Croce	90	L1	18	0	0	0	Croce	96
L1	19.5	0	0	0	Croce	102	L1	9	0	0	0	Croce	60
L1	21	0	0	0	Croce	108	L1	21	-1.25	0	0	Croce	107
L1	18	-1.25	0	0	Croce	95	L1	12	0	0	0	Croce	72
L1	24	0	0	0	Croce	120	L1	0	-1.25	0	0	Croce	23
L1	1.5	-1.25	0	0	Croce	28	L1	3	-1.25	0	0	Croce	35
L1	4.5	-1.25	0	0	Croce	40	L1	19.5	-1.25	0	0	Croce	100
L1	6	-1.25	0	0	Croce	47	L1	9	-1.25	0	0	Croce	59
L1	10.5	-1.25	0	0	Croce	64	L1	12	-1.25	0	0	Croce	71
L1	13.5	-1.25	0	0	Croce	76	L1	15	-1.25	0	0	Croce	83
L1	16.5	-1.25	0	0	Croce	88	L1	7.5	-1.25	0	0	Croce	52
L1	0	1.25	0	0	Croce	25	L1	22.5	0	0	0	Croce	114
L1	1.5	-2.5	0	0	Croce	27	L1	25.5	-3.75	0	90	Croce	122
L1	25.5	-2.5	0	90	Croce	123	L1	-1.5	0	0	0	Croce	17
L1	-5.25	0	0	180	Croce	2	L1	-2.75	0	0	270	Croce	10
L1	-4	0	0	180	Croce	6	L1	22.5	-2.5	0	90	Croce	111
L1	-2.75	-1.25	0	270	Croce	9	L1	-5.25	-3.75	0	180	Croce	1
L1	29.25	0	0	0	Croce	141	L1	26.75	0	0	270	Croce	133
L1	28	0	0	0	Croce	137	L1	26.75	-1.25	0	270	Croce	132
L1	28	-2.5	0	0	Croce	136	L1	-4	-2.5	0	180	Croce	5
L1	25.5	0	0	0	Croce	126	L1	22.5	-3.75	0	90	Croce	110
L1	19.5	-3.75	0	90	Croce	98	L1	1.5	-3.75	0	0	Croce	26
L1	1.5	0	0	0	Croce	30	L1	-1.5	-3.75	0	90	Croce	13
L1	-1.5	-2.5	0	90	Croce	14	L1	4.5	-3.75	0	90	Croce	38
L1	4.5	-2.5	0	90	Croce	39	L1	19.5	-2.5	0	90	Croce	99
L1	7.5	-3.75	0	90	Croce	50	L1	10.5	-3.75	0	90	Croce	62
L1	10.5	-2.5	0	90	Croce	63	L1	13.5	-3.75	0	90	Croce	74

Livello	Punto		Estradosso	Angolo	Tipo	T.c.	Livello	Punto		Estradosso	Angolo	Tipo	T.c.
	X	Y						X	Y				
L1	13.5	-2.5	0	90	Croce	75	L1	16.5	-3.75	0	90	Croce	86
L1	16.5	-2.5	0	90	Croce	87	L1	7.5	-2.5	0	90	Croce	51
L1	25.5	0.747	0	180	Croce	127							

4.5.2 Travi in acciaio

4.5.2.1 Travi in acciaio di piano

Sezione: sezione in acciaio.

P.i.: posizione dei punti d'inserimento rispetto alla geometria della sezione. S=Sinistra, C=Centro, D=Destra

Liv.: quota del punto di inserimento iniziale. esprimibile come livello, falda, piano orizzontale alla Z specificata. [m]

Punto i.: punto di inserimento iniziale.

X: coordinata X. [m]

Y: coordinata Y. [m]

Punto f.: punto di inserimento finale.

X: coordinata X. [m]

Y: coordinata Y. [m]

Estr.: distanza dalla quota di inserimento misurata in direzione ortogonale al piano della quota e con verso positivo verso l'alto. [m]

Mat.: riferimento ad una definizione di materiale in acciaio.

Car.lin.: riferimento alla definizione di un carico lineare. L: valori del carico espressi nel sistema locale dell'elemento. G: valori del carico espressi nel sistema globale.

Sovr.: aliquota di sovrarresistenza da assicurare in verifica.

S.Z.: indica se l'elemento deve essere verificato considerando il sisma verticale.

C.i.: svincolo o cerniera da applicare al relativo estremo dell'asta nel modello.

C.f.: svincolo o cerniera da applicare al relativo estremo dell'asta nel modello.

P.lin.: peso per unità di lunghezza. [kN/m]

Cal.: descrizione sintetica dell'eventuale calastrello della sezione accoppiata o composita.

Sezione	P.i.	Liv.	Punto i.		Punto f.		Estr.	Mat.	Car.lin.	Sovr.	S.Z.	C.i.	C.f.	P.lin.	Cal.
			X	Y	X	Y									
HEA240	C	L2	22.5	0	24	0	0	S355	Nessuno; G	0	No	No	Svincolo: M2, M3	0.6	
HEA240	C	L2	0	0	1.5	0	0	S355	Nessuno; G	0	No	Svincolo: M2, M3	No	0.6	
HEA240	C	L2	12	0	13.5	0	0	S355	Nessuno; G	0	No	Svincolo: M2, M3	No	0.6	
HEA240	C	L2	-1.5	0	0	0	0	S355	Nessuno; G	0	No	No	No	0.6	
HEA240	C	L2	24	0	25.5	0	0	S355	Nessuno; G	0	No	No	No	0.6	
HEA240	C	L2	1.5	0	4.5	0	0	S355	Nessuno; G	0	No	No	No	0.6	
HEA240	C	L2	19.5	0	22.5	0	0	S355	Nessuno; G	0	No	No	No	0.6	
HEA240	C	L2	7.5	0	10.5	0	0	S355	Nessuno; G	0	No	No	No	0.6	
HEA240	C	L2	10.5	0	12	0	0	S355	Nessuno; G	0	No	No	Svincolo: M2, M3	0.6	
HEA240	C	L2	13.5	0	16.5	0	0	S355	Nessuno; G	0	No	No	No	0.6	
HEA240	C	L2	16.5	0	19.5	0	0	S355	Nessuno; G	0	No	No	No	0.6	
HEA240	C	L2	4.5	0	7.5	0	0	S355	Nessuno; G	0	No	No	No	0.6	
EN10219 60.3x3	C	L3	0	0	1.5	0.75	0	S355	Nessuno; G	0	No	Svincolo: M2, M3	Svincolo: M2, M3	0.04	
EN10219 60.3x3	C	L3	-1.5	0.75	0	0	0	S355	Nessuno; G	0	No	Svincolo: M2, M3	Svincolo: M2, M3	0.04	
EN10219 60.3x3	C	L3	0	0	1.5	-0.75	0	S355	Nessuno; G	0	No	Svincolo: M2, M3	Svincolo: M2, M3	0.04	
EN10219 60.3x3	C	L3	12	0	13.5	0.75	0	S355	Nessuno; G	0	No	Svincolo: M2, M3	Svincolo: M2, M3	0.04	
EN10219 60.3x3	C	L3	10.5	-0.75	12	0	0	S355	Nessuno; G	0	No	Svincolo: M2, M3	Svincolo: M2, M3	0.04	
EN10219 60.3x3	C	L3	10.5	0.75	12	0	0	S355	Nessuno; G	0	No	Svincolo: M2, M3	Svincolo: M2, M3	0.04	
EN10219 60.3x3	C	L3	12	0	13.5	-0.75	0	S355	Nessuno; G	0	No	Svincolo: M2, M3	Svincolo: M2, M3	0.04	
EN10219 60.3x3	C	L3	24	0	25.5	0.75	0	S355	Nessuno; G	0	No	Svincolo: M2, M3	Svincolo: M2, M3	0.04	
EN10219 60.3x3	C	L3	22.5	-0.75	24	0	0	S355	Nessuno; G	0	No	Svincolo: M2, M3	Svincolo: M2, M3	0.04	
EN10219 60.3x3	C	L3	22.5	0.75	24	0	0	S355	Nessuno; G	0	No	Svincolo: M2, M3	Svincolo: M2, M3	0.04	
EN10219 60.3x3	C	L3	24	0	25.5	-0.75	0	S355	Nessuno; G	0	No	Svincolo: M2, M3	Svincolo: M2, M3	0.04	
TONDO 10	C	L3	4.5	-0.75	1.5	0.75	0	S355 E/2 Senza peso	Nessuno; G	0	No	Svincolo: M2, M3	Svincolo: M2, M3	0	
TONDO 10	C	L3	4.5	-0.75	7.5	0.75	0	S355 E/2 Senza peso	Nessuno; G	0	No	Svincolo: M2, M3	Svincolo: M2, M3	0	
TONDO 10	C	L3	7.5	-0.75	4.5	0.75	0	S355 E/2 Senza peso	Nessuno; G	0	No	Svincolo: M2, M3	Svincolo: M2, M3	0	
TONDO 10	C	L3	7.5	-0.75	10.5	0.75	0	S355 E/2 Senza peso	Nessuno; G	0	No	Svincolo: M2, M3	Svincolo: M2, M3	0	
EN10219 60.3x3	C	L3	-1.5	-0.75	0	0	0	S355	Nessuno; G	0	No	Svincolo: M2, M3	Svincolo: M2, M3	0.04	
TONDO 10	C	L3	13.5	-0.75	16.5	0.75	0	S355 E/2 Senza peso	Nessuno; G	0	No	Svincolo: M2, M3	Svincolo: M2, M3	0	

Sezione	P.i.	Liv.	Punto i.		Punto f.		Estr.	Mat.	Car.lin.	Sovr.	S.Z	C.i.	C.f.	P.lin.	Cal.
			X	Y	X	Y									
TONDO 10	C	L3	16.5	-0.75	13.5	0.75	0	S355_E/2 Senza peso	Nessuno; G	0	No	Svincolo: M2, M3	Svincolo: M2, M3	0	
TONDO 10	C	L3	16.5	-0.75	19.5	0.75	0	S355_E/2 Senza peso	Nessuno; G	0	No	Svincolo: M2, M3	Svincolo: M2, M3	0	
TONDO 10	C	L3	19.5	-0.75	16.5	0.75	0	S355_E/2 Senza peso	Nessuno; G	0	No	Svincolo: M2, M3	Svincolo: M2, M3	0	
TONDO 10	C	L3	19.5	-0.75	22.5	0.75	0	S355_E/2 Senza peso	Nessuno; G	0	No	Svincolo: M2, M3	Svincolo: M2, M3	0	
TONDO 10	C	L3	22.5	-0.75	19.5	0.75	0	S355_E/2 Senza peso	Nessuno; G	0	No	Svincolo: M2, M3	Svincolo: M2, M3	0	
TONDO 10	C	L3	1.5	-0.75	4.5	0.75	0	S355_E/2 Senza peso	Nessuno; G	0	No	Svincolo: M2, M3	Svincolo: M2, M3	0	
TONDO 10	C	L3	10.5	-0.75	7.5	0.75	0	S355_E/2 Senza peso	Nessuno; G	0	No	Svincolo: M2, M3	Svincolo: M2, M3	0	
EN10219 60.3x3	C	L3	25.5	-0.75	25.5	0.75	0	S355	Nessuno; G	0	No	No	No	0.04	
EN10219 60.3x3	C	L3	19.5	-0.75	19.5	0.75	0	S355	Nessuno; G	0	No	No	No	0.04	
EN10219 114.3x3	C	L3	13.5	0.75	16.5	0.75	0	S355	Nessuno; G	0	No	No	No	0.08	
EN10219 114.3x3	C	L3	10.5	0.75	13.5	0.75	0	S355	Nessuno; G	0	No	No	No	0.08	
EN10219 114.3x3	C	L3	7.5	0.75	10.5	0.75	0	S355	Nessuno; G	0	No	No	No	0.08	
EN10219 114.3x3	C	L3	4.5	0.75	7.5	0.75	0	S355	Nessuno; G	0	No	No	No	0.08	
EN10219 114.3x3	C	L3	1.5	0.75	4.5	0.75	0	S355	Nessuno; G	0	No	No	No	0.08	
EN10219 114.3x3	C	L3	-1.5	0.75	1.5	0.75	0	S355	Nessuno; G	0	No	No	No	0.08	
EN10219 114.3x3	C	L3	16.5	0.75	19.5	0.75	0	S355	Nessuno; G	0	No	No	No	0.08	
EN10219 114.3x3	C	L3	22.5	-0.75	25.5	-0.75	0	S355	Nessuno; G	0	No	No	No	0.08	
EN10219 114.3x3	C	L3	16.5	-0.75	19.5	-0.75	0	S355	Nessuno; G	0	No	No	No	0.08	
EN10219 114.3x3	C	L3	13.5	-0.75	16.5	-0.75	0	S355	Nessuno; G	0	No	No	No	0.08	
EN10219 114.3x3	C	L3	10.5	-0.75	13.5	-0.75	0	S355	Nessuno; G	0	No	No	No	0.08	
EN10219 114.3x3	C	L3	7.5	-0.75	10.5	-0.75	0	S355	Nessuno; G	0	No	No	No	0.08	
EN10219 114.3x3	C	L3	4.5	-0.75	7.5	-0.75	0	S355	Nessuno; G	0	No	No	No	0.08	
EN10219 114.3x3	C	L3	1.5	-0.75	4.5	-0.75	0	S355	Nessuno; G	0	No	No	No	0.08	
EN10219 114.3x3	C	L3	19.5	-0.75	22.5	-0.75	0	S355	Nessuno; G	0	No	No	No	0.08	
EN10219 114.3x3	C	L3	19.5	0.75	22.5	0.75	0	S355	Nessuno; G	0	No	No	No	0.08	
EN10219 114.3x3	C	L3	22.5	0.75	25.5	0.75	0	S355	Nessuno; G	0	No	No	No	0.08	
EN10219 114.3x3	C	L3	-1.5	-0.75	1.5	-0.75	0	S355	Nessuno; G	0	No	No	No	0.08	
EN10219 60.3x3	C	L3	16.5	-0.75	16.5	0.75	0	S355	Nessuno; G	0	No	No	No	0.04	
EN10219 60.3x3	C	L3	13.5	-0.75	13.5	0.75	0	S355	Nessuno; G	0	No	No	No	0.04	
EN10219 60.3x3	C	L3	10.5	-0.75	10.5	0.75	0	S355	Nessuno; G	0	No	No	No	0.04	
EN10219 60.3x3	C	L3	7.5	-0.75	7.5	0.75	0	S355	Nessuno; G	0	No	No	No	0.04	
EN10219 60.3x3	C	L3	4.5	-0.75	4.5	0.75	0	S355	Nessuno; G	0	No	No	No	0.04	
EN10219 60.3x3	C	L3	1.5	-0.75	1.5	0.75	0	S355	Nessuno; G	0	No	No	No	0.04	
EN10219 60.3x3	C	L3	-1.5	-0.75	-1.5	0.75	0	S355	Nessuno; G	0	No	No	No	0.04	
EN10219 60.3x3	C	L3	22.5	-0.75	22.5	0.75	0	S355	Nessuno; G	0	No	No	No	0.04	
EN10219 114.3x5	C	L4	22.5	0	25.5	0	0	S355	Nessuno; G	0	No	No	No	0.13	
EN10219 114.3x5	C	L4	16.5	0	19.5	0	0	S355	Nessuno; G	0	No	No	No	0.13	
EN10219 114.3x5	C	L4	13.5	0	16.5	0	0	S355	Nessuno; G	0	No	No	No	0.13	
EN10219 114.3x5	C	L4	10.5	0	13.5	0	0	S355	Nessuno; G	0	No	No	No	0.13	
EN10219 114.3x5	C	L4	7.5	0	10.5	0	0	S355	Nessuno; G	0	No	No	No	0.13	
EN10219 114.3x5	C	L4	4.5	0	7.5	0	0	S355	Nessuno; G	0	No	No	No	0.13	
EN10219 114.3x5	C	L4	1.5	0	4.5	0	0	S355	Nessuno; G	0	No	No	No	0.13	
EN10219 114.3x5	C	L4	19.5	0	22.5	0	0	S355	Nessuno; G	0	No	No	No	0.13	
EN10219 114.3x5	C	L4	-1.5	0	1.5	0	0	S355	Nessuno; G	0	No	No	No	0.13	

4.5.2.2 Travi in acciaio di falda

Sezione: sezione in acciaio.

P.i.: posizione dei punti d'inserimento rispetto alla geometria della sezione. S=Sinistra, C=Centro, D=Destra

Fal.: quota del punto di inserimento iniziale. esprimibile come livello, falda, piano orizzontale alla Z specificata. [m]

Punto i.: punto di inserimento iniziale.

X: coordinata X. [m]

Y: coordinata Y. [m]

Punto f.: punto di inserimento finale.

X: coordinata X. [m]

Y: coordinata Y. [m]

Estr.: distanza dalla quota di inserimento misurata in direzione ortogonale al piano della quota e con verso positivo verso l'alto. [m]

Sopraf.: posizionamento sopra falda della trave di falda.

Mat.: riferimento ad una definizione di materiale in acciaio.

Car.lin.: riferimento alla definizione di un carico lineare.L: valori del carico espressi nel sistema locale dell'elemento.G: valori del carico espressi nel sistema globale.

Sovr.: aliquota di sovraresistenza da assicurare in verifica.

S.Z: indica se l'elemento deve essere verificato considerando il sisma verticale.

C.l.: svincolo o cerniera da applicare al relativo estremo dell'asta nel modello.

C.f.: svincolo o cerniera da applicare al relativo estremo dell'asta nel modello.

P.lin.: peso per unità di lunghezza. [kN/m]

Cal.: descrizione sintetica dell'eventuale calastrello della sezione accoppiata o composita.

Sezione	P.i.	Fal.	Punto i.		Punto f.		Estr.	Sopraf.	Mat.	Car.lin.	Sovr.	S.Z	C.i.	C.f.	P.lin.	Cal.
			X	Y	X	Y										
HEB160	C	F1	1.5	-3.75	1.5	-2.5	0	No	S355	travi secondarie sbalzo; G	0	No	No	No	0.43	
HEB160	C	F1	-4	-2.5	-5.25	-3.75	0	No	S355	travi secondarie sbalzo; G	0	No	No	No	0.43	
HEB160	C	F1	25.5	-3.75	25.5	-2.5	0	No	S355	travi secondarie sbalzo; G	0	No	No	No	0.43	
HEB160	C	F1	22.5	-3.75	22.5	-2.5	0	No	S355	travi secondarie sbalzo; G	0	No	No	No	0.43	
HEB160	C	F1	19.5	-3.75	19.5	-2.5	0	No	S355	travi secondarie sbalzo; G	0	No	No	No	0.43	
HEB160	C	F1	28	-2.5	29.25	-3.75	0	No	S355	travi secondarie sbalzo; G	0	No	No	No	0.43	
HEB160	C	F1	13.5	-3.75	13.5	-2.5	0	No	S355	travi secondarie sbalzo; G	0	No	No	No	0.43	
HEB160	C	F1	10.5	-3.75	10.5	-2.5	0	No	S355	travi secondarie sbalzo; G	0	No	No	No	0.43	
HEB160	C	F1	7.5	-3.75	7.5	-2.5	0	No	S355	travi secondarie sbalzo; G	0	No	No	No	0.43	
HEB160	C	F1	16.5	-3.75	16.5	-2.5	0	No	S355	travi secondarie sbalzo; G	0	No	No	No	0.43	
HEB160	C	F1	4.5	-3.75	4.5	-2.5	0	No	S355	travi secondarie sbalzo; G	0	No	No	No	0.43	
HEB160	C	F1	-1.5	-3.75	-1.5	-2.5	0	No	S355	travi secondarie sbalzo; G	0	No	No	No	0.43	
HEB160	C	F2	22.5	-2.5	22.5	-1.25	0	No	S355	travi secondarie sbalzo; G	0	No	No	No	0.43	
HEB160	C	F2	26.75	-1.25	28	-2.5	0	No	S355	travi secondarie sbalzo; G	0	No	No	No	0.43	
HEB160	C	F2	10.5	-2.5	10.5	-1.25	0	No	S355	travi secondarie sbalzo; G	0	No	No	No	0.43	
HEB160	C	F2	-2.75	-1.25	-4	-2.5	0	No	S355	travi secondarie sbalzo; G	0	No	No	No	0.43	
HEB160	C	F2	13.5	-2.5	13.5	-1.25	0	No	S355	travi secondarie sbalzo; G	0	No	No	No	0.43	
HEB160	C	F2	4.5	-2.5	4.5	-1.25	0	No	S355	travi secondarie sbalzo; G	0	No	No	No	0.43	
HEB160	C	F2	-1.5	-2.5	-1.5	-1.25	0	No	S355	travi secondarie sbalzo; G	0	No	No	No	0.43	
HEB160	C	F2	16.5	-2.5	16.5	-1.25	0	No	S355	travi secondarie sbalzo; G	0	No	No	No	0.43	
HEB160	C	F2	25.5	-2.5	25.5	-1.25	0	No	S355	travi secondarie sbalzo; G	0	No	No	No	0.43	
HEB160	C	F2	7.5	-2.5	7.5	-1.25	0	No	S355	travi secondarie sbalzo; G	0	No	No	No	0.43	
HEB160	C	F2	19.5	-2.5	19.5	-1.25	0	No	S355	travi secondarie sbalzo; G	0	No	No	No	0.43	
HEB160	C	F2	1.5	-2.5	1.5	-1.25	0	No	S355	travi secondarie sbalzo; G	0	No	No	No	0.43	
HEA120	C	F3	4.5	-1.25	7.5	-1.25	0	Si	S355	Nessuno; G	0	No	Svincolo: M2	Svincolo: M2	0.2	
HEA120	C	F3	1.5	-1.25	4.5	-1.25	0	Si	S355	Nessuno; G	0	No	Svincolo: M2	Svincolo: M2	0.2	
HEA120	C	F3	-1.5	-1.25	1.5	-1.25	0	Si	S355	Nessuno; G	0	No	Svincolo: M2	Svincolo: M2	0.2	
HEA120	C	F3	7.5	-1.25	10.5	-1.25	0	Si	S355	Nessuno; G	0	No	Svincolo: M2	Svincolo: M2	0.2	
HEA120	C	F3	10.5	-1.25	13.5	-1.25	0	Si	S355	Nessuno; G	0	No	Svincolo: M2	Svincolo: M2	0.2	

Sezione	P.i.	Fal.	Punto i.		Punto f.		Estr.	Sopraf.	Mat.	Car.lin.	Sovr.	S.Z	C.i.	C.f.	P.lin.	Cal.
			X	Y	X	Y										
Tondo 16	C	F3	19.5	-1.25	16.5	-0.001	0.1	No	S355_E/2 Senza peso	Nessuno; G	0	No	Svincolo: M2, M3	Svincolo: M2, M3	0	
HEA120	C	F3	-2.75	-1.25	-1.5	-1.25	0	Si	S355	Nessuno; G	0	No	Svincolo: M2	Svincolo: M2	0.2	
HEA120	C	F3	16.5	-1.25	19.5	-1.25	0	Si	S355	Nessuno; G	0	No	Svincolo: M2	Svincolo: M2	0.2	
HEA120	C	F3	19.5	-1.25	22.5	-1.25	0	Si	S355	Nessuno; G	0	No	Svincolo: M2	Svincolo: M2	0.2	
HEA120	C	F3	22.5	-1.25	25.5	-1.25	0	Si	S355	Nessuno; G	0	No	Svincolo: M2	Svincolo: M2	0.2	
HEA120	C	F3	25.5	-1.25	26.75	-1.25	0	Si	S355	Nessuno; G	0	No	Svincolo: M2	Svincolo: M2	0.2	
Tondo 16	C	F3	4.5	-1.25	7.5	-0.001	0.1	No	S355_E/2 Senza peso	Nessuno; G	0	No	Svincolo: M2, M3	Svincolo: M2, M3	0	
Tondo 16	C	F3	7.5	-1.25	4.5	-0.001	0.1	No	S355_E/2 Senza peso	Nessuno; G	0	No	Svincolo: M2, M3	Svincolo: M2, M3	0	
Tondo 16	C	F3	16.5	-1.25	19.5	-0.001	0.1	No	S355_E/2 Senza peso	Nessuno; G	0	No	Svincolo: M2, M3	Svincolo: M2, M3	0	
HEA120	C	F3	13.5	-1.25	16.5	-1.25	0	Si	S355	Nessuno; G	0	No	Svincolo: M2	Svincolo: M2	0.2	
Tondo 16	C	F3	13.5	-1.25	10.5	-0.001	0.1	No	S355_E/2 Senza peso	Nessuno; G	0	No	Svincolo: M2, M3	Svincolo: M2, M3	0	
HEB160	C	F3	25.5	-1.25	25.5	0	0	No	S355	travi secondarie sbalzo; G	0	No	No	No	0.43	
HEB160	C	F3	19.5	-1.25	19.5	0	0	No	S355	travi secondarie sbalzo; G	0	No	No	No	0.43	
HEB160	C	F3	25.5	0	26.75	-1.25	0	No	S355	travi secondarie sbalzo; G	0	No	No	No	0.43	
HEB160	C	F3	1.5	-1.25	1.5	0	0	No	S355	travi secondarie sbalzo; G	0	No	No	No	0.43	
HEB160	C	F3	-1.5	-1.25	-1.5	0	0	No	S355	travi secondarie sbalzo; G	0	No	No	No	0.43	
HEB160	C	F3	4.5	-1.25	4.5	0	0	No	S355	travi secondarie sbalzo; G	0	No	No	No	0.43	
HEB160	C	F3	-1.5	0	-2.75	-1.25	0	No	S355	travi secondarie sbalzo; G	0	No	No	No	0.43	
Tondo 16	C	F3	10.5	-1.25	13.5	-0.001	0.1	No	S355_E/2 Senza peso	Nessuno; G	0	No	Svincolo: M2, M3	Svincolo: M2, M3	0	
HEB160	C	F3	22.5	-1.25	22.5	0	0	No	S355	travi secondarie sbalzo; G	0	No	No	No	0.43	
HEB160	C	F3	7.5	-1.25	7.5	0	0	No	S355	travi secondarie sbalzo; G	0	No	No	No	0.43	
HEB160	C	F3	16.5	-1.25	16.5	0	0	No	S355	travi secondarie sbalzo; G	0	No	No	No	0.43	
HEB160	C	F3	13.5	-1.25	13.5	0	0	No	S355	travi secondarie sbalzo; G	0	No	No	No	0.43	
HEB160	C	F3	10.5	-1.25	10.5	0	0	No	S355	travi secondarie sbalzo; G	0	No	No	No	0.43	
HEA120	C	F4	-2.75	1.25	-2.75	0	0	Si	S355	Nessuno; G	0	No	Svincolo: M2	Svincolo: M2	0.2	
HEB160	C	F4	-1.5	0	-2.75	0	0	No	S355	Nessuno; G	0	No	No	No	0.43	
HEA120	C	F4	-2.75	-1.25	-2.75	0	0	Si	S355	Nessuno; G	0	No	Svincolo: M2	Svincolo: M2	0.2	
HEB160	C	F5	-2.75	0	-4	0	0	No	S355	Nessuno; G	0	No	No	No	0.43	
HEB160	C	F6	-4	0	-5.25	0	0	No	S355	Nessuno; G	0	No	No	No	0.43	
HEA120	C	F7	26.75	1.25	26.75	0	0	Si	S355	Nessuno; G	0	No	Svincolo: M2	Svincolo: M2	0.2	
HEA120	C	F7	26.75	-1.25	26.75	0	0	Si	S355	Nessuno; G	0	No	Svincolo: M2	Svincolo: M2	0.2	
HEB160	C	F7	25.5	0	26.75	0	0	No	S355	Nessuno; G	0	No	No	No	0.43	
HEB160	C	F8	26.75	0	28	0	0	No	S355	Nessuno; G	0	No	No	No	0.43	
HEB160	C	F9	28	0	29.25	0	0	No	S355	Nessuno; G	0	No	No	No	0.43	
HEB160	C	F10	13.5	3.75	13.5	2.5	0	No	S355	travi secondarie sbalzo; G	0	No	No	No	0.43	
HEB160	C	F10	19.5	3.75	19.5	2.5	0	No	S355	travi secondarie sbalzo; G	0	No	No	No	0.43	
HEB160	C	F10	10.5	3.75	10.5	2.5	0	No	S355	travi secondarie sbalzo; G	0	No	No	No	0.43	
HEB160	C	F10	22.5	3.75	22.5	2.5	0	No	S355	travi secondarie sbalzo; G	0	No	No	No	0.43	
HEB160	C	F10	7.5	3.75	7.5	2.5	0	No	S355	travi secondarie sbalzo; G	0	No	No	No	0.43	
HEB160	C	F10	25.5	3.75	25.5	2.5	0	No	S355	travi secondarie sbalzo; G	0	No	No	No	0.43	
HEB160	C	F10	16.5	3.75	16.5	2.5	0	No	S355	travi secondarie sbalzo; G	0	No	No	No	0.43	
HEB160	C	F10	4.5	3.75	4.5	2.5	0	No	S355	travi secondarie sbalzo; G	0	No	No	No	0.43	

Sezione	P.i.	Fal.	Punto i.		Punto f.		Estr.	Sopraf.	Mat.	Car.lin.	Sovr.	S.Z	C.i.	C.f.	P.lin.	Cal.
			X	Y	X	Y										
HEB160	C	F10	-4	2.5	-5.25	3.75	0	No	S355	travi secondarie sbalzo; G	0	No	No	No	0.43	
HEB160	C	F10	-1.5	3.75	-1.5	2.5	0	No	S355	travi secondarie sbalzo; G	0	No	No	No	0.43	
HEB160	C	F10	28	2.5	29.25	3.75	0	No	S355	travi secondarie sbalzo; G	0	No	No	No	0.43	
HEB160	C	F10	1.5	3.75	1.5	2.5	0	No	S355	travi secondarie sbalzo; G	0	No	No	No	0.43	
HEB160	C	F11	25.5	2.5	25.5	1.25	0	No	S355	travi secondarie sbalzo; G	0	No	No	No	0.43	
HEB160	C	F11	26.75	1.25	28	2.5	0	No	S355	travi secondarie sbalzo; G	0	No	No	No	0.43	
HEB160	C	F11	22.5	2.5	22.5	1.25	0	No	S355	travi secondarie sbalzo; G	0	No	No	No	0.43	
HEB160	C	F11	19.5	2.5	19.5	1.25	0	No	S355	travi secondarie sbalzo; G	0	No	No	No	0.43	
HEB160	C	F11	-2.75	1.25	-4	2.5	0	No	S355	travi secondarie sbalzo; G	0	No	No	No	0.43	
HEB160	C	F11	16.5	2.5	16.5	1.25	0	No	S355	travi secondarie sbalzo; G	0	No	No	No	0.43	
HEB160	C	F11	7.5	2.5	7.5	1.25	0	No	S355	travi secondarie sbalzo; G	0	No	No	No	0.43	
HEB160	C	F11	1.5	2.5	1.5	1.25	0	No	S355	travi secondarie sbalzo; G	0	No	No	No	0.43	
HEB160	C	F11	13.5	2.5	13.5	1.25	0	No	S355	travi secondarie sbalzo; G	0	No	No	No	0.43	
HEB160	C	F11	-1.5	2.5	-1.5	1.25	0	No	S355	travi secondarie sbalzo; G	0	No	No	No	0.43	
HEB160	C	F11	10.5	2.5	10.5	1.25	0	No	S355	travi secondarie sbalzo; G	0	No	No	No	0.43	
HEB160	C	F11	4.5	2.5	4.5	1.25	0	No	S355	travi secondarie sbalzo; G	0	No	No	No	0.43	
HEA120	C	F12	13.5	1.25	16.5	1.25	0	Si	S355	Nessuno; G	0	No	Svincolo: M2	Svincolo: M2	0.2	
HEA120	C	F12	-2.75	1.25	-1.5	1.25	0	Si	S355	Nessuno; G	0	No	Svincolo: M2	Svincolo: M2	0.2	
HEA120	C	F12	16.5	1.25	19.5	1.25	0	Si	S355	Nessuno; G	0	No	Svincolo: M2	Svincolo: M2	0.2	
Tondo 16	C	F12	7.5	1.25	4.5	0.001	0.1	No	S355_E/2 Senza peso	Nessuno; G	0	No	Svincolo: M2, M3	Svincolo: M2, M3	0	
HEA120	C	F12	10.5	1.25	13.5	1.25	0	Si	S355	Nessuno; G	0	No	Svincolo: M2	Svincolo: M2	0.2	
HEA120	C	F12	25.5	1.25	26.75	1.25	0	Si	S355	Nessuno; G	0	No	Svincolo: M2	Svincolo: M2	0.2	
HEA120	C	F12	22.5	1.25	25.5	1.25	0	Si	S355	Nessuno; G	0	No	Svincolo: M2	Svincolo: M2	0.2	
Tondo 16	C	F12	19.5	1.25	16.5	0.001	0.1	No	S355_E/2 Senza peso	Nessuno; G	0	No	Svincolo: M2, M3	Svincolo: M2, M3	0	
Tondo 16	C	F12	4.5	1.25	7.5	0.001	0.1	No	S355_E/2 Senza peso	Nessuno; G	0	No	Svincolo: M2, M3	Svincolo: M2, M3	0	
Tondo 16	C	F12	16.5	1.25	19.5	0.001	0.1	No	S355_E/2 Senza peso	Nessuno; G	0	No	Svincolo: M2, M3	Svincolo: M2, M3	0	
HEA120	C	F12	19.5	1.25	22.5	1.25	0	Si	S355	Nessuno; G	0	No	Svincolo: M2	Svincolo: M2	0.2	
HEA120	C	F12	7.5	1.25	10.5	1.25	0	Si	S355	Nessuno; G	0	No	Svincolo: M2	Svincolo: M2	0.2	
HEB160	C	F12	22.5	1.25	22.5	0	0	No	S355	travi secondarie sbalzo; G	0	No	No	No	0.43	
HEA120	C	F12	1.5	1.25	4.5	1.25	0	Si	S355	Nessuno; G	0	No	Svincolo: M2	Svincolo: M2	0.2	
HEA120	C	F12	-1.5	1.25	1.5	1.25	0	Si	S355	Nessuno; G	0	No	Svincolo: M2	Svincolo: M2	0.2	
HEB160	C	F12	25.5	0	26.75	1.25	0	No	S355	travi secondarie sbalzo; G	0	No	No	No	0.43	
HEB160	C	F12	-1.5	0	-2.75	1.25	0	No	S355	travi secondarie sbalzo; G	0	No	No	No	0.43	
HEB160	C	F12	25.5	1.25	25.5	0	0	No	S355	travi secondarie sbalzo; G	0	No	No	No	0.43	
Tondo 16	C	F12	10.5	1.25	13.5	0.001	0.1	No	S355_E/2 Senza peso	Nessuno; G	0	No	Svincolo: M2, M3	Svincolo: M2, M3	0	
HEB160	C	F12	19.5	1.25	19.5	0	0	No	S355	travi secondarie sbalzo; G	0	No	No	No	0.43	
HEB160	C	F12	16.5	1.25	16.5	0	0	No	S355	travi secondarie sbalzo; G	0	No	No	No	0.43	
HEB160	C	F12	13.5	1.25	13.5	0	0	No	S355	travi secondarie sbalzo; G	0	No	No	No	0.43	

Sezione	P.i.	Fal.	Punto i.		Punto f.		Estr.	Sopraf.	Mat.	Car.lin.	Sovr.	S.Z	C.i.	C.f.	P.lin.	Cal.
			X	Y	X	Y										
HEB160	C	F12	10.5	1.25	10.5	0	0	No	S355	travi secondarie sbalzo; G	0	No	No	No	0.43	
HEB160	C	F12	7.5	1.25	7.5	0	0	No	S355	travi secondarie sbalzo; G	0	No	No	No	0.43	
HEB160	C	F12	4.5	1.25	4.5	0	0	No	S355	travi secondarie sbalzo; G	0	No	No	No	0.43	
HEB160	C	F12	-1.5	1.25	-1.5	0	0	No	S355	travi secondarie sbalzo; G	0	No	No	No	0.43	
HEB160	C	F12	1.5	1.25	1.5	0	0	No	S355	travi secondarie sbalzo; G	0	No	No	No	0.43	
HEA120	C	F12	4.5	1.25	7.5	1.25	0	Si	S355	Nessuno; G	0	No	Svincolo: M2	Svincolo: M2	0.2	
Tondo 16	C	F12	13.5	1.25	10.5	0.001	0.1	No	S355_E/2 Senza peso	Nessuno; G	0	No	Svincolo: M2, M3	Svincolo: M2, M3	0	

4.5.2.3 Travi in acciaio tra quote

Sezione: sezione in acciaio.

P.i.: posizione dei punti d'inserimento rispetto alla geometria della sezione. S=Sinistra, C=Centro, D=Destra

Quota i.: quota del punto di inserimento iniziale. esprimibile come livello, falda, piano orizzontale alla Z specificata. [m]

Quota f.: quota del punto di inserimento finale. esprimibile come livello, falda, piano orizzontale alla Z specificata. [m]

Punto i.: punto di inserimento iniziale.

X: coordinata X. [m]

Y: coordinata Y. [m]

Punto f.: punto di inserimento finale.

X: coordinata X. [m]

Y: coordinata Y. [m]

Mat.: riferimento ad una definizione di materiale in acciaio.

Car.lin.: riferimento alla definizione di un carico lineare.L: valori del carico espressi nel sistema locale dell'elemento.G: valori del carico espressi nel sistema globale.

Sovr.: aliquota di sovrarresistenza da assicurare in verifica.

S.Z: indica se l'elemento deve essere verificato considerando il sistema verticale.

C.i.: svincolo o cerniera da applicare al relativo estremo dell'asta nel modello.

C.f.: svincolo o cerniera da applicare al relativo estremo dell'asta nel modello.

P.lin.: peso per unità di lunghezza. [kN/m]

Cal.: descrizione sintetica dell'eventuale calastrello della sezione accoppiata o composita.

Sezione	P.i.	Quota i.	Quota f.	Punto i.		Punto f.		Mat.	Car.lin.	Sovr.	S.Z	C.i.	C.f.	P.lin.	Cal.
				X	Y	X	Y								
EN10219 101.6x3	C	L3	L4	-1.5	-0.75	0	0	S355	Nessuno; G	0	No	No	No	0.07	
EN10219 101.6x3	C	L3	L4	10.5	-0.75	9	0	S355	Nessuno; G	0	No	No	No	0.07	
EN10219 101.6x3	C	L3	L4	13.5	-0.75	15	0	S355	Nessuno; G	0	No	No	No	0.07	
EN10219 101.6x3	C	L3	L4	13.5	0.75	15	0	S355	Nessuno; G	0	No	No	No	0.07	
EN10219 60.3x3	C	L3	L4	16.5	0.75	15	0	S355	Nessuno; G	0	No	No	No	0.04	
EN10219 60.3x3	C	L3	L4	16.5	-0.75	15	0	S355	Nessuno; G	0	No	No	No	0.04	
EN10219 60.3x3	C	L3	L4	16.5	-0.75	18	0	S355	Nessuno; G	0	No	No	No	0.04	
EN10219 60.3x3	C	L3	L4	16.5	0.75	18	0	S355	Nessuno; G	0	No	No	No	0.04	
EN10219 60.3x3	C	L3	L4	19.5	0.75	18	0	S355	Nessuno; G	0	No	No	No	0.04	
EN10219 60.3x3	C	L3	L4	19.5	-0.75	18	0	S355	Nessuno; G	0	No	No	No	0.04	
EN10219 60.3x3	C	L3	L4	19.5	-0.75	21	0	S355	Nessuno; G	0	No	No	No	0.04	
EN10219 60.3x3	C	L3	L4	19.5	0.75	21	0	S355	Nessuno; G	0	No	No	No	0.04	
EN10219 101.6x3	C	L3	L4	22.5	0.75	21	0	S355	Nessuno; G	0	No	No	No	0.07	
EN10219 101.6x3	C	L3	L4	22.5	-0.75	21	0	S355	Nessuno; G	0	No	No	No	0.07	
EN10219 60.3x3	C	L3	L4	-1.5	-0.75	-1.5	0	S355	Nessuno; G	0	No	No	No	0.04	
EN10219 60.3x3	C	L3	L4	-1.5	0.75	-1.5	0	S355	Nessuno; G	0	No	No	No	0.04	
EN10219 60.3x3	C	L3	L4	25.5	-0.75	25.5	0	S355	Nessuno; G	0	No	No	No	0.04	
EN10219 60.3x3	C	L3	L4	25.5	0.75	25.5	0	S355	Nessuno; G	0	No	No	No	0.04	
EN10219 60.3x3	C	L3	L4	7.5	0.75	9	0	S355	Nessuno; G	0	No	No	No	0.04	
EN10219 60.3x3	C	L3	L4	7.5	-0.75	9	0	S355	Nessuno; G	0	No	No	No	0.04	
EN10219 101.6x3	C	L3	L4	10.5	0.75	9	0	S355	Nessuno; G	0	No	No	No	0.07	
EN10219 60.3x3	C	L3	L4	7.5	0.75	6	0	S355	Nessuno; G	0	No	No	No	0.04	
EN10219 101.6x3	C	L3	L4	-1.5	0.75	0	0	S355	Nessuno; G	0	No	No	No	0.07	
EN10219 101.6x3	C	L3	L4	1.5	0.75	0	0	S355	Nessuno; G	0	No	No	No	0.07	
EN10219 101.6x3	C	L3	L4	1.5	-0.75	0	0	S355	Nessuno; G	0	No	No	No	0.07	
EN10219 101.6x3	C	L3	L4	10.5	-0.75	12	0	S355	Nessuno; G	0	No	No	No	0.07	

Sezione	P.i.	Quota i.	Quota f.	Punto i.		Punto f.		Mat.	Car.lin.	Sovr.	S.Z	C.i.	C.f.	P.lin.	Cal.
				X	Y	X	Y								
EN10219 101.6x3	C	L3	L4	10.5	0.75	12	0	S355	Nessuno; G	0	No	No	No	0.07	
EN10219 101.6x3	C	L3	L4	13.5	0.75	12	0	S355	Nessuno; G	0	No	No	No	0.07	
EN10219 60.3x3	C	L3	L4	7.5	-0.75	6	0	S355	Nessuno; G	0	No	No	No	0.04	
EN10219 101.6x3	C	L3	L4	22.5	-0.75	24	0	S355	Nessuno; G	0	No	No	No	0.07	
EN10219 101.6x3	C	L3	L4	22.5	0.75	24	0	S355	Nessuno; G	0	No	No	No	0.07	
EN10219 101.6x3	C	L3	L4	13.5	-0.75	12	0	S355	Nessuno; G	0	No	No	No	0.07	
EN10219 101.6x3	C	L3	L4	25.5	-0.75	24	0	S355	Nessuno; G	0	No	No	No	0.07	
EN10219 101.6x3	C	L3	L4	1.5	-0.75	3	0	S355	Nessuno; G	0	No	No	No	0.07	
EN10219 101.6x3	C	L3	L4	1.5	0.75	3	0	S355	Nessuno; G	0	No	No	No	0.07	
EN10219 60.3x3	C	L3	L4	4.5	0.75	3	0	S355	Nessuno; G	0	No	No	No	0.04	
EN10219 60.3x3	C	L3	L4	4.5	-0.75	3	0	S355	Nessuno; G	0	No	No	No	0.04	
EN10219 60.3x3	C	L3	L4	4.5	-0.75	6	0	S355	Nessuno; G	0	No	No	No	0.04	
EN10219 60.3x3	C	L3	L4	4.5	0.75	6	0	S355	Nessuno; G	0	No	No	No	0.04	
EN10219 101.6x3	C	L3	L4	25.5	0.75	24	0	S355	Nessuno; G	0	No	No	No	0.07	
TONDO 24	C	L4	F9	25.5	-0.003	29.25	3.747	S355	Nessuno; G	0	No	Svincolo: M2, M3	Svincolo: M2, M3	0.04	
TONDO 24	C	L4	F9	25.5	0	29.25	-3.75	S355	Nessuno; G	0	No	Svincolo: M2, M3	Svincolo: M2, M3	0.04	
TONDO 24	C	L4	F9	25.5	0	29.25	0	S355	Nessuno; G	0	No	Svincolo: M2, M3	Svincolo: M2, M3	0.04	
TONDO 24	C	L4	F6	-1.5	0	-5.25	0	S355	Nessuno; G	0	No	Svincolo: M2, M3	Svincolo: M2, M3	0.04	
TONDO 24	C	L4	F6	-1.5	0	-5.25	-3.75	S355	Nessuno; G	0	No	Svincolo: M2, M3	Svincolo: M2, M3	0.04	
TONDO 24	C	L4	F6	-1.5	0	-5.25	3.75	S355	Nessuno; G	0	No	Svincolo: M2, M3	Svincolo: M2, M3	0.04	

4.5.3 Colonne in acciaio

Tr.: riferimento al tronco indicante la quota inferiore e superiore.

Sezione: sezione in acciaio.

P.i.: posizione del punto di inserimento rispetto alla geometria della sezione. SS=Sinistra-sotto, SC=Sinistra-centro, SA=Sinistra-alto, CS=Centro-sotto, CC=Centro-centro, CA=Centro-alto, DS=Destra-sotto, DC=Destra-centro, DA=Destra-alto

Punto: posizione del punto di inserimento rispetto alla geometria della sezione.

X: coordinata X. [m]

Y: coordinata Y. [m]

Ang.: angolo misurato dal semiasse positivo delle ascisse in verso antiorario. [deg]

Mat.: riferimento ad una definizione di materiale in acciaio.

Car.lin.: riferimento alla definizione di un carico lineare.L: valori del carico espressi nel sistema locale dell'elemento.G: valori del carico espressi nel sistema globale.

Sovr.: aliquota di sovrarresistenza da assicurare in verifica.

S.Z: indica se l'elemento deve essere verificato considerando il sisma verticale.

C.i.: svincolo o cerniera da applicare al relativo estremo dell'asta nel modello.

C.f.: svincolo o cerniera da applicare al relativo estremo dell'asta nel modello.

Cal.: descrizione sintetica dell'eventuale calastrello della sezione accoppiata o composita.

Tr.	Sezione	P.i.	Punto		Ang.	Mat.	Car.lin.	Sovr.	S.Z	C.i.	C.f.	Cal.
			X	Y								
T1	HEB320	CC	0	0	0	S355	colonne; G	0	No	No	No	
T5	TONDO 26	CC	19.5	0.747	180	Classe 8.8	Nessuno; G	0	No	Svincolo: M1 (Mt), M2, M3	Svincolo: M2, M3	
T5	TONDO 26	CC	16.5	0.748	180	Classe 8.8	Nessuno; G	0	No	Svincolo: M1 (Mt), M2, M3	Svincolo: M2, M3	
T5	TONDO 26	CC	13.5	0.748	180	Classe 8.8	Nessuno; G	0	No	Svincolo: M1 (Mt), M2, M3	Svincolo: M2, M3	
T5	TONDO 26	CC	10.5	0.749	180	Classe 8.8	Nessuno; G	0	No	Svincolo: M1 (Mt), M2, M3	Svincolo: M2, M3	
T5	TONDO 26	CC	7.5	0.749	180	Classe 8.8	Nessuno; G	0	No	Svincolo: M1 (Mt), M2, M3	Svincolo: M2, M3	
T5	TONDO 26	CC	4.5	0.75	180	Classe 8.8	Nessuno; G	0	No	Svincolo: M1 (Mt), M2, M3	Svincolo: M2, M3	
T5	TONDO 26	CC	1.5	0.75	180	Classe 8.8	Nessuno; G	0	No	Svincolo: M1 (Mt), M2, M3	Svincolo: M2, M3	
T5	TONDO 26	CC	-1.5	0.75	180	Classe 8.8	Nessuno; G	0	No	Svincolo: M1 (Mt), M2, M3	Svincolo: M2, M3	
T4	TONDO 26	CC	25.5	-0.75	0	Classe 8.8	Nessuno; G	0	No	Svincolo: M1 (Mt), M2, M3	Svincolo: M2, M3	
T5	TONDO 26	CC	22.5	0.747	180	Classe 8.8	Nessuno; G	0	No	Svincolo: M1 (Mt), M2, M3	Svincolo: M2, M3	
T4	TONDO 26	CC	22.5	-0.75	0	Classe 8.8	Nessuno; G	0	No	Svincolo: M1 (Mt), M2, M3	Svincolo: M2, M3	

Tr.	Sezione	P.i.	Punto		Ang.	Mat.	Car.lin.	Sovr.	S.Z.	C.I.	C.f.	Cal.
			X	Y								
T4	TONDO 26	CC	16.5	-0.75	0	Classe 8.8	Nessuno; G	0	No	Svincolo: M1 (Mt), M2, M3	Svincolo: M2, M3	
T4	TONDO 26	CC	13.5	-0.75	0	Classe 8.8	Nessuno; G	0	No	Svincolo: M1 (Mt), M2, M3	Svincolo: M2, M3	
T4	TONDO 26	CC	10.5	-0.75	0	Classe 8.8	Nessuno; G	0	No	Svincolo: M1 (Mt), M2, M3	Svincolo: M2, M3	
T4	TONDO 26	CC	7.5	-0.75	0	Classe 8.8	Nessuno; G	0	No	Svincolo: M1 (Mt), M2, M3	Svincolo: M2, M3	
T4	TONDO 26	CC	4.5	-0.75	0	Classe 8.8	Nessuno; G	0	No	Svincolo: M1 (Mt), M2, M3	Svincolo: M2, M3	
T4	TONDO 26	CC	1.5	-0.75	0	Classe 8.8	Nessuno; G	0	No	Svincolo: M1 (Mt), M2, M3	Svincolo: M2, M3	
T4	TONDO 26	CC	-1.5	-0.75	0	Classe 8.8	Nessuno; G	0	No	Svincolo: M1 (Mt), M2, M3	Svincolo: M2, M3	
T1	HEB320	CC	24	0	0	S355	colonne; G	0	No	No	No	
T1	HEB320	CC	12	0	0	S355	colonne; G	0	No	No	No	
T4	TONDO 26	CC	19.5	-0.75	0	Classe 8.8	Nessuno; G	0	No	Svincolo: M1 (Mt), M2, M3	Svincolo: M2, M3	
T5	TONDO 26	CC	25.5	0.747	180	Classe 8.8	Nessuno; G	0	No	Svincolo: M1 (Mt), M2, M3	Svincolo: M2, M3	

4.5.4 Plinti superficiali

4.5.4.1 Fondazioni di plinti superficiali

Descrizione breve: descrizione breve usata nelle tabelle dei capitoli di plinti superficiali.

Stratigrafia: stratigrafia del terreno nel punto medio in pianta dell'elemento.

Sondaggio: è possibile indicare esplicitamente un sondaggio definito nelle preferenze oppure richiedere di estrapolare il sondaggio dalla definizione del sito espressa nelle preferenze.

Estradosso: distanza dalla quota superiore del sondaggio misurata in verticale con verso positivo verso l'alto. [m]

Deformazione volumetrica: valore della deformazione volumetrica impiegato nel calcolo della pressione limite a rottura con la formula di Vesic. Il valore è adimensionale. Accetta anche il valore di default espresso nelle preferenze.

Angolo pendio: angolo del pendio rispetto l'orizzontale; il valore deve essere positivo per opere in sommità di un pendio mentre deve essere negativo per opere al piede di un pendio. [deg]

K verticale: coefficiente di sottofondo verticale del letto di molle. [kN/m³]

Limite compressione: pressione limite di plasticizzazione a compressione del letto di molle. [kN/m²]

Limite trazione: pressione limite di plasticizzazione a trazione del letto di molle. [kN/m²]

Descrizione breve	Stratigrafia			Angolo pendio	K verticale	Limite compressione	Limite trazione
	Sondaggio	Estradosso	Deformazione volumetrica				
FP1	Piu' vicino in sito	0		0	Default (30000)	Default (1000)	Default (0.1)

4.5.4.2 Plinti superficiali di piano

Plinto: riferimento ad una definizione di plinto superficiale.

Liv.: quota di inserimento espressa con notazione breve esprimibile come livello, falda, piano orizzontale alla Z specificata. [m]

Punto: punto di inserimento.

X: coordinata X. [m]

Y: coordinata Y. [m]

Estr.: distanza dalla quota di inserimento misurata in direzione ortogonale al piano della quota e con verso positivo verso l'alto. [m]

Ang.: angolo misurato dal semiasse positivo delle ascisse in verso antiorario. [deg]

Mat.: riferimento ad una definizione di calcestruzzo.

Fond.: riferimento alla fondazione sottostante l'elemento.

Plinto	Liv.	Punto		Estr.	Ang.	Mat.	Fond.
		X	Y				
Rettangolare 100x100x100	L1	0	0	0	0	C25/30	FP1
Rettangolare 100x100x100	L1	12	0	0	0	C25/30	FP1
Rettangolare 100x100x100	L1	24	0	0	0	C25/30	FP1

4.5.5 Carichi superficiali

4.5.5.1 Carichi superficiali di falda

Carico: riferimento alla definizione di un carico di superficie.

Solaio: caratteristiche dell'eventuale solaio in latero-cemento.

Falda: quota di inserimento espressa con notazione breve esprimibile come livello, falda, piano orizzontale alla Z specificata. [m]

Punti: punti di definizione in pianta.

Indice: indice del punto corrente nell'insieme dei punti di definizione dell'elemento.

X: coordinata X. [m]

Y: coordinata Y. [m]

Estr.: distanza dalla quota di inserimento misurata in direzione ortogonale al piano della quota e con verso positivo verso l'alto. [m]

Angolo: direzione delle nervature che trasmettono il carico. Angolo misurato dal semiasse positivo delle ascisse in verso antiorario. [deg]

Comp.: descrizione sintetica del comportamento del carico superficiale o, nel caso di comportamento membranale, riferimento alla descrizione analitica della membrana.

Fori: riferimenti a tutti gli elementi che forano il carico superficiale.

Carico	Solaio	Falda	Punti			Estr.	Angolo	Comp.	Fori
			Indice	X	Y				
Copertura - convogli		F1	1	-1.5	-3.75	-0.05	0	Nessuno	
			2	1.5	-3.75				
			3	1.5	-2.5				
Copertura + convogli		F1	1	25.5	-3.75	-0.05	0	Nessuno	
			2	29.25	-3.75				
			3	28	-2.5				
Copertura + convogli		F1	1	1.5	-3.75	-0.05	0	Nessuno	
			2	4.5	-3.75				
			3	4.5	-2.5				
Copertura - convogli		F1	1	-1.5	-2.5	-0.05	180	Nessuno	
			2	-4	-2.5				
			3	-5.25	-3.75				
Copertura + convogli		F1	1	4.5	-3.75	-0.05	0	Nessuno	
			2	7.5	-3.75				
			3	7.5	-2.5				
Copertura + convogli		F1	1	22.5	-3.75	-0.05	0	Nessuno	
			2	25.5	-3.75				
			3	25.5	-2.5				
Copertura		F1	1	7.5	-3.75	-0.05	0	Nessuno	
			2	10.5	-3.75				
			3	10.5	-2.5				
Copertura - convogli		F1	1	19.5	-3.75	-0.05	0	Nessuno	
			2	22.5	-3.75				
			3	22.5	-2.5				
Copertura		F1	1	10.5	-3.75	-0.05	0	Nessuno	
			2	13.5	-3.75				
			3	13.5	-2.5				
Copertura - convogli		F1	1	16.5	-3.75	-0.05	0	Nessuno	
			2	19.5	-3.75				
			3	19.5	-2.5				
Copertura		F1	1	13.5	-3.75	-0.05	0	Nessuno	
			2	16.5	-3.75				
			3	16.5	-2.5				
Copertura + convogli		F2	1	25.5	-2.5	-0.05	0	Nessuno	
			2	28	-2.5				
			3	26.75	-1.25				
Copertura - convogli		F2	1	-1.5	-1.25	-0.05	180	Nessuno	
			2	-2.75	-1.25				
			3	-4	-2.5				
Copertura + convogli		F2	1	22.5	-2.5	-0.05	0	Nessuno	
			2	25.5	-2.5				
			3	25.5	-1.25				
Copertura - convogli		F2	1	19.5	-2.5	-0.05	0	Nessuno	
			2	22.5	-2.5				
			3	22.5	-1.25				
Copertura		F2	1	13.5	-2.5	-0.05	0	Nessuno	
			2	16.5	-2.5				
			3	16.5	-1.25				
Copertura - convogli		F2	1	16.5	-2.5	-0.05	0	Nessuno	
			2	19.5	-2.5				
			3	19.5	-1.25				
Copertura		F2	1	10.5	-2.5	-0.05	0	Nessuno	
			2	13.5	-2.5				
			3	13.5	-1.25				
Copertura - convogli		F2	1	-1.5	-2.5	-0.05	0	Nessuno	
			2	1.5	-2.5				
			3	1.5	-1.25				
Copertura		F2	1	7.5	-2.5	-0.05	0	Nessuno	
			2	10.5	-2.5				
			3	10.5	-1.25				
Copertura + convogli		F2	1	1.5	-2.5	-0.05	0	Nessuno	
			2	4.5	-2.5				
			3	4.5	-1.25				
Copertura + convogli		F2	1	4.5	-2.5	-0.05	0	Nessuno	
			2	7.5	-2.5				
			3	7.5	-1.25				

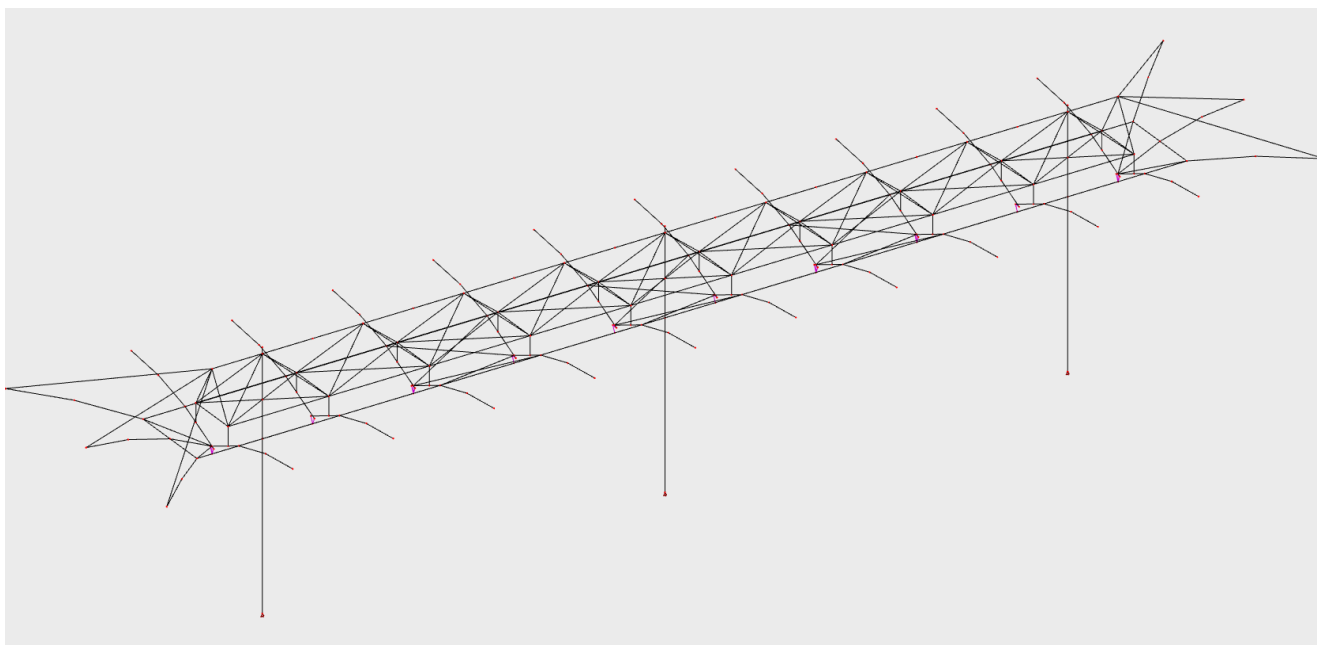
Carico	Solaio	Falda	Punti			Estr.	Angolo	Comp.	Fori
			Indice	X	Y				
			2	7.5	-2.5				
			3	7.5	-1.25				
			4	4.5	-1.25				
Copertura		F3	1	13.5	-1.25	-0.05	0	Nessuno	
			2	16.5	-1.25				
			3	16.5	0				
			4	13.5	0				
Copertura + convogli		F3	1	25.5	-1.25	-0.05	0	Nessuno	
			2	26.748	-1.25				
			3	25.647	-0.147				
			4	25.5	0				
Copertura - convogli		F3	1	-1.5	-1.25	-0.05	0	Nessuno	
			2	1.5	-1.25				
			3	1.5	0				
			4	-1.5	0				
Copertura - convogli		F3	1	-1.5	0	-0.05	180	Nessuno	
			2	-1.647	-0.147				
			3	-2.748	-1.25				
			4	-1.5	-1.25				
Copertura		F3	1	10.5	-1.25	-0.05	0	Nessuno	
			2	13.5	-1.25				
			3	13.5	0				
			4	10.5	0				
Copertura + convogli		F3	1	1.5	-1.25	-0.05	0	Nessuno	
			2	4.5	-1.25				
			3	4.5	0				
			4	1.5	0				
Copertura + convogli		F3	1	4.5	-1.25	-0.05	0	Nessuno	
			2	7.5	-1.25				
			3	7.5	0				
			4	4.5	0				
Copertura - convogli		F3	1	19.5	-1.25	-0.05	0	Nessuno	
			2	22.5	-1.25				
			3	22.5	0				
			4	19.5	0				
Copertura		F3	1	7.5	-1.25	-0.05	0	Nessuno	
			2	10.5	-1.25				
			3	10.5	0				
			4	7.5	0				
Copertura - convogli		F3	1	16.5	-1.25	-0.05	0	Nessuno	
			2	19.5	-1.25				
			3	19.5	0				
			4	16.5	0				
Copertura + convogli		F3	1	22.5	-1.25	-0.05	0	Nessuno	
			2	25.5	-1.25				
			3	25.5	0				
			4	22.5	0				
Copertura - convogli		F4	1	-2.75	0	0	270	Nessuno	
			2	-2.75	-1.25				
			3	-1.5	0				
Copertura - convogli		F4	1	-1.5	0	0	90	Nessuno	
			2	-2.75	1.25				
			3	-2.75	0				
Copertura - convogli		F5	1	-4	0	-0.05	270	Nessuno	
			2	-4	-2.5				
			3	-2.75	-1.25				
			4	-2.75	0				
Copertura - convogli		F5	1	-2.75	0	-0.05	90	Nessuno	
			2	-2.75	1.25				
			3	-4	2.5				
			4	-4	0				
Copertura - convogli		F6	1	-5.25	0	-0.05	270	Nessuno	
			2	-5.25	-3.75				
			3	-4	-2.5				
			4	-4	0				
Copertura - convogli		F6	1	-4	0	-0.05	90	Nessuno	
			2	-4	2.5				
			3	-5.25	3.75				
			4	-5.25	0				
Copertura + convogli		F7	1	26.75	0	0	90	Nessuno	
			2	26.75	1.25				
			3	25.5	0				
Copertura + convogli		F7	1	25.5	0	0	270	Nessuno	
			2	26.75	-1.25				
			3	26.75	0				
Copertura + convogli		F8	1	26.75	0	-0.05	270	Nessuno	
			2	26.75	-1.25				
			3	28	-2.5				
			4	28	0				
Copertura + convogli		F8	1	28	0	-0.05	90	Nessuno	
			2	28	2.5				
			3	26.75	1.25				
			4	26.75	0				

Carico	Solaio	Falda	Punti			Estr.	Angolo	Comp.	Fori
			Indice	X	Y				
Copertura + convogli		F9	1	28	0	-0.05	270	Nessuno	
			2	28	-2.5				
			3	29.25	-3.75				
			4	29.25	0				
Copertura + convogli		F9	1	29.25	0	-0.05	90	Nessuno	
			2	29.25	3.75				
			3	28	2.5				
			4	28	0				
Copertura + convogli		F10	1	1.5	2.5	-0.05	0	Nessuno	
			2	4.5	2.5				
			3	4.5	3.75				
			4	1.5	3.75				
Copertura + convogli		F10	1	25.5	2.5	-0.05	0	Nessuno	
			2	28	2.5				
			3	29.25	3.75				
			4	25.5	3.75				
Copertura - convogli		F10	1	-1.5	2.5	-0.05	0	Nessuno	
			2	1.5	2.5				
			3	1.5	3.75				
			4	-1.5	3.75				
Copertura - convogli		F10	1	-1.5	3.75	-0.05	180	Nessuno	
			2	-5.25	3.75				
			3	-4	2.5				
			4	-1.5	2.5				
Copertura + convogli		F10	1	22.5	2.5	-0.05	0	Nessuno	
			2	25.5	2.5				
			3	25.5	3.75				
			4	22.5	3.75				
Copertura - convogli		F10	1	16.5	2.5	-0.05	0	Nessuno	
			2	19.5	2.5				
			3	19.5	3.75				
			4	16.5	3.75				
Copertura		F10	1	13.5	2.5	-0.05	0	Nessuno	
			2	16.5	2.5				
			3	16.5	3.75				
			4	13.5	3.75				
Copertura - convogli		F10	1	19.5	2.5	-0.05	0	Nessuno	
			2	22.5	2.5				
			3	22.5	3.75				
			4	19.5	3.75				
Copertura + convogli		F10	1	4.5	2.5	-0.05	0	Nessuno	
			2	7.5	2.5				
			3	7.5	3.75				
			4	4.5	3.75				
Copertura		F10	1	7.5	2.5	-0.05	0	Nessuno	
			2	10.5	2.5				
			3	10.5	3.75				
			4	7.5	3.75				
Copertura		F10	1	10.5	2.5	-0.05	0	Nessuno	
			2	13.5	2.5				
			3	13.5	3.75				
			4	10.5	3.75				
Copertura		F11	1	13.5	1.25	-0.05	0	Nessuno	
			2	16.5	1.25				
			3	16.5	2.5				
			4	13.5	2.5				
Copertura + convogli		F11	1	1.5	1.25	-0.05	0	Nessuno	
			2	4.5	1.25				
			3	4.5	2.5				
			4	1.5	2.5				
Copertura + convogli		F11	1	4.5	1.25	-0.05	0	Nessuno	
			2	7.5	1.25				
			3	7.5	2.5				
			4	4.5	2.5				
Copertura + convogli		F11	1	25.5	1.25	-0.05	0	Nessuno	
			2	26.75	1.25				
			3	28	2.5				
			4	25.5	2.5				
Copertura		F11	1	7.5	1.25	-0.05	0	Nessuno	
			2	10.5	1.25				
			3	10.5	2.5				
			4	7.5	2.5				
Copertura + convogli		F11	1	22.5	1.25	-0.05	0	Nessuno	
			2	25.5	1.25				
			3	25.5	2.5				
			4	22.5	2.5				
Copertura - convogli		F11	1	-1.5	2.5	-0.05	180	Nessuno	
			2	-4	2.5				
			3	-2.75	1.25				
			4	-1.5	1.25				
Copertura - convogli		F11	1	19.5	1.25	-0.05	0	Nessuno	
			2	22.5	1.25				
			3	22.5	2.5				
			4	19.5	2.5				

Carico	Solaio	Falda	Punti			Estr.	Angolo	Comp.	Fori
			Indice	X	Y				
Copertura - convogli		F11	1	16.5	1.25	-0.05	0	Nessuno	
			2	19.5	1.25				
			3	19.5	2.5				
			4	16.5	2.5				
Copertura		F11	1	10.5	1.25	-0.05	0	Nessuno	
			2	13.5	1.25				
			3	13.5	2.5				
			4	10.5	2.5				
Copertura - convogli		F11	1	-1.5	1.25	-0.05	0	Nessuno	
			2	1.5	1.25				
			3	1.5	2.5				
			4	-1.5	2.5				
Copertura + convogli		F12	1	22.5	0	-0.05	0	Nessuno	
			2	25.5	0				
			3	25.5	1.25				
			4	22.5	1.25				
Copertura		F12	1	7.5	0	-0.05	0	Nessuno	
			2	10.5	0				
			3	10.5	1.25				
			4	7.5	1.25				
Copertura		F12	1	10.5	0	-0.05	0	Nessuno	
			2	13.5	0				
			3	13.5	1.25				
			4	10.5	1.25				
Copertura - convogli		F12	1	-1.5	1.25	-0.05	180	Nessuno	
			2	-2.748	1.25				
			3	-1.647	0.147				
			4	-1.5	0				
Copertura - convogli		F12	1	-1.5	0	-0.05	0	Nessuno	
			2	1.5	0				
			3	1.5	1.25				
			4	-1.5	1.25				
Copertura + convogli		F12	1	4.5	0	-0.05	0	Nessuno	
			2	7.5	0				
			3	7.5	1.25				
			4	4.5	1.25				
Copertura - convogli		F12	1	16.5	0	-0.05	0	Nessuno	
			2	19.5	0				
			3	19.5	1.25				
			4	16.5	1.25				
Copertura + convogli		F12	1	25.5	0	-0.05	0	Nessuno	
			2	25.647	0.147				
			3	26.748	1.25				
			4	25.5	1.25				
Copertura + convogli		F12	1	1.5	0	-0.05	0	Nessuno	
			2	4.5	0				
			3	4.5	1.25				
			4	1.5	1.25				
Copertura		F12	1	13.5	0	-0.05	0	Nessuno	
			2	16.5	0				
			3	16.5	1.25				
			4	13.5	1.25				
Copertura - convogli		F12	1	19.5	0	-0.05	0	Nessuno	
			2	22.5	0				
			3	22.5	1.25				
			4	19.5	1.25				

ALL 2 - Definizione modello

1 Rappresentazione del modello



Vista assometrica del modello ad elementi finiti.

2.3 Aste

2.3.1 Carichi su aste

2.3.1.1 Carichi trapezoidali locali

Indice asta: indice dell'asta a cui si riferisce il carico trapezoidale.

Condizione: condizione elementare di carico a cui si riferisce il carico.

Posizione iniziale: posizione iniziale del carico sull'asse locale 1. [m]

F1 iniziale: componente del valore iniziale del carico lungo l'asse locale 1. [kN/m]

F2 iniziale: componente del valore iniziale del carico lungo l'asse locale 2. [kN/m]

F3 iniziale: componente del valore iniziale del carico lungo l'asse locale 3. [kN/m]

Posizione finale: posizione finale del carico sull'asse locale 1. [m]

F1 finale: componente del valore finale del carico lungo l'asse locale 1. [kN/m]

F2 finale: componente del valore finale del carico lungo l'asse locale 2. [kN/m]

F3 finale: componente del valore finale del carico lungo l'asse locale 3. [kN/m]

Indice asta	Condizione	Posizione iniziale	F1 iniziale	F2 iniziale	F3 iniziale	Posizione finale	F1 finale	F2 finale	F3 finale
1	Vento X (+Z)	0	0	0	-0.8	4.94	0	0	-0.8
1	Vento Y (+Z)	0	0	1.81	0	4.94	0	1.81	0
1	Passaggio convogli	0	0	0.4	0	4.94	0	0.4	0
2	Vento X (+Z)	0	0	0	-0.8	1.11	0	0	-0.8
2	Vento Y (+Z)	0	0	1.81	0	1.11	0	1.81	0
2	Passaggio convogli	0	0	0.4	0	1.11	0	0.4	0
3	Vento X (+Z)	0	0	0	-0.8	1.299	0	0	-0.8
3	Vento Y (+Z)	0	0	1.81	0	1.299	0	1.81	0
3	Passaggio convogli	0	0	0.4	0	1.299	0	0.4	0
4	Vento X (+Z)	0	0	0	-0.8	0.181	0	0	-0.8
4	Vento Y (+Z)	0	0	1.81	0	0.181	0	1.81	0
4	Passaggio convogli	0	0	0.4	0	0.181	0	0.4	0
5	Vento X (+Z)	0	0	0	-0.8	4.94	0	0	-0.8
5	Vento Y (+Z)	0	0	1.81	0	4.94	0	1.81	0
5	Passaggio convogli	0	0	0.4	0	4.94	0	0.4	0
6	Vento X (+Z)	0	0	0	-0.8	1.11	0	0	-0.8
6	Vento Y (+Z)	0	0	1.81	0	1.11	0	1.81	0
6	Passaggio convogli	0	0	0.4	0	1.11	0	0.4	0
7	Vento X (+Z)	0	0	0	-0.8	1.299	0	0	-0.8
7	Vento Y (+Z)	0	0	1.81	0	1.299	0	1.81	0
7	Passaggio convogli	0	0	0.4	0	1.299	0	0.4	0
8	Vento X (+Z)	0	0	0	-0.8	0.181	0	0	-0.8
8	Vento Y (+Z)	0	0	1.81	0	0.181	0	1.81	0
8	Passaggio convogli	0	0	0.4	0	0.181	0	0.4	0
9	Vento X (+Z)	0	0	0	-0.8	4.94	0	0	-0.8
9	Vento Y (+Z)	0	0	1.81	0	4.94	0	1.81	0
9	Passaggio convogli	0	0	0.4	0	4.94	0	0.4	0
10	Vento X (+Z)	0	0	0	-0.8	1.11	0	0	-0.8
10	Vento Y (+Z)	0	0	1.81	0	1.11	0	1.81	0
10	Passaggio convogli	0	0	0.4	0	1.11	0	0.4	0
11	Vento X (+Z)	0	0	0	-0.8	1.299	0	0	-0.8
11	Vento Y (+Z)	0	0	1.81	0	1.299	0	1.81	0
11	Passaggio convogli	0	0	0.4	0	1.299	0	0.4	0
12	Vento X (+Z)	0	0	0	-0.8	0.181	0	0	-0.8
12	Vento Y (+Z)	0	0	1.81	0	0.181	0	1.81	0
12	Passaggio convogli	0	0	0.4	0	0.181	0	0.4	0
123	Permanenti portati	0.005	0.469	-4.475	0	1.257	0.469	-4.475	0
123	Neve	0.005	0.15	-1.432	0	1.257	0.15	-1.432	0
123	Vento X (+Z)	0.005	-0.569	5.43	0	1.257	-0.569	5.43	0
123	Vento Y (+Z)	0.005	-0.569	5.43	0	1.257	-0.569	5.43	0
123	Passaggio convogli	0.005	0	0	0	1.257	0	0	0
123	Vento Y (-Z)	0.005	0.381	-3.64	0	1.257	0.381	-3.64	0
123	Vento Y (+Z)	0	0.209	0.022	0	1.257	0.209	0.022	0
123	Vento Y (-Z)	0	0.209	0.022	0	1.257	0.209	0.022	0
124	Permanenti portati	0.013	1.162	-4.347	0	1.294	1.162	-4.347	0
124	Neve	0.013	0.372	-1.391	0	1.294	0.372	-1.391	0
124	Vento X (+Z)	0.013	-1.409	5.275	0	1.294	-1.409	5.275	0
124	Vento Y (+Z)	0.013	-1.409	5.275	0	1.294	-1.409	5.275	0
124	Passaggio convogli	0.013	0	0	0	1.294	0	0	0
124	Vento Y (-Z)	0.013	0.945	-3.536	0	1.294	0.945	-3.536	0
124	Vento Y (+Z)	0	0.203	0.054	0	1.294	0.203	0.054	0
124	Vento Y (-Z)	0	0.203	0.054	0	1.294	0.203	0.054	0
125	Permanenti portati	0.023	1.856	-4.099	0	0.549	1.856	-4.099	0
125	Neve	0.023	0.594	-1.312	0	0.549	0.594	-1.312	0
125	Vento X (+Z)	0.023	-2.252	4.974	0	0.549	-2.252	4.974	0
125	Vento Y (+Z)	0.023	-2.252	4.974	0	0.549	-2.252	4.974	0
125	Vento Y (-Z)	0.023	1.51	-3.334	0	0.549	1.51	-3.334	0
126	Permanenti portati	0	1.856	-4.099	0	0.846	1.856	-4.099	0
126	Neve	0	0.594	-1.312	0	0.846	0.594	-1.312	0
126	Vento X (+Z)	0	-2.252	4.974	0	0.846	-2.252	4.974	0
126	Vento Y (+Z)	0	-2.252	4.974	0	0.846	-2.252	4.974	0
126	Vento Y (-Z)	0	1.51	-3.334	0	0.846	1.51	-3.334	0
125	Vento Y (+Z)	0	0.191	0.087	0	0.549	0.191	0.087	0
125	Vento Y (-Z)	0	0.191	0.087	0	0.549	0.191	0.087	0
126	Vento Y (+Z)	0	0.191	0.087	0	0.913	0.191	0.087	0
126	Vento Y (-Z)	0	0.191	0.087	0	0.913	0.191	0.087	0
127	Permanenti portati	0.013	1.065	-3.985	0	1.294	1.065	-3.985	0
127	Neve	0.013	0.341	-1.275	0	1.294	0.341	-1.275	0
127	Vento X (+Z)	0.013	-1.292	4.835	0	1.294	-1.292	4.835	0
127	Vento Y (+Z)	0.013	-1.292	4.835	0	1.294	-1.292	4.835	0
127	Passaggio convogli	0.013	0.603	-2.258	0	1.294	0.603	-2.258	0
127	Vento Y (-Z)	0.013	0.866	-3.241	0	1.294	0.866	-3.241	0
127	Vento Y (+Z)	0	0.203	0.054	0	1.294	0.203	0.054	0
127	Vento Y (-Z)	0	0.203	0.054	0	1.294	0.203	0.054	0
128	Permanenti portati	0.005	0.528	-5.035	0	1.257	0.528	-5.035	0
128	Neve	0.005	0.169	-1.611	0	1.257	0.169	-1.611	0

Indice asta	Condizione	Posizione iniziale	F1 iniziale	F2 iniziale	F3 iniziale	Posizione finale	F1 finale	F2 finale	F3 finale
128	Vento X (+Z)	0.005	-0.64	6.109	0	1.257	-0.522	4.983	0
128	Vento Y (+Z)	0.005	-0.64	6.109	0	1.257	-0.522	4.983	0
128	Passaggio convogli	0.005	0.299	-2.853	0	1.257	0.244	-2.327	0
128	Vento Y (-Z)	0.005	0.429	-4.095	0	1.257	0.35	-3.34	0
128	Vento Y (+Z)	0	0.209	0.022	0	1.257	0.209	0.022	0
128	Vento Y (-Z)	0	0.209	0.022	0	1.257	0.209	0.022	0
129	Permanenti portati	0.023	1.315	-2.904	0	0.549	1.162	-2.566	0
129	Neve	0.023	0.421	-0.929	0	0.549	0.372	-0.821	0
129	Vento X (+Z)	0.023	-1.595	3.523	0	0.549	-1.41	3.113	0
129	Vento Y (+Z)	0.023	-1.595	3.523	0	0.549	-1.41	3.113	0
129	Passaggio convogli	0.023	0.745	-1.645	0	0.549	0.658	-1.454	0
129	Vento Y (-Z)	0.023	1.069	-2.362	0	0.549	0.945	-2.087	0
130	Permanenti portati	0	1.162	-2.566	0	0.634	0.978	-2.159	0
130	Neve	0	0.372	-0.821	0	0.634	0.313	-0.691	0
130	Vento X (+Z)	0	-1.41	3.113	0	0.634	-1.186	2.62	0
130	Vento Y (+Z)	0	-1.41	3.113	0	0.634	-1.186	2.62	0
130	Passaggio convogli	0	0.658	-1.454	0	0.634	0.554	-1.223	0
130	Vento Y (-Z)	0	0.945	-2.087	0	0.634	0.795	-1.756	0
130	Permanenti portati	0.634	0.988	-2.182	0	0.685	0.978	-2.159	0
130	Neve	0.634	0.316	-0.698	0	0.685	0.313	-0.691	0
130	Vento X (+Z)	0.634	-1.199	2.647	0	0.685	-1.186	2.62	0
130	Vento Y (+Z)	0.634	-1.199	2.647	0	0.685	-1.186	2.62	0
130	Passaggio convogli	0.634	0.56	-1.236	0	0.685	0.554	-1.223	0
130	Vento Y (-Z)	0.634	0.803	-1.774	0	0.685	0.795	-1.756	0
130	Permanenti portati	0.685	0.978	-2.159	0	0.714	0.965	-2.132	0
130	Neve	0.685	0.313	-0.691	0	0.714	0.309	-0.682	0
130	Vento X (+Z)	0.685	-1.186	2.62	0	0.714	-1.171	2.586	0
130	Vento Y (+Z)	0.685	-1.186	2.62	0	0.714	-1.171	2.586	0
130	Passaggio convogli	0.685	0.554	-1.223	0	0.714	0.547	-1.208	0
130	Vento Y (-Z)	0.685	0.795	-1.756	0	0.714	0.785	-1.734	0
130	Permanenti portati	0.714	0.965	-2.132	0	0.846	0.928	-2.05	0
130	Neve	0.714	0.309	-0.682	0	0.846	0.297	-0.656	0
130	Vento X (+Z)	0.714	-1.171	2.586	0	0.846	-1.126	2.487	0
130	Vento Y (+Z)	0.714	-1.171	2.586	0	0.846	-1.126	2.487	0
130	Passaggio convogli	0.714	0.547	-1.208	0	0.846	0.526	-1.161	0
130	Vento Y (-Z)	0.714	0.785	-1.734	0	0.846	0.755	-1.667	0
129	Vento Y (+Z)	0	0.191	0.087	0	0.549	0.191	0.087	0
129	Vento Y (-Z)	0	0.191	0.087	0	0.549	0.191	0.087	0
130	Vento Y (+Z)	0	0.191	0.087	0	0.913	0.191	0.087	0
130	Vento Y (-Z)	0	0.191	0.087	0	0.913	0.191	0.087	0
131	Permanenti portati	0.013	1.162	-4.347	0	1.294	1.162	-4.347	0
131	Neve	0.013	0.372	-1.391	0	1.294	0.372	-1.391	0
131	Vento X (+Z)	0.013	-1.409	5.275	0	1.294	-1.409	5.275	0
131	Vento Y (+Z)	0.013	-1.409	5.275	0	1.294	-1.409	5.275	0
131	Passaggio convogli	0.013	-0.658	2.464	0	1.294	-0.658	2.464	0
131	Vento Y (-Z)	0.013	0.945	-3.536	0	1.294	0.945	-3.536	0
131	Vento Y (+Z)	0	0.203	0.054	0	1.294	0.203	0.054	0
131	Vento Y (-Z)	0	0.203	0.054	0	1.294	0.203	0.054	0
132	Permanenti portati	0.005	0.469	-4.475	0	1.257	0.469	-4.475	0
132	Neve	0.005	0.15	-1.432	0	1.257	0.15	-1.432	0
132	Vento X (+Z)	0.005	-0.569	5.43	0	1.257	-0.569	5.43	0
132	Vento Y (+Z)	0.005	-0.569	5.43	0	1.257	-0.569	5.43	0
132	Passaggio convogli	0.005	-0.266	2.536	0	1.257	-0.266	2.536	0
132	Vento Y (-Z)	0.005	0.381	-3.64	0	1.257	0.381	-3.64	0
132	Vento Y (+Z)	0	0.209	0.022	0	1.257	0.209	0.022	0
132	Vento Y (-Z)	0	0.209	0.022	0	1.257	0.209	0.022	0
133	Permanenti portati	0.023	1.856	-4.099	0	0.549	1.856	-4.099	0
133	Neve	0.023	0.594	-1.312	0	0.549	0.594	-1.312	0
133	Vento X (+Z)	0.023	-2.252	4.974	0	0.549	-2.252	4.974	0
133	Vento Y (+Z)	0.023	-2.252	4.974	0	0.549	-2.252	4.974	0
133	Passaggio convogli	0.023	-1.052	2.323	0	0.549	-1.052	2.323	0
133	Vento Y (-Z)	0.023	1.51	-3.334	0	0.549	1.51	-3.334	0
134	Permanenti portati	0	1.856	-4.099	0	0.846	1.856	-4.099	0
134	Neve	0	0.594	-1.312	0	0.846	0.594	-1.312	0
134	Vento X (+Z)	0	-2.252	4.974	0	0.846	-2.252	4.974	0
134	Vento Y (+Z)	0	-2.252	4.974	0	0.846	-2.252	4.974	0
134	Passaggio convogli	0	-1.052	2.323	0	0.846	-1.052	2.323	0
134	Vento Y (-Z)	0	1.51	-3.334	0	0.846	1.51	-3.334	0
133	Vento Y (+Z)	0	0.191	0.087	0	0.549	0.191	0.087	0
133	Vento Y (-Z)	0	0.191	0.087	0	0.549	0.191	0.087	0
134	Vento Y (+Z)	0	0.191	0.087	0	0.913	0.191	0.087	0
134	Vento Y (-Z)	0	0.191	0.087	0	0.913	0.191	0.087	0
135	Permanenti portati	0.013	1.162	-4.347	0	1.294	1.162	-4.347	0
135	Neve	0.013	0.365	-1.368	0	1.294	0.365	-1.368	0
135	Vento X (+Z)	0.013	-1.409	5.275	0	1.294	-1.409	5.275	0
135	Vento Y (+Z)	0.013	-1.409	5.275	0	1.294	-1.409	5.275	0
135	Passaggio convogli	0.013	-0.329	1.232	0	1.294	-0.329	1.232	0
135	Vento Y (-Z)	0.013	0.945	-3.536	0	1.294	0.945	-3.536	0
135	Vento Y (+Z)	0	0.203	0.054	0	1.294	0.203	0.054	0
135	Vento Y (-Z)	0	0.203	0.054	0	1.294	0.203	0.054	0
136	Permanenti portati	0.005	0.469	-4.475	0	1.257	0.469	-4.475	0
136	Neve	0.005	0.15	-1.428	0	1.257	0.15	-1.428	0
136	Vento X (+Z)	0.005	-0.569	5.43	0	1.257	-0.569	5.43	0
136	Vento Y (+Z)	0.005	-0.569	5.43	0	1.257	-0.569	5.43	0
136	Passaggio convogli	0.005	-0.133	1.268	0	1.257	-0.133	1.268	0
136	Vento Y (-Z)	0.005	0.381	-3.64	0	1.257	0.381	-3.64	0
136	Vento Y (+Z)	0	0.209	0.022	0	1.257	0.209	0.022	0
136	Vento Y (-Z)	0	0.209	0.022	0	1.257	0.209	0.022	0
137	Permanenti portati	0.023	1.856	-4.099	0	0.549	1.856	-4.099	0
137	Neve	0.023	0.568	-1.253	0	0.549	0.568	-1.253	0
137	Vento X (+Z)	0.023	-2.252	4.974	0	0.549	-2.252	4.974	0
137	Vento Y (+Z)	0.023	-2.252	4.974	0	0.549	-2.252	4.974	0
137	Passaggio convogli	0.023	-0.526	1.161	0	0.549	-0.526	1.161	0
137	Vento Y (-Z)	0.023	1.51	-3.334	0	0.549	1.51	-3.334	0
138	Permanenti portati	0	1.856	-4.099	0	0.846	1.856	-4.099	0
138	Neve	0	0.568	-1.253	0	0.846	0.568	-1.253	0
138	Vento X (+Z)	0	-2.252	4.974	0	0.846	-2.252	4.974	0
138	Vento Y (+Z)	0	-2.252	4.974	0	0.846	-2.252	4.974	0
138	Passaggio convogli	0	-0.526	1.161	0	0.846	-0.526	1.161	0
138	Vento Y (-Z)	0	1.51	-3.334	0	0.846	1.51	-3.334	0

Indice asta	Condizione	Posizione iniziale	F1 iniziale	F2 iniziale	F3 iniziale	Posizione finale	F1 finale	F2 finale	F3 finale
137	Vento Y (+Z)	0	0.191	0.087	0	0.549	0.191	0.087	0
137	Vento Y (-Z)	0	0.191	0.087	0	0.549	0.191	0.087	0
138	Vento Y (+Z)	0	0.191	0.087	0	0.913	0.191	0.087	0
138	Vento Y (-Z)	0	0.191	0.087	0	0.913	0.191	0.087	0
139	Permanenti portati	0.013	1.162	-4.347	0	1.294	1.162	-4.347	0
139	Neve	0.013	0.359	-1.344	0	1.294	0.359	-1.344	0
139	Vento X (+Z)	0.013	-1.409	5.275	0	1.294	-1.409	5.275	0
139	Vento Y (+Z)	0.013	-1.409	5.275	0	1.294	-1.409	5.275	0
139	Vento Y (-Z)	0.013	0.945	-3.536	0	1.294	0.945	-3.536	0
139	Vento Y (+Z)	0	0.203	0.054	0	1.294	0.203	0.054	0
139	Vento Y (-Z)	0	0.203	0.054	0	1.294	0.203	0.054	0
140	Permanenti portati	0.005	0.469	-4.475	0	1.257	0.469	-4.475	0
140	Neve	0.005	0.149	-1.424	0	1.257	0.149	-1.424	0
140	Vento X (+Z)	0.005	-0.569	5.43	0	1.257	-0.569	5.43	0
140	Vento Y (+Z)	0.005	-0.569	5.43	0	1.257	-0.569	5.43	0
140	Vento Y (-Z)	0.005	0.381	-3.64	0	1.257	0.381	-3.64	0
140	Vento Y (+Z)	0	0.209	0.022	0	1.257	0.209	0.022	0
140	Vento Y (-Z)	0	0.209	0.022	0	1.257	0.209	0.022	0
141	Permanenti portati	0.023	1.856	-4.099	0	0.549	1.856	-4.099	0
141	Neve	0.023	0.541	-1.195	0	0.549	0.541	-1.195	0
141	Vento X (+Z)	0.023	-2.252	4.974	0	0.549	-2.252	4.974	0
141	Vento Y (+Z)	0.023	-2.252	4.974	0	0.549	-2.252	4.974	0
141	Vento Y (-Z)	0.023	1.51	-3.334	0	0.549	1.51	-3.334	0
142	Permanenti portati	0	1.856	-4.099	0	0.846	1.856	-4.099	0
142	Neve	0	0.541	-1.195	0	0.846	0.541	-1.195	0
142	Vento X (+Z)	0	-2.252	4.974	0	0.846	-2.252	4.974	0
142	Vento Y (+Z)	0	-2.252	4.974	0	0.846	-2.252	4.974	0
142	Vento Y (-Z)	0	1.51	-3.334	0	0.846	1.51	-3.334	0
141	Vento Y (+Z)	0	0.191	0.087	0	0.549	0.191	0.087	0
141	Vento Y (-Z)	0	0.191	0.087	0	0.549	0.191	0.087	0
142	Vento Y (+Z)	0	0.191	0.087	0	0.913	0.191	0.087	0
142	Vento Y (-Z)	0	0.191	0.087	0	0.913	0.191	0.087	0
143	Permanenti portati	0.013	1.162	-4.347	0	1.294	1.162	-4.347	0
143	Neve	0.013	0.359	-1.344	0	1.294	0.359	-1.344	0
143	Vento X (+Z)	0.013	-1.409	5.275	0	1.294	-1.409	5.275	0
143	Vento Y (+Z)	0.013	-1.409	5.275	0	1.294	-1.409	5.275	0
143	Vento Y (-Z)	0.013	0.945	-3.536	0	1.294	0.945	-3.536	0
143	Vento Y (+Z)	0	0.203	0.054	0	1.294	0.203	0.054	0
143	Vento Y (-Z)	0	0.203	0.054	0	1.294	0.203	0.054	0
144	Permanenti portati	0.005	0.469	-4.475	0	1.257	0.469	-4.475	0
144	Neve	0.005	0.149	-1.424	0	1.257	0.149	-1.424	0
144	Vento X (+Z)	0.005	-0.569	5.43	0	1.257	-0.569	5.43	0
144	Vento Y (+Z)	0.005	-0.569	5.43	0	1.257	-0.569	5.43	0
144	Vento Y (-Z)	0.005	0.381	-3.64	0	1.257	0.381	-3.64	0
144	Vento Y (+Z)	0	0.209	0.022	0	1.257	0.209	0.022	0
144	Vento Y (-Z)	0	0.209	0.022	0	1.257	0.209	0.022	0
145	Permanenti portati	0.023	1.856	-4.099	0	0.549	1.856	-4.099	0
145	Neve	0.023	0.541	-1.195	0	0.549	0.541	-1.195	0
145	Vento X (+Z)	0.023	-2.252	4.974	0	0.549	-2.252	4.974	0
145	Vento Y (+Z)	0.023	-2.252	4.974	0	0.549	-2.252	4.974	0
145	Vento Y (-Z)	0.023	1.51	-3.334	0	0.549	1.51	-3.334	0
146	Permanenti portati	0	1.856	-4.099	0	0.846	1.856	-4.099	0
146	Neve	0	0.541	-1.195	0	0.846	0.541	-1.195	0
146	Vento X (+Z)	0	-2.252	4.974	0	0.846	-2.252	4.974	0
146	Vento Y (+Z)	0	-2.252	4.974	0	0.846	-2.252	4.974	0
146	Vento Y (-Z)	0	1.51	-3.334	0	0.846	1.51	-3.334	0
145	Vento Y (+Z)	0	0.191	0.087	0	0.549	0.191	0.087	0
145	Vento Y (-Z)	0	0.191	0.087	0	0.549	0.191	0.087	0
146	Vento Y (+Z)	0	0.191	0.087	0	0.913	0.191	0.087	0
146	Vento Y (-Z)	0	0.191	0.087	0	0.913	0.191	0.087	0
147	Permanenti portati	0.013	1.162	-4.347	0	1.294	1.162	-4.347	0
147	Neve	0.013	0.365	-1.368	0	1.294	0.365	-1.368	0
147	Vento X (+Z)	0.013	-1.409	5.275	0	1.294	-1.409	5.275	0
147	Vento Y (+Z)	0.013	-1.409	5.275	0	1.294	-1.409	5.275	0
147	Passaggio convogli	0.013	0.329	-1.232	0	1.294	0.329	-1.232	0
147	Vento Y (-Z)	0.013	0.945	-3.536	0	1.294	0.945	-3.536	0
147	Vento Y (+Z)	0	0.203	0.054	0	1.294	0.203	0.054	0
147	Vento Y (-Z)	0	0.203	0.054	0	1.294	0.203	0.054	0
148	Permanenti portati	0.005	0.469	-4.475	0	1.257	0.469	-4.475	0
148	Neve	0.005	0.15	-1.428	0	1.257	0.15	-1.428	0
148	Vento X (+Z)	0.005	-0.569	5.43	0	1.257	-0.569	5.43	0
148	Vento Y (+Z)	0.005	-0.569	5.43	0	1.257	-0.569	5.43	0
148	Passaggio convogli	0.005	0.133	-1.268	0	1.257	0.133	-1.268	0
148	Vento Y (-Z)	0.005	0.381	-3.64	0	1.257	0.381	-3.64	0
148	Vento Y (+Z)	0	0.209	0.022	0	1.257	0.209	0.022	0
148	Vento Y (-Z)	0	0.209	0.022	0	1.257	0.209	0.022	0
149	Permanenti portati	0.023	1.856	-4.099	0	0.549	1.856	-4.099	0
149	Neve	0.023	0.568	-1.253	0	0.549	0.568	-1.253	0
149	Vento X (+Z)	0.023	-2.252	4.974	0	0.549	-2.252	4.974	0
149	Vento Y (+Z)	0.023	-2.252	4.974	0	0.549	-2.252	4.974	0
149	Passaggio convogli	0.023	0.526	-1.161	0	0.549	0.526	-1.161	0
149	Vento Y (-Z)	0.023	1.51	-3.334	0	0.549	1.51	-3.334	0
150	Permanenti portati	0	1.856	-4.099	0	0.846	1.856	-4.099	0
150	Neve	0	0.568	-1.253	0	0.846	0.568	-1.253	0
150	Vento X (+Z)	0	-2.252	4.974	0	0.846	-2.252	4.974	0
150	Vento Y (+Z)	0	-2.252	4.974	0	0.846	-2.252	4.974	0
150	Passaggio convogli	0	0.526	-1.161	0	0.846	0.526	-1.161	0
150	Vento Y (-Z)	0	1.51	-3.334	0	0.846	1.51	-3.334	0
149	Vento Y (+Z)	0	0.191	0.087	0	0.549	0.191	0.087	0
149	Vento Y (-Z)	0	0.191	0.087	0	0.549	0.191	0.087	0
150	Vento Y (+Z)	0	0.191	0.087	0	0.913	0.191	0.087	0
150	Vento Y (-Z)	0	0.191	0.087	0	0.913	0.191	0.087	0
151	Permanenti portati	0.013	1.162	-4.347	0	1.294	1.162	-4.347	0
151	Neve	0.013	0.372	-1.391	0	1.294	0.372	-1.391	0
151	Vento X (+Z)	0.013	-1.409	5.275	0	1.294	-1.409	5.275	0
151	Vento Y (+Z)	0.013	-1.409	5.275	0	1.294	-1.409	5.275	0
151	Passaggio convogli	0.013	0.658	-2.464	0	1.294	0.658	-2.464	0
151	Vento Y (-Z)	0.013	0.945	-3.536	0	1.294	0.945	-3.536	0
151	Vento Y (+Z)	0	0.203	0.054	0	1.294	0.203	0.054	0
151	Vento Y (-Z)	0	0.203	0.054	0	1.294	0.203	0.054	0

Indice asta	Condizione	Posizione iniziale	F1 iniziale	F2 iniziale	F3 iniziale	Posizione finale	F1 finale	F2 finale	F3 finale
152	Permanenti portati	0.005	0.469	-4.475	0	1.257	0.469	-4.475	0
152	Neve	0.005	0.15	-1.432	0	1.257	0.15	-1.432	0
152	Vento X (+Z)	0.005	-0.569	5.43	0	1.257	-0.569	5.43	0
152	Vento Y (+Z)	0.005	-0.569	5.43	0	1.257	-0.569	5.43	0
152	Passaggio convogli	0.005	0.266	-2.536	0	1.257	0.266	-2.536	0
152	Vento Y (-Z)	0.005	0.381	-3.64	0	1.257	0.381	-3.64	0
152	Vento Y (+Z)	0	0.209	0.022	0	1.257	0.209	0.022	0
152	Vento Y (-Z)	0	0.209	0.022	0	1.257	0.209	0.022	0
153	Permanenti portati	0.023	1.856	-4.099	0	0.549	1.856	-4.099	0
153	Neve	0.023	0.594	-1.312	0	0.549	0.594	-1.312	0
153	Vento X (+Z)	0.023	-2.252	4.974	0	0.549	-2.252	4.974	0
153	Vento Y (+Z)	0.023	-2.252	4.974	0	0.549	-2.252	4.974	0
153	Passaggio convogli	0.023	1.052	-2.323	0	0.549	1.052	-2.323	0
153	Vento Y (-Z)	0.023	1.51	-3.334	0	0.549	1.51	-3.334	0
154	Permanenti portati	0	1.856	-4.099	0	0.846	1.856	-4.099	0
154	Neve	0	0.594	-1.312	0	0.846	0.594	-1.312	0
154	Vento X (+Z)	0	-2.252	4.974	0	0.846	-2.252	4.974	0
154	Vento Y (+Z)	0	-2.252	4.974	0	0.846	-2.252	4.974	0
154	Passaggio convogli	0	1.052	-2.323	0	0.846	1.052	-2.323	0
154	Vento Y (-Z)	0	1.51	-3.334	0	0.846	1.51	-3.334	0
153	Vento Y (+Z)	0	0.191	0.087	0	0.549	0.191	0.087	0
153	Vento Y (-Z)	0	0.191	0.087	0	0.549	0.191	0.087	0
154	Vento Y (+Z)	0	0.191	0.087	0	0.913	0.191	0.087	0
154	Vento Y (-Z)	0	0.191	0.087	0	0.913	0.191	0.087	0
155	Permanenti portati	0.013	1.162	-4.347	0	1.294	1.162	-4.347	0
155	Neve	0.013	0.372	-1.391	0	1.294	0.372	-1.391	0
155	Vento X (+Z)	0.013	-1.409	5.275	0	1.294	-1.409	5.275	0
155	Vento Y (+Z)	0.013	-1.409	5.275	0	1.294	-1.409	5.275	0
155	Vento Y (-Z)	0.013	0.945	-3.536	0	1.294	0.945	-3.536	0
155	Vento Y (+Z)	0	0.203	0.054	0	1.294	0.203	0.054	0
155	Vento Y (-Z)	0	0.203	0.054	0	1.294	0.203	0.054	0
156	Permanenti portati	0.005	0.469	-4.475	0	1.257	0.469	-4.475	0
156	Neve	0.005	0.15	-1.432	0	1.257	0.15	-1.432	0
156	Vento X (+Z)	0.005	-0.569	5.43	0	1.257	-0.569	5.43	0
156	Vento Y (+Z)	0.005	-0.569	5.43	0	1.257	-0.569	5.43	0
156	Vento Y (-Z)	0.005	0.381	-3.64	0	1.257	0.381	-3.64	0
156	Vento Y (+Z)	0	0.209	0.022	0	1.257	0.209	0.022	0
156	Vento Y (-Z)	0	0.209	0.022	0	1.257	0.209	0.022	0
157	Permanenti portati	0.023	1.856	-4.099	0	0.549	1.856	-4.099	0
157	Neve	0.023	0.594	-1.312	0	0.549	0.594	-1.312	0
157	Vento X (+Z)	0.023	-2.252	4.974	0	0.549	-2.252	4.974	0
157	Vento Y (+Z)	0.023	-2.252	4.974	0	0.549	-2.252	4.974	0
157	Vento Y (-Z)	0.023	1.51	-3.334	0	0.549	1.51	-3.334	0
158	Permanenti portati	0	1.856	-4.099	0	0.846	1.856	-4.099	0
158	Neve	0	0.594	-1.312	0	0.846	0.594	-1.312	0
158	Vento X (+Z)	0	-2.252	4.974	0	0.846	-2.252	4.974	0
158	Vento Y (+Z)	0	-2.252	4.974	0	0.846	-2.252	4.974	0
158	Vento Y (-Z)	0	1.51	-3.334	0	0.846	1.51	-3.334	0
157	Vento Y (+Z)	0	0.191	0.087	0	0.549	0.191	0.087	0
157	Vento Y (-Z)	0	0.191	0.087	0	0.549	0.191	0.087	0
158	Vento Y (+Z)	0	0.191	0.087	0	0.913	0.191	0.087	0
158	Vento Y (-Z)	0	0.191	0.087	0	0.913	0.191	0.087	0
159	Permanenti portati	0.013	1.065	-3.985	0	1.294	0.825	-3.089	0
159	Neve	0.013	0.341	-1.275	0	1.294	0.264	-0.988	0
159	Vento X (+Z)	0.013	-1.292	4.835	0	1.294	-1.001	3.748	0
159	Vento Y (+Z)	0.013	-1.292	4.835	0	1.294	-1.001	3.748	0
159	Passaggio convogli	0.013	-0.603	2.258	0	1.294	-0.468	1.75	0
159	Vento Y (-Z)	0.013	0.866	-3.241	0	1.294	0.671	-2.512	0
159	Vento Y (+Z)	0	0.203	0.054	0	1.294	0.203	0.054	0
159	Vento Y (-Z)	0	0.203	0.054	0	1.294	0.203	0.054	0
160	Permanenti portati	0.005	0.528	-5.035	0	1.257	0.43	-4.106	0
160	Neve	0.005	0.169	-1.611	0	1.257	0.138	-1.314	0
160	Vento X (+Z)	0.005	-0.64	6.109	0	1.257	-0.522	4.983	0
160	Vento Y (+Z)	0.005	-0.64	6.109	0	1.257	-0.522	4.983	0
160	Passaggio convogli	0.005	-0.299	2.853	0	1.257	-0.244	2.327	0
160	Vento Y (-Z)	0.005	0.429	-4.095	0	1.257	0.35	-3.34	0
160	Vento Y (+Z)	0	0.209	0.022	0	1.257	0.209	0.022	0
160	Vento Y (-Z)	0	0.209	0.022	0	1.257	0.209	0.022	0
161	Permanenti portati	0.023	1.315	-2.904	0	0.549	1.167	-2.576	0
161	Neve	0.023	0.421	-0.929	0	0.549	0.373	-0.824	0
161	Vento X (+Z)	0.023	-1.595	3.523	0	0.549	-1.415	3.126	0
161	Vento Y (+Z)	0.023	-1.595	3.523	0	0.549	-1.415	3.126	0
161	Passaggio convogli	0.023	-0.745	1.645	0	0.549	-0.661	1.46	0
161	Vento Y (-Z)	0.023	1.069	-2.362	0	0.549	0.949	-2.095	0
162	Permanenti portati	0	1.167	-2.576	0	0.634	0.988	-2.182	0
162	Neve	0	0.373	-0.824	0	0.634	0.316	-0.698	0
162	Vento X (+Z)	0	-1.415	3.126	0	0.634	-1.199	2.647	0
162	Vento Y (+Z)	0	-1.415	3.126	0	0.634	-1.199	2.647	0
162	Passaggio convogli	0	-0.661	1.46	0	0.634	-0.56	1.236	0
162	Vento Y (-Z)	0	0.949	-2.095	0	0.634	0.803	-1.774	0
162	Permanenti portati	0.634	0.988	-2.182	0	0.685	0.978	-2.159	0
162	Neve	0.634	0.316	-0.698	0	0.685	0.313	-0.691	0
162	Vento X (+Z)	0.634	-1.199	2.647	0	0.685	-1.186	2.62	0
162	Vento Y (+Z)	0.634	-1.199	2.647	0	0.685	-1.186	2.62	0
162	Passaggio convogli	0.634	-0.56	1.236	0	0.685	-0.554	1.223	0
162	Vento Y (-Z)	0.634	0.803	-1.774	0	0.685	0.795	-1.756	0
162	Permanenti portati	0.685	0.978	-2.159	0	0.714	0.965	-2.132	0
162	Neve	0.685	0.313	-0.691	0	0.714	0.309	-0.682	0
162	Vento X (+Z)	0.685	-1.186	2.62	0	0.714	-1.171	2.586	0
162	Vento Y (+Z)	0.685	-1.186	2.62	0	0.714	-1.171	2.586	0
162	Passaggio convogli	0.685	-0.554	1.223	0	0.714	-0.547	1.208	0
162	Vento Y (-Z)	0.685	0.795	-1.756	0	0.714	0.785	-1.734	0
162	Permanenti portati	0.714	0.965	-2.132	0	0.846	0.928	-2.05	0
162	Neve	0.714	0.309	-0.682	0	0.846	0.297	-0.656	0
162	Vento X (+Z)	0.714	-1.171	2.586	0	0.846	-1.126	2.487	0
162	Vento Y (+Z)	0.714	-1.171	2.586	0	0.846	-1.126	2.487	0
162	Passaggio convogli	0.714	-0.547	1.208	0	0.846	-0.526	1.161	0
162	Vento Y (-Z)	0.714	0.785	-1.734	0	0.846	0.755	-1.667	0
161	Vento Y (+Z)	0	0.191	0.087	0	0.549	0.191	0.087	0
161	Vento Y (-Z)	0	0.191	0.087	0	0.549	0.191	0.087	0

Indice asta	Condizione	Posizione iniziale	F1 iniziale	F2 iniziale	F3 iniziale	Posizione finale	F1 finale	F2 finale	F3 finale
162	Vento Y (+Z)	0	0.191	0.087	0	0.913	0.191	0.087	0
162	Vento Y (-Z)	0	0.191	0.087	0	0.913	0.191	0.087	0
177	Permanenti portati	0	-0.002	-0.006	0	0.161	-0.02	-0.063	0
177	Neve	0	-0.001	-0.002	0	0.161	-0.006	-0.02	0
177	Vento X (+Z)	0	0.002	0.007	0	0.161	0.025	0.077	0
177	Vento Y (+Z)	0	0.002	0.007	0	0.161	0.025	0.077	0
177	Passaggio convogli	0	-0.001	-0.003	0	0.161	-0.011	-0.036	0
177	Vento Y (-Z)	0	-0.002	-0.005	0	0.161	-0.017	-0.052	0
177	Permanenti portati	0.161	-0.02	-0.063	0	0.201	-0.023	-0.071	0
177	Neve	0.161	-0.006	-0.02	0	0.201	-0.007	-0.023	0
177	Vento X (+Z)	0.161	0.025	0.077	0	0.201	0.027	0.086	0
177	Vento Y (+Z)	0.161	0.025	0.077	0	0.201	0.027	0.086	0
177	Passaggio convogli	0.161	-0.011	-0.036	0	0.201	-0.013	-0.04	0
177	Vento Y (-Z)	0.161	-0.017	-0.052	0	0.201	-0.018	-0.058	0
177	Permanenti portati	0.201	-0.023	-0.071	0	0.27	-0.033	-0.102	0
177	Neve	0.201	-0.007	-0.023	0	0.27	-0.01	-0.033	0
177	Vento X (+Z)	0.201	0.027	0.086	0	0.27	0.04	0.124	0
177	Vento Y (+Z)	0.201	0.027	0.086	0	0.27	0.04	0.124	0
177	Passaggio convogli	0.201	-0.013	-0.04	0	0.27	-0.019	-0.058	0
177	Vento Y (-Z)	0.201	-0.018	-0.058	0	0.27	-0.027	-0.083	0
177	Permanenti portati	0.27	-0.038	-0.119	0	1.839	-0.211	-0.66	0
177	Neve	0.27	-0.012	-0.038	0	1.839	-0.068	-0.211	0
177	Vento X (+Z)	0.27	0.046	0.145	0	1.839	0.256	0.801	0
177	Vento Y (+Z)	0.27	0.046	0.145	0	1.839	0.256	0.801	0
177	Passaggio convogli	0.27	-0.022	-0.068	0	1.839	-0.12	-0.374	0
177	Vento Y (-Z)	0.27	-0.031	-0.097	0	1.839	-0.172	-0.537	0
177	Permanenti portati	0	0	0	0	0.084	-0.01	-0.03	0
177	Neve	0	0	0	0	0.084	-0.003	-0.01	0
177	Vento X (+Z)	0	0	0	0	0.084	0.012	0.036	0
177	Vento Y (+Z)	0	0	0	0	0.084	0.012	0.036	0
177	Passaggio convogli	0	0	0	0	0.084	-0.005	-0.017	0
177	Vento Y (-Z)	0	0	0	0	0.084	-0.008	-0.024	0
177	Permanenti portati	0.084	-0.01	-0.03	0	0.118	-0.016	-0.049	0
177	Neve	0.084	-0.003	-0.01	0	0.118	-0.005	-0.016	0
177	Vento X (+Z)	0.084	0.012	0.036	0	0.118	0.019	0.06	0
177	Vento Y (+Z)	0.084	0.012	0.036	0	0.118	0.019	0.06	0
177	Passaggio convogli	0.084	-0.005	-0.017	0	0.118	-0.009	-0.028	0
177	Vento Y (-Z)	0.084	-0.008	-0.024	0	0.118	-0.013	-0.04	0
177	Permanenti portati	0.118	-0.016	-0.049	0	0.168	-0.019	-0.06	0
177	Neve	0.118	-0.005	-0.016	0	0.168	-0.006	-0.019	0
177	Vento X (+Z)	0.118	0.019	0.06	0	0.168	0.023	0.072	0
177	Vento Y (+Z)	0.118	0.019	0.06	0	0.168	0.023	0.072	0
177	Passaggio convogli	0.118	-0.009	-0.028	0	0.168	-0.011	-0.034	0
177	Vento Y (-Z)	0.118	-0.013	-0.04	0	0.168	-0.016	-0.049	0
177	Permanenti portati	0.168	-0.019	-0.06	0	0.286	-0.038	-0.119	0
177	Neve	0.168	-0.006	-0.019	0	0.286	-0.012	-0.038	0
177	Vento X (+Z)	0.168	0.023	0.072	0	0.286	0.046	0.145	0
177	Vento Y (+Z)	0.168	0.023	0.072	0	0.286	0.046	0.145	0
177	Passaggio convogli	0.168	-0.011	-0.034	0	0.286	-0.022	-0.068	0
177	Vento Y (-Z)	0.168	-0.016	-0.049	0	0.286	-0.031	-0.097	0
177	Permanenti portati	0.286	-0.038	-0.119	0	1.705	-0.194	-0.606	0
177	Neve	0.286	-0.012	-0.038	0	1.705	-0.062	-0.194	0
177	Vento X (+Z)	0.286	0.046	0.145	0	1.705	0.236	0.736	0
177	Vento Y (+Z)	0.286	0.046	0.145	0	1.705	0.236	0.736	0
177	Passaggio convogli	0.286	-0.022	-0.068	0	1.705	-0.11	-0.344	0
177	Vento Y (-Z)	0.286	-0.031	-0.097	0	1.705	-0.158	-0.493	0
177	Permanenti portati	1.705	-0.194	-0.606	0	1.856	-0.211	-0.66	0
177	Neve	1.705	-0.062	-0.194	0	1.856	-0.068	-0.211	0
177	Vento X (+Z)	1.705	0.236	0.736	0	1.856	0.256	0.801	0
177	Vento Y (+Z)	1.705	0.236	0.736	0	1.856	0.256	0.801	0
177	Passaggio convogli	1.705	-0.11	-0.344	0	1.856	-0.12	-0.374	0
177	Vento Y (-Z)	1.705	-0.158	-0.493	0	1.856	-0.172	-0.537	0
177	Vento Y (+Z)	0	-0.141	0.045	0.148	1.856	-0.141	0.045	0.148
177	Vento Y (-Z)	0	-0.141	0.045	0.148	1.856	-0.141	0.045	0.148
178	Permanenti portati	0	-0.126	-0.666	0	1.789	-0.25	-1.325	0
178	Neve	0	-0.04	-0.213	0	1.789	-0.08	-0.424	0
178	Vento X (+Z)	0	0.153	0.808	0	1.789	0.304	1.608	0
178	Vento Y (+Z)	0	0.153	0.808	0	1.789	0.304	1.608	0
178	Passaggio convogli	0	-0.071	-0.377	0	1.789	-0.142	-0.751	0
178	Vento Y (-Z)	0	-0.102	-0.542	0	1.789	-0.204	-1.078	0
178	Permanenti portati	0	-0.126	-0.666	0	1.789	-0.25	-1.325	0
178	Neve	0	-0.04	-0.213	0	1.789	-0.08	-0.424	0
178	Vento X (+Z)	0	0.153	0.808	0	1.789	0.304	1.608	0
178	Vento Y (+Z)	0	0.153	0.808	0	1.789	0.304	1.608	0
178	Passaggio convogli	0	-0.071	-0.377	0	1.789	-0.142	-0.751	0
178	Vento Y (-Z)	0	-0.102	-0.542	0	1.789	-0.204	-1.078	0
178	Vento Y (+Z)	0	-0.146	0.028	0.148	1.799	-0.146	0.028	0.148
178	Vento Y (-Z)	0	-0.146	0.028	0.148	1.799	-0.146	0.028	0.148
179	Permanenti portati	0	-0.098	-1.327	0	1.769	-0.147	-1.989	0
179	Neve	0	-0.031	-0.425	0	1.769	-0.047	-0.636	0
179	Vento X (+Z)	0	0.119	1.61	0	1.769	0.179	2.413	0
179	Vento Y (+Z)	0	0.119	1.61	0	1.769	0.179	2.413	0
179	Passaggio convogli	0	-0.056	-0.752	0	1.769	-0.084	-1.127	0
179	Vento Y (-Z)	0	-0.08	-1.079	0	1.769	-0.12	-1.617	0
179	Permanenti portati	0	-0.098	-1.327	0	1.769	-0.147	-1.989	0
179	Neve	0	-0.031	-0.425	0	1.769	-0.047	-0.636	0
179	Vento X (+Z)	0	0.119	1.61	0	1.769	0.179	2.413	0
179	Vento Y (+Z)	0	0.119	1.61	0	1.769	0.179	2.413	0
179	Passaggio convogli	0	-0.056	-0.752	0	1.769	-0.084	-1.127	0
179	Vento Y (-Z)	0	-0.08	-1.079	0	1.769	-0.12	-1.617	0
179	Vento Y (+Z)	0	-0.148	0.011	0.148	1.773	-0.148	0.011	0.148
179	Vento Y (-Z)	0	-0.148	0.011	0.148	1.773	-0.148	0.011	0.148
180	Permanenti portati	0	-0.392	-3.737	0	1.252	-0.586	-5.594	0
180	Neve	0	-0.125	-1.196	0	1.252	-0.188	-1.79	0
180	Vento X (+Z)	0	0.475	4.535	0	1.252	0.711	6.788	0
180	Vento Y (+Z)	0	0.475	4.535	0	1.252	0.711	6.788	0
180	Passaggio convogli	0	-0.222	-2.118	0	1.252	-0.332	-3.17	0
180	Vento Y (-Z)	0	-0.319	-3.04	0	1.252	-0.477	-4.55	0
181	Permanenti portati	0	0	0	0	0.062	-0.035	-0.077	0
181	Neve	0	0	0	0	0.062	-0.011	-0.025	0

Indice asta	Condizione	Posizione iniziale	F1 iniziale	F2 iniziale	F3 iniziale	Posizione finale	F1 finale	F2 finale	F3 finale
181	Vento X (+Z)	0	0	0	0	0.062	0.042	0.094	0
181	Vento Y (+Z)	0	0	0	0	0.062	0.042	0.094	0
181	Passaggio convogli	0	0	0	0	0.062	-0.02	-0.044	0
181	Vento Y (-Z)	0	0	0	0	0.062	-0.028	-0.063	0
181	Permanenti portati	0.062	-0.035	-0.077	0	0.087	-0.041	-0.091	0
181	Neve	0.062	-0.011	-0.025	0	0.087	-0.013	-0.029	0
181	Vento X (+Z)	0.062	0.042	0.094	0	0.087	0.05	0.111	0
181	Vento Y (+Z)	0.062	0.042	0.094	0	0.087	0.05	0.111	0
181	Passaggio convogli	0.062	-0.02	-0.044	0	0.087	-0.023	-0.052	0
181	Vento Y (-Z)	0.062	-0.028	-0.063	0	0.087	-0.034	-0.074	0
181	Permanenti portati	0.087	-0.041	-0.091	0	0.124	-0.07	-0.154	0
181	Neve	0.087	-0.013	-0.029	0	0.124	-0.022	-0.049	0
181	Vento X (+Z)	0.087	0.05	0.111	0	0.124	0.085	0.187	0
181	Vento Y (+Z)	0.087	0.05	0.111	0	0.124	0.085	0.187	0
181	Passaggio convogli	0.087	-0.023	-0.052	0	0.124	-0.04	-0.087	0
181	Vento Y (-Z)	0.087	-0.034	-0.074	0	0.124	-0.057	-0.126	0
181	Permanenti portati	0.124	-0.07	-0.154	0	0.212	-0.109	-0.241	0
181	Neve	0.124	-0.022	-0.049	0	0.212	-0.035	-0.077	0
181	Vento X (+Z)	0.124	0.085	0.187	0	0.212	0.132	0.292	0
181	Vento Y (+Z)	0.124	0.085	0.187	0	0.212	0.132	0.292	0
181	Passaggio convogli	0.124	-0.04	-0.087	0	0.212	-0.062	-0.137	0
181	Vento Y (-Z)	0.124	-0.057	-0.126	0	0.212	-0.089	-0.196	0
181	Permanenti portati	0.212	-0.109	-0.241	0	1.26	-0.71	-1.569	0
181	Neve	0.212	-0.035	-0.077	0	1.26	-0.227	-0.502	0
181	Vento X (+Z)	0.212	0.132	0.292	0	1.26	0.862	1.904	0
181	Vento Y (+Z)	0.212	0.132	0.292	0	1.26	0.862	1.904	0
181	Passaggio convogli	0.212	-0.062	-0.137	0	1.26	-0.403	-0.889	0
181	Vento Y (-Z)	0.212	-0.089	-0.196	0	1.26	-0.578	-1.276	0
181	Permanenti portati	1.26	-0.71	-1.569	0	1.372	-0.773	-1.708	0
181	Neve	1.26	-0.227	-0.502	0	1.372	-0.247	-0.547	0
181	Vento X (+Z)	1.26	0.862	1.904	0	1.372	0.938	2.072	0
181	Vento Y (+Z)	1.26	0.862	1.904	0	1.372	0.938	2.072	0
181	Passaggio convogli	1.26	-0.403	-0.889	0	1.372	-0.438	-0.968	0
181	Vento Y (-Z)	1.26	-0.578	-1.276	0	1.372	-0.629	-1.389	0
182	Permanenti portati	0	-0.489	-1.83	0	1.28	-0.968	-3.623	0
182	Neve	0	-0.157	-0.586	0	1.28	-0.31	-1.159	0
182	Vento X (+Z)	0	0.593	2.221	0	1.28	1.175	4.396	0
182	Vento Y (+Z)	0	0.593	2.221	0	1.28	1.175	4.396	0
182	Passaggio convogli	0	-0.277	-1.037	0	1.28	-0.549	-2.053	0
182	Vento Y (-Z)	0	-0.398	-1.489	0	1.28	-0.787	-2.947	0
183	Permanenti portati	0	-0.002	-0.006	0	0.161	-0.02	-0.063	0
183	Neve	0	-0.001	-0.002	0	0.161	-0.006	-0.02	0
183	Vento X (+Z)	0	0.002	0.007	0	0.161	0.025	0.077	0
183	Vento Y (+Z)	0	0.002	0.007	0	0.161	0.025	0.077	0
183	Passaggio convogli	0	0.001	0.003	0	0.161	0.011	0.036	0
183	Vento Y (-Z)	0	-0.002	-0.005	0	0.161	-0.017	-0.052	0
183	Permanenti portati	0.161	-0.02	-0.063	0	0.201	-0.023	-0.071	0
183	Neve	0.161	-0.006	-0.02	0	0.201	-0.007	-0.023	0
183	Vento X (+Z)	0.161	0.025	0.077	0	0.201	0.027	0.086	0
183	Vento Y (+Z)	0.161	0.025	0.077	0	0.201	0.027	0.086	0
183	Passaggio convogli	0.161	0.011	0.036	0	0.201	0.013	0.04	0
183	Vento Y (-Z)	0.161	-0.017	-0.052	0	0.201	-0.018	-0.058	0
183	Permanenti portati	0.201	-0.023	-0.071	0	0.27	-0.033	-0.102	0
183	Neve	0.201	-0.007	-0.023	0	0.27	-0.01	-0.033	0
183	Vento X (+Z)	0.201	0.027	0.086	0	0.27	0.04	0.124	0
183	Vento Y (+Z)	0.201	0.027	0.086	0	0.27	0.04	0.124	0
183	Passaggio convogli	0.201	0.013	0.04	0	0.27	0.019	0.058	0
183	Vento Y (-Z)	0.201	-0.018	-0.058	0	0.27	-0.027	-0.083	0
183	Permanenti portati	0.27	-0.033	-0.102	0	1.839	-0.211	-0.66	0
183	Neve	0.27	-0.01	-0.033	0	1.839	-0.068	-0.211	0
183	Vento X (+Z)	0.27	0.04	0.124	0	1.839	0.256	0.801	0
183	Vento Y (+Z)	0.27	0.04	0.124	0	1.839	0.256	0.801	0
183	Passaggio convogli	0.27	0.019	0.058	0	1.839	0.12	0.374	0
183	Vento Y (-Z)	0.27	-0.027	-0.083	0	1.839	-0.172	-0.537	0
183	Permanenti portati	0	0	0	0	0.084	-0.01	-0.03	0
183	Neve	0	0	0	0	0.084	-0.003	-0.01	0
183	Vento X (+Z)	0	0	0	0	0.084	0.012	0.036	0
183	Vento Y (+Z)	0	0	0	0	0.084	0.012	0.036	0
183	Passaggio convogli	0	0	0	0	0.084	0.005	0.017	0
183	Vento Y (-Z)	0	0	0	0	0.084	-0.008	-0.024	0
183	Permanenti portati	0.084	-0.01	-0.03	0	0.119	-0.016	-0.049	0
183	Neve	0.084	-0.003	-0.01	0	0.119	-0.005	-0.016	0
183	Vento X (+Z)	0.084	0.012	0.036	0	0.119	0.019	0.06	0
183	Vento Y (+Z)	0.084	0.012	0.036	0	0.119	0.019	0.06	0
183	Passaggio convogli	0.084	0.005	0.017	0	0.119	0.009	0.028	0
183	Vento Y (-Z)	0.084	-0.008	-0.024	0	0.119	-0.013	-0.04	0
183	Permanenti portati	0.119	-0.016	-0.049	0	0.168	-0.019	-0.06	0
183	Neve	0.119	-0.005	-0.016	0	0.168	-0.006	-0.019	0
183	Vento X (+Z)	0.119	0.019	0.06	0	0.168	0.023	0.072	0
183	Vento Y (+Z)	0.119	0.019	0.06	0	0.168	0.023	0.072	0
183	Passaggio convogli	0.119	0.009	0.028	0	0.168	0.011	0.034	0
183	Vento Y (-Z)	0.119	-0.013	-0.04	0	0.168	-0.016	-0.049	0
183	Permanenti portati	0.168	-0.019	-0.06	0	1.856	-0.211	-0.66	0
183	Neve	0.168	-0.006	-0.019	0	1.856	-0.068	-0.211	0
183	Vento X (+Z)	0.168	0.023	0.072	0	1.856	0.256	0.801	0
183	Vento Y (+Z)	0.168	0.023	0.072	0	1.856	0.256	0.801	0
183	Passaggio convogli	0.168	0.011	0.034	0	1.856	0.12	0.374	0
183	Vento Y (-Z)	0.168	-0.016	-0.049	0	1.856	-0.172	-0.537	0
183	Vento Y (+Z)	0	-0.141	0.045	-0.148	1.856	-0.141	0.045	-0.148
183	Vento Y (-Z)	0	-0.141	0.045	-0.148	1.856	-0.141	0.045	-0.148
184	Permanenti portati	0	-0.126	-0.666	0	1.789	-0.25	-1.325	0
184	Neve	0	-0.04	-0.213	0	1.789	-0.08	-0.424	0
184	Vento X (+Z)	0	0.153	0.808	0	1.789	0.304	1.608	0
184	Vento Y (+Z)	0	0.153	0.808	0	1.789	0.304	1.608	0
184	Passaggio convogli	0	0.071	0.377	0	1.789	0.142	0.751	0
184	Vento Y (-Z)	0	-0.102	-0.542	0	1.789	-0.204	-1.078	0
184	Permanenti portati	0	-0.126	-0.666	0	1.789	-0.25	-1.325	0
184	Neve	0	-0.04	-0.213	0	1.789	-0.08	-0.424	0
184	Vento X (+Z)	0	0.153	0.808	0	1.789	0.304	1.608	0
184	Vento Y (+Z)	0	0.153	0.808	0	1.789	0.304	1.608	0

Indice asta	Condizione	Posizione iniziale	F1 iniziale	F2 iniziale	F3 iniziale	Posizione finale	F1 finale	F2 finale	F3 finale
184	Passaggio convogli	0	0.071	0.377	0	1.789	0.142	0.751	0
184	Vento Y (-Z)	0	-0.102	-0.542	0	1.789	-0.204	-1.078	0
184	Vento Y (+Z)	0	-0.146	0.028	-0.148	1.799	-0.146	0.028	-0.148
184	Vento Y (-Z)	0	-0.146	0.028	-0.148	1.799	-0.146	0.028	-0.148
185	Permanenti portati	0	-0.098	-1.327	0	1.769	-0.147	-1.989	0
185	Neve	0	-0.031	-0.425	0	1.769	-0.047	-0.636	0
185	Vento X (+Z)	0	0.119	1.61	0	1.769	0.179	2.413	0
185	Vento Y (+Z)	0	0.119	1.61	0	1.769	0.179	2.413	0
185	Passaggio convogli	0	0.056	0.752	0	1.769	0.084	1.127	0
185	Vento Y (-Z)	0	-0.08	-1.079	0	1.769	-0.12	-1.617	0
185	Permanenti portati	0	-0.098	-1.327	0	1.769	-0.147	-1.989	0
185	Neve	0	-0.031	-0.425	0	1.769	-0.047	-0.636	0
185	Vento X (+Z)	0	0.119	1.61	0	1.769	0.179	2.413	0
185	Vento Y (+Z)	0	0.119	1.61	0	1.769	0.179	2.413	0
185	Passaggio convogli	0	0.056	0.752	0	1.769	0.084	1.127	0
185	Vento Y (-Z)	0	-0.08	-1.079	0	1.769	-0.12	-1.617	0
185	Vento Y (+Z)	0	-0.148	0.011	-0.148	1.773	-0.148	0.011	-0.148
185	Vento Y (-Z)	0	-0.148	0.011	-0.148	1.773	-0.148	0.011	-0.148
186	Permanenti portati	0	-0.392	-3.737	0	1.252	-0.586	-5.594	0
186	Neve	0	-0.125	-1.196	0	1.252	-0.188	-1.79	0
186	Vento X (+Z)	0	0.475	4.535	0	1.252	0.711	6.788	0
186	Vento Y (+Z)	0	0.475	4.535	0	1.252	0.711	6.788	0
186	Passaggio convogli	0	0.222	2.118	0	1.252	0.332	3.17	0
186	Vento Y (-Z)	0	-0.319	-3.04	0	1.252	-0.477	-4.55	0
187	Permanenti portati	0	0	0	0	0.062	-0.035	-0.077	0
187	Neve	0	0	0	0	0.062	-0.011	-0.025	0
187	Vento X (+Z)	0	0	0	0	0.062	0.042	0.094	0
187	Vento Y (+Z)	0	0	0	0	0.062	0.042	0.094	0
187	Passaggio convogli	0	0	0	0	0.062	0.02	0.044	0
187	Vento Y (-Z)	0	0	0	0	0.062	-0.028	-0.063	0
187	Permanenti portati	0.062	-0.035	-0.077	0	0.088	-0.041	-0.091	0
187	Neve	0.062	-0.011	-0.025	0	0.088	-0.013	-0.029	0
187	Vento X (+Z)	0.062	0.042	0.094	0	0.088	0.05	0.11	0
187	Vento Y (+Z)	0.062	0.042	0.094	0	0.088	0.05	0.11	0
187	Passaggio convogli	0.062	0.02	0.044	0	0.088	0.023	0.051	0
187	Vento Y (-Z)	0.062	-0.028	-0.063	0	0.088	-0.033	-0.074	0
187	Permanenti portati	0.088	-0.041	-0.091	0	0.124	-0.07	-0.155	0
187	Neve	0.088	-0.013	-0.029	0	0.124	-0.022	-0.049	0
187	Vento X (+Z)	0.088	0.05	0.11	0	0.124	0.085	0.188	0
187	Vento Y (+Z)	0.088	0.05	0.11	0	0.124	0.085	0.188	0
187	Passaggio convogli	0.088	0.023	0.051	0	0.124	0.04	0.088	0
187	Vento Y (-Z)	0.088	-0.033	-0.074	0	0.124	-0.057	-0.126	0
187	Permanenti portati	0.124	-0.07	-0.155	0	0.212	-0.109	-0.241	0
187	Neve	0.124	-0.022	-0.049	0	0.212	-0.035	-0.077	0
187	Vento X (+Z)	0.124	0.085	0.188	0	0.212	0.133	0.293	0
187	Vento Y (+Z)	0.124	0.085	0.188	0	0.212	0.133	0.293	0
187	Passaggio convogli	0.124	0.04	0.088	0	0.212	0.062	0.137	0
187	Vento Y (-Z)	0.124	-0.057	-0.126	0	0.212	-0.089	-0.196	0
187	Permanenti portati	0.212	-0.109	-0.241	0	1.26	-0.71	-1.569	0
187	Neve	0.212	-0.035	-0.077	0	1.26	-0.227	-0.502	0
187	Vento X (+Z)	0.212	0.133	0.293	0	1.26	0.862	1.904	0
187	Vento Y (+Z)	0.212	0.133	0.293	0	1.26	0.862	1.904	0
187	Passaggio convogli	0.212	0.062	0.137	0	1.26	0.403	0.889	0
187	Vento Y (-Z)	0.212	-0.089	-0.196	0	1.26	-0.578	-1.276	0
187	Permanenti portati	1.26	-0.71	-1.569	0	1.372	-0.773	-1.708	0
187	Neve	1.26	-0.227	-0.502	0	1.372	-0.247	-0.547	0
187	Vento X (+Z)	1.26	0.862	1.904	0	1.372	0.938	2.072	0
187	Vento Y (+Z)	1.26	0.862	1.904	0	1.372	0.938	2.072	0
187	Passaggio convogli	1.26	0.403	0.889	0	1.372	0.438	0.968	0
187	Vento Y (-Z)	1.26	-0.578	-1.276	0	1.372	-0.629	-1.389	0
188	Permanenti portati	0	-0.489	-1.83	0	1.28	-0.968	-3.623	0
188	Neve	0	-0.157	-0.586	0	1.28	-0.31	-1.159	0
188	Vento X (+Z)	0	0.593	2.221	0	1.28	1.175	4.396	0
188	Vento Y (+Z)	0	0.593	2.221	0	1.28	1.175	4.396	0
188	Passaggio convogli	0	0.277	1.037	0	1.28	0.549	2.053	0
188	Vento Y (-Z)	0	-0.398	-1.489	0	1.28	-0.787	-2.947	0
220	Permanenti portati	0.005	0.469	-4.475	0	1.257	0.469	-4.475	0
220	Neve	0.005	0.15	-1.432	0	1.257	0.15	-1.432	0
220	Vento X (+Z)	0.005	-0.569	5.43	0	1.257	-0.569	5.43	0
220	Vento Y (+Z)	0.005	-0.569	5.43	0	1.257	-0.569	5.43	0
220	Passaggio convogli	0.005	0	0	0	1.257	0	0	0
220	Vento Y (-Z)	0.005	0.381	-3.64	0	1.257	0.381	-3.64	0
220	Vento Y (+Z)	0	-0.209	-0.022	0	1.257	-0.209	-0.022	0
220	Vento Y (-Z)	0	-0.209	-0.022	0	1.257	-0.209	-0.022	0
221	Permanenti portati	0.013	1.162	-4.347	0	1.294	1.162	-4.347	0
221	Neve	0.013	0.372	-1.391	0	1.294	0.372	-1.391	0
221	Vento X (+Z)	0.013	-1.409	5.275	0	1.294	-1.409	5.275	0
221	Vento Y (+Z)	0.013	-1.409	5.275	0	1.294	-1.409	5.275	0
221	Vento Y (-Z)	0.013	0.945	-3.536	0	1.294	0.945	-3.536	0
221	Vento Y (+Z)	0	-0.203	-0.054	0	1.294	-0.203	-0.054	0
221	Vento Y (-Z)	0	-0.203	-0.054	0	1.294	-0.203	-0.054	0
222	Permanenti portati	0.023	1.856	-4.099	0	0.549	1.856	-4.099	0
222	Neve	0.023	0.594	-1.312	0	0.549	0.594	-1.312	0
222	Vento X (+Z)	0.023	-2.252	4.974	0	0.549	-2.252	4.974	0
222	Vento Y (+Z)	0.023	-2.252	4.974	0	0.549	-2.252	4.974	0
222	Vento Y (-Z)	0.023	1.51	-3.334	0	0.549	1.51	-3.334	0
223	Permanenti portati	0	1.856	-4.099	0	0.846	1.856	-4.099	0
223	Neve	0	0.594	-1.312	0	0.846	0.594	-1.312	0
223	Vento X (+Z)	0	-2.252	4.974	0	0.846	-2.252	4.974	0
223	Vento Y (+Z)	0	-2.252	4.974	0	0.846	-2.252	4.974	0
223	Vento Y (-Z)	0	1.51	-3.334	0	0.846	1.51	-3.334	0
222	Vento Y (+Z)	0	-0.191	-0.087	0	0.549	-0.191	-0.087	0
222	Vento Y (-Z)	0	-0.191	-0.087	0	0.549	-0.191	-0.087	0
223	Vento Y (+Z)	0	-0.191	-0.087	0	0.913	-0.191	-0.087	0
223	Vento Y (-Z)	0	-0.191	-0.087	0	0.913	-0.191	-0.087	0
224	Permanenti portati	0.013	1.065	-3.985	0	1.294	0.825	-3.089	0
224	Neve	0.013	0.341	-1.275	0	1.294	0.264	-0.988	0
224	Vento X (+Z)	0.013	-1.292	4.835	0	1.294	-1.001	3.748	0
224	Vento Y (+Z)	0.013	-1.292	4.835	0	1.294	-1.001	3.748	0
224	Passaggio convogli	0.013	0.603	-2.258	0	1.294	0.468	-1.75	0

Indice asta	Condizione	Posizione iniziale	F1 iniziale	F2 iniziale	F3 iniziale	Posizione finale	F1 finale	F2 finale	F3 finale
224	Vento Y (-Z)	0.013	0.866	-3.241	0	1.294	0.671	-2.512	0
224	Vento Y (+Z)	0	-0.203	-0.054	0	1.294	-0.203	-0.054	0
224	Vento Y (-Z)	0	-0.203	-0.054	0	1.294	-0.203	-0.054	0
225	Permanenti portati	0.005	0.528	-5.035	0	1.257	0.43	-4.106	0
225	Neve	0.005	0.169	-1.611	0	1.257	0.138	-1.314	0
225	Vento X (+Z)	0.005	-0.64	6.109	0	1.257	-0.522	4.983	0
225	Vento Y (+Z)	0.005	-0.64	6.109	0	1.257	-0.522	4.983	0
225	Passaggio convogli	0.005	0.299	-2.853	0	1.257	0.244	-2.327	0
225	Vento Y (-Z)	0.005	0.429	-4.095	0	1.257	0.35	-3.34	0
225	Vento Y (+Z)	0	-0.209	-0.022	0	1.257	-0.209	-0.022	0
225	Vento Y (-Z)	0	-0.209	-0.022	0	1.257	-0.209	-0.022	0
226	Permanenti portati	0.023	1.315	-2.904	0	0.549	1.162	-2.566	0
226	Neve	0.023	0.421	-0.929	0	0.549	0.372	-0.821	0
226	Vento X (+Z)	0.023	-1.595	3.523	0	0.549	-1.41	3.114	0
226	Vento Y (+Z)	0.023	-1.595	3.523	0	0.549	-1.41	3.114	0
226	Passaggio convogli	0.023	0.745	-1.645	0	0.549	0.658	-1.454	0
226	Vento Y (-Z)	0.023	1.069	-2.362	0	0.549	0.945	-2.087	0
227	Permanenti portati	0	1.162	-2.566	0	0.635	0.978	-2.159	0
227	Neve	0	0.372	-0.821	0	0.635	0.313	-0.691	0
227	Vento X (+Z)	0	-1.41	3.114	0	0.635	-1.186	2.62	0
227	Vento Y (+Z)	0	-1.41	3.114	0	0.635	-1.186	2.62	0
227	Passaggio convogli	0	0.658	-1.454	0	0.635	0.554	-1.223	0
227	Vento Y (-Z)	0	0.945	-2.087	0	0.635	0.795	-1.756	0
227	Permanenti portati	0.635	0.988	-2.182	0	0.685	0.978	-2.159	0
227	Neve	0.635	0.316	-0.698	0	0.685	0.313	-0.691	0
227	Vento X (+Z)	0.635	-1.199	2.647	0	0.685	-1.186	2.62	0
227	Vento Y (+Z)	0.635	-1.199	2.647	0	0.685	-1.186	2.62	0
227	Passaggio convogli	0.635	0.56	-1.236	0	0.685	0.554	-1.223	0
227	Vento Y (-Z)	0.635	0.803	-1.774	0	0.685	0.795	-1.756	0
227	Permanenti portati	0.685	0.978	-2.159	0	0.715	0.965	-2.132	0
227	Neve	0.685	0.313	-0.691	0	0.715	0.309	-0.682	0
227	Vento X (+Z)	0.685	-1.186	2.62	0	0.715	-1.171	2.587	0
227	Vento Y (+Z)	0.685	-1.186	2.62	0	0.715	-1.171	2.587	0
227	Passaggio convogli	0.685	0.554	-1.223	0	0.715	0.547	-1.208	0
227	Vento Y (-Z)	0.685	0.795	-1.756	0	0.715	0.785	-1.734	0
227	Permanenti portati	0.715	0.965	-2.132	0	0.846	0.928	-2.05	0
227	Neve	0.715	0.309	-0.682	0	0.846	0.297	-0.656	0
227	Vento X (+Z)	0.715	-1.171	2.587	0	0.846	-1.126	2.487	0
227	Vento Y (+Z)	0.715	-1.171	2.587	0	0.846	-1.126	2.487	0
227	Passaggio convogli	0.715	0.547	-1.208	0	0.846	0.526	-1.161	0
227	Vento Y (-Z)	0.715	0.785	-1.734	0	0.846	0.755	-1.667	0
226	Vento Y (+Z)	0	-0.191	-0.087	0	0.549	-0.191	-0.087	0
226	Vento Y (-Z)	0	-0.191	-0.087	0	0.549	-0.191	-0.087	0
227	Vento Y (+Z)	0	-0.191	-0.087	0	0.913	-0.191	-0.087	0
227	Vento Y (-Z)	0	-0.191	-0.087	0	0.913	-0.191	-0.087	0
228	Permanenti portati	0.013	1.162	-4.347	0	1.294	1.162	-4.347	0
228	Neve	0.013	0.372	-1.391	0	1.294	0.372	-1.391	0
228	Vento X (+Z)	0.013	-1.409	5.275	0	1.294	-1.409	5.275	0
228	Vento Y (+Z)	0.013	-1.409	5.275	0	1.294	-1.409	5.275	0
228	Passaggio convogli	0.013	-0.658	2.464	0	1.294	-0.658	2.464	0
228	Vento Y (-Z)	0.013	0.945	-3.536	0	1.294	0.945	-3.536	0
228	Vento Y (+Z)	0	-0.203	-0.054	0	1.294	-0.203	-0.054	0
228	Vento Y (-Z)	0	-0.203	-0.054	0	1.294	-0.203	-0.054	0
229	Permanenti portati	0.005	0.469	-4.475	0	1.257	0.469	-4.475	0
229	Neve	0.005	0.15	-1.432	0	1.257	0.15	-1.432	0
229	Vento X (+Z)	0.005	-0.569	5.43	0	1.257	-0.569	5.43	0
229	Vento Y (+Z)	0.005	-0.569	5.43	0	1.257	-0.569	5.43	0
229	Passaggio convogli	0.005	-0.266	2.536	0	1.257	-0.266	2.536	0
229	Vento Y (-Z)	0.005	0.381	-3.64	0	1.257	0.381	-3.64	0
229	Vento Y (+Z)	0	-0.209	-0.022	0	1.257	-0.209	-0.022	0
229	Vento Y (-Z)	0	-0.209	-0.022	0	1.257	-0.209	-0.022	0
230	Permanenti portati	0.023	1.856	-4.099	0	0.549	1.856	-4.099	0
230	Neve	0.023	0.594	-1.312	0	0.549	0.594	-1.312	0
230	Vento X (+Z)	0.023	-2.252	4.974	0	0.549	-2.252	4.974	0
230	Vento Y (+Z)	0.023	-2.252	4.974	0	0.549	-2.252	4.974	0
230	Passaggio convogli	0.023	-1.052	2.323	0	0.549	-1.052	2.323	0
230	Vento Y (-Z)	0.023	1.51	-3.334	0	0.549	1.51	-3.334	0
231	Permanenti portati	0	1.856	-4.099	0	0.846	1.856	-4.099	0
231	Neve	0	0.594	-1.312	0	0.846	0.594	-1.312	0
231	Vento X (+Z)	0	-2.252	4.974	0	0.846	-2.252	4.974	0
231	Vento Y (+Z)	0	-2.252	4.974	0	0.846	-2.252	4.974	0
231	Passaggio convogli	0	-1.052	2.323	0	0.846	-1.052	2.323	0
231	Vento Y (-Z)	0	1.51	-3.334	0	0.846	1.51	-3.334	0
230	Vento Y (+Z)	0	-0.191	-0.087	0	0.549	-0.191	-0.087	0
230	Vento Y (-Z)	0	-0.191	-0.087	0	0.549	-0.191	-0.087	0
231	Vento Y (+Z)	0	-0.191	-0.087	0	0.913	-0.191	-0.087	0
231	Vento Y (-Z)	0	-0.191	-0.087	0	0.913	-0.191	-0.087	0
232	Permanenti portati	0.013	1.162	-4.347	0	1.294	1.162	-4.347	0
232	Neve	0.013	0.365	-1.368	0	1.294	0.365	-1.368	0
232	Vento X (+Z)	0.013	-1.409	5.275	0	1.294	-1.409	5.275	0
232	Vento Y (+Z)	0.013	-1.409	5.275	0	1.294	-1.409	5.275	0
232	Passaggio convogli	0.013	-0.329	1.232	0	1.294	-0.329	1.232	0
232	Vento Y (-Z)	0.013	0.945	-3.536	0	1.294	0.945	-3.536	0
232	Vento Y (+Z)	0	-0.203	-0.054	0	1.294	-0.203	-0.054	0
232	Vento Y (-Z)	0	-0.203	-0.054	0	1.294	-0.203	-0.054	0
233	Permanenti portati	0.005	0.469	-4.475	0	1.257	0.469	-4.475	0
233	Neve	0.005	0.15	-1.428	0	1.257	0.15	-1.428	0
233	Vento X (+Z)	0.005	-0.569	5.43	0	1.257	-0.569	5.43	0
233	Vento Y (+Z)	0.005	-0.569	5.43	0	1.257	-0.569	5.43	0
233	Passaggio convogli	0.005	-0.133	1.268	0	1.257	-0.133	1.268	0
233	Vento Y (-Z)	0.005	0.381	-3.64	0	1.257	0.381	-3.64	0
233	Vento Y (+Z)	0	-0.209	-0.022	0	1.257	-0.209	-0.022	0
233	Vento Y (-Z)	0	-0.209	-0.022	0	1.257	-0.209	-0.022	0
234	Permanenti portati	0.023	1.856	-4.099	0	0.55	1.856	-4.099	0
234	Neve	0.023	0.568	-1.253	0	0.55	0.568	-1.253	0
234	Vento X (+Z)	0.023	-2.252	4.974	0	0.55	-2.252	4.974	0
234	Vento Y (+Z)	0.023	-2.252	4.974	0	0.55	-2.252	4.974	0
234	Passaggio convogli	0.023	-0.526	1.161	0	0.55	-0.526	1.161	0
234	Vento Y (-Z)	0.023	1.51	-3.334	0	0.55	1.51	-3.334	0
235	Permanenti portati	0	1.856	-4.099	0	0.846	1.856	-4.099	0

Indice asta	Condizione	Posizione iniziale	F1 iniziale	F2 iniziale	F3 iniziale	Posizione finale	F1 finale	F2 finale	F3 finale
235	Neve	0	0.568	-1.253	0	0.846	0.568	-1.253	0
235	Vento X (+Z)	0	-2.252	4.974	0	0.846	-2.252	4.974	0
235	Vento Y (+Z)	0	-2.252	4.974	0	0.846	-2.252	4.974	0
235	Passaggio convogli	0	-0.526	1.161	0	0.846	-0.526	1.161	0
235	Vento Y (-Z)	0	1.51	-3.334	0	0.846	1.51	-3.334	0
234	Vento Y (+Z)	0	-0.191	-0.087	0	0.55	-0.191	-0.087	0
234	Vento Y (-Z)	0	-0.191	-0.087	0	0.55	-0.191	-0.087	0
235	Vento Y (+Z)	0	-0.191	-0.087	0	0.913	-0.191	-0.087	0
235	Vento Y (-Z)	0	-0.191	-0.087	0	0.913	-0.191	-0.087	0
236	Permanenti portati	0.013	1.162	-4.347	0	1.294	1.162	-4.347	0
236	Neve	0.013	0.359	-1.344	0	1.294	0.359	-1.344	0
236	Vento X (+Z)	0.013	-1.409	5.275	0	1.294	-1.409	5.275	0
236	Vento Y (+Z)	0.013	-1.409	5.275	0	1.294	-1.409	5.275	0
236	Vento Y (-Z)	0.013	0.945	-3.536	0	1.294	0.945	-3.536	0
236	Vento Y (+Z)	0	-0.203	-0.054	0	1.294	-0.203	-0.054	0
236	Vento Y (-Z)	0	-0.203	-0.054	0	1.294	-0.203	-0.054	0
237	Permanenti portati	0.005	0.469	-4.475	0	1.257	0.469	-4.475	0
237	Neve	0.005	0.149	-1.424	0	1.257	0.149	-1.424	0
237	Vento X (+Z)	0.005	-0.569	5.43	0	1.257	-0.569	5.43	0
237	Vento Y (+Z)	0.005	-0.569	5.43	0	1.257	-0.569	5.43	0
237	Vento Y (-Z)	0.005	0.381	-3.64	0	1.257	0.381	-3.64	0
237	Vento Y (+Z)	0	-0.209	-0.022	0	1.257	-0.209	-0.022	0
237	Vento Y (-Z)	0	-0.209	-0.022	0	1.257	-0.209	-0.022	0
238	Permanenti portati	0.023	1.856	-4.099	0	0.55	1.856	-4.099	0
238	Neve	0.023	0.541	-1.195	0	0.55	0.541	-1.195	0
238	Vento X (+Z)	0.023	-2.252	4.974	0	0.55	-2.252	4.974	0
238	Vento Y (+Z)	0.023	-2.252	4.974	0	0.55	-2.252	4.974	0
238	Vento Y (-Z)	0.023	1.51	-3.334	0	0.55	1.51	-3.334	0
239	Permanenti portati	0	1.856	-4.099	0	0.845	1.856	-4.099	0
239	Neve	0	0.541	-1.195	0	0.845	0.541	-1.195	0
239	Vento X (+Z)	0	-2.252	4.974	0	0.845	-2.252	4.974	0
239	Vento Y (+Z)	0	-2.252	4.974	0	0.845	-2.252	4.974	0
239	Vento Y (-Z)	0	1.51	-3.334	0	0.845	1.51	-3.334	0
238	Vento Y (+Z)	0	-0.191	-0.087	0	0.55	-0.191	-0.087	0
238	Vento Y (-Z)	0	-0.191	-0.087	0	0.55	-0.191	-0.087	0
239	Vento Y (+Z)	0	-0.191	-0.087	0	0.912	-0.191	-0.087	0
239	Vento Y (-Z)	0	-0.191	-0.087	0	0.912	-0.191	-0.087	0
240	Permanenti portati	0.013	1.162	-4.347	0	1.294	1.162	-4.347	0
240	Neve	0.013	0.359	-1.344	0	1.294	0.359	-1.344	0
240	Vento X (+Z)	0.013	-1.409	5.275	0	1.294	-1.409	5.275	0
240	Vento Y (+Z)	0.013	-1.409	5.275	0	1.294	-1.409	5.275	0
240	Vento Y (-Z)	0.013	0.945	-3.536	0	1.294	0.945	-3.536	0
240	Vento Y (+Z)	0	-0.203	-0.054	0	1.294	-0.203	-0.054	0
240	Vento Y (-Z)	0	-0.203	-0.054	0	1.294	-0.203	-0.054	0
241	Permanenti portati	0.005	0.469	-4.475	0	1.257	0.469	-4.475	0
241	Neve	0.005	0.149	-1.424	0	1.257	0.149	-1.424	0
241	Vento X (+Z)	0.005	-0.569	5.43	0	1.257	-0.569	5.43	0
241	Vento Y (+Z)	0.005	-0.569	5.43	0	1.257	-0.569	5.43	0
241	Vento Y (-Z)	0.005	0.381	-3.64	0	1.257	0.381	-3.64	0
241	Vento Y (+Z)	0	-0.209	-0.022	0	1.257	-0.209	-0.022	0
241	Vento Y (-Z)	0	-0.209	-0.022	0	1.257	-0.209	-0.022	0
242	Permanenti portati	0.023	1.856	-4.099	0	0.551	1.856	-4.099	0
242	Neve	0.023	0.541	-1.195	0	0.551	0.541	-1.195	0
242	Vento X (+Z)	0.023	-2.252	4.974	0	0.551	-2.252	4.974	0
242	Vento Y (+Z)	0.023	-2.252	4.974	0	0.551	-2.252	4.974	0
242	Vento Y (-Z)	0.023	1.51	-3.334	0	0.551	1.51	-3.334	0
243	Permanenti portati	0	1.856	-4.099	0	0.844	1.856	-4.099	0
243	Neve	0	0.541	-1.195	0	0.844	0.541	-1.195	0
243	Vento X (+Z)	0	-2.252	4.974	0	0.844	-2.252	4.974	0
243	Vento Y (+Z)	0	-2.252	4.974	0	0.844	-2.252	4.974	0
243	Vento Y (-Z)	0	1.51	-3.334	0	0.844	1.51	-3.334	0
242	Vento Y (+Z)	0	-0.191	-0.087	0	0.551	-0.191	-0.087	0
242	Vento Y (-Z)	0	-0.191	-0.087	0	0.551	-0.191	-0.087	0
243	Vento Y (+Z)	0	-0.191	-0.087	0	0.911	-0.191	-0.087	0
243	Vento Y (-Z)	0	-0.191	-0.087	0	0.911	-0.191	-0.087	0
244	Permanenti portati	0.013	1.162	-4.347	0	1.294	1.162	-4.347	0
244	Neve	0.013	0.365	-1.368	0	1.294	0.365	-1.368	0
244	Vento X (+Z)	0.013	-1.409	5.275	0	1.294	-1.409	5.275	0
244	Vento Y (+Z)	0.013	-1.409	5.275	0	1.294	-1.409	5.275	0
244	Passaggio convogli	0.013	0.329	-1.232	0	1.294	0.329	-1.232	0
244	Vento Y (-Z)	0.013	0.945	-3.536	0	1.294	0.945	-3.536	0
244	Vento Y (+Z)	0	-0.203	-0.054	0	1.294	-0.203	-0.054	0
244	Vento Y (-Z)	0	-0.203	-0.054	0	1.294	-0.203	-0.054	0
245	Permanenti portati	0.005	0.469	-4.475	0	1.257	0.469	-4.475	0
245	Neve	0.005	0.15	-1.428	0	1.257	0.15	-1.428	0
245	Vento X (+Z)	0.005	-0.569	5.43	0	1.257	-0.569	5.43	0
245	Vento Y (+Z)	0.005	-0.569	5.43	0	1.257	-0.569	5.43	0
245	Passaggio convogli	0.005	0.133	-1.268	0	1.257	0.133	-1.268	0
245	Vento Y (-Z)	0.005	0.381	-3.64	0	1.257	0.381	-3.64	0
245	Vento Y (+Z)	0	-0.209	-0.022	0	1.257	-0.209	-0.022	0
245	Vento Y (-Z)	0	-0.209	-0.022	0	1.257	-0.209	-0.022	0
246	Permanenti portati	0.023	1.856	-4.099	0	0.551	1.856	-4.099	0
246	Neve	0.023	0.568	-1.253	0	0.551	0.568	-1.253	0
246	Vento X (+Z)	0.023	-2.252	4.974	0	0.551	-2.252	4.974	0
246	Vento Y (+Z)	0.023	-2.252	4.974	0	0.551	-2.252	4.974	0
246	Passaggio convogli	0.023	0.526	-1.161	0	0.551	0.526	-1.161	0
246	Vento Y (-Z)	0.023	1.51	-3.334	0	0.551	1.51	-3.334	0
247	Permanenti portati	0	1.856	-4.099	0	0.844	1.856	-4.099	0
247	Neve	0	0.568	-1.253	0	0.844	0.568	-1.253	0
247	Vento X (+Z)	0	-2.252	4.974	0	0.844	-2.252	4.974	0
247	Vento Y (+Z)	0	-2.252	4.974	0	0.844	-2.252	4.974	0
247	Passaggio convogli	0	0.526	-1.161	0	0.844	0.526	-1.161	0
247	Vento Y (-Z)	0	1.51	-3.334	0	0.844	1.51	-3.334	0
246	Vento Y (+Z)	0	-0.191	-0.087	0	0.551	-0.191	-0.087	0
246	Vento Y (-Z)	0	-0.191	-0.087	0	0.551	-0.191	-0.087	0
247	Vento Y (+Z)	0	-0.191	-0.087	0	0.911	-0.191	-0.087	0
247	Vento Y (-Z)	0	-0.191	-0.087	0	0.911	-0.191	-0.087	0
248	Permanenti portati	0.013	1.162	-4.347	0	1.294	1.162	-4.347	0
248	Neve	0.013	0.372	-1.391	0	1.294	0.372	-1.391	0
248	Vento X (+Z)	0.013	-1.409	5.275	0	1.294	-1.409	5.275	0

Indice asta	Condizione	Posizione iniziale	F1 iniziale	F2 iniziale	F3 iniziale	Posizione finale	F1 finale	F2 finale	F3 finale
248	Vento Y (+Z)	0.013	-1.409	5.275	0	1.294	-1.409	5.275	0
248	Passaggio convogli	0.013	0.658	-2.464	0	1.294	0.658	-2.464	0
248	Vento Y (-Z)	0.013	0.945	-3.536	0	1.294	0.945	-3.536	0
248	Vento Y (+Z)	0	-0.203	-0.054	0	1.294	-0.203	-0.054	0
248	Vento Y (-Z)	0	-0.203	-0.054	0	1.294	-0.203	-0.054	0
249	Permanenti portati	0.005	0.469	-4.475	0	1.257	0.469	-4.475	0
249	Neve	0.005	0.15	-1.432	0	1.257	0.15	-1.432	0
249	Vento X (+Z)	0.005	-0.569	5.43	0	1.257	-0.569	5.43	0
249	Vento Y (+Z)	0.005	-0.569	5.43	0	1.257	-0.569	5.43	0
249	Passaggio convogli	0.005	0.266	-2.536	0	1.257	0.266	-2.536	0
249	Vento Y (-Z)	0.005	0.381	-3.64	0	1.257	0.381	-3.64	0
249	Vento Y (+Z)	0	-0.209	-0.022	0	1.257	-0.209	-0.022	0
249	Vento Y (-Z)	0	-0.209	-0.022	0	1.257	-0.209	-0.022	0
250	Permanenti portati	0.023	1.856	-4.099	0	0.552	1.856	-4.099	0
250	Neve	0.023	0.594	-1.312	0	0.552	0.594	-1.312	0
250	Vento X (+Z)	0.023	-2.252	4.974	0	0.552	-2.252	4.974	0
250	Vento Y (+Z)	0.023	-2.252	4.974	0	0.552	-2.252	4.974	0
250	Passaggio convogli	0.023	1.052	-2.323	0	0.552	1.052	-2.323	0
250	Vento Y (-Z)	0.023	1.51	-3.334	0	0.552	1.51	-3.334	0
251	Permanenti portati	0	1.856	-4.099	0	0.843	1.856	-4.099	0
251	Neve	0	0.594	-1.312	0	0.843	0.594	-1.312	0
251	Vento X (+Z)	0	-2.252	4.974	0	0.843	-2.252	4.974	0
251	Vento Y (+Z)	0	-2.252	4.974	0	0.843	-2.252	4.974	0
251	Passaggio convogli	0	1.052	-2.323	0	0.843	1.052	-2.323	0
251	Vento Y (-Z)	0	1.51	-3.334	0	0.843	1.51	-3.334	0
251	Vento Y (+Z)	0	-0.191	-0.087	0	0.552	-0.191	-0.087	0
251	Vento Y (-Z)	0	-0.191	-0.087	0	0.552	-0.191	-0.087	0
251	Vento Y (+Z)	0	-0.191	-0.087	0	0.91	-0.191	-0.087	0
251	Vento Y (-Z)	0	-0.191	-0.087	0	0.91	-0.191	-0.087	0
252	Permanenti portati	0.013	1.162	-4.347	0	1.294	1.162	-4.347	0
252	Neve	0.013	0.372	-1.391	0	1.294	0.372	-1.391	0
252	Vento X (+Z)	0.013	-1.409	5.275	0	1.294	-1.409	5.275	0
252	Vento Y (+Z)	0.013	-1.409	5.275	0	1.294	-1.409	5.275	0
252	Vento Y (-Z)	0.013	0.945	-3.536	0	1.294	0.945	-3.536	0
252	Vento Y (+Z)	0	-0.203	-0.054	0	1.294	-0.203	-0.054	0
252	Vento Y (-Z)	0	-0.203	-0.054	0	1.294	-0.203	-0.054	0
253	Permanenti portati	0.005	0.469	-4.475	0	1.257	0.469	-4.475	0
253	Neve	0.005	0.15	-1.432	0	1.257	0.15	-1.432	0
253	Vento X (+Z)	0.005	-0.569	5.43	0	1.257	-0.569	5.43	0
253	Vento Y (+Z)	0.005	-0.569	5.43	0	1.257	-0.569	5.43	0
253	Vento Y (-Z)	0.005	0.381	-3.64	0	1.257	0.381	-3.64	0
253	Vento Y (+Z)	0	-0.209	-0.022	0	1.257	-0.209	-0.022	0
253	Vento Y (-Z)	0	-0.209	-0.022	0	1.257	-0.209	-0.022	0
254	Permanenti portati	0.023	1.856	-4.099	0	0.552	1.856	-4.099	0
254	Neve	0.023	0.594	-1.312	0	0.552	0.594	-1.312	0
254	Vento X (+Z)	0.023	-2.252	4.974	0	0.552	-2.252	4.974	0
254	Vento Y (+Z)	0.023	-2.252	4.974	0	0.552	-2.252	4.974	0
254	Vento Y (-Z)	0.023	1.51	-3.334	0	0.552	1.51	-3.334	0
255	Permanenti portati	0	1.856	-4.099	0	0.843	1.856	-4.099	0
255	Neve	0	0.594	-1.312	0	0.843	0.594	-1.312	0
255	Vento X (+Z)	0	-2.252	4.974	0	0.843	-2.252	4.974	0
255	Vento Y (+Z)	0	-2.252	4.974	0	0.843	-2.252	4.974	0
255	Vento Y (-Z)	0	1.51	-3.334	0	0.843	1.51	-3.334	0
255	Vento Y (+Z)	0	-0.191	-0.087	0	0.552	-0.191	-0.087	0
255	Vento Y (-Z)	0	-0.191	-0.087	0	0.552	-0.191	-0.087	0
255	Vento Y (+Z)	0	-0.191	-0.087	0	0.91	-0.191	-0.087	0
255	Vento Y (-Z)	0	-0.191	-0.087	0	0.91	-0.191	-0.087	0
256	Permanenti portati	0.013	1.065	-3.985	0	1.294	0.825	-3.089	0
256	Neve	0.013	0.341	-1.275	0	1.294	0.264	-0.988	0
256	Vento X (+Z)	0.013	-1.292	4.835	0	1.294	-1.001	3.748	0
256	Vento Y (+Z)	0.013	-1.292	4.835	0	1.294	-1.001	3.748	0
256	Passaggio convogli	0.013	-0.603	2.258	0	1.294	-0.468	1.75	0
256	Vento Y (-Z)	0.013	0.866	-3.241	0	1.294	0.671	-2.512	0
256	Vento Y (+Z)	0	-0.203	-0.054	0	1.294	-0.203	-0.054	0
256	Vento Y (-Z)	0	-0.203	-0.054	0	1.294	-0.203	-0.054	0
257	Permanenti portati	0.005	0.528	-5.035	0	1.257	0.43	-4.106	0
257	Neve	0.005	0.169	-1.611	0	1.257	0.138	-1.314	0
257	Vento X (+Z)	0.005	-0.64	6.109	0	1.257	-0.522	4.983	0
257	Vento Y (+Z)	0.005	-0.64	6.109	0	1.257	-0.522	4.983	0
257	Passaggio convogli	0.005	-0.299	2.853	0	1.257	-0.244	2.327	0
257	Vento Y (-Z)	0.005	0.429	-4.095	0	1.257	0.35	-3.34	0
257	Vento Y (+Z)	0	-0.209	-0.022	0	1.257	-0.209	-0.022	0
257	Vento Y (-Z)	0	-0.209	-0.022	0	1.257	-0.209	-0.022	0
258	Permanenti portati	0.023	1.315	-2.904	0	0.552	1.166	-2.574	0
258	Neve	0.023	0.421	-0.929	0	0.552	0.373	-0.824	0
258	Vento X (+Z)	0.023	-1.595	3.523	0	0.552	-1.414	3.123	0
258	Vento Y (+Z)	0.023	-1.595	3.523	0	0.552	-1.414	3.123	0
258	Passaggio convogli	0.023	-0.745	1.645	0	0.552	-0.661	1.459	0
258	Vento Y (-Z)	0.023	1.069	-2.362	0	0.552	0.948	-2.094	0
259	Permanenti portati	0	1.166	-2.574	0	0.631	0.988	-2.181	0
259	Neve	0	0.373	-0.824	0	0.631	0.316	-0.698	0
259	Vento X (+Z)	0	-1.414	3.123	0	0.631	-1.198	2.647	0
259	Vento Y (+Z)	0	-1.414	3.123	0	0.631	-1.198	2.647	0
259	Passaggio convogli	0	-0.661	1.459	0	0.631	-0.56	1.236	0
259	Vento Y (-Z)	0	0.948	-2.094	0	0.631	0.803	-1.774	0
259	Permanenti portati	0.631	0.988	-2.181	0	0.681	0.978	-2.159	0
259	Neve	0.631	0.316	-0.698	0	0.681	0.313	-0.691	0
259	Vento X (+Z)	0.631	-1.198	2.647	0	0.681	-1.186	2.62	0
259	Vento Y (+Z)	0.631	-1.198	2.647	0	0.681	-1.186	2.62	0
259	Passaggio convogli	0.631	-0.56	1.236	0	0.681	-0.554	1.223	0
259	Vento Y (-Z)	0.631	0.803	-1.774	0	0.681	0.795	-1.756	0
259	Permanenti portati	0.681	0.978	-2.159	0	0.711	0.965	-2.132	0
259	Neve	0.681	0.313	-0.691	0	0.711	0.309	-0.682	0
259	Vento X (+Z)	0.681	-1.186	2.62	0	0.711	-1.171	2.586	0
259	Vento Y (+Z)	0.681	-1.186	2.62	0	0.711	-1.171	2.586	0
259	Passaggio convogli	0.681	-0.554	1.223	0	0.711	-0.547	1.208	0
259	Vento Y (-Z)	0.681	0.795	-1.756	0	0.711	0.785	-1.734	0
259	Permanenti portati	0.711	0.965	-2.132	0	0.843	0.928	-2.05	0
259	Neve	0.711	0.309	-0.682	0	0.843	0.297	-0.656	0
259	Vento X (+Z)	0.711	-1.171	2.586	0	0.843	-1.126	2.487	0

Indice asta	Condizione	Posizione iniziale	F1 iniziale	F2 iniziale	F3 iniziale	Posizione finale	F1 finale	F2 finale	F3 finale
259	Vento Y (+Z)	0.711	-1.171	2.586	0	0.843	-1.126	2.487	0
259	Passaggio convogli	0.711	-0.547	1.208	0	0.843	-0.526	1.161	0
259	Vento Y (-Z)	0.711	0.785	-1.734	0	0.843	0.755	-1.667	0
258	Vento Y (+Z)	0	-0.191	-0.087	0	0.552	-0.191	-0.087	0
258	Vento Y (-Z)	0	-0.191	-0.087	0	0.552	-0.191	-0.087	0
259	Vento Y (+Z)	0	-0.191	-0.087	0	0.91	-0.191	-0.087	0
259	Vento Y (-Z)	0	-0.191	-0.087	0	0.91	-0.191	-0.087	0
260	Permanenti portati	0	-0.002	-0.006	0	0.162	-0.02	-0.064	0
260	Neve	0	-0.001	-0.002	0	0.162	-0.007	-0.02	0
260	Vento X (+Z)	0	0.002	0.007	0	0.162	0.025	0.077	0
260	Vento Y (+Z)	0	0.002	0.007	0	0.162	0.025	0.077	0
260	Passaggio convogli	0	-0.001	-0.003	0	0.162	-0.012	-0.036	0
260	Vento Y (-Z)	0	-0.002	-0.005	0	0.162	-0.017	-0.052	0
260	Permanenti portati	0.162	-0.02	-0.064	0	0.202	-0.023	-0.071	0
260	Neve	0.162	-0.007	-0.02	0	0.202	-0.007	-0.023	0
260	Vento X (+Z)	0.162	0.025	0.077	0	0.202	0.028	0.086	0
260	Vento Y (+Z)	0.162	0.025	0.077	0	0.202	0.028	0.086	0
260	Passaggio convogli	0.162	-0.012	-0.036	0	0.202	-0.013	-0.04	0
260	Vento Y (-Z)	0.162	-0.017	-0.052	0	0.202	-0.019	-0.058	0
260	Permanenti portati	0.202	-0.023	-0.071	0	0.27	-0.033	-0.102	0
260	Neve	0.202	-0.007	-0.023	0	0.27	-0.01	-0.033	0
260	Vento X (+Z)	0.202	0.028	0.086	0	0.27	0.04	0.124	0
260	Vento Y (+Z)	0.202	0.028	0.086	0	0.27	0.04	0.124	0
260	Passaggio convogli	0.202	-0.013	-0.04	0	0.27	-0.019	-0.058	0
260	Vento Y (-Z)	0.202	-0.019	-0.058	0	0.27	-0.027	-0.083	0
260	Permanenti portati	0.27	-0.038	-0.119	0	1.839	-0.211	-0.66	0
260	Neve	0.27	-0.012	-0.038	0	1.839	-0.068	-0.211	0
260	Vento X (+Z)	0.27	0.046	0.145	0	1.839	0.256	0.801	0
260	Vento Y (+Z)	0.27	0.046	0.145	0	1.839	0.256	0.801	0
260	Passaggio convogli	0.27	-0.022	-0.068	0	1.839	-0.12	-0.374	0
260	Vento Y (-Z)	0.27	-0.031	-0.097	0	1.839	-0.172	-0.537	0
260	Permanenti portati	0	0	0	0	0.084	-0.01	-0.03	0
260	Neve	0	0	0	0	0.084	-0.003	-0.01	0
260	Vento X (+Z)	0	0	0	0	0.084	0.012	0.036	0
260	Vento Y (+Z)	0	0	0	0	0.084	0.012	0.036	0
260	Passaggio convogli	0	0	0	0	0.084	-0.005	-0.017	0
260	Vento Y (-Z)	0	0	0	0	0.084	-0.008	-0.024	0
260	Permanenti portati	0.084	-0.01	-0.03	0	0.118	-0.016	-0.049	0
260	Neve	0.084	-0.003	-0.01	0	0.118	-0.005	-0.016	0
260	Vento X (+Z)	0.084	0.012	0.036	0	0.118	0.019	0.06	0
260	Vento Y (+Z)	0.084	0.012	0.036	0	0.118	0.019	0.06	0
260	Passaggio convogli	0.084	-0.005	-0.017	0	0.118	-0.009	-0.028	0
260	Vento Y (-Z)	0.084	-0.008	-0.024	0	0.118	-0.013	-0.04	0
260	Permanenti portati	0.118	-0.016	-0.049	0	0.168	-0.019	-0.06	0
260	Neve	0.118	-0.005	-0.016	0	0.168	-0.006	-0.019	0
260	Vento X (+Z)	0.118	0.019	0.06	0	0.168	0.023	0.072	0
260	Vento Y (+Z)	0.118	0.019	0.06	0	0.168	0.023	0.072	0
260	Passaggio convogli	0.118	-0.009	-0.028	0	0.168	-0.011	-0.034	0
260	Vento Y (-Z)	0.118	-0.013	-0.04	0	0.168	-0.016	-0.048	0
260	Permanenti portati	0.168	-0.019	-0.06	0	1.856	-0.211	-0.66	0
260	Neve	0.168	-0.006	-0.019	0	1.856	-0.068	-0.211	0
260	Vento X (+Z)	0.168	0.023	0.072	0	1.856	0.256	0.801	0
260	Vento Y (+Z)	0.168	0.023	0.072	0	1.856	0.256	0.801	0
260	Passaggio convogli	0.168	-0.011	-0.034	0	1.856	-0.12	-0.374	0
260	Vento Y (-Z)	0.168	-0.016	-0.048	0	1.856	-0.172	-0.537	0
260	Vento Y (+Z)	0	0.141	-0.045	0.148	1.856	0.141	-0.045	0.148
260	Vento Y (-Z)	0	0.141	-0.045	0.148	1.856	0.141	-0.045	0.148
261	Permanenti portati	0	-0.126	-0.666	0	1.789	-0.25	-1.325	0
261	Neve	0	-0.04	-0.213	0	1.789	-0.08	-0.424	0
261	Vento X (+Z)	0	0.153	0.808	0	1.789	0.304	1.608	0
261	Vento Y (+Z)	0	0.153	0.808	0	1.789	0.304	1.608	0
261	Passaggio convogli	0	-0.071	-0.377	0	1.789	-0.142	-0.751	0
261	Vento Y (-Z)	0	-0.102	-0.542	0	1.789	-0.204	-1.078	0
261	Permanenti portati	0	-0.126	-0.666	0	1.789	-0.25	-1.325	0
261	Neve	0	-0.04	-0.213	0	1.789	-0.08	-0.424	0
261	Vento X (+Z)	0	0.153	0.808	0	1.789	0.304	1.608	0
261	Vento Y (+Z)	0	0.153	0.808	0	1.789	0.304	1.608	0
261	Passaggio convogli	0	-0.071	-0.377	0	1.789	-0.142	-0.751	0
261	Vento Y (-Z)	0	-0.102	-0.542	0	1.789	-0.204	-1.078	0
261	Vento Y (+Z)	0	0.146	-0.028	0.148	1.799	0.146	-0.028	0.148
261	Vento Y (-Z)	0	0.146	-0.028	0.148	1.799	0.146	-0.028	0.148
262	Permanenti portati	0	-0.098	-1.327	0	1.769	-0.147	-1.989	0
262	Neve	0	-0.031	-0.425	0	1.769	-0.047	-0.636	0
262	Vento X (+Z)	0	0.119	1.61	0	1.769	0.179	2.413	0
262	Vento Y (+Z)	0	0.119	1.61	0	1.769	0.179	2.413	0
262	Passaggio convogli	0	-0.056	-0.752	0	1.769	-0.084	-1.127	0
262	Vento Y (-Z)	0	-0.08	-1.079	0	1.769	-0.12	-1.617	0
262	Permanenti portati	0	-0.098	-1.327	0	1.769	-0.147	-1.989	0
262	Neve	0	-0.031	-0.425	0	1.769	-0.047	-0.636	0
262	Vento X (+Z)	0	0.119	1.61	0	1.769	0.179	2.413	0
262	Vento Y (+Z)	0	0.119	1.61	0	1.769	0.179	2.413	0
262	Passaggio convogli	0	-0.056	-0.752	0	1.769	-0.084	-1.127	0
262	Vento Y (-Z)	0	-0.08	-1.079	0	1.769	-0.12	-1.617	0
262	Vento Y (+Z)	0	0.148	-0.011	0.148	1.773	0.148	-0.011	0.148
262	Vento Y (-Z)	0	0.148	-0.011	0.148	1.773	0.148	-0.011	0.148
263	Permanenti portati	0	-0.002	-0.006	0	0.161	-0.02	-0.063	0
263	Neve	0	-0.001	-0.002	0	0.161	-0.006	-0.02	0
263	Vento X (+Z)	0	0.002	0.007	0	0.161	0.025	0.077	0
263	Vento Y (+Z)	0	0.002	0.007	0	0.161	0.025	0.077	0
263	Passaggio convogli	0	-0.001	-0.003	0	0.161	0.011	0.036	0
263	Vento Y (-Z)	0	-0.002	-0.005	0	0.161	-0.017	-0.052	0
263	Permanenti portati	0.161	-0.02	-0.063	0	0.201	-0.023	-0.071	0
263	Neve	0.161	-0.006	-0.02	0	0.201	-0.007	-0.023	0
263	Vento X (+Z)	0.161	0.025	0.077	0	0.201	0.027	0.086	0
263	Vento Y (+Z)	0.161	0.025	0.077	0	0.201	0.027	0.086	0
263	Passaggio convogli	0.161	0.011	0.036	0	0.201	0.013	0.04	0
263	Vento Y (-Z)	0.161	-0.017	-0.052	0	0.201	-0.018	-0.058	0
263	Permanenti portati	0.201	-0.023	-0.071	0	0.269	-0.033	-0.102	0
263	Neve	0.201	-0.007	-0.023	0	0.269	-0.01	-0.033	0
263	Vento X (+Z)	0.201	0.027	0.086	0	0.269	0.04	0.124	0

Indice asta	Condizione	Posizione iniziale	F1 iniziale	F2 iniziale	F3 iniziale	Posizione finale	F1 finale	F2 finale	F3 finale
263	Vento Y (+Z)	0.201	0.027	0.086	0	0.269	0.04	0.124	0
263	Passaggio convogli	0.201	0.013	0.04	0	0.269	0.018	0.058	0
263	Vento Y (-Z)	0.201	-0.018	-0.058	0	0.269	-0.027	-0.083	0
263	Permanenti portati	0.269	-0.033	-0.102	0	1.839	-0.211	-0.66	0
263	Neve	0.269	-0.01	-0.033	0	1.839	-0.068	-0.211	0
263	Vento X (+Z)	0.269	0.04	0.124	0	1.839	0.256	0.801	0
263	Vento Y (+Z)	0.269	0.04	0.124	0	1.839	0.256	0.801	0
263	Passaggio convogli	0.269	0.018	0.058	0	1.839	0.12	0.374	0
263	Vento Y (-Z)	0.269	-0.027	-0.083	0	1.839	-0.172	-0.537	0
263	Permanenti portati	0	0	0	0	0.084	-0.01	-0.03	0
263	Neve	0	0	0	0	0.084	-0.003	-0.01	0
263	Vento X (+Z)	0	0	0	0	0.084	0.012	0.036	0
263	Vento Y (+Z)	0	0	0	0	0.084	0.012	0.036	0
263	Passaggio convogli	0	0	0	0	0.084	0.005	0.017	0
263	Vento Y (-Z)	0	0	0	0	0.084	-0.008	-0.024	0
263	Permanenti portati	0.084	-0.01	-0.03	0	0.119	-0.016	-0.049	0
263	Neve	0.084	-0.003	-0.01	0	0.119	-0.005	-0.016	0
263	Vento X (+Z)	0.084	0.012	0.036	0	0.119	0.019	0.06	0
263	Vento Y (+Z)	0.084	0.012	0.036	0	0.119	0.019	0.06	0
263	Passaggio convogli	0.084	0.005	0.017	0	0.119	0.009	0.028	0
263	Vento Y (-Z)	0.084	-0.008	-0.024	0	0.119	-0.013	-0.04	0
263	Permanenti portati	0.119	-0.016	-0.049	0	0.168	-0.019	-0.06	0
263	Neve	0.119	-0.005	-0.016	0	0.168	-0.006	-0.019	0
263	Vento X (+Z)	0.119	0.019	0.06	0	0.168	0.023	0.072	0
263	Vento Y (+Z)	0.119	0.019	0.06	0	0.168	0.023	0.072	0
263	Passaggio convogli	0.119	0.009	0.028	0	0.168	0.011	0.034	0
263	Vento Y (-Z)	0.119	-0.013	-0.04	0	0.168	-0.016	-0.049	0
263	Permanenti portati	0.168	-0.019	-0.06	0	0.287	-0.038	-0.119	0
263	Neve	0.168	-0.006	-0.019	0	0.287	-0.012	-0.038	0
263	Vento X (+Z)	0.168	0.023	0.072	0	0.287	0.046	0.145	0
263	Vento Y (+Z)	0.168	0.023	0.072	0	0.287	0.046	0.145	0
263	Passaggio convogli	0.168	0.011	0.034	0	0.287	0.022	0.068	0
263	Vento Y (-Z)	0.168	-0.016	-0.049	0	0.287	-0.031	-0.097	0
263	Permanenti portati	0.287	-0.038	-0.119	0	1.705	-0.194	-0.606	0
263	Neve	0.287	-0.012	-0.038	0	1.705	-0.062	-0.194	0
263	Vento X (+Z)	0.287	0.046	0.145	0	1.705	0.236	0.736	0
263	Vento Y (+Z)	0.287	0.046	0.145	0	1.705	0.236	0.736	0
263	Passaggio convogli	0.287	0.022	0.068	0	1.705	0.11	0.344	0
263	Vento Y (-Z)	0.287	-0.031	-0.097	0	1.705	-0.158	-0.493	0
263	Permanenti portati	1.705	-0.194	-0.606	0	1.856	-0.211	-0.66	0
263	Neve	1.705	-0.062	-0.194	0	1.856	-0.068	-0.211	0
263	Vento X (+Z)	1.705	0.236	0.736	0	1.856	0.256	0.801	0
263	Vento Y (+Z)	1.705	0.236	0.736	0	1.856	0.256	0.801	0
263	Passaggio convogli	1.705	0.11	0.344	0	1.856	0.12	0.374	0
263	Vento Y (-Z)	1.705	-0.158	-0.493	0	1.856	-0.172	-0.537	0
263	Vento Y (+Z)	0	0.141	-0.045	-0.148	1.856	0.141	-0.045	-0.148
263	Vento Y (-Z)	0	0.141	-0.045	-0.148	1.856	0.141	-0.045	-0.148
264	Permanenti portati	0	-0.126	-0.666	0	1.789	-0.25	-1.325	0
264	Neve	0	-0.04	-0.213	0	1.789	-0.08	-0.424	0
264	Vento X (+Z)	0	0.153	0.808	0	1.789	0.304	1.608	0
264	Vento Y (+Z)	0	0.153	0.808	0	1.789	0.304	1.608	0
264	Passaggio convogli	0	0.071	0.377	0	1.789	0.142	0.751	0
264	Vento Y (-Z)	0	-0.102	-0.542	0	1.789	-0.204	-1.078	0
264	Permanenti portati	0	-0.126	-0.666	0	1.789	-0.25	-1.325	0
264	Neve	0	-0.04	-0.213	0	1.789	-0.08	-0.424	0
264	Vento X (+Z)	0	0.153	0.808	0	1.789	0.304	1.608	0
264	Vento Y (+Z)	0	0.153	0.808	0	1.789	0.304	1.608	0
264	Passaggio convogli	0	0.071	0.377	0	1.789	0.142	0.751	0
264	Vento Y (-Z)	0	-0.102	-0.542	0	1.789	-0.204	-1.078	0
264	Vento Y (+Z)	0	0.146	-0.028	-0.148	1.799	0.146	-0.028	-0.148
264	Vento Y (-Z)	0	0.146	-0.028	-0.148	1.799	0.146	-0.028	-0.148
265	Permanenti portati	0	-0.098	-1.327	0	1.769	-0.147	-1.989	0
265	Neve	0	-0.031	-0.425	0	1.769	-0.047	-0.636	0
265	Vento X (+Z)	0	0.119	1.61	0	1.769	0.179	2.413	0
265	Vento Y (+Z)	0	0.119	1.61	0	1.769	0.179	2.413	0
265	Passaggio convogli	0	0.056	0.752	0	1.769	0.084	1.127	0
265	Vento Y (-Z)	0	-0.08	-1.079	0	1.769	-0.12	-1.617	0
265	Permanenti portati	0	-0.098	-1.327	0	1.769	-0.147	-1.989	0
265	Neve	0	-0.031	-0.425	0	1.769	-0.047	-0.636	0
265	Vento X (+Z)	0	0.119	1.61	0	1.769	0.179	2.413	0
265	Vento Y (+Z)	0	0.119	1.61	0	1.769	0.179	2.413	0
265	Passaggio convogli	0	0.056	0.752	0	1.769	0.084	1.127	0
265	Vento Y (-Z)	0	-0.08	-1.079	0	1.769	-0.12	-1.617	0
265	Vento Y (+Z)	0	0.148	-0.011	-0.148	1.773	0.148	-0.011	-0.148
265	Vento Y (-Z)	0	0.148	-0.011	-0.148	1.773	0.148	-0.011	-0.148

2.3.2 Caratteristiche meccaniche aste

I seguenti dati si riferiscono alle caratteristiche meccaniche delle aste utilizzate dal solutore ad elementi finiti. Normalmente differiscono dalle caratteristiche inerziali delle sezioni definite nel database. Tengono conto dei moltiplicatori inerziali espressi nelle preferenze FEM e di indicazioni tratte dalla bibliografia (SAP 90 Volume I Figura X-8; Belluzzi Vol. 1).

I.: numero dell'elemento nell'insieme che lo contiene.

Area: area della sezione trasversale. [m²]

Area 2: area di taglio per sforzo di taglio nella direzione 2. [m²]

Area 3: area di taglio per sforzo di taglio nella direzione 3. [m²]

In.2: momento d'inerzia attorno all'asse locale 2. [m⁴]

In.3: momento d'inerzia attorno all'asse locale 3. [m⁴]

In.tors.: momento d'inerzia torsionale corretto con il fattore di torsione. [m⁴]

E: modulo di elasticità longitudinale. [kN/m²]

G: modulo di elasticità tangenziale. [kN/m²]

α: coefficiente di dilatazione termica longitudinale. [°C⁻¹]

P.unit.: peso per unità di lunghezza dell'elemento. [kN/m]

S.fibre: caratteristiche della sezione a fibre.

Sez.corr.: sezione degli elementi correlati.

Desc.: descrizione o nome assegnato all'elemento.

Mat.corr.: materiale degli elementi correlati.

Desc.: descrizione o nome assegnato all'elemento.

I.	Area	Area 2	Area 3	In.2	In.3	In.tors.	E	G	α	P.unit.	S.fibre	Sez.corr.	Mat.corr.	
													Desc.	Desc.
1	0.0161	0.0034	0.0102	9.24E-5	3.08E-4	1.86E-6	2.10E8	8.08E7	1.20E-5	1.268		HEB320	S355	
2	0.001	0.0005	0.0005	1.63E-6	1.63E-6	3.25E-6	2.10E8	8.08E7	1.20E-5	0.082		EN10219 114.3x3	S355	
3	0.0017	0.0008	0.0008	2.57E-6	2.57E-6	5.14E-6	2.10E8	8.08E7	1.20E-5	0.135		EN10219 114.3x5	S355	
4	0.0009	0.0005	0.0005	1.13E-6	1.13E-6	2.26E-6	2.10E8	8.08E7	1.20E-5	0.073		EN10219 101.6x3	S355	
5	0.0005	0.0003	0.0003	2.22E-7	2.22E-7	4.44E-7	2.10E8	8.08E7	1.20E-5	0.042		EN10219 60.3x3	S355	
6	0.0001	0.0001	0.0001	0	0	0	1.05E8	4.04E7	1.20E-5	0		TONDO 10	S355_E/2 Senza peso	
7	0.0077	0.0016	0.0048	2.77E-5	7.77E-5	3.05E-7	2.10E8	8.08E7	1.20E-5	0.604		HEA240	S355	
8	0.0054	0.0012	0.0035	8.89E-6	2.49E-5	2.57E-7	2.10E8	8.08E7	1.20E-5	0.426		HEB160	S355	
9	0.0005	0.0005	0.0005	2.24E-8	2.24E-8	4.49E-8	2.10E8	8.08E7	1.20E-5	0.042		TONDO 26	Classe 8.8	
10	0.0005	0.0004	0.0004	1.63E-8	1.63E-8	3.26E-8	2.10E8	8.08E7	1.20E-5	0.036		TONDO 24	S355	
11	0.0025	0.0005	0.0016	2.31E-6	6.07E-6	4.50E-8	2.10E8	8.08E7	1.20E-5	0.199		HEA120	S355	
12	0.0002	0.0002	0.0002	0	0	6.43E-9	1.05E8	4.04E7	1.20E-5	0		Tondo 16	S355_E/2 Senza peso	

2.3.3 Definizioni aste

Indice: numero dell'elemento nell'insieme che lo contiene.

Nodo I: nodo iniziale.

Nodo J: nodo finale.

Nodo K: nodo che definisce l'asse locale 2.

Sezione: caratteristiche inerziali-meccaniche della sezione.

Indice: numero dell'elemento nell'insieme che lo contiene.

Indice	Nodo I	Nodo J	Nodo K	Sezione	Indice	Nodo I	Nodo J	Nodo K	Sezione	Indice	Nodo I	Nodo J	Nodo K	Sezione	Indice	Nodo I	Nodo J	Nodo K	Sezione	Indice
1	2	6	190	1	2	6	102	190	1	3	102	169	190	1	4	169	186	190	1	
5	3	11	190	1	6	11	103	190	1	7	103	177	190	1	8	177	187	190	1	
9	4	16	190	1	10	16	104	190	1	11	104	185	190	1	12	185	188	190	1	
13	92	93	191	2	14	93	94	191	2	15	94	95	191	2	16	95	96	191	2	
17	96	97	191	2	18	97	98	191	2	19	98	99	191	2	20	99	100	191	2	
21	100	101	191	2	22	114	113	191	2	23	113	112	191	2	24	112	111	191	2	
25	111	110	191	2	26	110	109	191	2	27	109	108	191	2	28	108	107	191	2	
29	107	106	191	2	30	106	105	191	2	31	168	169	191	3	32	169	170	191	3	
33	170	171	191	3	34	171	172	191	3	35	172	173	191	3	36	173	174	191	3	
37	174	175	191	3	38	175	176	191	3	39	176	177	191	3	40	177	178	191	3	
41	178	179	191	3	42	179	180	191	3	43	180	181	191	3	44	181	182	191	3	
45	182	183	191	3	46	183	184	191	3	47	184	185	191	3	48	185	167	191	3	
49	92	169	191	4	50	114	169	191	4	51	113	169	191	4	52	93	169	191	4	
53	96	177	191	4	54	110	177	239	4	55	109	177	238	4	56	97	177	191	4	
57	100	185	191	4	58	106	185	231	4	59	105	185	230	4	60	101	185	191	4	
61	93	171	191	4	62	113	171	191	4	63	112	171	191	5	64	94	171	191	5	
65	94	173	191	5	66	112	173	191	5	67	111	173	242	5	68	95	173	191	5	
69	95	175	191	5	70	111	175	241	5	71	110	175	240	4	72	96	175	191	4	
73	97	179	191	4	74	109	179	237	4	75	108	179	236	5	76	98	179	191	5	
77	98	181	191	5	78	108	181	235	5	79	107	181	234	5	80	99	181	191	5	
81	99	183	191	5	82	107	183	233	5	83	106	183	232	4	84	100	183	191	4	
85	92	114	191	5	86	93	113	191	5	87	94	112	191	5	88	95	111	191	5	
89	96	110	191	5	90	97	109	191	5	91	98	108	191	5	92	99	107	191	5	
93	100	106	191	5	94	101	105	191	5	95	92	102	191	5	96	102	113	191	5	
97	114	102	191	5	98	102	93	191	5	99	103	109	191	5	100	96	103	191	5	
101	110	103	191	5	102	103	97	191	5	103	104	105	191	5	104	100	104	191	5	
105	106	104	191	5	106	104	101	191	5	107	93	112	191	6	108	94	113	191	6	
109	94	111	191	6	110	95	112	191	6	111	95	110	191	6	112	96	111	191	6	
113	97	108	191	6	114	98	109	191	6	115	98	107	191	6	116	99	108	191	6	
117	99	106	191	6	118	100	107	191	6	119	6	7	191	7	120	11	12	191	7	
121	5	6	191	7	122	16	17	191	7	123	143	117	191	8	124	117	68	191	8	
125	68	56	191	8	126	56	29	191	8	127	116	67	191	8	128	142	116	191	8	
129	67	55	191	8	130	55	28	191	8	131	118	69	191	8	132	144	118	191	8	
133	69	57	191	8	134	57	30	191	8	135	119	70	191	8	136	145	119	191	8	
137	70	58	191	8	138	58	31	191	8	139	120	71	191	8	140	146	120	191	8	
141	71	59	191	8	142	59	32	191	8	143	121	72	191	8	144	147	121	191	8	
145	72	60	191	8	146	60	33	191	8	147	122	73	191	8	148	148	122	191	8	
149	73	61	191	8	150	61	34	191	8	151	123	74	191	8	152	149	123	191	8	
153	74	62	191	8	154	62	35	191	8	155	124	75	191	8	156	150	124	191	8	
157	75	63	191	8	158	63	36	191	8	159	125	76	191	8	160	151	125	191	8	
161	76	64	191	8	162	64	37	191	8	163	92	168	191	5	164	114	168	190	5	
165	101	167	202	5	166	105	167	203	5	167	95	92	190	9	168	56	93	190	9	
169	57	94	190	9	170	58	95	190	9	171	59	96	190	9	172	60	97	190	9	
173	61	98	190	9	174	62	99	190	9	175	63	100	190	9	176	64	101	190	9	
177	39	66	191	8	178	66	115	191	8	179	115	141	191	8	180	127	153	191	8	
181	39	78	191	8	182	78	127	191	8	183	38	77	191	8	184	77	126	191	8	
185	126	152	191	8	186	128	154	191	8	187	38	79	191	8	188	79	128	191	8	
189	167	152	191	10	190	167	154	191	10	191	168	153	191	10	192	168	141	191	10	
193	7	8	191	7	194	8	9	191	7	195	9	10	191	7	196	10	11	191	7	
197	12	13	191	7	198	13	14	191	7	199	14	15	191	7	200	15	16	191	7	
201	67	68	207	11	202	68	69	208	11	203	69	70	209	11	204	70	71	210	11	
205	71	72	211	11	206	72	73	212	11	207	73	74	213	11	208	74	75	214	11	
209	75	76	215	11	210	69	41	191	12	211	70	40	191	12	212	73	45	191	12	
213	74	44	191	12	214	76	77	216	11	215	66	67	206	11	216	77	79	205	11	
217	66	78	204	11	218	71	43	191	12	219	72	42	191	12	220	157	131	191	8	
221	131	82	191	8	222	82	54	191	8	223	54	19	191	8	224	130	81	191	8	
225	156	130	191	8	226	81	65	191	8	227	65	18	191	8	228	132	83	191	8	
229	158	132	191	8	230	83	53	191	8	231	53	20	191	8	232	133	84	191	8	
233	159	133	191	8	234	84	52	191	8	235	52	21	191	8	236	134	85	191	8	
237	160	134	191	8	238	85	51	191	8	239	51	22	191	8	240	135	86	191	8	
241	161	135	191	8	242	86	50	191	8	243	50	23	191	8	244	136	87	191	8	
245	162	136	191	8	246	87	49	191	8	247	49	24	191	8	248	137	88	191	8	
249	163	137	191	8	250	88	48	191	8	251	48	25	191	8	252	138	89	191	8	

Indice	Nodo I	Nodo J	Nodo K	Sezione	Indice	Indice	Nodo I	Nodo J	Nodo K	Sezione	Indice	Indice	Nodo I	Nodo J	Nodo K	Sezione	Indice	Indice	Nodo I	Nodo J	Nodo K	Sezione	Indice
253	164	138	191	8	254	89	47	191	8	255	47	26	191	8	256	139	90	191	8				
257	165	139	191	8	258	90	46	191	8	259	46	27	191	8	260	39	80	191	8				
261	80	129	191	8	262	129	155	191	8	263	38	91	191	8	264	91	140	191	8				
265	140	166	191	8	266	81	82	218	11	267	82	83	219	11	268	83	84	220	11				
269	84	85	221	11	270	85	86	222	11	271	86	87	223	11	272	87	88	224	11				
273	88	89	225	11	274	89	90	226	11	275	83	41	191	12	276	84	40	191	12				
277	87	45	191	12	278	88	44	191	12	279	90	91	227	11	280	80	81	217	11				
281	91	79	229	11	282	80	78	228	11	283	85	43	191	12	284	86	42	191	12				
285	65	114	201	9	286	54	113	200	9	287	53	112	199	9	288	52	111	198	9				
289	51	110	197	9	290	50	109	196	9	291	49	108	195	9	292	48	107	194	9				
293	47	106	193	9	294	46	105	192	9	295	167	166	191	10	296	168	155	191	10				

2.4 Masse

Nodo: nodo su cui è applicata la massa.

Massa X: massa per la componente di spostamento lungo l'asse X. [kN/(m/s²)]

Massa Y: massa per la componente di spostamento lungo l'asse Y. [kN/(m/s²)]

Massa Z: massa per la componente di spostamento lungo l'asse Z. [kN/(m/s²)]

Momento Z: massa momento d'inerzia per la componente di rotazione attorno all'asse Z. [[kN/(m/s²)]*m²]

Nodo	Massa X	Massa Y	Massa Z	Momento Z	Nodo	Massa X	Massa Y	Massa Z	Momento Z
5	0.046	0.046	0	0	6	0.483	0.483	0	0
7	0.138	0.138	0	0	8	0.185	0.185	0	0
9	0.185	0.185	0	0	10	0.138	0.138	0	0
11	0.483	0.483	0	0	12	0.138	0.138	0	0
13	0.185	0.185	0	0	14	0.185	0.185	0	0
15	0.138	0.138	0	0	16	0.483	0.483	0	0
17	0.046	0.046	0	0	18	0.148	0.148	0	0
19	0.199	0.199	0	0	20	0.199	0.199	0	0
21	0.199	0.199	0	0	22	0.198	0.198	0	0
23	0.198	0.198	0	0	24	0.228	0.228	0	0
25	0.259	0.259	0	0	26	0.198	0.198	0	0
27	0.116	0.116	0	0	28	0.148	0.148	0	0
29	0.199	0.199	0	0	30	0.199	0.199	0	0
31	0.199	0.199	0	0	32	0.199	0.199	0	0
33	0.199	0.199	0	0	34	0.229	0.229	0	0
35	0.26	0.26	0	0	36	0.199	0.199	0	0
37	0.116	0.116	0	0	38	0.23	0.23	0	0
39	0.272	0.272	0	0	46	0.238	0.238	0	0
47	0.368	0.368	0	0	48	0.482	0.482	0	0
49	0.425	0.425	0	0	50	0.368	0.368	0	0
51	0.368	0.368	0	0	52	0.368	0.368	0	0
53	0.368	0.368	0	0	54	0.368	0.368	0	0
55	0.306	0.306	0	0	56	0.368	0.368	0	0
57	0.368	0.368	0	0	58	0.368	0.368	0	0
59	0.368	0.368	0	0	60	0.368	0.368	0	0
61	0.425	0.425	0	0	62	0.482	0.482	0	0
63	0.368	0.368	0	0	64	0.238	0.238	0	0
65	0.307	0.307	0	0	66	0.445	0.445	0	0
67	0.496	0.496	0	0	68	0.513	0.513	0	0
69	0.513	0.513	0	0	70	0.513	0.513	0	0
71	0.513	0.513	0	0	72	0.513	0.513	0	0
73	0.583	0.583	0	0	74	0.653	0.653	0	0
75	0.513	0.513	0	0	76	0.392	0.392	0	0
77	0.357	0.357	0	0	78	0.423	0.423	0	0
79	0.337	0.337	0	0	80	0.444	0.444	0	0
81	0.496	0.496	0	0	82	0.513	0.513	0	0
83	0.513	0.513	0	0	84	0.513	0.513	0	0
85	0.513	0.513	0	0	86	0.514	0.514	0	0
87	0.584	0.584	0	0	88	0.654	0.654	0	0
89	0.514	0.514	0	0	90	0.392	0.392	0	0
91	0.358	0.358	0	0	92	0.032	0.032	0	0
93	0.049	0.049	0	0	94	0.039	0.039	0	0
95	0.039	0.039	0	0	96	0.049	0.049	0	0
97	0.049	0.049	0	0	98	0.039	0.039	0	0
99	0.039	0.039	0	0	100	0.049	0.049	0	0
101	0.032	0.032	0	0	102	0.17	0.17	0	0
103	0.17	0.17	0	0	104	0.17	0.17	0	0
105	0.032	0.032	0	0	106	0.049	0.049	0	0
107	0.039	0.039	0	0	108	0.039	0.039	0	0
109	0.049	0.049	0	0	110	0.049	0.049	0	0
111	0.039	0.039	0	0	112	0.039	0.039	0	0
113	0.049	0.049	0	0	114	0.032	0.032	0	0
115	0.727	0.727	0	0	116	0.767	0.767	0	0
117	0.634	0.634	0	0	118	0.634	0.634	0	0
119	0.634	0.634	0	0	120	0.634	0.634	0	0
121	0.634	0.634	0	0	122	0.733	0.733	0	0
123	0.831	0.831	0	0	124	0.634	0.634	0	0
125	0.586	0.586	0	0	126	0.562	0.562	0	0
127	0.703	0.703	0	0	128	0.538	0.538	0	0
129	0.727	0.727	0	0	130	0.767	0.767	0	0
131	0.634	0.634	0	0	132	0.634	0.634	0	0
133	0.634	0.634	0	0	134	0.634	0.634	0	0
135	0.634	0.634	0	0	136	0.733	0.733	0	0
137	0.831	0.831	0	0	138	0.634	0.634	0	0
139	0.586	0.586	0	0	140	0.562	0.562	0	0
141	0.481	0.481	0	0	142	0.434	0.434	0	0
143	0.313	0.313	0	0	144	0.313	0.313	0	0
145	0.313	0.313	0	0	146	0.313	0.313	0	0
147	0.313	0.313	0	0	148	0.362	0.362	0	0
149	0.41	0.41	0	0	150	0.313	0.313	0	0
151	0.331	0.331	0	0	152	0.371	0.371	0	0
153	0.466	0.466	0	0	154	0.356	0.356	0	0

Nodo	Massa X	Massa Y	Massa Z	Momento Z	Nodo	Massa X	Massa Y	Massa Z	Momento Z
155	0.481	0.481	0	0	156	0.434	0.434	0	0
157	0.313	0.313	0	0	158	0.313	0.313	0	0
159	0.313	0.313	0	0	160	0.313	0.313	0	0
161	0.313	0.313	0	0	162	0.362	0.362	0	0
163	0.41	0.41	0	0	164	0.313	0.313	0	0
165	0.331	0.331	0	0	166	0.371	0.371	0	0
167	0.044	0.044	0	0	168	0.044	0.044	0	0
169	0.148	0.148	0	0	170	0.021	0.021	0	0
171	0.046	0.046	0	0	172	0.021	0.021	0	0
173	0.039	0.039	0	0	174	0.021	0.021	0	0
175	0.046	0.046	0	0	176	0.021	0.021	0	0
177	0.148	0.148	0	0	178	0.021	0.021	0	0
179	0.046	0.046	0	0	180	0.021	0.021	0	0
181	0.039	0.039	0	0	182	0.021	0.021	0	0
183	0.046	0.046	0	0	184	0.021	0.021	0	0
185	0.148	0.148	0	0	186	0.012	0.012	0	0
187	0.012	0.012	0	0	188	0.012	0.012	0	0

2.5 Masse di piano

Quota: quota, livello o falda, a cui compete la massa risultante.

Massa X: massa per la componente di spostamento lungo l'asse X. [kN/(m/s²)]

Massa Y: massa per la componente di spostamento lungo l'asse Y. [kN/(m/s²)]

Quota	Massa X	Massa Y	Quota	Massa X	Massa Y
Travi longitudinali	7.223	7.223	Reticolare correnti inferiori	1.339	1.339
Reticolare correnti superiori	0.955	0.955	Sommità colonne	0.035	0.035
Falda 1	3.416	3.416	Falda 3	3.66	3.66
Falda 10	0.466	0.466	Falda 13	0.356	0.356
Falda 6	3.416	3.416	Falda 4	3.66	3.66
Falda 1, Falda 10	0.481	0.481	Falda 1, Falda 2	8.012	8.012
Falda 1, Falda 13	0.371	0.371	Falda 2, Falda 3, Falda 8	0.445	0.445
Falda 2, Falda 3	5.203	5.203	Falda 2, Falda 3, Falda 11	0.357	0.357
Falda 8, Falda 5, Falda 4	0.444	0.444	Falda 8, Falda 9	0.423	0.423
Falda 9, Falda 10	0.703	0.703	Falda 10, Falda 6	0.481	0.481
Falda 11, Falda 5, Falda 4	0.358	0.358	Falda 11, Falda 12	0.337	0.337
Falda 12, Falda 13	0.538	0.538	Falda 13, Falda 6	0.371	0.371
Falda 6, Falda 5	8.012	8.012	Falda 5, Falda 4	5.207	5.207

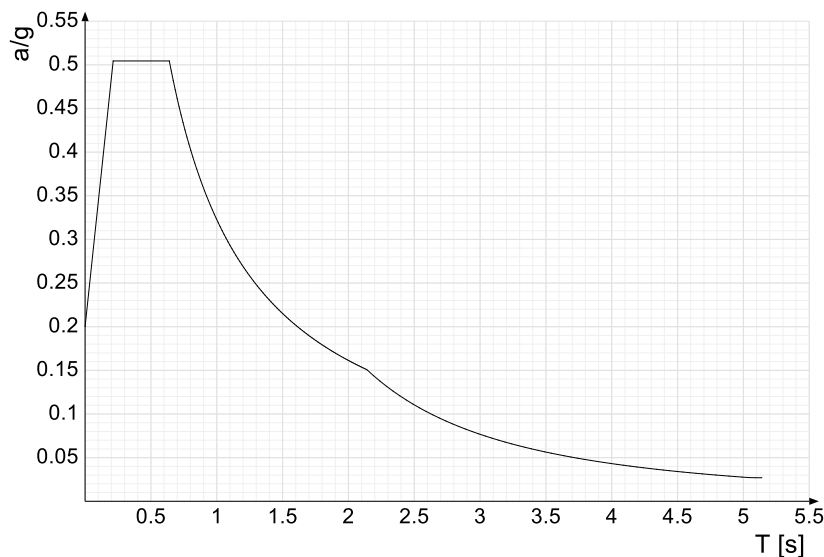
2.6 Accelerazioni spettrali

Ind.vertice: Indice del valore.

T: Periodo di vibrazione. [s]

a/g: Accelerazione spettrale normalizzata ottenuta dividendo l'accelerazione spettrale per l'accelerazione di gravità. Il valore è adimensionale.

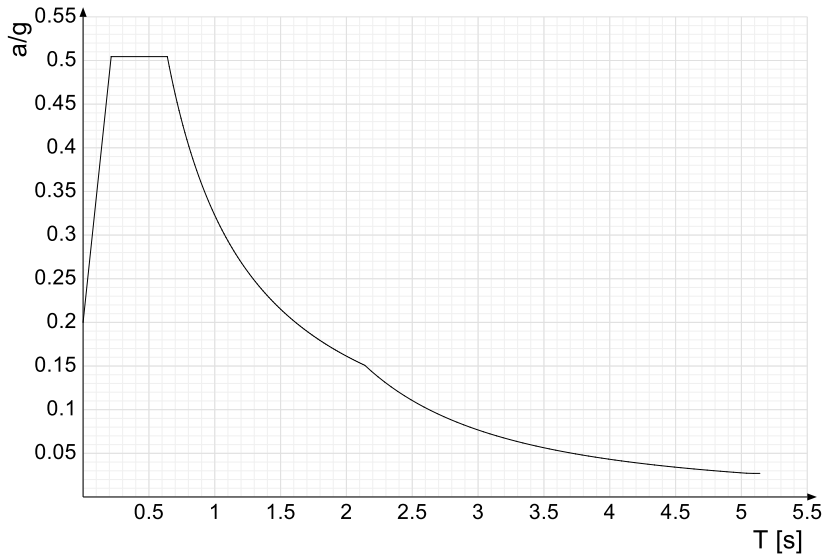
Sisma X SLV



Ind.vertice	T	a/g	Ind.vertice	T	a/g	Ind.vertice	T	a/g	Ind.vertice	T	a/g
1	0	0.2	2	0.213	0.504	3	0.64	0.504	4	0.655	0.493
5	0.669	0.482	6	0.684	0.472	7	0.699	0.462	8	0.714	0.452
9	0.729	0.443	10	0.744	0.434	11	0.759	0.425	12	0.773	0.417
13	0.788	0.409	14	0.803	0.402	15	0.818	0.395	16	0.833	0.387
17	0.848	0.381	18	0.863	0.374	19	0.877	0.368	20	0.892	0.362
21	0.907	0.356	22	0.922	0.35	23	0.937	0.344	24	0.952	0.339
25	0.966	0.334	26	0.981	0.329	27	0.996	0.324	28	1.011	0.319
29	1.026	0.315	30	1.041	0.31	31	1.056	0.306	32	1.07	0.301

Ind.vertice	T	a/g	Ind.vertice	T	a/g	Ind.vertice	T	a/g	Ind.vertice	T	a/g
33	1.085	0.297	34	1.1	0.293	35	1.115	0.289	36	1.13	0.286
37	1.145	0.282	38	1.16	0.278	39	1.174	0.275	40	1.189	0.271
41	1.204	0.268	42	1.219	0.265	43	1.234	0.262	44	1.249	0.258
45	1.264	0.255	46	1.278	0.252	47	1.293	0.25	48	1.308	0.247
49	1.323	0.244	50	1.338	0.241	51	1.353	0.239	52	1.368	0.236
53	1.382	0.233	54	1.397	0.231	55	1.412	0.229	56	1.427	0.226
57	1.442	0.224	58	1.457	0.222	59	1.472	0.219	60	1.486	0.217
61	1.501	0.215	62	1.516	0.213	63	1.531	0.211	64	1.546	0.209
65	1.561	0.207	66	1.575	0.205	67	1.59	0.203	68	1.605	0.201
69	1.62	0.199	70	1.635	0.197	71	1.65	0.196	72	1.665	0.194
73	1.679	0.192	74	1.694	0.19	75	1.709	0.189	76	1.724	0.187
77	1.739	0.186	78	1.754	0.184	79	1.769	0.182	80	1.783	0.181
81	1.798	0.179	82	1.813	0.178	83	1.828	0.177	84	1.843	0.175
85	1.858	0.174	86	1.873	0.172	87	1.887	0.171	88	1.902	0.17
89	1.917	0.168	90	1.932	0.167	91	1.947	0.166	92	1.962	0.164
93	1.977	0.163	94	1.991	0.162	95	2.006	0.161	96	2.021	0.16
97	2.036	0.158	98	2.051	0.157	99	2.066	0.156	100	2.081	0.155
101	2.095	0.154	102	2.11	0.153	103	2.125	0.152	104	2.14	0.151
105	2.19	0.144	106	2.24	0.138	107	2.29	0.132	108	2.34	0.126
109	2.39	0.121	110	2.44	0.116	111	2.49	0.111	112	2.54	0.107
113	2.59	0.103	114	2.64	0.099	115	2.69	0.095	116	2.74	0.092
117	2.79	0.089	118	2.84	0.086	119	2.89	0.083	120	2.94	0.08
121	2.99	0.077	122	3.04	0.075	123	3.09	0.072	124	3.14	0.07
125	3.19	0.068	126	3.24	0.066	127	3.29	0.064	128	3.34	0.062
129	3.39	0.06	130	3.44	0.058	131	3.49	0.057	132	3.54	0.055
133	3.59	0.054	134	3.64	0.052	135	3.69	0.051	136	3.74	0.049
137	3.79	0.048	138	3.84	0.047	139	3.89	0.046	140	3.94	0.044
141	3.99	0.043	142	4.04	0.042	143	4.09	0.041	144	4.14	0.04
145	4.19	0.039	146	4.24	0.038	147	4.29	0.038	148	4.34	0.037
149	4.39	0.036	150	4.44	0.035	151	4.49	0.034	152	4.54	0.034
153	4.59	0.033	154	4.64	0.032	155	4.69	0.031	156	4.74	0.031
157	4.79	0.03	158	4.84	0.029	159	4.89	0.029	160	4.94	0.028
161	4.99	0.028	162	5.04	0.027	163	5.09	0.027	164	5.14	0.027

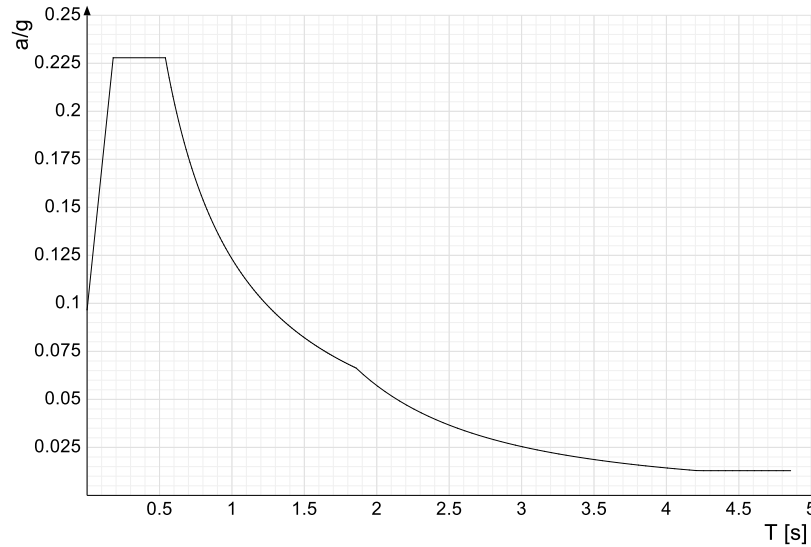
Sisma Y SLV



Ind.vertice	T	a/g	Ind.vertice	T	a/g	Ind.vertice	T	a/g	Ind.vertice	T	a/g
1	0	0.2	2	0.213	0.504	3	0.64	0.504	4	0.655	0.493
5	0.669	0.482	6	0.684	0.472	7	0.699	0.462	8	0.714	0.452
9	0.729	0.443	10	0.744	0.434	11	0.759	0.425	12	0.773	0.417
13	0.788	0.409	14	0.803	0.402	15	0.818	0.395	16	0.833	0.387
17	0.848	0.381	18	0.863	0.374	19	0.877	0.368	20	0.892	0.362
21	0.907	0.356	22	0.922	0.35	23	0.937	0.344	24	0.952	0.339
25	0.966	0.334	26	0.981	0.329	27	0.996	0.324	28	1.011	0.319
29	1.026	0.315	30	1.041	0.31	31	1.056	0.306	32	1.07	0.301
33	1.085	0.297	34	1.1	0.293	35	1.115	0.289	36	1.13	0.286
37	1.145	0.282	38	1.16	0.278	39	1.174	0.275	40	1.189	0.271
41	1.204	0.268	42	1.219	0.265	43	1.234	0.262	44	1.249	0.258
45	1.264	0.255	46	1.278	0.252	47	1.293	0.25	48	1.308	0.247
49	1.323	0.244	50	1.338	0.241	51	1.353	0.239	52	1.368	0.236
53	1.382	0.233	54	1.397	0.231	55	1.412	0.229	56	1.427	0.226
57	1.442	0.224	58	1.457	0.222	59	1.472	0.219	60	1.486	0.217
61	1.501	0.215	62	1.516	0.213	63	1.531	0.211	64	1.546	0.209
65	1.561	0.207	66	1.575	0.205	67	1.59	0.203	68	1.605	0.201
69	1.62	0.199	70	1.635	0.197	71	1.65	0.196	72	1.665	0.194
73	1.679	0.192	74	1.694	0.19	75	1.709	0.189	76	1.724	0.187
77	1.739	0.186	78	1.754	0.184	79	1.769	0.182	80	1.783	0.181
81	1.798	0.179	82	1.813	0.178	83	1.828	0.177	84	1.843	0.175
85	1.858	0.174	86	1.873	0.172	87	1.887	0.171	88	1.902	0.17
89	1.917	0.168	90	1.932	0.167	91	1.947	0.166	92	1.962	0.164
93	1.977	0.163	94	1.991	0.162	95	2.006	0.161	96	2.021	0.16
97	2.036	0.158	98	2.051	0.157	99	2.066	0.156	100	2.081	0.155
101	2.095	0.154	102	2.11	0.153	103	2.125	0.152	104	2.14	0.151
105	2.19	0.144	106	2.24	0.138	107	2.29	0.132	108	2.34	0.126
109	2.39	0.121	110	2.44	0.116	111	2.49	0.111	112	2.54	0.107
113	2.59	0.103	114	2.64	0.099	115	2.69	0.095	116	2.74	0.092
117	2.79	0.089	118	2.84	0.086	119	2.89	0.083	120	2.94	0.08
121	2.99	0.077	122	3.04	0.075	123	3.09	0.072	124	3.14	0.07
125	3.19	0.068	126	3.24	0.066	127	3.29	0.064	128	3.34	0.062
129	3.39	0.06	130	3.44	0.058	131	3.49	0.057	132	3.54	0.055

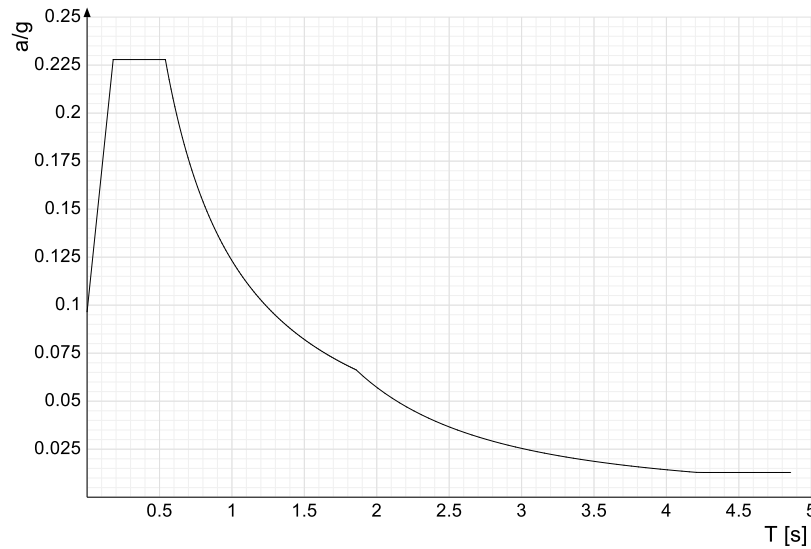
Ind.vertice	T	a/g	Ind.vertice	T	a/g	Ind.vertice	T	a/g	Ind.vertice	T	a/g
133	3.59	0.054	134	3.64	0.052	135	3.69	0.051	136	3.74	0.049
137	3.79	0.048	138	3.84	0.047	139	3.89	0.046	140	3.94	0.044
141	3.99	0.043	142	4.04	0.042	143	4.09	0.041	144	4.14	0.04
145	4.19	0.039	146	4.24	0.038	147	4.29	0.038	148	4.34	0.037
149	4.39	0.036	150	4.44	0.035	151	4.49	0.034	152	4.54	0.034
153	4.59	0.033	154	4.64	0.032	155	4.69	0.031	156	4.74	0.031
157	4.79	0.03	158	4.84	0.029	159	4.89	0.029	160	4.94	0.028
161	4.99	0.028	162	5.04	0.027	163	5.09	0.027	164	5.14	0.027

Sisma X SLD

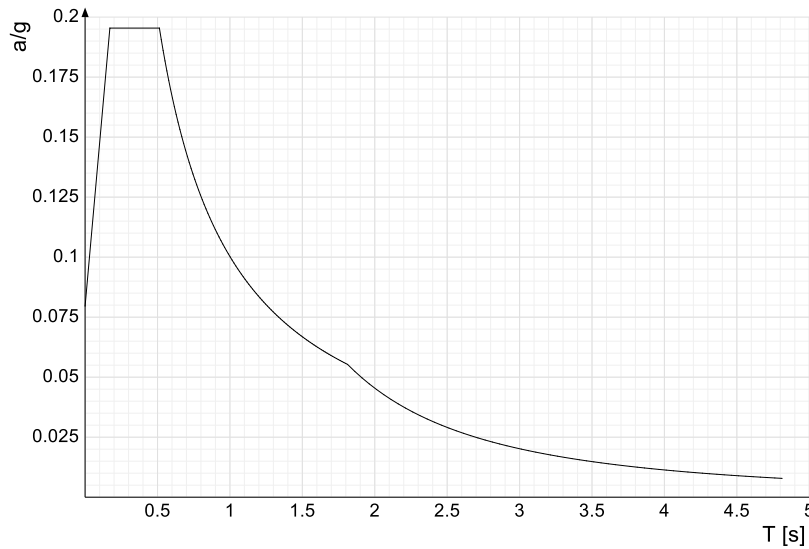


Ind.vertice	T	a/g	Ind.vertice	T	a/g	Ind.vertice	T	a/g	Ind.vertice	T	a/g
1	0	0.097	2	0.18	0.228	3	0.541	0.228	4	0.554	0.223
5	0.567	0.217	6	0.58	0.213	7	0.593	0.208	8	0.606	0.203
9	0.619	0.199	10	0.632	0.195	11	0.645	0.191	12	0.658	0.187
13	0.671	0.184	14	0.684	0.18	15	0.697	0.177	16	0.71	0.173
17	0.723	0.17	18	0.736	0.167	19	0.749	0.164	20	0.762	0.162
21	0.775	0.159	22	0.788	0.156	23	0.801	0.154	24	0.814	0.151
25	0.827	0.149	26	0.84	0.147	27	0.853	0.144	28	0.867	0.142
29	0.88	0.14	30	0.893	0.138	31	0.906	0.136	32	0.919	0.134
33	0.932	0.132	34	0.945	0.13	35	0.958	0.129	36	0.971	0.127
37	0.984	0.125	38	0.997	0.124	39	1.01	0.122	40	1.023	0.12
41	1.036	0.119	42	1.049	0.117	43	1.062	0.116	44	1.075	0.115
45	1.088	0.113	46	1.101	0.112	47	1.114	0.111	48	1.127	0.109
49	1.14	0.108	50	1.153	0.107	51	1.166	0.106	52	1.179	0.104
53	1.192	0.103	54	1.206	0.102	55	1.219	0.101	56	1.232	0.1
57	1.245	0.099	58	1.258	0.098	59	1.271	0.097	60	1.284	0.096
61	1.297	0.095	62	1.31	0.094	63	1.323	0.093	64	1.336	0.092
65	1.349	0.091	66	1.362	0.09	67	1.375	0.09	68	1.388	0.089
69	1.401	0.088	70	1.414	0.087	71	1.427	0.086	72	1.44	0.086
73	1.453	0.085	74	1.466	0.084	75	1.479	0.083	76	1.492	0.083
77	1.505	0.082	78	1.518	0.081	79	1.531	0.08	80	1.545	0.08
81	1.558	0.079	82	1.571	0.078	83	1.584	0.078	84	1.597	0.077
85	1.61	0.077	86	1.623	0.076	87	1.636	0.075	88	1.649	0.075
89	1.662	0.074	90	1.675	0.074	91	1.688	0.073	92	1.701	0.072
93	1.714	0.072	94	1.727	0.071	95	1.74	0.071	96	1.753	0.07
97	1.766	0.07	98	1.779	0.069	99	1.792	0.069	100	1.805	0.068
101	1.818	0.068	102	1.831	0.067	103	1.844	0.067	104	1.857	0.066
105	1.907	0.063	106	1.957	0.06	107	2.007	0.057	108	2.057	0.054
109	2.107	0.052	110	2.157	0.049	111	2.207	0.047	112	2.257	0.045
113	2.307	0.043	114	2.357	0.041	115	2.407	0.039	116	2.457	0.038
117	2.507	0.036	118	2.557	0.035	119	2.607	0.034	120	2.657	0.032
121	2.707	0.031	122	2.757	0.03	123	2.807	0.029	124	2.857	0.028
125	2.907	0.027	126	2.957	0.026	127	3.007	0.025	128	3.057	0.024
129	3.107	0.024	130	3.157	0.023	131	3.207	0.022	132	3.257	0.022
133	3.307	0.021	134	3.357	0.02	135	3.407	0.02	136	3.457	0.019
137	3.507	0.019	138	3.557	0.018	139	3.607	0.018	140	3.657	0.017
141	3.707	0.017	142	3.757	0.016	143	3.807	0.016	144	3.857	0.015
145	3.907	0.015	146	3.957	0.015	147	4.007	0.014	148	4.057	0.014
149	4.107	0.014	150	4.157	0.013	151	4.207	0.013	152	4.257	0.013
153	4.307	0.013	154	4.357	0.013	155	4.407	0.013	156	4.457	0.013
157	4.507	0.013	158	4.557	0.013	159	4.607	0.013	160	4.657	0.013
161	4.707	0.013	162	4.757	0.013	163	4.807	0.013	164	4.857	0.013

Sisma Y SLD

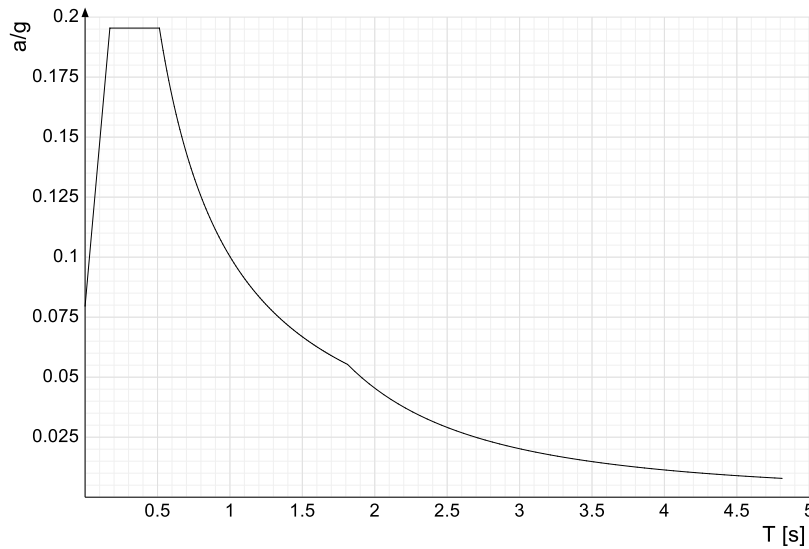


Ind.vertice	T	a/g	Ind.vertice	T	a/g	Ind.vertice	T	a/g	Ind.vertice	T	a/g
1	0	0.097	2	0.18	0.228	3	0.541	0.228	4	0.554	0.223
5	0.567	0.217	6	0.58	0.213	7	0.593	0.208	8	0.606	0.203
9	0.619	0.199	10	0.632	0.195	11	0.645	0.191	12	0.658	0.187
13	0.671	0.184	14	0.684	0.18	15	0.697	0.177	16	0.71	0.173
17	0.723	0.17	18	0.736	0.167	19	0.749	0.164	20	0.762	0.162
21	0.775	0.159	22	0.788	0.156	23	0.801	0.154	24	0.814	0.151
25	0.827	0.149	26	0.84	0.147	27	0.853	0.144	28	0.867	0.142
29	0.88	0.14	30	0.893	0.138	31	0.906	0.136	32	0.919	0.134
33	0.932	0.132	34	0.945	0.13	35	0.958	0.129	36	0.971	0.127
37	0.984	0.125	38	0.997	0.124	39	1.01	0.122	40	1.023	0.12
41	1.036	0.119	42	1.049	0.117	43	1.062	0.116	44	1.075	0.115
45	1.088	0.113	46	1.101	0.112	47	1.114	0.111	48	1.127	0.109
49	1.14	0.108	50	1.153	0.107	51	1.166	0.106	52	1.179	0.104
53	1.192	0.103	54	1.206	0.102	55	1.219	0.101	56	1.232	0.1
57	1.245	0.099	58	1.258	0.098	59	1.271	0.097	60	1.284	0.096
61	1.297	0.095	62	1.31	0.094	63	1.323	0.093	64	1.336	0.092
65	1.349	0.091	66	1.362	0.09	67	1.375	0.09	68	1.388	0.089
69	1.401	0.088	70	1.414	0.087	71	1.427	0.086	72	1.44	0.086
73	1.453	0.085	74	1.466	0.084	75	1.479	0.083	76	1.492	0.083
77	1.505	0.082	78	1.518	0.081	79	1.531	0.08	80	1.545	0.08
81	1.558	0.079	82	1.571	0.078	83	1.584	0.078	84	1.597	0.077
85	1.61	0.077	86	1.623	0.076	87	1.636	0.075	88	1.649	0.075
89	1.662	0.074	90	1.675	0.074	91	1.688	0.073	92	1.701	0.072
93	1.714	0.072	94	1.727	0.071	95	1.74	0.071	96	1.753	0.07
97	1.766	0.07	98	1.779	0.069	99	1.792	0.069	100	1.805	0.068
101	1.818	0.068	102	1.831	0.067	103	1.844	0.067	104	1.857	0.066
105	1.907	0.063	106	1.957	0.06	107	2.007	0.057	108	2.057	0.054
109	2.107	0.052	110	2.157	0.049	111	2.207	0.047	112	2.257	0.045
113	2.307	0.043	114	2.357	0.041	115	2.407	0.039	116	2.457	0.038
117	2.507	0.036	118	2.557	0.035	119	2.607	0.034	120	2.657	0.032
121	2.707	0.031	122	2.757	0.03	123	2.807	0.029	124	2.857	0.028
125	2.907	0.027	126	2.957	0.026	127	3.007	0.025	128	3.057	0.024
129	3.107	0.024	130	3.157	0.023	131	3.207	0.022	132	3.257	0.022
133	3.307	0.021	134	3.357	0.02	135	3.407	0.02	136	3.457	0.019
137	3.507	0.019	138	3.557	0.018	139	3.607	0.018	140	3.657	0.017
141	3.707	0.017	142	3.757	0.016	143	3.807	0.016	144	3.857	0.016
145	3.907	0.015	146	3.957	0.015	147	4.007	0.014	148	4.057	0.014
149	4.107	0.014	150	4.157	0.013	151	4.207	0.013	152	4.257	0.013
153	4.307	0.013	154	4.357	0.013	155	4.407	0.013	156	4.457	0.013
157	4.507	0.013	158	4.557	0.013	159	4.607	0.013	160	4.657	0.013
161	4.707	0.013	162	4.757	0.013	163	4.807	0.013	164	4.857	0.013



Ind.vertice	T	a/g	Ind.vertice	T	a/g	Ind.vertice	T	a/g	Ind.vertice	T	a/g
1	0	0.08	2	0.171	0.195	3	0.513	0.195	4	0.526	0.191
5	0.539	0.186	6	0.552	0.182	7	0.565	0.178	8	0.577	0.174
9	0.59	0.17	10	0.603	0.166	11	0.616	0.163	12	0.629	0.159
13	0.642	0.156	14	0.655	0.153	15	0.667	0.15	16	0.68	0.147
17	0.693	0.145	18	0.706	0.142	19	0.719	0.139	20	0.732	0.137
21	0.745	0.135	22	0.757	0.132	23	0.77	0.13	24	0.783	0.128
25	0.796	0.126	26	0.809	0.124	27	0.822	0.122	28	0.835	0.12
29	0.848	0.118	30	0.86	0.117	31	0.873	0.115	32	0.886	0.113
33	0.899	0.112	34	0.912	0.11	35	0.925	0.108	36	0.938	0.107
37	0.95	0.105	38	0.963	0.104	39	0.976	0.103	40	0.989	0.101
41	1.002	0.1	42	1.015	0.099	43	1.028	0.098	44	1.04	0.096
45	1.053	0.095	46	1.066	0.094	47	1.079	0.093	48	1.092	0.092
49	1.105	0.091	50	1.118	0.09	51	1.131	0.089	52	1.143	0.088
53	1.156	0.087	54	1.169	0.086	55	1.182	0.085	56	1.195	0.084
57	1.208	0.083	58	1.221	0.082	59	1.233	0.081	60	1.246	0.08
61	1.259	0.08	62	1.272	0.079	63	1.285	0.078	64	1.298	0.077
65	1.311	0.077	66	1.323	0.076	67	1.336	0.075	68	1.349	0.074
69	1.362	0.074	70	1.375	0.073	71	1.388	0.072	72	1.401	0.072
73	1.413	0.071	74	1.426	0.07	75	1.439	0.07	76	1.452	0.069
77	1.465	0.068	78	1.478	0.068	79	1.491	0.067	80	1.504	0.067
81	1.516	0.066	82	1.529	0.066	83	1.542	0.065	84	1.555	0.064
85	1.568	0.064	86	1.581	0.063	87	1.594	0.063	88	1.606	0.062
89	1.619	0.062	90	1.632	0.061	91	1.645	0.061	92	1.658	0.06
93	1.671	0.06	94	1.684	0.06	95	1.696	0.059	96	1.709	0.059
97	1.722	0.058	98	1.735	0.058	99	1.748	0.057	100	1.761	0.057
101	1.774	0.057	102	1.787	0.056	103	1.799	0.056	104	1.812	0.055
105	1.862	0.052	106	1.912	0.05	107	1.962	0.047	108	2.012	0.045
109	2.062	0.043	110	2.112	0.041	111	2.162	0.039	112	2.212	0.037
113	2.262	0.036	114	2.312	0.034	115	2.362	0.033	116	2.412	0.031
117	2.462	0.03	118	2.512	0.029	119	2.562	0.028	120	2.612	0.027
121	2.662	0.026	122	2.712	0.025	123	2.762	0.024	124	2.812	0.023
125	2.862	0.022	126	2.912	0.021	127	2.962	0.021	128	3.012	0.02
129	3.062	0.019	130	3.112	0.019	131	3.162	0.018	132	3.212	0.018
133	3.262	0.017	134	3.312	0.017	135	3.362	0.016	136	3.412	0.016
137	3.462	0.015	138	3.512	0.015	139	3.562	0.014	140	3.612	0.014
141	3.662	0.014	142	3.712	0.013	143	3.762	0.013	144	3.812	0.013
145	3.862	0.012	146	3.912	0.012	147	3.962	0.012	148	4.012	0.011
149	4.062	0.011	150	4.112	0.011	151	4.162	0.01	152	4.212	0.01
153	4.262	0.01	154	4.312	0.01	155	4.362	0.01	156	4.412	0.009
157	4.462	0.009	158	4.512	0.009	159	4.562	0.009	160	4.612	0.009
161	4.662	0.008	162	4.712	0.008	163	4.762	0.008	164	4.812	0.008

Sisma Y SLO



Ind.vertice	T	a/g	Ind.vertice	T	a/g	Ind.vertice	T	a/g	Ind.vertice	T	a/g
1	0	0.08	2	0.171	0.195	3	0.513	0.195	4	0.526	0.191
5	0.539	0.186	6	0.552	0.182	7	0.565	0.178	8	0.577	0.174
9	0.59	0.17	10	0.603	0.166	11	0.616	0.163	12	0.629	0.159
13	0.642	0.156	14	0.655	0.153	15	0.667	0.15	16	0.68	0.147
17	0.693	0.145	18	0.706	0.142	19	0.719	0.139	20	0.732	0.137
21	0.745	0.135	22	0.757	0.132	23	0.77	0.13	24	0.783	0.128
25	0.796	0.126	26	0.809	0.124	27	0.822	0.122	28	0.835	0.12
29	0.848	0.118	30	0.86	0.117	31	0.873	0.115	32	0.886	0.113
33	0.899	0.112	34	0.912	0.11	35	0.925	0.108	36	0.938	0.107
37	0.95	0.105	38	0.963	0.104	39	0.976	0.103	40	0.989	0.101
41	1.002	0.1	42	1.015	0.099	43	1.028	0.098	44	1.04	0.096
45	1.053	0.095	46	1.066	0.094	47	1.079	0.093	48	1.092	0.092
49	1.105	0.091	50	1.118	0.09	51	1.131	0.089	52	1.143	0.088
53	1.156	0.087	54	1.169	0.086	55	1.182	0.085	56	1.195	0.084
57	1.208	0.083	58	1.221	0.082	59	1.233	0.081	60	1.246	0.08
61	1.259	0.08	62	1.272	0.079	63	1.285	0.078	64	1.298	0.077
65	1.311	0.077	66	1.323	0.076	67	1.336	0.075	68	1.349	0.074
69	1.362	0.074	70	1.375	0.073	71	1.388	0.072	72	1.401	0.072
73	1.413	0.071	74	1.426	0.07	75	1.439	0.07	76	1.452	0.069
77	1.465	0.068	78	1.478	0.068	79	1.491	0.067	80	1.504	0.067
81	1.516	0.066	82	1.529	0.066	83	1.542	0.065	84	1.555	0.064
85	1.568	0.064	86	1.581	0.063	87	1.594	0.063	88	1.606	0.062
89	1.619	0.062	90	1.632	0.061	91	1.645	0.061	92	1.658	0.06
93	1.671	0.06	94	1.684	0.06	95	1.696	0.059	96	1.709	0.059
97	1.722	0.058	98	1.735	0.058	99	1.748	0.057	100	1.761	0.057
101	1.774	0.057	102	1.787	0.056	103	1.799	0.056	104	1.812	0.055
105	1.862	0.052	106	1.912	0.05	107	1.962	0.047	108	2.012	0.045
109	2.062	0.043	110	2.112	0.041	111	2.162	0.039	112	2.212	0.037
113	2.262	0.036	114	2.312	0.034	115	2.362	0.033	116	2.412	0.031
117	2.462	0.03	118	2.512	0.029	119	2.562	0.028	120	2.612	0.027
121	2.662	0.026	122	2.712	0.025	123	2.762	0.024	124	2.812	0.023
125	2.862	0.022	126	2.912	0.021	127	2.962	0.021	128	3.012	0.02
129	3.062	0.019	130	3.112	0.019	131	3.162	0.018	132	3.212	0.018
133	3.262	0.017	134	3.312	0.017	135	3.362	0.016	136	3.412	0.016
137	3.462	0.015	138	3.512	0.015	139	3.562	0.014	140	3.612	0.014
141	3.662	0.014	142	3.712	0.013	143	3.762	0.013	144	3.812	0.013
145	3.862	0.012	146	3.912	0.012	147	3.962	0.012	148	4.012	0.011
149	4.062	0.011	150	4.112	0.011	151	4.162	0.01	152	4.212	0.01
153	4.262	0.01	154	4.312	0.01	155	4.362	0.01	156	4.412	0.009
157	4.462	0.009	158	4.512	0.009	159	4.562	0.009	160	4.612	0.009
161	4.662	0.008	162	4.712	0.008	163	4.762	0.008	164	4.812	0.008

ALL 3 - Risultati modello

1 Risultati numerici

1.1 Spostamenti nodali estremi

Nodo: nodo interessato dallo spostamento.

Ind.: indice del nodo.

Cont.: condizione o combinazione di carico a cui si riferisce lo spostamento.

N.br.: nome breve della condizione o combinazione di carico.

Spostamento: spostamento traslazionale del nodo.

ux: componente X dello spostamento del nodo. [m]

uy: componente Y dello spostamento del nodo. [m]

uz: componente Z dello spostamento del nodo. [m]

Rotazione: spostamento rotazionale del nodo.

rx: componente X della rotazione del nodo. [deg]

ry: componente Y della rotazione del nodo. [deg]

rz: componente Z della rotazione del nodo. [deg]

Spostamenti nodali con componente Ux minima

Vengono mostrati i soli 5 nodi più sollecitati.

Nodo Ind.	Cont. N.br.	Spostamento			Rotazione		
		ux	uy	uz	rx	ry	rz
141	SLV 5	-0.1054846	0.0634595	-0.0109896	1.4267	1.8458	-1.648
155	SLV 1	-0.1052056	-0.0607888	-0.013024	-1.427	1.8597	1.6417
152	SLV 1	-0.0893697	-0.0409758	0.0067938	-0.6741	1.0424	-1.0263
166	SLV 5	-0.0891148	0.0426983	0.0048424	0.6086	0.9935	1
162	SLV 1	-0.0871497	-0.0281891	-0.012429	-0.1915	1.0152	0.8108

Spostamenti nodali con componente Ux massima

Vengono mostrati i soli 5 nodi più sollecitati.

Nodo Ind.	Cont. N.br.	Spostamento			Rotazione		
		ux	uy	uz	rx	ry	rz
141	SLV 25	0.0973507	-0.0592137	-0.0031093	-1.3442	-1.8086	1.5695
155	SLV 29	0.0970795	0.0611837	-0.0049913	1.2845	-1.8223	-1.5634
152	SLV 29	0.0869082	0.0447439	-0.0033094	0.6696	-1.1782	1.0729
166	SLV 25	0.0867647	-0.0419159	-0.0053521	-0.6715	-1.1358	-1.051
163	SLV 25	0.0851845	-0.0271997	-0.0105801	-0.2589	-1.0982	-0.8405

Spostamenti nodali con componente Uy minima

Vengono mostrati i soli 5 nodi più sollecitati.

Nodo Ind.	Cont. N.br.	Spostamento			Rotazione		
		ux	uy	uz	rx	ry	rz
149	SLV 9	-0.0317247	-0.1215857	-0.1132723	1.799	-0.3246	0.0341
148	SLV 17	0.0244634	-0.1213659	-0.1077723	1.7241	0.1449	0.0529
123	SLV 9	-0.0233537	-0.1174898	-0.074128	1.7746	-0.3251	0.0275
122	SLV 17	0.01951	-0.1174391	-0.0703489	1.7025	0.1445	0.0519
145	SLV 9	-0.0246744	-0.115341	-0.0944887	1.534	-0.0027	-0.1521

Spostamenti nodali con componente Uy massima

Vengono mostrati i soli 5 nodi più sollecitati.

Nodo Ind.	Cont. N.br.	Spostamento			Rotazione		
		ux	uy	uz	rx	ry	rz
163	SLV 13	-0.0321613	0.1239413	-0.1153697	-1.8308	-0.3444	-0.0474
162	SLV 21	0.0249994	0.1237221	-0.1098435	-1.756	0.1716	-0.0301
137	SLV 13	-0.0235173	0.1197727	-0.0755272	-1.8064	-0.345	-0.0402
136	SLV 21	0.0196093	0.1197225	-0.0717312	-1.7344	0.1714	-0.0305
159	SLV 13	-0.0246941	0.1176669	-0.0965041	-1.5641	0.0207	0.154

Spostamenti nodali con componente Uz minima

Vengono mostrati i soli 5 nodi più sollecitati.

Nodo Ind.	Cont. N.br.	Spostamento			Rotazione		
		ux	uy	uz	rx	ry	rz
163	SLV 13	-0.0321613	0.1239413	-0.1153697	-1.8308	-0.3444	-0.0474
149	SLV 9	-0.0317247	-0.1215857	-0.1132723	1.799	-0.3246	0.0341
162	SLV 13	-0.0242944	0.1232981	-0.1109027	-1.7435	0.8247	0.4525
148	SLV 9	-0.0248398	-0.120941	-0.108813	1.7118	0.799	-0.4301
159	SLV 21	0.0230452	0.1173409	-0.097464	-1.5538	-0.5264	-0.2666

Spostamenti nodali con componente Uz massima

Vengono mostrati i soli 5 nodi più sollecitati.

Nodo Ind.	Cont. N.br.	Spostamento			Rotazione		
		ux	uy	uz	rx	ry	rz
149	Y SLV	0.0055517	0.1155953	0.0767853	-1.1856	0.6593	-0.2719
148	Y SLV	-0.0035732	0.116146	0.0766919	-1.1825	-0.4135	0.1349
144	Y SLV	-0.0027412	0.1125282	0.075202	-1.1581	-0.2204	-0.0446
145	Y SLV	-0.0015185	0.1118116	0.0740608	-1.1405	0.2577	-0.0623
143	Y SLV	-0.0074835	0.0837795	0.0628422	-0.9696	-0.2934	-0.1249

1.2 Reazioni nodali estreme

Nodo: Nodo sollecitato dalla reazione vincolare.

Ind.: indice del nodo.

Cont.: Contesto a cui si riferisce la reazione vincolare.

N.br.: nome breve della condizione o combinazione di carico.
Reazione a traslazione: reazione vincolare traslazionale del nodo.
x: componente X della reazione vincolare del nodo. [kN]
y: componente Y della reazione vincolare del nodo. [kN]
z: componente Z della reazione vincolare del nodo. [kN]
Reazione a rotazione: reazione vincolare rotazionale del nodo.
x: componente X della reazione a rotazione del nodo. [kN*m]
y: componente Y della reazione a rotazione del nodo. [kN*m]
z: componente Z della reazione a rotazione del nodo. [kN*m]

Reazioni Fx minime

Vengono mostrati i soli 5 nodi più sollecitati.

Nodo Ind.	Cont. N.br.	Reazione a traslazione			Reazione a rotazione		
		x	y	z	x	y	z
2	SLV 29	-76.4	-17.26	156.52	104.6478	-212.9316	0.0435
4	X SLV	-74.36	-0.65	25.76	-3.1853	-211.645	-0.0059
3	SLV 25	-63.46	13.96	188.34	-90.8546	-191.3107	-0.0017
1	Pesi	0	0	0	0	0	0
165	Pesi	0	0	0	0	0	0

Reazioni Fx massime

Vengono mostrati i soli 5 nodi più sollecitati.

Nodo Ind.	Cont. N.br.	Reazione a traslazione			Reazione a rotazione		
		x	y	z	x	y	z
4	SLV 1	76.54	13.26	126.49	-75.2625	218.2308	0.0322
2	SLV 1	72.88	13.65	209.23	-91.0558	211.532	-0.0435
3	SLV 5	63.02	-17.57	187.66	104.4386	196.1728	0.0017
242	Pesi	0	0	0	0	0	0
84	Pesi	0	0	0	0	0	0

Reazioni Fy minime

Vengono mostrati i soli 5 nodi più sollecitati.

Nodo Ind.	Cont. N.br.	Reazione a traslazione			Reazione a rotazione		
		x	y	z	x	y	z
3	SLV 21	-18.38	-57.13	188.32	321.1825	-54.0107	0.007
2	SLV 13	19.84	-55.78	190.02	322.5768	61.2753	0.1264
4	SLV 21	-21	-50.07	158.8	290.0589	-58.8449	-0.0891
1	Pesi	0	0	0	0	0	0
165	Pesi	0	0	0	0	0	0

Reazioni Fy massime

Vengono mostrati i soli 5 nodi più sollecitati.

Nodo Ind.	Cont. N.br.	Reazione a traslazione			Reazione a rotazione		
		x	y	z	x	y	z
3	SLV 9	17.95	53.52	187.68	-307.5984	58.8728	-0.007
2	SLV 17	-23.37	52.16	175.74	-308.9848	-62.675	-0.1264
4	SLV 9	24.95	46.46	145.15	-276.4335	71.1223	0.0893
242	Pesi	0	0	0	0	0	0
84	Pesi	0	0	0	0	0	0

Reazioni Fz minime

Vengono mostrati i soli 5 nodi più sollecitati.

Nodo Ind.	Cont. N.br.	Reazione a traslazione			Reazione a rotazione		
		x	y	z	x	y	z
3	Vento X (+Z)	-5.64	0	-175.83	0.0129	-12.6294	0
2	Vento X (+Z)	-4.38	0	-157.44	0.0063	-10.1916	0
4	Vento Y (+Z)	-1.83	-20.91	-156.26	93.4661	-3.3753	-0.0228
1	Pesi	0	0	0	0	0	0
165	Pesi	0	0	0	0	0	0

Reazioni Fz massime

Vengono mostrati i soli 5 nodi più sollecitati.

Nodo Ind.	Cont. N.br.	Reazione a traslazione			Reazione a rotazione		
		x	y	z	x	y	z
3	SLU 403	0	-10.28	484.84	59.673	0.0011	0
2	SLU 412	0.12	-14.08	458.86	75.1354	8.7195	0.0342
4	SLU 405	0.07	-10.92	431.82	63.2918	-3.9575	-0.0339
242	Pesi	0	0	0	0	0	0
84	Pesi	0	0	0	0	0	0

1.3 Spostamenti di interpiano estremi

Nodo inferiore: nodo inferiore.

I.: numero dell'elemento nell'insieme che lo contiene.

Pos.: coordinate del nodo.

X: coordinata X. [m]

Y: coordinata Y. [m]

Z: coordinata Z. [m]

Nodo superiore: nodo superiore.

I.: numero dell'elemento nell'insieme che lo contiene.

Pos.: coordinate del nodo.

Z: coordinata Z. [m]

Spost. rel.: spostamento relativo. Il valore è adimensionale.

Comb.: combinazione.

N.b.: nome breve o compatto della combinazione di carico.

Spostamento inferiore: spostamento in pianta del nodo inferiore.

X: coordinata X. [m]

Y: coordinata Y. [m]

Spostamento superiore: spostamento in pianta del nodo superiore.

X: coordinata X. [m]

Y: coordinata Y. [m]

S.V.: si intende non verificato qualora lo spostamento relativo sia superiore al valore limite espresso nelle preferenze di analisi.

Questo capitolo mostra gli spostamenti estremi per ogni interpiano in ognuna delle combinazioni di carico.

Per spostamenti estremi si intendono i primi 5 spostamenti massimi tra tutti gli interpiani che condividono la stessa quota iniziale e la stessa quota finale.

limite = 0.003333; spostamenti calcolati applicando il fattore di duttilità in spostamento $\mu_d = 1$ secondo D.M. 17-01-18 §7.3.3.3

I.	Nodo inferiore			Nodo superiore			Spost. rel.	Comb.	Spostamento inferiore		Spostamento superiore		S.V.
	Pos.	X	Y	Pos.	X	Y			X	Y	X	Y	
61	16.5	-0.75	4.648	98	5.2	0.011856	SLO 1	-0.01961	-0.00912	-0.02266	-0.00333	no	
62	19.5	-0.75	4.648	99	5.2	0.011381	SLO 1	-0.01976	-0.00961	-0.02195	-0.00372	no	
57	4.5	-0.75	4.648	94	5.2	0.009975	SLO 1	-0.01968	-0.00847	-0.02245	-0.00371	no	
58	7.5	-0.75	4.648	95	5.2	0.009803	SLO 1	-0.01969	-0.00897	-0.02225	-0.0042	no	
49	16.5	0.748	4.647	108	5.2	0.009251	SLO 1	-0.01948	-0.00792	-0.02281	-0.00404	no	
61	16.5	-0.75	4.648	98	5.2	0.011856	SLO 2	-0.01961	-0.00912	-0.02266	-0.00333	no	
62	19.5	-0.75	4.648	99	5.2	0.011381	SLO 2	-0.01976	-0.00961	-0.02195	-0.00372	no	
57	4.5	-0.75	4.648	94	5.2	0.009975	SLO 2	-0.01968	-0.00847	-0.02245	-0.00371	no	
58	7.5	-0.75	4.648	95	5.2	0.009803	SLO 2	-0.01969	-0.00897	-0.02225	-0.0042	no	
49	16.5	0.748	4.647	108	5.2	0.009251	SLO 2	-0.01948	-0.00792	-0.02281	-0.00404	no	
61	16.5	-0.75	4.648	98	5.2	0.011856	SLO 3	-0.01961	-0.00912	-0.02266	-0.00333	no	
62	19.5	-0.75	4.648	99	5.2	0.011381	SLO 3	-0.01976	-0.00961	-0.02195	-0.00372	no	
57	4.5	-0.75	4.648	94	5.2	0.009975	SLO 3	-0.01968	-0.00847	-0.02245	-0.00371	no	
58	7.5	-0.75	4.648	95	5.2	0.009803	SLO 3	-0.01969	-0.00897	-0.02225	-0.0042	no	
49	16.5	0.748	4.647	108	5.2	0.009251	SLO 3	-0.01948	-0.00792	-0.02281	-0.00404	no	
61	16.5	-0.75	4.648	98	5.2	0.011856	SLO 4	-0.01961	-0.00912	-0.02266	-0.00333	no	
62	19.5	-0.75	4.648	99	5.2	0.011381	SLO 4	-0.01976	-0.00961	-0.02195	-0.00372	no	
57	4.5	-0.75	4.648	94	5.2	0.009975	SLO 4	-0.01968	-0.00847	-0.02245	-0.00371	no	
58	7.5	-0.75	4.648	95	5.2	0.009803	SLO 4	-0.01969	-0.00897	-0.02225	-0.0042	no	
49	16.5	0.748	4.647	108	5.2	0.009251	SLO 4	-0.01948	-0.00792	-0.02281	-0.00404	no	
49	16.5	0.748	4.647	108	5.2	0.011394	SLO 5	-0.0196	0.01109	-0.02266	0.00558	no	
48	19.5	0.747	4.646	107	5.2	0.010872	SLO 5	-0.01976	0.01157	-0.02195	0.00597	no	
53	4.5	0.75	4.647	112	5.2	0.009531	SLO 5	-0.01968	0.01044	-0.02244	0.00595	no	
52	7.5	0.749	4.647	111	5.2	0.009346	SLO 5	-0.01969	0.01093	-0.02225	0.00644	no	
61	16.5	-0.75	4.648	98	5.2	0.008891	SLO 5	-0.01948	0.00989	-0.02281	0.00628	no	
49	16.5	0.748	4.647	108	5.2	0.011394	SLO 6	-0.0196	0.01109	-0.02266	0.00558	no	
48	19.5	0.747	4.646	107	5.2	0.010872	SLO 6	-0.01976	0.01157	-0.02195	0.00597	no	
53	4.5	0.75	4.647	112	5.2	0.009531	SLO 6	-0.01968	0.01044	-0.02244	0.00595	no	
52	7.5	0.749	4.647	111	5.2	0.009346	SLO 6	-0.01969	0.01093	-0.02225	0.00644	no	
61	16.5	-0.75	4.648	98	5.2	0.008891	SLO 6	-0.01948	0.00989	-0.02281	0.00628	no	
49	16.5	0.748	4.647	108	5.2	0.011394	SLO 7	-0.0196	0.01109	-0.02266	0.00558	no	
48	19.5	0.747	4.646	107	5.2	0.010872	SLO 7	-0.01976	0.01157	-0.02195	0.00597	no	
53	4.5	0.75	4.647	112	5.2	0.009531	SLO 7	-0.01968	0.01044	-0.02244	0.00595	no	
52	7.5	0.749	4.647	111	5.2	0.009346	SLO 7	-0.01969	0.01093	-0.02225	0.00644	no	
61	16.5	-0.75	4.648	98	5.2	0.008891	SLO 7	-0.01948	0.00989	-0.02281	0.00628	no	
49	16.5	0.748	4.647	108	5.2	0.011394	SLO 8	-0.0196	0.01109	-0.02266	0.00558	no	
48	19.5	0.747	4.646	107	5.2	0.010872	SLO 8	-0.01976	0.01157	-0.02195	0.00597	no	
53	4.5	0.75	4.647	112	5.2	0.009531	SLO 8	-0.01968	0.01044	-0.02244	0.00595	no	
52	7.5	0.749	4.647	111	5.2	0.009346	SLO 8	-0.01969	0.01093	-0.02225	0.00644	no	
61	16.5	-0.75	4.648	98	5.2	0.008891	SLO 8	-0.01948	0.00989	-0.02281	0.00628	no	
62	19.5	-0.75	4.648	99	5.2	0.031061	SLO 9	-0.00701	-0.03152	-0.00789	-0.01439	no	
61	16.5	-0.75	4.648	98	5.2	0.030395	SLO 9	-0.00725	-0.03147	-0.00856	-0.01473	no	
48	19.5	0.747	4.646	107	5.2	0.027358	SLO 9	-0.00768	-0.02954	-0.00845	-0.01441	no	
49	16.5	0.748	4.647	108	5.2	0.027195	SLO 9	-0.00682	-0.02995	-0.00905	-0.01506	no	
57	4.5	-0.75	4.648	94	5.2	0.025948	SLO 9	-0.00727	-0.0301	-0.00843	-0.01581	no	
62	19.5	-0.75	4.648	99	5.2	0.031061	SLO 10	-0.00701	-0.03152	-0.00789	-0.01439	no	
61	16.5	-0.75	4.648	98	5.2	0.030395	SLO 10	-0.00725	-0.03147	-0.00856	-0.01473	no	
48	19.5	0.747	4.646	107	5.2	0.027358	SLO 10	-0.00768	-0.02954	-0.00845	-0.01441	no	
49	16.5	0.748	4.647	108	5.2	0.027195	SLO 10	-0.00682	-0.02995	-0.00905	-0.01506	no	
57	4.5	-0.75	4.648	94	5.2	0.025948	SLO 10	-0.00727	-0.0301	-0.00843	-0.01581	no	
62	19.5	-0.75	4.648	99	5.2	0.031061	SLO 11	-0.00701	-0.03152	-0.00789	-0.01439	no	
61	16.5	-0.75	4.648	98	5.2	0.030395	SLO 11	-0.00725	-0.03147	-0.00856	-0.01473	no	
48	19.5	0.747	4.646	107	5.2	0.027358	SLO 11	-0.00768	-0.02954	-0.00845	-0.01441	no	
49	16.5	0.748	4.647	108	5.2	0.027195	SLO 11	-0.00682	-0.02995	-0.00905	-0.01506	no	
57	4.5	-0.75	4.648	94	5.2	0.025948	SLO 11	-0.00727	-0.0301	-0.00843	-0.01581	no	
62	19.5	-0.75	4.648	99	5.2	0.031061	SLO 12	-0.00701	-0.03152	-0.00789	-0.01439	no	
61	16.5	-0.75	4.648	98	5.2	0.030395	SLO 12	-0.00725	-0.03147	-0.00856	-0.01473	no	
48	19.5	0.747	4.646	107	5.2	0.027358	SLO 12	-0.00768	-0.02954	-0.00845	-0.01441	no	
49	16.5	0.748	4.647	108	5.2	0.027195	SLO 12	-0.00682	-0.02995	-0.00905	-0.01506	no	
57	4.5	-0.75	4.648	94	5.2	0.025948	SLO 12	-0.00727	-0.0301	-0.00843	-0.01581	no	
48	19.5	0.747	4.646	107	5.2	0.030466	SLO 13	-0.007	0.03348	-0.00789	0.01664	no	
49	16.5	0.748	4.647	108	5.2	0.029824	SLO 13	-0.00724	0.03343	-0.00856	0.01698	no	
62	19.5	-0.75	4.648	99	5.2	0.02691	SLO 13	-0.00768	0.03151	-0.00845	0.01666	no	
61	16.5	-0.75	4.648	98	5.2	0.026759	SLO 13	-0.00681	0.03192	-0.00905	0.01731	no	
53	4.5	0.75	4.647	112	5.2	0.025432	SLO 13	-0.00727	0.03206	-0.00841	0.01806	no	
48	19.5	0.747	4.646	107	5.2	0.030466	SLO 14	-0.007	0.03348	-0.00789	0.01664	no	
49	16.5	0.748	4.647	108	5.2	0.029824	SLO 14	-0.00724	0.03343	-0.00856	0.01698	no	
62	19.5	-0.75	4.648	99	5.2	0.02691	SLO 14	-0.00768	0.03151	-0.00845	0.01666	no	
61	16.5	-0.75	4.648	98	5.2	0.026759	SLO 14	-0.00681	0.03192	-0.00905	0.01731	no	
53	4.5	0.75	4.647	112	5.2	0.025432	SLO 14	-0.00727	0.03206	-0.00841	0.01806	no	
48	19.5	0.747	4.646	107	5.2	0.030466	SLO 15	-0.007	0.03348	-0.00789	0.01664	no	
49	16.5	0.748	4.647	108	5.2	0.029824	SLO 15	-0.00724	0.03343	-0.00856	0.01698	no	
62	19.5	-0.75	4.648	99	5.2	0.02691	SLO 15	-0.00768	0.03151	-0.00845	0.01666	no	
61	16.5	-0.75	4.648	98	5.2	0.026759	SLO 15	-0.00681	0.03192	-0.00905	0.01731	no	
53	4.5	0.75	4.647	112	5.2	0.025432	SLO 15	-0.00727	0.03206	-0.00841	0.01806	no	
48	19.5	0.747	4.646	107	5.2	0.030466	SLO 16	-0.007	0.03348	-0.00789	0.01664	no	
49	16.5	0.748	4.647	108	5.2	0.029824	SLO 16	-0.00724	0.03343	-0.00856	0.01698	no	
62	19.5	-0.75	4.648	99	5.2	0.02691	SLO 16	-0.00768	0.03151	-0.00845	0.01666	no	
61	16.5	-0.75	4.648	98	5.2	0.026759	SLO 16	-0.00681	0.03192	-0.00905	0.01731	no	
53	4.5	0.75	4.647	112	5.2	0.025432	SLO 16	-0.00727	0.03206	-0.00841	0.01806	no	
62	19.5	-0.75	4.648	99	5.2	0.031101	SLO 17	0.00372	-0.0314	0.004	-0.01422	no	
61	16.5	-0.75	4.648	98	5.2	0.030258	SLO 17	0.00347	-0.03161	0.00338	-0.01429	no	
48	19.5	0.747	4.646	107	5.2	0.027255	SLO 17	0.00304	-0.02966	0.00344	-0.01458	no	
49	16.5	0.748	4.647	108	5.2	0.027002	SLO 17	0.0039	-0.02981	0.00288	-0.0149	no	
57	4.5	-0.75	4.648	94	5.2	0.025866	SLO 17	0.00348	-0.03025	0.00346	-0.01596	no	
62	19.5	-0.75	4.648	99	5.2	0.031101	SLO 18	0.00372	-0.0314	0.004	-0.01422	no	

I.	Nodo inferiore			Nodo superiore			Spost. rel.	Comb.	Spostamento inferiore		Spostamento superiore		S.V.	
	Pos.			I.	Pos.	Z			N.b.	X	Y	X		Y
	X	Y	Z											
61	16.5	-0.75	4.648	98	5.2	0.030258	SLO 18	0.00347	-0.03161	0.00338	-0.0149	no		
48	19.5	0.747	4.646	107	5.2	0.027255	SLO 18	0.00304	-0.02966	0.00344	-0.01458	no		
49	16.5	0.748	4.647	108	5.2	0.027002	SLO 18	0.0039	-0.02981	0.00288	-0.0149	no		
57	4.5	-0.75	4.648	94	5.2	0.025866	SLO 18	0.00348	-0.03025	0.00346	-0.01596	no		
62	19.5	-0.75	4.648	99	5.2	0.031101	SLO 19	0.00372	-0.0314	0.004	-0.01422	no		
61	16.5	-0.75	4.648	98	5.2	0.030258	SLO 19	0.00347	-0.03161	0.00338	-0.0149	no		
48	19.5	0.747	4.646	107	5.2	0.027255	SLO 19	0.00304	-0.02966	0.00344	-0.01458	no		
49	16.5	0.748	4.647	108	5.2	0.027002	SLO 19	0.0039	-0.02981	0.00288	-0.0149	no		
57	4.5	-0.75	4.648	94	5.2	0.025866	SLO 19	0.00348	-0.03025	0.00346	-0.01596	no		
62	19.5	-0.75	4.648	99	5.2	0.031101	SLO 20	0.00372	-0.0314	0.004	-0.01422	no		
61	16.5	-0.75	4.648	98	5.2	0.030258	SLO 20	0.00347	-0.03161	0.00338	-0.0149	no		
48	19.5	0.747	4.646	107	5.2	0.027255	SLO 20	0.00304	-0.02966	0.00344	-0.01458	no		
49	16.5	0.748	4.647	108	5.2	0.027002	SLO 20	0.0039	-0.02981	0.00288	-0.0149	no		
57	4.5	-0.75	4.648	94	5.2	0.025866	SLO 20	0.00348	-0.03025	0.00346	-0.01596	no		
48	19.5	0.747	4.646	107	5.2	0.030505	SLO 21	0.00373	0.03336	0.00399	0.01648	no		
49	16.5	0.748	4.647	108	5.2	0.029683	SLO 21	0.00348	0.03357	0.00337	0.01714	no		
62	19.5	-0.75	4.648	99	5.2	0.026805	SLO 21	0.00305	0.03163	0.00343	0.01683	no		
61	16.5	-0.75	4.648	98	5.2	0.026561	SLO 21	0.00391	0.03179	0.00288	0.01715	no		
53	4.5	0.75	4.647	112	5.2	0.025353	SLO 21	0.00348	0.03221	0.00348	0.0182	no		
48	19.5	0.747	4.646	107	5.2	0.030505	SLO 22	0.00373	0.03336	0.00399	0.01648	no		
49	16.5	0.748	4.647	108	5.2	0.029683	SLO 22	0.00348	0.03357	0.00337	0.01714	no		
62	19.5	-0.75	4.648	99	5.2	0.026805	SLO 22	0.00305	0.03163	0.00343	0.01683	no		
61	16.5	-0.75	4.648	98	5.2	0.026561	SLO 22	0.00391	0.03179	0.00288	0.01715	no		
53	4.5	0.75	4.647	112	5.2	0.025353	SLO 22	0.00348	0.03221	0.00348	0.0182	no		
48	19.5	0.747	4.646	107	5.2	0.030505	SLO 23	0.00373	0.03336	0.00399	0.01648	no		
49	16.5	0.748	4.647	108	5.2	0.029683	SLO 23	0.00348	0.03357	0.00337	0.01714	no		
62	19.5	-0.75	4.648	99	5.2	0.026805	SLO 23	0.00305	0.03163	0.00343	0.01683	no		
61	16.5	-0.75	4.648	98	5.2	0.026561	SLO 23	0.00391	0.03179	0.00288	0.01715	no		
53	4.5	0.75	4.647	112	5.2	0.025353	SLO 23	0.00348	0.03221	0.00348	0.0182	no		
48	19.5	0.747	4.646	107	5.2	0.030505	SLO 24	0.00373	0.03336	0.00399	0.01648	no		
49	16.5	0.748	4.647	108	5.2	0.029683	SLO 24	0.00348	0.03357	0.00337	0.01714	no		
62	19.5	-0.75	4.648	99	5.2	0.026805	SLO 24	0.00305	0.03163	0.00343	0.01683	no		
61	16.5	-0.75	4.648	98	5.2	0.026561	SLO 24	0.00391	0.03179	0.00288	0.01715	no		
53	4.5	0.75	4.647	112	5.2	0.025353	SLO 24	0.00348	0.03221	0.00348	0.0182	no		
62	19.5	-0.75	4.648	99	5.2	0.01133	SLO 25	0.01601	-0.00919	0.01767	-0.00316	no		
61	16.5	-0.75	4.648	98	5.2	0.010499	SLO 25	0.01613	-0.00958	0.01713	-0.00387	no		
58	7.5	-0.75	4.648	95	5.2	0.009241	SLO 25	0.01608	-0.00859	0.01754	-0.00369	no		
57	4.5	-0.75	4.648	94	5.2	0.008832	SLO 25	0.01616	-0.00895	0.01718	-0.00418	no		
48	19.5	0.747	4.646	107	5.2	0.007591	SLO 25	0.0158	-0.00775	0.0175	-0.00391	no		
62	19.5	-0.75	4.648	99	5.2	0.01133	SLO 26	0.01601	-0.00919	0.01767	-0.00316	no		
61	16.5	-0.75	4.648	98	5.2	0.010499	SLO 26	0.01613	-0.00958	0.01713	-0.00387	no		
58	7.5	-0.75	4.648	95	5.2	0.009241	SLO 26	0.01608	-0.00859	0.01754	-0.00369	no		
57	4.5	-0.75	4.648	94	5.2	0.008832	SLO 26	0.01616	-0.00895	0.01718	-0.00418	no		
48	19.5	0.747	4.646	107	5.2	0.007591	SLO 26	0.0158	-0.00775	0.0175	-0.00391	no		
62	19.5	-0.75	4.648	99	5.2	0.01133	SLO 27	0.01601	-0.00919	0.01767	-0.00316	no		
61	16.5	-0.75	4.648	98	5.2	0.010499	SLO 27	0.01613	-0.00958	0.01713	-0.00387	no		
58	7.5	-0.75	4.648	95	5.2	0.009241	SLO 27	0.01608	-0.00859	0.01754	-0.00369	no		
57	4.5	-0.75	4.648	94	5.2	0.008832	SLO 27	0.01616	-0.00895	0.01718	-0.00418	no		
48	19.5	0.747	4.646	107	5.2	0.007591	SLO 27	0.0158	-0.00775	0.0175	-0.00391	no		
62	19.5	-0.75	4.648	99	5.2	0.01133	SLO 28	0.01601	-0.00919	0.01767	-0.00316	no		
61	16.5	-0.75	4.648	98	5.2	0.010499	SLO 28	0.01613	-0.00958	0.01713	-0.00387	no		
58	7.5	-0.75	4.648	95	5.2	0.009241	SLO 28	0.01608	-0.00859	0.01754	-0.00369	no		
57	4.5	-0.75	4.648	94	5.2	0.008832	SLO 28	0.01616	-0.00895	0.01718	-0.00418	no		
48	19.5	0.747	4.646	107	5.2	0.007591	SLO 28	0.0158	-0.00775	0.0175	-0.00391	no		
48	19.5	0.747	4.646	107	5.2	0.010805	SLO 29	0.01601	0.01116	0.01767	0.00541	no		
49	16.5	0.748	4.647	108	5.2	0.009976	SLO 29	0.01613	0.01155	0.01713	0.00612	no		
52	7.5	0.749	4.647	111	5.2	0.008751	SLO 29	0.01608	0.01055	0.01754	0.00594	no		
53	4.5	0.75	4.647	112	5.2	0.008339	SLO 29	0.01615	0.01092	0.01718	0.00642	no		
62	19.5	-0.75	4.648	99	5.2	0.007135	SLO 29	0.01581	0.00972	0.0175	0.00616	no		
48	19.5	0.747	4.646	107	5.2	0.010805	SLO 30	0.01601	0.01116	0.01767	0.00541	no		
49	16.5	0.748	4.647	108	5.2	0.009976	SLO 30	0.01613	0.01155	0.01713	0.00612	no		
52	7.5	0.749	4.647	111	5.2	0.008751	SLO 30	0.01608	0.01055	0.01754	0.00594	no		
53	4.5	0.75	4.647	112	5.2	0.008339	SLO 30	0.01615	0.01092	0.01718	0.00642	no		
62	19.5	-0.75	4.648	99	5.2	0.007135	SLO 30	0.01581	0.00972	0.0175	0.00616	no		
48	19.5	0.747	4.646	107	5.2	0.010805	SLO 31	0.01601	0.01116	0.01767	0.00541	no		
49	16.5	0.748	4.647	108	5.2	0.009976	SLO 31	0.01613	0.01155	0.01713	0.00612	no		
52	7.5	0.749	4.647	111	5.2	0.008751	SLO 31	0.01608	0.01055	0.01754	0.00594	no		
53	4.5	0.75	4.647	112	5.2	0.008339	SLO 31	0.01615	0.01092	0.01718	0.00642	no		
62	19.5	-0.75	4.648	99	5.2	0.007135	SLO 31	0.01581	0.00972	0.0175	0.00616	no		
48	19.5	0.747	4.646	107	5.2	0.010805	SLO 32	0.01601	0.01116	0.01767	0.00541	no		
49	16.5	0.748	4.647	108	5.2	0.009976	SLO 32	0.01613	0.01155	0.01713	0.00612	no		
52	7.5	0.749	4.647	111	5.2	0.008751	SLO 32	0.01608	0.01055	0.01754	0.00594	no		
53	4.5	0.75	4.647	112	5.2	0.008339	SLO 32	0.01615	0.01092	0.01718	0.00642	no		
62	19.5	-0.75	4.648	99	5.2	0.007135	SLO 32	0.01581	0.00972	0.0175	0.00616	no		

1.4 Verifica effetti secondo ordine

Quota inf.: quota inferiore esprimibile come livello, falda, piano orizzontale alla Z specificata, espressa con notazione breve. esprimibile come livello, falda, piano orizzontale alla Z specificata. [m]

Quota sup.: quota superiore esprimibile come livello, falda, piano orizzontale alla Z specificata, espressa con notazione breve. esprimibile come livello, falda, piano orizzontale alla Z specificata. [m]

Comb.: combinazione.

N.b.: nome breve o compatto della combinazione di carico.

Carico verticale: carico verticale. [kN]

Spostamento: spostamento medio di interpiano. [m]

Forza orizzontale totale: forza orizzontale totale. [kN]

Altezza del piano: altezza del piano. [m]

Theta: coefficiente Theta formula [7.3.3] § 7.3.1. Il valore è adimensionale.

Quota inf.	Quota sup.	Comb.	Carico verticale	Spostamento	Forza orizzontale totale	Altezza del piano	Theta
		N.b.					
L1	L2	SLV 1	504.47	0.06336	216.92	4.94	0.03

Quota inf.	Quota sup.	Comb.	Carico verticale	Spostamento	Forza orizzontale totale	Altezza del piano	Theta
		N.b.					
L1	L2	SLV 2	504.47	0.06336	216.92	4.94	0.03
L1	L2	SLV 3	504.47	0.06336	216.92	4.94	0.03
L1	L2	SLV 4	504.47	0.06336	216.92	4.94	0.03
L1	L2	SLV 5	503.63	0.06358	217.03	4.94	0.03
L1	L2	SLV 6	503.63	0.06358	217.03	4.94	0.03
L1	L2	SLV 7	503.63	0.06358	217.03	4.94	0.03
L1	L2	SLV 8	503.63	0.06358	217.03	4.94	0.03
L1	L2	SLV 9	505.46	0.04853	168.04	4.94	0.03
L1	L2	SLV 10	505.46	0.04853	168.04	4.94	0.03
L1	L2	SLV 11	505.46	0.04853	168.04	4.94	0.03
L1	L2	SLV 12	505.46	0.04853	168.04	4.94	0.03
L1	L2	SLV 13	502.66	0.04986	170.59	4.94	0.03
L1	L2	SLV 14	502.66	0.04986	170.59	4.94	0.03
L1	L2	SLV 15	502.66	0.04986	170.59	4.94	0.03
L1	L2	SLV 16	502.66	0.04986	170.59	4.94	0.03
L1	L2	SLV 17	505.47	0.0471	167.13	4.94	0.029
L1	L2	SLV 18	505.47	0.0471	167.13	4.94	0.029
L1	L2	SLV 19	505.47	0.0471	167.13	4.94	0.029
L1	L2	SLV 20	505.47	0.0471	167.13	4.94	0.029
L1	L2	SLV 21	502.67	0.04882	171.49	4.94	0.029
L1	L2	SLV 22	502.67	0.04882	171.49	4.94	0.029
L1	L2	SLV 23	502.67	0.04882	171.49	4.94	0.029
L1	L2	SLV 24	502.67	0.04882	171.49	4.94	0.029
L1	L2	SLV 25	504.5	0.05999	216.23	4.94	0.028
L1	L2	SLV 26	504.5	0.05999	216.23	4.94	0.028
L1	L2	SLV 27	504.5	0.05999	216.23	4.94	0.028
L1	L2	SLV 28	504.5	0.05999	216.23	4.94	0.028
L1	L2	SLV 29	503.66	0.0605	217.74	4.94	0.028
L1	L2	SLV 30	503.66	0.0605	217.74	4.94	0.028
L1	L2	SLV 31	503.66	0.0605	217.74	4.94	0.028
L1	L2	SLV 32	503.66	0.0605	217.74	4.94	0.028
L2	L3	SLV 1	185.54	0.00874	125.05	1.11	0.012
L2	L3	SLV 2	185.54	0.00874	125.05	1.11	0.012
L2	L3	SLV 3	185.54	0.00874	125.05	1.11	0.012
L2	L3	SLV 4	185.54	0.00874	125.05	1.11	0.012
L2	L3	SLV 5	183.98	0.00908	123.84	1.11	0.012
L2	L3	SLV 6	183.98	0.00908	123.84	1.11	0.012
L2	L3	SLV 7	183.98	0.00908	123.84	1.11	0.012
L2	L3	SLV 8	183.98	0.00908	123.84	1.11	0.012
L2	L3	SLV 9	187	0.01633	104.85	1.11	0.026
L2	L3	SLV 10	187	0.01633	104.85	1.11	0.026
L2	L3	SLV 11	187	0.01633	104.85	1.11	0.026
L2	L3	SLV 12	187	0.01633	104.85	1.11	0.026
L2	L3	SLV 13	181.78	0.01691	104.81	1.11	0.026
L2	L3	SLV 14	181.78	0.01691	104.81	1.11	0.026
L2	L3	SLV 15	181.78	0.01691	104.81	1.11	0.026
L2	L3	SLV 16	181.78	0.01691	104.81	1.11	0.026
L2	L3	SLV 17	186.69	0.01617	102.78	1.11	0.026
L2	L3	SLV 18	186.69	0.01617	102.78	1.11	0.026
L2	L3	SLV 19	186.69	0.01617	102.78	1.11	0.026
L2	L3	SLV 20	186.69	0.01617	102.78	1.11	0.026
L2	L3	SLV 21	181.47	0.01672	106.82	1.11	0.026
L2	L3	SLV 22	181.47	0.01672	106.82	1.11	0.026
L2	L3	SLV 23	181.47	0.01672	106.82	1.11	0.026
L2	L3	SLV 24	181.47	0.01672	106.82	1.11	0.026
L2	L3	SLV 25	184.5	0.00763	123.3	1.11	0.01
L2	L3	SLV 26	184.5	0.00763	123.3	1.11	0.01
L2	L3	SLV 27	184.5	0.00763	123.3	1.11	0.01
L2	L3	SLV 28	184.5	0.00763	123.3	1.11	0.01
L2	L3	SLV 29	182.93	0.00795	125.52	1.11	0.01
L2	L3	SLV 30	182.93	0.00795	125.52	1.11	0.01
L2	L3	SLV 31	182.93	0.00795	125.52	1.11	0.01
L2	L3	SLV 32	182.93	0.00795	125.52	1.11	0.01
L3	L4	SLV 1	5.12	0.00616	3.57	1.3	0.007
L3	L4	SLV 2	5.12	0.00616	3.57	1.3	0.007
L3	L4	SLV 3	5.12	0.00616	3.57	1.3	0.007
L3	L4	SLV 4	5.12	0.00616	3.57	1.3	0.007
L3	L4	SLV 5	3.13	0.00693	5.56	1.3	0.003
L3	L4	SLV 6	3.13	0.00693	5.56	1.3	0.003
L3	L4	SLV 7	3.13	0.00693	5.56	1.3	0.003
L3	L4	SLV 8	3.13	0.00693	5.56	1.3	0.003
L3	L4	SLV 9	7.6	0.01986	9.22	1.3	0.013
L3	L4	SLV 10	7.6	0.01986	9.22	1.3	0.013
L3	L4	SLV 11	7.6	0.01986	9.22	1.3	0.013
L3	L4	SLV 12	7.6	0.01986	9.22	1.3	0.013
L3	L4	SLV 13	0.94	0.02059	9.99	1.3	0.001
L3	L4	SLV 14	0.94	0.02059	9.99	1.3	0.001
L3	L4	SLV 15	0.94	0.02059	9.99	1.3	0.001
L3	L4	SLV 16	0.94	0.02059	9.99	1.3	0.001
L3	L4	SLV 17	7.72	0.01988	10.24	1.3	0.012
L3	L4	SLV 18	7.72	0.01988	10.24	1.3	0.012
L3	L4	SLV 19	7.72	0.01988	10.24	1.3	0.012
L3	L4	SLV 20	7.72	0.01988	10.24	1.3	0.012
L3	L4	SLV 21	1.06	0.02051	8.96	1.3	0.002
L3	L4	SLV 22	1.06	0.02051	8.96	1.3	0.002
L3	L4	SLV 23	1.06	0.02051	8.96	1.3	0.002
L3	L4	SLV 24	1.06	0.02051	8.96	1.3	0.002
L3	L4	SLV 25	5.53	0.00599	5.73	1.3	0.004
L3	L4	SLV 26	5.53	0.00599	5.73	1.3	0.004
L3	L4	SLV 27	5.53	0.00599	5.73	1.3	0.004
L3	L4	SLV 28	5.53	0.00599	5.73	1.3	0.004
L3	L4	SLV 29	3.53	0.00651	3.42	1.3	0.005
L3	L4	SLV 30	3.53	0.00651	3.42	1.3	0.005
L3	L4	SLV 31	3.53	0.00651	3.42	1.3	0.005
L3	L4	SLV 32	3.53	0.00651	3.42	1.3	0.005

1.5 Tagli ai livelli

Livello: livello rispetto a cui è calcolato il taglio.

Nome: nome completo del livello.

Cont.: Contesto nel quale viene valutato il taglio.

N.br.: nome breve della condizione o combinazione di carico.

Totale: totale del taglio al livello.

F: forza del taglio. [kN]

X: componente lungo l'asse X globale. [kN]

Y: componente lungo l'asse Y globale. [kN]

Z: componente lungo l'asse Z globale. [kN]

Aste verticali: contributo al taglio totale dato dalle aste verticali.

F: forza del taglio. [kN]

X: componente lungo l'asse X globale. [kN]

Y: componente lungo l'asse Y globale. [kN]

Z: componente lungo l'asse Z globale. [kN]

Pareti: contributo al taglio totale dato dalle pareti e piastre generiche verticali.

F: forza del taglio. [kN]

X: componente lungo l'asse X globale. [kN]

Y: componente lungo l'asse Y globale. [kN]

Z: componente lungo l'asse Z globale. [kN]

Livello	Cont.	Totale			Aste verticali			Pareti		
		F			F			F		
Nome	N.br.	X	Y	Z	X	Y	Z	X	Y	Z
Fondazione	Pesi	0	0	-120.36	0	0	-120.36	0	0	0
Fondazione	Port.	0	0	-402.49	0	0	-402.49	0	0	0
Fondazione	Neve	0	0	-127.31	0	0	-127.31	0	0	0
Fondazione	Vento X (+Z)	18.07	0	488.36	18.07	0	488.36	0	0	0
Fondazione	Vento Y (+Z)	0	62.3	488.36	0	62.3	488.36	0	0	0
Fondazione	Passaggio convogli	0	9.04	0	0	9.04	0	0	0	0
Fondazione	Vento Y (-Z)	0	21.41	-327.36	0	21.41	-327.36	0	0	0
Fondazione	AT	0	0	0	0	0	0	0	0	0
Fondazione	X SLV	211.8	0.74	-0.01	211.8	0.74	-0.01	0	0	0
Fondazione	Y SLV	0.65	156.93	1.4	0.65	156.93	1.4	0	0	0
Fondazione	X SLD	80.87	0.33	-0.01	80.87	0.33	-0.01	0	0	0
Fondazione	Y SLD	0.29	59.98	0.63	0.29	59.98	0.63	0	0	0
Fondazione	X SLO	65.82	0.29	-0.01	65.82	0.29	-0.01	0	0	0
Fondazione	Y SLO	0.25	48.83	0.54	0.25	48.83	0.54	0	0	0
Fondazione	R Ux	0	0	0	0	0	0	0	0	0
Fondazione	R Uy	0	0	0	0	0	0	0	0	0
Fondazione	R Rz	0	0	0	0	0	0	0	0	0
Fondazione	SLU 1	0	0	-442.36	0	0	-442.36	0	0	0
Fondazione	SLU 2	0	0	-442.36	0	0	-442.36	0	0	0
Fondazione	SLU 3	0	0	-442.36	0	0	-442.36	0	0	0
Fondazione	SLU 4	0	19.27	-736.98	0	19.27	-736.98	0	0	0
Fondazione	SLU 5	0	19.27	-736.98	0	19.27	-736.98	0	0	0
Fondazione	SLU 6	0	32.12	-933.4	0	32.12	-933.4	0	0	0
Fondazione	SLU 7	0	32.12	-933.4	0	32.12	-933.4	0	0	0
Fondazione	SLU 8	0	32.12	-933.4	0	32.12	-933.4	0	0	0
Fondazione	SLU 9	0	9.49	-442.36	0	9.49	-442.36	0	0	0
Fondazione	SLU 10	0	9.49	-442.36	0	9.49	-442.36	0	0	0
Fondazione	SLU 11	0	28.76	-736.98	0	28.76	-736.98	0	0	0
Fondazione	SLU 12	0	28.76	-736.98	0	28.76	-736.98	0	0	0
Fondazione	SLU 13	0	41.61	-933.4	0	41.61	-933.4	0	0	0
Fondazione	SLU 14	0	41.61	-933.4	0	41.61	-933.4	0	0	0
Fondazione	SLU 15	0	41.61	-933.4	0	41.61	-933.4	0	0	0
Fondazione	SLU 16	0	13.55	-442.36	0	13.55	-442.36	0	0	0
Fondazione	SLU 17	0	13.55	-442.36	0	13.55	-442.36	0	0	0
Fondazione	SLU 18	0	13.55	-442.36	0	13.55	-442.36	0	0	0
Fondazione	SLU 19	0	32.83	-736.98	0	32.83	-736.98	0	0	0
Fondazione	SLU 20	0	32.83	-736.98	0	32.83	-736.98	0	0	0
Fondazione	SLU 21	0	32.83	-736.98	0	32.83	-736.98	0	0	0
Fondazione	SLU 22	0	56.07	-2.83	0	56.07	-2.83	0	0	0
Fondazione	SLU 23	0	56.07	-2.83	0	56.07	-2.83	0	0	0
Fondazione	SLU 24	0	65.56	-2.83	0	65.56	-2.83	0	0	0
Fondazione	SLU 25	0	65.56	-2.83	0	65.56	-2.83	0	0	0
Fondazione	SLU 26	0	69.62	-2.83	0	69.62	-2.83	0	0	0
Fondazione	SLU 27	0	69.62	-2.83	0	69.62	-2.83	0	0	0
Fondazione	SLU 28	0	69.62	-2.83	0	69.62	-2.83	0	0	0
Fondazione	SLU 29	0	93.45	290.18	0	93.45	290.18	0	0	0
Fondazione	SLU 30	0	93.45	290.18	0	93.45	290.18	0	0	0
Fondazione	SLU 31	0	93.45	290.18	0	93.45	290.18	0	0	0
Fondazione	SLU 32	0	102.94	290.18	0	102.94	290.18	0	0	0
Fondazione	SLU 33	0	102.94	290.18	0	102.94	290.18	0	0	0
Fondazione	SLU 34	0	102.94	290.18	0	102.94	290.18	0	0	0
Fondazione	SLU 35	16.26	0	-2.83	16.26	0	-2.83	0	0	0
Fondazione	SLU 36	16.26	0	-2.83	16.26	0	-2.83	0	0	0
Fondazione	SLU 37	16.26	9.49	-2.83	16.26	9.49	-2.83	0	0	0
Fondazione	SLU 38	16.26	9.49	-2.83	16.26	9.49	-2.83	0	0	0
Fondazione	SLU 39	16.26	13.55	-2.83	16.26	13.55	-2.83	0	0	0
Fondazione	SLU 40	16.26	13.55	-2.83	16.26	13.55	-2.83	0	0	0
Fondazione	SLU 41	16.26	13.55	-2.83	16.26	13.55	-2.83	0	0	0
Fondazione	SLU 42	27.11	0	290.18	27.11	0	290.18	0	0	0
Fondazione	SLU 43	27.11	0	290.18	27.11	0	290.18	0	0	0
Fondazione	SLU 44	27.11	0	290.18	27.11	0	290.18	0	0	0
Fondazione	SLU 45	27.11	9.49	290.18	27.11	9.49	290.18	0	0	0
Fondazione	SLU 46	27.11	9.49	290.18	27.11	9.49	290.18	0	0	0
Fondazione	SLU 47	27.11	9.49	290.18	27.11	9.49	290.18	0	0	0
Fondazione	SLU 48	0	0	-537.84	0	0	-537.84	0	0	0
Fondazione	SLU 49	0	0	-537.84	0	0	-537.84	0	0	0

Livello	Cont.	Totale			Aste verticali			Pareti			
		N.br.	F			F			F		
			X	Y	Z	X	Y	Z	X	Y	Z
Fondazione	SLU 50	0	19.27	-832.46	0	19.27	-832.46	0	0	0	
Fondazione	SLU 51	0	19.27	-832.46	0	19.27	-832.46	0	0	0	
Fondazione	SLU 52	0	32.12	-1028.88	0	32.12	-1028.88	0	0	0	
Fondazione	SLU 53	0	32.12	-1028.88	0	32.12	-1028.88	0	0	0	
Fondazione	SLU 54	0	32.12	-1028.88	0	32.12	-1028.88	0	0	0	
Fondazione	SLU 55	0	9.49	-537.84	0	9.49	-537.84	0	0	0	
Fondazione	SLU 56	0	9.49	-537.84	0	9.49	-537.84	0	0	0	
Fondazione	SLU 57	0	28.76	-832.46	0	28.76	-832.46	0	0	0	
Fondazione	SLU 58	0	28.76	-832.46	0	28.76	-832.46	0	0	0	
Fondazione	SLU 59	0	41.61	-1028.88	0	41.61	-1028.88	0	0	0	
Fondazione	SLU 60	0	41.61	-1028.88	0	41.61	-1028.88	0	0	0	
Fondazione	SLU 61	0	41.61	-1028.88	0	41.61	-1028.88	0	0	0	
Fondazione	SLU 62	0	13.55	-537.84	0	13.55	-537.84	0	0	0	
Fondazione	SLU 63	0	13.55	-537.84	0	13.55	-537.84	0	0	0	
Fondazione	SLU 64	0	13.55	-537.84	0	13.55	-537.84	0	0	0	
Fondazione	SLU 65	0	32.83	-832.46	0	32.83	-832.46	0	0	0	
Fondazione	SLU 66	0	32.83	-832.46	0	32.83	-832.46	0	0	0	
Fondazione	SLU 67	0	32.83	-832.46	0	32.83	-832.46	0	0	0	
Fondazione	SLU 68	0	56.07	-98.32	0	56.07	-98.32	0	0	0	
Fondazione	SLU 69	0	56.07	-98.32	0	56.07	-98.32	0	0	0	
Fondazione	SLU 70	0	65.56	-98.32	0	65.56	-98.32	0	0	0	
Fondazione	SLU 71	0	65.56	-98.32	0	65.56	-98.32	0	0	0	
Fondazione	SLU 72	0	69.62	-98.32	0	69.62	-98.32	0	0	0	
Fondazione	SLU 73	0	69.62	-98.32	0	69.62	-98.32	0	0	0	
Fondazione	SLU 74	0	69.62	-98.32	0	69.62	-98.32	0	0	0	
Fondazione	SLU 75	0	93.45	194.7	0	93.45	194.7	0	0	0	
Fondazione	SLU 76	0	93.45	194.7	0	93.45	194.7	0	0	0	
Fondazione	SLU 77	0	93.45	194.7	0	93.45	194.7	0	0	0	
Fondazione	SLU 78	0	102.94	194.7	0	102.94	194.7	0	0	0	
Fondazione	SLU 79	0	102.94	194.7	0	102.94	194.7	0	0	0	
Fondazione	SLU 80	0	102.94	194.7	0	102.94	194.7	0	0	0	
Fondazione	SLU 81	16.26	0	-98.32	16.26	0	-98.32	0	0	0	
Fondazione	SLU 82	16.26	0	-98.32	16.26	0	-98.32	0	0	0	
Fondazione	SLU 83	16.26	9.49	-98.32	16.26	9.49	-98.32	0	0	0	
Fondazione	SLU 84	16.26	9.49	-98.32	16.26	9.49	-98.32	0	0	0	
Fondazione	SLU 85	16.26	13.55	-98.32	16.26	13.55	-98.32	0	0	0	
Fondazione	SLU 86	16.26	13.55	-98.32	16.26	13.55	-98.32	0	0	0	
Fondazione	SLU 87	16.26	13.55	-98.32	16.26	13.55	-98.32	0	0	0	
Fondazione	SLU 88	27.11	0	194.7	27.11	0	194.7	0	0	0	
Fondazione	SLU 89	27.11	0	194.7	27.11	0	194.7	0	0	0	
Fondazione	SLU 90	27.11	0	194.7	27.11	0	194.7	0	0	0	
Fondazione	SLU 91	27.11	9.49	194.7	27.11	9.49	194.7	0	0	0	
Fondazione	SLU 92	27.11	9.49	194.7	27.11	9.49	194.7	0	0	0	
Fondazione	SLU 93	27.11	9.49	194.7	27.11	9.49	194.7	0	0	0	
Fondazione	SLU 94	0	0	-633.32	0	0	-633.32	0	0	0	
Fondazione	SLU 95	0	0	-633.32	0	0	-633.32	0	0	0	
Fondazione	SLU 96	0	0	-633.32	0	0	-633.32	0	0	0	
Fondazione	SLU 97	0	19.27	-927.94	0	19.27	-927.94	0	0	0	
Fondazione	SLU 98	0	19.27	-927.94	0	19.27	-927.94	0	0	0	
Fondazione	SLU 99	0	19.27	-927.94	0	19.27	-927.94	0	0	0	
Fondazione	SLU 100	0	9.49	-633.32	0	9.49	-633.32	0	0	0	
Fondazione	SLU 101	0	9.49	-633.32	0	9.49	-633.32	0	0	0	
Fondazione	SLU 102	0	9.49	-633.32	0	9.49	-633.32	0	0	0	
Fondazione	SLU 103	0	28.76	-927.94	0	28.76	-927.94	0	0	0	
Fondazione	SLU 104	0	28.76	-927.94	0	28.76	-927.94	0	0	0	
Fondazione	SLU 105	0	28.76	-927.94	0	28.76	-927.94	0	0	0	
Fondazione	SLU 106	0	56.07	-193.8	0	56.07	-193.8	0	0	0	
Fondazione	SLU 107	0	56.07	-193.8	0	56.07	-193.8	0	0	0	
Fondazione	SLU 108	0	56.07	-193.8	0	56.07	-193.8	0	0	0	
Fondazione	SLU 109	0	65.56	-193.8	0	65.56	-193.8	0	0	0	
Fondazione	SLU 110	0	65.56	-193.8	0	65.56	-193.8	0	0	0	
Fondazione	SLU 111	0	65.56	-193.8	0	65.56	-193.8	0	0	0	
Fondazione	SLU 112	16.26	0	-193.8	16.26	0	-193.8	0	0	0	
Fondazione	SLU 113	16.26	0	-193.8	16.26	0	-193.8	0	0	0	
Fondazione	SLU 114	16.26	0	-193.8	16.26	0	-193.8	0	0	0	
Fondazione	SLU 115	16.26	9.49	-193.8	16.26	9.49	-193.8	0	0	0	
Fondazione	SLU 116	16.26	9.49	-193.8	16.26	9.49	-193.8	0	0	0	
Fondazione	SLU 117	16.26	9.49	-193.8	16.26	9.49	-193.8	0	0	0	
Fondazione	SLU 118	0	0	-724.1	0	0	-724.1	0	0	0	
Fondazione	SLU 119	0	0	-724.1	0	0	-724.1	0	0	0	
Fondazione	SLU 120	0	0	-724.1	0	0	-724.1	0	0	0	
Fondazione	SLU 121	0	19.27	-1018.72	0	19.27	-1018.72	0	0	0	
Fondazione	SLU 122	0	19.27	-1018.72	0	19.27	-1018.72	0	0	0	
Fondazione	SLU 123	0	32.12	-1215.14	0	32.12	-1215.14	0	0	0	
Fondazione	SLU 124	0	32.12	-1215.14	0	32.12	-1215.14	0	0	0	
Fondazione	SLU 125	0	32.12	-1215.14	0	32.12	-1215.14	0	0	0	
Fondazione	SLU 126	0	9.49	-724.1	0	9.49	-724.1	0	0	0	
Fondazione	SLU 127	0	9.49	-724.1	0	9.49	-724.1	0	0	0	
Fondazione	SLU 128	0	28.76	-1018.72	0	28.76	-1018.72	0	0	0	
Fondazione	SLU 129	0	28.76	-1018.72	0	28.76	-1018.72	0	0	0	
Fondazione	SLU 130	0	41.61	-1215.14	0	41.61	-1215.14	0	0	0	
Fondazione	SLU 131	0	41.61	-1215.14	0	41.61	-1215.14	0	0	0	
Fondazione	SLU 132	0	41.61	-1215.14	0	41.61	-1215.14	0	0	0	
Fondazione	SLU 133	0	13.55	-724.1	0	13.55	-724.1	0	0	0	
Fondazione	SLU 134	0	13.55	-724.1	0	13.55	-724.1	0	0	0	
Fondazione	SLU 135	0	13.55	-724.1	0	13.55	-724.1	0	0	0	
Fondazione	SLU 136	0	32.83	-1018.72	0	32.83	-1018.72	0	0	0	
Fondazione	SLU 137	0	32.83	-1018.72	0	32.83	-1018.72	0	0	0	
Fondazione	SLU 138	0	32.83	-1018.72	0	32.83	-1018.72	0	0	0	
Fondazione	SLU 139	0	56.07	-284.58	0	56.07	-284.58	0	0	0	
Fondazione	SLU 140	0	56.07	-284.58	0	56.07	-284.58	0	0	0	
Fondazione	SLU 141	0	65.56	-284.58	0	65.56	-284.58	0	0	0	
Fondazione	SLU 142	0	65.56	-284.58	0	65.56	-284.58	0	0	0	
Fondazione	SLU 143	0	69.62	-284.58	0	69.62	-284.58	0	0	0	
Fondazione	SLU 144	0	69.62	-284.58	0	69.62	-284.58	0	0	0	
Fondazione	SLU 145	0	69.62	-284.58	0	69.62	-284.58	0	0	0	
Fondazione	SLU 146	0	93.45	8.44	0	93.45	8.44	0	0	0	
Fondazione	SLU 147	0	93.45	8.44	0	93.45	8.44	0	0	0	
Fondazione	SLU 148	0	93.45	8.44	0	93.45	8.44	0	0	0	

Livello	Cont.	Totale			Aste verticali			Pareti			
		N.br.	F			F			F		
			X	Y	Z	X	Y	Z	X	Y	Z
Fondazione	SLU 149	0	102.94	8.44	0	102.94	8.44	0	0	0	
Fondazione	SLU 150	0	102.94	8.44	0	102.94	8.44	0	0	0	
Fondazione	SLU 151	0	102.94	8.44	0	102.94	8.44	0	0	0	
Fondazione	SLU 152	16.26	0	-284.58	16.26	0	-284.58	0	0	0	
Fondazione	SLU 153	16.26	0	-284.58	16.26	0	-284.58	0	0	0	
Fondazione	SLU 154	16.26	9.49	-284.58	16.26	9.49	-284.58	0	0	0	
Fondazione	SLU 155	16.26	9.49	-284.58	16.26	9.49	-284.58	0	0	0	
Fondazione	SLU 156	16.26	13.55	-284.58	16.26	13.55	-284.58	0	0	0	
Fondazione	SLU 157	16.26	13.55	-284.58	16.26	13.55	-284.58	0	0	0	
Fondazione	SLU 158	16.26	13.55	-284.58	16.26	13.55	-284.58	0	0	0	
Fondazione	SLU 159	27.11	0	8.44	27.11	0	8.44	0	0	0	
Fondazione	SLU 160	27.11	0	8.44	27.11	0	8.44	0	0	0	
Fondazione	SLU 161	27.11	0	8.44	27.11	0	8.44	0	0	0	
Fondazione	SLU 162	27.11	9.49	8.44	27.11	9.49	8.44	0	0	0	
Fondazione	SLU 163	27.11	9.49	8.44	27.11	9.49	8.44	0	0	0	
Fondazione	SLU 164	27.11	9.49	8.44	27.11	9.49	8.44	0	0	0	
Fondazione	SLU 165	0	0	-819.58	0	0	-819.58	0	0	0	
Fondazione	SLU 166	0	0	-819.58	0	0	-819.58	0	0	0	
Fondazione	SLU 167	0	19.27	-1114.2	0	19.27	-1114.2	0	0	0	
Fondazione	SLU 168	0	19.27	-1114.2	0	19.27	-1114.2	0	0	0	
Fondazione	SLU 169	0	32.12	-1310.62	0	32.12	-1310.62	0	0	0	
Fondazione	SLU 170	0	32.12	-1310.62	0	32.12	-1310.62	0	0	0	
Fondazione	SLU 171	0	32.12	-1310.62	0	32.12	-1310.62	0	0	0	
Fondazione	SLU 172	0	9.49	-819.58	0	9.49	-819.58	0	0	0	
Fondazione	SLU 173	0	9.49	-819.58	0	9.49	-819.58	0	0	0	
Fondazione	SLU 174	0	28.76	-1114.2	0	28.76	-1114.2	0	0	0	
Fondazione	SLU 175	0	28.76	-1114.2	0	28.76	-1114.2	0	0	0	
Fondazione	SLU 176	0	41.61	-1310.62	0	41.61	-1310.62	0	0	0	
Fondazione	SLU 177	0	41.61	-1310.62	0	41.61	-1310.62	0	0	0	
Fondazione	SLU 178	0	41.61	-1310.62	0	41.61	-1310.62	0	0	0	
Fondazione	SLU 179	0	13.55	-819.58	0	13.55	-819.58	0	0	0	
Fondazione	SLU 180	0	13.55	-819.58	0	13.55	-819.58	0	0	0	
Fondazione	SLU 181	0	13.55	-819.58	0	13.55	-819.58	0	0	0	
Fondazione	SLU 182	0	32.83	-1114.2	0	32.83	-1114.2	0	0	0	
Fondazione	SLU 183	0	32.83	-1114.2	0	32.83	-1114.2	0	0	0	
Fondazione	SLU 184	0	32.83	-1114.2	0	32.83	-1114.2	0	0	0	
Fondazione	SLU 185	0	56.07	-380.06	0	56.07	-380.06	0	0	0	
Fondazione	SLU 186	0	56.07	-380.06	0	56.07	-380.06	0	0	0	
Fondazione	SLU 187	0	65.56	-380.06	0	65.56	-380.06	0	0	0	
Fondazione	SLU 188	0	65.56	-380.06	0	65.56	-380.06	0	0	0	
Fondazione	SLU 189	0	69.62	-380.06	0	69.62	-380.06	0	0	0	
Fondazione	SLU 190	0	69.62	-380.06	0	69.62	-380.06	0	0	0	
Fondazione	SLU 191	0	69.62	-380.06	0	69.62	-380.06	0	0	0	
Fondazione	SLU 192	0	93.45	-87.05	0	93.45	-87.05	0	0	0	
Fondazione	SLU 193	0	93.45	-87.05	0	93.45	-87.05	0	0	0	
Fondazione	SLU 194	0	93.45	-87.05	0	93.45	-87.05	0	0	0	
Fondazione	SLU 195	0	102.94	-87.05	0	102.94	-87.05	0	0	0	
Fondazione	SLU 196	0	102.94	-87.05	0	102.94	-87.05	0	0	0	
Fondazione	SLU 197	0	102.94	-87.05	0	102.94	-87.05	0	0	0	
Fondazione	SLU 198	16.26	0	-380.06	16.26	0	-380.06	0	0	0	
Fondazione	SLU 199	16.26	0	-380.06	16.26	0	-380.06	0	0	0	
Fondazione	SLU 200	16.26	9.49	-380.06	16.26	9.49	-380.06	0	0	0	
Fondazione	SLU 201	16.26	9.49	-380.06	16.26	9.49	-380.06	0	0	0	
Fondazione	SLU 202	16.26	13.55	-380.06	16.26	13.55	-380.06	0	0	0	
Fondazione	SLU 203	16.26	13.55	-380.06	16.26	13.55	-380.06	0	0	0	
Fondazione	SLU 204	16.26	13.55	-380.06	16.26	13.55	-380.06	0	0	0	
Fondazione	SLU 205	27.11	0	-87.05	27.11	0	-87.05	0	0	0	
Fondazione	SLU 206	27.11	0	-87.05	27.11	0	-87.05	0	0	0	
Fondazione	SLU 207	27.11	0	-87.05	27.11	0	-87.05	0	0	0	
Fondazione	SLU 208	27.11	9.49	-87.05	27.11	9.49	-87.05	0	0	0	
Fondazione	SLU 209	27.11	9.49	-87.05	27.11	9.49	-87.05	0	0	0	
Fondazione	SLU 210	27.11	9.49	-87.05	27.11	9.49	-87.05	0	0	0	
Fondazione	SLU 211	0	0	-915.06	0	0	-915.06	0	0	0	
Fondazione	SLU 212	0	0	-915.06	0	0	-915.06	0	0	0	
Fondazione	SLU 213	0	0	-915.06	0	0	-915.06	0	0	0	
Fondazione	SLU 214	0	19.27	-1209.69	0	19.27	-1209.69	0	0	0	
Fondazione	SLU 215	0	19.27	-1209.69	0	19.27	-1209.69	0	0	0	
Fondazione	SLU 216	0	19.27	-1209.69	0	19.27	-1209.69	0	0	0	
Fondazione	SLU 217	0	9.49	-915.06	0	9.49	-915.06	0	0	0	
Fondazione	SLU 218	0	9.49	-915.06	0	9.49	-915.06	0	0	0	
Fondazione	SLU 219	0	9.49	-915.06	0	9.49	-915.06	0	0	0	
Fondazione	SLU 220	0	28.76	-1209.69	0	28.76	-1209.69	0	0	0	
Fondazione	SLU 221	0	28.76	-1209.69	0	28.76	-1209.69	0	0	0	
Fondazione	SLU 222	0	28.76	-1209.69	0	28.76	-1209.69	0	0	0	
Fondazione	SLU 223	0	56.07	-475.54	0	56.07	-475.54	0	0	0	
Fondazione	SLU 224	0	56.07	-475.54	0	56.07	-475.54	0	0	0	
Fondazione	SLU 225	0	56.07	-475.54	0	56.07	-475.54	0	0	0	
Fondazione	SLU 226	0	65.56	-475.54	0	65.56	-475.54	0	0	0	
Fondazione	SLU 227	0	65.56	-475.54	0	65.56	-475.54	0	0	0	
Fondazione	SLU 228	0	65.56	-475.54	0	65.56	-475.54	0	0	0	
Fondazione	SLU 229	16.26	0	-475.54	16.26	0	-475.54	0	0	0	
Fondazione	SLU 230	16.26	0	-475.54	16.26	0	-475.54	0	0	0	
Fondazione	SLU 231	16.26	0	-475.54	16.26	0	-475.54	0	0	0	
Fondazione	SLU 232	16.26	9.49	-475.54	16.26	9.49	-475.54	0	0	0	
Fondazione	SLU 233	16.26	9.49	-475.54	16.26	9.49	-475.54	0	0	0	
Fondazione	SLU 234	16.26	9.49	-475.54	16.26	9.49	-475.54	0	0	0	
Fondazione	SLU 235	0	0	-478.46	0	0	-478.46	0	0	0	
Fondazione	SLU 236	0	0	-478.46	0	0	-478.46	0	0	0	
Fondazione	SLU 237	0	0	-478.46	0	0	-478.46	0	0	0	
Fondazione	SLU 238	0	19.27	-773.09	0	19.27	-773.09	0	0	0	
Fondazione	SLU 239	0	19.27	-773.09	0	19.27	-773.09	0	0	0	
Fondazione	SLU 240	0	32.12	-969.5	0	32.12	-969.5	0	0	0	
Fondazione	SLU 241	0	32.12	-969.5	0	32.12	-969.5	0	0	0	
Fondazione	SLU 242	0	32.12	-969.5	0	32.12	-969.5	0	0	0	
Fondazione	SLU 243	0	9.49	-478.46	0	9.49	-478.46	0	0	0	
Fondazione	SLU 244	0	9.49	-478.46	0	9.49	-478.46	0	0	0	
Fondazione	SLU 245	0	28.76	-773.09	0	28.76	-773.09	0	0	0	
Fondazione	SLU 246	0	28.76	-773.09	0	28.76	-773.09	0	0	0	
Fondazione	SLU 247	0	41.61	-969.5	0	41.61	-969.5	0	0	0	

Livello	Cont.	Totale			Aste verticali			Pareti			
		N.br.	F			F			F		
			X	Y	Z	X	Y	Z	X	Y	Z
Fondazione	SLU 248	0	41.61	-969.5	0	41.61	-969.5	0	0	0	
Fondazione	SLU 249	0	41.61	-969.5	0	41.61	-969.5	0	0	0	
Fondazione	SLU 250	0	13.55	-478.46	0	13.55	-478.46	0	0	0	
Fondazione	SLU 251	0	13.55	-478.46	0	13.55	-478.46	0	0	0	
Fondazione	SLU 252	0	13.55	-478.46	0	13.55	-478.46	0	0	0	
Fondazione	SLU 253	0	32.83	-773.09	0	32.83	-773.09	0	0	0	
Fondazione	SLU 254	0	32.83	-773.09	0	32.83	-773.09	0	0	0	
Fondazione	SLU 255	0	32.83	-773.09	0	32.83	-773.09	0	0	0	
Fondazione	SLU 256	0	56.07	-38.94	0	56.07	-38.94	0	0	0	
Fondazione	SLU 257	0	56.07	-38.94	0	56.07	-38.94	0	0	0	
Fondazione	SLU 258	0	65.56	-38.94	0	65.56	-38.94	0	0	0	
Fondazione	SLU 259	0	65.56	-38.94	0	65.56	-38.94	0	0	0	
Fondazione	SLU 260	0	69.62	-38.94	0	69.62	-38.94	0	0	0	
Fondazione	SLU 261	0	69.62	-38.94	0	69.62	-38.94	0	0	0	
Fondazione	SLU 262	0	69.62	-38.94	0	69.62	-38.94	0	0	0	
Fondazione	SLU 263	0	93.45	254.07	0	93.45	254.07	0	0	0	
Fondazione	SLU 264	0	93.45	254.07	0	93.45	254.07	0	0	0	
Fondazione	SLU 265	0	93.45	254.07	0	93.45	254.07	0	0	0	
Fondazione	SLU 266	0	102.94	254.07	0	102.94	254.07	0	0	0	
Fondazione	SLU 267	0	102.94	254.07	0	102.94	254.07	0	0	0	
Fondazione	SLU 268	0	102.94	254.07	0	102.94	254.07	0	0	0	
Fondazione	SLU 269	16.26	0	-38.94	16.26	0	-38.94	0	0	0	
Fondazione	SLU 270	16.26	0	-38.94	16.26	0	-38.94	0	0	0	
Fondazione	SLU 271	16.26	9.49	-38.94	16.26	9.49	-38.94	0	0	0	
Fondazione	SLU 272	16.26	9.49	-38.94	16.26	9.49	-38.94	0	0	0	
Fondazione	SLU 273	16.26	13.55	-38.94	16.26	13.55	-38.94	0	0	0	
Fondazione	SLU 274	16.26	13.55	-38.94	16.26	13.55	-38.94	0	0	0	
Fondazione	SLU 275	16.26	13.55	-38.94	16.26	13.55	-38.94	0	0	0	
Fondazione	SLU 276	27.11	0	254.07	27.11	0	254.07	0	0	0	
Fondazione	SLU 277	27.11	0	254.07	27.11	0	254.07	0	0	0	
Fondazione	SLU 278	27.11	0	254.07	27.11	0	254.07	0	0	0	
Fondazione	SLU 279	27.11	9.49	254.07	27.11	9.49	254.07	0	0	0	
Fondazione	SLU 280	27.11	9.49	254.07	27.11	9.49	254.07	0	0	0	
Fondazione	SLU 281	27.11	9.49	254.07	27.11	9.49	254.07	0	0	0	
Fondazione	SLU 282	0	0	-573.94	0	0	-573.94	0	0	0	
Fondazione	SLU 283	0	0	-573.94	0	0	-573.94	0	0	0	
Fondazione	SLU 284	0	19.27	-868.57	0	19.27	-868.57	0	0	0	
Fondazione	SLU 285	0	19.27	-868.57	0	19.27	-868.57	0	0	0	
Fondazione	SLU 286	0	32.12	-1064.98	0	32.12	-1064.98	0	0	0	
Fondazione	SLU 287	0	32.12	-1064.98	0	32.12	-1064.98	0	0	0	
Fondazione	SLU 288	0	32.12	-1064.98	0	32.12	-1064.98	0	0	0	
Fondazione	SLU 289	0	9.49	-573.94	0	9.49	-573.94	0	0	0	
Fondazione	SLU 290	0	9.49	-573.94	0	9.49	-573.94	0	0	0	
Fondazione	SLU 291	0	28.76	-868.57	0	28.76	-868.57	0	0	0	
Fondazione	SLU 292	0	28.76	-868.57	0	28.76	-868.57	0	0	0	
Fondazione	SLU 293	0	41.61	-1064.98	0	41.61	-1064.98	0	0	0	
Fondazione	SLU 294	0	41.61	-1064.98	0	41.61	-1064.98	0	0	0	
Fondazione	SLU 295	0	41.61	-1064.98	0	41.61	-1064.98	0	0	0	
Fondazione	SLU 296	0	13.55	-573.94	0	13.55	-573.94	0	0	0	
Fondazione	SLU 297	0	13.55	-573.94	0	13.55	-573.94	0	0	0	
Fondazione	SLU 298	0	13.55	-573.94	0	13.55	-573.94	0	0	0	
Fondazione	SLU 299	0	32.83	-868.57	0	32.83	-868.57	0	0	0	
Fondazione	SLU 300	0	32.83	-868.57	0	32.83	-868.57	0	0	0	
Fondazione	SLU 301	0	32.83	-868.57	0	32.83	-868.57	0	0	0	
Fondazione	SLU 302	0	56.07	-134.42	0	56.07	-134.42	0	0	0	
Fondazione	SLU 303	0	56.07	-134.42	0	56.07	-134.42	0	0	0	
Fondazione	SLU 304	0	65.56	-134.42	0	65.56	-134.42	0	0	0	
Fondazione	SLU 305	0	65.56	-134.42	0	65.56	-134.42	0	0	0	
Fondazione	SLU 306	0	69.62	-134.42	0	69.62	-134.42	0	0	0	
Fondazione	SLU 307	0	69.62	-134.42	0	69.62	-134.42	0	0	0	
Fondazione	SLU 308	0	69.62	-134.42	0	69.62	-134.42	0	0	0	
Fondazione	SLU 309	0	93.45	158.59	0	93.45	158.59	0	0	0	
Fondazione	SLU 310	0	93.45	158.59	0	93.45	158.59	0	0	0	
Fondazione	SLU 311	0	93.45	158.59	0	93.45	158.59	0	0	0	
Fondazione	SLU 312	0	102.94	158.59	0	102.94	158.59	0	0	0	
Fondazione	SLU 313	0	102.94	158.59	0	102.94	158.59	0	0	0	
Fondazione	SLU 314	0	102.94	158.59	0	102.94	158.59	0	0	0	
Fondazione	SLU 315	16.26	0	-134.42	16.26	0	-134.42	0	0	0	
Fondazione	SLU 316	16.26	0	-134.42	16.26	0	-134.42	0	0	0	
Fondazione	SLU 317	16.26	9.49	-134.42	16.26	9.49	-134.42	0	0	0	
Fondazione	SLU 318	16.26	9.49	-134.42	16.26	9.49	-134.42	0	0	0	
Fondazione	SLU 319	16.26	13.55	-134.42	16.26	13.55	-134.42	0	0	0	
Fondazione	SLU 320	16.26	13.55	-134.42	16.26	13.55	-134.42	0	0	0	
Fondazione	SLU 321	16.26	13.55	-134.42	16.26	13.55	-134.42	0	0	0	
Fondazione	SLU 322	27.11	0	158.59	27.11	0	158.59	0	0	0	
Fondazione	SLU 323	27.11	0	158.59	27.11	0	158.59	0	0	0	
Fondazione	SLU 324	27.11	0	158.59	27.11	0	158.59	0	0	0	
Fondazione	SLU 325	27.11	9.49	158.59	27.11	9.49	158.59	0	0	0	
Fondazione	SLU 326	27.11	9.49	158.59	27.11	9.49	158.59	0	0	0	
Fondazione	SLU 327	27.11	9.49	158.59	27.11	9.49	158.59	0	0	0	
Fondazione	SLU 328	0	0	-669.43	0	0	-669.43	0	0	0	
Fondazione	SLU 329	0	0	-669.43	0	0	-669.43	0	0	0	
Fondazione	SLU 330	0	0	-669.43	0	0	-669.43	0	0	0	
Fondazione	SLU 331	0	19.27	-964.05	0	19.27	-964.05	0	0	0	
Fondazione	SLU 332	0	19.27	-964.05	0	19.27	-964.05	0	0	0	
Fondazione	SLU 333	0	19.27	-964.05	0	19.27	-964.05	0	0	0	
Fondazione	SLU 334	0	9.49	-669.43	0	9.49	-669.43	0	0	0	
Fondazione	SLU 335	0	9.49	-669.43	0	9.49	-669.43	0	0	0	
Fondazione	SLU 336	0	9.49	-669.43	0	9.49	-669.43	0	0	0	
Fondazione	SLU 337	0	28.76	-964.05	0	28.76	-964.05	0	0	0	
Fondazione	SLU 338	0	28.76	-964.05	0	28.76	-964.05	0	0	0	
Fondazione	SLU 339	0	28.76	-964.05	0	28.76	-964.05	0	0	0	
Fondazione	SLU 340	0	56.07	-229.91	0	56.07	-229.91	0	0	0	
Fondazione	SLU 341	0	56.07	-229.91	0	56.07	-229.91	0	0	0	
Fondazione	SLU 342	0	56.07	-229.91	0	56.07	-229.91	0	0	0	
Fondazione	SLU 343	0	65.56	-229.9	0	65.56	-229.9	0	0	0	
Fondazione	SLU 344	0	65.56	-229.9	0	65.56	-229.9	0	0	0	
Fondazione	SLU 345	0	65.56	-229.9	0	65.56	-229.9	0	0	0	
Fondazione	SLU 346	16.26	0	-229.91	16.26	0	-229.91	0	0	0	

Livello	Cont.	Totale			Aste verticali			Pareti		
		N.br.	X	Y	Z	X	Y	Z	X	Y
Fondazione	SLU 347	16.26	0	-229.91	16.26	0	-229.91	0	0	0
Fondazione	SLU 348	16.26	0	-229.91	16.26	0	-229.91	0	0	0
Fondazione	SLU 349	16.26	9.49	-229.91	16.26	9.49	-229.91	0	0	0
Fondazione	SLU 350	16.26	9.49	-229.91	16.26	9.49	-229.91	0	0	0
Fondazione	SLU 351	16.26	9.49	-229.91	16.26	9.49	-229.91	0	0	0
Fondazione	SLU 352	0	0	-760.21	0	0	-760.21	0	0	0
Fondazione	SLU 353	0	0	-760.21	0	0	-760.21	0	0	0
Fondazione	SLU 354	0	0	-760.21	0	0	-760.21	0	0	0
Fondazione	SLU 355	0	19.27	-1054.83	0	19.27	-1054.83	0	0	0
Fondazione	SLU 356	0	19.27	-1054.83	0	19.27	-1054.83	0	0	0
Fondazione	SLU 357	0	32.12	-1251.25	0	32.12	-1251.25	0	0	0
Fondazione	SLU 358	0	32.12	-1251.25	0	32.12	-1251.25	0	0	0
Fondazione	SLU 359	0	32.12	-1251.25	0	32.12	-1251.25	0	0	0
Fondazione	SLU 360	0	9.49	-760.21	0	9.49	-760.21	0	0	0
Fondazione	SLU 361	0	9.49	-760.21	0	9.49	-760.21	0	0	0
Fondazione	SLU 362	0	28.76	-1054.83	0	28.76	-1054.83	0	0	0
Fondazione	SLU 363	0	28.76	-1054.83	0	28.76	-1054.83	0	0	0
Fondazione	SLU 364	0	41.61	-1251.25	0	41.61	-1251.25	0	0	0
Fondazione	SLU 365	0	41.61	-1251.25	0	41.61	-1251.25	0	0	0
Fondazione	SLU 366	0	41.61	-1251.25	0	41.61	-1251.25	0	0	0
Fondazione	SLU 367	0	13.55	-760.21	0	13.55	-760.21	0	0	0
Fondazione	SLU 368	0	13.55	-760.21	0	13.55	-760.21	0	0	0
Fondazione	SLU 369	0	13.55	-760.21	0	13.55	-760.21	0	0	0
Fondazione	SLU 370	0	32.83	-1054.83	0	32.83	-1054.83	0	0	0
Fondazione	SLU 371	0	32.83	-1054.83	0	32.83	-1054.83	0	0	0
Fondazione	SLU 372	0	32.83	-1054.83	0	32.83	-1054.83	0	0	0
Fondazione	SLU 373	0	56.07	-320.69	0	56.07	-320.69	0	0	0
Fondazione	SLU 374	0	56.07	-320.69	0	56.07	-320.69	0	0	0
Fondazione	SLU 375	0	65.56	-320.69	0	65.56	-320.69	0	0	0
Fondazione	SLU 376	0	65.56	-320.69	0	65.56	-320.69	0	0	0
Fondazione	SLU 377	0	69.62	-320.69	0	69.62	-320.69	0	0	0
Fondazione	SLU 378	0	69.62	-320.69	0	69.62	-320.69	0	0	0
Fondazione	SLU 379	0	69.62	-320.69	0	69.62	-320.69	0	0	0
Fondazione	SLU 380	0	93.45	-27.67	0	93.45	-27.67	0	0	0
Fondazione	SLU 381	0	93.45	-27.67	0	93.45	-27.67	0	0	0
Fondazione	SLU 382	0	93.45	-27.67	0	93.45	-27.67	0	0	0
Fondazione	SLU 383	0	102.94	-27.67	0	102.94	-27.67	0	0	0
Fondazione	SLU 384	0	102.94	-27.67	0	102.94	-27.67	0	0	0
Fondazione	SLU 385	0	102.94	-27.67	0	102.94	-27.67	0	0	0
Fondazione	SLU 386	16.26	0	-320.69	16.26	0	-320.69	0	0	0
Fondazione	SLU 387	16.26	0	-320.69	16.26	0	-320.69	0	0	0
Fondazione	SLU 388	16.26	9.49	-320.69	16.26	9.49	-320.69	0	0	0
Fondazione	SLU 389	16.26	9.49	-320.69	16.26	9.49	-320.69	0	0	0
Fondazione	SLU 390	16.26	13.55	-320.69	16.26	13.55	-320.69	0	0	0
Fondazione	SLU 391	16.26	13.55	-320.69	16.26	13.55	-320.69	0	0	0
Fondazione	SLU 392	16.26	13.55	-320.69	16.26	13.55	-320.69	0	0	0
Fondazione	SLU 393	27.11	0	-27.67	27.11	0	-27.67	0	0	0
Fondazione	SLU 394	27.11	0	-27.67	27.11	0	-27.67	0	0	0
Fondazione	SLU 395	27.11	0	-27.67	27.11	0	-27.67	0	0	0
Fondazione	SLU 396	27.11	9.49	-27.67	27.11	9.49	-27.67	0	0	0
Fondazione	SLU 397	27.11	9.49	-27.67	27.11	9.49	-27.67	0	0	0
Fondazione	SLU 398	27.11	9.49	-27.67	27.11	9.49	-27.67	0	0	0
Fondazione	SLU 399	0	0	-855.69	0	0	-855.69	0	0	0
Fondazione	SLU 400	0	0	-855.69	0	0	-855.69	0	0	0
Fondazione	SLU 401	0	19.27	-1150.31	0	19.27	-1150.31	0	0	0
Fondazione	SLU 402	0	19.27	-1150.31	0	19.27	-1150.31	0	0	0
Fondazione	SLU 403	0	32.12	-1346.73	0	32.12	-1346.73	0	0	0
Fondazione	SLU 404	0	32.12	-1346.73	0	32.12	-1346.73	0	0	0
Fondazione	SLU 405	0	32.12	-1346.73	0	32.12	-1346.73	0	0	0
Fondazione	SLU 406	0	9.49	-855.69	0	9.49	-855.69	0	0	0
Fondazione	SLU 407	0	9.49	-855.69	0	9.49	-855.69	0	0	0
Fondazione	SLU 408	0	28.76	-1150.31	0	28.76	-1150.31	0	0	0
Fondazione	SLU 409	0	28.76	-1150.31	0	28.76	-1150.31	0	0	0
Fondazione	SLU 410	0	41.61	-1346.73	0	41.61	-1346.73	0	0	0
Fondazione	SLU 411	0	41.61	-1346.73	0	41.61	-1346.73	0	0	0
Fondazione	SLU 412	0	41.61	-1346.73	0	41.61	-1346.73	0	0	0
Fondazione	SLU 413	0	13.55	-855.69	0	13.55	-855.69	0	0	0
Fondazione	SLU 414	0	13.55	-855.69	0	13.55	-855.69	0	0	0
Fondazione	SLU 415	0	13.55	-855.69	0	13.55	-855.69	0	0	0
Fondazione	SLU 416	0	32.83	-1150.31	0	32.83	-1150.31	0	0	0
Fondazione	SLU 417	0	32.83	-1150.31	0	32.83	-1150.31	0	0	0
Fondazione	SLU 418	0	32.83	-1150.31	0	32.83	-1150.31	0	0	0
Fondazione	SLU 419	0	56.07	-416.17	0	56.07	-416.17	0	0	0
Fondazione	SLU 420	0	56.07	-416.17	0	56.07	-416.17	0	0	0
Fondazione	SLU 421	0	65.56	-416.17	0	65.56	-416.17	0	0	0
Fondazione	SLU 422	0	65.56	-416.17	0	65.56	-416.17	0	0	0
Fondazione	SLU 423	0	69.62	-416.17	0	69.62	-416.17	0	0	0
Fondazione	SLU 424	0	69.62	-416.17	0	69.62	-416.17	0	0	0
Fondazione	SLU 425	0	69.62	-416.17	0	69.62	-416.17	0	0	0
Fondazione	SLU 426	0	93.45	-123.15	0	93.45	-123.15	0	0	0
Fondazione	SLU 427	0	93.45	-123.15	0	93.45	-123.15	0	0	0
Fondazione	SLU 428	0	93.45	-123.15	0	93.45	-123.15	0	0	0
Fondazione	SLU 429	0	102.94	-123.15	0	102.94	-123.15	0	0	0
Fondazione	SLU 430	0	102.94	-123.15	0	102.94	-123.15	0	0	0
Fondazione	SLU 431	0	102.94	-123.15	0	102.94	-123.15	0	0	0
Fondazione	SLU 432	16.26	0	-416.17	16.26	0	-416.17	0	0	0
Fondazione	SLU 433	16.26	0	-416.17	16.26	0	-416.17	0	0	0
Fondazione	SLU 434	16.26	9.49	-416.17	16.26	9.49	-416.17	0	0	0
Fondazione	SLU 435	16.26	9.49	-416.17	16.26	9.49	-416.17	0	0	0
Fondazione	SLU 436	16.26	13.55	-416.17	16.26	13.55	-416.17	0	0	0
Fondazione	SLU 437	16.26	13.55	-416.17	16.26	13.55	-416.17	0	0	0
Fondazione	SLU 438	16.26	13.55	-416.17	16.26	13.55	-416.17	0	0	0
Fondazione	SLU 439	27.11	0	-123.15	27.11	0	-123.15	0	0	0
Fondazione	SLU 440	27.11	0	-123.15	27.11	0	-123.15	0	0	0
Fondazione	SLU 441	27.11	0	-123.15	27.11	0	-123.15	0	0	0
Fondazione	SLU 442	27.11	9.49	-123.15	27.11	9.49	-123.15	0	0	0
Fondazione	SLU 443	27.11	9.49	-123.15	27.11	9.49	-123.15	0	0	0
Fondazione	SLU 444	27.11	9.49	-123.15	27.11	9.49	-123.15	0	0	0
Fondazione	SLU 445	0	0	-951.17	0	0	-951.17	0	0	0

Livello	Cont.	Totale			Aste verticali			Pareti		
		N.br.	X	Y	Z	X	Y	Z	X	Y
Fondazione	SLU 446	0	0	-951.17	0	0	-951.17	0	0	0
Fondazione	SLU 447	0	0	-951.17	0	0	-951.17	0	0	0
Fondazione	SLU 448	0	19.27	-1245.79	0	19.27	-1245.79	0	0	0
Fondazione	SLU 449	0	19.27	-1245.79	0	19.27	-1245.79	0	0	0
Fondazione	SLU 450	0	19.27	-1245.79	0	19.27	-1245.79	0	0	0
Fondazione	SLU 451	0	9.49	-951.17	0	9.49	-951.17	0	0	0
Fondazione	SLU 452	0	9.49	-951.17	0	9.49	-951.17	0	0	0
Fondazione	SLU 453	0	9.49	-951.17	0	9.49	-951.17	0	0	0
Fondazione	SLU 454	0	28.76	-1245.79	0	28.76	-1245.79	0	0	0
Fondazione	SLU 455	0	28.76	-1245.79	0	28.76	-1245.79	0	0	0
Fondazione	SLU 456	0	28.76	-1245.79	0	28.76	-1245.79	0	0	0
Fondazione	SLU 457	0	56.07	-511.65	0	56.07	-511.65	0	0	0
Fondazione	SLU 458	0	56.07	-511.65	0	56.07	-511.65	0	0	0
Fondazione	SLU 459	0	56.07	-511.65	0	56.07	-511.65	0	0	0
Fondazione	SLU 460	0	65.56	-511.65	0	65.56	-511.65	0	0	0
Fondazione	SLU 461	0	65.56	-511.65	0	65.56	-511.65	0	0	0
Fondazione	SLU 462	0	65.56	-511.65	0	65.56	-511.65	0	0	0
Fondazione	SLU 463	16.26	0	-511.65	16.26	0	-511.65	0	0	0
Fondazione	SLU 464	16.26	0	-511.65	16.26	0	-511.65	0	0	0
Fondazione	SLU 465	16.26	0	-511.65	16.26	0	-511.65	0	0	0
Fondazione	SLU 466	16.26	9.49	-511.65	16.26	9.49	-511.65	0	0	0
Fondazione	SLU 467	16.26	9.49	-511.65	16.26	9.49	-511.65	0	0	0
Fondazione	SLU 468	16.26	9.49	-511.65	16.26	9.49	-511.65	0	0	0
Fondazione	SLE RA 1	0	0	-522.85	0	0	-522.85	0	0	0
Fondazione	SLE RA 2	0	0	-522.85	0	0	-522.85	0	0	0
Fondazione	SLE RA 3	0	0	-522.85	0	0	-522.85	0	0	0
Fondazione	SLE RA 4	0	12.85	-719.27	0	12.85	-719.27	0	0	0
Fondazione	SLE RA 5	0	12.85	-719.27	0	12.85	-719.27	0	0	0
Fondazione	SLE RA 6	0	21.41	-850.21	0	21.41	-850.21	0	0	0
Fondazione	SLE RA 7	0	21.41	-850.21	0	21.41	-850.21	0	0	0
Fondazione	SLE RA 8	0	21.41	-850.21	0	21.41	-850.21	0	0	0
Fondazione	SLE RA 9	0	6.33	-522.85	0	6.33	-522.85	0	0	0
Fondazione	SLE RA 10	0	6.33	-522.85	0	6.33	-522.85	0	0	0
Fondazione	SLE RA 11	0	19.17	-719.27	0	19.17	-719.27	0	0	0
Fondazione	SLE RA 12	0	19.17	-719.27	0	19.17	-719.27	0	0	0
Fondazione	SLE RA 13	0	27.74	-850.21	0	27.74	-850.21	0	0	0
Fondazione	SLE RA 14	0	27.74	-850.21	0	27.74	-850.21	0	0	0
Fondazione	SLE RA 15	0	27.74	-850.21	0	27.74	-850.21	0	0	0
Fondazione	SLE RA 16	0	9.04	-522.85	0	9.04	-522.85	0	0	0
Fondazione	SLE RA 17	0	9.04	-522.85	0	9.04	-522.85	0	0	0
Fondazione	SLE RA 18	0	9.04	-522.85	0	9.04	-522.85	0	0	0
Fondazione	SLE RA 19	0	21.88	-719.27	0	21.88	-719.27	0	0	0
Fondazione	SLE RA 20	0	21.88	-719.27	0	21.88	-719.27	0	0	0
Fondazione	SLE RA 21	0	21.88	-719.27	0	21.88	-719.27	0	0	0
Fondazione	SLE RA 22	0	37.38	-229.84	0	37.38	-229.84	0	0	0
Fondazione	SLE RA 23	0	37.38	-229.84	0	37.38	-229.84	0	0	0
Fondazione	SLE RA 24	0	43.71	-229.84	0	43.71	-229.84	0	0	0
Fondazione	SLE RA 25	0	43.71	-229.84	0	43.71	-229.84	0	0	0
Fondazione	SLE RA 26	0	46.42	-229.84	0	46.42	-229.84	0	0	0
Fondazione	SLE RA 27	0	46.42	-229.84	0	46.42	-229.84	0	0	0
Fondazione	SLE RA 28	0	46.42	-229.84	0	46.42	-229.84	0	0	0
Fondazione	SLE RA 29	0	62.3	-34.5	0	62.3	-34.5	0	0	0
Fondazione	SLE RA 30	0	62.3	-34.5	0	62.3	-34.5	0	0	0
Fondazione	SLE RA 31	0	62.3	-34.5	0	62.3	-34.5	0	0	0
Fondazione	SLE RA 32	0	68.63	-34.5	0	68.63	-34.5	0	0	0
Fondazione	SLE RA 33	0	68.63	-34.5	0	68.63	-34.5	0	0	0
Fondazione	SLE RA 34	0	68.63	-34.5	0	68.63	-34.5	0	0	0
Fondazione	SLE RA 35	10.84	0	-229.84	10.84	0	-229.84	0	0	0
Fondazione	SLE RA 36	10.84	0	-229.84	10.84	0	-229.84	0	0	0
Fondazione	SLE RA 37	10.84	6.33	-229.84	10.84	6.33	-229.84	0	0	0
Fondazione	SLE RA 38	10.84	6.33	-229.84	10.84	6.33	-229.84	0	0	0
Fondazione	SLE RA 39	10.84	9.04	-229.84	10.84	9.04	-229.84	0	0	0
Fondazione	SLE RA 40	10.84	9.04	-229.84	10.84	9.04	-229.84	0	0	0
Fondazione	SLE RA 41	10.84	9.04	-229.84	10.84	9.04	-229.84	0	0	0
Fondazione	SLE RA 42	18.07	0	-34.5	18.07	0	-34.5	0	0	0
Fondazione	SLE RA 43	18.07	0	-34.5	18.07	0	-34.5	0	0	0
Fondazione	SLE RA 44	18.07	0	-34.5	18.07	0	-34.5	0	0	0
Fondazione	SLE RA 45	18.07	6.33	-34.5	18.07	6.33	-34.5	0	0	0
Fondazione	SLE RA 46	18.07	6.33	-34.5	18.07	6.33	-34.5	0	0	0
Fondazione	SLE RA 47	18.07	6.33	-34.5	18.07	6.33	-34.5	0	0	0
Fondazione	SLE RA 48	0	0	-586.51	0	0	-586.51	0	0	0
Fondazione	SLE RA 49	0	0	-586.51	0	0	-586.51	0	0	0
Fondazione	SLE RA 50	0	12.85	-782.92	0	12.85	-782.92	0	0	0
Fondazione	SLE RA 51	0	12.85	-782.92	0	12.85	-782.92	0	0	0
Fondazione	SLE RA 52	0	21.41	-913.87	0	21.41	-913.87	0	0	0
Fondazione	SLE RA 53	0	21.41	-913.87	0	21.41	-913.87	0	0	0
Fondazione	SLE RA 54	0	21.41	-913.87	0	21.41	-913.87	0	0	0
Fondazione	SLE RA 55	0	6.33	-586.51	0	6.33	-586.51	0	0	0
Fondazione	SLE RA 56	0	6.33	-586.51	0	6.33	-586.51	0	0	0
Fondazione	SLE RA 57	0	19.17	-782.92	0	19.17	-782.92	0	0	0
Fondazione	SLE RA 58	0	19.17	-782.92	0	19.17	-782.92	0	0	0
Fondazione	SLE RA 59	0	27.74	-913.87	0	27.74	-913.87	0	0	0
Fondazione	SLE RA 60	0	27.74	-913.87	0	27.74	-913.87	0	0	0
Fondazione	SLE RA 61	0	27.74	-913.87	0	27.74	-913.87	0	0	0
Fondazione	SLE RA 62	0	9.04	-586.51	0	9.04	-586.51	0	0	0
Fondazione	SLE RA 63	0	9.04	-586.51	0	9.04	-586.51	0	0	0
Fondazione	SLE RA 64	0	9.04	-586.51	0	9.04	-586.51	0	0	0
Fondazione	SLE RA 65	0	21.88	-782.92	0	21.88	-782.92	0	0	0
Fondazione	SLE RA 66	0	21.88	-782.92	0	21.88	-782.92	0	0	0
Fondazione	SLE RA 67	0	21.88	-782.92	0	21.88	-782.92	0	0	0
Fondazione	SLE RA 68	0	37.38	-293.49	0	37.38	-293.49	0	0	0
Fondazione	SLE RA 69	0	37.38	-293.49	0	37.38	-293.49	0	0	0
Fondazione	SLE RA 70	0	43.71	-293.49	0	43.71	-293.49	0	0	0
Fondazione	SLE RA 71	0	43.71	-293.49	0	43.71	-293.49	0	0	0
Fondazione	SLE RA 72	0	46.42	-293.49	0	46.42	-293.49	0	0	0
Fondazione	SLE RA 73	0	46.42	-293.49	0	46.42	-293.49	0	0	0
Fondazione	SLE RA 74	0	46.42	-293.49	0	46.42	-293.49	0	0	0
Fondazione	SLE RA 75	0	62.3	-98.15	0	62.3	-98.15	0	0	0
Fondazione	SLE RA 76	0	62.3	-98.15	0	62.3	-98.15	0	0	0

Livello	Cont.	Totale			Aste verticali			Pareti		
		N.br.	F		X	Y	Z	X	Y	Z
Nome		X	Y	Z	X	Y	Z	X	Y	Z
Fondazione	SLE RA 77	0	62.3	-98.15	0	62.3	-98.15	0	0	0
Fondazione	SLE RA 78	0	68.63	-98.15	0	68.63	-98.15	0	0	0
Fondazione	SLE RA 79	0	68.63	-98.15	0	68.63	-98.15	0	0	0
Fondazione	SLE RA 80	0	68.63	-98.15	0	68.63	-98.15	0	0	0
Fondazione	SLE RA 81	10.84	0	-293.49	10.84	0	-293.49	0	0	0
Fondazione	SLE RA 82	10.84	0	-293.49	10.84	0	-293.49	0	0	0
Fondazione	SLE RA 83	10.84	6.33	-293.49	10.84	6.33	-293.49	0	0	0
Fondazione	SLE RA 84	10.84	6.33	-293.49	10.84	6.33	-293.49	0	0	0
Fondazione	SLE RA 85	10.84	9.04	-293.49	10.84	9.04	-293.49	0	0	0
Fondazione	SLE RA 86	10.84	9.04	-293.49	10.84	9.04	-293.49	0	0	0
Fondazione	SLE RA 87	10.84	9.04	-293.49	10.84	9.04	-293.49	0	0	0
Fondazione	SLE RA 88	18.07	0	-98.15	18.07	0	-98.15	0	0	0
Fondazione	SLE RA 89	18.07	0	-98.15	18.07	0	-98.15	0	0	0
Fondazione	SLE RA 90	18.07	0	-98.15	18.07	0	-98.15	0	0	0
Fondazione	SLE RA 91	18.07	6.33	-98.15	18.07	6.33	-98.15	0	0	0
Fondazione	SLE RA 92	18.07	6.33	-98.15	18.07	6.33	-98.15	0	0	0
Fondazione	SLE RA 93	18.07	6.33	-98.15	18.07	6.33	-98.15	0	0	0
Fondazione	SLE RA 94	0	0	-650.16	0	0	-650.16	0	0	0
Fondazione	SLE RA 95	0	0	-650.16	0	0	-650.16	0	0	0
Fondazione	SLE RA 96	0	0	-650.16	0	0	-650.16	0	0	0
Fondazione	SLE RA 97	0	12.85	-846.58	0	12.85	-846.58	0	0	0
Fondazione	SLE RA 98	0	12.85	-846.58	0	12.85	-846.58	0	0	0
Fondazione	SLE RA 99	0	12.85	-846.58	0	12.85	-846.58	0	0	0
Fondazione	SLE RA 100	0	6.33	-650.16	0	6.33	-650.16	0	0	0
Fondazione	SLE RA 101	0	6.33	-650.16	0	6.33	-650.16	0	0	0
Fondazione	SLE RA 102	0	6.33	-650.16	0	6.33	-650.16	0	0	0
Fondazione	SLE RA 103	0	19.17	-846.58	0	19.17	-846.58	0	0	0
Fondazione	SLE RA 104	0	19.17	-846.58	0	19.17	-846.58	0	0	0
Fondazione	SLE RA 105	0	19.17	-846.58	0	19.17	-846.58	0	0	0
Fondazione	SLE RA 106	0	37.38	-357.15	0	37.38	-357.15	0	0	0
Fondazione	SLE RA 107	0	37.38	-357.15	0	37.38	-357.15	0	0	0
Fondazione	SLE RA 108	0	37.38	-357.15	0	37.38	-357.15	0	0	0
Fondazione	SLE RA 109	0	43.71	-357.15	0	43.71	-357.15	0	0	0
Fondazione	SLE RA 110	0	43.71	-357.15	0	43.71	-357.15	0	0	0
Fondazione	SLE RA 111	0	43.71	-357.15	0	43.71	-357.15	0	0	0
Fondazione	SLE RA 112	10.84	0	-357.15	10.84	0	-357.15	0	0	0
Fondazione	SLE RA 113	10.84	0	-357.15	10.84	0	-357.15	0	0	0
Fondazione	SLE RA 114	10.84	0	-357.15	10.84	0	-357.15	0	0	0
Fondazione	SLE RA 115	10.84	6.33	-357.15	10.84	6.33	-357.15	0	0	0
Fondazione	SLE RA 116	10.84	6.33	-357.15	10.84	6.33	-357.15	0	0	0
Fondazione	SLE RA 117	10.84	6.33	-357.15	10.84	6.33	-357.15	0	0	0
Fondazione	SLE FR 1	0	0	-522.85	0	0	-522.85	0	0	0
Fondazione	SLE FR 2	0	0	-522.85	0	0	-522.85	0	0	0
Fondazione	SLE FR 3	0	0	-522.85	0	0	-522.85	0	0	0
Fondazione	SLE FR 4	0	4.28	-588.33	0	4.28	-588.33	0	0	0
Fondazione	SLE FR 5	0	5.42	-522.85	0	5.42	-522.85	0	0	0
Fondazione	SLE FR 6	0	5.42	-522.85	0	5.42	-522.85	0	0	0
Fondazione	SLE FR 7	0	9.7	-588.33	0	9.7	-588.33	0	0	0
Fondazione	SLE FR 8	0	6.33	-522.85	0	6.33	-522.85	0	0	0
Fondazione	SLE FR 9	0	12.46	-425.18	0	12.46	-425.18	0	0	0
Fondazione	SLE FR 10	0	17.88	-425.18	0	17.88	-425.18	0	0	0
Fondazione	SLE FR 11	3.61	0	-425.18	3.61	0	-425.18	0	0	0
Fondazione	SLE FR 12	3.61	5.42	-425.18	3.61	5.42	-425.18	0	0	0
Fondazione	SLE FR 13	0	0	-548.32	0	0	-548.32	0	0	0
Fondazione	SLE FR 14	0	5.42	-548.32	0	5.42	-548.32	0	0	0
Fondazione	SLE QP 1	0	0	-522.85	0	0	-522.85	0	0	0
Fondazione	SLE QP 2	0	5.42	-522.85	0	5.42	-522.85	0	0	0
Fondazione	SLO 1	-65.89	-9.52	-523.01	-65.89	-9.52	-523.01	0	0	0
Fondazione	SLO 2	-65.89	-9.52	-523.01	-65.89	-9.52	-523.01	0	0	0
Fondazione	SLO 3	-65.89	-9.52	-523.01	-65.89	-9.52	-523.01	0	0	0
Fondazione	SLO 4	-65.89	-9.52	-523.01	-65.89	-9.52	-523.01	0	0	0
Fondazione	SLO 5	-65.74	19.79	-522.69	-65.74	19.79	-522.69	0	0	0
Fondazione	SLO 6	-65.74	19.79	-522.69	-65.74	19.79	-522.69	0	0	0
Fondazione	SLO 7	-65.74	19.79	-522.69	-65.74	19.79	-522.69	0	0	0
Fondazione	SLO 8	-65.74	19.79	-522.69	-65.74	19.79	-522.69	0	0	0
Fondazione	SLO 9	-20	-43.5	-523.39	-20	-43.5	-523.39	0	0	0
Fondazione	SLO 10	-20	-43.5	-523.39	-20	-43.5	-523.39	0	0	0
Fondazione	SLO 11	-20	-43.5	-523.39	-20	-43.5	-523.39	0	0	0
Fondazione	SLO 12	-20	-43.5	-523.39	-20	-43.5	-523.39	0	0	0
Fondazione	SLO 13	-19.49	54.17	-522.31	-19.49	54.17	-522.31	0	0	0
Fondazione	SLO 14	-19.49	54.17	-522.31	-19.49	54.17	-522.31	0	0	0
Fondazione	SLO 15	-19.49	54.17	-522.31	-19.49	54.17	-522.31	0	0	0
Fondazione	SLO 16	-19.49	54.17	-522.31	-19.49	54.17	-522.31	0	0	0
Fondazione	SLO 17	19.49	-43.33	-523.4	19.49	-43.33	-523.4	0	0	0
Fondazione	SLO 18	19.49	-43.33	-523.4	19.49	-43.33	-523.4	0	0	0
Fondazione	SLO 19	19.49	-43.33	-523.4	19.49	-43.33	-523.4	0	0	0
Fondazione	SLO 20	19.49	-43.33	-523.4	19.49	-43.33	-523.4	0	0	0
Fondazione	SLO 21	20	54.34	-522.32	20	54.34	-522.32	0	0	0
Fondazione	SLO 22	20	54.34	-522.32	20	54.34	-522.32	0	0	0
Fondazione	SLO 23	20	54.34	-522.32	20	54.34	-522.32	0	0	0
Fondazione	SLO 24	20	54.34	-522.32	20	54.34	-522.32	0	0	0
Fondazione	SLO 25	65.74	-8.94	-523.02	65.74	-8.94	-523.02	0	0	0
Fondazione	SLO 26	65.74	-8.94	-523.02	65.74	-8.94	-523.02	0	0	0
Fondazione	SLO 27	65.74	-8.94	-523.02	65.74	-8.94	-523.02	0	0	0
Fondazione	SLO 28	65.74	-8.94	-523.02	65.74	-8.94	-523.02	0	0	0
Fondazione	SLO 29	65.89	20.36	-522.7	65.89	20.36	-522.7	0	0	0
Fondazione	SLO 30	65.89	20.36	-522.7	65.89	20.36	-522.7	0	0	0
Fondazione	SLO 31	65.89	20.36	-522.7	65.89	20.36	-522.7	0	0	0
Fondazione	SLO 32	65.89	20.36	-522.7	65.89	20.36	-522.7	0	0	0
Fondazione	SLD 1	-80.96	-12.91	-523.04	-80.96	-12.91	-523.04	0	0	0
Fondazione	SLD 2	-80.96	-12.91	-523.04	-80.96	-12.91	-523.04	0	0	0
Fondazione	SLD 3	-80.96	-12.91	-523.04	-80.96	-12.91	-523.04	0	0	0
Fondazione	SLD 4	-80.96	-12.91	-523.04	-80.96	-12.91	-523.04	0	0	0
Fondazione	SLD 5	-80.78	23.08	-522.66	-80.78	23.08	-522.66	0	0	0
Fondazione	SLD 6	-80.78	23.08	-522.66	-80.78	23.08	-522.66	0	0	0
Fondazione	SLD 7	-80.78	23.08	-522.66	-80.78	23.08	-522.66	0	0	0
Fondazione	SLD 8	-80.78	23.08	-522.66	-80.78	23.08	-522.66	0	0	0
Fondazione	SLD 9	-24.55	-54.66	-523.48	-24.55	-54.66	-523.48	0	0	0
Fondazione	SLD 10	-24.55	-54.66	-523.48	-24.55	-54.66	-523.48	0	0	0

Livello	Cont.	Totale			Aste verticali			Pareti			
		Nome	N.br.	F	X	Y	Z	X	Y	Z	
Fondazione	SLD 11		-24.55	-54.66	-523.48	-24.55	-54.66	-523.48	0	0	0
Fondazione	SLD 12		-24.55	-54.66	-523.48	-24.55	-54.66	-523.48	0	0	0
Fondazione	SLD 13		-23.97	65.3	-522.22	-23.97	65.3	-522.22	0	0	0
Fondazione	SLD 14		-23.97	65.3	-522.22	-23.97	65.3	-522.22	0	0	0
Fondazione	SLD 15		-23.97	65.3	-522.22	-23.97	65.3	-522.22	0	0	0
Fondazione	SLD 16		-23.97	65.3	-522.22	-23.97	65.3	-522.22	0	0	0
Fondazione	SLD 17		23.97	-54.46	-523.49	23.97	-54.46	-523.49	0	0	0
Fondazione	SLD 18		23.97	-54.46	-523.49	23.97	-54.46	-523.49	0	0	0
Fondazione	SLD 19		23.97	-54.46	-523.49	23.97	-54.46	-523.49	0	0	0
Fondazione	SLD 20		23.97	-54.46	-523.49	23.97	-54.46	-523.49	0	0	0
Fondazione	SLD 21		24.55	65.5	-522.22	24.55	65.5	-522.22	0	0	0
Fondazione	SLD 22		24.55	65.5	-522.22	24.55	65.5	-522.22	0	0	0
Fondazione	SLD 23		24.55	65.5	-522.22	24.55	65.5	-522.22	0	0	0
Fondazione	SLD 24		24.55	65.5	-522.22	24.55	65.5	-522.22	0	0	0
Fondazione	SLD 25		80.78	-12.24	-523.05	80.78	-12.24	-523.05	0	0	0
Fondazione	SLD 26		80.78	-12.24	-523.05	80.78	-12.24	-523.05	0	0	0
Fondazione	SLD 27		80.78	-12.24	-523.05	80.78	-12.24	-523.05	0	0	0
Fondazione	SLD 28		80.78	-12.24	-523.05	80.78	-12.24	-523.05	0	0	0
Fondazione	SLD 29		80.96	23.75	-522.67	80.96	23.75	-522.67	0	0	0
Fondazione	SLD 30		80.96	23.75	-522.67	80.96	23.75	-522.67	0	0	0
Fondazione	SLD 31		80.96	23.75	-522.67	80.96	23.75	-522.67	0	0	0
Fondazione	SLD 32		80.96	23.75	-522.67	80.96	23.75	-522.67	0	0	0
Fondazione	SLV 1		-212	-42.4	-523.26	-212	-42.4	-523.26	0	0	0
Fondazione	SLV 2		-212	-42.4	-523.26	-212	-42.4	-523.26	0	0	0
Fondazione	SLV 3		-212	-42.4	-523.26	-212	-42.4	-523.26	0	0	0
Fondazione	SLV 4		-212	-42.4	-523.26	-212	-42.4	-523.26	0	0	0
Fondazione	SLV 5		-211.61	51.76	-522.42	-211.61	51.76	-522.42	0	0	0
Fondazione	SLV 6		-211.61	51.76	-522.42	-211.61	51.76	-522.42	0	0	0
Fondazione	SLV 7		-211.61	51.76	-522.42	-211.61	51.76	-522.42	0	0	0
Fondazione	SLV 8		-211.61	51.76	-522.42	-211.61	51.76	-522.42	0	0	0
Fondazione	SLV 9		-64.19	-151.73	-524.25	-64.19	-151.73	-524.25	0	0	0
Fondazione	SLV 10		-64.19	-151.73	-524.25	-64.19	-151.73	-524.25	0	0	0
Fondazione	SLV 11		-64.19	-151.73	-524.25	-64.19	-151.73	-524.25	0	0	0
Fondazione	SLV 12		-64.19	-151.73	-524.25	-64.19	-151.73	-524.25	0	0	0
Fondazione	SLV 13		-62.89	162.13	-521.45	-62.89	162.13	-521.45	0	0	0
Fondazione	SLV 14		-62.89	162.13	-521.45	-62.89	162.13	-521.45	0	0	0
Fondazione	SLV 15		-62.89	162.13	-521.45	-62.89	162.13	-521.45	0	0	0
Fondazione	SLV 16		-62.89	162.13	-521.45	-62.89	162.13	-521.45	0	0	0
Fondazione	SLV 17		62.89	-151.29	-524.26	62.89	-151.29	-524.26	0	0	0
Fondazione	SLV 18		62.89	-151.29	-524.26	62.89	-151.29	-524.26	0	0	0
Fondazione	SLV 19		62.89	-151.29	-524.26	62.89	-151.29	-524.26	0	0	0
Fondazione	SLV 20		62.89	-151.29	-524.26	62.89	-151.29	-524.26	0	0	0
Fondazione	SLV 21		64.19	162.58	-521.46	64.19	162.58	-521.46	0	0	0
Fondazione	SLV 22		64.19	162.58	-521.46	64.19	162.58	-521.46	0	0	0
Fondazione	SLV 23		64.19	162.58	-521.46	64.19	162.58	-521.46	0	0	0
Fondazione	SLV 24		64.19	162.58	-521.46	64.19	162.58	-521.46	0	0	0
Fondazione	SLV 25		211.61	-40.92	-523.29	211.61	-40.92	-523.29	0	0	0
Fondazione	SLV 26		211.61	-40.92	-523.29	211.61	-40.92	-523.29	0	0	0
Fondazione	SLV 27		211.61	-40.92	-523.29	211.61	-40.92	-523.29	0	0	0
Fondazione	SLV 28		211.61	-40.92	-523.29	211.61	-40.92	-523.29	0	0	0
Fondazione	SLV 29		212	53.24	-522.45	212	53.24	-522.45	0	0	0
Fondazione	SLV 30		212	53.24	-522.45	212	53.24	-522.45	0	0	0
Fondazione	SLV 31		212	53.24	-522.45	212	53.24	-522.45	0	0	0
Fondazione	SLV 32		212	53.24	-522.45	212	53.24	-522.45	0	0	0
Fondazione	CRTEFP Ux+		0	0	0	0	0	0	0	0	0
Fondazione	CRTEFP Ux-		0	0	0	0	0	0	0	0	0
Fondazione	CRTEFP Uy+		0	0	0	0	0	0	0	0	0
Fondazione	CRTEFP Uy-		0	0	0	0	0	0	0	0	0
Fondazione	CRTEFP Rz+		0	0	0	0	0	0	0	0	0
Fondazione	CRTEFP Rz-		0	0	0	0	0	0	0	0	0
Travi longitudinali	Pesi		0	0	-97.96	0	0	-97.96	0	0	0
Travi longitudinali	Port.		0	0.01	-412.54	0	0.01	-412.54	0	0	0
Travi longitudinali	Neve		0	0	-130.48	0	0	-130.48	0	0	0
Travi longitudinali	Vento X (+Z)		5	-0.01	500.54	5	-0.01	500.54	0	0	0
Travi longitudinali	Vento Y (+Z)		0.01	16.5	500.55	0.01	16.5	500.55	0	0	0
Travi longitudinali	Passaggio convogli		-29.11	3.11	0	-29.11	3.11	0	0	0	0
Travi longitudinali	Vento Y (-Z)		0	2.42	-335.53	0	2.42	-335.53	0	0	0
Travi longitudinali	ΔT		0	0	-8.31	0	0	-8.31	0	0	0
Travi longitudinali	X SLV		17.58	-1.06	0.25	17.58	-1.06	0.25	0	0	0
Travi longitudinali	Y SLV		4.66	23.38	2.85	4.66	23.38	2.85	0	0	0
Travi longitudinali	X SLD		6.62	-0.48	0.09	6.62	-0.48	0.09	0	0	0
Travi longitudinali	Y SLD		2.1	9.11	1.28	2.1	9.11	1.28	0	0	0
Travi longitudinali	X SLO		5.36	-0.41	0.08	5.36	-0.41	0.08	0	0	0
Travi longitudinali	Y SLO		1.8	7.45	1.1	1.8	7.45	1.1	0	0	0
Travi longitudinali	R Ux		0	0	0	0	0	0	0	0	0
Travi longitudinali	R Uy		0	0	0	0	0	0	0	0	0
Travi longitudinali	R Rz		0	0	0	0	0	0	0	0	0
Travi longitudinali	SLU 1		0	0.01	-415.53	0	0.01	-415.53	0	0	0
Travi longitudinali	SLU 2		0	0.01	-427.99	0	0.01	-427.99	0	0	0
Travi longitudinali	SLU 3		0	0.01	-440.45	0	0.01	-440.45	0	0	0

Livello	Cont.	Totale			Aste verticali			Pareti		
		N.br.	F			F			F	
Nome		X	Y	Z	X	Y	Z	X	Y	Z
Travi longitudinale	SLU 4	-0.01	2.19	-717.5	-0.01	2.19	-717.5	0	0	0
Travi longitudinale	SLU 5	-0.01	2.19	-742.43	-0.01	2.19	-742.43	0	0	0
Travi longitudinale	SLU 6	-0.01	3.64	-923.8	-0.01	3.64	-923.8	0	0	0
Travi longitudinale	SLU 7	-0.01	3.64	-931.28	-0.01	3.64	-931.28	0	0	0
Travi longitudinale	SLU 8	-0.01	3.64	-938.76	-0.01	3.64	-938.76	0	0	0
Travi longitudinale	SLU 9	-30.57	3.27	-415.53	-30.57	3.27	-415.53	0	0	0
Travi longitudinale	SLU 10	-30.57	3.27	-440.46	-30.57	3.27	-440.46	0	0	0
Travi longitudinale	SLU 11	-30.57	5.45	-717.5	-30.57	5.45	-717.5	0	0	0
Travi longitudinale	SLU 12	-30.57	5.45	-742.43	-30.57	5.45	-742.43	0	0	0
Travi longitudinale	SLU 13	-30.57	6.91	-923.81	-30.57	6.91	-923.81	0	0	0
Travi longitudinale	SLU 14	-30.57	6.91	-931.29	-30.57	6.91	-931.29	0	0	0
Travi longitudinale	SLU 15	-30.57	6.91	-938.76	-30.57	6.91	-938.76	0	0	0
Travi longitudinale	SLU 16	-43.67	4.67	-420.52	-43.67	4.67	-420.52	0	0	0
Travi longitudinale	SLU 17	-43.67	4.67	-427.99	-43.67	4.67	-427.99	0	0	0
Travi longitudinale	SLU 18	-43.67	4.67	-435.47	-43.67	4.67	-435.47	0	0	0
Travi longitudinale	SLU 19	-43.67	6.85	-722.49	-43.67	6.85	-722.49	0	0	0
Travi longitudinale	SLU 20	-43.67	6.85	-729.97	-43.67	6.85	-729.97	0	0	0
Travi longitudinale	SLU 21	-43.67	6.85	-737.45	-43.67	6.85	-737.45	0	0	0
Travi longitudinale	SLU 22	0	14.86	34.97	0	14.86	34.97	0	0	0
Travi longitudinale	SLU 23	0	14.86	10.04	0	14.86	10.04	0	0	0
Travi longitudinale	SLU 24	-30.56	18.12	34.96	-30.56	18.12	34.96	0	0	0
Travi longitudinale	SLU 25	-30.56	18.12	10.03	-30.56	18.12	10.03	0	0	0
Travi longitudinale	SLU 26	-43.66	19.52	29.98	-43.66	19.52	29.98	0	0	0
Travi longitudinale	SLU 27	-43.66	19.52	22.5	-43.66	19.52	22.5	0	0	0
Travi longitudinale	SLU 28	-43.66	19.52	15.02	-43.66	19.52	15.02	0	0	0
Travi longitudinale	SLU 29	0	24.75	330.31	0	24.75	330.31	0	0	0
Travi longitudinale	SLU 30	0	24.75	322.83	0	24.75	322.83	0	0	0
Travi longitudinale	SLU 31	0	24.75	315.35	0	24.75	315.35	0	0	0
Travi longitudinale	SLU 32	-30.56	28.02	330.3	-30.56	28.02	330.3	0	0	0
Travi longitudinale	SLU 33	-30.56	28.02	322.83	-30.56	28.02	322.83	0	0	0
Travi longitudinale	SLU 34	-30.56	28.02	315.35	-30.56	28.02	315.35	0	0	0
Travi longitudinale	SLU 35	4.5	0	34.96	4.5	0	34.96	0	0	0
Travi longitudinale	SLU 36	4.5	0	10.03	4.5	0	10.03	0	0	0
Travi longitudinale	SLU 37	-26.07	3.26	34.96	-26.07	3.26	34.96	0	0	0
Travi longitudinale	SLU 38	-26.07	3.26	10.03	-26.07	3.26	10.03	0	0	0
Travi longitudinale	SLU 39	-39.17	4.66	29.97	-39.17	4.66	29.97	0	0	0
Travi longitudinale	SLU 40	-39.17	4.66	22.49	-39.17	4.66	22.49	0	0	0
Travi longitudinale	SLU 41	-39.17	4.66	15.01	-39.17	4.66	15.01	0	0	0
Travi longitudinale	SLU 42	7.5	-0.01	330.3	7.5	-0.01	330.3	0	0	0
Travi longitudinale	SLU 43	7.5	-0.01	322.82	7.5	-0.01	322.82	0	0	0
Travi longitudinale	SLU 44	7.5	-0.01	315.34	7.5	-0.01	315.34	0	0	0
Travi longitudinale	SLU 45	-23.07	3.26	330.3	-23.07	3.26	330.3	0	0	0
Travi longitudinale	SLU 46	-23.07	3.26	322.82	-23.07	3.26	322.82	0	0	0
Travi longitudinale	SLU 47	-23.07	3.26	315.34	-23.07	3.26	315.34	0	0	0
Travi longitudinale	SLU 48	0	0.01	-513.39	0	0.01	-513.39	0	0	0
Travi longitudinale	SLU 49	-0.01	0.01	-538.32	-0.01	0.01	-538.32	0	0	0
Travi longitudinale	SLU 50	-0.01	2.19	-815.36	-0.01	2.19	-815.36	0	0	0
Travi longitudinale	SLU 51	-0.01	2.19	-840.29	-0.01	2.19	-840.29	0	0	0
Travi longitudinale	SLU 52	-0.01	3.64	-1021.67	-0.01	3.64	-1021.67	0	0	0
Travi longitudinale	SLU 53	-0.01	3.64	-1029.14	-0.01	3.64	-1029.14	0	0	0
Travi longitudinale	SLU 54	-0.01	3.64	-1036.62	-0.01	3.64	-1036.62	0	0	0

Livello	Cont.	Totale			Aste verticali			Pareti		
		N.br.	F			F			F	
Nome		X	Y	Z	X	Y	Z	X	Y	Z
Travi longitudinali	SLU 55	-30.57	3.27	-513.39	-30.57	3.27	-513.39	0	0	0
Travi longitudinali	SLU 56	-30.57	3.27	-538.32	-30.57	3.27	-538.32	0	0	0
Travi longitudinali	SLU 57	-30.57	5.46	-815.37	-30.57	5.46	-815.37	0	0	0
Travi longitudinali	SLU 58	-30.57	5.46	-840.3	-30.57	5.46	-840.3	0	0	0
Travi longitudinali	SLU 59	-30.57	6.91	-1021.67	-30.57	6.91	-1021.67	0	0	0
Travi longitudinali	SLU 60	-30.57	6.91	-1029.15	-30.57	6.91	-1029.15	0	0	0
Travi longitudinali	SLU 61	-30.57	6.91	-1036.63	-30.57	6.91	-1036.63	0	0	0
Travi longitudinali	SLU 62	-43.67	4.67	-518.38	-43.67	4.67	-518.38	0	0	0
Travi longitudinali	SLU 63	-43.67	4.67	-525.86	-43.67	4.67	-525.86	0	0	0
Travi longitudinali	SLU 64	-43.67	4.67	-533.34	-43.67	4.67	-533.34	0	0	0
Travi longitudinali	SLU 65	-43.67	6.85	-820.35	-43.67	6.85	-820.35	0	0	0
Travi longitudinali	SLU 66	-43.67	6.85	-827.83	-43.67	6.85	-827.83	0	0	0
Travi longitudinali	SLU 67	-43.67	6.85	-835.31	-43.67	6.85	-835.31	0	0	0
Travi longitudinali	SLU 68	0	14.86	-62.9	0	14.86	-62.9	0	0	0
Travi longitudinali	SLU 69	0	14.86	-87.82	0	14.86	-87.82	0	0	0
Travi longitudinali	SLU 70	-30.56	18.12	-62.9	-30.56	18.12	-62.9	0	0	0
Travi longitudinali	SLU 71	-30.57	18.12	-87.83	-30.57	18.12	-87.83	0	0	0
Travi longitudinali	SLU 72	-43.66	19.52	-67.89	-43.66	19.52	-67.89	0	0	0
Travi longitudinali	SLU 73	-43.66	19.52	-75.37	-43.66	19.52	-75.37	0	0	0
Travi longitudinali	SLU 74	-43.66	19.52	-82.84	-43.66	19.52	-82.84	0	0	0
Travi longitudinali	SLU 75	0	24.76	232.45	0	24.76	232.45	0	0	0
Travi longitudinali	SLU 76	0	24.76	224.97	0	24.76	224.97	0	0	0
Travi longitudinali	SLU 77	0	24.76	217.49	0	24.76	217.49	0	0	0
Travi longitudinali	SLU 78	-30.56	28.02	232.44	-30.56	28.02	232.44	0	0	0
Travi longitudinali	SLU 79	-30.56	28.02	224.96	-30.56	28.02	224.96	0	0	0
Travi longitudinali	SLU 80	-30.56	28.02	217.49	-30.56	28.02	217.49	0	0	0
Travi longitudinali	SLU 81	4.5	0	-62.9	4.5	0	-62.9	0	0	0
Travi longitudinali	SLU 82	4.5	0	-87.83	4.5	0	-87.83	0	0	0
Travi longitudinali	SLU 83	-26.07	3.26	-62.9	-26.07	3.26	-62.9	0	0	0
Travi longitudinali	SLU 84	-26.07	3.26	-87.83	-26.07	3.26	-87.83	0	0	0
Travi longitudinali	SLU 85	-39.17	4.66	-67.89	-39.17	4.66	-67.89	0	0	0
Travi longitudinali	SLU 86	-39.17	4.66	-75.37	-39.17	4.66	-75.37	0	0	0
Travi longitudinali	SLU 87	-39.17	4.66	-82.85	-39.17	4.66	-82.85	0	0	0
Travi longitudinali	SLU 88	7.5	-0.01	232.44	7.5	-0.01	232.44	0	0	0
Travi longitudinali	SLU 89	7.5	-0.01	224.96	7.5	-0.01	224.96	0	0	0
Travi longitudinali	SLU 90	7.5	-0.01	217.48	7.5	-0.01	217.48	0	0	0
Travi longitudinali	SLU 91	-23.07	3.26	232.44	-23.07	3.26	232.44	0	0	0
Travi longitudinali	SLU 92	-23.07	3.26	224.96	-23.07	3.26	224.96	0	0	0
Travi longitudinali	SLU 93	-23.07	3.26	217.48	-23.07	3.26	217.48	0	0	0
Travi longitudinali	SLU 94	-0.01	0.01	-616.24	-0.01	0.01	-616.24	0	0	0
Travi longitudinali	SLU 95	-0.01	0.01	-623.71	-0.01	0.01	-623.71	0	0	0
Travi longitudinali	SLU 96	-0.01	0.01	-631.19	-0.01	0.01	-631.19	0	0	0
Travi longitudinali	SLU 97	-0.01	2.19	-918.21	-0.01	2.19	-918.21	0	0	0
Travi longitudinali	SLU 98	-0.01	2.19	-925.69	-0.01	2.19	-925.69	0	0	0
Travi longitudinali	SLU 99	-0.01	2.19	-933.17	-0.01	2.19	-933.17	0	0	0
Travi longitudinali	SLU 100	-30.57	3.28	-616.24	-30.57	3.28	-616.24	0	0	0
Travi longitudinali	SLU 101	-30.57	3.28	-623.72	-30.57	3.28	-623.72	0	0	0
Travi longitudinali	SLU 102	-30.57	3.28	-631.2	-30.57	3.28	-631.2	0	0	0
Travi longitudinali	SLU 103	-30.57	5.46	-918.21	-30.57	5.46	-918.21	0	0	0
Travi longitudinali	SLU 104	-30.57	5.46	-925.69	-30.57	5.46	-925.69	0	0	0
Travi longitudinali	SLU 105	-30.57	5.46	-933.17	-30.57	5.46	-933.17	0	0	0

Livello	Cont.	Totale			Aste verticali			Pareti		
		F			F			F		
Nome	N.br.	X	Y	Z	X	Y	Z	X	Y	Z
Travi longitudinale	SLU 106	0	14.86	-165.74	0	14.86	-165.74	0	0	0
Travi longitudinale	SLU 107	0	14.86	-173.22	0	14.86	-173.22	0	0	0
Travi longitudinale	SLU 108	0	14.86	-180.7	0	14.86	-180.7	0	0	0
Travi longitudinale	SLU 109	-30.57	18.12	-165.75	-30.57	18.12	-165.75	0	0	0
Travi longitudinale	SLU 110	-30.57	18.12	-173.23	-30.57	18.12	-173.23	0	0	0
Travi longitudinale	SLU 111	-30.57	18.12	-180.71	-30.57	18.12	-180.71	0	0	0
Travi longitudinale	SLU 112	4.5	0	-165.75	4.5	0	-165.75	0	0	0
Travi longitudinale	SLU 113	4.5	0	-173.23	4.5	0	-173.23	0	0	0
Travi longitudinale	SLU 114	4.5	0	-180.71	4.5	0	-180.71	0	0	0
Travi longitudinale	SLU 115	-26.07	3.27	-165.75	-26.07	3.27	-165.75	0	0	0
Travi longitudinale	SLU 116	-26.07	3.27	-173.23	-26.07	3.27	-173.23	0	0	0
Travi longitudinale	SLU 117	-26.07	3.27	-180.71	-26.07	3.27	-180.71	0	0	0
Travi longitudinale	SLU 118	-0.01	0.02	-704.3	-0.01	0.02	-704.3	0	0	0
Travi longitudinale	SLU 119	-0.01	0.02	-716.77	-0.01	0.02	-716.77	0	0	0
Travi longitudinale	SLU 120	-0.01	0.02	-729.23	-0.01	0.02	-729.23	0	0	0
Travi longitudinale	SLU 121	-0.01	2.2	-1006.28	-0.01	2.2	-1006.28	0	0	0
Travi longitudinale	SLU 122	-0.01	2.2	-1031.21	-0.01	2.2	-1031.21	0	0	0
Travi longitudinale	SLU 123	-0.01	3.65	-1212.58	-0.01	3.65	-1212.58	0	0	0
Travi longitudinale	SLU 124	-0.01	3.65	-1220.06	-0.01	3.65	-1220.06	0	0	0
Travi longitudinale	SLU 125	-0.01	3.65	-1227.54	-0.01	3.65	-1227.54	0	0	0
Travi longitudinale	SLU 126	-30.57	3.28	-704.3	-30.57	3.28	-704.3	0	0	0
Travi longitudinale	SLU 127	-30.57	3.28	-729.23	-30.57	3.28	-729.23	0	0	0
Travi longitudinale	SLU 128	-30.57	5.46	-1006.28	-30.57	5.46	-1006.28	0	0	0
Travi longitudinale	SLU 129	-30.57	5.46	-1031.21	-30.57	5.46	-1031.21	0	0	0
Travi longitudinale	SLU 130	-30.57	6.91	-1212.58	-30.57	6.91	-1212.58	0	0	0
Travi longitudinale	SLU 131	-30.57	6.91	-1220.06	-30.57	6.91	-1220.06	0	0	0
Travi longitudinale	SLU 132	-30.58	6.91	-1227.54	-30.58	6.91	-1227.54	0	0	0
Travi longitudinale	SLU 133	-43.67	4.68	-709.29	-43.67	4.68	-709.29	0	0	0
Travi longitudinale	SLU 134	-43.67	4.68	-716.77	-43.67	4.68	-716.77	0	0	0
Travi longitudinale	SLU 135	-43.67	4.68	-724.25	-43.67	4.68	-724.25	0	0	0
Travi longitudinale	SLU 136	-43.67	6.86	-1011.27	-43.67	6.86	-1011.27	0	0	0
Travi longitudinale	SLU 137	-43.67	6.86	-1018.75	-43.67	6.86	-1018.75	0	0	0
Travi longitudinale	SLU 138	-43.67	6.86	-1026.22	-43.67	6.86	-1026.22	0	0	0
Travi longitudinale	SLU 139	0	14.86	-253.81	0	14.86	-253.81	0	0	0
Travi longitudinale	SLU 140	0	14.86	-278.74	0	14.86	-278.74	0	0	0
Travi longitudinale	SLU 141	-30.57	18.13	-253.81	-30.57	18.13	-253.81	0	0	0
Travi longitudinale	SLU 142	-30.57	18.13	-278.74	-30.57	18.13	-278.74	0	0	0
Travi longitudinale	SLU 143	-43.67	19.53	-258.8	-43.67	19.53	-258.8	0	0	0
Travi longitudinale	SLU 144	-43.67	19.53	-266.28	-43.67	19.53	-266.28	0	0	0
Travi longitudinale	SLU 145	-43.67	19.53	-273.76	-43.67	19.53	-273.76	0	0	0
Travi longitudinale	SLU 146	0	24.76	41.53	0	24.76	41.53	0	0	0
Travi longitudinale	SLU 147	0	24.76	34.05	0	24.76	34.05	0	0	0
Travi longitudinale	SLU 148	0	24.76	26.58	0	24.76	26.58	0	0	0
Travi longitudinale	SLU 149	-30.56	28.02	41.53	-30.56	28.02	41.53	0	0	0
Travi longitudinale	SLU 150	-30.56	28.02	34.05	-30.56	28.02	34.05	0	0	0
Travi longitudinale	SLU 151	-30.56	28.02	26.57	-30.56	28.02	26.57	0	0	0
Travi longitudinale	SLU 152	4.5	0	-253.81	4.5	0	-253.81	0	0	0
Travi longitudinale	SLU 153	4.49	0	-278.74	4.49	0	-278.74	0	0	0
Travi longitudinale	SLU 154	-26.07	3.27	-253.82	-26.07	3.27	-253.82	0	0	0
Travi longitudinale	SLU 155	-26.07	3.27	-278.75	-26.07	3.27	-278.75	0	0	0
Travi longitudinale	SLU 156	-39.17	4.67	-258.8	-39.17	4.67	-258.8	0	0	0

Livello	Cont.	Totale			Aste verticali			Pareti				
		Nome	N.br.	F			F			F		
				X	Y	Z	X	Y	Z	X	Y	Z
Travi longitudinali	SLU 157	-39.17	4.67	-266.28	-39.17	4.67	-266.28	0	0	0		
Travi longitudinali	SLU 158	-39.17	4.67	-273.76	-39.17	4.67	-273.76	0	0	0		
Travi longitudinali	SLU 159	7.5	0	41.53	7.5	0	41.53	0	0	0		
Travi longitudinali	SLU 160	7.5	0	34.05	7.5	0	34.05	0	0	0		
Travi longitudinali	SLU 161	7.5	0	26.57	7.5	0	26.57	0	0	0		
Travi longitudinali	SLU 162	-23.07	3.26	41.52	-23.07	3.26	41.52	0	0	0		
Travi longitudinali	SLU 163	-23.07	3.26	34.04	-23.07	3.26	34.04	0	0	0		
Travi longitudinali	SLU 164	-23.07	3.26	26.57	-23.07	3.26	26.57	0	0	0		
Travi longitudinali	SLU 165	-0.01	0.02	-802.16	-0.01	0.02	-802.16	0	0	0		
Travi longitudinali	SLU 166	-0.01	0.02	-827.09	-0.01	0.02	-827.09	0	0	0		
Travi longitudinali	SLU 167	-0.01	2.2	-1104.14	-0.01	2.2	-1104.14	0	0	0		
Travi longitudinali	SLU 168	-0.01	2.2	-1129.07	-0.01	2.2	-1129.07	0	0	0		
Travi longitudinali	SLU 169	-0.01	3.65	-1310.44	-0.01	3.65	-1310.44	0	0	0		
Travi longitudinali	SLU 170	-0.01	3.65	-1317.92	-0.01	3.65	-1317.92	0	0	0		
Travi longitudinali	SLU 171	-0.01	3.65	-1325.4	-0.01	3.65	-1325.4	0	0	0		
Travi longitudinali	SLU 172	-30.57	3.28	-802.17	-30.57	3.28	-802.17	0	0	0		
Travi longitudinali	SLU 173	-30.57	3.28	-827.1	-30.57	3.28	-827.1	0	0	0		
Travi longitudinali	SLU 174	-30.57	5.46	-1104.14	-30.57	5.46	-1104.14	0	0	0		
Travi longitudinali	SLU 175	-30.58	5.46	-1129.07	-30.58	5.46	-1129.07	0	0	0		
Travi longitudinali	SLU 176	-30.58	6.92	-1310.44	-30.58	6.92	-1310.44	0	0	0		
Travi longitudinali	SLU 177	-30.58	6.92	-1317.92	-30.58	6.92	-1317.92	0	0	0		
Travi longitudinali	SLU 178	-30.58	6.92	-1325.4	-30.58	6.92	-1325.4	0	0	0		
Travi longitudinali	SLU 179	-43.67	4.68	-807.15	-43.67	4.68	-807.15	0	0	0		
Travi longitudinali	SLU 180	-43.67	4.68	-814.63	-43.67	4.68	-814.63	0	0	0		
Travi longitudinali	SLU 181	-43.67	4.68	-822.11	-43.67	4.68	-822.11	0	0	0		
Travi longitudinali	SLU 182	-43.67	6.86	-1109.13	-43.67	6.86	-1109.13	0	0	0		
Travi longitudinali	SLU 183	-43.67	6.86	-1116.61	-43.67	6.86	-1116.61	0	0	0		
Travi longitudinali	SLU 184	-43.67	6.86	-1124.09	-43.67	6.86	-1124.09	0	0	0		
Travi longitudinali	SLU 185	0	14.86	-351.67	0	14.86	-351.67	0	0	0		
Travi longitudinali	SLU 186	0	14.86	-376.6	0	14.86	-376.6	0	0	0		
Travi longitudinali	SLU 187	-30.57	18.13	-351.68	-30.57	18.13	-351.68	0	0	0		
Travi longitudinali	SLU 188	-30.57	18.13	-376.6	-30.57	18.13	-376.6	0	0	0		
Travi longitudinali	SLU 189	-43.67	19.53	-356.66	-43.67	19.53	-356.66	0	0	0		
Travi longitudinali	SLU 190	-43.67	19.53	-364.14	-43.67	19.53	-364.14	0	0	0		
Travi longitudinali	SLU 191	-43.67	19.53	-371.62	-43.67	19.53	-371.62	0	0	0		
Travi longitudinali	SLU 192	0	24.76	-56.33	0	24.76	-56.33	0	0	0		
Travi longitudinali	SLU 193	0	24.76	-63.81	0	24.76	-63.81	0	0	0		
Travi longitudinali	SLU 194	0	24.76	-71.29	0	24.76	-71.29	0	0	0		
Travi longitudinali	SLU 195	-30.56	28.03	-56.33	-30.56	28.03	-56.33	0	0	0		
Travi longitudinali	SLU 196	-30.56	28.03	-63.81	-30.56	28.03	-63.81	0	0	0		
Travi longitudinali	SLU 197	-30.56	28.03	-71.29	-30.56	28.03	-71.29	0	0	0		
Travi longitudinali	SLU 198	4.5	0.01	-351.68	4.5	0.01	-351.68	0	0	0		
Travi longitudinali	SLU 199	4.49	0.01	-376.6	4.49	0.01	-376.6	0	0	0		
Travi longitudinali	SLU 200	-26.07	3.27	-351.68	-26.07	3.27	-351.68	0	0	0		
Travi longitudinali	SLU 201	-26.07	3.27	-376.61	-26.07	3.27	-376.61	0	0	0		
Travi longitudinali	SLU 202	-39.17	4.67	-356.67	-39.17	4.67	-356.67	0	0	0		
Travi longitudinali	SLU 203	-39.17	4.67	-364.15	-39.17	4.67	-364.15	0	0	0		
Travi longitudinali	SLU 204	-39.17	4.67	-371.62	-39.17	4.67	-371.62	0	0	0		
Travi longitudinali	SLU 205	7.5	0	-56.34	7.5	0	-56.34	0	0	0		
Travi longitudinali	SLU 206	7.5	0	-63.82	7.5	0	-63.82	0	0	0		
Travi longitudinali	SLU 207	7.5	0	-71.29	7.5	0	-71.29	0	0	0		

Livello	Cont.	Totale			Aste verticali			Pareti				
		Nome	N.br.	F			F			F		
				X	Y	Z	X	Y	Z	X	Y	Z
Travi longitudinali	SLU 208	-23.07	3.26	-56.34	-23.07	3.26	-56.34	0	0	0		
Travi longitudinali	SLU 209	-23.07	3.26	-63.82	-23.07	3.26	-63.82	0	0	0		
Travi longitudinali	SLU 210	-23.07	3.26	-71.3	-23.07	3.26	-71.3	0	0	0		
Travi longitudinali	SLU 211	-0.01	0.02	-905.01	-0.01	0.02	-905.01	0	0	0		
Travi longitudinali	SLU 212	-0.01	0.02	-912.49	-0.01	0.02	-912.49	0	0	0		
Travi longitudinali	SLU 213	-0.01	0.02	-919.97	-0.01	0.02	-919.97	0	0	0		
Travi longitudinali	SLU 214	-0.01	2.2	-1206.99	-0.01	2.2	-1206.99	0	0	0		
Travi longitudinali	SLU 215	-0.01	2.2	-1214.47	-0.01	2.2	-1214.47	0	0	0		
Travi longitudinali	SLU 216	-0.01	2.2	-1221.94	-0.01	2.2	-1221.94	0	0	0		
Travi longitudinali	SLU 217	-30.57	3.28	-905.01	-30.57	3.28	-905.01	0	0	0		
Travi longitudinali	SLU 218	-30.57	3.28	-912.49	-30.57	3.28	-912.49	0	0	0		
Travi longitudinali	SLU 219	-30.57	3.28	-919.97	-30.57	3.28	-919.97	0	0	0		
Travi longitudinali	SLU 220	-30.57	5.46	-1206.99	-30.57	5.46	-1206.99	0	0	0		
Travi longitudinali	SLU 221	-30.58	5.46	-1214.47	-30.58	5.46	-1214.47	0	0	0		
Travi longitudinali	SLU 222	-30.58	5.46	-1221.95	-30.58	5.46	-1221.95	0	0	0		
Travi longitudinali	SLU 223	0	14.87	-454.52	0	14.87	-454.52	0	0	0		
Travi longitudinali	SLU 224	0	14.87	-462	0	14.87	-462	0	0	0		
Travi longitudinali	SLU 225	0	14.87	-469.48	0	14.87	-469.48	0	0	0		
Travi longitudinali	SLU 226	-30.57	18.13	-454.52	-30.57	18.13	-454.52	0	0	0		
Travi longitudinali	SLU 227	-30.57	18.13	-462	-30.57	18.13	-462	0	0	0		
Travi longitudinali	SLU 228	-30.57	18.13	-469.48	-30.57	18.13	-469.48	0	0	0		
Travi longitudinali	SLU 229	4.49	0.01	-454.52	4.49	0.01	-454.52	0	0	0		
Travi longitudinali	SLU 230	4.49	0.01	-462	4.49	0.01	-462	0	0	0		
Travi longitudinali	SLU 231	4.49	0.01	-469.48	4.49	0.01	-469.48	0	0	0		
Travi longitudinali	SLU 232	-26.07	3.27	-454.53	-26.07	3.27	-454.53	0	0	0		
Travi longitudinali	SLU 233	-26.07	3.27	-462.01	-26.07	3.27	-462.01	0	0	0		
Travi longitudinali	SLU 234	-26.07	3.27	-469.48	-26.07	3.27	-469.48	0	0	0		
Travi longitudinali	SLU 235	0	0.01	-444.91	0	0.01	-444.91	0	0	0		
Travi longitudinali	SLU 236	0	0.01	-457.38	0	0.01	-457.38	0	0	0		
Travi longitudinali	SLU 237	0	0.01	-469.84	0	0.01	-469.84	0	0	0		
Travi longitudinali	SLU 238	-0.01	2.19	-746.89	-0.01	2.19	-746.89	0	0	0		
Travi longitudinali	SLU 239	-0.01	2.19	-771.82	-0.01	2.19	-771.82	0	0	0		
Travi longitudinali	SLU 240	-0.01	3.64	-953.19	-0.01	3.64	-953.19	0	0	0		
Travi longitudinali	SLU 241	-0.01	3.64	-960.67	-0.01	3.64	-960.67	0	0	0		
Travi longitudinali	SLU 242	-0.01	3.64	-968.15	-0.01	3.64	-968.15	0	0	0		
Travi longitudinali	SLU 243	-30.57	3.27	-444.92	-30.57	3.27	-444.92	0	0	0		
Travi longitudinali	SLU 244	-30.57	3.27	-469.85	-30.57	3.27	-469.85	0	0	0		
Travi longitudinali	SLU 245	-30.57	5.45	-746.89	-30.57	5.45	-746.89	0	0	0		
Travi longitudinali	SLU 246	-30.57	5.45	-771.82	-30.57	5.45	-771.82	0	0	0		
Travi longitudinali	SLU 247	-30.57	6.91	-953.19	-30.57	6.91	-953.19	0	0	0		
Travi longitudinali	SLU 248	-30.57	6.91	-960.67	-30.57	6.91	-960.67	0	0	0		
Travi longitudinali	SLU 249	-30.57	6.91	-968.15	-30.57	6.91	-968.15	0	0	0		
Travi longitudinali	SLU 250	-43.67	4.67	-449.9	-43.67	4.67	-449.9	0	0	0		
Travi longitudinali	SLU 251	-43.67	4.67	-457.38	-43.67	4.67	-457.38	0	0	0		
Travi longitudinali	SLU 252	-43.67	4.67	-464.86	-43.67	4.67	-464.86	0	0	0		
Travi longitudinali	SLU 253	-43.67	6.85	-751.88	-43.67	6.85	-751.88	0	0	0		
Travi longitudinali	SLU 254	-43.67	6.85	-759.36	-43.67	6.85	-759.36	0	0	0		
Travi longitudinali	SLU 255	-43.67	6.85	-766.84	-43.67	6.85	-766.84	0	0	0		
Travi longitudinali	SLU 256	0	14.86	5.58	0	14.86	5.58	0	0	0		
Travi longitudinali	SLU 257	0	14.86	-19.35	0	14.86	-19.35	0	0	0		
Travi longitudinali	SLU 258	-30.56	18.12	5.58	-30.56	18.12	5.58	0	0	0		

Livello	Cont.	Totale			Aste verticali			Pareti		
		N.br.	F			F			F	
Nome		X	Y	Z	X	Y	Z	X	Y	Z
Travi longitudinali	SLU 259	-30.56	18.12	-19.35	-30.56	18.12	-19.35	0	0	0
Travi longitudinali	SLU 260	-43.66	19.52	0.59	-43.66	19.52	0.59	0	0	0
Travi longitudinali	SLU 261	-43.66	19.52	-6.89	-43.66	19.52	-6.89	0	0	0
Travi longitudinali	SLU 262	-43.66	19.52	-14.37	-43.66	19.52	-14.37	0	0	0
Travi longitudinali	SLU 263	0	24.75	300.92	0	24.75	300.92	0	0	0
Travi longitudinali	SLU 264	0	24.75	293.44	0	24.75	293.44	0	0	0
Travi longitudinali	SLU 265	0	24.75	285.96	0	24.75	285.96	0	0	0
Travi longitudinali	SLU 266	-30.56	28.02	300.92	-30.56	28.02	300.92	0	0	0
Travi longitudinali	SLU 267	-30.56	28.02	293.44	-30.56	28.02	293.44	0	0	0
Travi longitudinali	SLU 268	-30.56	28.02	285.96	-30.56	28.02	285.96	0	0	0
Travi longitudinali	SLU 269	4.5	0	5.57	4.5	0	5.57	0	0	0
Travi longitudinali	SLU 270	4.5	0	-19.35	4.5	0	-19.35	0	0	0
Travi longitudinali	SLU 271	-26.07	3.26	5.57	-26.07	3.26	5.57	0	0	0
Travi longitudinali	SLU 272	-26.07	3.26	-19.36	-26.07	3.26	-19.36	0	0	0
Travi longitudinali	SLU 273	-39.17	4.66	0.58	-39.17	4.66	0.58	0	0	0
Travi longitudinali	SLU 274	-39.17	4.66	-6.9	-39.17	4.66	-6.9	0	0	0
Travi longitudinali	SLU 275	-39.17	4.66	-14.37	-39.17	4.66	-14.37	0	0	0
Travi longitudinali	SLU 276	7.5	-0.01	300.91	7.5	-0.01	300.91	0	0	0
Travi longitudinali	SLU 277	7.5	-0.01	293.43	7.5	-0.01	293.43	0	0	0
Travi longitudinali	SLU 278	7.5	-0.01	285.96	7.5	-0.01	285.96	0	0	0
Travi longitudinali	SLU 279	-23.07	3.26	300.91	-23.07	3.26	300.91	0	0	0
Travi longitudinali	SLU 280	-23.07	3.26	293.43	-23.07	3.26	293.43	0	0	0
Travi longitudinali	SLU 281	-23.07	3.26	285.95	-23.07	3.26	285.95	0	0	0
Travi longitudinali	SLU 282	0	0.01	-542.78	0	0.01	-542.78	0	0	0
Travi longitudinali	SLU 283	-0.01	0.01	-567.7	-0.01	0.01	-567.7	0	0	0
Travi longitudinali	SLU 284	-0.01	2.19	-844.75	-0.01	2.19	-844.75	0	0	0
Travi longitudinali	SLU 285	-0.01	2.19	-869.68	-0.01	2.19	-869.68	0	0	0
Travi longitudinali	SLU 286	-0.01	3.65	-1051.05	-0.01	3.65	-1051.05	0	0	0
Travi longitudinali	SLU 287	-0.01	3.65	-1058.53	-0.01	3.65	-1058.53	0	0	0
Travi longitudinali	SLU 288	-0.01	3.65	-1066.01	-0.01	3.65	-1066.01	0	0	0
Travi longitudinali	SLU 289	-30.57	3.28	-542.78	-30.57	3.28	-542.78	0	0	0
Travi longitudinali	SLU 290	-30.57	3.28	-567.71	-30.57	3.28	-567.71	0	0	0
Travi longitudinali	SLU 291	-30.57	5.46	-844.75	-30.57	5.46	-844.75	0	0	0
Travi longitudinali	SLU 292	-30.57	5.46	-869.68	-30.57	5.46	-869.68	0	0	0
Travi longitudinali	SLU 293	-30.57	6.91	-1051.06	-30.57	6.91	-1051.06	0	0	0
Travi longitudinali	SLU 294	-30.57	6.91	-1058.54	-30.57	6.91	-1058.54	0	0	0
Travi longitudinali	SLU 295	-30.57	6.91	-1066.01	-30.57	6.91	-1066.01	0	0	0
Travi longitudinali	SLU 296	-43.67	4.67	-547.77	-43.67	4.67	-547.77	0	0	0
Travi longitudinali	SLU 297	-43.67	4.67	-555.24	-43.67	4.67	-555.24	0	0	0
Travi longitudinali	SLU 298	-43.67	4.67	-562.72	-43.67	4.67	-562.72	0	0	0
Travi longitudinali	SLU 299	-43.67	6.85	-849.74	-43.67	6.85	-849.74	0	0	0
Travi longitudinali	SLU 300	-43.67	6.85	-857.22	-43.67	6.85	-857.22	0	0	0
Travi longitudinali	SLU 301	-43.67	6.85	-864.7	-43.67	6.85	-864.7	0	0	0
Travi longitudinali	SLU 302	0	14.86	-92.28	0	14.86	-92.28	0	0	0
Travi longitudinali	SLU 303	0	14.86	-117.21	0	14.86	-117.21	0	0	0
Travi longitudinali	SLU 304	-30.56	18.12	-92.29	-30.56	18.12	-92.29	0	0	0
Travi longitudinali	SLU 305	-30.57	18.12	-117.22	-30.57	18.12	-117.22	0	0	0
Travi longitudinali	SLU 306	-43.66	19.52	-97.27	-43.66	19.52	-97.27	0	0	0
Travi longitudinali	SLU 307	-43.66	19.52	-104.75	-43.66	19.52	-104.75	0	0	0
Travi longitudinali	SLU 308	-43.66	19.52	-112.23	-43.66	19.52	-112.23	0	0	0
Travi longitudinali	SLU 309	0	24.76	203.06	0	24.76	203.06	0	0	0

Livello	Cont.	Totale			Aste verticali			Pareti		
		N.br.	F			F			F	
Nome		X	Y	Z	X	Y	Z	X	Y	Z
Travi longitudinali	SLU 310	0	24.76	195.58	0	24.76	195.58	0	0	0
Travi longitudinali	SLU 311	0	24.76	188.1	0	24.76	188.1	0	0	0
Travi longitudinali	SLU 312	-30.56	28.02	203.05	-30.56	28.02	203.05	0	0	0
Travi longitudinali	SLU 313	-30.56	28.02	195.58	-30.56	28.02	195.58	0	0	0
Travi longitudinali	SLU 314	-30.56	28.02	188.1	-30.56	28.02	188.1	0	0	0
Travi longitudinali	SLU 315	4.5	0	-92.29	4.5	0	-92.29	0	0	0
Travi longitudinali	SLU 316	4.5	0	-117.22	4.5	0	-117.22	0	0	0
Travi longitudinali	SLU 317	-26.07	3.26	-92.29	-26.07	3.26	-92.29	0	0	0
Travi longitudinali	SLU 318	-26.07	3.26	-117.22	-26.07	3.26	-117.22	0	0	0
Travi longitudinali	SLU 319	-39.17	4.66	-97.28	-39.17	4.66	-97.28	0	0	0
Travi longitudinali	SLU 320	-39.17	4.66	-104.76	-39.17	4.66	-104.76	0	0	0
Travi longitudinali	SLU 321	-39.17	4.66	-112.24	-39.17	4.66	-112.24	0	0	0
Travi longitudinali	SLU 322	7.5	-0.01	203.05	7.5	-0.01	203.05	0	0	0
Travi longitudinali	SLU 323	7.5	-0.01	195.57	7.5	-0.01	195.57	0	0	0
Travi longitudinali	SLU 324	7.5	-0.01	188.09	7.5	-0.01	188.09	0	0	0
Travi longitudinali	SLU 325	-23.07	3.26	203.05	-23.07	3.26	203.05	0	0	0
Travi longitudinali	SLU 326	-23.07	3.26	195.57	-23.07	3.26	195.57	0	0	0
Travi longitudinali	SLU 327	-23.07	3.26	188.09	-23.07	3.26	188.09	0	0	0
Travi longitudinali	SLU 328	-0.01	0.01	-645.62	-0.01	0.01	-645.62	0	0	0
Travi longitudinali	SLU 329	-0.01	0.01	-653.1	-0.01	0.01	-653.1	0	0	0
Travi longitudinali	SLU 330	-0.01	0.01	-660.58	-0.01	0.01	-660.58	0	0	0
Travi longitudinali	SLU 331	-0.01	2.19	-947.6	-0.01	2.19	-947.6	0	0	0
Travi longitudinali	SLU 332	-0.01	2.19	-955.08	-0.01	2.19	-955.08	0	0	0
Travi longitudinali	SLU 333	-0.01	2.19	-962.56	-0.01	2.19	-962.56	0	0	0
Travi longitudinali	SLU 334	-30.57	3.28	-645.63	-30.57	3.28	-645.63	0	0	0
Travi longitudinali	SLU 335	-30.57	3.28	-653.11	-30.57	3.28	-653.11	0	0	0
Travi longitudinali	SLU 336	-30.57	3.28	-660.58	-30.57	3.28	-660.58	0	0	0
Travi longitudinali	SLU 337	-30.57	5.46	-947.6	-30.57	5.46	-947.6	0	0	0
Travi longitudinali	SLU 338	-30.57	5.46	-955.08	-30.57	5.46	-955.08	0	0	0
Travi longitudinali	SLU 339	-30.57	5.46	-962.56	-30.57	5.46	-962.56	0	0	0
Travi longitudinali	SLU 340	0	14.86	-195.13	0	14.86	-195.13	0	0	0
Travi longitudinali	SLU 341	0	14.86	-202.61	0	14.86	-202.61	0	0	0
Travi longitudinali	SLU 342	0	14.86	-210.09	0	14.86	-210.09	0	0	0
Travi longitudinali	SLU 343	-30.57	18.12	-195.14	-30.57	18.12	-195.14	0	0	0
Travi longitudinali	SLU 344	-30.57	18.12	-202.61	-30.57	18.12	-202.61	0	0	0
Travi longitudinali	SLU 345	-30.57	18.12	-210.09	-30.57	18.12	-210.09	0	0	0
Travi longitudinali	SLU 346	4.5	0	-195.14	4.5	0	-195.14	0	0	0
Travi longitudinali	SLU 347	4.5	0	-202.62	4.5	0	-202.62	0	0	0
Travi longitudinali	SLU 348	4.5	0	-210.09	4.5	0	-210.09	0	0	0
Travi longitudinali	SLU 349	-26.07	3.27	-195.14	-26.07	3.27	-195.14	0	0	0
Travi longitudinali	SLU 350	-26.07	3.27	-202.62	-26.07	3.27	-202.62	0	0	0
Travi longitudinali	SLU 351	-26.07	3.27	-210.1	-26.07	3.27	-210.1	0	0	0
Travi longitudinali	SLU 352	-0.01	0.02	-733.69	-0.01	0.02	-733.69	0	0	0
Travi longitudinali	SLU 353	-0.01	0.02	-746.15	-0.01	0.02	-746.15	0	0	0
Travi longitudinali	SLU 354	-0.01	0.02	-758.62	-0.01	0.02	-758.62	0	0	0
Travi longitudinali	SLU 355	-0.01	2.2	-1035.66	-0.01	2.2	-1035.66	0	0	0
Travi longitudinali	SLU 356	-0.01	2.2	-1060.59	-0.01	2.2	-1060.59	0	0	0
Travi longitudinali	SLU 357	-0.01	3.65	-1241.97	-0.01	3.65	-1241.97	0	0	0
Travi longitudinali	SLU 358	-0.01	3.65	-1249.45	-0.01	3.65	-1249.45	0	0	0
Travi longitudinali	SLU 359	-0.01	3.65	-1256.92	-0.01	3.65	-1256.92	0	0	0
Travi longitudinali	SLU 360	-30.57	3.28	-733.69	-30.57	3.28	-733.69	0	0	0

Livello	Cont.	Totale			Aste verticali			Pareti			
		N.br.	F			F			F		
			X	Y	Z	X	Y	Z	X	Y	Z
Travi longitudinali	SLU 361	-30.57	3.28	-758.62	-30.57	3.28	-758.62	0	0	0	
Travi longitudinali	SLU 362	-30.57	5.46	-1035.67	-30.57	5.46	-1035.67	0	0	0	
Travi longitudinali	SLU 363	-30.57	5.46	-1060.6	-30.57	5.46	-1060.6	0	0	0	
Travi longitudinali	SLU 364	-30.57	6.91	-1241.97	-30.57	6.91	-1241.97	0	0	0	
Travi longitudinali	SLU 365	-30.58	6.91	-1249.45	-30.58	6.91	-1249.45	0	0	0	
Travi longitudinali	SLU 366	-30.58	6.91	-1256.93	-30.58	6.91	-1256.93	0	0	0	
Travi longitudinali	SLU 367	-43.67	4.68	-738.68	-43.67	4.68	-738.68	0	0	0	
Travi longitudinali	SLU 368	-43.67	4.68	-746.16	-43.67	4.68	-746.16	0	0	0	
Travi longitudinali	SLU 369	-43.67	4.68	-753.64	-43.67	4.68	-753.64	0	0	0	
Travi longitudinali	SLU 370	-43.67	6.86	-1040.65	-43.67	6.86	-1040.65	0	0	0	
Travi longitudinali	SLU 371	-43.67	6.86	-1048.13	-43.67	6.86	-1048.13	0	0	0	
Travi longitudinali	SLU 372	-43.67	6.86	-1055.61	-43.67	6.86	-1055.61	0	0	0	
Travi longitudinali	SLU 373	0	14.86	-283.2	0	14.86	-283.2	0	0	0	
Travi longitudinali	SLU 374	0	14.86	-308.13	0	14.86	-308.13	0	0	0	
Travi longitudinali	SLU 375	-30.57	18.13	-283.2	-30.57	18.13	-283.2	0	0	0	
Travi longitudinali	SLU 376	-30.57	18.13	-308.13	-30.57	18.13	-308.13	0	0	0	
Travi longitudinali	SLU 377	-43.67	19.53	-288.19	-43.67	19.53	-288.19	0	0	0	
Travi longitudinali	SLU 378	-43.67	19.53	-295.67	-43.67	19.53	-295.67	0	0	0	
Travi longitudinali	SLU 379	-43.67	19.53	-303.15	-43.67	19.53	-303.15	0	0	0	
Travi longitudinali	SLU 380	0	24.76	12.14	0	24.76	12.14	0	0	0	
Travi longitudinali	SLU 381	0	24.76	4.67	0	24.76	4.67	0	0	0	
Travi longitudinali	SLU 382	0	24.76	-2.81	0	24.76	-2.81	0	0	0	
Travi longitudinali	SLU 383	-30.56	28.02	12.14	-30.56	28.02	12.14	0	0	0	
Travi longitudinali	SLU 384	-30.56	28.03	4.66	-30.56	28.03	4.66	0	0	0	
Travi longitudinali	SLU 385	-30.56	28.03	-2.82	-30.56	28.03	-2.82	0	0	0	
Travi longitudinali	SLU 386	4.5	0.01	-283.2	4.5	0.01	-283.2	0	0	0	
Travi longitudinali	SLU 387	4.49	0.01	-308.13	4.49	0.01	-308.13	0	0	0	
Travi longitudinali	SLU 388	-26.07	3.27	-283.2	-26.07	3.27	-283.2	0	0	0	
Travi longitudinali	SLU 389	-26.07	3.27	-308.13	-26.07	3.27	-308.13	0	0	0	
Travi longitudinali	SLU 390	-39.17	4.67	-288.19	-39.17	4.67	-288.19	0	0	0	
Travi longitudinali	SLU 391	-39.17	4.67	-295.67	-39.17	4.67	-295.67	0	0	0	
Travi longitudinali	SLU 392	-39.17	4.67	-303.15	-39.17	4.67	-303.15	0	0	0	
Travi longitudinali	SLU 393	7.5	0	12.14	7.5	0	12.14	0	0	0	
Travi longitudinali	SLU 394	7.5	0	4.66	7.5	0	4.66	0	0	0	
Travi longitudinali	SLU 395	7.5	0	-2.82	7.5	0	-2.82	0	0	0	
Travi longitudinali	SLU 396	-23.07	3.26	12.13	-23.07	3.26	12.13	0	0	0	
Travi longitudinali	SLU 397	-23.07	3.26	4.66	-23.07	3.26	4.66	0	0	0	
Travi longitudinali	SLU 398	-23.07	3.26	-2.82	-23.07	3.26	-2.82	0	0	0	
Travi longitudinali	SLU 399	-0.01	0.02	-831.55	-0.01	0.02	-831.55	0	0	0	
Travi longitudinali	SLU 400	-0.01	0.02	-856.48	-0.01	0.02	-856.48	0	0	0	
Travi longitudinali	SLU 401	-0.01	2.2	-1133.53	-0.01	2.2	-1133.53	0	0	0	
Travi longitudinali	SLU 402	-0.01	2.2	-1158.46	-0.01	2.2	-1158.46	0	0	0	
Travi longitudinali	SLU 403	-0.01	3.65	-1339.83	-0.01	3.65	-1339.83	0	0	0	
Travi longitudinali	SLU 404	-0.01	3.65	-1347.31	-0.01	3.65	-1347.31	0	0	0	
Travi longitudinali	SLU 405	-0.01	3.65	-1354.79	-0.01	3.65	-1354.79	0	0	0	
Travi longitudinali	SLU 406	-30.57	3.28	-831.55	-30.57	3.28	-831.55	0	0	0	
Travi longitudinali	SLU 407	-30.57	3.28	-856.48	-30.57	3.28	-856.48	0	0	0	
Travi longitudinali	SLU 408	-30.57	5.46	-1133.53	-30.57	5.46	-1133.53	0	0	0	
Travi longitudinali	SLU 409	-30.58	5.46	-1158.46	-30.58	5.46	-1158.46	0	0	0	
Travi longitudinali	SLU 410	-30.58	6.92	-1339.83	-30.58	6.92	-1339.83	0	0	0	
Travi longitudinali	SLU 411	-30.58	6.92	-1347.31	-30.58	6.92	-1347.31	0	0	0	

Livello	Cont.	Totale			Aste verticali			Pareti				
		Nome	N.br.	F			F			F		
				X	Y	Z	X	Y	Z	X	Y	Z
Travi longitudinali	SLU 412	-30.58	6.92	-1354.79	-30.58	6.92	-1354.79	0	0	0		
Travi longitudinali	SLU 413	-43.67	4.68	-836.54	-43.67	4.68	-836.54	0	0	0		
Travi longitudinali	SLU 414	-43.67	4.68	-844.02	-43.67	4.68	-844.02	0	0	0		
Travi longitudinali	SLU 415	-43.67	4.68	-851.5	-43.67	4.68	-851.5	0	0	0		
Travi longitudinali	SLU 416	-43.67	6.86	-1138.52	-43.67	6.86	-1138.52	0	0	0		
Travi longitudinali	SLU 417	-43.67	6.86	-1146	-43.67	6.86	-1146	0	0	0		
Travi longitudinali	SLU 418	-43.67	6.86	-1153.47	-43.67	6.86	-1153.47	0	0	0		
Travi longitudinali	SLU 419	0	14.86	-381.06	0	14.86	-381.06	0	0	0		
Travi longitudinali	SLU 420	0	14.86	-405.99	0	14.86	-405.99	0	0	0		
Travi longitudinali	SLU 421	-30.57	18.13	-381.06	-30.57	18.13	-381.06	0	0	0		
Travi longitudinali	SLU 422	-30.57	18.13	-405.99	-30.57	18.13	-405.99	0	0	0		
Travi longitudinali	SLU 423	-43.67	19.53	-386.05	-43.67	19.53	-386.05	0	0	0		
Travi longitudinali	SLU 424	-43.67	19.53	-393.53	-43.67	19.53	-393.53	0	0	0		
Travi longitudinali	SLU 425	-43.67	19.53	-401.01	-43.67	19.53	-401.01	0	0	0		
Travi longitudinali	SLU 426	0	24.76	-85.72	0	24.76	-85.72	0	0	0		
Travi longitudinali	SLU 427	0	24.76	-93.2	0	24.76	-93.2	0	0	0		
Travi longitudinali	SLU 428	0	24.76	-100.68	0	24.76	-100.68	0	0	0		
Travi longitudinali	SLU 429	-30.56	28.03	-85.72	-30.56	28.03	-85.72	0	0	0		
Travi longitudinali	SLU 430	-30.56	28.03	-93.2	-30.56	28.03	-93.2	0	0	0		
Travi longitudinali	SLU 431	-30.57	28.03	-100.68	-30.57	28.03	-100.68	0	0	0		
Travi longitudinali	SLU 432	4.5	0.01	-381.06	4.5	0.01	-381.06	0	0	0		
Travi longitudinali	SLU 433	4.49	0.01	-405.99	4.49	0.01	-405.99	0	0	0		
Travi longitudinali	SLU 434	-26.07	3.27	-381.07	-26.07	3.27	-381.07	0	0	0		
Travi longitudinali	SLU 435	-26.07	3.27	-406	-26.07	3.27	-406	0	0	0		
Travi longitudinali	SLU 436	-39.17	4.67	-386.05	-39.17	4.67	-386.05	0	0	0		
Travi longitudinali	SLU 437	-39.17	4.67	-393.53	-39.17	4.67	-393.53	0	0	0		
Travi longitudinali	SLU 438	-39.17	4.67	-401.01	-39.17	4.67	-401.01	0	0	0		
Travi longitudinali	SLU 439	7.5	0	-85.72	7.5	0	-85.72	0	0	0		
Travi longitudinali	SLU 440	7.5	0	-93.2	7.5	0	-93.2	0	0	0		
Travi longitudinali	SLU 441	7.49	0	-100.68	7.49	0	-100.68	0	0	0		
Travi longitudinali	SLU 442	-23.07	3.26	-85.73	-23.07	3.26	-85.73	0	0	0		
Travi longitudinali	SLU 443	-23.07	3.26	-93.21	-23.07	3.26	-93.21	0	0	0		
Travi longitudinali	SLU 444	-23.07	3.26	-100.69	-23.07	3.26	-100.69	0	0	0		
Travi longitudinali	SLU 445	-0.01	0.02	-934.4	-0.01	0.02	-934.4	0	0	0		
Travi longitudinali	SLU 446	-0.01	0.02	-941.88	-0.01	0.02	-941.88	0	0	0		
Travi longitudinali	SLU 447	-0.01	0.02	-949.36	-0.01	0.02	-949.36	0	0	0		
Travi longitudinali	SLU 448	-0.01	2.2	-1236.38	-0.01	2.2	-1236.38	0	0	0		
Travi longitudinali	SLU 449	-0.01	2.2	-1243.85	-0.01	2.2	-1243.85	0	0	0		
Travi longitudinali	SLU 450	-0.01	2.2	-1251.33	-0.01	2.2	-1251.33	0	0	0		
Travi longitudinali	SLU 451	-30.57	3.28	-934.4	-30.57	3.28	-934.4	0	0	0		
Travi longitudinali	SLU 452	-30.57	3.28	-941.88	-30.57	3.28	-941.88	0	0	0		
Travi longitudinali	SLU 453	-30.57	3.28	-949.36	-30.57	3.28	-949.36	0	0	0		
Travi longitudinali	SLU 454	-30.58	5.46	-1236.38	-30.58	5.46	-1236.38	0	0	0		
Travi longitudinali	SLU 455	-30.58	5.46	-1243.86	-30.58	5.46	-1243.86	0	0	0		
Travi longitudinali	SLU 456	-30.58	5.46	-1251.34	-30.58	5.46	-1251.34	0	0	0		
Travi longitudinali	SLU 457	0	14.87	-483.91	0	14.87	-483.91	0	0	0		
Travi longitudinali	SLU 458	0	14.87	-491.39	0	14.87	-491.39	0	0	0		
Travi longitudinali	SLU 459	0	14.87	-498.87	0	14.87	-498.87	0	0	0		
Travi longitudinali	SLU 460	-30.57	18.13	-483.91	-30.57	18.13	-483.91	0	0	0		
Travi longitudinali	SLU 461	-30.57	18.13	-491.39	-30.57	18.13	-491.39	0	0	0		
Travi longitudinali	SLU 462	-30.57	18.13	-498.87	-30.57	18.13	-498.87	0	0	0		

Livello	Cont.	Totale			Aste verticali			Pareti		
		N.br.	F			F			F	
Nome		X	Y	Z	X	Y	Z	X	Y	Z
Travi longitudinali	SLU 463	4.49	0.01	-483.91	4.49	0.01	-483.91	0	0	0
Travi longitudinali	SLU 464	4.49	0.01	-491.39	4.49	0.01	-491.39	0	0	0
Travi longitudinali	SLU 465	4.49	0.01	-498.87	4.49	0.01	-498.87	0	0	0
Travi longitudinali	SLU 466	-26.07	3.27	-483.92	-26.07	3.27	-483.92	0	0	0
Travi longitudinali	SLU 467	-26.07	3.27	-491.39	-26.07	3.27	-491.39	0	0	0
Travi longitudinali	SLU 468	-26.07	3.27	-498.87	-26.07	3.27	-498.87	0	0	0
Travi longitudinali	SLE RA 1	0	0.01	-502.19	0	0.01	-502.19	0	0	0
Travi longitudinali	SLE RA 2	0	0.01	-510.5	0	0.01	-510.5	0	0	0
Travi longitudinali	SLE RA 3	-0.01	0.01	-518.81	-0.01	0.01	-518.81	0	0	0
Travi longitudinali	SLE RA 4	-0.01	1.46	-703.5	-0.01	1.46	-703.5	0	0	0
Travi longitudinali	SLE RA 5	-0.01	1.46	-720.12	-0.01	1.46	-720.12	0	0	0
Travi longitudinali	SLE RA 6	-0.01	2.43	-841.04	-0.01	2.43	-841.04	0	0	0
Travi longitudinali	SLE RA 7	-0.01	2.43	-846.03	-0.01	2.43	-846.03	0	0	0
Travi longitudinali	SLE RA 8	-0.01	2.43	-851.01	-0.01	2.43	-851.01	0	0	0
Travi longitudinali	SLE RA 9	-20.38	2.19	-502.19	-20.38	2.19	-502.19	0	0	0
Travi longitudinali	SLE RA 10	-20.38	2.19	-518.81	-20.38	2.19	-518.81	0	0	0
Travi longitudinali	SLE RA 11	-20.38	3.64	-703.51	-20.38	3.64	-703.51	0	0	0
Travi longitudinali	SLE RA 12	-20.38	3.64	-720.13	-20.38	3.64	-720.13	0	0	0
Travi longitudinali	SLE RA 13	-20.38	4.61	-841.04	-20.38	4.61	-841.04	0	0	0
Travi longitudinali	SLE RA 14	-20.38	4.61	-846.03	-20.38	4.61	-846.03	0	0	0
Travi longitudinali	SLE RA 15	-20.38	4.61	-851.01	-20.38	4.61	-851.01	0	0	0
Travi longitudinali	SLE RA 16	-29.11	3.12	-505.51	-29.11	3.12	-505.51	0	0	0
Travi longitudinali	SLE RA 17	-29.11	3.12	-510.5	-29.11	3.12	-510.5	0	0	0
Travi longitudinali	SLE RA 18	-29.11	3.12	-515.49	-29.11	3.12	-515.49	0	0	0
Travi longitudinali	SLE RA 19	-29.12	4.57	-706.83	-29.12	4.57	-706.83	0	0	0
Travi longitudinali	SLE RA 20	-29.12	4.57	-711.82	-29.12	4.57	-711.82	0	0	0
Travi longitudinali	SLE RA 21	-29.12	4.57	-716.8	-29.12	4.57	-716.8	0	0	0
Travi longitudinali	SLE RA 22	0	9.91	-201.86	0	9.91	-201.86	0	0	0
Travi longitudinali	SLE RA 23	0	9.91	-218.48	0	9.91	-218.48	0	0	0
Travi longitudinali	SLE RA 24	-20.38	12.08	-201.86	-20.38	12.08	-201.86	0	0	0
Travi longitudinali	SLE RA 25	-20.38	12.08	-218.48	-20.38	12.08	-218.48	0	0	0
Travi longitudinali	SLE RA 26	-29.11	13.02	-205.19	-29.11	13.02	-205.19	0	0	0
Travi longitudinali	SLE RA 27	-29.11	13.02	-210.17	-29.11	13.02	-210.17	0	0	0
Travi longitudinali	SLE RA 28	-29.11	13.02	-215.16	-29.11	13.02	-215.16	0	0	0
Travi longitudinali	SLE RA 29	0	16.51	-4.96	0	16.51	-4.96	0	0	0
Travi longitudinali	SLE RA 30	0	16.51	-9.95	0	16.51	-9.95	0	0	0
Travi longitudinali	SLE RA 31	0	16.51	-14.94	0	16.51	-14.94	0	0	0
Travi longitudinali	SLE RA 32	-20.38	18.68	-4.97	-20.38	18.68	-4.97	0	0	0
Travi longitudinali	SLE RA 33	-20.38	18.68	-9.95	-20.38	18.68	-9.95	0	0	0
Travi longitudinali	SLE RA 34	-20.38	18.68	-14.94	-20.38	18.68	-14.94	0	0	0
Travi longitudinali	SLE RA 35	3	0	-201.86	3	0	-201.86	0	0	0
Travi longitudinali	SLE RA 36	3	0	-218.48	3	0	-218.48	0	0	0
Travi longitudinali	SLE RA 37	-17.38	2.18	-201.86	-17.38	2.18	-201.86	0	0	0
Travi longitudinali	SLE RA 38	-17.38	2.18	-218.48	-17.38	2.18	-218.48	0	0	0
Travi longitudinali	SLE RA 39	-26.11	3.11	-205.19	-26.11	3.11	-205.19	0	0	0
Travi longitudinali	SLE RA 40	-26.11	3.11	-210.18	-26.11	3.11	-210.18	0	0	0
Travi longitudinali	SLE RA 41	-26.11	3.11	-215.16	-26.11	3.11	-215.16	0	0	0
Travi longitudinali	SLE RA 42	5	0	-4.97	5	0	-4.97	0	0	0
Travi longitudinali	SLE RA 43	5	0	-9.96	5	0	-9.96	0	0	0
Travi longitudinali	SLE RA 44	5	0	-14.94	5	0	-14.94	0	0	0
Travi longitudinali	SLE RA 45	-15.38	2.17	-4.97	-15.38	2.17	-4.97	0	0	0

Livello	Cont.	Totale			Aste verticali			Pareti		
		N.br.	F			F			F	
Nome		X	Y	Z	X	Y	Z	X	Y	Z
Travi longitudinali	SLE RA 46	-15.38	2.17	-9.96	-15.38	2.17	-9.96	0	0	0
Travi longitudinali	SLE RA 47	-15.38	2.17	-14.94	-15.38	2.17	-14.94	0	0	0
Travi longitudinali	SLE RA 48	0	0.01	-567.43	0	0.01	-567.43	0	0	0
Travi longitudinali	SLE RA 49	-0.01	0.01	-584.05	-0.01	0.01	-584.05	0	0	0
Travi longitudinali	SLE RA 50	-0.01	1.47	-768.75	-0.01	1.47	-768.75	0	0	0
Travi longitudinali	SLE RA 51	-0.01	1.47	-785.37	-0.01	1.47	-785.37	0	0	0
Travi longitudinali	SLE RA 52	-0.01	2.43	-906.28	-0.01	2.43	-906.28	0	0	0
Travi longitudinali	SLE RA 53	-0.01	2.43	-911.27	-0.01	2.43	-911.27	0	0	0
Travi longitudinali	SLE RA 54	-0.01	2.43	-916.25	-0.01	2.43	-916.25	0	0	0
Travi longitudinali	SLE RA 55	-20.38	2.19	-567.43	-20.38	2.19	-567.43	0	0	0
Travi longitudinali	SLE RA 56	-20.38	2.19	-584.05	-20.38	2.19	-584.05	0	0	0
Travi longitudinali	SLE RA 57	-20.38	3.64	-768.75	-20.38	3.64	-768.75	0	0	0
Travi longitudinali	SLE RA 58	-20.38	3.64	-785.37	-20.38	3.64	-785.37	0	0	0
Travi longitudinali	SLE RA 59	-20.38	4.61	-906.28	-20.38	4.61	-906.28	0	0	0
Travi longitudinali	SLE RA 60	-20.38	4.61	-911.27	-20.38	4.61	-911.27	0	0	0
Travi longitudinali	SLE RA 61	-20.38	4.61	-916.25	-20.38	4.61	-916.25	0	0	0
Travi longitudinali	SLE RA 62	-29.11	3.12	-570.76	-29.11	3.12	-570.76	0	0	0
Travi longitudinali	SLE RA 63	-29.11	3.12	-575.74	-29.11	3.12	-575.74	0	0	0
Travi longitudinali	SLE RA 64	-29.11	3.12	-580.73	-29.11	3.12	-580.73	0	0	0
Travi longitudinali	SLE RA 65	-29.12	4.57	-772.07	-29.12	4.57	-772.07	0	0	0
Travi longitudinali	SLE RA 66	-29.12	4.57	-777.06	-29.12	4.57	-777.06	0	0	0
Travi longitudinali	SLE RA 67	-29.12	4.57	-782.04	-29.12	4.57	-782.04	0	0	0
Travi longitudinali	SLE RA 68	0	9.91	-267.1	0	9.91	-267.1	0	0	0
Travi longitudinali	SLE RA 69	0	9.91	-283.72	0	9.91	-283.72	0	0	0
Travi longitudinali	SLE RA 70	-20.38	12.09	-267.1	-20.38	12.09	-267.1	0	0	0
Travi longitudinali	SLE RA 71	-20.38	12.09	-283.72	-20.38	12.09	-283.72	0	0	0
Travi longitudinali	SLE RA 72	-29.11	13.02	-270.43	-29.11	13.02	-270.43	0	0	0
Travi longitudinali	SLE RA 73	-29.11	13.02	-275.41	-29.11	13.02	-275.41	0	0	0
Travi longitudinali	SLE RA 74	-29.11	13.02	-280.4	-29.11	13.02	-280.4	0	0	0
Travi longitudinali	SLE RA 75	0	16.51	-70.21	0	16.51	-70.21	0	0	0
Travi longitudinali	SLE RA 76	0	16.51	-75.19	0	16.51	-75.19	0	0	0
Travi longitudinali	SLE RA 77	0	16.51	-80.18	0	16.51	-80.18	0	0	0
Travi longitudinali	SLE RA 78	-20.38	18.68	-70.21	-20.38	18.68	-70.21	0	0	0
Travi longitudinali	SLE RA 79	-20.38	18.68	-75.19	-20.38	18.68	-75.19	0	0	0
Travi longitudinali	SLE RA 80	-20.38	18.68	-80.18	-20.38	18.68	-80.18	0	0	0
Travi longitudinali	SLE RA 81	3	0.01	-267.1	3	0.01	-267.1	0	0	0
Travi longitudinali	SLE RA 82	3	0.01	-283.72	3	0.01	-283.72	0	0	0
Travi longitudinali	SLE RA 83	-17.38	2.18	-267.11	-17.38	2.18	-267.11	0	0	0
Travi longitudinali	SLE RA 84	-17.38	2.18	-283.73	-17.38	2.18	-283.73	0	0	0
Travi longitudinali	SLE RA 85	-26.11	3.11	-270.43	-26.11	3.11	-270.43	0	0	0
Travi longitudinali	SLE RA 86	-26.11	3.11	-275.42	-26.11	3.11	-275.42	0	0	0
Travi longitudinali	SLE RA 87	-26.11	3.11	-280.4	-26.11	3.11	-280.4	0	0	0
Travi longitudinali	SLE RA 88	5	0	-70.21	5	0	-70.21	0	0	0
Travi longitudinali	SLE RA 89	5	0	-75.2	5	0	-75.2	0	0	0
Travi longitudinali	SLE RA 90	5	0	-80.18	5	0	-80.18	0	0	0
Travi longitudinali	SLE RA 91	-15.38	2.18	-70.21	-15.38	2.18	-70.21	0	0	0
Travi longitudinali	SLE RA 92	-15.38	2.18	-75.2	-15.38	2.18	-75.2	0	0	0
Travi longitudinali	SLE RA 93	-15.38	2.18	-80.19	-15.38	2.18	-80.19	0	0	0
Travi longitudinali	SLE RA 94	-0.01	0.01	-635.99	-0.01	0.01	-635.99	0	0	0
Travi longitudinali	SLE RA 95	-0.01	0.01	-640.98	-0.01	0.01	-640.98	0	0	0
Travi longitudinali	SLE RA 96	-0.01	0.01	-645.97	-0.01	0.01	-645.97	0	0	0

Livello	Cont.	Totale			Aste verticali			Pareti		
		N.br.	F			F			F	
Nome		X	Y	Z	X	Y	Z	X	Y	Z
Travi longitudinali	SLE RA 97	-0.01	1.47	-837.31	-0.01	1.47	-837.31	0	0	0
Travi longitudinali	SLE RA 98	-0.01	1.47	-842.3	-0.01	1.47	-842.3	0	0	0
Travi longitudinali	SLE RA 99	-0.01	1.47	-847.28	-0.01	1.47	-847.28	0	0	0
Travi longitudinali	SLE RA 100	-20.38	2.19	-636	-20.38	2.19	-636	0	0	0
Travi longitudinali	SLE RA 101	-20.38	2.19	-640.98	-20.38	2.19	-640.98	0	0	0
Travi longitudinali	SLE RA 102	-20.38	2.19	-645.97	-20.38	2.19	-645.97	0	0	0
Travi longitudinali	SLE RA 103	-20.38	3.64	-837.31	-20.38	3.64	-837.31	0	0	0
Travi longitudinali	SLE RA 104	-20.38	3.64	-842.3	-20.38	3.64	-842.3	0	0	0
Travi longitudinali	SLE RA 105	-20.38	3.64	-847.29	-20.38	3.64	-847.29	0	0	0
Travi longitudinali	SLE RA 106	0	9.91	-335.67	0	9.91	-335.67	0	0	0
Travi longitudinali	SLE RA 107	0	9.91	-340.65	0	9.91	-340.65	0	0	0
Travi longitudinali	SLE RA 108	0	9.91	-345.64	0	9.91	-345.64	0	0	0
Travi longitudinali	SLE RA 109	-20.38	12.09	-335.67	-20.38	12.09	-335.67	0	0	0
Travi longitudinali	SLE RA 110	-20.38	12.09	-340.65	-20.38	12.09	-340.65	0	0	0
Travi longitudinali	SLE RA 111	-20.38	12.09	-345.64	-20.38	12.09	-345.64	0	0	0
Travi longitudinali	SLE RA 112	3	0.01	-335.67	3	0.01	-335.67	0	0	0
Travi longitudinali	SLE RA 113	3	0.01	-340.66	3	0.01	-340.66	0	0	0
Travi longitudinali	SLE RA 114	3	0.01	-345.64	3	0.01	-345.64	0	0	0
Travi longitudinali	SLE RA 115	-17.38	2.18	-335.67	-17.38	2.18	-335.67	0	0	0
Travi longitudinali	SLE RA 116	-17.38	2.18	-340.66	-17.38	2.18	-340.66	0	0	0
Travi longitudinali	SLE RA 117	-17.38	2.18	-345.64	-17.38	2.18	-345.64	0	0	0
Travi longitudinali	SLE FR 1	0	0.01	-506.34	0	0.01	-506.34	0	0	0
Travi longitudinali	SLE FR 2	0	0.01	-510.5	0	0.01	-510.5	0	0	0
Travi longitudinali	SLE FR 3	0	0.01	-514.65	0	0.01	-514.65	0	0	0
Travi longitudinali	SLE FR 4	-0.01	0.49	-577.6	-0.01	0.49	-577.6	0	0	0
Travi longitudinali	SLE FR 5	-17.47	1.88	-506.34	-17.47	1.88	-506.34	0	0	0
Travi longitudinali	SLE FR 6	-17.47	1.88	-514.65	-17.47	1.88	-514.65	0	0	0
Travi longitudinali	SLE FR 7	-17.47	2.36	-577.6	-17.47	2.36	-577.6	0	0	0
Travi longitudinali	SLE FR 8	-20.38	2.19	-510.5	-20.38	2.19	-510.5	0	0	0
Travi longitudinali	SLE FR 9	0	3.31	-410.39	0	3.31	-410.39	0	0	0
Travi longitudinali	SLE FR 10	-17.47	5.18	-410.39	-17.47	5.18	-410.39	0	0	0
Travi longitudinali	SLE FR 11	1	0.01	-410.39	1	0.01	-410.39	0	0	0
Travi longitudinali	SLE FR 12	-16.47	1.87	-410.39	-16.47	1.87	-410.39	0	0	0
Travi longitudinali	SLE FR 13	0	0.01	-536.59	0	0.01	-536.59	0	0	0
Travi longitudinali	SLE FR 14	-17.47	1.88	-536.6	-17.47	1.88	-536.6	0	0	0
Travi longitudinali	SLE QP 1	0	0.01	-510.5	0	0.01	-510.5	0	0	0
Travi longitudinali	SLE QP 2	-17.47	1.88	-510.5	-17.47	1.88	-510.5	0	0	0
Travi longitudinali	SLO 1	-23.37	0.05	-510.9	-23.37	0.05	-510.9	0	0	0
Travi longitudinali	SLO 2	-23.37	0.05	-510.9	-23.37	0.05	-510.9	0	0	0
Travi longitudinali	SLO 3	-23.37	0.05	-510.9	-23.37	0.05	-510.9	0	0	0
Travi longitudinali	SLO 4	-23.37	0.05	-510.9	-23.37	0.05	-510.9	0	0	0
Travi longitudinali	SLO 5	-22.29	4.52	-510.24	-22.29	4.52	-510.24	0	0	0
Travi longitudinali	SLO 6	-22.29	4.52	-510.24	-22.29	4.52	-510.24	0	0	0
Travi longitudinali	SLO 7	-22.29	4.52	-510.24	-22.29	4.52	-510.24	0	0	0
Travi longitudinali	SLO 8	-22.29	4.52	-510.24	-22.29	4.52	-510.24	0	0	0
Travi longitudinali	SLO 9	-20.88	-5.45	-511.62	-20.88	-5.45	-511.62	0	0	0
Travi longitudinali	SLO 10	-20.88	-5.45	-511.62	-20.88	-5.45	-511.62	0	0	0
Travi longitudinali	SLO 11	-20.88	-5.45	-511.62	-20.88	-5.45	-511.62	0	0	0
Travi longitudinali	SLO 12	-20.88	-5.45	-511.62	-20.88	-5.45	-511.62	0	0	0
Travi longitudinali	SLO 13	-17.28	9.45	-509.42	-17.28	9.45	-509.42	0	0	0
Travi longitudinali	SLO 14	-17.28	9.45	-509.42	-17.28	9.45	-509.42	0	0	0

Livello	Cont.	Totale			Aste verticali			Pareti				
		Nome	N.br.	F			F			F		
				X	Y	Z	X	Y	Z	X	Y	Z
Travi longitudinali	SLO 15	-17.28	9.45	-509.42	-17.28	9.45	-509.42	0	0	0		
Travi longitudinali	SLO 16	-17.28	9.45	-509.42	-17.28	9.45	-509.42	0	0	0		
Travi longitudinali	SLO 17	-17.66	-5.7	-511.58	-17.66	-5.7	-511.58	0	0	0		
Travi longitudinali	SLO 18	-17.66	-5.7	-511.58	-17.66	-5.7	-511.58	0	0	0		
Travi longitudinali	SLO 19	-17.66	-5.7	-511.58	-17.66	-5.7	-511.58	0	0	0		
Travi longitudinali	SLO 20	-17.66	-5.7	-511.58	-17.66	-5.7	-511.58	0	0	0		
Travi longitudinali	SLO 21	-14.06	9.2	-509.38	-14.06	9.2	-509.38	0	0	0		
Travi longitudinali	SLO 22	-14.06	9.2	-509.38	-14.06	9.2	-509.38	0	0	0		
Travi longitudinali	SLO 23	-14.06	9.2	-509.38	-14.06	9.2	-509.38	0	0	0		
Travi longitudinali	SLO 24	-14.06	9.2	-509.38	-14.06	9.2	-509.38	0	0	0		
Travi longitudinali	SLO 25	-12.65	-0.77	-510.75	-12.65	-0.77	-510.75	0	0	0		
Travi longitudinali	SLO 26	-12.65	-0.77	-510.75	-12.65	-0.77	-510.75	0	0	0		
Travi longitudinali	SLO 27	-12.65	-0.77	-510.75	-12.65	-0.77	-510.75	0	0	0		
Travi longitudinali	SLO 28	-12.65	-0.77	-510.75	-12.65	-0.77	-510.75	0	0	0		
Travi longitudinali	SLO 29	-11.57	3.7	-510.09	-11.57	3.7	-510.09	0	0	0		
Travi longitudinali	SLO 30	-11.57	3.7	-510.09	-11.57	3.7	-510.09	0	0	0		
Travi longitudinali	SLO 31	-11.57	3.7	-510.09	-11.57	3.7	-510.09	0	0	0		
Travi longitudinali	SLO 32	-11.57	3.7	-510.09	-11.57	3.7	-510.09	0	0	0		
Travi longitudinali	SLD 1	-24.72	-0.38	-510.98	-24.72	-0.38	-510.98	0	0	0		
Travi longitudinali	SLD 2	-24.72	-0.38	-510.98	-24.72	-0.38	-510.98	0	0	0		
Travi longitudinali	SLD 3	-24.72	-0.38	-510.98	-24.72	-0.38	-510.98	0	0	0		
Travi longitudinali	SLD 4	-24.72	-0.38	-510.98	-24.72	-0.38	-510.98	0	0	0		
Travi longitudinali	SLD 5	-23.46	5.09	-510.21	-23.46	5.09	-510.21	0	0	0		
Travi longitudinali	SLD 6	-23.46	5.09	-510.21	-23.46	5.09	-510.21	0	0	0		
Travi longitudinali	SLD 7	-23.46	5.09	-510.21	-23.46	5.09	-510.21	0	0	0		
Travi longitudinali	SLD 8	-23.46	5.09	-510.21	-23.46	5.09	-510.21	0	0	0		
Travi longitudinali	SLD 9	-21.55	-7.09	-511.81	-21.55	-7.09	-511.81	0	0	0		
Travi longitudinali	SLD 10	-21.55	-7.09	-511.81	-21.55	-7.09	-511.81	0	0	0		
Travi longitudinali	SLD 11	-21.55	-7.09	-511.81	-21.55	-7.09	-511.81	0	0	0		
Travi longitudinali	SLD 12	-21.55	-7.09	-511.81	-21.55	-7.09	-511.81	0	0	0		
Travi longitudinali	SLD 13	-17.36	11.13	-509.24	-17.36	11.13	-509.24	0	0	0		
Travi longitudinali	SLD 14	-17.36	11.13	-509.24	-17.36	11.13	-509.24	0	0	0		
Travi longitudinali	SLD 15	-17.36	11.13	-509.24	-17.36	11.13	-509.24	0	0	0		
Travi longitudinali	SLD 16	-17.36	11.13	-509.24	-17.36	11.13	-509.24	0	0	0		
Travi longitudinali	SLD 17	-17.58	-7.38	-511.76	-17.58	-7.38	-511.76	0	0	0		
Travi longitudinali	SLD 18	-17.58	-7.38	-511.76	-17.58	-7.38	-511.76	0	0	0		
Travi longitudinali	SLD 19	-17.58	-7.38	-511.76	-17.58	-7.38	-511.76	0	0	0		
Travi longitudinali	SLD 20	-17.58	-7.38	-511.76	-17.58	-7.38	-511.76	0	0	0		
Travi longitudinali	SLD 21	-13.39	10.84	-509.19	-13.39	10.84	-509.19	0	0	0		
Travi longitudinali	SLD 22	-13.39	10.84	-509.19	-13.39	10.84	-509.19	0	0	0		
Travi longitudinali	SLD 23	-13.39	10.84	-509.19	-13.39	10.84	-509.19	0	0	0		
Travi longitudinali	SLD 24	-13.39	10.84	-509.19	-13.39	10.84	-509.19	0	0	0		
Travi longitudinali	SLD 25	-11.48	-1.34	-510.79	-11.48	-1.34	-510.79	0	0	0		
Travi longitudinali	SLD 26	-11.48	-1.34	-510.79	-11.48	-1.34	-510.79	0	0	0		
Travi longitudinali	SLD 27	-11.48	-1.34	-510.79	-11.48	-1.34	-510.79	0	0	0		
Travi longitudinali	SLD 28	-11.48	-1.34	-510.79	-11.48	-1.34	-510.79	0	0	0		
Travi longitudinali	SLD 29	-10.22	4.13	-510.02	-10.22	4.13	-510.02	0	0	0		
Travi longitudinali	SLD 30	-10.22	4.13	-510.02	-10.22	4.13	-510.02	0	0	0		
Travi longitudinali	SLD 31	-10.22	4.13	-510.02	-10.22	4.13	-510.02	0	0	0		
Travi longitudinali	SLD 32	-10.22	4.13	-510.02	-10.22	4.13	-510.02	0	0	0		
Travi longitudinali	SLV 1	-36.45	-4.08	-511.6	-36.45	-4.08	-511.6	0	0	0		

Livello Nome	Cont. N.br.	Totale			Aste verticali			Pareti		
		F			F			F		
		X	Y	Z	X	Y	Z	X	Y	Z
Travi longitudinali	SLV 2	-36.45	-4.08	-511.6	-36.45	-4.08	-511.6	0	0	0
Travi longitudinali	SLV 3	-36.45	-4.08	-511.6	-36.45	-4.08	-511.6	0	0	0
Travi longitudinali	SLV 4	-36.45	-4.08	-511.6	-36.45	-4.08	-511.6	0	0	0
Travi longitudinali	SLV 5	-33.65	9.95	-509.89	-33.65	9.95	-509.89	0	0	0
Travi longitudinali	SLV 6	-33.65	9.95	-509.89	-33.65	9.95	-509.89	0	0	0
Travi longitudinali	SLV 7	-33.65	9.95	-509.89	-33.65	9.95	-509.89	0	0	0
Travi longitudinali	SLV 8	-33.65	9.95	-509.89	-33.65	9.95	-509.89	0	0	0
Travi longitudinali	SLV 9	-27.4	-21.19	-513.43	-27.4	-21.19	-513.43	0	0	0
Travi longitudinali	SLV 10	-27.4	-21.19	-513.43	-27.4	-21.19	-513.43	0	0	0
Travi longitudinali	SLV 11	-27.4	-21.19	-513.43	-27.4	-21.19	-513.43	0	0	0
Travi longitudinali	SLV 12	-27.4	-21.19	-513.43	-27.4	-21.19	-513.43	0	0	0
Travi longitudinali	SLV 13	-18.08	25.57	-507.72	-18.08	25.57	-507.72	0	0	0
Travi longitudinali	SLV 14	-18.08	25.57	-507.72	-18.08	25.57	-507.72	0	0	0
Travi longitudinali	SLV 15	-18.08	25.57	-507.72	-18.08	25.57	-507.72	0	0	0
Travi longitudinali	SLV 16	-18.08	25.57	-507.72	-18.08	25.57	-507.72	0	0	0
Travi longitudinali	SLV 17	-16.86	-21.82	-513.28	-16.86	-21.82	-513.28	0	0	0
Travi longitudinali	SLV 18	-16.86	-21.82	-513.28	-16.86	-21.82	-513.28	0	0	0
Travi longitudinali	SLV 19	-16.86	-21.82	-513.28	-16.86	-21.82	-513.28	0	0	0
Travi longitudinali	SLV 20	-16.86	-21.82	-513.28	-16.86	-21.82	-513.28	0	0	0
Travi longitudinali	SLV 21	-7.54	24.94	-507.57	-7.54	24.94	-507.57	0	0	0
Travi longitudinali	SLV 22	-7.54	24.94	-507.57	-7.54	24.94	-507.57	0	0	0
Travi longitudinali	SLV 23	-7.54	24.94	-507.57	-7.54	24.94	-507.57	0	0	0
Travi longitudinali	SLV 24	-7.54	24.94	-507.57	-7.54	24.94	-507.57	0	0	0
Travi longitudinali	SLV 25	-1.29	-6.2	-511.11	-1.29	-6.2	-511.11	0	0	0
Travi longitudinali	SLV 26	-1.29	-6.2	-511.11	-1.29	-6.2	-511.11	0	0	0
Travi longitudinali	SLV 27	-1.29	-6.2	-511.11	-1.29	-6.2	-511.11	0	0	0
Travi longitudinali	SLV 28	-1.29	-6.2	-511.11	-1.29	-6.2	-511.11	0	0	0
Travi longitudinali	SLV 29	1.51	7.83	-509.39	1.51	7.83	-509.39	0	0	0
Travi longitudinali	SLV 30	1.51	7.83	-509.39	1.51	7.83	-509.39	0	0	0
Travi longitudinali	SLV 31	1.51	7.83	-509.39	1.51	7.83	-509.39	0	0	0
Travi longitudinali	SLV 32	1.51	7.83	-509.39	1.51	7.83	-509.39	0	0	0
Travi longitudinali	CRTFP Ux+	0	0	0	0	0	0	0	0	0
Travi longitudinali	CRTFP Ux-	0	0	0	0	0	0	0	0	0
Travi longitudinali	CRTFP Uy+	0	0	0	0	0	0	0	0	0
Travi longitudinali	CRTFP Uy-	0	0	0	0	0	0	0	0	0
Travi longitudinali	CRTFP Rz+	0	0	0	0	0	0	0	0	0
Travi longitudinali	CRTFP Rz-	0	0	0	0	0	0	0	0	0
Reticolare correnti inferiori	Pesi	0	0	-29.91	0	-0.01	-93.31	0	0	0
Reticolare correnti inferiori	Port.	0	0	-148.39	0	-0.01	-412.54	0	0	0
Reticolare correnti inferiori	Neve	0	0	-47.43	0	0	-130.48	0	0	0
Reticolare correnti inferiori	Vento X (+Z)	3.55	0	180.04	-9.48	0.01	500.54	0	0	0
Reticolare correnti inferiori	Vento Y (+Z)	0	14.8	180.04	-0.01	19.91	500.55	0	0	0
Reticolare correnti inferiori	Passaggio convogli	0	1.78	0	24.18	1.77	0	0	0	0
Reticolare correnti inferiori	Vento Y (-Z)	0	6.77	-120.69	0	11.89	-335.53	0	0	0
Reticolare correnti inferiori	ΔT	0	0	0	0	0	-8.31	0	0	0
Reticolare correnti inferiori	X SLV	47.82	0.59	-0.21	-197.59	0.81	0.25	0	0	0

Livello Nome	Cont. N.br.	Totale			Aste verticali			Pareti		
		F			F			F		
		X	Y	Z	X	Y	Z	X	Y	Z
Reticolare correnti inferiori	Y SLV	-2.54	24.54	3.27	-2.57	93.42	2.85	0	0	0
Reticolare correnti inferiori	X SLD	18.4	-0.05	-0.12	-75.44	0.37	0.09	0	0	0
Reticolare correnti inferiori	Y SLD	-1.35	9.5	1.49	-1.16	35.78	1.28	0	0	0
Reticolare correnti inferiori	X SLO	15.01	0.24	-0.08	-61.4	0.31	0.08	0	0	0
Reticolare correnti inferiori	Y SLO	-1.16	7.81	1.28	-0.99	29.15	1.1	0	0	0
Reticolare correnti inferiori	R Ux	0	0	0	0	0	0	0	0	0
Reticolare correnti inferiori	R Uy	0	0	0	0	0	0	0	0	0
Reticolare correnti inferiori	R Rz	0	0	0	0	0	0	0	0	0
Reticolare correnti inferiori	SLU 1	0	0	-148.62	0	-0.01	-410.88	0	0	0
Reticolare correnti inferiori	SLU 2	0	0	-148.62	0.01	-0.01	-423.34	0	0	0
Reticolare correnti inferiori	SLU 3	0	0	-148.62	0.01	-0.01	-435.81	0	0	0
Reticolare correnti inferiori	SLU 4	0	6.09	-257.24	0.01	10.69	-712.85	0	0	0
Reticolare correnti inferiori	SLU 5	0	6.09	-257.24	0.01	10.69	-737.78	0	0	0
Reticolare correnti inferiori	SLU 6	0	10.15	-329.66	0.01	17.83	-919.16	0	0	0
Reticolare correnti inferiori	SLU 7	0	10.15	-329.66	0.01	17.83	-926.63	0	0	0
Reticolare correnti inferiori	SLU 8	0	10.15	-329.66	0.01	17.83	-934.11	0	0	0
Reticolare correnti inferiori	SLU 9	0	1.86	-148.62	25.39	1.84	-410.88	0	0	0
Reticolare correnti inferiori	SLU 10	0	1.86	-148.62	25.4	1.84	-435.81	0	0	0
Reticolare correnti inferiori	SLU 11	0	7.96	-257.24	25.39	12.55	-712.86	0	0	0
Reticolare correnti inferiori	SLU 12	0	7.96	-257.24	25.4	12.55	-737.78	0	0	0
Reticolare correnti inferiori	SLU 13	0	12.02	-329.66	25.4	19.68	-919.16	0	0	0
Reticolare correnti inferiori	SLU 14	0	12.02	-329.66	25.4	19.68	-926.64	0	0	0
Reticolare correnti inferiori	SLU 15	0	12.02	-329.66	25.4	19.68	-934.12	0	0	0
Reticolare correnti inferiori	SLU 16	0	2.66	-148.62	36.27	2.64	-415.87	0	0	0
Reticolare correnti inferiori	SLU 17	0	2.66	-148.62	36.27	2.64	-423.35	0	0	0
Reticolare correnti inferiori	SLU 18	0	2.66	-148.62	36.28	2.64	-430.83	0	0	0
Reticolare correnti inferiori	SLU 19	0	8.75	-257.24	36.28	13.34	-717.84	0	0	0
Reticolare correnti inferiori	SLU 20	0	8.75	-257.24	36.28	13.34	-725.32	0	0	0
Reticolare correnti inferiori	SLU 21	0	8.75	-257.24	36.28	13.34	-732.8	0	0	0
Reticolare correnti inferiori	SLU 22	0	13.32	13.42	0	17.91	39.61	0	0	0
Reticolare correnti inferiori	SLU 23	0	13.32	13.42	0	17.91	14.69	0	0	0
Reticolare correnti inferiori	SLU 24	0	15.19	13.42	25.39	19.76	39.61	0	0	0
Reticolare correnti inferiori	SLU 25	0	15.19	13.42	25.39	19.76	14.68	0	0	0
Reticolare correnti inferiori	SLU 26	0	15.99	13.42	36.27	20.56	34.62	0	0	0

Livello Nome	Cont. N.br.	Totale			Aste verticali			Pareti		
		F			F			F		
		X	Y	Z	X	Y	Z	X	Y	Z
Reticolare correnti inferiori	SLU 27	0	15.99	13.42	36.27	20.56	27.15	0	0	0
Reticolare correnti inferiori	SLU 28	0	15.99	13.42	36.27	20.56	19.67	0	0	0
Reticolare correnti inferiori	SLU 29	0	22.21	121.44	-0.01	29.85	334.96	0	0	0
Reticolare correnti inferiori	SLU 30	0	22.21	121.44	0	29.85	327.48	0	0	0
Reticolare correnti inferiori	SLU 31	0	22.21	121.44	0	29.85	320	0	0	0
Reticolare correnti inferiori	SLU 32	0	24.07	121.44	25.38	31.71	334.95	0	0	0
Reticolare correnti inferiori	SLU 33	0	24.07	121.44	25.38	31.71	327.47	0	0	0
Reticolare correnti inferiori	SLU 34	0	24.07	121.44	25.39	31.71	320	0	0	0
Reticolare correnti inferiori	SLU 35	3.2	0	13.42	-8.53	0	39.61	0	0	0
Reticolare correnti inferiori	SLU 36	3.2	0	13.42	-8.52	0	14.68	0	0	0
Reticolare correnti inferiori	SLU 37	3.2	1.86	13.42	16.86	1.85	39.61	0	0	0
Reticolare correnti inferiori	SLU 38	3.2	1.86	13.42	16.87	1.85	14.68	0	0	0
Reticolare correnti inferiori	SLU 39	3.2	2.66	13.42	27.74	2.65	34.62	0	0	0
Reticolare correnti inferiori	SLU 40	3.2	2.66	13.42	27.74	2.65	27.14	0	0	0
Reticolare correnti inferiori	SLU 41	3.2	2.66	13.42	27.74	2.65	19.66	0	0	0
Reticolare correnti inferiori	SLU 42	5.33	0	121.44	-14.21	0	334.95	0	0	0
Reticolare correnti inferiori	SLU 43	5.33	0	121.44	-14.21	0	327.47	0	0	0
Reticolare correnti inferiori	SLU 44	5.33	0	121.44	-14.21	0	319.99	0	0	0
Reticolare correnti inferiori	SLU 45	5.33	1.86	121.44	11.17	1.86	334.95	0	0	0
Reticolare correnti inferiori	SLU 46	5.33	1.86	121.44	11.18	1.86	327.47	0	0	0
Reticolare correnti inferiori	SLU 47	5.33	1.86	121.44	11.18	1.86	319.99	0	0	0
Reticolare correnti inferiori	SLU 48	0	0	-184.19	0	-0.01	-508.74	0	0	0
Reticolare correnti inferiori	SLU 49	0	0	-184.19	0.01	-0.01	-533.67	0	0	0
Reticolare correnti inferiori	SLU 50	0	6.09	-292.81	0.01	10.69	-810.72	0	0	0
Reticolare correnti inferiori	SLU 51	0	6.09	-292.81	0.01	10.69	-835.64	0	0	0
Reticolare correnti inferiori	SLU 52	0	10.15	-365.23	0.01	17.82	-1017.02	0	0	0
Reticolare correnti inferiori	SLU 53	0	10.15	-365.23	0.01	17.82	-1024.5	0	0	0
Reticolare correnti inferiori	SLU 54	0	10.15	-365.23	0.01	17.82	-1031.98	0	0	0
Reticolare correnti inferiori	SLU 55	0	1.86	-184.19	25.39	1.84	-508.74	0	0	0
Reticolare correnti inferiori	SLU 56	0	1.86	-184.19	25.4	1.84	-533.67	0	0	0
Reticolare correnti inferiori	SLU 57	0	7.96	-292.81	25.39	12.54	-810.72	0	0	0
Reticolare correnti inferiori	SLU 58	0	7.96	-292.81	25.4	12.54	-835.65	0	0	0
Reticolare correnti inferiori	SLU 59	0	12.02	-365.23	25.4	19.68	-1017.02	0	0	0
Reticolare correnti inferiori	SLU 60	0	12.02	-365.23	25.4	19.68	-1024.5	0	0	0

Livello Nome	Cont. N.br.	Totale			Aste verticali			Pareti		
		F			F			F		
		X	Y	Z	X	Y	Z	X	Y	Z
Reticolare correnti inferiori	SLU 61	0	12.02	-365.23	25.4	19.68	-1031.98	0	0	0
Reticolare correnti inferiori	SLU 62	0	2.66	-184.19	36.27	2.64	-513.73	0	0	0
Reticolare correnti inferiori	SLU 63	0	2.66	-184.19	36.28	2.64	-521.21	0	0	0
Reticolare correnti inferiori	SLU 64	0	2.66	-184.19	36.28	2.64	-528.69	0	0	0
Reticolare correnti inferiori	SLU 65	0	8.75	-292.81	36.28	13.34	-815.71	0	0	0
Reticolare correnti inferiori	SLU 66	0	8.75	-292.81	36.28	13.34	-823.18	0	0	0
Reticolare correnti inferiori	SLU 67	0	8.75	-292.81	36.28	13.34	-830.66	0	0	0
Reticolare correnti inferiori	SLU 68	0	13.32	-22.15	0	17.9	-58.25	0	0	0
Reticolare correnti inferiori	SLU 69	0	13.32	-22.15	0	17.9	-83.18	0	0	0
Reticolare correnti inferiori	SLU 70	0	15.19	-22.15	25.39	19.76	-58.25	0	0	0
Reticolare correnti inferiori	SLU 71	0	15.19	-22.15	25.39	19.76	-83.18	0	0	0
Reticolare correnti inferiori	SLU 72	0	15.99	-22.15	36.27	20.55	-63.24	0	0	0
Reticolare correnti inferiori	SLU 73	0	15.99	-22.15	36.27	20.55	-70.72	0	0	0
Reticolare correnti inferiori	SLU 74	0	15.99	-22.15	36.27	20.55	-78.2	0	0	0
Reticolare correnti inferiori	SLU 75	0	22.21	85.87	0	29.85	237.09	0	0	0
Reticolare correnti inferiori	SLU 76	0	22.21	85.87	0	29.85	229.62	0	0	0
Reticolare correnti inferiori	SLU 77	0	22.21	85.87	0	29.85	222.14	0	0	0
Reticolare correnti inferiori	SLU 78	0	24.07	85.87	25.38	31.7	237.09	0	0	0
Reticolare correnti inferiori	SLU 79	0	24.07	85.87	25.38	31.7	229.61	0	0	0
Reticolare correnti inferiori	SLU 80	0	24.07	85.87	25.39	31.7	222.13	0	0	0
Reticolare correnti inferiori	SLU 81	3.2	0	-22.15	-8.53	-0.01	-58.25	0	0	0
Reticolare correnti inferiori	SLU 82	3.2	0	-22.15	-8.52	-0.01	-83.18	0	0	0
Reticolare correnti inferiori	SLU 83	3.2	1.86	-22.15	16.86	1.85	-58.26	0	0	0
Reticolare correnti inferiori	SLU 84	3.2	1.86	-22.15	16.87	1.85	-83.18	0	0	0
Reticolare correnti inferiori	SLU 85	3.2	2.66	-22.15	27.74	2.64	-63.24	0	0	0
Reticolare correnti inferiori	SLU 86	3.2	2.66	-22.15	27.74	2.64	-70.72	0	0	0
Reticolare correnti inferiori	SLU 87	3.2	2.66	-22.15	27.75	2.64	-78.2	0	0	0
Reticolare correnti inferiori	SLU 88	5.33	0	85.87	-14.21	0	237.09	0	0	0
Reticolare correnti inferiori	SLU 89	5.33	0	85.87	-14.21	0	229.61	0	0	0
Reticolare correnti inferiori	SLU 90	5.33	0	85.87	-14.21	0	222.13	0	0	0
Reticolare correnti inferiori	SLU 91	5.33	1.86	85.87	11.18	1.86	237.08	0	0	0
Reticolare correnti inferiori	SLU 92	5.33	1.86	85.87	11.18	1.86	229.6	0	0	0
Reticolare correnti inferiori	SLU 93	5.33	1.86	85.87	11.18	1.86	222.13	0	0	0
Reticolare correnti inferiori	SLU 94	0	0	-219.76	0.01	-0.02	-611.59	0	0	0

Livello Nome	Cont. N.br.	Totale			Aste verticali			Pareti		
		F			F			F		
		X	Y	Z	X	Y	Z	X	Y	Z
Reticolare correnti inferiori	SLU 95	0	0	-219.76	0.01	-0.02	-619.07	0	0	0
Reticolare correnti inferiori	SLU 96	0	0	-219.76	0.01	-0.02	-626.55	0	0	0
Reticolare correnti inferiori	SLU 97	0	6.09	-328.38	0.01	10.69	-913.56	0	0	0
Reticolare correnti inferiori	SLU 98	0	6.09	-328.38	0.01	10.69	-921.04	0	0	0
Reticolare correnti inferiori	SLU 99	0	6.09	-328.38	0.01	10.69	-928.52	0	0	0
Reticolare correnti inferiori	SLU 100	0	1.86	-219.76	25.39	1.84	-611.59	0	0	0
Reticolare correnti inferiori	SLU 101	0	1.86	-219.76	25.4	1.84	-619.07	0	0	0
Reticolare correnti inferiori	SLU 102	0	1.86	-219.76	25.4	1.84	-626.55	0	0	0
Reticolare correnti inferiori	SLU 103	0	7.96	-328.38	25.4	12.54	-913.57	0	0	0
Reticolare correnti inferiori	SLU 104	0	7.96	-328.38	25.4	12.54	-921.05	0	0	0
Reticolare correnti inferiori	SLU 105	0	7.96	-328.38	25.4	12.54	-928.52	0	0	0
Reticolare correnti inferiori	SLU 106	0	13.32	-57.72	0	17.9	-161.1	0	0	0
Reticolare correnti inferiori	SLU 107	0	13.32	-57.72	0	17.9	-168.58	0	0	0
Reticolare correnti inferiori	SLU 108	0	13.32	-57.72	0	17.9	-176.05	0	0	0
Reticolare correnti inferiori	SLU 109	0	15.19	-57.72	25.39	19.76	-161.1	0	0	0
Reticolare correnti inferiori	SLU 110	0	15.19	-57.72	25.39	19.76	-168.58	0	0	0
Reticolare correnti inferiori	SLU 111	0	15.19	-57.72	25.39	19.76	-176.06	0	0	0
Reticolare correnti inferiori	SLU 112	3.2	0	-57.72	-8.52	-0.01	-161.1	0	0	0
Reticolare correnti inferiori	SLU 113	3.2	0	-57.72	-8.52	-0.01	-168.58	0	0	0
Reticolare correnti inferiori	SLU 114	3.2	0	-57.72	-8.52	-0.01	-176.06	0	0	0
Reticolare correnti inferiori	SLU 115	3.2	1.86	-57.72	16.86	1.85	-161.1	0	0	0
Reticolare correnti inferiori	SLU 116	3.2	1.86	-57.72	16.87	1.85	-168.58	0	0	0
Reticolare correnti inferiori	SLU 117	3.2	1.86	-57.72	16.87	1.85	-176.06	0	0	0
Reticolare correnti inferiori	SLU 118	0	0	-252.49	0.01	-0.02	-699.65	0	0	0
Reticolare correnti inferiori	SLU 119	0	0	-252.49	0.01	-0.02	-712.12	0	0	0
Reticolare correnti inferiori	SLU 120	0	0	-252.49	0.01	-0.02	-724.58	0	0	0
Reticolare correnti inferiori	SLU 121	0	6.09	-361.11	0.01	10.68	-1001.63	0	0	0
Reticolare correnti inferiori	SLU 122	0	6.09	-361.11	0.01	10.68	-1026.56	0	0	0
Reticolare correnti inferiori	SLU 123	0	10.15	-433.53	0.01	17.82	-1207.93	0	0	0
Reticolare correnti inferiori	SLU 124	0	10.15	-433.53	0.01	17.82	-1215.41	0	0	0
Reticolare correnti inferiori	SLU 125	0	10.15	-433.53	0.02	17.82	-1222.89	0	0	0
Reticolare correnti inferiori	SLU 126	0	1.86	-252.49	25.39	1.84	-699.66	0	0	0
Reticolare correnti inferiori	SLU 127	0	1.86	-252.49	25.4	1.84	-724.59	0	0	0
Reticolare correnti inferiori	SLU 128	0	7.96	-361.11	25.4	12.54	-1001.63	0	0	0

Livello Nome	Cont. N.br.	Totale			Aste verticali			Pareti		
		F			F			F		
		X	Y	Z	X	Y	Z	X	Y	Z
Reticolare correnti inferiori	SLU 129	0	7.96	-361.11	25.4	12.54	-1026.56	0	0	0
Reticolare correnti inferiori	SLU 130	0	12.02	-433.53	25.4	19.68	-1207.93	0	0	0
Reticolare correnti inferiori	SLU 131	0	12.02	-433.53	25.4	19.68	-1215.41	0	0	0
Reticolare correnti inferiori	SLU 132	0	12.02	-433.53	25.4	19.68	-1222.89	0	0	0
Reticolare correnti inferiori	SLU 133	0	2.66	-252.49	36.28	2.63	-704.64	0	0	0
Reticolare correnti inferiori	SLU 134	0	2.66	-252.49	36.28	2.63	-712.12	0	0	0
Reticolare correnti inferiori	SLU 135	0	2.66	-252.49	36.28	2.63	-719.6	0	0	0
Reticolare correnti inferiori	SLU 136	0	8.75	-361.11	36.28	13.34	-1006.62	0	0	0
Reticolare correnti inferiori	SLU 137	0	8.75	-361.11	36.28	13.34	-1014.1	0	0	0
Reticolare correnti inferiori	SLU 138	0	8.75	-361.11	36.28	13.34	-1021.58	0	0	0
Reticolare correnti inferiori	SLU 139	0	13.32	-90.46	0	17.9	-249.16	0	0	0
Reticolare correnti inferiori	SLU 140	0	13.32	-90.46	0.01	17.9	-274.09	0	0	0
Reticolare correnti inferiori	SLU 141	0	15.19	-90.46	25.39	19.75	-249.16	0	0	0
Reticolare correnti inferiori	SLU 142	0	15.19	-90.46	25.39	19.76	-274.09	0	0	0
Reticolare correnti inferiori	SLU 143	0	15.99	-90.46	36.27	20.55	-254.15	0	0	0
Reticolare correnti inferiori	SLU 144	0	15.99	-90.46	36.27	20.55	-261.63	0	0	0
Reticolare correnti inferiori	SLU 145	0	15.99	-90.46	36.27	20.55	-269.11	0	0	0
Reticolare correnti inferiori	SLU 146	0	22.21	17.57	0	29.84	46.18	0	0	0
Reticolare correnti inferiori	SLU 147	0	22.21	17.57	0	29.85	38.7	0	0	0
Reticolare correnti inferiori	SLU 148	0	22.21	17.57	0	29.85	31.22	0	0	0
Reticolare correnti inferiori	SLU 149	0	24.07	17.57	25.39	31.7	46.18	0	0	0
Reticolare correnti inferiori	SLU 150	0	24.07	17.57	25.39	31.7	38.7	0	0	0
Reticolare correnti inferiori	SLU 151	0	24.07	17.57	25.39	31.7	31.22	0	0	0
Reticolare correnti inferiori	SLU 152	3.2	0	-90.45	-8.52	-0.01	-249.17	0	0	0
Reticolare correnti inferiori	SLU 153	3.2	0	-90.45	-8.52	-0.01	-274.09	0	0	0
Reticolare correnti inferiori	SLU 154	3.2	1.86	-90.45	16.86	1.85	-249.17	0	0	0
Reticolare correnti inferiori	SLU 155	3.2	1.86	-90.45	16.87	1.85	-274.1	0	0	0
Reticolare correnti inferiori	SLU 156	3.2	2.66	-90.45	27.75	2.64	-254.16	0	0	0
Reticolare correnti inferiori	SLU 157	3.2	2.66	-90.45	27.75	2.64	-261.63	0	0	0
Reticolare correnti inferiori	SLU 158	3.2	2.66	-90.45	27.75	2.64	-269.11	0	0	0
Reticolare correnti inferiori	SLU 159	5.33	0	17.57	-14.21	0	46.17	0	0	0
Reticolare correnti inferiori	SLU 160	5.33	0	17.57	-14.21	0	38.69	0	0	0
Reticolare correnti inferiori	SLU 161	5.33	0	17.57	-14.21	0	31.22	0	0	0
Reticolare correnti inferiori	SLU 162	5.33	1.86	17.57	11.18	1.85	46.17	0	0	0

Livello Nome	Cont. N.br.	Totale			Aste verticali			Pareti		
		F			F			F		
		X	Y	Z	X	Y	Z	X	Y	Z
Reticolare correnti inferiori	SLU 163	5.33	1.86	17.57	11.18	1.85	38.69	0	0	0
Reticolare correnti inferiori	SLU 164	5.33	1.86	17.57	11.18	1.85	31.21	0	0	0
Reticolare correnti inferiori	SLU 165	0	0	-288.06	0.01	-0.02	-797.52	0	0	0
Reticolare correnti inferiori	SLU 166	0	0	-288.06	0.01	-0.02	-822.44	0	0	0
Reticolare correnti inferiori	SLU 167	0	6.09	-396.68	0.01	10.68	-1099.49	0	0	0
Reticolare correnti inferiori	SLU 168	0	6.09	-396.68	0.02	10.68	-1124.42	0	0	0
Reticolare correnti inferiori	SLU 169	0	10.15	-469.1	0.01	17.82	-1305.79	0	0	0
Reticolare correnti inferiori	SLU 170	0	10.15	-469.1	0.01	17.82	-1313.27	0	0	0
Reticolare correnti inferiori	SLU 171	0	10.15	-469.1	0.02	17.82	-1320.75	0	0	0
Reticolare correnti inferiori	SLU 172	0	1.86	-288.06	25.4	1.84	-797.52	0	0	0
Reticolare correnti inferiori	SLU 173	0	1.86	-288.06	25.4	1.84	-822.45	0	0	0
Reticolare correnti inferiori	SLU 174	0	7.96	-396.68	25.4	12.54	-1099.49	0	0	0
Reticolare correnti inferiori	SLU 175	0	7.96	-396.68	25.4	12.54	-1124.42	0	0	0
Reticolare correnti inferiori	SLU 176	0	12.02	-469.1	25.4	19.67	-1305.8	0	0	0
Reticolare correnti inferiori	SLU 177	0	12.02	-469.1	25.4	19.67	-1313.28	0	0	0
Reticolare correnti inferiori	SLU 178	0	12.02	-469.1	25.4	19.67	-1320.75	0	0	0
Reticolare correnti inferiori	SLU 179	0	2.66	-288.06	36.28	2.63	-802.51	0	0	0
Reticolare correnti inferiori	SLU 180	0	2.66	-288.06	36.28	2.63	-809.98	0	0	0
Reticolare correnti inferiori	SLU 181	0	2.66	-288.06	36.28	2.63	-817.46	0	0	0
Reticolare correnti inferiori	SLU 182	0	8.75	-396.68	36.28	13.33	-1104.48	0	0	0
Reticolare correnti inferiori	SLU 183	0	8.75	-396.68	36.28	13.33	-1111.96	0	0	0
Reticolare correnti inferiori	SLU 184	0	8.75	-396.68	36.28	13.33	-1119.44	0	0	0
Reticolare correnti inferiori	SLU 185	0	13.32	-126.02	0	17.9	-347.02	0	0	0
Reticolare correnti inferiori	SLU 186	0	13.32	-126.02	0.01	17.9	-371.95	0	0	0
Reticolare correnti inferiori	SLU 187	0	15.19	-126.02	25.39	19.75	-347.03	0	0	0
Reticolare correnti inferiori	SLU 188	0	15.19	-126.02	25.39	19.75	-371.96	0	0	0
Reticolare correnti inferiori	SLU 189	0	15.99	-126.02	36.27	20.55	-352.01	0	0	0
Reticolare correnti inferiori	SLU 190	0	15.99	-126.02	36.27	20.55	-359.49	0	0	0
Reticolare correnti inferiori	SLU 191	0	15.99	-126.02	36.27	20.55	-366.97	0	0	0
Reticolare correnti inferiori	SLU 192	0	22.21	-18	0	29.84	-51.68	0	0	0
Reticolare correnti inferiori	SLU 193	0	22.21	-18	0	29.84	-59.16	0	0	0
Reticolare correnti inferiori	SLU 194	0	22.21	-18	0	29.84	-66.64	0	0	0
Reticolare correnti inferiori	SLU 195	0	24.07	-18	25.39	31.7	-51.69	0	0	0
Reticolare correnti inferiori	SLU 196	0	24.07	-18	25.39	31.7	-59.16	0	0	0

Livello Nome	Cont. N.br.	Totale			Aste verticali			Pareti		
		F			F			F		
		X	Y	Z	X	Y	Z	X	Y	Z
Reticolare correnti inferiori	SLU 197	0	24.07	-18	25.39	31.7	-66.64	0	0	0
Reticolare correnti inferiori	SLU 198	3.2	0	-126.02	-8.52	-0.01	-347.03	0	0	0
Reticolare correnti inferiori	SLU 199	3.2	0	-126.02	-8.52	-0.01	-371.96	0	0	0
Reticolare correnti inferiori	SLU 200	3.2	1.86	-126.02	16.86	1.84	-347.03	0	0	0
Reticolare correnti inferiori	SLU 201	3.2	1.86	-126.02	16.87	1.84	-371.96	0	0	0
Reticolare correnti inferiori	SLU 202	3.2	2.66	-126.02	27.75	2.64	-352.02	0	0	0
Reticolare correnti inferiori	SLU 203	3.2	2.66	-126.02	27.75	2.64	-359.5	0	0	0
Reticolare correnti inferiori	SLU 204	3.2	2.66	-126.02	27.75	2.64	-366.98	0	0	0
Reticolare correnti inferiori	SLU 205	5.33	0	-18	-14.21	0	-51.69	0	0	0
Reticolare correnti inferiori	SLU 206	5.33	0	-18	-14.21	0	-59.17	0	0	0
Reticolare correnti inferiori	SLU 207	5.33	0	-18	-14.21	0	-66.65	0	0	0
Reticolare correnti inferiori	SLU 208	5.33	1.86	-18	11.18	1.85	-51.69	0	0	0
Reticolare correnti inferiori	SLU 209	5.33	1.86	-18	11.18	1.85	-59.17	0	0	0
Reticolare correnti inferiori	SLU 210	5.33	1.86	-18	11.18	1.85	-66.65	0	0	0
Reticolare correnti inferiori	SLU 211	0	0	-323.63	0.01	-0.02	-900.36	0	0	0
Reticolare correnti inferiori	SLU 212	0	0	-323.63	0.01	-0.02	-907.84	0	0	0
Reticolare correnti inferiori	SLU 213	0	0	-323.63	0.01	-0.02	-915.32	0	0	0
Reticolare correnti inferiori	SLU 214	0	6.09	-432.25	0.01	10.68	-1202.34	0	0	0
Reticolare correnti inferiori	SLU 215	0	6.09	-432.25	0.01	10.68	-1209.82	0	0	0
Reticolare correnti inferiori	SLU 216	0	6.09	-432.25	0.02	10.68	-1217.3	0	0	0
Reticolare correnti inferiori	SLU 217	0	1.86	-323.63	25.4	1.83	-900.37	0	0	0
Reticolare correnti inferiori	SLU 218	0	1.86	-323.63	25.4	1.83	-907.85	0	0	0
Reticolare correnti inferiori	SLU 219	0	1.86	-323.63	25.4	1.83	-915.32	0	0	0
Reticolare correnti inferiori	SLU 220	0	7.96	-432.25	25.4	12.54	-1202.34	0	0	0
Reticolare correnti inferiori	SLU 221	0	7.96	-432.25	25.4	12.54	-1209.82	0	0	0
Reticolare correnti inferiori	SLU 222	0	7.96	-432.25	25.4	12.54	-1217.3	0	0	0
Reticolare correnti inferiori	SLU 223	0	13.32	-161.59	0	17.9	-449.87	0	0	0
Reticolare correnti inferiori	SLU 224	0	13.32	-161.59	0.01	17.9	-457.35	0	0	0
Reticolare correnti inferiori	SLU 225	0	13.32	-161.59	0.01	17.9	-464.83	0	0	0
Reticolare correnti inferiori	SLU 226	0	15.19	-161.59	25.39	19.75	-449.88	0	0	0
Reticolare correnti inferiori	SLU 227	0	15.19	-161.59	25.39	19.75	-457.35	0	0	0
Reticolare correnti inferiori	SLU 228	0	15.19	-161.59	25.39	19.75	-464.83	0	0	0
Reticolare correnti inferiori	SLU 229	3.2	0	-161.59	-8.52	-0.01	-449.88	0	0	0
Reticolare correnti inferiori	SLU 230	3.2	0	-161.59	-8.52	-0.01	-457.35	0	0	0

Livello Nome	Cont. N.br.	Totale			Aste verticali			Pareti		
		X	Y	Z	X	Y	Z	X	Y	Z
Reticolare correnti inferiori	SLU 231	3.2	0	-161.59	-8.52	-0.01	-464.83	0	0	0
Reticolare correnti inferiori	SLU 232	3.2	1.86	-161.59	16.87	1.84	-449.88	0	0	0
Reticolare correnti inferiori	SLU 233	3.2	1.86	-161.59	16.87	1.84	-457.36	0	0	0
Reticolare correnti inferiori	SLU 234	3.2	1.86	-161.59	16.87	1.84	-464.84	0	0	0
Reticolare correnti inferiori	SLU 235	0	0	-157.6	0	-0.01	-438.87	0	0	0
Reticolare correnti inferiori	SLU 236	0	0	-157.6	0.01	-0.01	-451.34	0	0	0
Reticolare correnti inferiori	SLU 237	0	0	-157.6	0.01	-0.01	-463.8	0	0	0
Reticolare correnti inferiori	SLU 238	0	6.09	-266.22	0.01	10.69	-740.85	0	0	0
Reticolare correnti inferiori	SLU 239	0	6.09	-266.22	0.01	10.69	-765.78	0	0	0
Reticolare correnti inferiori	SLU 240	0	10.15	-338.63	0.01	17.82	-947.15	0	0	0
Reticolare correnti inferiori	SLU 241	0	10.15	-338.63	0.01	17.82	-954.63	0	0	0
Reticolare correnti inferiori	SLU 242	0	10.15	-338.63	0.01	17.82	-962.11	0	0	0
Reticolare correnti inferiori	SLU 243	0	1.86	-157.6	25.39	1.84	-438.87	0	0	0
Reticolare correnti inferiori	SLU 244	0	1.86	-157.6	25.4	1.84	-463.8	0	0	0
Reticolare correnti inferiori	SLU 245	0	7.96	-266.22	25.39	12.54	-740.85	0	0	0
Reticolare correnti inferiori	SLU 246	0	7.96	-266.22	25.4	12.54	-765.78	0	0	0
Reticolare correnti inferiori	SLU 247	0	12.02	-338.63	25.4	19.68	-947.15	0	0	0
Reticolare correnti inferiori	SLU 248	0	12.02	-338.63	25.4	19.68	-954.63	0	0	0
Reticolare correnti inferiori	SLU 249	0	12.02	-338.63	25.4	19.68	-962.11	0	0	0
Reticolare correnti inferiori	SLU 250	0	2.66	-157.6	36.27	2.64	-443.86	0	0	0
Reticolare correnti inferiori	SLU 251	0	2.66	-157.6	36.27	2.64	-451.34	0	0	0
Reticolare correnti inferiori	SLU 252	0	2.66	-157.6	36.28	2.64	-458.82	0	0	0
Reticolare correnti inferiori	SLU 253	0	8.75	-266.22	36.28	13.34	-745.84	0	0	0
Reticolare correnti inferiori	SLU 254	0	8.75	-266.22	36.28	13.34	-753.32	0	0	0
Reticolare correnti inferiori	SLU 255	0	8.75	-266.22	36.28	13.34	-760.79	0	0	0
Reticolare correnti inferiori	SLU 256	0	13.32	4.44	0	17.9	11.62	0	0	0
Reticolare correnti inferiori	SLU 257	0	13.32	4.44	0	17.9	-13.31	0	0	0
Reticolare correnti inferiori	SLU 258	0	15.19	4.44	25.39	19.76	11.62	0	0	0
Reticolare correnti inferiori	SLU 259	0	15.19	4.44	25.39	19.76	-13.31	0	0	0
Reticolare correnti inferiori	SLU 260	0	15.99	4.44	36.27	20.55	6.63	0	0	0
Reticolare correnti inferiori	SLU 261	0	15.99	4.44	36.27	20.55	-0.85	0	0	0
Reticolare correnti inferiori	SLU 262	0	15.99	4.44	36.27	20.55	-8.33	0	0	0
Reticolare correnti inferiori	SLU 263	0	22.21	112.47	0	29.85	306.96	0	0	0
Reticolare correnti inferiori	SLU 264	0	22.21	112.47	0	29.85	299.48	0	0	0

Livello Nome	Cont. N.br.	Totale			Aste verticali			Pareti		
		F			F			F		
		X	Y	Z	X	Y	Z	X	Y	Z
Reticolare correnti inferiori	SLU 265	0	22.21	112.47	0	29.85	292.01	0	0	0
Reticolare correnti inferiori	SLU 266	0	24.07	112.47	25.38	31.7	306.96	0	0	0
Reticolare correnti inferiori	SLU 267	0	24.07	112.47	25.38	31.7	299.48	0	0	0
Reticolare correnti inferiori	SLU 268	0	24.07	112.47	25.39	31.7	292	0	0	0
Reticolare correnti inferiori	SLU 269	3.2	0	4.44	-8.53	-0.01	11.62	0	0	0
Reticolare correnti inferiori	SLU 270	3.2	0	4.44	-8.52	-0.01	-13.31	0	0	0
Reticolare correnti inferiori	SLU 271	3.2	1.86	4.44	16.86	1.85	11.61	0	0	0
Reticolare correnti inferiori	SLU 272	3.2	1.86	4.44	16.87	1.85	-13.32	0	0	0
Reticolare correnti inferiori	SLU 273	3.2	2.66	4.44	27.74	2.65	6.63	0	0	0
Reticolare correnti inferiori	SLU 274	3.2	2.66	4.44	27.74	2.65	-0.85	0	0	0
Reticolare correnti inferiori	SLU 275	3.2	2.66	4.44	27.75	2.65	-8.33	0	0	0
Reticolare correnti inferiori	SLU 276	5.33	0	112.47	-14.21	0	306.96	0	0	0
Reticolare correnti inferiori	SLU 277	5.33	0	112.47	-14.21	0	299.48	0	0	0
Reticolare correnti inferiori	SLU 278	5.33	0	112.47	-14.21	0	292	0	0	0
Reticolare correnti inferiori	SLU 279	5.33	1.86	112.47	11.17	1.86	306.95	0	0	0
Reticolare correnti inferiori	SLU 280	5.33	1.86	112.47	11.18	1.86	299.47	0	0	0
Reticolare correnti inferiori	SLU 281	5.33	1.86	112.47	11.18	1.86	291.99	0	0	0
Reticolare correnti inferiori	SLU 282	0	0	-193.17	0	-0.02	-536.73	0	0	0
Reticolare correnti inferiori	SLU 283	0	0	-193.17	0.01	-0.02	-561.66	0	0	0
Reticolare correnti inferiori	SLU 284	0	6.09	-301.79	0.01	10.69	-838.71	0	0	0
Reticolare correnti inferiori	SLU 285	0	6.09	-301.79	0.01	10.69	-863.64	0	0	0
Reticolare correnti inferiori	SLU 286	0	10.15	-374.2	0.01	17.82	-1045.01	0	0	0
Reticolare correnti inferiori	SLU 287	0	10.15	-374.2	0.01	17.82	-1052.49	0	0	0
Reticolare correnti inferiori	SLU 288	0	10.15	-374.2	0.01	17.82	-1059.97	0	0	0
Reticolare correnti inferiori	SLU 289	0	1.86	-193.17	25.39	1.84	-536.74	0	0	0
Reticolare correnti inferiori	SLU 290	0	1.86	-193.17	25.4	1.84	-561.67	0	0	0
Reticolare correnti inferiori	SLU 291	0	7.96	-301.79	25.4	12.54	-838.71	0	0	0
Reticolare correnti inferiori	SLU 292	0	7.96	-301.79	25.4	12.54	-863.64	0	0	0
Reticolare correnti inferiori	SLU 293	0	12.02	-374.2	25.4	19.68	-1045.01	0	0	0
Reticolare correnti inferiori	SLU 294	0	12.02	-374.2	25.4	19.68	-1052.49	0	0	0
Reticolare correnti inferiori	SLU 295	0	12.02	-374.2	25.4	19.68	-1059.97	0	0	0
Reticolare correnti inferiori	SLU 296	0	2.66	-193.17	36.27	2.63	-541.72	0	0	0
Reticolare correnti inferiori	SLU 297	0	2.66	-193.17	36.28	2.63	-549.2	0	0	0
Reticolare correnti inferiori	SLU 298	0	2.66	-193.17	36.28	2.63	-556.68	0	0	0

Livello Nome	Cont. N.br.	Totale			Aste verticali			Pareti		
		F			F			F		
		X	Y	Z	X	Y	Z	X	Y	Z
Reticolare correnti inferiori	SLU 299	0	8.75	-301.79	36.28	13.34	-843.7	0	0	0
Reticolare correnti inferiori	SLU 300	0	8.75	-301.79	36.28	13.34	-851.18	0	0	0
Reticolare correnti inferiori	SLU 301	0	8.75	-301.79	36.28	13.34	-858.66	0	0	0
Reticolare correnti inferiori	SLU 302	0	13.32	-31.13	0	17.9	-86.24	0	0	0
Reticolare correnti inferiori	SLU 303	0	13.32	-31.13	0	17.9	-111.17	0	0	0
Reticolare correnti inferiori	SLU 304	0	15.19	-31.13	25.39	19.76	-86.25	0	0	0
Reticolare correnti inferiori	SLU 305	0	15.19	-31.13	25.39	19.76	-111.17	0	0	0
Reticolare correnti inferiori	SLU 306	0	15.99	-31.13	36.27	20.55	-91.23	0	0	0
Reticolare correnti inferiori	SLU 307	0	15.99	-31.13	36.27	20.55	-98.71	0	0	0
Reticolare correnti inferiori	SLU 308	0	15.99	-31.13	36.27	20.55	-106.19	0	0	0
Reticolare correnti inferiori	SLU 309	0	22.21	76.9	0	29.85	209.1	0	0	0
Reticolare correnti inferiori	SLU 310	0	22.21	76.9	0	29.85	201.62	0	0	0
Reticolare correnti inferiori	SLU 311	0	22.21	76.9	0	29.85	194.14	0	0	0
Reticolare correnti inferiori	SLU 312	0	24.07	76.9	25.38	31.7	209.1	0	0	0
Reticolare correnti inferiori	SLU 313	0	24.07	76.9	25.39	31.7	201.62	0	0	0
Reticolare correnti inferiori	SLU 314	0	24.07	76.9	25.39	31.7	194.14	0	0	0
Reticolare correnti inferiori	SLU 315	3.2	0	-31.13	-8.53	-0.01	-86.25	0	0	0
Reticolare correnti inferiori	SLU 316	3.2	0	-31.13	-8.52	-0.01	-111.17	0	0	0
Reticolare correnti inferiori	SLU 317	3.2	1.86	-31.13	16.86	1.85	-86.25	0	0	0
Reticolare correnti inferiori	SLU 318	3.2	1.86	-31.13	16.87	1.85	-111.18	0	0	0
Reticolare correnti inferiori	SLU 319	3.2	2.66	-31.13	27.74	2.64	-91.24	0	0	0
Reticolare correnti inferiori	SLU 320	3.2	2.66	-31.13	27.74	2.64	-98.72	0	0	0
Reticolare correnti inferiori	SLU 321	3.2	2.66	-31.13	27.75	2.64	-106.19	0	0	0
Reticolare correnti inferiori	SLU 322	5.33	0	76.9	-14.21	0	209.09	0	0	0
Reticolare correnti inferiori	SLU 323	5.33	0	76.9	-14.21	0	201.61	0	0	0
Reticolare correnti inferiori	SLU 324	5.33	0	76.9	-14.21	0	194.14	0	0	0
Reticolare correnti inferiori	SLU 325	5.33	1.86	76.9	11.18	1.85	209.09	0	0	0
Reticolare correnti inferiori	SLU 326	5.33	1.86	76.9	11.18	1.85	201.61	0	0	0
Reticolare correnti inferiori	SLU 327	5.33	1.86	76.9	11.18	1.85	194.13	0	0	0
Reticolare correnti inferiori	SLU 328	0	0	-228.73	0.01	-0.02	-639.58	0	0	0
Reticolare correnti inferiori	SLU 329	0	0	-228.73	0.01	-0.02	-647.06	0	0	0
Reticolare correnti inferiori	SLU 330	0	0	-228.73	0.01	-0.02	-654.54	0	0	0
Reticolare correnti inferiori	SLU 331	0	6.09	-337.36	0.01	10.68	-941.56	0	0	0
Reticolare correnti inferiori	SLU 332	0	6.09	-337.36	0.01	10.68	-949.04	0	0	0

Livello	Cont.	Totale			Aste verticali			Pareti		
		F			F			F		
		X	Y	Z	X	Y	Z	X	Y	Z
Reticolare correnti inferiori	SLU 333	0	6.09	-337.36	0.01	10.68	-956.51	0	0	0
Reticolare correnti inferiori	SLU 334	0	1.86	-228.73	25.39	1.84	-639.58	0	0	0
Reticolare correnti inferiori	SLU 335	0	1.86	-228.73	25.4	1.84	-647.06	0	0	0
Reticolare correnti inferiori	SLU 336	0	1.86	-228.73	25.4	1.84	-654.54	0	0	0
Reticolare correnti inferiori	SLU 337	0	7.96	-337.36	25.4	12.54	-941.56	0	0	0
Reticolare correnti inferiori	SLU 338	0	7.96	-337.36	25.4	12.54	-949.04	0	0	0
Reticolare correnti inferiori	SLU 339	0	7.96	-337.36	25.4	12.54	-956.52	0	0	0
Reticolare correnti inferiori	SLU 340	0	13.32	-66.7	0	17.9	-189.09	0	0	0
Reticolare correnti inferiori	SLU 341	0	13.32	-66.7	0	17.9	-196.57	0	0	0
Reticolare correnti inferiori	SLU 342	0	13.32	-66.7	0	17.9	-204.05	0	0	0
Reticolare correnti inferiori	SLU 343	0	15.19	-66.7	25.39	19.75	-189.09	0	0	0
Reticolare correnti inferiori	SLU 344	0	15.19	-66.7	25.39	19.75	-196.57	0	0	0
Reticolare correnti inferiori	SLU 345	0	15.19	-66.7	25.39	19.75	-204.05	0	0	0
Reticolare correnti inferiori	SLU 346	3.2	0	-66.7	-8.52	-0.01	-189.09	0	0	0
Reticolare correnti inferiori	SLU 347	3.2	0	-66.7	-8.52	-0.01	-196.57	0	0	0
Reticolare correnti inferiori	SLU 348	3.2	0	-66.7	-8.52	-0.01	-204.05	0	0	0
Reticolare correnti inferiori	SLU 349	3.2	1.86	-66.7	16.86	1.85	-189.1	0	0	0
Reticolare correnti inferiori	SLU 350	3.2	1.86	-66.7	16.87	1.85	-196.58	0	0	0
Reticolare correnti inferiori	SLU 351	3.2	1.86	-66.7	16.87	1.85	-204.05	0	0	0
Reticolare correnti inferiori	SLU 352	0	0	-261.47	0.01	-0.02	-727.65	0	0	0
Reticolare correnti inferiori	SLU 353	0	0	-261.47	0.01	-0.02	-740.11	0	0	0
Reticolare correnti inferiori	SLU 354	0	0	-261.47	0.01	-0.02	-752.58	0	0	0
Reticolare correnti inferiori	SLU 355	0	6.09	-370.09	0.01	10.68	-1029.62	0	0	0
Reticolare correnti inferiori	SLU 356	0	6.09	-370.09	0.01	10.68	-1054.55	0	0	0
Reticolare correnti inferiori	SLU 357	0	10.15	-442.5	0.01	17.82	-1235.92	0	0	0
Reticolare correnti inferiori	SLU 358	0	10.15	-442.5	0.01	17.82	-1243.4	0	0	0
Reticolare correnti inferiori	SLU 359	0	10.15	-442.5	0.02	17.82	-1250.88	0	0	0
Reticolare correnti inferiori	SLU 360	0	1.86	-261.47	25.39	1.84	-727.65	0	0	0
Reticolare correnti inferiori	SLU 361	0	1.86	-261.47	25.4	1.84	-752.58	0	0	0
Reticolare correnti inferiori	SLU 362	0	7.96	-370.09	25.4	12.54	-1029.63	0	0	0
Reticolare correnti inferiori	SLU 363	0	7.96	-370.09	25.4	12.54	-1054.55	0	0	0
Reticolare correnti inferiori	SLU 364	0	12.02	-442.5	25.4	19.67	-1235.93	0	0	0
Reticolare correnti inferiori	SLU 365	0	12.02	-442.5	25.4	19.67	-1243.41	0	0	0
Reticolare correnti inferiori	SLU 366	0	12.02	-442.5	25.4	19.67	-1250.89	0	0	0

Livello Nome	Cont. N.br.	Totale			Aste verticali			Pareti		
		F			F			F		
		X	Y	Z	X	Y	Z	X	Y	Z
Reticolare correnti inferiori	SLU 367	0	2.66	-261.47	36.28	2.63	-732.64	0	0	0
Reticolare correnti inferiori	SLU 368	0	2.66	-261.47	36.28	2.63	-740.12	0	0	0
Reticolare correnti inferiori	SLU 369	0	2.66	-261.47	36.28	2.63	-747.59	0	0	0
Reticolare correnti inferiori	SLU 370	0	8.75	-370.09	36.28	13.33	-1034.61	0	0	0
Reticolare correnti inferiori	SLU 371	0	8.75	-370.09	36.28	13.33	-1042.09	0	0	0
Reticolare correnti inferiori	SLU 372	0	8.75	-370.09	36.28	13.33	-1049.57	0	0	0
Reticolare correnti inferiori	SLU 373	0	13.32	-99.43	0	17.9	-277.16	0	0	0
Reticolare correnti inferiori	SLU 374	0	13.32	-99.43	0.01	17.9	-302.08	0	0	0
Reticolare correnti inferiori	SLU 375	0	15.19	-99.43	25.39	19.75	-277.16	0	0	0
Reticolare correnti inferiori	SLU 376	0	15.19	-99.43	25.39	19.75	-302.09	0	0	0
Reticolare correnti inferiori	SLU 377	0	15.99	-99.43	36.27	20.55	-282.15	0	0	0
Reticolare correnti inferiori	SLU 378	0	15.99	-99.43	36.27	20.55	-289.62	0	0	0
Reticolare correnti inferiori	SLU 379	0	15.99	-99.43	36.27	20.55	-297.1	0	0	0
Reticolare correnti inferiori	SLU 380	0	22.21	8.6	0	29.84	18.19	0	0	0
Reticolare correnti inferiori	SLU 381	0	22.21	8.6	0	29.84	10.71	0	0	0
Reticolare correnti inferiori	SLU 382	0	22.21	8.6	0	29.84	3.23	0	0	0
Reticolare correnti inferiori	SLU 383	0	24.07	8.6	25.39	31.7	18.18	0	0	0
Reticolare correnti inferiori	SLU 384	0	24.07	8.6	25.39	31.7	10.7	0	0	0
Reticolare correnti inferiori	SLU 385	0	24.07	8.6	25.39	31.7	3.23	0	0	0
Reticolare correnti inferiori	SLU 386	3.2	0	-99.43	-8.52	-0.01	-277.16	0	0	0
Reticolare correnti inferiori	SLU 387	3.2	0	-99.43	-8.52	-0.01	-302.09	0	0	0
Reticolare correnti inferiori	SLU 388	3.2	1.86	-99.43	16.86	1.84	-277.16	0	0	0
Reticolare correnti inferiori	SLU 389	3.2	1.86	-99.43	16.87	1.84	-302.09	0	0	0
Reticolare correnti inferiori	SLU 390	3.2	2.66	-99.43	27.75	2.64	-282.15	0	0	0
Reticolare correnti inferiori	SLU 391	3.2	2.66	-99.43	27.75	2.64	-289.63	0	0	0
Reticolare correnti inferiori	SLU 392	3.2	2.66	-99.43	27.75	2.64	-297.11	0	0	0
Reticolare correnti inferiori	SLU 393	5.33	0	8.6	-14.21	0	18.18	0	0	0
Reticolare correnti inferiori	SLU 394	5.33	0	8.6	-14.21	0	10.7	0	0	0
Reticolare correnti inferiori	SLU 395	5.33	0	8.6	-14.21	0	3.22	0	0	0
Reticolare correnti inferiori	SLU 396	5.33	1.86	8.6	11.18	1.85	18.18	0	0	0
Reticolare correnti inferiori	SLU 397	5.33	1.86	8.6	11.18	1.85	10.7	0	0	0
Reticolare correnti inferiori	SLU 398	5.33	1.86	8.6	11.18	1.85	3.22	0	0	0
Reticolare correnti inferiori	SLU 399	0	0	-297.04	0.01	-0.02	-825.51	0	0	0
Reticolare correnti inferiori	SLU 400	0	0	-297.04	0.01	-0.02	-850.44	0	0	0

Livello Nome	Cont. N.br.	Totale			Aste verticali			Pareti		
		F			F			F		
		X	Y	Z	X	Y	Z	X	Y	Z
Reticolare correnti inferiori	SLU 401	0	6.09	-405.66	0.01	10.68	-1127.48	0	0	0
Reticolare correnti inferiori	SLU 402	0	6.09	-405.66	0.02	10.68	-1152.41	0	0	0
Reticolare correnti inferiori	SLU 403	0	10.15	-478.07	0.01	17.82	-1333.79	0	0	0
Reticolare correnti inferiori	SLU 404	0	10.15	-478.07	0.02	17.82	-1341.27	0	0	0
Reticolare correnti inferiori	SLU 405	0	10.15	-478.07	0.02	17.82	-1348.74	0	0	0
Reticolare correnti inferiori	SLU 406	0	1.86	-297.04	25.4	1.83	-825.51	0	0	0
Reticolare correnti inferiori	SLU 407	0	1.86	-297.04	25.4	1.83	-850.44	0	0	0
Reticolare correnti inferiori	SLU 408	0	7.96	-405.66	25.4	12.54	-1127.49	0	0	0
Reticolare correnti inferiori	SLU 409	0	7.96	-405.66	25.4	12.54	-1152.42	0	0	0
Reticolare correnti inferiori	SLU 410	0	12.02	-478.07	25.4	19.67	-1333.79	0	0	0
Reticolare correnti inferiori	SLU 411	0	12.02	-478.07	25.4	19.67	-1341.27	0	0	0
Reticolare correnti inferiori	SLU 412	0	12.02	-478.07	25.4	19.67	-1348.75	0	0	0
Reticolare correnti inferiori	SLU 413	0	2.66	-297.04	36.28	2.63	-830.5	0	0	0
Reticolare correnti inferiori	SLU 414	0	2.66	-297.04	36.28	2.63	-837.98	0	0	0
Reticolare correnti inferiori	SLU 415	0	2.66	-297.04	36.28	2.63	-845.46	0	0	0
Reticolare correnti inferiori	SLU 416	0	8.75	-405.66	36.28	13.33	-1132.48	0	0	0
Reticolare correnti inferiori	SLU 417	0	8.75	-405.66	36.28	13.33	-1139.95	0	0	0
Reticolare correnti inferiori	SLU 418	0	8.75	-405.66	36.28	13.33	-1147.43	0	0	0
Reticolare correnti inferiori	SLU 419	0	13.32	-135	0	17.9	-375.02	0	0	0
Reticolare correnti inferiori	SLU 420	0	13.32	-135	0.01	17.9	-399.95	0	0	0
Reticolare correnti inferiori	SLU 421	0	15.19	-135	25.39	19.75	-375.02	0	0	0
Reticolare correnti inferiori	SLU 422	0	15.19	-135	25.4	19.75	-399.95	0	0	0
Reticolare correnti inferiori	SLU 423	0	15.99	-135	36.27	20.55	-380.01	0	0	0
Reticolare correnti inferiori	SLU 424	0	15.99	-135	36.27	20.55	-387.49	0	0	0
Reticolare correnti inferiori	SLU 425	0	15.99	-135	36.27	20.55	-394.97	0	0	0
Reticolare correnti inferiori	SLU 426	0	22.21	-26.97	0	29.84	-79.68	0	0	0
Reticolare correnti inferiori	SLU 427	0	22.21	-26.97	0	29.84	-87.15	0	0	0
Reticolare correnti inferiori	SLU 428	0	22.21	-26.97	0	29.84	-94.63	0	0	0
Reticolare correnti inferiori	SLU 429	0	24.07	-26.97	25.39	31.7	-79.68	0	0	0
Reticolare correnti inferiori	SLU 430	0	24.07	-26.97	25.39	31.7	-87.16	0	0	0
Reticolare correnti inferiori	SLU 431	0	24.07	-26.97	25.39	31.7	-94.64	0	0	0
Reticolare correnti inferiori	SLU 432	3.2	0	-135	-8.52	-0.01	-375.02	0	0	0
Reticolare correnti inferiori	SLU 433	3.2	0	-135	-8.52	-0.01	-399.95	0	0	0
Reticolare correnti inferiori	SLU 434	3.2	1.86	-135	16.87	1.84	-375.02	0	0	0

Livello Nome	Cont. N.br.	Totale			Aste verticali			Pareti		
		X	Y	Z	X	Y	Z	X	Y	Z
Reticolare correnti inferiori	SLU 435	3.2	1.86	-135	16.87	1.84	-399.95	0	0	0
Reticolare correnti inferiori	SLU 436	3.2	2.66	-135	27.75	2.64	-380.01	0	0	0
Reticolare correnti inferiori	SLU 437	3.2	2.66	-135	27.75	2.64	-387.49	0	0	0
Reticolare correnti inferiori	SLU 438	3.2	2.66	-135	27.75	2.64	-394.97	0	0	0
Reticolare correnti inferiori	SLU 439	5.33	0	-26.97	-14.21	-0.01	-79.68	0	0	0
Reticolare correnti inferiori	SLU 440	5.33	0	-26.97	-14.21	-0.01	-87.16	0	0	0
Reticolare correnti inferiori	SLU 441	5.33	0	-26.97	-14.21	-0.01	-94.64	0	0	0
Reticolare correnti inferiori	SLU 442	5.33	1.86	-26.97	11.18	1.85	-79.69	0	0	0
Reticolare correnti inferiori	SLU 443	5.33	1.86	-26.97	11.18	1.85	-87.16	0	0	0
Reticolare correnti inferiori	SLU 444	5.33	1.86	-26.97	11.18	1.85	-94.64	0	0	0
Reticolare correnti inferiori	SLU 445	0	0	-332.61	0.01	-0.02	-928.36	0	0	0
Reticolare correnti inferiori	SLU 446	0	0	-332.61	0.01	-0.02	-935.84	0	0	0
Reticolare correnti inferiori	SLU 447	0	0	-332.61	0.01	-0.02	-943.31	0	0	0
Reticolare correnti inferiori	SLU 448	0	6.09	-441.23	0.01	10.68	-1230.33	0	0	0
Reticolare correnti inferiori	SLU 449	0	6.09	-441.23	0.01	10.68	-1237.81	0	0	0
Reticolare correnti inferiori	SLU 450	0	6.09	-441.23	0.02	10.68	-1245.29	0	0	0
Reticolare correnti inferiori	SLU 451	0	1.86	-332.61	25.4	1.83	-928.36	0	0	0
Reticolare correnti inferiori	SLU 452	0	1.86	-332.61	25.4	1.83	-935.84	0	0	0
Reticolare correnti inferiori	SLU 453	0	1.86	-332.61	25.4	1.83	-943.32	0	0	0
Reticolare correnti inferiori	SLU 454	0	7.96	-441.23	25.4	12.53	-1230.34	0	0	0
Reticolare correnti inferiori	SLU 455	0	7.96	-441.23	25.4	12.53	-1237.81	0	0	0
Reticolare correnti inferiori	SLU 456	0	7.96	-441.23	25.4	12.53	-1245.29	0	0	0
Reticolare correnti inferiori	SLU 457	0	13.32	-170.57	0	17.89	-477.87	0	0	0
Reticolare correnti inferiori	SLU 458	0	13.32	-170.57	0.01	17.89	-485.34	0	0	0
Reticolare correnti inferiori	SLU 459	0	13.32	-170.57	0.01	17.89	-492.82	0	0	0
Reticolare correnti inferiori	SLU 460	0	15.19	-170.57	25.39	19.75	-477.87	0	0	0
Reticolare correnti inferiori	SLU 461	0	15.19	-170.57	25.39	19.75	-485.35	0	0	0
Reticolare correnti inferiori	SLU 462	0	15.19	-170.57	25.4	19.75	-492.83	0	0	0
Reticolare correnti inferiori	SLU 463	3.2	0	-170.57	-8.52	-0.01	-477.87	0	0	0
Reticolare correnti inferiori	SLU 464	3.2	0	-170.57	-8.52	-0.01	-485.35	0	0	0
Reticolare correnti inferiori	SLU 465	3.2	0	-170.57	-8.52	-0.01	-492.83	0	0	0
Reticolare correnti inferiori	SLU 466	3.2	1.86	-170.57	16.87	1.84	-477.87	0	0	0
Reticolare correnti inferiori	SLU 467	3.2	1.86	-170.57	16.87	1.84	-485.35	0	0	0
Reticolare correnti inferiori	SLU 468	3.2	1.86	-170.57	16.87	1.84	-492.83	0	0	0

Livello Nome	Cont. N.br.	Totale			Aste verticali			Pareti		
		X	Y	Z	X	Y	Z	X	Y	Z
Reticolare correnti inferiori	SLE RA 1	0	0	-178.3	0	-0.01	-497.54	0	0	0
Reticolare correnti inferiori	SLE RA 2	0	0	-178.3	0.01	-0.01	-505.85	0	0	0
Reticolare correnti inferiori	SLE RA 3	0	0	-178.3	0.01	-0.01	-514.16	0	0	0
Reticolare correnti inferiori	SLE RA 4	0	4.06	-250.71	0.01	7.12	-698.86	0	0	0
Reticolare correnti inferiori	SLE RA 5	0	4.06	-250.71	0.01	7.12	-715.48	0	0	0
Reticolare correnti inferiori	SLE RA 6	0	6.77	-298.99	0.01	11.88	-836.39	0	0	0
Reticolare correnti inferiori	SLE RA 7	0	6.77	-298.99	0.01	11.88	-841.38	0	0	0
Reticolare correnti inferiori	SLE RA 8	0	6.77	-298.99	0.01	11.88	-846.36	0	0	0
Reticolare correnti inferiori	SLE RA 9	0	1.24	-178.3	16.93	1.22	-497.54	0	0	0
Reticolare correnti inferiori	SLE RA 10	0	1.24	-178.3	16.93	1.22	-514.16	0	0	0
Reticolare correnti inferiori	SLE RA 11	0	5.3	-250.71	16.93	8.36	-698.86	0	0	0
Reticolare correnti inferiori	SLE RA 12	0	5.3	-250.71	16.94	8.36	-715.48	0	0	0
Reticolare correnti inferiori	SLE RA 13	0	8.01	-298.99	16.93	13.11	-836.39	0	0	0
Reticolare correnti inferiori	SLE RA 14	0	8.01	-298.99	16.93	13.11	-841.38	0	0	0
Reticolare correnti inferiori	SLE RA 15	0	8.01	-298.99	16.94	13.11	-846.37	0	0	0
Reticolare correnti inferiori	SLE RA 16	0	1.78	-178.3	24.18	1.75	-500.87	0	0	0
Reticolare correnti inferiori	SLE RA 17	0	1.78	-178.3	24.19	1.75	-505.85	0	0	0
Reticolare correnti inferiori	SLE RA 18	0	1.78	-178.3	24.19	1.75	-510.84	0	0	0
Reticolare correnti inferiori	SLE RA 19	0	5.84	-250.71	24.19	8.89	-702.18	0	0	0
Reticolare correnti inferiori	SLE RA 20	0	5.84	-250.71	24.19	8.89	-707.17	0	0	0
Reticolare correnti inferiori	SLE RA 21	0	5.84	-250.71	24.19	8.89	-712.15	0	0	0
Reticolare correnti inferiori	SLE RA 22	0	8.88	-70.27	0	11.93	-197.21	0	0	0
Reticolare correnti inferiori	SLE RA 23	0	8.88	-70.27	0	11.93	-213.83	0	0	0
Reticolare correnti inferiori	SLE RA 24	0	10.13	-70.27	16.93	13.17	-197.21	0	0	0
Reticolare correnti inferiori	SLE RA 25	0	10.13	-70.27	16.93	13.17	-213.83	0	0	0
Reticolare correnti inferiori	SLE RA 26	0	10.66	-70.27	24.18	13.7	-200.54	0	0	0
Reticolare correnti inferiori	SLE RA 27	0	10.66	-70.27	24.18	13.7	-205.52	0	0	0
Reticolare correnti inferiori	SLE RA 28	0	10.66	-70.27	24.18	13.7	-210.51	0	0	0
Reticolare correnti inferiori	SLE RA 29	0	14.8	1.74	0	19.89	-0.32	0	0	0
Reticolare correnti inferiori	SLE RA 30	0	14.8	1.74	0	19.89	-5.3	0	0	0
Reticolare correnti inferiori	SLE RA 31	0	14.8	1.74	0	19.89	-10.29	0	0	0
Reticolare correnti inferiori	SLE RA 32	0	16.05	1.74	16.92	21.13	-0.32	0	0	0
Reticolare correnti inferiori	SLE RA 33	0	16.05	1.74	16.93	21.13	-5.31	0	0	0
Reticolare correnti inferiori	SLE RA 34	0	16.05	1.74	16.93	21.13	-10.29	0	0	0

Livello	Cont. Nome	Cont. N.br.	Totale			Aste verticali			Pareti		
			F			F			F		
			X	Y	Z	X	Y	Z	X	Y	Z
Reticolare correnti inferiori	SLE RA 35	2.13	0	-70.27	-5.68	-0.01	-197.21	0	0	0	
Reticolare correnti inferiori	SLE RA 36	2.13	0	-70.27	-5.68	-0.01	-213.83	0	0	0	
Reticolare correnti inferiori	SLE RA 37	2.13	1.24	-70.27	11.24	1.23	-197.22	0	0	0	
Reticolare correnti inferiori	SLE RA 38	2.13	1.24	-70.27	11.25	1.23	-213.84	0	0	0	
Reticolare correnti inferiori	SLE RA 39	2.13	1.78	-70.27	18.5	1.76	-200.54	0	0	0	
Reticolare correnti inferiori	SLE RA 40	2.13	1.78	-70.27	18.5	1.76	-205.53	0	0	0	
Reticolare correnti inferiori	SLE RA 41	2.13	1.78	-70.27	18.5	1.76	-210.51	0	0	0	
Reticolare correnti inferiori	SLE RA 42	3.55	0	1.74	-9.47	0	-0.32	0	0	0	
Reticolare correnti inferiori	SLE RA 43	3.55	0	1.74	-9.47	0	-5.31	0	0	0	
Reticolare correnti inferiori	SLE RA 44	3.55	0	1.74	-9.47	0	-10.29	0	0	0	
Reticolare correnti inferiori	SLE RA 45	3.55	1.24	1.74	7.45	1.23	-0.32	0	0	0	
Reticolare correnti inferiori	SLE RA 46	3.55	1.24	1.74	7.45	1.23	-5.31	0	0	0	
Reticolare correnti inferiori	SLE RA 47	3.55	1.24	1.74	7.45	1.23	-10.3	0	0	0	
Reticolare correnti inferiori	SLE RA 48	0	0	-202.01	0.01	-0.02	-562.78	0	0	0	
Reticolare correnti inferiori	SLE RA 49	0	0	-202.01	0.01	-0.02	-579.4	0	0	0	
Reticolare correnti inferiori	SLE RA 50	0	4.06	-274.43	0.01	7.12	-764.1	0	0	0	
Reticolare correnti inferiori	SLE RA 51	0	4.06	-274.43	0.01	7.12	-780.72	0	0	0	
Reticolare correnti inferiori	SLE RA 52	0	6.77	-322.7	0.01	11.88	-901.63	0	0	0	
Reticolare correnti inferiori	SLE RA 53	0	6.77	-322.7	0.01	11.88	-906.62	0	0	0	
Reticolare correnti inferiori	SLE RA 54	0	6.77	-322.7	0.01	11.88	-911.6	0	0	0	
Reticolare correnti inferiori	SLE RA 55	0	1.24	-202.01	16.93	1.22	-562.78	0	0	0	
Reticolare correnti inferiori	SLE RA 56	0	1.24	-202.01	16.93	1.22	-579.4	0	0	0	
Reticolare correnti inferiori	SLE RA 57	0	5.3	-274.43	16.93	8.36	-764.1	0	0	0	
Reticolare correnti inferiori	SLE RA 58	0	5.3	-274.43	16.94	8.36	-780.72	0	0	0	
Reticolare correnti inferiori	SLE RA 59	0	8.01	-322.7	16.93	13.11	-901.64	0	0	0	
Reticolare correnti inferiori	SLE RA 60	0	8.01	-322.7	16.94	13.11	-906.62	0	0	0	
Reticolare correnti inferiori	SLE RA 61	0	8.01	-322.7	16.94	13.11	-911.61	0	0	0	
Reticolare correnti inferiori	SLE RA 62	0	1.78	-202.01	24.19	1.75	-566.11	0	0	0	
Reticolare correnti inferiori	SLE RA 63	0	1.78	-202.01	24.19	1.75	-571.09	0	0	0	
Reticolare correnti inferiori	SLE RA 64	0	1.78	-202.01	24.19	1.75	-576.08	0	0	0	
Reticolare correnti inferiori	SLE RA 65	0	5.84	-274.43	24.19	8.89	-767.43	0	0	0	
Reticolare correnti inferiori	SLE RA 66	0	5.84	-274.43	24.19	8.89	-772.41	0	0	0	
Reticolare correnti inferiori	SLE RA 67	0	5.84	-274.43	24.19	8.89	-777.4	0	0	0	
Reticolare correnti inferiori	SLE RA 68	0	8.88	-93.99	0	11.93	-262.45	0	0	0	

Livello Nome	Cont. N.br.	Totale			Aste verticali			Pareti		
		F			F			F		
		X	Y	Z	X	Y	Z	X	Y	Z
Reticolare correnti inferiori	SLE RA 69	0	8.88	-93.99	0.01	11.93	-279.07	0	0	0
Reticolare correnti inferiori	SLE RA 70	0	10.13	-93.99	16.93	13.17	-262.46	0	0	0
Reticolare correnti inferiori	SLE RA 71	0	10.13	-93.99	16.93	13.17	-279.07	0	0	0
Reticolare correnti inferiori	SLE RA 72	0	10.66	-93.99	24.18	13.7	-265.78	0	0	0
Reticolare correnti inferiori	SLE RA 73	0	10.66	-93.99	24.18	13.7	-270.77	0	0	0
Reticolare correnti inferiori	SLE RA 74	0	10.66	-93.99	24.18	13.7	-275.75	0	0	0
Reticolare correnti inferiori	SLE RA 75	0	14.8	-21.97	0	19.89	-65.56	0	0	0
Reticolare correnti inferiori	SLE RA 76	0	14.8	-21.97	0	19.89	-70.54	0	0	0
Reticolare correnti inferiori	SLE RA 77	0	14.8	-21.97	0	19.89	-75.53	0	0	0
Reticolare correnti inferiori	SLE RA 78	0	16.05	-21.97	16.93	21.13	-65.56	0	0	0
Reticolare correnti inferiori	SLE RA 79	0	16.05	-21.97	16.93	21.13	-70.55	0	0	0
Reticolare correnti inferiori	SLE RA 80	0	16.05	-21.97	16.93	21.13	-75.53	0	0	0
Reticolare correnti inferiori	SLE RA 81	2.13	0	-93.99	-5.68	-0.01	-262.46	0	0	0
Reticolare correnti inferiori	SLE RA 82	2.13	0	-93.99	-5.68	-0.01	-279.08	0	0	0
Reticolare correnti inferiori	SLE RA 83	2.13	1.24	-93.99	11.24	1.23	-262.46	0	0	0
Reticolare correnti inferiori	SLE RA 84	2.13	1.24	-93.99	11.25	1.23	-279.08	0	0	0
Reticolare correnti inferiori	SLE RA 85	2.13	1.78	-93.99	18.5	1.76	-265.78	0	0	0
Reticolare correnti inferiori	SLE RA 86	2.13	1.78	-93.99	18.5	1.76	-270.77	0	0	0
Reticolare correnti inferiori	SLE RA 87	2.13	1.78	-93.99	18.5	1.76	-275.75	0	0	0
Reticolare correnti inferiori	SLE RA 88	3.55	0	-21.97	-9.47	-0.01	-65.56	0	0	0
Reticolare correnti inferiori	SLE RA 89	3.55	0	-21.97	-9.47	-0.01	-70.55	0	0	0
Reticolare correnti inferiori	SLE RA 90	3.55	0	-21.97	-9.47	-0.01	-75.53	0	0	0
Reticolare correnti inferiori	SLE RA 91	3.55	1.24	-21.97	7.45	1.23	-65.57	0	0	0
Reticolare correnti inferiori	SLE RA 92	3.55	1.24	-21.97	7.45	1.23	-70.55	0	0	0
Reticolare correnti inferiori	SLE RA 93	3.55	1.24	-21.97	7.46	1.23	-75.54	0	0	0
Reticolare correnti inferiori	SLE RA 94	0	0	-225.73	0.01	-0.02	-631.35	0	0	0
Reticolare correnti inferiori	SLE RA 95	0	0	-225.73	0.01	-0.02	-636.33	0	0	0
Reticolare correnti inferiori	SLE RA 96	0	0	-225.73	0.01	-0.02	-641.32	0	0	0
Reticolare correnti inferiori	SLE RA 97	0	4.06	-298.14	0.01	7.12	-832.66	0	0	0
Reticolare correnti inferiori	SLE RA 98	0	4.06	-298.14	0.01	7.12	-837.65	0	0	0
Reticolare correnti inferiori	SLE RA 99	0	4.06	-298.14	0.01	7.12	-842.64	0	0	0
Reticolare correnti inferiori	SLE RA 100	0	1.24	-225.73	16.93	1.22	-631.35	0	0	0
Reticolare correnti inferiori	SLE RA 101	0	1.24	-225.73	16.93	1.22	-636.33	0	0	0
Reticolare correnti inferiori	SLE RA 102	0	1.24	-225.73	16.93	1.22	-641.32	0	0	0

Livello Nome	Cont. N.br.	Totale			Aste verticali			Pareti		
		F			F			F		
		X	Y	Z	X	Y	Z	X	Y	Z
Reticolare correnti inferiori	SLE RA 103	0	5.3	-298.14	16.93	8.36	-832.67	0	0	0
Reticolare correnti inferiori	SLE RA 104	0	5.3	-298.14	16.94	8.36	-837.65	0	0	0
Reticolare correnti inferiori	SLE RA 105	0	5.3	-298.14	16.94	8.36	-842.64	0	0	0
Reticolare correnti inferiori	SLE RA 106	0	8.88	-117.7	0	11.93	-331.02	0	0	0
Reticolare correnti inferiori	SLE RA 107	0	8.88	-117.7	0	11.93	-336	0	0	0
Reticolare correnti inferiori	SLE RA 108	0	8.88	-117.7	0.01	11.93	-340.99	0	0	0
Reticolare correnti inferiori	SLE RA 109	0	10.13	-117.7	16.93	13.17	-331.02	0	0	0
Reticolare correnti inferiori	SLE RA 110	0	10.13	-117.7	16.93	13.17	-336.01	0	0	0
Reticolare correnti inferiori	SLE RA 111	0	10.13	-117.7	16.93	13.17	-340.99	0	0	0
Reticolare correnti inferiori	SLE RA 112	2.13	0	-117.7	-5.68	-0.01	-331.02	0	0	0
Reticolare correnti inferiori	SLE RA 113	2.13	0	-117.7	-5.68	-0.01	-336.01	0	0	0
Reticolare correnti inferiori	SLE RA 114	2.13	0	-117.7	-5.68	-0.01	-340.99	0	0	0
Reticolare correnti inferiori	SLE RA 115	2.13	1.24	-117.7	11.25	1.23	-331.02	0	0	0
Reticolare correnti inferiori	SLE RA 116	2.13	1.24	-117.7	11.25	1.23	-336.01	0	0	0
Reticolare correnti inferiori	SLE RA 117	2.13	1.24	-117.7	11.25	1.23	-341	0	0	0
Reticolare correnti inferiori	SLE FR 1	0	0	-178.3	0.01	-0.01	-501.69	0	0	0
Reticolare correnti inferiori	SLE FR 2	0	0	-178.3	0.01	-0.01	-505.85	0	0	0
Reticolare correnti inferiori	SLE FR 3	0	0	-178.3	0.01	-0.01	-510	0	0	0
Reticolare correnti inferiori	SLE FR 4	0	1.35	-202.44	0.01	2.36	-572.95	0	0	0
Reticolare correnti inferiori	SLE FR 5	0	1.07	-178.3	14.51	1.05	-501.7	0	0	0
Reticolare correnti inferiori	SLE FR 6	0	1.07	-178.3	14.51	1.05	-510.01	0	0	0
Reticolare correnti inferiori	SLE FR 7	0	2.42	-202.44	14.51	3.42	-572.96	0	0	0
Reticolare correnti inferiori	SLE FR 8	0	1.24	-178.3	16.93	1.22	-505.85	0	0	0
Reticolare correnti inferiori	SLE FR 9	0	2.96	-142.29	0.01	3.97	-405.74	0	0	0
Reticolare correnti inferiori	SLE FR 10	0	4.03	-142.29	14.51	5.03	-405.74	0	0	0
Reticolare correnti inferiori	SLE FR 11	0.71	0	-142.29	-1.89	-0.01	-405.74	0	0	0
Reticolare correnti inferiori	SLE FR 12	0.71	1.07	-142.29	12.62	1.05	-405.74	0	0	0
Reticolare correnti inferiori	SLE FR 13	0	0	-187.79	0.01	-0.01	-531.95	0	0	0
Reticolare correnti inferiori	SLE FR 14	0	1.07	-187.79	14.51	1.05	-531.95	0	0	0
Reticolare correnti inferiori	SLE QP 1	0	0	-178.3	0.01	-0.01	-505.85	0	0	0
Reticolare correnti inferiori	SLE QP 2	0	1.07	-178.3	14.51	1.05	-505.85	0	0	0
Reticolare correnti inferiori	SLO 1	-14.66	-1.51	-178.6	76.21	-8.01	-506.26	0	0	0
Reticolare correnti inferiori	SLO 2	-14.66	-1.51	-178.6	76.21	-8.01	-506.26	0	0	0
Reticolare correnti inferiori	SLO 3	-14.66	-1.51	-178.6	76.21	-8.01	-506.26	0	0	0

Livello Nome	Cont. N.br.	Totale			Aste verticali			Pareti		
		F			F			F		
		X	Y	Z	X	Y	Z	X	Y	Z
Reticolare correnti inferiori	SLO 4	-14.66	-1.51	-178.6	76.21	-8.01	-506.26	0	0	0
Reticolare correnti inferiori	SLO 5	-15.36	3.17	-177.83	75.62	9.48	-505.6	0	0	0
Reticolare correnti inferiori	SLO 6	-15.36	3.17	-177.83	75.62	9.48	-505.6	0	0	0
Reticolare correnti inferiori	SLO 7	-15.36	3.17	-177.83	75.62	9.48	-505.6	0	0	0
Reticolare correnti inferiori	SLO 8	-15.36	3.17	-177.83	75.62	9.48	-505.6	0	0	0
Reticolare correnti inferiori	SLO 9	-3.34	-6.81	-179.55	33.93	-28.2	-506.97	0	0	0
Reticolare correnti inferiori	SLO 10	-3.34	-6.81	-179.55	33.93	-28.2	-506.97	0	0	0
Reticolare correnti inferiori	SLO 11	-3.34	-6.81	-179.55	33.93	-28.2	-506.97	0	0	0
Reticolare correnti inferiori	SLO 12	-3.34	-6.81	-179.55	33.93	-28.2	-506.97	0	0	0
Reticolare correnti inferiori	SLO 13	-5.66	8.8	-177	31.94	30.1	-504.77	0	0	0
Reticolare correnti inferiori	SLO 14	-5.66	8.8	-177	31.94	30.1	-504.77	0	0	0
Reticolare correnti inferiori	SLO 15	-5.66	8.8	-177	31.94	30.1	-504.77	0	0	0
Reticolare correnti inferiori	SLO 16	-5.66	8.8	-177	31.94	30.1	-504.77	0	0	0
Reticolare correnti inferiori	SLO 17	5.66	-6.67	-179.6	-2.91	-28.01	-506.93	0	0	0
Reticolare correnti inferiori	SLO 18	5.66	-6.67	-179.6	-2.91	-28.01	-506.93	0	0	0
Reticolare correnti inferiori	SLO 19	5.66	-6.67	-179.6	-2.91	-28.01	-506.93	0	0	0
Reticolare correnti inferiori	SLO 20	5.66	-6.67	-179.6	-2.91	-28.01	-506.93	0	0	0
Reticolare correnti inferiori	SLO 21	3.34	8.94	-177.05	-4.9	30.29	-504.73	0	0	0
Reticolare correnti inferiori	SLO 22	3.34	8.94	-177.05	-4.9	30.29	-504.73	0	0	0
Reticolare correnti inferiori	SLO 23	3.34	8.94	-177.05	-4.9	30.29	-504.73	0	0	0
Reticolare correnti inferiori	SLO 24	3.34	8.94	-177.05	-4.9	30.29	-504.73	0	0	0
Reticolare correnti inferiori	SLO 25	15.36	-1.04	-178.77	-46.59	-7.38	-506.11	0	0	0
Reticolare correnti inferiori	SLO 26	15.36	-1.04	-178.77	-46.59	-7.38	-506.11	0	0	0
Reticolare correnti inferiori	SLO 27	15.36	-1.04	-178.77	-46.59	-7.38	-506.11	0	0	0
Reticolare correnti inferiori	SLO 28	15.36	-1.04	-178.77	-46.59	-7.38	-506.11	0	0	0
Reticolare correnti inferiori	SLO 29	14.66	3.64	-178	-47.18	10.11	-505.45	0	0	0
Reticolare correnti inferiori	SLO 30	14.66	3.64	-178	-47.18	10.11	-505.45	0	0	0
Reticolare correnti inferiori	SLO 31	14.66	3.64	-178	-47.18	10.11	-505.45	0	0	0
Reticolare correnti inferiori	SLO 32	14.66	3.64	-178	-47.18	10.11	-505.45	0	0	0
Reticolare correnti inferiori	SLD 1	-18	-1.73	-178.63	90.3	-10.05	-506.33	0	0	0
Reticolare correnti inferiori	SLD 2	-18	-1.73	-178.63	90.3	-10.05	-506.33	0	0	0
Reticolare correnti inferiori	SLD 3	-18	-1.73	-178.63	90.3	-10.05	-506.33	0	0	0
Reticolare correnti inferiori	SLD 4	-18	-1.73	-178.63	90.3	-10.05	-506.33	0	0	0
Reticolare correnti inferiori	SLD 5	-18.81	3.97	-177.74	89.61	11.41	-505.56	0	0	0

Livello Nome	Cont. N.br.	Totale			Aste verticali			Pareti		
		F			F			F		
		X	Y	Z	X	Y	Z	X	Y	Z
Reticolare correnti inferiori	SLD 6	-18.81	3.97	-177.74	89.61	11.41	-505.56	0	0	0
Reticolare correnti inferiori	SLD 7	-18.81	3.97	-177.74	89.61	11.41	-505.56	0	0	0
Reticolare correnti inferiori	SLD 8	-18.81	3.97	-177.74	89.61	11.41	-505.56	0	0	0
Reticolare correnti inferiori	SLD 9	-4.17	-8.42	-179.75	38.3	-34.84	-507.16	0	0	0
Reticolare correnti inferiori	SLD 10	-4.17	-8.42	-179.75	38.3	-34.84	-507.16	0	0	0
Reticolare correnti inferiori	SLD 11	-4.17	-8.42	-179.75	38.3	-34.84	-507.16	0	0	0
Reticolare correnti inferiori	SLD 12	-4.17	-8.42	-179.75	38.3	-34.84	-507.16	0	0	0
Reticolare correnti inferiori	SLD 13	-6.87	10.58	-176.78	35.99	36.71	-504.59	0	0	0
Reticolare correnti inferiori	SLD 14	-6.87	10.58	-176.78	35.99	36.71	-504.59	0	0	0
Reticolare correnti inferiori	SLD 15	-6.87	10.58	-176.78	35.99	36.71	-504.59	0	0	0
Reticolare correnti inferiori	SLD 16	-6.87	10.58	-176.78	35.99	36.71	-504.59	0	0	0
Reticolare correnti inferiori	SLD 17	6.87	-8.45	-179.82	-6.96	-34.62	-507.11	0	0	0
Reticolare correnti inferiori	SLD 18	6.87	-8.45	-179.82	-6.96	-34.62	-507.11	0	0	0
Reticolare correnti inferiori	SLD 19	6.87	-8.45	-179.82	-6.96	-34.62	-507.11	0	0	0
Reticolare correnti inferiori	SLD 20	6.87	-8.45	-179.82	-6.96	-34.62	-507.11	0	0	0
Reticolare correnti inferiori	SLD 21	4.17	10.55	-176.85	-9.28	36.93	-504.54	0	0	0
Reticolare correnti inferiori	SLD 22	4.17	10.55	-176.85	-9.28	36.93	-504.54	0	0	0
Reticolare correnti inferiori	SLD 23	4.17	10.55	-176.85	-9.28	36.93	-504.54	0	0	0
Reticolare correnti inferiori	SLD 24	4.17	10.55	-176.85	-9.28	36.93	-504.54	0	0	0
Reticolare correnti inferiori	SLD 25	18.81	-1.84	-178.87	-60.58	-9.32	-506.14	0	0	0
Reticolare correnti inferiori	SLD 26	18.81	-1.84	-178.87	-60.58	-9.32	-506.14	0	0	0
Reticolare correnti inferiori	SLD 27	18.81	-1.84	-178.87	-60.58	-9.32	-506.14	0	0	0
Reticolare correnti inferiori	SLD 28	18.81	-1.84	-178.87	-60.58	-9.32	-506.14	0	0	0
Reticolare correnti inferiori	SLD 29	18	3.86	-177.97	-61.27	12.15	-505.37	0	0	0
Reticolare correnti inferiori	SLD 30	18	3.86	-177.97	-61.27	12.15	-505.37	0	0	0
Reticolare correnti inferiori	SLD 31	18	3.86	-177.97	-61.27	12.15	-505.37	0	0	0
Reticolare correnti inferiori	SLD 32	18	3.86	-177.97	-61.27	12.15	-505.37	0	0	0
Reticolare correnti inferiori	SLV 1	-47.06	-6.89	-179.07	212.88	-27.79	-506.96	0	0	0
Reticolare correnti inferiori	SLV 2	-47.06	-6.89	-179.07	212.88	-27.79	-506.96	0	0	0
Reticolare correnti inferiori	SLV 3	-47.06	-6.89	-179.07	212.88	-27.79	-506.96	0	0	0
Reticolare correnti inferiori	SLV 4	-47.06	-6.89	-179.07	212.88	-27.79	-506.96	0	0	0
Reticolare correnti inferiori	SLV 5	-48.58	7.84	-177.11	211.33	28.26	-505.24	0	0	0
Reticolare correnti inferiori	SLV 6	-48.58	7.84	-177.11	211.33	28.26	-505.24	0	0	0
Reticolare correnti inferiori	SLV 7	-48.58	7.84	-177.11	211.33	28.26	-505.24	0	0	0

Livello Nome	Cont. N.br.	Totale			Aste verticali			Pareti		
		F			F			F		
		X	Y	Z	X	Y	Z	X	Y	Z
Reticolare correnti inferiori	SLV 8	-48.58	7.84	-177.11	211.33	28.26	-505.24	0	0	0
Reticolare correnti inferiori	SLV 9	-11.81	-23.65	-181.51	76.37	-92.62	-508.78	0	0	0
Reticolare correnti inferiori	SLV 10	-11.81	-23.65	-181.51	76.37	-92.62	-508.78	0	0	0
Reticolare correnti inferiori	SLV 11	-11.81	-23.65	-181.51	76.37	-92.62	-508.78	0	0	0
Reticolare correnti inferiori	SLV 12	-11.81	-23.65	-181.51	76.37	-92.62	-508.78	0	0	0
Reticolare correnti inferiori	SLV 13	-16.89	25.43	-174.97	71.22	94.22	-503.07	0	0	0
Reticolare correnti inferiori	SLV 14	-16.89	25.43	-174.97	71.22	94.22	-503.07	0	0	0
Reticolare correnti inferiori	SLV 15	-16.89	25.43	-174.97	71.22	94.22	-503.07	0	0	0
Reticolare correnti inferiori	SLV 16	-16.89	25.43	-174.97	71.22	94.22	-503.07	0	0	0
Reticolare correnti inferiori	SLV 17	16.89	-23.3	-181.64	-42.19	-92.13	-508.63	0	0	0
Reticolare correnti inferiori	SLV 18	16.89	-23.3	-181.64	-42.19	-92.13	-508.63	0	0	0
Reticolare correnti inferiori	SLV 19	16.89	-23.3	-181.64	-42.19	-92.13	-508.63	0	0	0
Reticolare correnti inferiori	SLV 20	16.89	-23.3	-181.64	-42.19	-92.13	-508.63	0	0	0
Reticolare correnti inferiori	SLV 21	11.81	25.79	-175.09	-47.34	94.71	-502.92	0	0	0
Reticolare correnti inferiori	SLV 22	11.81	25.79	-175.09	-47.34	94.71	-502.92	0	0	0
Reticolare correnti inferiori	SLV 23	11.81	25.79	-175.09	-47.34	94.71	-502.92	0	0	0
Reticolare correnti inferiori	SLV 24	11.81	25.79	-175.09	-47.34	94.71	-502.92	0	0	0
Reticolare correnti inferiori	SLV 25	48.58	-5.71	-179.5	-182.31	-26.17	-506.46	0	0	0
Reticolare correnti inferiori	SLV 26	48.58	-5.71	-179.5	-182.31	-26.17	-506.46	0	0	0
Reticolare correnti inferiori	SLV 27	48.58	-5.71	-179.5	-182.31	-26.17	-506.46	0	0	0
Reticolare correnti inferiori	SLV 28	48.58	-5.71	-179.5	-182.31	-26.17	-506.46	0	0	0
Reticolare correnti inferiori	SLV 29	47.06	9.02	-177.53	-183.85	29.89	-504.75	0	0	0
Reticolare correnti inferiori	SLV 30	47.06	9.02	-177.53	-183.85	29.89	-504.75	0	0	0
Reticolare correnti inferiori	SLV 31	47.06	9.02	-177.53	-183.85	29.89	-504.75	0	0	0
Reticolare correnti inferiori	SLV 32	47.06	9.02	-177.53	-183.85	29.89	-504.75	0	0	0
Reticolare correnti inferiori	CRTFP Ux+	0	0	0	0	0	0	0	0	0
Reticolare correnti inferiori	CRTFP Ux-	0	0	0	0	0	0	0	0	0
Reticolare correnti inferiori	CRTFP Uy+	0	0	0	0	0	0	0	0	0
Reticolare correnti inferiori	CRTFP Uy-	0	0	0	0	0	0	0	0	0
Reticolare correnti inferiori	CRTFP Rz+	0	0	0	0	0	0	0	0	0
Reticolare correnti inferiori	CRTFP Rz-	0	0	0	0	0	0	0	0	0
Reticolare correnti superiori	Pesi	0	0	-0.69	0	0	-0.69	0	0	0
Reticolare correnti superiori	Port.	0	0	0	0	0	0	0	0	0
Reticolare correnti superiori	Neve	0	0	0	0	0	0	0	0	0

Livello	Cont. N.br.	Totale			Aste verticali			Pareti		
		F			F			F		
		X	Y	Z	X	Y	Z	X	Y	Z
Reticolare correnti superiori	Vento X (+Z)	0.43	0	0	0.43	0	0	0	0	0
Reticolare correnti superiori	Vento Y (+Z)	0	0.98	0	0	0.98	0	0	0	0
Reticolare correnti superiori	Passaggio convogli	0	0.22	0	0	0.22	0	0	0	0
Reticolare correnti superiori	Vento Y (-Z)	0	0	0	0	0	0	0	0	0
Reticolare correnti superiori	AT	0	0	0	0	0	0	0	0	0
Reticolare correnti superiori	X SLV	0.15	-0.01	0	0.15	-0.01	0	0	0	0
Reticolare correnti superiori	Y SLV	0.19	0.14	0	0.19	0.14	0	0	0	0
Reticolare correnti superiori	X SLD	0.06	0	0	0.06	0	0	0	0	0
Reticolare correnti superiori	Y SLD	0.09	0.06	0	0.09	0.06	0	0	0	0
Reticolare correnti superiori	X SLO	0.05	-0.01	0	0.05	-0.01	0	0	0	0
Reticolare correnti superiori	Y SLO	0.07	0.05	0	0.07	0.05	0	0	0	0
Reticolare correnti superiori	R Ux	0	0	0	0	0	0	0	0	0
Reticolare correnti superiori	R Uy	0	0	0	0	0	0	0	0	0
Reticolare correnti superiori	R Rz	0	0	0	0	0	0	0	0	0
Reticolare correnti superiori	SLU 1	0	0	-0.69	0	0	-0.69	0	0	0
Reticolare correnti superiori	SLU 2	0	0	-0.69	0	0	-0.69	0	0	0
Reticolare correnti superiori	SLU 3	0	0	-0.69	0	0	-0.69	0	0	0
Reticolare correnti superiori	SLU 4	0	0	-0.69	0	0	-0.69	0	0	0
Reticolare correnti superiori	SLU 5	0	0	-0.69	0	0	-0.69	0	0	0
Reticolare correnti superiori	SLU 6	0	0	-0.69	0	0	-0.69	0	0	0
Reticolare correnti superiori	SLU 7	0	0	-0.69	0	0	-0.69	0	0	0
Reticolare correnti superiori	SLU 8	0	0	-0.69	0	0	-0.69	0	0	0
Reticolare correnti superiori	SLU 9	0	0.23	-0.69	0	0.23	-0.69	0	0	0
Reticolare correnti superiori	SLU 10	0	0.23	-0.69	0	0.23	-0.69	0	0	0
Reticolare correnti superiori	SLU 11	0	0.23	-0.69	0	0.23	-0.69	0	0	0
Reticolare correnti superiori	SLU 12	0	0.23	-0.69	0	0.23	-0.69	0	0	0
Reticolare correnti superiori	SLU 13	0	0.23	-0.69	0	0.23	-0.69	0	0	0
Reticolare correnti superiori	SLU 14	0	0.23	-0.69	0	0.23	-0.69	0	0	0
Reticolare correnti superiori	SLU 15	0	0.23	-0.69	0	0.23	-0.69	0	0	0
Reticolare correnti superiori	SLU 16	0	0.33	-0.69	0	0.33	-0.69	0	0	0
Reticolare correnti superiori	SLU 17	0	0.33	-0.69	0	0.33	-0.69	0	0	0
Reticolare correnti superiori	SLU 18	0	0.33	-0.69	0	0.33	-0.69	0	0	0
Reticolare correnti superiori	SLU 19	0	0.33	-0.69	0	0.33	-0.69	0	0	0
Reticolare correnti superiori	SLU 20	0	0.33	-0.69	0	0.33	-0.69	0	0	0

Livello Nome	Cont. N.br.	Totale			Aste verticali			Pareti		
		X	Y	Z	X	Y	Z	X	Y	Z
Reticolare correnti superiori	SLU 21	0	0.33	-0.69	0	0.33	-0.69	0	0	0
Reticolare correnti superiori	SLU 22	0	0.88	-0.69	0	0.88	-0.69	0	0	0
Reticolare correnti superiori	SLU 23	0	0.88	-0.69	0	0.88	-0.69	0	0	0
Reticolare correnti superiori	SLU 24	0	1.11	-0.69	0	1.11	-0.69	0	0	0
Reticolare correnti superiori	SLU 25	0	1.11	-0.69	0	1.11	-0.69	0	0	0
Reticolare correnti superiori	SLU 26	0	1.21	-0.69	0	1.21	-0.69	0	0	0
Reticolare correnti superiori	SLU 27	0	1.21	-0.69	0	1.21	-0.69	0	0	0
Reticolare correnti superiori	SLU 28	0	1.21	-0.69	0	1.21	-0.69	0	0	0
Reticolare correnti superiori	SLU 29	0	1.47	-0.69	0	1.47	-0.69	0	0	0
Reticolare correnti superiori	SLU 30	0	1.47	-0.69	0	1.47	-0.69	0	0	0
Reticolare correnti superiori	SLU 31	0	1.47	-0.69	0	1.47	-0.69	0	0	0
Reticolare correnti superiori	SLU 32	0	1.7	-0.69	0	1.7	-0.69	0	0	0
Reticolare correnti superiori	SLU 33	0	1.7	-0.69	0	1.7	-0.69	0	0	0
Reticolare correnti superiori	SLU 34	0	1.7	-0.69	0	1.7	-0.69	0	0	0
Reticolare correnti superiori	SLU 35	0.39	0	-0.69	0.39	0	-0.69	0	0	0
Reticolare correnti superiori	SLU 36	0.39	0	-0.69	0.39	0	-0.69	0	0	0
Reticolare correnti superiori	SLU 37	0.39	0.23	-0.69	0.39	0.23	-0.69	0	0	0
Reticolare correnti superiori	SLU 38	0.39	0.23	-0.69	0.39	0.23	-0.69	0	0	0
Reticolare correnti superiori	SLU 39	0.39	0.33	-0.69	0.39	0.33	-0.69	0	0	0
Reticolare correnti superiori	SLU 40	0.39	0.33	-0.69	0.39	0.33	-0.69	0	0	0
Reticolare correnti superiori	SLU 41	0.39	0.33	-0.69	0.39	0.33	-0.69	0	0	0
Reticolare correnti superiori	SLU 42	0.65	0	-0.69	0.65	0	-0.69	0	0	0
Reticolare correnti superiori	SLU 43	0.65	0	-0.69	0.65	0	-0.69	0	0	0
Reticolare correnti superiori	SLU 44	0.65	0	-0.69	0.65	0	-0.69	0	0	0
Reticolare correnti superiori	SLU 45	0.65	0.23	-0.69	0.65	0.23	-0.69	0	0	0
Reticolare correnti superiori	SLU 46	0.65	0.23	-0.69	0.65	0.23	-0.69	0	0	0
Reticolare correnti superiori	SLU 47	0.65	0.23	-0.69	0.65	0.23	-0.69	0	0	0
Reticolare correnti superiori	SLU 48	0	0	-0.69	0	0	-0.69	0	0	0
Reticolare correnti superiori	SLU 49	0	0	-0.69	0	0	-0.69	0	0	0
Reticolare correnti superiori	SLU 50	0	0	-0.69	0	0	-0.69	0	0	0
Reticolare correnti superiori	SLU 51	0	0	-0.69	0	0	-0.69	0	0	0
Reticolare correnti superiori	SLU 52	0	0	-0.69	0	0	-0.69	0	0	0
Reticolare correnti superiori	SLU 53	0	0	-0.69	0	0	-0.69	0	0	0
Reticolare correnti superiori	SLU 54	0	0	-0.69	0	0	-0.69	0	0	0

Livello Nome	Cont. N.br.	Totale			Aste verticali			Pareti		
		F			F			F		
		X	Y	Z	X	Y	Z	X	Y	Z
Reticolare correnti superiori	SLU 55	0	0.23	-0.69	0	0.23	-0.69	0	0	0
Reticolare correnti superiori	SLU 56	0	0.23	-0.69	0	0.23	-0.69	0	0	0
Reticolare correnti superiori	SLU 57	0	0.23	-0.69	0	0.23	-0.69	0	0	0
Reticolare correnti superiori	SLU 58	0	0.23	-0.69	0	0.23	-0.69	0	0	0
Reticolare correnti superiori	SLU 59	0	0.23	-0.69	0	0.23	-0.69	0	0	0
Reticolare correnti superiori	SLU 60	0	0.23	-0.69	0	0.23	-0.69	0	0	0
Reticolare correnti superiori	SLU 61	0	0.23	-0.69	0	0.23	-0.69	0	0	0
Reticolare correnti superiori	SLU 62	0	0.33	-0.69	0	0.33	-0.69	0	0	0
Reticolare correnti superiori	SLU 63	0	0.33	-0.69	0	0.33	-0.69	0	0	0
Reticolare correnti superiori	SLU 64	0	0.33	-0.69	0	0.33	-0.69	0	0	0
Reticolare correnti superiori	SLU 65	0	0.33	-0.69	0	0.33	-0.69	0	0	0
Reticolare correnti superiori	SLU 66	0	0.33	-0.69	0	0.33	-0.69	0	0	0
Reticolare correnti superiori	SLU 67	0	0.33	-0.69	0	0.33	-0.69	0	0	0
Reticolare correnti superiori	SLU 68	0	0.88	-0.69	0	0.88	-0.69	0	0	0
Reticolare correnti superiori	SLU 69	0	0.88	-0.69	0	0.88	-0.69	0	0	0
Reticolare correnti superiori	SLU 70	0	1.11	-0.69	0	1.11	-0.69	0	0	0
Reticolare correnti superiori	SLU 71	0	1.11	-0.69	0	1.11	-0.69	0	0	0
Reticolare correnti superiori	SLU 72	0	1.21	-0.69	0	1.21	-0.69	0	0	0
Reticolare correnti superiori	SLU 73	0	1.21	-0.69	0	1.21	-0.69	0	0	0
Reticolare correnti superiori	SLU 74	0	1.21	-0.69	0	1.21	-0.69	0	0	0
Reticolare correnti superiori	SLU 75	0	1.47	-0.69	0	1.47	-0.69	0	0	0
Reticolare correnti superiori	SLU 76	0	1.47	-0.69	0	1.47	-0.69	0	0	0
Reticolare correnti superiori	SLU 77	0	1.47	-0.69	0	1.47	-0.69	0	0	0
Reticolare correnti superiori	SLU 78	0	1.7	-0.69	0	1.7	-0.69	0	0	0
Reticolare correnti superiori	SLU 79	0	1.7	-0.69	0	1.7	-0.69	0	0	0
Reticolare correnti superiori	SLU 80	0	1.7	-0.69	0	1.7	-0.69	0	0	0
Reticolare correnti superiori	SLU 81	0.39	0	-0.69	0.39	0	-0.69	0	0	0
Reticolare correnti superiori	SLU 82	0.39	0	-0.69	0.39	0	-0.69	0	0	0
Reticolare correnti superiori	SLU 83	0.39	0.23	-0.69	0.39	0.23	-0.69	0	0	0
Reticolare correnti superiori	SLU 84	0.39	0.23	-0.69	0.39	0.23	-0.69	0	0	0
Reticolare correnti superiori	SLU 85	0.39	0.33	-0.69	0.39	0.33	-0.69	0	0	0
Reticolare correnti superiori	SLU 86	0.39	0.33	-0.69	0.39	0.33	-0.69	0	0	0
Reticolare correnti superiori	SLU 87	0.39	0.33	-0.69	0.39	0.33	-0.69	0	0	0
Reticolare correnti superiori	SLU 88	0.65	0	-0.69	0.65	0	-0.69	0	0	0

Livello Nome	Cont. N.br.	Totale			Aste verticali			Pareti		
		X	Y	Z	X	Y	Z	X	Y	Z
Reticolare correnti superiori	SLU 89	0.65	0	-0.69	0.65	0	-0.69	0	0	0
Reticolare correnti superiori	SLU 90	0.65	0	-0.69	0.65	0	-0.69	0	0	0
Reticolare correnti superiori	SLU 91	0.65	0.23	-0.69	0.65	0.23	-0.69	0	0	0
Reticolare correnti superiori	SLU 92	0.65	0.23	-0.69	0.65	0.23	-0.69	0	0	0
Reticolare correnti superiori	SLU 93	0.65	0.23	-0.69	0.65	0.23	-0.69	0	0	0
Reticolare correnti superiori	SLU 94	0	0	-0.69	0	0	-0.69	0	0	0
Reticolare correnti superiori	SLU 95	0	0	-0.69	0	0	-0.69	0	0	0
Reticolare correnti superiori	SLU 96	0	0	-0.69	0	0	-0.69	0	0	0
Reticolare correnti superiori	SLU 97	0	0	-0.69	0	0	-0.69	0	0	0
Reticolare correnti superiori	SLU 98	0	0	-0.69	0	0	-0.69	0	0	0
Reticolare correnti superiori	SLU 99	0	0	-0.69	0	0	-0.69	0	0	0
Reticolare correnti superiori	SLU 100	0	0.23	-0.69	0	0.23	-0.69	0	0	0
Reticolare correnti superiori	SLU 101	0	0.23	-0.69	0	0.23	-0.69	0	0	0
Reticolare correnti superiori	SLU 102	0	0.23	-0.69	0	0.23	-0.69	0	0	0
Reticolare correnti superiori	SLU 103	0	0.23	-0.69	0	0.23	-0.69	0	0	0
Reticolare correnti superiori	SLU 104	0	0.23	-0.69	0	0.23	-0.69	0	0	0
Reticolare correnti superiori	SLU 105	0	0.23	-0.69	0	0.23	-0.69	0	0	0
Reticolare correnti superiori	SLU 106	0	0.88	-0.69	0	0.88	-0.69	0	0	0
Reticolare correnti superiori	SLU 107	0	0.88	-0.69	0	0.88	-0.69	0	0	0
Reticolare correnti superiori	SLU 108	0	0.88	-0.69	0	0.88	-0.69	0	0	0
Reticolare correnti superiori	SLU 109	0	1.11	-0.69	0	1.11	-0.69	0	0	0
Reticolare correnti superiori	SLU 110	0	1.11	-0.69	0	1.11	-0.69	0	0	0
Reticolare correnti superiori	SLU 111	0	1.11	-0.69	0	1.11	-0.69	0	0	0
Reticolare correnti superiori	SLU 112	0.39	0	-0.69	0.39	0	-0.69	0	0	0
Reticolare correnti superiori	SLU 113	0.39	0	-0.69	0.39	0	-0.69	0	0	0
Reticolare correnti superiori	SLU 114	0.39	0	-0.69	0.39	0	-0.69	0	0	0
Reticolare correnti superiori	SLU 115	0.39	0.23	-0.69	0.39	0.23	-0.69	0	0	0
Reticolare correnti superiori	SLU 116	0.39	0.23	-0.69	0.39	0.23	-0.69	0	0	0
Reticolare correnti superiori	SLU 117	0.39	0.23	-0.69	0.39	0.23	-0.69	0	0	0
Reticolare correnti superiori	SLU 118	0	0	-0.69	0	0	-0.69	0	0	0
Reticolare correnti superiori	SLU 119	0	0	-0.69	0	0	-0.69	0	0	0
Reticolare correnti superiori	SLU 120	0	0	-0.69	0	0	-0.69	0	0	0
Reticolare correnti superiori	SLU 121	0	0	-0.69	0	0	-0.69	0	0	0
Reticolare correnti superiori	SLU 122	0	0	-0.69	0	0	-0.69	0	0	0

Livello Nome	Cont. N.br.	Totale			Aste verticali			Pareti		
		X	Y	Z	X	Y	Z	X	Y	Z
Reticolare correnti superiori	SLU 123	0	0	-0.69	0	0	-0.69	0	0	0
Reticolare correnti superiori	SLU 124	0	0	-0.69	0	0	-0.69	0	0	0
Reticolare correnti superiori	SLU 125	0	0	-0.69	0	0	-0.69	0	0	0
Reticolare correnti superiori	SLU 126	0	0.23	-0.69	0	0.23	-0.69	0	0	0
Reticolare correnti superiori	SLU 127	0	0.23	-0.69	0	0.23	-0.69	0	0	0
Reticolare correnti superiori	SLU 128	0	0.23	-0.69	0	0.23	-0.69	0	0	0
Reticolare correnti superiori	SLU 129	0	0.23	-0.69	0	0.23	-0.69	0	0	0
Reticolare correnti superiori	SLU 130	0	0.23	-0.69	0	0.23	-0.69	0	0	0
Reticolare correnti superiori	SLU 131	0	0.23	-0.69	0	0.23	-0.69	0	0	0
Reticolare correnti superiori	SLU 132	0	0.23	-0.69	0	0.23	-0.69	0	0	0
Reticolare correnti superiori	SLU 133	0	0.33	-0.69	0	0.33	-0.69	0	0	0
Reticolare correnti superiori	SLU 134	0	0.33	-0.69	0	0.33	-0.69	0	0	0
Reticolare correnti superiori	SLU 135	0	0.33	-0.69	0	0.33	-0.69	0	0	0
Reticolare correnti superiori	SLU 136	0	0.33	-0.69	0	0.33	-0.69	0	0	0
Reticolare correnti superiori	SLU 137	0	0.33	-0.69	0	0.33	-0.69	0	0	0
Reticolare correnti superiori	SLU 138	0	0.33	-0.69	0	0.33	-0.69	0	0	0
Reticolare correnti superiori	SLU 139	0	0.88	-0.69	0	0.88	-0.69	0	0	0
Reticolare correnti superiori	SLU 140	0	0.88	-0.69	0	0.88	-0.69	0	0	0
Reticolare correnti superiori	SLU 141	0	1.11	-0.69	0	1.11	-0.69	0	0	0
Reticolare correnti superiori	SLU 142	0	1.11	-0.69	0	1.11	-0.69	0	0	0
Reticolare correnti superiori	SLU 143	0	1.21	-0.69	0	1.21	-0.69	0	0	0
Reticolare correnti superiori	SLU 144	0	1.21	-0.69	0	1.21	-0.69	0	0	0
Reticolare correnti superiori	SLU 145	0	1.21	-0.69	0	1.21	-0.69	0	0	0
Reticolare correnti superiori	SLU 146	0	1.47	-0.69	0	1.47	-0.69	0	0	0
Reticolare correnti superiori	SLU 147	0	1.47	-0.69	0	1.47	-0.69	0	0	0
Reticolare correnti superiori	SLU 148	0	1.47	-0.69	0	1.47	-0.69	0	0	0
Reticolare correnti superiori	SLU 149	0	1.7	-0.69	0	1.7	-0.69	0	0	0
Reticolare correnti superiori	SLU 150	0	1.7	-0.69	0	1.7	-0.69	0	0	0
Reticolare correnti superiori	SLU 151	0	1.7	-0.69	0	1.7	-0.69	0	0	0
Reticolare correnti superiori	SLU 152	0.39	0	-0.69	0.39	0	-0.69	0	0	0
Reticolare correnti superiori	SLU 153	0.39	0	-0.69	0.39	0	-0.69	0	0	0
Reticolare correnti superiori	SLU 154	0.39	0.23	-0.69	0.39	0.23	-0.69	0	0	0
Reticolare correnti superiori	SLU 155	0.39	0.23	-0.69	0.39	0.23	-0.69	0	0	0
Reticolare correnti superiori	SLU 156	0.39	0.33	-0.69	0.39	0.33	-0.69	0	0	0

Livello Nome	Cont. N.br.	Totale			Aste verticali			Pareti		
		X	Y	Z	X	Y	Z	X	Y	Z
Reticolare correnti superiori	SLU 157	0.39	0.33	-0.69	0.39	0.33	-0.69	0	0	0
Reticolare correnti superiori	SLU 158	0.39	0.33	-0.69	0.39	0.33	-0.69	0	0	0
Reticolare correnti superiori	SLU 159	0.65	0	-0.69	0.65	0	-0.69	0	0	0
Reticolare correnti superiori	SLU 160	0.65	0	-0.69	0.65	0	-0.69	0	0	0
Reticolare correnti superiori	SLU 161	0.65	0	-0.69	0.65	0	-0.69	0	0	0
Reticolare correnti superiori	SLU 162	0.65	0.23	-0.69	0.65	0.23	-0.69	0	0	0
Reticolare correnti superiori	SLU 163	0.65	0.23	-0.69	0.65	0.23	-0.69	0	0	0
Reticolare correnti superiori	SLU 164	0.65	0.23	-0.69	0.65	0.23	-0.69	0	0	0
Reticolare correnti superiori	SLU 165	0	0	-0.69	0	0	-0.69	0	0	0
Reticolare correnti superiori	SLU 166	0	0	-0.69	0	0	-0.69	0	0	0
Reticolare correnti superiori	SLU 167	0	0	-0.69	0	0	-0.69	0	0	0
Reticolare correnti superiori	SLU 168	0	0	-0.69	0	0	-0.69	0	0	0
Reticolare correnti superiori	SLU 169	0	0	-0.69	0	0	-0.69	0	0	0
Reticolare correnti superiori	SLU 170	0	0	-0.69	0	0	-0.69	0	0	0
Reticolare correnti superiori	SLU 171	0	0	-0.69	0	0	-0.69	0	0	0
Reticolare correnti superiori	SLU 172	0	0.23	-0.69	0	0.23	-0.69	0	0	0
Reticolare correnti superiori	SLU 173	0	0.23	-0.69	0	0.23	-0.69	0	0	0
Reticolare correnti superiori	SLU 174	0	0.23	-0.69	0	0.23	-0.69	0	0	0
Reticolare correnti superiori	SLU 175	0	0.23	-0.69	0	0.23	-0.69	0	0	0
Reticolare correnti superiori	SLU 176	0	0.23	-0.69	0	0.23	-0.69	0	0	0
Reticolare correnti superiori	SLU 177	0	0.23	-0.69	0	0.23	-0.69	0	0	0
Reticolare correnti superiori	SLU 178	0	0.23	-0.69	0	0.23	-0.69	0	0	0
Reticolare correnti superiori	SLU 179	0	0.33	-0.69	0	0.33	-0.69	0	0	0
Reticolare correnti superiori	SLU 180	0	0.33	-0.69	0	0.33	-0.69	0	0	0
Reticolare correnti superiori	SLU 181	0	0.33	-0.69	0	0.33	-0.69	0	0	0
Reticolare correnti superiori	SLU 182	0	0.33	-0.69	0	0.33	-0.69	0	0	0
Reticolare correnti superiori	SLU 183	0	0.33	-0.69	0	0.33	-0.69	0	0	0
Reticolare correnti superiori	SLU 184	0	0.33	-0.69	0	0.33	-0.69	0	0	0
Reticolare correnti superiori	SLU 185	0	0.88	-0.69	0	0.88	-0.69	0	0	0
Reticolare correnti superiori	SLU 186	0	0.88	-0.69	0	0.88	-0.69	0	0	0
Reticolare correnti superiori	SLU 187	0	1.11	-0.69	0	1.11	-0.69	0	0	0
Reticolare correnti superiori	SLU 188	0	1.11	-0.69	0	1.11	-0.69	0	0	0
Reticolare correnti superiori	SLU 189	0	1.21	-0.69	0	1.21	-0.69	0	0	0
Reticolare correnti superiori	SLU 190	0	1.21	-0.69	0	1.21	-0.69	0	0	0

Livello	Cont.	Totale			Aste verticali			Pareti		
		F			F			F		
Nome	N.br.	X	Y	Z	X	Y	Z	X	Y	Z
Reticolare correnti superiori	SLU 191	0	1.21	-0.69	0	1.21	-0.69	0	0	0
Reticolare correnti superiori	SLU 192	0	1.47	-0.69	0	1.47	-0.69	0	0	0
Reticolare correnti superiori	SLU 193	0	1.47	-0.69	0	1.47	-0.69	0	0	0
Reticolare correnti superiori	SLU 194	0	1.47	-0.69	0	1.47	-0.69	0	0	0
Reticolare correnti superiori	SLU 195	0	1.7	-0.69	0	1.7	-0.69	0	0	0
Reticolare correnti superiori	SLU 196	0	1.7	-0.69	0	1.7	-0.69	0	0	0
Reticolare correnti superiori	SLU 197	0	1.7	-0.69	0	1.7	-0.69	0	0	0
Reticolare correnti superiori	SLU 198	0.39	0	-0.69	0.39	0	-0.69	0	0	0
Reticolare correnti superiori	SLU 199	0.39	0	-0.69	0.39	0	-0.69	0	0	0
Reticolare correnti superiori	SLU 200	0.39	0.23	-0.69	0.39	0.23	-0.69	0	0	0
Reticolare correnti superiori	SLU 201	0.39	0.23	-0.69	0.39	0.23	-0.69	0	0	0
Reticolare correnti superiori	SLU 202	0.39	0.33	-0.69	0.39	0.33	-0.69	0	0	0
Reticolare correnti superiori	SLU 203	0.39	0.33	-0.69	0.39	0.33	-0.69	0	0	0
Reticolare correnti superiori	SLU 204	0.39	0.33	-0.69	0.39	0.33	-0.69	0	0	0
Reticolare correnti superiori	SLU 205	0.65	0	-0.69	0.65	0	-0.69	0	0	0
Reticolare correnti superiori	SLU 206	0.65	0	-0.69	0.65	0	-0.69	0	0	0
Reticolare correnti superiori	SLU 207	0.65	0	-0.69	0.65	0	-0.69	0	0	0
Reticolare correnti superiori	SLU 208	0.65	0.23	-0.69	0.65	0.23	-0.69	0	0	0
Reticolare correnti superiori	SLU 209	0.65	0.23	-0.69	0.65	0.23	-0.69	0	0	0
Reticolare correnti superiori	SLU 210	0.65	0.23	-0.69	0.65	0.23	-0.69	0	0	0
Reticolare correnti superiori	SLU 211	0	0	-0.69	0	0	-0.69	0	0	0
Reticolare correnti superiori	SLU 212	0	0	-0.69	0	0	-0.69	0	0	0
Reticolare correnti superiori	SLU 213	0	0	-0.69	0	0	-0.69	0	0	0
Reticolare correnti superiori	SLU 214	0	0	-0.69	0	0	-0.69	0	0	0
Reticolare correnti superiori	SLU 215	0	0	-0.69	0	0	-0.69	0	0	0
Reticolare correnti superiori	SLU 216	0	0	-0.69	0	0	-0.69	0	0	0
Reticolare correnti superiori	SLU 217	0	0.23	-0.69	0	0.23	-0.69	0	0	0
Reticolare correnti superiori	SLU 218	0	0.23	-0.69	0	0.23	-0.69	0	0	0
Reticolare correnti superiori	SLU 219	0	0.23	-0.69	0	0.23	-0.69	0	0	0
Reticolare correnti superiori	SLU 220	0	0.23	-0.69	0	0.23	-0.69	0	0	0
Reticolare correnti superiori	SLU 221	0	0.23	-0.69	0	0.23	-0.69	0	0	0
Reticolare correnti superiori	SLU 222	0	0.23	-0.69	0	0.23	-0.69	0	0	0
Reticolare correnti superiori	SLU 223	0	0.88	-0.69	0	0.88	-0.69	0	0	0
Reticolare correnti superiori	SLU 224	0	0.88	-0.69	0	0.88	-0.69	0	0	0

Livello Nome	Cont. N.br.	Totale			Aste verticali			Pareti		
		X	Y	Z	X	Y	Z	X	Y	Z
Reticolare correnti superiori	SLU 225	0	0.88	-0.69	0	0.88	-0.69	0	0	0
Reticolare correnti superiori	SLU 226	0	1.11	-0.69	0	1.11	-0.69	0	0	0
Reticolare correnti superiori	SLU 227	0	1.11	-0.69	0	1.11	-0.69	0	0	0
Reticolare correnti superiori	SLU 228	0	1.11	-0.69	0	1.11	-0.69	0	0	0
Reticolare correnti superiori	SLU 229	0.39	0	-0.69	0.39	0	-0.69	0	0	0
Reticolare correnti superiori	SLU 230	0.39	0	-0.69	0.39	0	-0.69	0	0	0
Reticolare correnti superiori	SLU 231	0.39	0	-0.69	0.39	0	-0.69	0	0	0
Reticolare correnti superiori	SLU 232	0.39	0.23	-0.69	0.39	0.23	-0.69	0	0	0
Reticolare correnti superiori	SLU 233	0.39	0.23	-0.69	0.39	0.23	-0.69	0	0	0
Reticolare correnti superiori	SLU 234	0.39	0.23	-0.69	0.39	0.23	-0.69	0	0	0
Reticolare correnti superiori	SLU 235	0	0	-0.89	0	0	-0.89	0	0	0
Reticolare correnti superiori	SLU 236	0	0	-0.89	0	0	-0.89	0	0	0
Reticolare correnti superiori	SLU 237	0	0	-0.89	0	0	-0.89	0	0	0
Reticolare correnti superiori	SLU 238	0	0	-0.89	0	0	-0.89	0	0	0
Reticolare correnti superiori	SLU 239	0	0	-0.89	0	0	-0.89	0	0	0
Reticolare correnti superiori	SLU 240	0	0	-0.89	0	0	-0.89	0	0	0
Reticolare correnti superiori	SLU 241	0	0	-0.89	0	0	-0.89	0	0	0
Reticolare correnti superiori	SLU 242	0	0	-0.89	0	0	-0.89	0	0	0
Reticolare correnti superiori	SLU 243	0	0.23	-0.89	0	0.23	-0.89	0	0	0
Reticolare correnti superiori	SLU 244	0	0.23	-0.89	0	0.23	-0.89	0	0	0
Reticolare correnti superiori	SLU 245	0	0.23	-0.89	0	0.23	-0.89	0	0	0
Reticolare correnti superiori	SLU 246	0	0.23	-0.89	0	0.23	-0.89	0	0	0
Reticolare correnti superiori	SLU 247	0	0.23	-0.89	0	0.23	-0.89	0	0	0
Reticolare correnti superiori	SLU 248	0	0.23	-0.89	0	0.23	-0.89	0	0	0
Reticolare correnti superiori	SLU 249	0	0.23	-0.89	0	0.23	-0.89	0	0	0
Reticolare correnti superiori	SLU 250	0	0.33	-0.89	0	0.33	-0.89	0	0	0
Reticolare correnti superiori	SLU 251	0	0.33	-0.89	0	0.33	-0.89	0	0	0
Reticolare correnti superiori	SLU 252	0	0.33	-0.89	0	0.33	-0.89	0	0	0
Reticolare correnti superiori	SLU 253	0	0.33	-0.89	0	0.33	-0.89	0	0	0
Reticolare correnti superiori	SLU 254	0	0.33	-0.89	0	0.33	-0.89	0	0	0
Reticolare correnti superiori	SLU 255	0	0.33	-0.89	0	0.33	-0.89	0	0	0
Reticolare correnti superiori	SLU 256	0	0.88	-0.89	0	0.88	-0.89	0	0	0
Reticolare correnti superiori	SLU 257	0	0.88	-0.89	0	0.88	-0.89	0	0	0
Reticolare correnti superiori	SLU 258	0	1.11	-0.89	0	1.11	-0.89	0	0	0

Livello Nome	Cont. N.br.	Totale			Aste verticali			Pareti		
		X	Y	Z	X	Y	Z	X	Y	Z
Reticolare correnti superiori	SLU 259	0	1.11	-0.89	0	1.11	-0.89	0	0	0
Reticolare correnti superiori	SLU 260	0	1.21	-0.89	0	1.21	-0.89	0	0	0
Reticolare correnti superiori	SLU 261	0	1.21	-0.89	0	1.21	-0.89	0	0	0
Reticolare correnti superiori	SLU 262	0	1.21	-0.89	0	1.21	-0.89	0	0	0
Reticolare correnti superiori	SLU 263	0	1.47	-0.89	0	1.47	-0.89	0	0	0
Reticolare correnti superiori	SLU 264	0	1.47	-0.89	0	1.47	-0.89	0	0	0
Reticolare correnti superiori	SLU 265	0	1.47	-0.89	0	1.47	-0.89	0	0	0
Reticolare correnti superiori	SLU 266	0	1.7	-0.89	0	1.7	-0.89	0	0	0
Reticolare correnti superiori	SLU 267	0	1.7	-0.89	0	1.7	-0.89	0	0	0
Reticolare correnti superiori	SLU 268	0	1.7	-0.89	0	1.7	-0.89	0	0	0
Reticolare correnti superiori	SLU 269	0.39	0	-0.89	0.39	0	-0.89	0	0	0
Reticolare correnti superiori	SLU 270	0.39	0	-0.89	0.39	0	-0.89	0	0	0
Reticolare correnti superiori	SLU 271	0.39	0.23	-0.89	0.39	0.23	-0.89	0	0	0
Reticolare correnti superiori	SLU 272	0.39	0.23	-0.89	0.39	0.23	-0.89	0	0	0
Reticolare correnti superiori	SLU 273	0.39	0.33	-0.89	0.39	0.33	-0.89	0	0	0
Reticolare correnti superiori	SLU 274	0.39	0.33	-0.89	0.39	0.33	-0.89	0	0	0
Reticolare correnti superiori	SLU 275	0.39	0.33	-0.89	0.39	0.33	-0.89	0	0	0
Reticolare correnti superiori	SLU 276	0.65	0	-0.89	0.65	0	-0.89	0	0	0
Reticolare correnti superiori	SLU 277	0.65	0	-0.89	0.65	0	-0.89	0	0	0
Reticolare correnti superiori	SLU 278	0.65	0	-0.89	0.65	0	-0.89	0	0	0
Reticolare correnti superiori	SLU 279	0.65	0.23	-0.89	0.65	0.23	-0.89	0	0	0
Reticolare correnti superiori	SLU 280	0.65	0.23	-0.89	0.65	0.23	-0.89	0	0	0
Reticolare correnti superiori	SLU 281	0.65	0.23	-0.89	0.65	0.23	-0.89	0	0	0
Reticolare correnti superiori	SLU 282	0	0	-0.89	0	0	-0.89	0	0	0
Reticolare correnti superiori	SLU 283	0	0	-0.89	0	0	-0.89	0	0	0
Reticolare correnti superiori	SLU 284	0	0	-0.89	0	0	-0.89	0	0	0
Reticolare correnti superiori	SLU 285	0	0	-0.89	0	0	-0.89	0	0	0
Reticolare correnti superiori	SLU 286	0	0	-0.89	0	0	-0.89	0	0	0
Reticolare correnti superiori	SLU 287	0	0	-0.89	0	0	-0.89	0	0	0
Reticolare correnti superiori	SLU 288	0	0	-0.89	0	0	-0.89	0	0	0
Reticolare correnti superiori	SLU 289	0	0.23	-0.89	0	0.23	-0.89	0	0	0
Reticolare correnti superiori	SLU 290	0	0.23	-0.89	0	0.23	-0.89	0	0	0
Reticolare correnti superiori	SLU 291	0	0.23	-0.89	0	0.23	-0.89	0	0	0
Reticolare correnti superiori	SLU 292	0	0.23	-0.89	0	0.23	-0.89	0	0	0

Livello Nome	Cont. N.br.	Totale			Aste verticali			Pareti		
		X	Y	Z	X	Y	Z	X	Y	Z
Reticolare correnti superiori	SLU 293	0	0.23	-0.89	0	0.23	-0.89	0	0	0
Reticolare correnti superiori	SLU 294	0	0.23	-0.89	0	0.23	-0.89	0	0	0
Reticolare correnti superiori	SLU 295	0	0.23	-0.89	0	0.23	-0.89	0	0	0
Reticolare correnti superiori	SLU 296	0	0.33	-0.89	0	0.33	-0.89	0	0	0
Reticolare correnti superiori	SLU 297	0	0.33	-0.89	0	0.33	-0.89	0	0	0
Reticolare correnti superiori	SLU 298	0	0.33	-0.89	0	0.33	-0.89	0	0	0
Reticolare correnti superiori	SLU 299	0	0.33	-0.89	0	0.33	-0.89	0	0	0
Reticolare correnti superiori	SLU 300	0	0.33	-0.89	0	0.33	-0.89	0	0	0
Reticolare correnti superiori	SLU 301	0	0.33	-0.89	0	0.33	-0.89	0	0	0
Reticolare correnti superiori	SLU 302	0	0.88	-0.89	0	0.88	-0.89	0	0	0
Reticolare correnti superiori	SLU 303	0	0.88	-0.89	0	0.88	-0.89	0	0	0
Reticolare correnti superiori	SLU 304	0	1.11	-0.89	0	1.11	-0.89	0	0	0
Reticolare correnti superiori	SLU 305	0	1.11	-0.89	0	1.11	-0.89	0	0	0
Reticolare correnti superiori	SLU 306	0	1.21	-0.89	0	1.21	-0.89	0	0	0
Reticolare correnti superiori	SLU 307	0	1.21	-0.89	0	1.21	-0.89	0	0	0
Reticolare correnti superiori	SLU 308	0	1.21	-0.89	0	1.21	-0.89	0	0	0
Reticolare correnti superiori	SLU 309	0	1.47	-0.89	0	1.47	-0.89	0	0	0
Reticolare correnti superiori	SLU 310	0	1.47	-0.89	0	1.47	-0.89	0	0	0
Reticolare correnti superiori	SLU 311	0	1.47	-0.89	0	1.47	-0.89	0	0	0
Reticolare correnti superiori	SLU 312	0	1.7	-0.89	0	1.7	-0.89	0	0	0
Reticolare correnti superiori	SLU 313	0	1.7	-0.89	0	1.7	-0.89	0	0	0
Reticolare correnti superiori	SLU 314	0	1.7	-0.89	0	1.7	-0.89	0	0	0
Reticolare correnti superiori	SLU 315	0.39	0	-0.89	0.39	0	-0.89	0	0	0
Reticolare correnti superiori	SLU 316	0.39	0	-0.89	0.39	0	-0.89	0	0	0
Reticolare correnti superiori	SLU 317	0.39	0.23	-0.89	0.39	0.23	-0.89	0	0	0
Reticolare correnti superiori	SLU 318	0.39	0.23	-0.89	0.39	0.23	-0.89	0	0	0
Reticolare correnti superiori	SLU 319	0.39	0.33	-0.89	0.39	0.33	-0.89	0	0	0
Reticolare correnti superiori	SLU 320	0.39	0.33	-0.89	0.39	0.33	-0.89	0	0	0
Reticolare correnti superiori	SLU 321	0.39	0.33	-0.89	0.39	0.33	-0.89	0	0	0
Reticolare correnti superiori	SLU 322	0.65	0	-0.89	0.65	0	-0.89	0	0	0
Reticolare correnti superiori	SLU 323	0.65	0	-0.89	0.65	0	-0.89	0	0	0
Reticolare correnti superiori	SLU 324	0.65	0	-0.89	0.65	0	-0.89	0	0	0
Reticolare correnti superiori	SLU 325	0.65	0.23	-0.89	0.65	0.23	-0.89	0	0	0
Reticolare correnti superiori	SLU 326	0.65	0.23	-0.89	0.65	0.23	-0.89	0	0	0

Livello Nome	Cont. N.br.	Totale			Aste verticali			Pareti		
		X	Y	Z	X	Y	Z	X	Y	Z
Reticolare correnti superiori	SLU 327	0.65	0.23	-0.89	0.65	0.23	-0.89	0	0	0
Reticolare correnti superiori	SLU 328	0	0	-0.89	0	0	-0.89	0	0	0
Reticolare correnti superiori	SLU 329	0	0	-0.89	0	0	-0.89	0	0	0
Reticolare correnti superiori	SLU 330	0	0	-0.89	0	0	-0.89	0	0	0
Reticolare correnti superiori	SLU 331	0	0	-0.89	0	0	-0.89	0	0	0
Reticolare correnti superiori	SLU 332	0	0	-0.89	0	0	-0.89	0	0	0
Reticolare correnti superiori	SLU 333	0	0	-0.89	0	0	-0.89	0	0	0
Reticolare correnti superiori	SLU 334	0	0.23	-0.89	0	0.23	-0.89	0	0	0
Reticolare correnti superiori	SLU 335	0	0.23	-0.89	0	0.23	-0.89	0	0	0
Reticolare correnti superiori	SLU 336	0	0.23	-0.89	0	0.23	-0.89	0	0	0
Reticolare correnti superiori	SLU 337	0	0.23	-0.89	0	0.23	-0.89	0	0	0
Reticolare correnti superiori	SLU 338	0	0.23	-0.89	0	0.23	-0.89	0	0	0
Reticolare correnti superiori	SLU 339	0	0.23	-0.89	0	0.23	-0.89	0	0	0
Reticolare correnti superiori	SLU 340	0	0.88	-0.89	0	0.88	-0.89	0	0	0
Reticolare correnti superiori	SLU 341	0	0.88	-0.89	0	0.88	-0.89	0	0	0
Reticolare correnti superiori	SLU 342	0	0.88	-0.89	0	0.88	-0.89	0	0	0
Reticolare correnti superiori	SLU 343	0	1.11	-0.89	0	1.11	-0.89	0	0	0
Reticolare correnti superiori	SLU 344	0	1.11	-0.89	0	1.11	-0.89	0	0	0
Reticolare correnti superiori	SLU 345	0	1.11	-0.89	0	1.11	-0.89	0	0	0
Reticolare correnti superiori	SLU 346	0.39	0	-0.89	0.39	0	-0.89	0	0	0
Reticolare correnti superiori	SLU 347	0.39	0	-0.89	0.39	0	-0.89	0	0	0
Reticolare correnti superiori	SLU 348	0.39	0	-0.89	0.39	0	-0.89	0	0	0
Reticolare correnti superiori	SLU 349	0.39	0.23	-0.89	0.39	0.23	-0.89	0	0	0
Reticolare correnti superiori	SLU 350	0.39	0.23	-0.89	0.39	0.23	-0.89	0	0	0
Reticolare correnti superiori	SLU 351	0.39	0.23	-0.89	0.39	0.23	-0.89	0	0	0
Reticolare correnti superiori	SLU 352	0	0	-0.89	0	0	-0.89	0	0	0
Reticolare correnti superiori	SLU 353	0	0	-0.89	0	0	-0.89	0	0	0
Reticolare correnti superiori	SLU 354	0	0	-0.89	0	0	-0.89	0	0	0
Reticolare correnti superiori	SLU 355	0	0	-0.89	0	0	-0.89	0	0	0
Reticolare correnti superiori	SLU 356	0	0	-0.89	0	0	-0.89	0	0	0
Reticolare correnti superiori	SLU 357	0	0	-0.89	0	0	-0.89	0	0	0
Reticolare correnti superiori	SLU 358	0	0	-0.89	0	0	-0.89	0	0	0
Reticolare correnti superiori	SLU 359	0	0	-0.89	0	0	-0.89	0	0	0
Reticolare correnti superiori	SLU 360	0	0.23	-0.89	0	0.23	-0.89	0	0	0

Livello Nome	Cont. N.br.	Totale			Aste verticali			Pareti		
		X	Y	Z	X	Y	Z	X	Y	Z
Reticolare correnti superiori	SLU 361	0	0.23	-0.89	0	0.23	-0.89	0	0	0
Reticolare correnti superiori	SLU 362	0	0.23	-0.89	0	0.23	-0.89	0	0	0
Reticolare correnti superiori	SLU 363	0	0.23	-0.89	0	0.23	-0.89	0	0	0
Reticolare correnti superiori	SLU 364	0	0.23	-0.89	0	0.23	-0.89	0	0	0
Reticolare correnti superiori	SLU 365	0	0.23	-0.89	0	0.23	-0.89	0	0	0
Reticolare correnti superiori	SLU 366	0	0.23	-0.89	0	0.23	-0.89	0	0	0
Reticolare correnti superiori	SLU 367	0	0.33	-0.89	0	0.33	-0.89	0	0	0
Reticolare correnti superiori	SLU 368	0	0.33	-0.89	0	0.33	-0.89	0	0	0
Reticolare correnti superiori	SLU 369	0	0.33	-0.89	0	0.33	-0.89	0	0	0
Reticolare correnti superiori	SLU 370	0	0.33	-0.89	0	0.33	-0.89	0	0	0
Reticolare correnti superiori	SLU 371	0	0.33	-0.89	0	0.33	-0.89	0	0	0
Reticolare correnti superiori	SLU 372	0	0.33	-0.89	0	0.33	-0.89	0	0	0
Reticolare correnti superiori	SLU 373	0	0.88	-0.89	0	0.88	-0.89	0	0	0
Reticolare correnti superiori	SLU 374	0	0.88	-0.89	0	0.88	-0.89	0	0	0
Reticolare correnti superiori	SLU 375	0	1.11	-0.89	0	1.11	-0.89	0	0	0
Reticolare correnti superiori	SLU 376	0	1.11	-0.89	0	1.11	-0.89	0	0	0
Reticolare correnti superiori	SLU 377	0	1.21	-0.89	0	1.21	-0.89	0	0	0
Reticolare correnti superiori	SLU 378	0	1.21	-0.89	0	1.21	-0.89	0	0	0
Reticolare correnti superiori	SLU 379	0	1.21	-0.89	0	1.21	-0.89	0	0	0
Reticolare correnti superiori	SLU 380	0	1.47	-0.89	0	1.47	-0.89	0	0	0
Reticolare correnti superiori	SLU 381	0	1.47	-0.89	0	1.47	-0.89	0	0	0
Reticolare correnti superiori	SLU 382	0	1.47	-0.89	0	1.47	-0.89	0	0	0
Reticolare correnti superiori	SLU 383	0	1.7	-0.89	0	1.7	-0.89	0	0	0
Reticolare correnti superiori	SLU 384	0	1.7	-0.89	0	1.7	-0.89	0	0	0
Reticolare correnti superiori	SLU 385	0	1.7	-0.89	0	1.7	-0.89	0	0	0
Reticolare correnti superiori	SLU 386	0.39	0	-0.89	0.39	0	-0.89	0	0	0
Reticolare correnti superiori	SLU 387	0.39	0	-0.89	0.39	0	-0.89	0	0	0
Reticolare correnti superiori	SLU 388	0.39	0.23	-0.89	0.39	0.23	-0.89	0	0	0
Reticolare correnti superiori	SLU 389	0.39	0.23	-0.89	0.39	0.23	-0.89	0	0	0
Reticolare correnti superiori	SLU 390	0.39	0.33	-0.89	0.39	0.33	-0.89	0	0	0
Reticolare correnti superiori	SLU 391	0.39	0.33	-0.89	0.39	0.33	-0.89	0	0	0
Reticolare correnti superiori	SLU 392	0.39	0.33	-0.89	0.39	0.33	-0.89	0	0	0
Reticolare correnti superiori	SLU 393	0.65	0	-0.89	0.65	0	-0.89	0	0	0
Reticolare correnti superiori	SLU 394	0.65	0	-0.89	0.65	0	-0.89	0	0	0

Livello Nome	Cont. N.br.	Totale			Aste verticali			Pareti		
		X	Y	Z	X	Y	Z	X	Y	Z
Reticolare correnti superiori	SLU 395	0.65	0	-0.89	0.65	0	-0.89	0	0	0
Reticolare correnti superiori	SLU 396	0.65	0.23	-0.89	0.65	0.23	-0.89	0	0	0
Reticolare correnti superiori	SLU 397	0.65	0.23	-0.89	0.65	0.23	-0.89	0	0	0
Reticolare correnti superiori	SLU 398	0.65	0.23	-0.89	0.65	0.23	-0.89	0	0	0
Reticolare correnti superiori	SLU 399	0	0	-0.89	0	0	-0.89	0	0	0
Reticolare correnti superiori	SLU 400	0	0	-0.89	0	0	-0.89	0	0	0
Reticolare correnti superiori	SLU 401	0	0	-0.89	0	0	-0.89	0	0	0
Reticolare correnti superiori	SLU 402	0	0	-0.89	0	0	-0.89	0	0	0
Reticolare correnti superiori	SLU 403	0	0	-0.89	0	0	-0.89	0	0	0
Reticolare correnti superiori	SLU 404	0	0	-0.89	0	0	-0.89	0	0	0
Reticolare correnti superiori	SLU 405	0	0	-0.89	0	0	-0.89	0	0	0
Reticolare correnti superiori	SLU 406	0	0.23	-0.89	0	0.23	-0.89	0	0	0
Reticolare correnti superiori	SLU 407	0	0.23	-0.89	0	0.23	-0.89	0	0	0
Reticolare correnti superiori	SLU 408	0	0.23	-0.89	0	0.23	-0.89	0	0	0
Reticolare correnti superiori	SLU 409	0	0.23	-0.89	0	0.23	-0.89	0	0	0
Reticolare correnti superiori	SLU 410	0	0.23	-0.89	0	0.23	-0.89	0	0	0
Reticolare correnti superiori	SLU 411	0	0.23	-0.89	0	0.23	-0.89	0	0	0
Reticolare correnti superiori	SLU 412	0	0.23	-0.89	0	0.23	-0.89	0	0	0
Reticolare correnti superiori	SLU 413	0	0.33	-0.89	0	0.33	-0.89	0	0	0
Reticolare correnti superiori	SLU 414	0	0.33	-0.89	0	0.33	-0.89	0	0	0
Reticolare correnti superiori	SLU 415	0	0.33	-0.89	0	0.33	-0.89	0	0	0
Reticolare correnti superiori	SLU 416	0	0.33	-0.89	0	0.33	-0.89	0	0	0
Reticolare correnti superiori	SLU 417	0	0.33	-0.89	0	0.33	-0.89	0	0	0
Reticolare correnti superiori	SLU 418	0	0.33	-0.89	0	0.33	-0.89	0	0	0
Reticolare correnti superiori	SLU 419	0	0.88	-0.89	0	0.88	-0.89	0	0	0
Reticolare correnti superiori	SLU 420	0	0.88	-0.89	0	0.88	-0.89	0	0	0
Reticolare correnti superiori	SLU 421	0	1.11	-0.89	0	1.11	-0.89	0	0	0
Reticolare correnti superiori	SLU 422	0	1.11	-0.89	0	1.11	-0.89	0	0	0
Reticolare correnti superiori	SLU 423	0	1.21	-0.89	0	1.21	-0.89	0	0	0
Reticolare correnti superiori	SLU 424	0	1.21	-0.89	0	1.21	-0.89	0	0	0
Reticolare correnti superiori	SLU 425	0	1.21	-0.89	0	1.21	-0.89	0	0	0
Reticolare correnti superiori	SLU 426	0	1.47	-0.89	0	1.47	-0.89	0	0	0
Reticolare correnti superiori	SLU 427	0	1.47	-0.89	0	1.47	-0.89	0	0	0
Reticolare correnti superiori	SLU 428	0	1.47	-0.89	0	1.47	-0.89	0	0	0

Livello	Cont.	Totale			Aste verticali			Pareti		
		F			F			F		
Nome	N.br.	X	Y	Z	X	Y	Z	X	Y	Z
Reticolare correnti superiori	SLU 429	0	1.7	-0.89	0	1.7	-0.89	0	0	0
Reticolare correnti superiori	SLU 430	0	1.7	-0.89	0	1.7	-0.89	0	0	0
Reticolare correnti superiori	SLU 431	0	1.7	-0.89	0	1.7	-0.89	0	0	0
Reticolare correnti superiori	SLU 432	0.39	0	-0.89	0.39	0	-0.89	0	0	0
Reticolare correnti superiori	SLU 433	0.39	0	-0.89	0.39	0	-0.89	0	0	0
Reticolare correnti superiori	SLU 434	0.39	0.23	-0.89	0.39	0.23	-0.89	0	0	0
Reticolare correnti superiori	SLU 435	0.39	0.23	-0.89	0.39	0.23	-0.89	0	0	0
Reticolare correnti superiori	SLU 436	0.39	0.33	-0.89	0.39	0.33	-0.89	0	0	0
Reticolare correnti superiori	SLU 437	0.39	0.33	-0.89	0.39	0.33	-0.89	0	0	0
Reticolare correnti superiori	SLU 438	0.39	0.33	-0.89	0.39	0.33	-0.89	0	0	0
Reticolare correnti superiori	SLU 439	0.65	0	-0.89	0.65	0	-0.89	0	0	0
Reticolare correnti superiori	SLU 440	0.65	0	-0.89	0.65	0	-0.89	0	0	0
Reticolare correnti superiori	SLU 441	0.65	0	-0.89	0.65	0	-0.89	0	0	0
Reticolare correnti superiori	SLU 442	0.65	0.23	-0.89	0.65	0.23	-0.89	0	0	0
Reticolare correnti superiori	SLU 443	0.65	0.23	-0.89	0.65	0.23	-0.89	0	0	0
Reticolare correnti superiori	SLU 444	0.65	0.23	-0.89	0.65	0.23	-0.89	0	0	0
Reticolare correnti superiori	SLU 445	0	0	-0.89	0	0	-0.89	0	0	0
Reticolare correnti superiori	SLU 446	0	0	-0.89	0	0	-0.89	0	0	0
Reticolare correnti superiori	SLU 447	0	0	-0.89	0	0	-0.89	0	0	0
Reticolare correnti superiori	SLU 448	0	0	-0.89	0	0	-0.89	0	0	0
Reticolare correnti superiori	SLU 449	0	0	-0.89	0	0	-0.89	0	0	0
Reticolare correnti superiori	SLU 450	0	0	-0.89	0	0	-0.89	0	0	0
Reticolare correnti superiori	SLU 451	0	0.23	-0.89	0	0.23	-0.89	0	0	0
Reticolare correnti superiori	SLU 452	0	0.23	-0.89	0	0.23	-0.89	0	0	0
Reticolare correnti superiori	SLU 453	0	0.23	-0.89	0	0.23	-0.89	0	0	0
Reticolare correnti superiori	SLU 454	0	0.23	-0.89	0	0.23	-0.89	0	0	0
Reticolare correnti superiori	SLU 455	0	0.23	-0.89	0	0.23	-0.89	0	0	0
Reticolare correnti superiori	SLU 456	0	0.23	-0.89	0	0.23	-0.89	0	0	0
Reticolare correnti superiori	SLU 457	0	0.88	-0.89	0	0.88	-0.89	0	0	0
Reticolare correnti superiori	SLU 458	0	0.88	-0.89	0	0.88	-0.89	0	0	0
Reticolare correnti superiori	SLU 459	0	0.88	-0.89	0	0.88	-0.89	0	0	0
Reticolare correnti superiori	SLU 460	0	1.11	-0.89	0	1.11	-0.89	0	0	0
Reticolare correnti superiori	SLU 461	0	1.11	-0.89	0	1.11	-0.89	0	0	0
Reticolare correnti superiori	SLU 462	0	1.11	-0.89	0	1.11	-0.89	0	0	0

Livello Nome	Cont. N.br.	Totale			Aste verticali			Pareti		
		F			F			F		
		X	Y	Z	X	Y	Z	X	Y	Z
Reticolare correnti superiori	SLU 463	0.39	0	-0.89	0.39	0	-0.89	0	0	0
Reticolare correnti superiori	SLU 464	0.39	0	-0.89	0.39	0	-0.89	0	0	0
Reticolare correnti superiori	SLU 465	0.39	0	-0.89	0.39	0	-0.89	0	0	0
Reticolare correnti superiori	SLU 466	0.39	0.23	-0.89	0.39	0.23	-0.89	0	0	0
Reticolare correnti superiori	SLU 467	0.39	0.23	-0.89	0.39	0.23	-0.89	0	0	0
Reticolare correnti superiori	SLU 468	0.39	0.23	-0.89	0.39	0.23	-0.89	0	0	0
Reticolare correnti superiori	SLE RA 1	0	0	-0.69	0	0	-0.69	0	0	0
Reticolare correnti superiori	SLE RA 2	0	0	-0.69	0	0	-0.69	0	0	0
Reticolare correnti superiori	SLE RA 3	0	0	-0.69	0	0	-0.69	0	0	0
Reticolare correnti superiori	SLE RA 4	0	0	-0.69	0	0	-0.69	0	0	0
Reticolare correnti superiori	SLE RA 5	0	0	-0.69	0	0	-0.69	0	0	0
Reticolare correnti superiori	SLE RA 6	0	0	-0.69	0	0	-0.69	0	0	0
Reticolare correnti superiori	SLE RA 7	0	0	-0.69	0	0	-0.69	0	0	0
Reticolare correnti superiori	SLE RA 8	0	0	-0.69	0	0	-0.69	0	0	0
Reticolare correnti superiori	SLE RA 9	0	0.15	-0.69	0	0.15	-0.69	0	0	0
Reticolare correnti superiori	SLE RA 10	0	0.15	-0.69	0	0.15	-0.69	0	0	0
Reticolare correnti superiori	SLE RA 11	0	0.15	-0.69	0	0.15	-0.69	0	0	0
Reticolare correnti superiori	SLE RA 12	0	0.15	-0.69	0	0.15	-0.69	0	0	0
Reticolare correnti superiori	SLE RA 13	0	0.15	-0.69	0	0.15	-0.69	0	0	0
Reticolare correnti superiori	SLE RA 14	0	0.15	-0.69	0	0.15	-0.69	0	0	0
Reticolare correnti superiori	SLE RA 15	0	0.15	-0.69	0	0.15	-0.69	0	0	0
Reticolare correnti superiori	SLE RA 16	0	0.22	-0.69	0	0.22	-0.69	0	0	0
Reticolare correnti superiori	SLE RA 17	0	0.22	-0.69	0	0.22	-0.69	0	0	0
Reticolare correnti superiori	SLE RA 18	0	0.22	-0.69	0	0.22	-0.69	0	0	0
Reticolare correnti superiori	SLE RA 19	0	0.22	-0.69	0	0.22	-0.69	0	0	0
Reticolare correnti superiori	SLE RA 20	0	0.22	-0.69	0	0.22	-0.69	0	0	0
Reticolare correnti superiori	SLE RA 21	0	0.22	-0.69	0	0.22	-0.69	0	0	0
Reticolare correnti superiori	SLE RA 22	0	0.59	-0.69	0	0.59	-0.69	0	0	0
Reticolare correnti superiori	SLE RA 23	0	0.59	-0.69	0	0.59	-0.69	0	0	0
Reticolare correnti superiori	SLE RA 24	0	0.74	-0.69	0	0.74	-0.69	0	0	0
Reticolare correnti superiori	SLE RA 25	0	0.74	-0.69	0	0.74	-0.69	0	0	0
Reticolare correnti superiori	SLE RA 26	0	0.81	-0.69	0	0.81	-0.69	0	0	0
Reticolare correnti superiori	SLE RA 27	0	0.81	-0.69	0	0.81	-0.69	0	0	0
Reticolare correnti superiori	SLE RA 28	0	0.81	-0.69	0	0.81	-0.69	0	0	0

Livello	Cont.	Totale			Aste verticali			Pareti		
		F			F			F		
Nome	N.br.	X	Y	Z	X	Y	Z	X	Y	Z
Reticolare correnti superiori	SLE RA 29	0	0.98	-0.69	0	0.98	-0.69	0	0	0
Reticolare correnti superiori	SLE RA 30	0	0.98	-0.69	0	0.98	-0.69	0	0	0
Reticolare correnti superiori	SLE RA 31	0	0.98	-0.69	0	0.98	-0.69	0	0	0
Reticolare correnti superiori	SLE RA 32	0	1.13	-0.69	0	1.13	-0.69	0	0	0
Reticolare correnti superiori	SLE RA 33	0	1.13	-0.69	0	1.13	-0.69	0	0	0
Reticolare correnti superiori	SLE RA 34	0	1.13	-0.69	0	1.13	-0.69	0	0	0
Reticolare correnti superiori	SLE RA 35	0.26	0	-0.69	0.26	0	-0.69	0	0	0
Reticolare correnti superiori	SLE RA 36	0.26	0	-0.69	0.26	0	-0.69	0	0	0
Reticolare correnti superiori	SLE RA 37	0.26	0.15	-0.69	0.26	0.15	-0.69	0	0	0
Reticolare correnti superiori	SLE RA 38	0.26	0.15	-0.69	0.26	0.15	-0.69	0	0	0
Reticolare correnti superiori	SLE RA 39	0.26	0.22	-0.69	0.26	0.22	-0.69	0	0	0
Reticolare correnti superiori	SLE RA 40	0.26	0.22	-0.69	0.26	0.22	-0.69	0	0	0
Reticolare correnti superiori	SLE RA 41	0.26	0.22	-0.69	0.26	0.22	-0.69	0	0	0
Reticolare correnti superiori	SLE RA 42	0.43	0	-0.69	0.43	0	-0.69	0	0	0
Reticolare correnti superiori	SLE RA 43	0.43	0	-0.69	0.43	0	-0.69	0	0	0
Reticolare correnti superiori	SLE RA 44	0.43	0	-0.69	0.43	0	-0.69	0	0	0
Reticolare correnti superiori	SLE RA 45	0.43	0.15	-0.69	0.43	0.15	-0.69	0	0	0
Reticolare correnti superiori	SLE RA 46	0.43	0.15	-0.69	0.43	0.15	-0.69	0	0	0
Reticolare correnti superiori	SLE RA 47	0.43	0.15	-0.69	0.43	0.15	-0.69	0	0	0
Reticolare correnti superiori	SLE RA 48	0	0	-0.69	0	0	-0.69	0	0	0
Reticolare correnti superiori	SLE RA 49	0	0	-0.69	0	0	-0.69	0	0	0
Reticolare correnti superiori	SLE RA 50	0	0	-0.69	0	0	-0.69	0	0	0
Reticolare correnti superiori	SLE RA 51	0	0	-0.69	0	0	-0.69	0	0	0
Reticolare correnti superiori	SLE RA 52	0	0	-0.69	0	0	-0.69	0	0	0
Reticolare correnti superiori	SLE RA 53	0	0	-0.69	0	0	-0.69	0	0	0
Reticolare correnti superiori	SLE RA 54	0	0	-0.69	0	0	-0.69	0	0	0
Reticolare correnti superiori	SLE RA 55	0	0.15	-0.69	0	0.15	-0.69	0	0	0
Reticolare correnti superiori	SLE RA 56	0	0.15	-0.69	0	0.15	-0.69	0	0	0
Reticolare correnti superiori	SLE RA 57	0	0.15	-0.69	0	0.15	-0.69	0	0	0
Reticolare correnti superiori	SLE RA 58	0	0.15	-0.69	0	0.15	-0.69	0	0	0
Reticolare correnti superiori	SLE RA 59	0	0.15	-0.69	0	0.15	-0.69	0	0	0
Reticolare correnti superiori	SLE RA 60	0	0.15	-0.69	0	0.15	-0.69	0	0	0
Reticolare correnti superiori	SLE RA 61	0	0.15	-0.69	0	0.15	-0.69	0	0	0
Reticolare correnti superiori	SLE RA 62	0	0.22	-0.69	0	0.22	-0.69	0	0	0

Livello Nome	Cont. N.br.	Totale			Aste verticali			Pareti		
		F			F			F		
		X	Y	Z	X	Y	Z	X	Y	Z
Reticolare correnti superiori	SLE RA 63	0	0.22	-0.69	0	0.22	-0.69	0	0	0
Reticolare correnti superiori	SLE RA 64	0	0.22	-0.69	0	0.22	-0.69	0	0	0
Reticolare correnti superiori	SLE RA 65	0	0.22	-0.69	0	0.22	-0.69	0	0	0
Reticolare correnti superiori	SLE RA 66	0	0.22	-0.69	0	0.22	-0.69	0	0	0
Reticolare correnti superiori	SLE RA 67	0	0.22	-0.69	0	0.22	-0.69	0	0	0
Reticolare correnti superiori	SLE RA 68	0	0.59	-0.69	0	0.59	-0.69	0	0	0
Reticolare correnti superiori	SLE RA 69	0	0.59	-0.69	0	0.59	-0.69	0	0	0
Reticolare correnti superiori	SLE RA 70	0	0.74	-0.69	0	0.74	-0.69	0	0	0
Reticolare correnti superiori	SLE RA 71	0	0.74	-0.69	0	0.74	-0.69	0	0	0
Reticolare correnti superiori	SLE RA 72	0	0.81	-0.69	0	0.81	-0.69	0	0	0
Reticolare correnti superiori	SLE RA 73	0	0.81	-0.69	0	0.81	-0.69	0	0	0
Reticolare correnti superiori	SLE RA 74	0	0.81	-0.69	0	0.81	-0.69	0	0	0
Reticolare correnti superiori	SLE RA 75	0	0.98	-0.69	0	0.98	-0.69	0	0	0
Reticolare correnti superiori	SLE RA 76	0	0.98	-0.69	0	0.98	-0.69	0	0	0
Reticolare correnti superiori	SLE RA 77	0	0.98	-0.69	0	0.98	-0.69	0	0	0
Reticolare correnti superiori	SLE RA 78	0	1.13	-0.69	0	1.13	-0.69	0	0	0
Reticolare correnti superiori	SLE RA 79	0	1.13	-0.69	0	1.13	-0.69	0	0	0
Reticolare correnti superiori	SLE RA 80	0	1.13	-0.69	0	1.13	-0.69	0	0	0
Reticolare correnti superiori	SLE RA 81	0.26	0	-0.69	0.26	0	-0.69	0	0	0
Reticolare correnti superiori	SLE RA 82	0.26	0	-0.69	0.26	0	-0.69	0	0	0
Reticolare correnti superiori	SLE RA 83	0.26	0.15	-0.69	0.26	0.15	-0.69	0	0	0
Reticolare correnti superiori	SLE RA 84	0.26	0.15	-0.69	0.26	0.15	-0.69	0	0	0
Reticolare correnti superiori	SLE RA 85	0.26	0.22	-0.69	0.26	0.22	-0.69	0	0	0
Reticolare correnti superiori	SLE RA 86	0.26	0.22	-0.69	0.26	0.22	-0.69	0	0	0
Reticolare correnti superiori	SLE RA 87	0.26	0.22	-0.69	0.26	0.22	-0.69	0	0	0
Reticolare correnti superiori	SLE RA 88	0.43	0	-0.69	0.43	0	-0.69	0	0	0
Reticolare correnti superiori	SLE RA 89	0.43	0	-0.69	0.43	0	-0.69	0	0	0
Reticolare correnti superiori	SLE RA 90	0.43	0	-0.69	0.43	0	-0.69	0	0	0
Reticolare correnti superiori	SLE RA 91	0.43	0.15	-0.69	0.43	0.15	-0.69	0	0	0
Reticolare correnti superiori	SLE RA 92	0.43	0.15	-0.69	0.43	0.15	-0.69	0	0	0
Reticolare correnti superiori	SLE RA 93	0.43	0.15	-0.69	0.43	0.15	-0.69	0	0	0
Reticolare correnti superiori	SLE RA 94	0	0	-0.69	0	0	-0.69	0	0	0
Reticolare correnti superiori	SLE RA 95	0	0	-0.69	0	0	-0.69	0	0	0
Reticolare correnti superiori	SLE RA 96	0	0	-0.69	0	0	-0.69	0	0	0

Livello	Cont.	Totale			Aste verticali			Pareti		
		F			F			F		
Nome	N.br.	X	Y	Z	X	Y	Z	X	Y	Z
Reticolare correnti superiori	SLE RA 97	0	0	-0.69	0	0	-0.69	0	0	0
Reticolare correnti superiori	SLE RA 98	0	0	-0.69	0	0	-0.69	0	0	0
Reticolare correnti superiori	SLE RA 99	0	0	-0.69	0	0	-0.69	0	0	0
Reticolare correnti superiori	SLE RA 100	0	0.15	-0.69	0	0.15	-0.69	0	0	0
Reticolare correnti superiori	SLE RA 101	0	0.15	-0.69	0	0.15	-0.69	0	0	0
Reticolare correnti superiori	SLE RA 102	0	0.15	-0.69	0	0.15	-0.69	0	0	0
Reticolare correnti superiori	SLE RA 103	0	0.15	-0.69	0	0.15	-0.69	0	0	0
Reticolare correnti superiori	SLE RA 104	0	0.15	-0.69	0	0.15	-0.69	0	0	0
Reticolare correnti superiori	SLE RA 105	0	0.15	-0.69	0	0.15	-0.69	0	0	0
Reticolare correnti superiori	SLE RA 106	0	0.59	-0.69	0	0.59	-0.69	0	0	0
Reticolare correnti superiori	SLE RA 107	0	0.59	-0.69	0	0.59	-0.69	0	0	0
Reticolare correnti superiori	SLE RA 108	0	0.59	-0.69	0	0.59	-0.69	0	0	0
Reticolare correnti superiori	SLE RA 109	0	0.74	-0.69	0	0.74	-0.69	0	0	0
Reticolare correnti superiori	SLE RA 110	0	0.74	-0.69	0	0.74	-0.69	0	0	0
Reticolare correnti superiori	SLE RA 111	0	0.74	-0.69	0	0.74	-0.69	0	0	0
Reticolare correnti superiori	SLE RA 112	0.26	0	-0.69	0.26	0	-0.69	0	0	0
Reticolare correnti superiori	SLE RA 113	0.26	0	-0.69	0.26	0	-0.69	0	0	0
Reticolare correnti superiori	SLE RA 114	0.26	0	-0.69	0.26	0	-0.69	0	0	0
Reticolare correnti superiori	SLE RA 115	0.26	0.15	-0.69	0.26	0.15	-0.69	0	0	0
Reticolare correnti superiori	SLE RA 116	0.26	0.15	-0.69	0.26	0.15	-0.69	0	0	0
Reticolare correnti superiori	SLE RA 117	0.26	0.15	-0.69	0.26	0.15	-0.69	0	0	0
Reticolare correnti superiori	SLE FR 1	0	0	-0.69	0	0	-0.69	0	0	0
Reticolare correnti superiori	SLE FR 2	0	0	-0.69	0	0	-0.69	0	0	0
Reticolare correnti superiori	SLE FR 3	0	0	-0.69	0	0	-0.69	0	0	0
Reticolare correnti superiori	SLE FR 4	0	0	-0.69	0	0	-0.69	0	0	0
Reticolare correnti superiori	SLE FR 5	0	0.13	-0.69	0	0.13	-0.69	0	0	0
Reticolare correnti superiori	SLE FR 6	0	0.13	-0.69	0	0.13	-0.69	0	0	0
Reticolare correnti superiori	SLE FR 7	0	0.13	-0.69	0	0.13	-0.69	0	0	0
Reticolare correnti superiori	SLE FR 8	0	0.15	-0.69	0	0.15	-0.69	0	0	0
Reticolare correnti superiori	SLE FR 9	0	0.2	-0.69	0	0.2	-0.69	0	0	0
Reticolare correnti superiori	SLE FR 10	0	0.33	-0.69	0	0.33	-0.69	0	0	0
Reticolare correnti superiori	SLE FR 11	0.09	0	-0.69	0.09	0	-0.69	0	0	0
Reticolare correnti superiori	SLE FR 12	0.09	0.13	-0.69	0.09	0.13	-0.69	0	0	0
Reticolare correnti superiori	SLE FR 13	0	0	-0.69	0	0	-0.69	0	0	0

Livello Nome	Cont. N.br.	Totale			Aste verticali			Pareti		
		F			F			F		
		X	Y	Z	X	Y	Z	X	Y	Z
Reticolare correnti superiori	SLE FR 14	0	0.13	-0.69	0	0.13	-0.69	0	0	0
Reticolare correnti superiori	SLE QP 1	0	0	-0.69	0	0	-0.69	0	0	0
Reticolare correnti superiori	SLE QP 2	0	0.13	-0.69	0	0.13	-0.69	0	0	0
Reticolare correnti superiori	SLO 1	-0.07	0.13	-0.69	-0.07	0.13	-0.69	0	0	0
Reticolare correnti superiori	SLO 2	-0.07	0.13	-0.69	-0.07	0.13	-0.69	0	0	0
Reticolare correnti superiori	SLO 3	-0.07	0.13	-0.69	-0.07	0.13	-0.69	0	0	0
Reticolare correnti superiori	SLO 4	-0.07	0.13	-0.69	-0.07	0.13	-0.69	0	0	0
Reticolare correnti superiori	SLO 5	-0.03	0.16	-0.69	-0.03	0.16	-0.69	0	0	0
Reticolare correnti superiori	SLO 6	-0.03	0.16	-0.69	-0.03	0.16	-0.69	0	0	0
Reticolare correnti superiori	SLO 7	-0.03	0.16	-0.69	-0.03	0.16	-0.69	0	0	0
Reticolare correnti superiori	SLO 8	-0.03	0.16	-0.69	-0.03	0.16	-0.69	0	0	0
Reticolare correnti superiori	SLO 9	-0.09	0.09	-0.69	-0.09	0.09	-0.69	0	0	0
Reticolare correnti superiori	SLO 10	-0.09	0.09	-0.69	-0.09	0.09	-0.69	0	0	0
Reticolare correnti superiori	SLO 11	-0.09	0.09	-0.69	-0.09	0.09	-0.69	0	0	0
Reticolare correnti superiori	SLO 12	-0.09	0.09	-0.69	-0.09	0.09	-0.69	0	0	0
Reticolare correnti superiori	SLO 13	0.06	0.18	-0.69	0.06	0.18	-0.69	0	0	0
Reticolare correnti superiori	SLO 14	0.06	0.18	-0.69	0.06	0.18	-0.69	0	0	0
Reticolare correnti superiori	SLO 15	0.06	0.18	-0.69	0.06	0.18	-0.69	0	0	0
Reticolare correnti superiori	SLO 16	0.06	0.18	-0.69	0.06	0.18	-0.69	0	0	0
Reticolare correnti superiori	SLO 17	-0.06	0.08	-0.69	-0.06	0.08	-0.69	0	0	0
Reticolare correnti superiori	SLO 18	-0.06	0.08	-0.69	-0.06	0.08	-0.69	0	0	0
Reticolare correnti superiori	SLO 19	-0.06	0.08	-0.69	-0.06	0.08	-0.69	0	0	0
Reticolare correnti superiori	SLO 20	-0.06	0.08	-0.69	-0.06	0.08	-0.69	0	0	0
Reticolare correnti superiori	SLO 21	0.09	0.18	-0.69	0.09	0.18	-0.69	0	0	0
Reticolare correnti superiori	SLO 22	0.09	0.18	-0.69	0.09	0.18	-0.69	0	0	0
Reticolare correnti superiori	SLO 23	0.09	0.18	-0.69	0.09	0.18	-0.69	0	0	0
Reticolare correnti superiori	SLO 24	0.09	0.18	-0.69	0.09	0.18	-0.69	0	0	0
Reticolare correnti superiori	SLO 25	0.03	0.11	-0.69	0.03	0.11	-0.69	0	0	0
Reticolare correnti superiori	SLO 26	0.03	0.11	-0.69	0.03	0.11	-0.69	0	0	0
Reticolare correnti superiori	SLO 27	0.03	0.11	-0.69	0.03	0.11	-0.69	0	0	0
Reticolare correnti superiori	SLO 28	0.03	0.11	-0.69	0.03	0.11	-0.69	0	0	0
Reticolare correnti superiori	SLO 29	0.07	0.13	-0.69	0.07	0.13	-0.69	0	0	0
Reticolare correnti superiori	SLO 30	0.07	0.13	-0.69	0.07	0.13	-0.69	0	0	0
Reticolare correnti superiori	SLO 31	0.07	0.13	-0.69	0.07	0.13	-0.69	0	0	0

Livello Nome	Cont. N.br.	Totale			Aste verticali			Pareti		
		F			F			F		
		X	Y	Z	X	Y	Z	X	Y	Z
Reticolare correnti superiori	SLD 32	0.07	0.13	-0.69	0.07	0.13	-0.69	0	0	0
Reticolare correnti superiori	SLD 1	-0.08	0.12	-0.69	-0.08	0.12	-0.69	0	0	0
Reticolare correnti superiori	SLD 2	-0.08	0.12	-0.69	-0.08	0.12	-0.69	0	0	0
Reticolare correnti superiori	SLD 3	-0.08	0.12	-0.69	-0.08	0.12	-0.69	0	0	0
Reticolare correnti superiori	SLD 4	-0.08	0.12	-0.69	-0.08	0.12	-0.69	0	0	0
Reticolare correnti superiori	SLD 5	-0.03	0.15	-0.69	-0.03	0.15	-0.69	0	0	0
Reticolare correnti superiori	SLD 6	-0.03	0.15	-0.69	-0.03	0.15	-0.69	0	0	0
Reticolare correnti superiori	SLD 7	-0.03	0.15	-0.69	-0.03	0.15	-0.69	0	0	0
Reticolare correnti superiori	SLD 8	-0.03	0.15	-0.69	-0.03	0.15	-0.69	0	0	0
Reticolare correnti superiori	SLD 9	-0.1	0.07	-0.69	-0.1	0.07	-0.69	0	0	0
Reticolare correnti superiori	SLD 10	-0.1	0.07	-0.69	-0.1	0.07	-0.69	0	0	0
Reticolare correnti superiori	SLD 11	-0.1	0.07	-0.69	-0.1	0.07	-0.69	0	0	0
Reticolare correnti superiori	SLD 12	-0.1	0.07	-0.69	-0.1	0.07	-0.69	0	0	0
Reticolare correnti superiori	SLD 13	0.07	0.19	-0.69	0.07	0.19	-0.69	0	0	0
Reticolare correnti superiori	SLD 14	0.07	0.19	-0.69	0.07	0.19	-0.69	0	0	0
Reticolare correnti superiori	SLD 15	0.07	0.19	-0.69	0.07	0.19	-0.69	0	0	0
Reticolare correnti superiori	SLD 16	0.07	0.19	-0.69	0.07	0.19	-0.69	0	0	0
Reticolare correnti superiori	SLD 17	-0.07	0.07	-0.69	-0.07	0.07	-0.69	0	0	0
Reticolare correnti superiori	SLD 18	-0.07	0.07	-0.69	-0.07	0.07	-0.69	0	0	0
Reticolare correnti superiori	SLD 19	-0.07	0.07	-0.69	-0.07	0.07	-0.69	0	0	0
Reticolare correnti superiori	SLD 20	-0.07	0.07	-0.69	-0.07	0.07	-0.69	0	0	0
Reticolare correnti superiori	SLD 21	0.1	0.19	-0.69	0.1	0.19	-0.69	0	0	0
Reticolare correnti superiori	SLD 22	0.1	0.19	-0.69	0.1	0.19	-0.69	0	0	0
Reticolare correnti superiori	SLD 23	0.1	0.19	-0.69	0.1	0.19	-0.69	0	0	0
Reticolare correnti superiori	SLD 24	0.1	0.19	-0.69	0.1	0.19	-0.69	0	0	0
Reticolare correnti superiori	SLD 25	0.03	0.11	-0.69	0.03	0.11	-0.69	0	0	0
Reticolare correnti superiori	SLD 26	0.03	0.11	-0.69	0.03	0.11	-0.69	0	0	0
Reticolare correnti superiori	SLD 27	0.03	0.11	-0.69	0.03	0.11	-0.69	0	0	0
Reticolare correnti superiori	SLD 28	0.03	0.11	-0.69	0.03	0.11	-0.69	0	0	0
Reticolare correnti superiori	SLD 29	0.08	0.14	-0.69	0.08	0.14	-0.69	0	0	0
Reticolare correnti superiori	SLD 30	0.08	0.14	-0.69	0.08	0.14	-0.69	0	0	0
Reticolare correnti superiori	SLD 31	0.08	0.14	-0.69	0.08	0.14	-0.69	0	0	0
Reticolare correnti superiori	SLD 32	0.08	0.14	-0.69	0.08	0.14	-0.69	0	0	0
Reticolare correnti superiori	SLV 1	-0.2	0.1	-0.69	-0.2	0.1	-0.69	0	0	0

Livello Nome	Cont. N.br.	Totale			Aste verticali			Pareti		
		F			F			F		
		X	Y	Z	X	Y	Z	X	Y	Z
Reticolare correnti superiori	SLV 2	-0.2	0.1	-0.69	-0.2	0.1	-0.69	0	0	0
Reticolare correnti superiori	SLV 3	-0.2	0.1	-0.69	-0.2	0.1	-0.69	0	0	0
Reticolare correnti superiori	SLV 4	-0.2	0.1	-0.69	-0.2	0.1	-0.69	0	0	0
Reticolare correnti superiori	SLV 5	-0.09	0.18	-0.69	-0.09	0.18	-0.69	0	0	0
Reticolare correnti superiori	SLV 6	-0.09	0.18	-0.69	-0.09	0.18	-0.69	0	0	0
Reticolare correnti superiori	SLV 7	-0.09	0.18	-0.69	-0.09	0.18	-0.69	0	0	0
Reticolare correnti superiori	SLV 8	-0.09	0.18	-0.69	-0.09	0.18	-0.69	0	0	0
Reticolare correnti superiori	SLV 9	-0.24	0	-0.69	-0.24	0	-0.69	0	0	0
Reticolare correnti superiori	SLV 10	-0.24	0	-0.69	-0.24	0	-0.69	0	0	0
Reticolare correnti superiori	SLV 11	-0.24	0	-0.69	-0.24	0	-0.69	0	0	0
Reticolare correnti superiori	SLV 12	-0.24	0	-0.69	-0.24	0	-0.69	0	0	0
Reticolare correnti superiori	SLV 13	0.15	0.27	-0.69	0.15	0.27	-0.69	0	0	0
Reticolare correnti superiori	SLV 14	0.15	0.27	-0.69	0.15	0.27	-0.69	0	0	0
Reticolare correnti superiori	SLV 15	0.15	0.27	-0.69	0.15	0.27	-0.69	0	0	0
Reticolare correnti superiori	SLV 16	0.15	0.27	-0.69	0.15	0.27	-0.69	0	0	0
Reticolare correnti superiori	SLV 17	-0.15	-0.01	-0.69	-0.15	-0.01	-0.69	0	0	0
Reticolare correnti superiori	SLV 18	-0.15	-0.01	-0.69	-0.15	-0.01	-0.69	0	0	0
Reticolare correnti superiori	SLV 19	-0.15	-0.01	-0.69	-0.15	-0.01	-0.69	0	0	0
Reticolare correnti superiori	SLV 20	-0.15	-0.01	-0.69	-0.15	-0.01	-0.69	0	0	0
Reticolare correnti superiori	SLV 21	0.24	0.26	-0.69	0.24	0.26	-0.69	0	0	0
Reticolare correnti superiori	SLV 22	0.24	0.26	-0.69	0.24	0.26	-0.69	0	0	0
Reticolare correnti superiori	SLV 23	0.24	0.26	-0.69	0.24	0.26	-0.69	0	0	0
Reticolare correnti superiori	SLV 24	0.24	0.26	-0.69	0.24	0.26	-0.69	0	0	0
Reticolare correnti superiori	SLV 25	0.09	0.08	-0.69	0.09	0.08	-0.69	0	0	0
Reticolare correnti superiori	SLV 26	0.09	0.08	-0.69	0.09	0.08	-0.69	0	0	0
Reticolare correnti superiori	SLV 27	0.09	0.08	-0.69	0.09	0.08	-0.69	0	0	0
Reticolare correnti superiori	SLV 28	0.09	0.08	-0.69	0.09	0.08	-0.69	0	0	0
Reticolare correnti superiori	SLV 29	0.2	0.16	-0.69	0.2	0.16	-0.69	0	0	0
Reticolare correnti superiori	SLV 30	0.2	0.16	-0.69	0.2	0.16	-0.69	0	0	0
Reticolare correnti superiori	SLV 31	0.2	0.16	-0.69	0.2	0.16	-0.69	0	0	0
Reticolare correnti superiori	SLV 32	0.2	0.16	-0.69	0.2	0.16	-0.69	0	0	0
Reticolare correnti superiori	CRTFP Ux+	0	0	0	0	0	0	0	0	0
Reticolare correnti superiori	CRTFP Ux-	0	0	0	0	0	0	0	0	0
Reticolare correnti superiori	CRTFP Uy+	0	0	0	0	0	0	0	0	0

Livello Nome	Cont. N.br.	Totale			Aste verticali			Pareti		
		F			F			F		
		X	Y	Z	X	Y	Z	X	Y	Z
Reticolare correnti superiori	CRTFP Uy-	0	0	0	0	0	0	0	0	0
Reticolare correnti superiori	CRTFP Rz+	0	0	0	0	0	0	0	0	0
Reticolare correnti superiori	CRTFP Rz-	0	0	0	0	0	0	0	0	0

1.6 Risposta modale

Modo: identificativo del modo di vibrare.

Periodo: periodo. [s]

Massa X: massa partecipante in direzione globale X. Il valore è adimensionale.

Massa Y: massa partecipante in direzione globale Y. Il valore è adimensionale.

Massa Z: massa partecipante in direzione globale Z. Il valore è adimensionale.

Massa rot. X: massa rotazionale partecipante attorno la direzione globale X. Il valore è adimensionale.

Massa rot. Y: massa rotazionale partecipante attorno la direzione globale Y. Il valore è adimensionale.

Massa rot. Z: massa rotazionale partecipante attorno la direzione globale Z. Il valore è adimensionale.

Massa sX: massa partecipante in direzione Sisma X. Il valore è adimensionale.

Massa sY: massa partecipante in direzione Sisma Y. Il valore è adimensionale.

Totale masse partecipanti:

Traslazione X: 0.999333

Traslazione Y: 0.992905

Traslazione Z: 0

Rotazione X: 0.998539

Rotazione Y: 0.996927

Rotazione Z: 0.974793

Modo	Periodo	Massa X	Massa Y	Massa Z	Massa rot. X	Massa rot. Y	Massa rot. Z	Massa sX	Massa sY
1	1.0687E00	3.4112E-07	0.57509815	0	5.7847E-01	2.8283E-07	2.6262E-02	3.4112E-07	0.57509815
2	1.0662E00	0.00000006	3.6016E-01	0	3.5910E-01	4.3605E-08	9.0309E-01	0.00000006	3.6016E-01
3	8.2269E-01	9.7715E-01	1.0131E-07	0	1.0465E-07	9.8371E-01	4.2782E-09	9.7715E-01	1.0131E-07
4	6.0603E-01	2.4533E-06	1.8209E-02	0	2.2890E-02	2.7041E-06	1.8838E-02	2.4533E-06	1.8209E-02
5	5.5194E-01	7.4348E-03	0.00028799	0	3.0323E-04	6.3672E-03	1.3641E-04	7.4348E-03	0.00028799
6	5.0243E-01	1.0758E-03	1.2387E-02	0	1.2853E-02	8.3324E-04	6.2082E-03	1.0758E-03	1.2387E-02
7	4.5625E-01	1.5383E-03	8.9969E-03	0	9.7717E-03	1.1905E-03	6.1635E-03	1.5383E-03	8.9969E-03
8	0.36489176	7.0949E-04	0.00945102	0	1.0414E-02	4.9786E-04	9.5792E-03	7.0949E-04	0.00945102
9	2.8227E-01	1.1237E-02	5.0487E-04	0	4.2452E-04	4.3022E-03	0.00042112	1.1237E-02	5.0487E-04
10	2.2429E-01	1.8135E-04	7.8091E-03	0	4.3216E-03	2.1572E-05	4.0900E-03	1.8135E-04	7.8091E-03

1.7 Equilibrio globale forze

Contributo: Nome attribuito al sistema risultante.

Fx: Componente X di forza del sistema risultante. [kN]

Fy: Componente Y di forza del sistema risultante. [kN]

Fz: Componente Z di forza del sistema risultante. [kN]

Mx: Componente di momento attorno l'asse X del sistema risultante. [kN*m]

My: Componente di momento attorno l'asse Y del sistema risultante. [kN*m]

Mz: Componente di momento attorno l'asse Z del sistema risultante. [kN*m]

Bilancio in condizione di carico: Pesi strutturali

Contributo	Fx	Fy	Fz	Mx	My	Mz
Forze applicate	0	0	-120.36209	0.0068	1444.341	0
Reazioni	0	0	120.36209	-0.0068	-1444.341	0
P-Delta	0	0	0	0	0	0
Totale	0	0	0	0	0	0

Bilancio in condizione di carico: Permanenti portati

Contributo	Fx	Fy	Fz	Mx	My	Mz
Forze applicate	0	0	-402.49166	0.0001	4829.887	0
Reazioni	0	0	402.49166	-0.0001	-4829.887	0
P-Delta	0	0	0	0	0	0
Totale	0	0	0	0	0	0

Bilancio in condizione di carico: Neve

Contributo	Fx	Fy	Fz	Mx	My	Mz
Forze applicate	0	0	-127.30793	0	1527.691	0
Reazioni	0	0	127.30793	0	-1527.691	0
P-Delta	0	0	0	0	0	0
Totale	0	0	0	0	0	0

Bilancio in condizione di carico: Vento X (+Z)

Contributo	Fx	Fy	Fz	Mx	My	Mz
Forze applicate	18.072	0	488.35654	-0.0001	-5807.5831	0
Reazioni	-18.072	0	-488.35654	0.0001	5807.5831	0
P-Delta	0	0	0	0	0	0
Totale	0	0	0	0	0	0

Bilancio in condizione di carico: Vento Y (+Z)

Contributo	Fx	Fy	Fz	Mx	My	Mz
Forze applicate	0	62.30094	488.35654	-225.1261	-5860.2629	747.6122
Reazioni	0	-62.30094	-488.35654	225.1261	5860.2629	-747.6122
P-Delta	0	0	0	0	0	0
Totale	0	0	0	0	0	0

Bilancio in condizione di carico: Passaggio convogli

Contributo	Fx	Fy	Fz	Mx	My	Mz
Forze applicate	0	9.036	0.00003	-26.3321	-631.1902	108.432
Reazioni	0	-9.036	-0.00003	26.3321	631.1902	-108.432
P-Delta	0	0	0	0	0	0
Totale	0	0	0	0	0	0

Bilancio in condizione di carico: Vento Y (-Z)

Contributo	Fx	Fy	Fz	Mx	My	Mz
Forze applicate	0	21.41304	-327.35988	-105.9378	3928.3081	256.9574
Reazioni	0	-21.41304	327.35988	105.9378	-3928.3081	-256.9574
P-Delta	0	0	0	0	0	0
Totale	0	0	0	0	0	0

Bilancio in condizione di carico: AT

Contributo	Fx	Fy	Fz	Mx	My	Mz
Forze applicate	0	0	0	0	0	0
Reazioni	0	0	0	0	0	0
P-Delta	0	0	0	0	0	0
Totale	0	0	0	0	0	0

Bilancio in condizione di carico: Sisma X SLV

Contributo	Fx	Fy	Fz	Mx	My	Mz
Forze applicate	184.04748	0	0	0	922.0418	0.0037
Reazioni	-184.04748	0	0	0	-922.0418	-0.0037
P-Delta	0	0	0	0	0	0
Totale	0	0	0	0	0	0

Bilancio in condizione di carico: Sisma Y SLV

Contributo	Fx	Fy	Fz	Mx	My	Mz
Forze applicate	0	141.68229	0	-709.8005	0	1649.4938
Reazioni	0	-141.68229	0	709.8005	0	-1649.4938
P-Delta	0	0	0	0	0	0
Totale	0	0	0	0	0	0

Bilancio in condizione di carico: Sisma X SLD

Contributo	Fx	Fy	Fz	Mx	My	Mz
Forze applicate	70.25692	0	0	0	351.9734	0.0014
Reazioni	-70.25692	0	0	0	-351.9734	-0.0014
P-Delta	0	0	0	0	0	0
Totale	0	0	0	0	0	0

Bilancio in condizione di carico: Sisma Y SLD

Contributo	Fx	Fy	Fz	Mx	My	Mz
Forze applicate	0	54.08475	0	-270.954	0	629.6656
Reazioni	0	-54.08475	0	270.954	0	-629.6656
P-Delta	0	0	0	0	0	0
Totale	0	0	0	0	0	0

Bilancio in condizione di carico: Sisma X SLO

Contributo	Fx	Fy	Fz	Mx	My	Mz
Forze applicate	57.18266	0	0	0	286.4739	0.0011
Reazioni	-57.18266	0	0	0	-286.4739	-0.0011
P-Delta	0	0	0	0	0	0
Totale	0	0	0	0	0	0

Bilancio in condizione di carico: Sisma Y SLO

Contributo	Fx	Fy	Fz	Mx	My	Mz
Forze applicate	0	51.78824	0	-259.4489	0	602.9291
Reazioni	0	-51.78824	0	259.4489	0	-602.9291
P-Delta	0	0	0	0	0	0
Totale	0	0	0	0	0	0

Bilancio in condizione di carico: Rig. Ux

Contributo	Fx	Fy	Fz	Mx	My	Mz
Forze applicate	0	0	0	0	0	0
Reazioni	0	0	0	0	0	0
P-Delta	0	0	0	0	0	0
Totale	0	0	0	0	0	0

Bilancio in condizione di carico: Rig. Uy

Contributo	Fx	Fy	Fz	Mx	My	Mz
Forze applicate	0	0	0	0	0	0
Reazioni	0	0	0	0	0	0
P-Delta	0	0	0	0	0	0
Totale	0	0	0	0	0	0

Bilancio in condizione di carico: Rig. Rz

Contributo	Fx	Fy	Fz	Mx	My	Mz
Forze applicate	0	0	0	0	0	0
Reazioni	0	0	0	0	0	0
P-Delta	0	0	0	0	0	0
Totale	0	0	0	0	0	0

1.8 Risposta di spettro

Spettro: condizione elementare corrispondente allo spettro.

N.b.: nome breve della condizione elementare.

Fx: componente della forza lungo l'asse X. [kN]

Fy: componente della forza lungo l'asse Y. [kN]

Fz: componente della forza lungo l'asse Z. [kN]

Mx: componente della coppia attorno all'asse X. [kN*m]

My: componente della coppia attorno all'asse Y. [kN*m]

Mz: componente della coppia attorno all'asse Z. [kN*m]

Max X: massima reazione lungo l'asse X.

Valore: valore massimo della reazione. [kN]

Angolo: angolo d'ingresso del sisma che provoca il valore massimo della reazione. [deg]

Max Y: massima reazione lungo l'asse Y.

Valore: valore massimo della reazione. [kN]

Angolo: angolo d'ingresso del sisma che provoca il valore massimo della reazione. [deg]

Max Z: massima reazione lungo l'asse Z.

Valore: valore massimo della reazione. [kN]

Angolo: angolo d'ingresso del sisma che provoca il valore massimo della reazione. [deg]

Spettro	Fx	Fy	Fz	Mx	My	Mz	Max X		Max Y		Max Z	
							Valore	Angolo	Valore	Angolo	Valore	Angolo
N.b.												
X SLV	211.7981	1.3003	0	6.493639	1.06E03	17.51918	211.7981	0	156.5321	90	0	0
Y SLV	1.3003	156.5321	0	7.82E02	5.212122	1.81E03	211.7981	0	156.5321	90	0	0
X SLD	80.8653	0.5871	0	2.931793	4.04E02	7.913155	80.8653	0	59.7931	90	0	0
Y SLD	0.5871	59.7931	0	2.99E02	2.352466	6.91E02	80.8653	0	59.7931	90	0	0
X SLO	65.8163	0.5033	0	2.513317	3.29E02	6.784818	65.8163	0	48.6746	90	0	0
Y SLO	0.5033	48.6746	0	2.43E02	2.016165	5.63E02	65.8163	0	48.6746	90	0	0